



ГОСУДАРСТВЕННЫЙ СОЮЗНЫЙ  
ЗАПАДНО-СИБИРСКИЙ НЕФТЕРАЗВЕДОЧНЫЙ ТРЕСТ

---

СТРАТИГРАФИЯ МЕЗОЗОЯ  
И КАЙНОЗОЯ  
ЗАПАДНО-СИБИРСКОЙ  
НИЗМЕННОСТИ



ГОСУДАРСТВЕННОЕ НАУЧНО-ТЕХНИЧЕСКОЕ ИЗДАТЕЛЬСТВО  
НЕФТЕЯНОЙ И ГОРНО-ТОПЛИВНОЙ ЛИТЕРАТУРЫ  
Москва 1957

## А Н Н О Т А Ц И Я

В книге обобщен материал, собранный за период 1950—1955 гг., по стратиграфии мезозойских и кайнозойских отложений Западно-Сибирской низменности.

В ней описаны имеющиеся данные о палеонтологических находках, обнаруженных при исследовании разрезов буровых скважин, расположенных от восточных склонов Урала на западе до Чулымо-Енисейской впадины на востоке и от Казахстанского обрамления на юге до районов Ларька. Покура, Ханты-Мансийска и Березово на севере.

Книга предназначена для палеонтологов, литологов и стратиграфов.

---

## ВВЕДЕНИЕ

В течение последних шести лет на территории Западной Сибири широко развернулись геолого-поисковые, разведочные работы на нефть и газ с большим объемом бурения в мезозойских и кайнозойских отложениях низменности. В связи с этим возникла острая необходимость в детализации и уточнении стратиграфии исследуемого разреза отложений.

Для разрешения этой задачи были проведены палеонтолого-стратиграфические работы в двух организациях: во Всесоюзном геолого-разведочном научно-исследовательском институте (ВСЕГЕИ) и в тресте Запсибнефтегеология, ведущем буровые работы (рис. 1).

Коллектив палеонтологов и палинологов треста Запсибнефтегеология в течение 5 лет работал над комплексным изучением ископаемых из отложений мезозоя и кайнозоя: фораминифер, радиолярий, остракод, пелеципод, гастрапод, брахиопод, аммонитов, белемнитов, спорово-пыльцевых комплексов и остатков водорослей.

Изучение органических остатков фауны и флоры позволило выявить палеонтологическую характеристику различных стратиграфических горизонтов во времени и пространстве как морских, так и континентальных фаций на огромной территории — от восточных склонов Урала до Приенисейской области, от Казахстанского обрамления на юге до северных районов: Березово, Ханты-Мансийск, Покур и Ларьяк.

В результате проведенных исследований были прослежены ранее выделенные опорные маркирующие горизонты по фауне и флоре и намечены новые, позволяющие более дробно расчленить и сопоставить разрезы, отстоящие далеко друг от друга.

В условиях литологического однообразия 3-километровой песчано-глинистой толщи мезозоя и третичных отложений низменности палеонтолого-стратиграфические работы имели большое значение для расчленения, распознавания недр, выделения опорных горизонтов для структурного и разведочного бурения.

Исследовались образцы керна опорных и разведочных скважин и небольшая часть образцов, собранных в естественных обнажениях. Разрезы изучались в Березове, Ханты-Мансийске, Леушах, Кузнецово, Увате, Покровском, Иевлевке, Байкалове, Лучинкино, Заводоуковском, р. Аят, Рявикино, Октябрьском, Яковлевке, Омске, Саргатке, Большелеречье, Викулово, Таре, Покуре, Ново-Логиновке, Лебяжьем, Татарске, Тебиссе, Славгороде, Ипатове, Кайноме, Марииинске, Белогорске, Тяжине, Тегульдете, Максимкином Яре, Колпашеве, Нарыме, Новом Васюгане, Ларьяке и др.

Изучение многочисленных разрезов позволило уточнить и детализировать схему расчленения мезозойских и третичных отложений и выявить некоторые условия, при которых происходило накопление осадков на такой обширной территории, как Западно-Сибирская низменность.

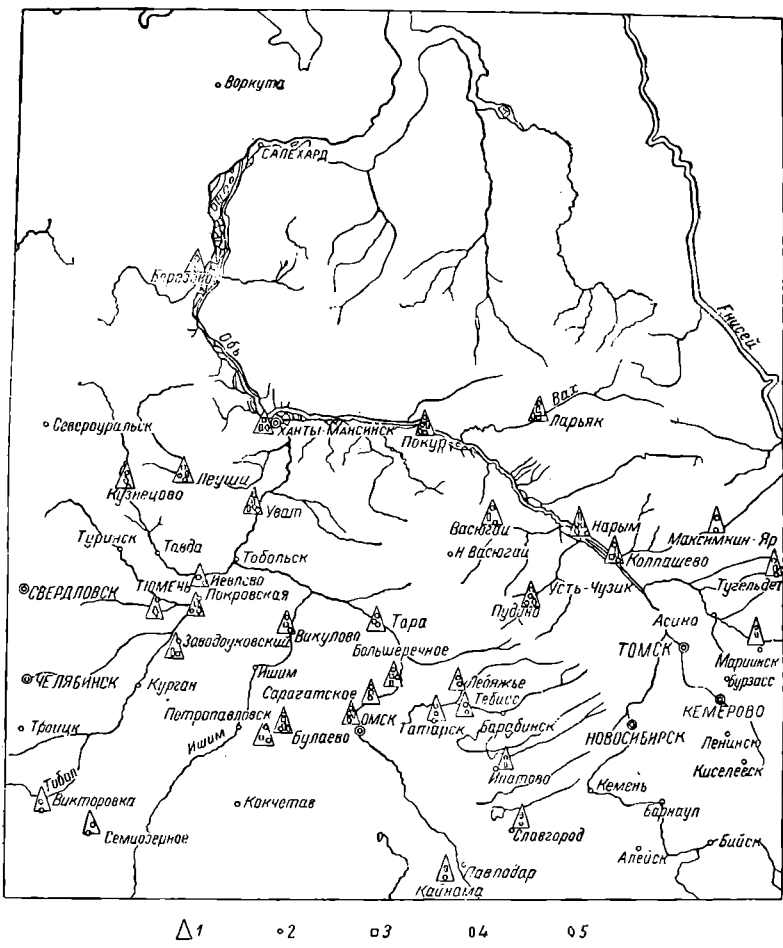


Рис. 1. Обзорная карта исследованных районов Западно-Сибирской нефтеносности треста Запсибнефтегеология.

1—районы исследований; 2—микрофауны; 3—макрофауны; 4—спор и пыльца; 5—днепровских и кремневых жгутиновых водорослей.

Получены данные о фауне аммонитов в отложениях келловея, нижнего волжского яруса и трех отделов валанжина; выделены характерные комплексы фораминифер верхней юры; пополнились материалы о ранее (В. С. Заспелова, 1948) выделенном комплексе фораминифер зоны *Globulina lacrima* Reuss в осадках валанжина; выделен циреновый горизонт в готериве; по фауне остракод прослежены на территории низменности отложения баррема; в нижнем и среднем альбе выявлен своеобразный комплекс песчанистых фораминифер, который по высокой численности *Ammonia*

*cultites agglutinans* Ог. б. получил название аммобакулитовой зоны; ранее выделенная (В. С. Заспелова, 1948) зона *Verneuilina asanoviensis* расчленена на две подзоны и отнесена к верхнему альбу; устанавливается туронский возраст микрофаунистической зоны *Gaudryina filiformis*; по спорово-пыльцевым комплексам выделена сеноманская толща; в кампан (?) - маастрихте изучена обильная фауна фораминифер, которая по своему вертикальному распределению и видовому составу позволяет выявить два хорошо отличимых разновозрастных комплекса видов, выделенных в соответствующие микрофаунистические зоны — нижнюю и верхнюю (кампанийский возраст нижней зоны ставится под сомнение). Датский ярус выделен условно по находкам микрофауны и в восточных районах низменности — по спорово-пыльцевым комплексам; отложения нижнетретичной микрофаунистической зоны *Ammobaculites foliacus* Враду отнесены к палеоцену.

За последние годы на большом фактическом материале были изучены разнообразные спорово-пыльцевые комплексы из отложений мезозоя и кайнозоя Западной Сибири, в значительной степени способствовавшие расчленению изучаемого разреза. В верхнем мелу и в третичных отложениях установлено несколько разновозрастных зон диатомовых водорослей.

Настоящая работа составлена коллективом авторов: З. И. Булатова (фораминифера альба—сантон); З. А. Войцель (спорово-пыльцевые комплексы мезозоя и кайнозоя); А. Н. Горбовец (радиолярии турона—эоцен); Е. А. Иванова (спорово-пыльцевые комплексы мезозоя и кайнозоя); Т. А. Казьмина (остракоды кимриджа-плиоцена); Э. Н. Кисельман (фораминифера кампии ?-маастрихта и датского яруса ?); С. А. Климко (спорово-пыльцевые комплексы мезозоя и кайнозоя); И. Г. Климова (аммониты верхней юры и мела); В. Ф. Козырева (фораминифера оксфорда, кимриджа, нижнего волжского яруса и валанжина); Ф. Р. Корниева (пелепиподы верхней юры и нижнего мела); Р. П. Костишина (диатомовые, кремнево-жгутиковые водоросли верхнего мела и палеогена); З. М. Круглова и А. И. Стрижова (спорово-пыльцевые комплексы датского яруса, палеогена и неогена); Л. Г. Маркова (спорово-пыльцевые комплексы мезозоя и кайнозоя); А. С. Тарасова (пелепиподы, гастроподы, брахиоподы верхнего мела и палеогена); М. В. Ушакова (фораминифера палеогена).

Приложением к настоящей работе являются таблицы зарисовок характерной микрофaуны, фотографий макрофaуны, зарисовок спорово-пыльцевых комплексов и комплексов диатомовых водорослей из мезозоя и кайнозоя Западной Сибири.

Рисунки фораминифер, радиолярий и остатков выполнены художником А. П. Золотаревой; зарисовка спор и пыльцы растений — художником Т. Ф. Бартеневой; зарисовки остатков диатомовых водорослей — художником А. К. Бинкман; фотографии фауны аммонитов, белемнитов, пелепипод, гастропод и брахиопод выполнены И. С. Моториным.

## КРАТКИЙ ОБЗОР ИССЛЕДОВАНИЙ МЕЗОЗОЙСКИХ И КАЙНОЗОЙСКИХ ОТЛОЖЕНИЙ ЗАПАДНОЙ СИБИРИ

Исследования мезозойских и кайнозойских отложений Западной Сибири начаты лишь в конце прошлого столетия. Эти исследования в основном охватывали Восточное Приуралье, составляющее западную часть низменности.

Первое систематическое описание третичных отложений восточного склона Урала дал А. П. Карпинский в статьях, опубликованных в 1880 г.

К наиболее ранним исследованиям мезозоя в Северном Приуралье относятся работы Е. С. Федорова, проведенные в 1884—1889 гг. в Ляпинском крае и бассейне р. Северной Сосьвы. Он выделил отложения келловея (западный склон), оксфорда, кимериджа, нижнего и верхнего волжских ярусов и неокома.

К концу XIX столетия А. А. Краснопольским (1893—1899 гг.) и Н. К. Высоцким (1896 г.) были проведены исследования по линии Сибирской железной дороги. В результате этих работ впервые выделены верхнемеловые известковистые пески на р. Аят с сенонской фауной (сантоу — кампан).

Ценные сведения о стратиграфии мезозойских отложений дали две поездки Д. И. Илловайского: в 1902 г. в Ляпинский край и в 1904 г. в Сосьвинский край. В отличие от Е. С. Федорова Д. И. Илловайский пришел к выводу, что в Северо-Сосьвинском районе отсутствуют отложения нижнего отдела оксфордского яруса, поставил под сомнение наличие верхнего оксфорда и предложил схему расчленения верхней юры и нижнего мела, выделив кимеридж, портланд, нижний и верхний волжские ярусы и нижний валанжин.

Исследования Северо-Уральской экспедиции (1932 г., Сирип Н. А.) существенных изменений в схему Д. И. Илловайского не внесли. Более дробно были расчленены кимеридж и получены дополнительные данные о распространении отдельных горизонтов.

Первые данные о стратиграфии мезозоя и кайнозоя центральной части Западно-Сибирской низменности были получены в 1937 г. Всесоюзным нефтяным геолого-разведочным институтом. В результате обработки керновых материалов из скважин, пробуренных в юго-западной и южной частях низменности, были исследованы разрезы — шумихинский, курганский, макушинский, асановский, гашкинский, называевский, татарский, убинский и др., расположенные в Петропавловской и Омской областях.

В основу первых стратиграфических схем были положены данные изучения микрофауны. Н. Н. Субботина расчленила отложе-

ния мезозоя и кайнозоя Иртышской (Называевской) впадины на пять микрофаунистических зон. Л. Г. Дайн в разрезе Шумихинской скважины, в отложениях от апта до нижнего палеогена включительно, выделила шесть микрофаунистических зон, назвав каждую по наиболее характерному виду фораминифер. Некоторые из этих зон сохранили свое название и до настоящего времени. Так, в отложениях верхнего мела выделяется нижнерадиоляриевая зона, в третичных — верхнерадиоляриевая зона, отмеченные впервые Н. Н. Субботиной. Сохранила свое название зона с *Discorbias sibiricus*, установленная Л. Г. Дайн. Но стратиграфическое положение выделенных ранее зон, за исключением зон кампан (?)—маастрихта, в результате получения нового фактического материала совершенно изменилось.

Н. Н. Туаев в 1938 г., используя данные Н. Н. Субботиной, указывал на отсутствие в разрезе датского, нижнесенонского и сеноманского ярусов.

А. Г. Бер в 1938 г. по данным палинологического анализа, выполненного Е. А. Смирновой, определяет миоценовый возраст ленточных отложений по р. Ишим.

В дальнейшем, в 1940—1941 гг., В. С. Заспелова предложила схему наиболее детального расчленения нижнемеловых отложений. Эта схема для Иртышской впадины (район Ганькино) полнее, чем схема Н. Н. Субботиной, и охватывает разрез отложений от верхней юры до неогена. Для верхней части разреза название микрофаунистических зон оставлено без изменения по Н. Н. Субботиной. Расчленение по схеме представлялось следующим образом:

J (?) — зона мелких песчанистых фораминифер.

J + Ne — зона *Haplophragmoides aff. nonioninoides* (Reuss)  
и др.

Apt + Alb { — зона с *Verneuilina ex gr. polystopha* (Reuss).  
— зона с *Gaudryina filiformis* Berthelin.

Cm + Sn<sub>1</sub> — зона с *Haplophragmoides variabilis* Zasp.

Mt + Cp — зона маастрихт-кампанских фораминифер.

Dt + Pg<sub>1</sub> — переходные слои.

Pg<sub>2</sub> + Pg<sub>3</sub> — верхнерадиоляриевая зона.

Pg<sub>3</sub> — надрадиоляриевая зона.

Ng — зона пресноводных ostrакод.

По схеме В. С. Заспеловой из разреза выпадали отложения сеномана, турона, коньяка и сантонса, что указывало на перерыв в отложениях между нижним и верхним мелом.

В 1944 г. А. К. Богданович, критически пересмотрев данные исследований прошлых лет, предложил схему расчленения отложений юго-западной части Западно-Сибирской низменности с учетом литологических особенностей. Впервые были выделены слои с географическими названиями. В полудинские слои выделены отложения верхней юры и неокома; в киялинские — апта (?); в асановские — от апта (?) до нижнего сантонса; в гашкинские — от кампанского до датского яруса; в макушинские — палеоген нижний и средний; в тавдинские — палеоген средний и верхний; в иртышские — отложения неогена. Причем А. К. Богданович приводит в своей работе указания Н. А. Кудрявцева об отсутствии следов перерыва между юрой и нижним мелом, нижним и верхним мелом.

Схема, предложенная А. К. Богдановичем, была неудобна и не нашла применения при дальнейших поисковых и разведочных работах в Западной Сибири. Необходим был фактический материал для подтверждения реальности этой схемы.

В 1942–1943 гг. В. П. Ренгартен занимался изучением разрезов приуральской полосы — от Лозьвинской пристани на севере до р. Аят на юге. Он расчленил меловые и третичные отложения западной окраины Восточного Приуралья.

В 1948 г. В. С. Засполова, описывая выделенные микрофаунистические зоны верхней юры и мела, уточняет название самой нижней юрской зоны, как *Ammodiscus tenuissimus* (Г ѿ т в е л) и расчленяет отложения неокома на три части.

Одновременно А. И. Нецкая (1948 г.) описывает новые виды фораминифер из верхнего сенона и дает краткую характеристику двух типов верхнесенонской микрофауны в Западной Сибири: восточного — ганькинского и западного — курганского.

Первые описания ископаемых диатомовых и кремневых жгутиковых водорослей мезозоя и третичных отложений Западной Сибири были даны А. П. Жузе в 1948, 1949 и 1951 гг. Флора была описана из обнажений на восточном склоне Урала вдоль р. Сыши, Сосьвы, а также у пос. Полunoчного Свердловской области.

С 1949 г. разработка вопросов стратиграфии Западной Сибири широко ставится ВСЕГЕИ. Коллектив сотрудников в составе А. В. Хабакова, Н. Н. Ростовцева, Т. И. Осыко, П. Ф. Ли, З. Т. Александровой, А. А. Глазуновой, В. Т. Балахматовой, И. М. Покровской, В. И. Романовой, Р. Х. Липман и др. на основе материалов опорного и разведочного бурения, проводимого трестом Запсибнефтегеология, разрабатывает схему расчленения мезокайнозоя Западной Сибири.

Почти в то же время систематически осуществлялось изучение керновых материалов палеонтологической партией в составе палеонтологов, цалинологов и диатомистов; литолого-петрографической и другими партиями треста Запсибнефтегеология.

Палеонтологической партией были поставлены работы по комплексному изучению ископаемых: фораминифер, радиолярий, остракод, аммонитов, пелепицопод, гастрапод, брахиопод, пыльцы и спор растений, диатомовых водорослей — и последнее время — семян растений.

Первая подробная схема расчленения была дана по материалам Тюменской и Барабинской опорным скважинам коллективом исследователей ВСЕГЕИ, причем взгляды на возраст отдельных частей разреза были различны. Главным образом спорным был вопрос о возрасте меловых микрофаунистических зон с *Gaudryina filiformis* Berthe琳 и *Verneuilina asanoviensis* Zasp.

А. В. Хабаков относил первую зону к сантону, вторую к аптальбу.

Р. Х. Липман придерживалась мнения ВНИГРИ и относила зону с *Gaudryina filiformis* Berthe琳 к альбу. Выше нижнюю радиоляриевую зону Р. Х. Липман отнесла к сантон-кампану. Таким образом, утверждался перерыв в осадконакоплениях в мезозое изменности.

В. Т. Балахматова, изучая разрез Барабинской скважины, относит зону с *Gaudryina filiformis* к верхнему мелу.

Палеонтолог треста Запсибнефтегеология З. И. Булатова относит зону с *Verneuilina asanoviensis* к альбу, а зону с *Gaudryina filiformis* к турону на основании изучения фауны фораминифер. Найдки макрофауны в последние годы подтвердили туронский возраст зоны. Зона кампан-маастрихтских фораминифер исследователями ВСЕГЕИ не расчленялась.

Выше Р. Х. Липман выделила микрофаунистические зоны: *Ammobaculites incultus Ehremitaea* — в датском ярусе, зону мелких аномалинид — в палеоцен-эоцене, верхнерадиоляриевую зону и в нижнем олигоцене — зону с *Cibicides ex gr. similis* (Hantke).

Ниже, в Тюменском разрезе, В. И. Романовой выделены были микрофаунистические зоны: в барреме — зона остракод и харовых водорослей, в готериве — зона крупных песчанистых фораминифер с *Haplophragmoides nonioninoides*, в валанжине — с *Globulina lacrima Reuss*, в нижнем волжском ярусе — с *Ammodiscus tenuissimus* (Gumbel), в кимеридже — с *Cristellaria russiensis* Matl., в оксфорде — с *Epistomina stelligeraformis* Matl.

В 1949 г. палинологами ВСЕГЕИ (И. М. Покровской, М. А. Седовой, Н. К. Стельмак, В. В. Зауер) были начаты палинологические исследования осадочных толщ некоторых районов низменности (Барабинск, Тюмень).

К 1953 г. относится работа Н. А. Балховитиной об исследовании спорово-пыльцевых комплексов меловых отложений чулымо-енисейского бассейна.

А. Ф. Ковалева в 1953 г., изучая верхнемеловые спорово-пыльцевые комплексы Чулымо-Енисейской впадины, устанавливает особенности флоры и климата этого района в верхнемеловой период.

В 1954 г. С. П. Бойцова, И. М. Покровская, Е. С. Малышева изучали спорово-пыльцевые комплексы из третичных отложений районов нижнего течения р. Оби.

В 1955 г. коллективом микропалеонтологов ВСЕГЕИ — В. Т. Балахматовой, Р. Х. Липман, В. И. Романовой — были описаны характерные фораминиферы мела и палеогена Западно-Сибирской низменности. А. Е. Глаузнова описала верхнемеловую фауну пелеципод, гастропод и аммонитов.

На основании изучения керна многочисленных скважин Западной Сибири коллектив палеонтологов и палинологов треста Запсибнефтегеология в течение ряда лет разрабатывал стратиграфию Западно-Сибирской низменности. В 1955 г. выработана биостратиграфическая схема (табл. 1) с учетом всех имеющихся к настоящему времени данных.

Предлагаемая схема вошла в общую унифицированную схему Западной Сибири, разработанную на межведомственном совещании, созванном по инициативе Министерства геологии и охраны недр СССР, Министерства нефтяной промышленности СССР и Академии наук СССР в январе 1956 г.

Таблица 1

Возраст	Палеонтологическая характеристика		
Рэт-лейас	Спорово-пыльцевой комплекс с преобладанием пыльцы голосеменных растений		
Нижняя юра	Спорово-пыльцевой комплекс с преобладанием пыльцы голосеменных растений над спорами папоротникообразных		
Средняя юра	Спорово-пыльцевой комплекс с преобладанием пыльцы голосеменных, в особенности древних <i>Coniferales</i> . Споровый комплекс беден		
Келловей	<i>Macrocephalites sp.</i> , <i>Cosmoceras sp.</i> Немногочисленные фораминыфера		
Оксфорд	Нижний <i>Cardioceras kostromense</i> N i k. Верхний <i>Amoeboceras alternans</i> . Зона с <i>Trochammina omskensis</i>		
Кимеридж	Зона с <i>Cristellaria sibirensis</i> . Остракоды — <i>Palaeocytheridea sufferta</i> и <i>Palaeocytheridea rasilis</i> . <i>Pseudomonotis sp.</i> <i>Rasenia cf. uralensis</i> (аммонит)		
Нижний волжский ярус	<i>Dorsoplanites</i> , <i>Subplanites</i> . Зона <i>Ammodiscus incertus</i> O r b., <i>Ammodiscus tenuissimus</i>		
Валанжин	<i>Tollia anabarensis</i> , <i>T. sibirica</i>		
	<i>Temnoptychites aff. lgowensis</i> .	Зона с <i>Globulina lacrima</i>	
	<i>Dichotomites ex gr. polytomus</i> .		
Готерив	<i>Simbirskites sp.</i> juv. <i>Cyrena cf. angulata</i> D u n k. <i>Cyrena sp.</i> <i>Palaeocytheridea glabra</i> M a n d. <i>Mandelstamia ordinata</i> M a n d.		Резкое преобладание пыльцы хвойных над папоротникообразными с увеличением разнообразия папоротников
Баррем	<i>Cypridea consulta</i> M a n d. <i>Darwinula barabinskensis</i> M a n d. <i>Origoityocypris fidis</i> M a n d.		Преобладание разнообразных спор над пыльцой. Преобладают <i>Schisacae</i>

Возраст	Палеонтологическая характеристика		
Апт	<i>Pitgostrobus sibirica</i> K r i s t.		
Альб	<p>Нижний и средний альб—зона <i>Ammobaculites agglutinans</i> (O r b i g n y), <i>Cleoniceras</i> cf. <i>bicurvatooides</i> S i n z., <i>Inoceramus anglicus</i> W o o d s.</p> <p>Верхний альб—зона <i>Verneuilina asanoviensis</i> Z a s p e l o v a.</p>		
Сеноман	<p>Единичные фораминиферы и радиолярии. Преобладание пыльцы голосеменных растений с широким развитием <i>Taxodiaceae</i> и <i>Cedrus</i> над спорами. Среди спор преобладают <i>Sphagnum</i>, и споры семейства <i>Schizaeaceae</i>.</p>		
Турон	<p>Зона <i>Gaudryina filiformis</i> B e r t h e l i n, <i>Baculites romanovskii</i> A r k h.</p> <p>Слои без фауны.</p> <p>Зона <i>Discorbis sibiricus</i> D a i n.</p>		
Коньяк(?)—сантон	<p>Зона некарктерных фораминифер</p> <p>Зона <i>Haplophragmoides</i> и <i>Spirolectammina</i>.</p>		
Кампан(?)—нижний маастрихт	<p><i>Inoceramus tegulatus</i> H a g., <i>I.</i> sp. ex gr. <i>regularis</i> O r b. <i>Terebratula corula</i> S o w., <i>Baculites anceps</i> L a m. var <i>leopoliensis</i> N o w a k.</p> <p>Преобладание пыльцы покрытосеменных; характерны: <i>Triporina globosa</i> K o v., <i>Triporina mirifica</i> K o v. и <i>Tripticha striata</i> K o v.</p>		
	<p><i>Spirolectammina kelleri</i> D a i n. <i>Gaudryina rugosa</i> O r b.</p> <p><i>Belemnitella aff. lanceolata</i> S c h l o t h.</p> <p>Зона <i>Bulimina rosencrantzi</i> B r o t z e n, <i>Spirolectammina kasanzevi</i> D a i n.</p>		
Верхний маастрихт	<p>Зона остряковид. <i>Procyathoperopteron</i> (J o n e s), <i>Orthonatocythere sibrica</i> L i e r p. <i>O. elegans</i> L i e r p.</p>		
Датский(?)	<p><i>Globigerinella varianta</i> S u b b.</p> <p><i>Anomalina praecututa</i> V a s s i l e n k o.</p>		

Возраст	Палеонтологическая характеристика	
Палеоцен	Зона с <i>Ammobaculites foliaceus</i> B r a d y.	
	Зона с <i>Cibicides ex gr. favorabilis</i> V a s s i - l e n k o, <i>Cibicides lunatus</i> B r o t z.	Преобладание пыльцы над спорами. Из пыльцы преобладают голосеменные, главным образом таксидиевые
Эоцен (?)		
Эоцен	Зона с <i>Spiroplectammina carinata</i> (O r b.), <i>Ellipsoxiphus chobakovi</i> L i p m.	Характерный комплекс диатомовых водорослей, спор и пыльцы. Резкое преобладание пыльцы покрытосеменных над голосеменными. Значительную роль играют теплолюбивые растения. Присутствуют элементы вечнозеленой флоры
Нижний олигоцен	Зона с <i>Elphidium rischtanicum</i> B u k o v a, <i>Cibicides khanabadiensis</i> M j a s s n i k o v a и остракод	Характерный комплекс диатомовых водорослей, спор и пыльцы. Резкое преобладание пыльцы покрытосеменных над голосеменными с небольшим участием вечнозеленой флоры
Верхний олигоцен	Преобладание пыльцы покрытосеменных над голосеменными. Незначительное участие вечнозеленой флоры. Присутствуют элементы растительности умеренных широт	
Миоцен	Присутствие в равном количестве пыльцы голосеменных и покрытосеменных	
Плиоцен	Преобладание пыльцы покрытосеменных; широкое развитие травянистых. Пыльца широколиственных теплолюбивых присутствует единичными зернами.	

## РЭТ-ЛЕЙАС

Рэт-лейасовые отложения являются самыми древними из мезозойских осадков низменности. Присутствие рэт-лейасовых спорово-пыльцевых комплексов с достоверностью установлено только в Омской опорной скв. 1-р в интервале 2759,3—2927,0 м. Эти отложения представлены углистыми темно-серыми аргиллитами, нередко сидеритовыми, с прослойками алевролитов, песчаников и реже мергелей. Всего было определено 5869 зерен следующего флористического состава.

Споры: *Lycopodiaceae* единично, *Selaginella* (споры с шиповатой склеритурой экзины) (11,46%), *Hymenophyllum* (0,70%), *Coniopterus* (2,4%), *Chomotriletes anagrammensis* К—М (единично), *Cibotium* (единично), *Gleichenia* (единично), *Schizaea* (0,95%), *Osmundaceae* (0,92%), *Leiotriletes Naum* (2,42%), *Asonoletes Naum* (единично), неопределенные споры (7,4%).

Пыльца: *Cordaitales* (единично), *Caytoniales* (4,9%), *Bennettitales* (единично), *Cycadaceae* (2,33%), *Podosamites* (единично), *Striatopodocarpus* (единично), *Striatopinipites* (единично), *Striatopiceipites* (единично), *Coniferae* (8,21%), *Podocarpus* (единично), *Araucariaceae* и (*Agathis*) (0,98%), *Pinaceae* (2,08%), *Cedrus* (единично), *Picea* (единично), *Pinus* (единично) (спорово-пыльцевой комплекс представлен в табл. 32—33 приложения).

Характерной особенностью рэт-лейасового спорово-пыльцевого комплекса является резкое преобладание пыльцы голосеменных растений (61,32%) над спорами папоротникообразных (26,58%).

В пыльцевом спектре среди голосеменных растений преобладают различные виды *Ginkgoaceae* (41,79%), значительно меньше встречено пыльцы *Bennettitales* и *Cycadaceae* (до 2,5%).

Пыльца хвойных составляет очень небольшую часть комплекса (11,2%) и представлена как пыльцевыми зернами, уже близкими по своей морфологии к пыльце современных хвойных — *Podocarpus*, *Cedrus*, *Picea*, *Pinus*, так и некоторым количеством более древней пыльцы. Среди последней встречаются как реликты палеозойского времени пыльцевые зерна с ребристой склеритурой экзины тела — *Striatopodocarpites*, *Striatopiceipites*, *Striatopinipites*. Пыльцы *Caytonia* встречено 4,9%, а пыльцы *Araucariaceae* — 0,98%. Пыльца *Cardoitalles* единична.

Флористический состав споровых растений довольно беден. Наиболее часто в спектре встречаются различные споры плаунов *Selaginella*, составляя 11,46%, и очень мало *Lycopodiaceae*. Споры древовидных папоротников — *Hymenophyllum*, *Osmunda* и *Schizaea* — присутствуют в незначительных количествах. Довольно большой процент в спектре составляют споры *Coniopterus* — 2,4% —

и споры гр. *Leiotriletes* Н а у м . — 2,42 %. Единично отмечены споры папоротников *Cibotium* и *Gleichenia*. Значительный процент составляет группа неопределенных спор.

Полученный спорово-пыльцевой комплекс хорошо сопоставляется с рэт-лейасовыми комплексами из районов Восточного и Западного Приуралья, а также районов Эмбы, описанных В. С. Малышкиной (1953 г.).

Растительность рэт-лейаса в районе Омска, повидимому, была представлена хвойно-гinkговой тайгой с примесью древовидных папоротников, подлесок образовывали плауны *Selaginella* и *Lycopodiaceae*. Климат в рэт-лейасовое время был, вероятно, влажный и теплый.

---

## ЮРСКИЕ ОТЛОЖЕНИЯ

### НИЖНЯЯ ЮРА

Угленосные отложения нижней юры, вскрытые в районах Павлодара и Мариинска, содержат характерный спорово-пыльцевой комплекс и представлены преимущественно песчано-глинистыми и углистыми континентальными образованиями с многочисленными растительными остатками. Возраст отложений устанавливается только на основании спорово-пыльцевых комплексов.

Руководящие формы для нижнеюрского комплекса следующие: *Bennettitales*, *Cycadaceae*, *Ginkgoaceae*, *Coniferae* (древние формы), *Picea*, *Pinus*, *Selaginella*, *Osmundaceae*, *Coniopteris*, *Leiotriletes* *Nauim.*

Характерным признаком нижнеюрских спорово-пыльцевых комплексов является преобладание пыльцы голосеменных растений над спорами папоротникообразных. Голосеменные в основном представлены пыльцой различных представителей класса *Coniferales*, причем в комплексах преобладает пыльца древних групп без разделения на мешки и тело, есть также зерна со слабо дифференцированными воздушными мешками и с воздушными мешками вокруг тела. Кроме того, в комплексе содержится пыльца, имеющая некоторое сходство по морфологии с пыльцой родов *Pinus*, *Picea* и *Podocarpus*. Пыльцевые зерна класса *Ginkgoales*, *Cycadales* и *Bennettitales* составляют довольно значительный процент. Споры в комплексе содержатся в меньшем количестве, чем пыльца, и не дают большого разнообразия. Они представлены папоротниками семейства *Osmundaceae*, *Coniopteris* и *Leiotriletes* *Nauim.* с подчиненным значением спор плаунов — *Selaginella* и *Lycopodiaceae* — обитателей заболоченных участков.

Для всех районов характерным является отсутствие пыльцы покрытосеменных растений.

Нижнеюрские спорово-пыльцевые комплексы были встречены в районах Урала, Казахстана, севера Сибири и Восточной Сибири и в некоторых разрезах Западной Сибири, аналогичные описанным выше. Они описаны в работе В. В. Зауер, Э. Н. Кара-Мурза и М. А. Седовой (1954 г.).

О растительности и климате нижней юры можно сделать следующие выводы: в этот период на территории Западно-Сибирской низменности господствовала хвойная тайга с подлеском из папоротникообразных, климат был влажный и умеренный. Влажность климата подтверждается не только присутствием споровых растений, но и мощными процессами углеобразования. Зона степей или полупустынь, видимо, совершенно отсутствовала.

## СРЕДНЯЯ ЮРА

Континентальные отложения средней юры по материалам глубокого бурения на территории Западно-Сибирской низменности известны от г. Тюмени до Максимкина Яра и восточнее до поселка Тегульдет на р. Чулым. Они охарактеризованы находками листовой флоры и спорово-пыльцевыми комплексами.

Листовая флора была изучена А. Н. Криштофовичем из ряда скважин — Максимкин Яр 1-р, Тюмень 1-р, Ярская 3-р, Заводоуковская 1-р, Татарская 1-р, Тебисская 1-р, Барабинская 1-р, Омская 1-р, Саргатская 2-р — и были найдены типичные формы, характерные для среднеюрской флоры.

Спорово-пыльцевые комплексы этих отложений нами изучались из следующих скважин: Ларьянской 1-р, Колпашевской 2-р, Мариинской 1-р, Омской 1-р и Саргатской 1-р, 2-р.

В районе Ларьянка отложения средней юры представлены переслаиванием аргиллитов, алевролитов и реже песчаников. В районе Колпашево эти отложения имеют частые прослои крупнозернистого песчаника и кварцевого крупнозернистого алевролита. Толща содержит многочисленные растительные остатки и включения битума. Еще восточнее, в районе Чульмо-Енисейской впадины, в Мариинской скв. 1-р, отложения угленосной средней юры представлены переслаиванием алевролитов, коричневато-серых и серых глин с редкими прослоями песчаника, гравилита и галечника. Значительную часть в разрезе среднеюрских отложений составляют прослои угля мощностью от 3 до 6 м. Средняя часть толщи представлена углем с тонкими прослоями буровато-серых и красно-бурых глин и алевролитов.

По мере продвижения на юг в районе Омска среднеюрские отложения представлены более грубообломочным материалом и в основном слагаются серыми неравномерно-зернистыми крепкими песчаниками с редкими прослоями конгломерата, гравилита и темно-серого углистого аргиллита. Породы нередко переполнены мелкими углистыми обрывками стеблей и корнями растений *Cladophlebis denticulata* B. gong. F. o. n. t. и др.

Такое разнообразие литологического состава в различных изученных районах резко отражается и на количественном содержании пыльцы и спор, которое наиболее высоко в районе Мариинска и чрезвычайно бедно в районе Омска.

Мощность отложений средней юры максимальная в районе Колпашево, где она достигает 506,0 м, минимальная в районе Ларьянка — 114,4 м, в Мариинске — 235,0 м, в Омске — 239,3 м.

Спорово-пыльцевые комплексы средней юры изучались также рядом исследователей в районах Украинской ССР, Белорусской ССР, Туркменской ССР, Северного Урала, Барабинска, в северных районах Сибири и Усть-Порта.

На основании этих данных авторами Э. Н. Карап-Мурза, В. В. Зауер, М. А. Седовой (1954 г.) для отложений средней юры установлены два различных комплекса: для районов Европейской и Азиатской частей Союза. Полученные нами комплексы не являются эндемичными, а имеют большое сходство с комплексами, выделенными для Азиатской части.

Приводим список форм, встречающихся в сопоставляемых районах: *Bennettitales*, *Cycadaceae*, *Ginkgoaceae*, *Coniferae* (древние), *Brachy-*

*phyllum*, *Podocarpaceae*, *Pinaceae*, *Picea*, *Lycopodiaceae*, *Selaginella*, *Cyatheaceae*, *Coniopteris*, *Gleichenia*, *Osmundaceae*, *Leiotriletes*. Н а и м. (спорово-пыльцевой спектр представлен в табл. 34—39 приложения).

Среднеуральский спорово-пыльцевой комплекс характеризуется преобладанием пыльцы класса *Coniferales*.

В значительном количестве отмечается во всех исследованных районах пыльца, близкая по своим морфологическим признакам к пыльце рода *Picea*, в меньшем количестве пыльца типов *Cedrus*, *Abies*, *Pinus*.

В Марийской скв. 1-р зерна типа *Abies* не найдены. Пыльца семейства *Podocarpaceae* обнаружена в значительном количестве в Ларьяке и Колпашево, меньше ее в Омске и Марийске.

Пыльца семейства *Ginkgoaceae* присутствует в большом количестве во всех районах, зерен *Bennettitales* и *Cycadaceae* значительно меньше. Мало встречено пыльцы семейства *Araucariaceae*.

Кроме того, заметную роль начинает играть пыльца рода *Brychiphyllum*, имеющая важное стратиграфическое значение; она не обнаружена только в районе Омска.

Споры во всех районах дают значительный процент, но меньший, чем пыльца голосеменных. Исключение в этом отношении составляют Марийская скв. 1-р и Колпашевская 2-р, где споры преобладают над пыльцой.

Наиболее характерными являются споры плаунов семейства *Lycopodiaceae* и *Selaginelliaceae*, среди которых встречаются различные виды *Selaginella*.

Из древовидных папоротников присутствуют в значительном количестве споры семейства *Cyatheaceae* с родом *Cibotium*. Встречено много спор семейства *Osmundaceae*, меньше спор *Gleichenia*. Споры семейства *Schizaeaceae* встречены только в Омске.

Характерным для среднеуральских отложений является присутствие спор *Coniopteris* и *Leiotriletes* Н а и м., отмеченных нами уже для нижней юры. Количество их здесь резко возрастает, причем в Ларьяке, Колпашево и Марийске они дают в среднем 64,5% от общего числа зерен, несколько меньше их в Омске.

Полученные нами спорово-пыльцевые комплексы хорошо сопоставляются с данными по Барабинской и Тюменской скважинам (работы В. В. Зауэр, Н. Д. Мчедлишивили и М. А. Седовой, 1954 г.).

Можно предполагать, что в среднеуральский период существовали обширные площади, занятые хвойными лесами с преобладанием древних родов, близких к *Picea*, *Ginkgo*, *Podocarpus*, с подлеском из папоротников и плаунов.

Климат этого периода был, повидимому, теплый и влажный, обусловивший пышное развитие растительности и способствующий богатому углеобразованию.

## ЮРСКАЯ ПЕСТРОЦВЕТНАЯ ТОЛЩА

Угленосные отложения средней юры в южной части Западно-Сибирской низменности покрываются пестроцветными породами. Наибольшая мощность этих отложений прослежена в центральной части низменности в разрезе Большереченской опорной скважины. Здесь между средней юрой и слоями с верхнеуральскими аммонитами

залегают лиловато-коричневые, красновато-коричневые и зеленые или пятнистые плотные аргиллиты желваковидного строения с маломощными прослойками зеленовато-серых и зеленых глинистых алевролитов, мелко- и реже среднезернистых песчаников.

Отложения пестроцветной толщи содержат редкие включения пирита, единичные зерна глауконита. Из органических остатков эпизодически встречается мелкий растительный детрит, наблюдаются поясные ходы червей. В кровле и подошве этой толщи заметны следы размыва.

В разрезе Омской опорной скважины пестроцветы имеют мощность 100 м. Восточнее Омска, в Татарске, прослеживается уменьшение мощности до 70 м, в Тебиссе до 18 м и к Барабинску пестроцветы выклиниваются.

Юго-западнее Омска, в Петропавловском районе Северного Казахстана, юрские пестроцветы встречены в разрезах Рявкинских разведочных скважин мощностью до 7 м.

В Тюменском Приуралье юрские пестроцветные породы встречены в Покровских и Заводоуковских скважинах. Здесь в составе толщи преобладают эфузивные породы, представленные различными туфами, переслаивающимися с нормально-осадочными пестроцветными глинами и аргиллитами.

В разрезе Покровской скв. 3-р в интервале 1578—1658 м вскрыта толща туфогенных пород с подчиненными прослойками алевритовых нестогоцветных глин и политоморфных доломитов. В шлифах доломитов обнаружена примесь мелкого растительного детрита.

На Заводоуковской площади пестроцветные породы вскрыты разрезами скв. 2-р (1123—1215 м), 3-р (1188—1329 м) и, повидимому (керн не был поднят), пройдены скв. 1-р (1236—3485 м). Ниже указанного интервала, в скв. 1-р, вскрыта среднеюрская угленосная толща, охарактеризованная остатками папоротника *Goniopteris taackiana* (Н е е г.) Р гу h. (по А. Н. Криштофовичу).

Вопрос о возрасте юрской пестроцветной толщи, лишенной палеонтологических остатков, долгое время оставался открытым. До настоящего времени существовало предположение, что накопление этих осадков происходило отчасти в средней юре и, возможно, в начале верхней юры. Последнее время обнаружены находки нижнекелловейских аммонитов в Саргатской скв. 2-р. В темных коричневато-серых аргиллитах, залегающих непосредственно на пестроцветах, найден *Macrocephalites*. Это дает основание относить пестроцветные образования, залегающие ниже келловея, к средней юре.

## ВЕРХНЯЯ ЮРА

Морские осадки верхней юры широко распространены на больших глубинах центральной и северо-восточной частей Западно-Сибирской низменности. Эти отложения по данным бурения известны в районах средней части Сибирского Приуралья, районах Северного Урала (бассейн С. Сосьвы) и на севере (до низовьев р. Енисея).

На юге низменности разрезы верхней юры прослежены в Петропавловской области в Рявкино, Омске, Большелечье, Татарске, Тебиссе, Барабинске и еще далее на северо-восток — в Колпашево,

в Ларьяке и на востоке вплоть до Максимкина Яра и Мариинска.

На территории Западной Сибири верхняя юра обнажается только на севере в бассейне р. С. Сосьвы и Усть-Енисейском районе Северного Зауралья.

Верхнеюрские отложения трансгрессивно залегают местами на юрской пестроцветной толще, местами на угленосных породах средней юры или, как это наблюдается в юго-западной части Западно-Сибирской пизменности, прямо на палеозое.

Литологический состав верхнеюрских образований Западной Сибири характерен преобладанием темносерых, почти черных и оливковых глин, аргиллитов и песчаников, реже глинистых известняков. Встречаются включения пирита, сидерита, глауконита, реже растительных остатков.

Отложения верхней юры богаты фауной фораминифер, менее — фауной аммонитов, пелепинид, остатками ихтиофауны и члениками оphiура.

Найдки спор и пыльцы растений позволяют выделить характерный спорово-пыльцевой комплекс. При прослеживании распространения фауны и флоры по изученным разрезам было установлено, что распределение спорово-пыльцевых комплексов в верхней юре не дает оснований к расщеплению отложений. Растительность в верхнеюрское время отличалась, повидимому, относительным постоянством на протяжении всего периода и, как известно, резко не изменилась в начале нижнего мела. Спорово-пыльцевые комплексы низов валаинина мало отличаются от верхнеюрских.

Большее значение для расщепления разреза имеют находки фауны в верхнеюрских отложениях Западной Сибири. Присутствие фауны аммонитов, фораминифер, пелепинид и остракод позволило выделить келловейский, оксфордский, кимериджский и нижневолжский ярусы.

Проследить по фауне аммонитов все горизонты верхней юры в одном разрезе невозможно, так как находки фауны в керновом материале ограничены. В этом отношении большие возможности нам дают остатки микроорганизмов, главным образом фауны фораминифер и остракод.

К настоящему времени выявлены характерные комплексы микрофауны для отложений оксфордского, кимериджского и нижневолжского ярусов.

### Келловей

На основании находок фауны в Западной Сибири отложения келловея установлены в скважинах Усть-Порта, Ларьяка, Большелечья, Саргатки, Барабинска и Тюмени.

В районе Усть-Порта келловейские отложения охарактеризованы руководящим аммонитом *Cardioceras nikitini*.

Плохо сохранившиеся неясные раковины аммонитов найдены в темносерых, почти черных аргиллитах (интервал 2653—2610 м) разреза Ларьякской опорной скважины. Из-за плохой сохранности аммоны определены только до рода и со знаком вопроса: *Cosmoceras* (?) sp., *Cadoceras* (?) sp., *Ammonites* sp. *indet* (? *Cosmoceras*). В Большереченской скв. 1-р келловейские отложения выделены на основании находки *Cosmoceras* sp. *indet*. (интервал 2515,0 м). Ниже по разрезу в таких же коричневато-черных аргиллитах

найдены: экземпляр аммонита, очевидно, *Macrocephalites*, обломки раковин, возможно, *Cadoceras* и *Perisphinctes*, не дающие указаний на возраст.

Найдка *Macrocephalites* (молодой экземпляр) позволяет утверждать келловейский возраст отложений, вскрытых Саргатской разведочной скв. 2-р на глубине 2521 м.

Отложения верхнего келловея, охарактеризованные фауной аммонитов, встречены в разрезе Барабинской опорной скважины в интервале 2086—2105 м (ВСЕГЕИ).

Здесь встречены: из аммонитов — *Quenstedticas* sp., (определение Г. Я. Крымгольца), из белемнитов — *Parallelodon* sp. *indet* (определение Г. Я. Крымгольца), из пластинчатожаберных — *Corbicela* sp., *Astarte* sp. *indet*., *Perna* sp. *ind*., *Oxytoma* sp. *ind*. (определение Н. С. Воронец) и др., а также фораминиферы: *Cristellaria hoplitae* *Wiss.*, *Dentalina* sp., *Ammodiscus incertus* (Огб.).

В Тюменской опорной скважине (ВСЕГЕИ) над среднеюрской угленосной толщей, отделенной в кровле следами размыва, по данным А. В. Хабакова залегает небольшая пачка (около 7 м) буровато-зеленых и зеленовато-серых, иногда ракушниковых, глауконито-глинистых плитчатых алевролитов и глин, переполненных плохо сохранившимися створками раковин *Mytilus* и *Macrodon*. В пачке алевротов и глин В. И. Романовой найдены единичные фораминиферы: *Epistomina stelligeriformis* M ja t l., *Cristellaria pehla* B u k., *Ammodiscus* sp. Недостаточная фаунистическая характеристика этой пачки не дает возможности точно определить ее возраст.

Как видно из всего изложенного выше, фауна аммонитов келловея недостаточно сохранилась и сравнительно плохо изучена, что затрудняет расчленение келловея на подъярусы. Найдки микрофaуны незначительны и не имеют стратиграфического значения.

### Оксфорд

Отложения оксфордского яруса выходят на поверхность на севере Западной Сибири в Северо-Сосьвинском районе. Здесь в темносерых аргиллитах с сидеритовыми и известковыми конкрециями встречен руководящий для оксфорда аммонит *Amoeboeras alternans* (В ис. h.), а также комплекс фораминифер.

На территории низменности оксфордские отложения удалось проследить благодаря глубокому бурению.

Отчетливо выражены оксфордские слои на юге низменности. В разрезе Омской опорной скважины на глубине 2387 м на основании находки аммонита *Cardioceras* aff. *kostromense* N i k. var. отложения отнесены к нижнему оксфорду. *Cardioceras kostromense* впервые был описан С. Н. Никитиным из отложений нижнего оксфорда района г. Костромы. Впоследствии *Cardioceras kostromense* встречен А. П. Павловым в обнажениях р. Анабара.

Отложения верхнего оксфорда в разрезе Омской опорной скважины прослежены в интервале 2372—2387 м. В темносерых аргиллитах найден аммонит, близкий к руководящему *Cardioceras alternans* В ис. h. Из белемнитов (по определению Г. Я. Крымгольца) присутствует *Cylindroteuthis oweni* F h i l l, из пелепицопод — *Astarta* sp. *indet*, лингулы, чешуйки рыб и ходы червей. Аргиллиты включ-

чают своеобразный комплекс мелких известковистых и песчанистых фораминифер: *Proteonina ex gr. diffugiformis* (Bradly), *Haplophragmoides infracallovianus* Da in, *Ammobaculites* sp., *Haplophragmium pokrovkaensis* Kosyрева, *Trochammina omskensis* Kosyрева n. mns., *Trochammina globigeriniformis* Haeuслер, *Spiroplectammina aff. bifurcata* P. et J., *Verneuilina micra* (Kosyрева) n. mns., *Textularia* sp., *Cristellaria aff. lepida* Reuss, *Cristellaria ex gr. ovalis* Reuss, *Cristellaria callarifera* Schwager.

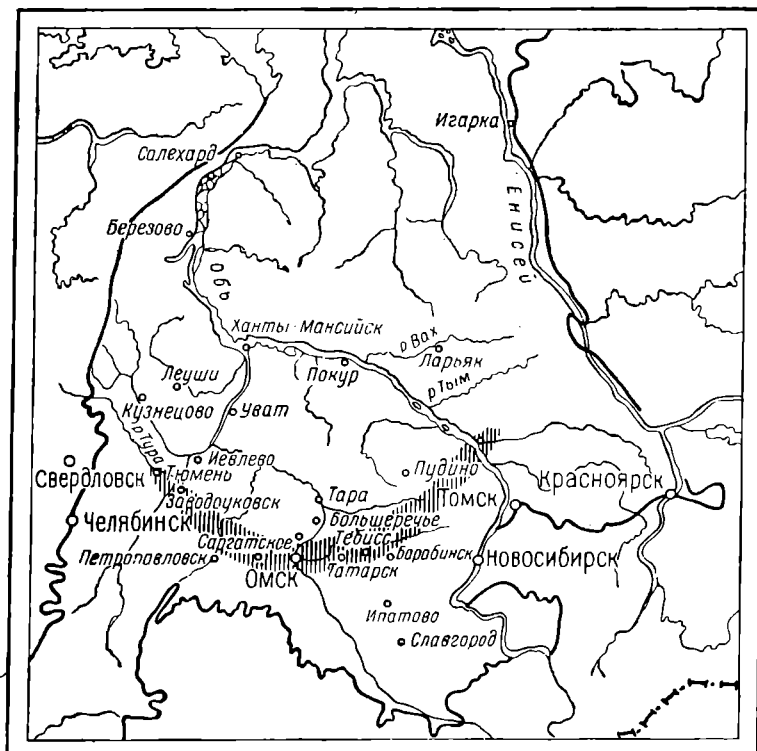


Рис. 2. Карта распространения фаунистической зоны с *Trochammina omsensis* Kosuge в верхний оксфорд (составила В. Ф. Козырева).

Среди фораминифер наиболее распространены раковины *Trochammina omskensis* sp. nov., что дало основание в 1952 г. выделить отложения верхнего оксфорда в одноименную зону (рис. 2).

В разрезах Тюменских скв. 1-р, 2-р и 3-р прослежены отложения нижнего оксфорда с характерным *Cardioceras ex gr. cordatum* Sow.

В опорной скв. 1-р (Тюмень) в интервале 1420,2—1408 м в светлошоколадных и зеленовато-серых глинах с мелкими мергельными конкрециями обнаружен А. В. Хабаковым верхнеоксфордский аммонит *Amoeboceras cf. alternans* B u c h. Глины включают комплекс фораминифер. В. И. Романова (ВСЕГЕИ), в 1950—1951 гг. изучавшая фораминиферы района Тюмени, выделила здесь зону *Epistomina stellariformis* M i a t l. В составе комплекса зоны: *Proteonina*

*compressa*, *Spiroplectammina* aff. *biformis* (P. et J.), *Haplophragmoides* sp., *Globulina oolitica* Т е р q ., *Epistomina stelligeraformis* M ja t l ., *Guttulina* sp., *Cristellaria compressaformis* Paalz., *Cristellaria limata* Sch w ., *Cristellaria disipiensis* Wisn ., *Cristellaria sphaerica* Kübl et Zw i n g l i , *Cristellaria italicica* De fr a n c e , *Frondicularia nodulosa* Furss. et Pol ., *Cristellaria* aff. *tumida* M ja t l ., *Nodosaria* sp., *Trochammina* sp. (*Trochammina omskensis* Kosyrev a n . mns.).

Сходный комплекс фораминифер прослежен нами в верхнем оксфорде Утешевской (Тюмень) скв. 4-р. В зеленовато-серых глинах, вскрытых скв. 4-р, в интервале 1348—1334 м встречен аммонит *Amoeboeras alternans* Busch. и комплекс фораминифер: *Trochammina omskensis* sp. nov., *Cristellaria compressaformis* Paalzow, *Haplophragmoides* sp., *Cr. disipiensis* Wisn ., *Cr. sphaerica* Küble r et Zw i n g l i , *Cr. aff. tumida* M ja t l ., *Cr. foliacea* Sch w a g e r , *Cr. bromii* Röemer (non Reuss), *Cr. hoplites* Wisn ., *Cr. comae* Bykova, *Cr. acuminata* Wisn ., *Cr. aff. lepida* Wisn ., *Dentalina* aff. *resupinata* Sch w ., *Epistomina stelligeraformis* M ja t l ., а также членики офиур и остатки ихтиофауны. К северо-востоку от Тюмени в Покровских разведочных скв. 4-р и 6-р обнаружен комплекс фораминифер, характерный для верхнего оксфорда зоны с *Trochammina omskensis* Kosyrev a n . mns. В составе комплекса: *Haplophragmoides* sp., *Haplophragmium pokrovkaensis* Kosyrev a n . mns., *Ammobaculites fontinensis* (Т е г q u e m ), *Verneuilina micra* (Kosyrev a n .) mns., *Verneuilina* sp., *Miliammina* sp., *Cristellaria* aff. *deekel* Wisn ., *Lagenula globosa* Waller et Bo g u s .

Кроме микрофaуны, в отложениях встречено много раковин *Pseudomonotis*.

Юго-восточнее Тюмени, в Рявино, в разведочной скв. 1-р на глубине 1431 м (один образец) встречен комплекс из известковистых и песчанистых фораминифер: *Trochammina omskensis* Kosyrev a n . mns., *Trochammina* sp., *Reophax sterckii* Ha uesle r , *Glomospira gordialis* P. et J., *Verneuilina micra* (Kosyrev a n .) mns., *Spiroplectammina* sp., *Ammobaculites fontinensis* Т е г q u e m , *Cristellaria oppeli* Sch w ., *Cristellaria russiensis* M ja t l ., *Cristellaria acutauricularis* (Ficht et Mol I.), *Cristellaria comae* Byk ., *Cristellaria* sp., *Cristellaria ex gr. rotulata* Lamarc k ., *Cristellaria ex gr. pauperata* (J. et P.), *Marginulina bullata* Reuss , *Darbyella* sp., *Dentalina declivis* Sch w ., *Lingulina ovalis* Sch w ., *Globulina lievis* Sch w ., *Epistomina stelligeraformis* M ja t l . и др.

Восточнее Омска отложения оксфордского яруса, богатые фауной фораминифер, прослежены в разрезах Татарских скв. 1-р, 2-р и 3-р. В темносерых аргиллитах здесь встречен разнообразный комплекс видов песчанистых и известковистых фораминифер.

Из песчанистых видов, имеющих стратиграфическое значение, в составе комплекса присутствуют: *Haplophragmoides infracal-loviensis* (Dan), *Haplophragmium pokrovkaensis* Kosyrev a n . mns., *Trochammina globigeriniformis* Ha uesle r , *Trochammina omskensis* Kosyrev a n . mns.

Известковистый комплекс фораминифер, встреченный в татарском разрезе, является наиболее богатым из всех до сих пор исследованных комплексов оксфорда на территории изменности. Здесь

встречены: *Cristellaria* ex gr. *tumida* M jat l., *Cr.* ex gr. *simplex* Küler et Zwingli, *Cr. inflata* Wisn., *Cr. fraasi* Sohw., *Cr. bronni* Röemer (non Reuss), *Cr.* ex gr. *lithuanica* Brückermann, *Cr. aff. lepida* Reuss, *Cr. limata* Schwaiger, *Cr. hoplitae* Wisn., *Cr. subangulata* Reuss, *Cr.* ex gr. *comae* Byk., *Cr. russiensis* Mjat l., *Cr.* ex gr. *varians* Börgemann, *Cr. aff. oligostegia* Reuss, *Cr. laevigata* Reuss, *Cristellaria higrida* Теркуем, *Vaginulina flabelloides* (Теркуем), *Marginulina glabra* Orb., *Dentalina* sp., *Nodosaria manugrium* Теркуем, *Pseudoglandulina* ex gr. *tutkowskii* Mjat l., *Frondicularia* ex gr. *varians* Wisniowski, *Globulina oolithica* Терк., *Globulina laevis* Schwager, *Discorbis* sp.

В разрезе Тебисской скв. 1-р в плотных серых аргиллитах обнаружена фауна в основном песчанистых фораминифер, характерных для верхнеоксфордской фораминиферовой зоны с *Trochammina omskensis* Kosyрева н. mns., это — *Haplophragmium pokrovkensis* Kosyрева н. mns., *Verneuilina micra* (Kosyрева), *Trochammina omskensis* Kosyрева н. mns.

Восточнее, в районе Барабинска, разрез фаунистически охарактеризованных слоев оксфорда имеет мощность всего 5 м (Барабинская опорная скважина, интервал 2081—2086 м). В темносерых, неравномерно известковистых плотных аргиллитах с обломками фосфатов, с включениями пирита и глауконита и многочисленными остатками фауны встречается *Cylindroteuthis* ex gr. *puposi* Orb., *Pseudomonotis* sp. *indet.*, *Entolium nummularis* Pisch., *Pecten* sp., *Placunopsis* *indet.*, *Lingula* sp., *Dentalium* sp. (определения Г. Я. Крымгольца и Н. С. Воронец).

В последнее время верхнеоксфордская фораминиферовая зона с *Trochammina omskensis* прослежена далеко к востоку, в разрезе Колпашевской скв. 2-р (Малиновский участок). В интервале 2342—2362 м отложения представлены темносерыми аргиллитами, неравномерно известковистыми, алевритистыми, плотными с включениями пирита, известковистого алевролита и мергеля. Здесь обнаружен комплекс мелких фораминифер, в основном песчанистых. Встречены: *Glomospira* sp. (nova), *Haplophragmoides infracallovensis* Dain, *Haplophragmium pokrovkaensis* Kosyрева н. mns., *Trochammina omskensis* Kosyрева н. mns. *Trochammina globigeriniformis* Haesler, *Spiroplectammina* sp., *Verneuilina micra* (Kosyрева н. mns.), *Cristellaria* ex gr. *inflata* Wisn.

Суммируя имеющийся материал по изученным оксфордским аммонитам и фораминиферам, можно сказать следующее.

1. Характер фауны аммонитов оксфорда boreальный, эндемичных форм не наблюдается.

2. Отложения верхнего оксфорда содержат комплекс характерных фораминифер. Наиболее постоянным и преобладающим членом комплекса является *Trochammina omskensis* sp. nov., выделенная как зональный вид. Присутствие этого вида прослежено от Тюмени и Покровки на восток до Колпашево.

Вид *Epistomina stelligeraformis* Mjat l., выделенный В. И. Романовой в зональный для верхнего оксфорда, имеет ограниченное горизонтальное распространение, присутствие его отмечается в разрезах Тюмени, Утешево и Рявикино.

На этом основании верхнеоксфордскую фораминиферовую зону называем по наиболее распространенному виду — *Trochammina omskensis* Kosygeva n. sp.

4. В южной части низменности (Тюмень, Утешево, Рябкино, Татарск) по изученным разрезам намечаются районы верхнего оксфорда, более богатые фауной фораминифер, с преобладанием известковистых раковинок, Омск и Колпашево — районы очень мелкой в основном песчанистой фауной фораминифер и, наконец, Большелеречье (?), Ларьяк — районы полного отсутствия фораминифер.

5. При сопоставлении комплекса фораминифер из верхнего оксфорда Западной Сибири с комплексами из оксфордских отложений районов Урала, Поволжья, Второго Баку и далее на запад, мы почти не находим сходства. Особенно поражает полное отсутствие в Западной Сибири представителей семейства *Ophthalmidiidae*, имеющих широкое развитие в отложениях оксфорда указанных выше районов.

Из представителей семейства *Epistominidae* рода *Epistomina*, которыми также переполнены верхнеюрские и, в частности, оксфордские отложения Европейской части Союза, в Сибири найден всего один вид и в незначительном количестве экземпляров. Этот вид — *Epistomina stelligeraformis* — был описан Е. В. Мятлюком из отложений нижнего оксфорда Поволжья. Встречается он и в верхнем оксфорде (Самарская Лука, районы Второго Баку по Е. В. Быковой). *Epistomina stelligeraformis* Matl., как указывалось выше, имеет распространение только в юго-западной части Западно-Сибирской низменности.

Из песчанистых фораминифер, встречающихся в верхнем оксфорде Западной Сибири, следует упомянуть о *Verneuilina micros*, описанной В. Ф. Козыревой из переходных слоев келловей-оксфорда Саратовского Поволжья.

6. Мощность оксфордских отложений в разрезе низменности незначительна.

### Кимеридж

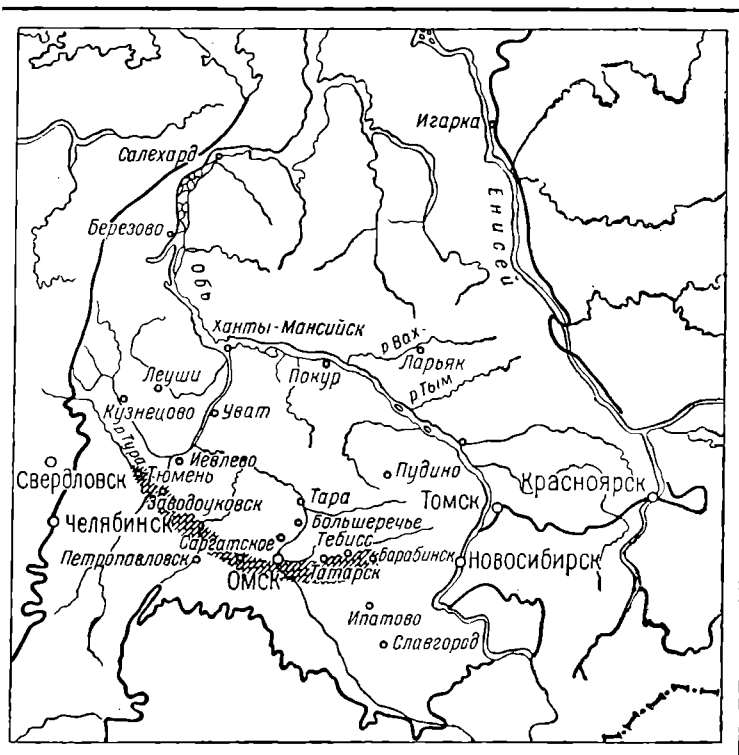
Отложения кимериджа в Западной Сибири вскрыты рядом скважин и выходят на поверхность на севере низменности.

Характерная аммонитовая фауна для всего разреза кимериджа обнаружена пока только в естественных выходах пород вдоль восточных подножий Северного Урала. Здесь кимериджский ярус представлен зеленовато-серыми, реже синевато-серыми, глинами и аргиллитами с известковистыми конкрециями, содержащими морскую фауну аммонитов и белемнитов, в том числе *Rasenia uralensis* Orb., *Rasenia aff. involuta*, *Pachiteuthis obreviata* (Müller), *Aulacostephanus eudoxus* Reuss.

В районе Усть-Порта в кимериджских глинах обнаружены характерные для нижнего отдела *Cardioceras kitchini* Salp., *Pictonia* sp.

Из микрофауны Н. В. Шаровская здесь выделила своеобразный комплекс микрофауны *Haplophragmoides* — уплощенная форма, а также *Haplophragmoides ex gr. emeljanzevi* Lch., *Trochammina* sp. (со вздутыми камерами), *Cristellaria* sp. 21, *Rhabdammina* sp., *Nodosaria* (?) aff. *pingiunculus* Reuss.

южной половине низменности в изученных разрезах скважины только нижнекимериджские аммоны и характер комплекса фораминифер и остракод. Отложения представляют ювато-серыми, местами аргиллито-подобными глинами. Из аммонитов встречены представители группы *Rasenia*, характерной для нижнего кимериджа. Руководящий вид нижнекимериджа — *Rasenia uralensis* Огюстенб.



3. Карта распространения фаунистической зоны с *Cristellaria sibirica* и остракодами — нижний кимеридж (составила В. Ф. Ерева).

Из фораминифер руководящее значение имеет *Cristellaria sibirica* Косярева п. мns., не обнаруженная только в разрезах скважин 1-р.

Более важное значение при определении возраста имеют характерные виды остракод — *Palaeocytheridea suis* M. d., *Palaeocytheridea rasilis* M. d., развитие которых относено к нижнему кимериджу.

Отложения нижнего кимериджа выделены в микрофауну южной зоны *Cristellaria sibirensis* Косярева п. mns. и *Parideida sufferta* M. d. (рис. 3). Отличительной особенностью миниферового комплекса зоны является преобладание ювистых форм; раковинки с песчанистой стенкой встречаются значительном количестве.

Наиболее богаты фауной отложения нижнего кимериджа в юго-западной части низменности.

В разрезе Тюменской опорной скважины (интервал 1393—1408 м) в зеленовато-серых и буровато-серых слоистых мергелистых глинах обнаружены аммониты, пелепицоподы, фораминиферы и остракоды. В составе комплекса фауны присутствуют: *Rasenia ex gr. uralensis* Огб., *Cylindroteuthis ex gr. obelisca* Рихл., *Oxytoma cf. trochleata* Голдф., *Trigonia ex gr. olavellata* Парк. и др. Из фораминифер преобладают представители семейства *Lagenidae*. Комплекс (по В. И. Романовой) представлен следующими видами: *Cristellaria sibirensis* Косярева н. мns., *Cristellaria aff. sphaerica* Кюб. и Цвингли, *Cristellaria inflata* Висн., *Cristellaria planuissima* Фурсс. и Полен., *Cr. aff. comae* Бук., *Cr. primaformis* Мятил., *Cr. subhumilis* Фурсс. и Полен., *Darbyella* sp., *Marginulina robusta* Реусс., *Fundicularia nodulosa* Фурсс. и Полен., *Dentalina quenstedti* Schwager и Трошаммина sp.

Из остракод встречены *Palaeocytheridea sufferta* Манд. и *Palaeocytheridea rasilis* Манд.

На материале Тюменской опорной скважины В. И. Романова в 1950 г. впервые выделила микрофаунистическую зону, назвав ее *Cristellaria russiensis* Мятил. и *Ammobaculites* sp.

Дальнейшими исследованиями зона была прослежена в других разрезах низменности. Изучение микрофауны позволило уточнить ее название как зона *Cristellaria sibirensis*.

В разрезе Утешевской (Тюменский район) скв. 4-р отложения нижнего кимериджа, представленные глинами и аргиллитами зеленовато-серого цвета, переполнены фораминиферами. Присутствует следующий комплекс: *Haplophragmoides* sp., *Trochammina aff. rosacea* Засп., *Cristellaria branni* Ремер (non Reuss), *Cr. hoplites* Висн., *Cr. ex gr. angulata* Висн., *Cr. foliacea* Schw., *Cr. comae* Бук., *Cr. tumida* Мятил., *Cr. sibirensis* Косярева н. мns., *Cr. rotulata* Ламарк, *Cr. primaformis* Мятил., *Cr. ex gr. hybrida* Тег., *Cr. sphaerica* Кюб. и Цвингли, *Cr. compressaformis* Паальз., *Cristellaria colligata* Брюкм., *Cr. ex gr. kasanzevi* Фурсс. и Полен., *Cr. limata* Schw., *Cr. crepidula* Фихт. и Молл., *Marginulina aff. robusta* Реусс.

Фауна остракод представлена характерными видами: *Palaeocytheridea sufferta* Манд., *Palaeocytheridea rasilis* Манд.

На Покровской площади отложения кимериджа представлены зеленовато-серыми и темносерыми глинами с прослойками алевролита, брекчий, ракушника, включениями кальцита и многочисленными раковинами *Pseudomonotis*. Отложения богаты фауной фораминифер, в меньшей степени фауной остракод.

Из фораминифер в составе комплекса присутствует характерная *Cristellaria sibirensis* Косярева, а также нижнекимериджские остракоды *Palaeocytheridea sufferta* Манд. и *Palaeocytheridea rasilis* Манд.

На юго-восток от Тюмени отложения нижнего кимериджа прослежены в разрезах разведочных скважин на Рявкинской площади (западнее ст. Булаево).

Нижнекимериджский аммонит *Rasenia cf. uralensis* Огб.

был обнаружен в серовато-зеленых глинах разреза скв. 5-р (интервал 1320—1330 м). Глины включают характерный комплекс фораминифер и остракод. В составе фораминиферового комплекса по преимуществу представители семейства *Lagenidae*: *Cristellaria sibirensis* Kosyгeva n. sp., *Cristellaria initabilis* Zasp., *Cr. ex gr. magna* Mjatl., *Cr. ex gr. tumida* Mjatl., *Cr. ex gr. subangulata* Reuss, *Cr. ex gr. compressaformis* Mjatl., *Cr. ex gr. crepidula* Ficht. et Möll., *Cr. aff. lepida* Reuss, *Darbyella* sp., *Dentalina* sp.

Из остракод в комплексе присутствуют характерные виды: *Palaeocytheridea sufferta* Mand. и *Palaeocytheridea rasilis* Mand.

В других разрезах Рявкинских скв. 1-р, 3-р и 4-р в отложениях кимериджа встречены еще более богатые комплексы фораминифер и остракод. Приводим общий список встреченных форм: *Cristellaria ex gr. pseudocrassa* Mjatl., *Cr. ex gr. comae* Yuk., *Cr. tumida* Mjatl., *Cr. harpa* Reuss var. *lata* Wisn., *Cr. ex gr. semi-involuta* Terquem, *Cr. kasanzevi* Furss. et Polen., *Cr. plana* Reuss, *Cr. foliacea* Schwager, *Cr. aff. tataricensis* Mjatl., *Cr. ex gr. costata* F. et M., *Cr. informis* Schw., *Cr. hoplitae* Wisn., *Cr. simplex* Küb. et Zwengli, *Cr. hybrida* Terquem, *Cr. despiensis* Wisn., *Cr. subcompressa* Schw., *Cr. ex gr. inflata* Wisn., *Cr. ex gr. münsteri* Roemer, *Cr. compressaformis* Pálzov, *Cr. subalata* Reuss, *Cr. bronni* Röemer (non Reuss), *Cr. foliacea* Schw., *Cr. acutauricularis* (Ficht. et Möll.), *Cr. lanceolata* Schw., *Cr. suprajurassica* Schw., *Cr. deeckei* Wisn., *Cr. aff. serrigibbosa* Schw., *Darbyella* ex gr. *calva* Wisn., *Marginulina bullata* Reuss, *M. ex gr. megalcephala* Schw., *M. flacida* Schw., *M. elongata* Orb., *M. aff. robusta* Reuss, *M. striatocostata* Reuss, *Dentalina aff. underica* Mjatl., *Nodosaria turbiformis* Schw., *Nodosaria radiculata* Linne, *Nodosaria ex gr. obscura* Reuss, *Fondiculalia varians* Wisn., *Lagena globosa* W. et B., *Lagena hispida* Reuss, *Lagena sulcata* (W. et J.), *Tristix insignis* Reuss, *Globulina oolithica* Terq., *Lingulina* sp., *Lamarckina* sp.

Из остракод встречены: *Palaeocytheridea sufferta* Mand., *Palaeocytheridea rasilis* Mand., *Palaeocytheridea reduxa* Mand., *Lophocytheridea* sp., *Palaeocytheridea* sp., *Hutsonia homesta* Mand. и *Pyrocytheridea* sp.

Кроме аммонитов, фораминифер и остракод, отложения нижнего кимериджа на Рявкинской площади содержат довольно богатую фауну пелепицопод. Определены представители следующих родов: *Pseudomonotis*, *Pholidemia*, *Trigonia*, *Ostrea*, *Astarta*, *Pecten*. Присутствуют ядра брахиопод и гастропод. В изученных образцах керна много битых ракушек пелепицопод, обломков белемнитов и остатков ихтиофауны.

Характерными особенностями комплекса фораминифер, встреченного в нижнем кимеридже Рявкинской площади, являются видовое разнообразие кристеллярий и развитие ребристых форм из группы *Cristellaria costata* (Ficht. et Möll.).

Мощность отложений нижнего кимериджа на Рявкинской площади не превышает 17 м.

По данным Н. П. Туаева скважиной, заложенной на ст. Ганькино, были пройдены темносерые, почти черные и зеленовато-серые

плотные глины с прослойками мелкозернистых серых песчаников, реже глинистых известняков с фауной белемнитов. Здесь найден *Cylindroteuthis magnificus* (Ог. б.) (определение Г. Я. Крымгольца), характерный для верхнего кимериджа или низов волжского яруса.

В разрезе Омской скважины, выше верхнего оксфорда с *Amoeboceras alternans*, пройдены серые, почти черные аргиллиты, иногда сидеритизированные, чередующиеся с подчиненными прослойками глинистых желтовато-серых и почти черных известняков и глинисто-слюдистых алевролитов. Разрез характеризуется многочисленными остатками ихтиофауны, обломками аммонитов, неоднократно пиритизированных пелеципод и белемнитов, скоплениями многочисленных лингул (интервал 2343—2364 м).

Находка в интервале 2361,9—2367,9 м *Cylindroteuthis porrectus* Phil. (определение Г. Я. Крымгольца), встреченного в разрезе Барабинской опорной скважины, вместе с *Rasenia* подтверждает кимериджский возраст пород.

Недостаточная фаунистическая характеристика разрезов Викуловских скважин не позволяет провести расчленение, выделить ярусы в верхнеюрских отложениях.

В скв. 2-р (Викулово) в интервале 2018—2059 м породы содержат фауну пелеципод. Встречены *Aucella pallasi* var. *tenuistriata* La h., *Aucella bronni* La h. и *Pecten demissus* Phil. Приведенные виды имеют широкое распространение в верхнеюрских слоях и встречаются от верхнего оксфорда до нижневолжского яруса.

Здесь обнаружена фауна фораминифер: единичные экземпляры *Cristellaria* cf. *rüsti* Wisn., *Cristellaria* ex gr. *tumida* Matl., *Cristellaria* *uhligi* Wisn., *Cristellaria* sp., *Lagena globosa* W. et B.

Свообразная фауна аммонитов характеризует отложения зеленовато-серых и серых аргиллito-подобных глин в скв. 1-р (Татарск). Здесь в верхах (интервал 2454—2460 м) обнаружены *Rasenia* cf. *orbigny* Тогиг (? var. *suburalensis* Spath.), *Proraspasia* sp. (?), *Proraspasia* sp. и молодые экземпляры кардиоцерасов в плохой сохранности. Эти формы до вида неопределены.

Указанная фауна напоминает северные нижнекимериджские аммониты, описанные Слатом, но отличается от них своеобразной скульптурой. Определения этой фауны сделаны с большими ограничениями, поэтому отложения, включающие фауну, относятся к нижнему кимериджу условно.

Фораминиферовый комплекс татарского разреза, выявленный и прослеженный в слоях, включающих аммонитовую фауну и выше до глубины 2433 м, также отличается своеобразием. Зонального вида — *Cristellaria sibirensis* Kosugeva — здесь не удалось найти. Отсутствуют характерные виды остракод. Комплекс представлен следующими видами: *Cristellaria rotulata* Lamarc., *Cr. paulus* Zasp., *Cr. wisniowskii* Matl., *Cr. foliacea* Schw., *Cr. aff. deeckii* Wisn., *Cristellaria* aff. *tatariensis* Matl., *Cristellaria pseudocrassa* Matl., *Cristellaria compressaformis* Pallazo, *Cristellaria lanceolata* Schw., *Cristellaria* aff. *mangischlakensis* Matl., *Lagena* sp., *Darbyella* sp., *Haplophragmoides* sp., *Ammobaculites* sp., *Trochammina* aff. *rasacea* Zasp.

По данным В. И. Романовой (ВСЕГЕИ) отложения с характерным комплексом нижнекимериджских фораминифер прослежены в Тебисских разведочных скважинах.

Восточнее Тебисса отложения морского кимериджа прослежены в разрезе Барабинской опорной скважины. Здесь нижнекимериджские слои сложены темносерыми, почти черными аргиллитами. Аргиллиты включают обильные остатки ихтиофауны, пелеципод, белемнитов, лингул и аммонитов. Найдены: *Astarte aff. excavatoides* J 11 o v., *Pachiteuthis cf. breviaxis* P a v l., *Cylindroteuthis cf. specularis* P hill, *Cylindroteuthis cf. porrecta* P hill., *Rasenia* sp. (определения Г. Я. Крымгольца и Н. С. Воронец).

Из микрофaуны здесь встречены лишь редкие нехарактерные фораминиферы, не указывающие на возраст отложений.

На северо-востоке от Барабинска, в разрезе Колпашевской опорной скв. 2-р (Малиновский участок), выше аргиллитов (2362—2342 м) с верхнеоксфордскими фораминиферами отложения включают большое количество остатков ихтиофауны и обломки макрофaуны, главным образом пелеципод; встречены в одном образце единичные песчанистые фораминиферы, очень мелкие, плохой сохранности. Возраст отложений установлен по находкам верхнеюрского спорово-пыльцевого комплекса. Для дробного расчленения слоев и выделения ярусов обнаруженного палеонтологического материала недостаточно.

Тем не менее положение этих отложений в разрезе и отсутствие следов перерыва дают возможность предположить наличие отложений кимериджа в колпашевском разрезе. Подобный характер фаунистических остатков, обилие ихтиофауны, обломки пелеципод наблюдаются и в омском разрезе в отложениях выше верхнего оксфорда, отнесенных к нижнему кимериджу.

Присутствие кимериджских отложений в ларьякском разрезе не совсем ясно. В зеленовато-серых плотных алевритистых глинах в интервале 2497—2495 м выше глин с *Cardioceras* найден обломок аммонита с неясной ребристостью, поэтому даже родовую принадлежность определить невозможно. Фораминиферы отсутствуют. Выше этих отложений лежат песчаники с ауцеллами нижневолжского яруса. Возможно, что зеленовато-серые алевритистые глины с обломками аммоцитов и относятся к кимериджу. Стратиграфическое положение этих отложений и непрерывность ларьякского разреза подтверждают это предположение.

### Волжские отложения

Верхнеюрские образования Западной Сибири заканчиваются волжскими слоями.

Полное палеонтологическое обоснование для выделения нижнего и верхнего волжских ярусов известно для северных районов.

На Северном Урале в обнажениях системы рек Северной Сосьвы, Ляпина-Хулга и Тольи к нижневолжскому ярусу отнесены отложения с *Terebratula cf. strogonovi* O g b., *Aucella* sp.; верхневолжский ярус выделен по находкам характерных *Craspedites okensis* O r b., *Aucella volgensis* L a h.

В районе Тольинского буроугольного месторождения волжские слои по данным Н. Н. Михайлова и В. И. Романовой представлены чередованием песков и песчаников бурого цвета с прослойями известняковых конкреций. В породах многочисленны находки аммонитов — *Pavlovia schurovskii* (N i k i t i n) *Pochiteuthis* cf. *russiensis* O r b., пелеципод и фораминифер.

В Усть-Енисейском районе выделяются в основном отложения нижнего волжского яруса с фауной аммонитов типа *Perisphinctes*, *Dorsoplaniites* ex gr. *dorsoplatus* W i s c h n., *Belemnites magnificus* O r b., *Aucella pallasi* K e y s. и др.

Из фораминифер встречены песчанистые виды: *Ammodiscus incertus* O r b., *Haplophragmoides* aff. *emeljanzevi* L c h l.

К верхневолжскому ярусу в Усть-Енисейском районе отнесены отложения с *Craspedites* sp., *Aucella* ex gr. *fischeriana* O r b., *Modiola* aff. *sibirica* B o g d., *Thracia* cf. *lata* A g.

Значительно южнее Усть-Порта, в разрезе Ларькской опорной скважины, в интервале 2419—2411 м, в серых тонкозернистых слюдистых песчаниках найдена *Aucella* aff. *mosquensis* K e y s. Этот вид имеет распространение в верхнеюрских отложениях Европейской части Союза, в пределах кимериджа и нижневолжского яруса.

Несколько выше, в интервале 2376—2370 м, в известковистых песчаниках встречена *Aucella terebratuloides* La h (?). В центральных и северных районах Европейской части Союза *Aucella terebratuloides* La h (?) распространена в верхневолжских и валанжинских отложениях.

Неуверенность в тождество нашего вида с европейским не позволяет окончательно утверждать возраст изучаемых слоев.

Возможно, что песчаники интервала 2370—2376 м относятся уже к валанжину; на это указывает неокомский облик встреченного здесь спорово-пыльцевого комплекса. Микрофауна здесь и ниже не обнаружена.

До получения дополнительных палеонтологических данных песчаники относятся со знаком вопроса к верхневолжскому и валанжинскому ярусам.

В колпашевском разрезе скв. 2-р (Малиновский участок) предположительно к нижневолжскому ярусу отнесена верхняя часть нерасчлененных темносерых аргиллитов с остатками ихтиофауны и обломками пелептипод в интервале 2342—2311 м. Породы нижней части этого интервала непосредственно залегают на охарактеризованных фауной оксфордских слоях и относятся, повидимому, к кимериджу. Покрывается нерасчлененная пачка отложениями с валанжинской фауной фораминифер.

Отчетливо выражены волжские слои в южной части лиственности с характерным комплексом фораминифер. Они прослежены в глубоких разведочных скважинах Татарска и Тебисса.

В разрезах Татарских скв. 1-р (интервал 2394—2418 м), 2-р [2370—2451 (?) м] эти отложения переопределены фауной фораминифер и остатками ихтиофауны. Фауна фораминифер здесь представлена почти исключительно песчанистыми раковинками.

Скопления фораминифер приурочены к верхней части отложений. В нижней части, представленной светлосерыми песчаниками, фораминиферы встречаются реже, и присутствуют главным образом остатки ихтиофауны в большом количестве, переходящем в скопления. Из фораминифер в этой части разреза встречаются единичные экземпляры *Ammobaculites haplophragmoides* F u r s s. et P o l e n. Кверху отложения переходят в темносерые алевриты. Фауна песчанистых фораминифер в этих алевритах встречается в большом количестве.

Подавляющее большинство форм представлено раковинками семейства *Ammodiscidae*. Это главным образом *Ammodiscus incertus* Orb., *Ammodiscus tenuissimus* Gumbel. Встречаются *Ammobaculites haplophragmoides* Furss. et Polep.

Описанные песчаники и алевриты подстилаются слоями с нижне-кимериджской фауной. Выше залегают отложения нижнего валанжина.

В разрезе Тебисской скв. 1-р по изученным материалам в темно-серых аргиллитах в интервале 2159—2165 м встречена фауна песчанистых фораминифер. Преобладают раковинки *Haplophragmoides nonioninoides* (Reuss), в небольшом количестве встречены *Ammobaculites haplophragmoides* Furss. et Polep. Вместе с фораминиферами присутствуют остатки ихтиофауны.

В Барабинской скважине по данным В. Т. Балахматовой (ВСЕГЕЙ) нижневолжский ярус проходит в интервале 2001,5—1978 м. Здесь обнаружен небольшой комплекс фораминифер: *Haplophragmoides cf. volgensis* Mataj., *Trochammina* sp., *Miliolidae*, *Marginulina matulina* (Orb.), *Discorbis* sp.

Выше, отложения из интервала 1924—1978 м, по положению в разрезе, предположительно отнесены к верхневолжскому ярусу. Эти отложения не охарактеризованы фауной.

Западнее Татарска, в разрезе Омской опорной скважины, к волжским отложениям, так же как и в Колиашево, относится верхняя часть пачки темносерых, почти черных аргиллитов с остатками ихтиофауны и фауны пелепицопод. Пачка аргиллитов лежит под отложениями нижнего валанжина с аммонитовой фауной рязанского горизонта.

В Ганькинской скважине по данным В. С. Засицовой (ВНИГРИ, 1948 г.) к отложениям нижневолжского яруса относятся темно-серые и зеленовато-серые глины с прослойями мелкозернистых песков с включениями гальки мощностью до 11 м. В этих породах встречены: *Belemnites ex gr. porrectus* Phil. и *Cylindroteuthis ex gr. magnificus* (Orb.) (определение Г. Я. Крымгольца). Последняя форма характерна для нижневолжского яруса Среднего Поволжья и Эмбейской нефтеносной области.

Кроме указанных выше видов, породы содержат комплекс фораминифер в составе песчанистых форм — *Ammodiscus tenuissimus* (Gumbel.), *Glomospira* sp. indet., *Trochammina* sp. ind.— и известковистых — *Cristellaria embaensis* Furss. et Polep., *Cristellaria initabilis* Zasp., *Cristellaria paulus* Zasp., *Cristellaria infravolgensis* Furss. et Polep., *Marginulina matutina* (Orb.), *Marginulina aff. turgida*, *Lamarckina petoloidea* Zasp.

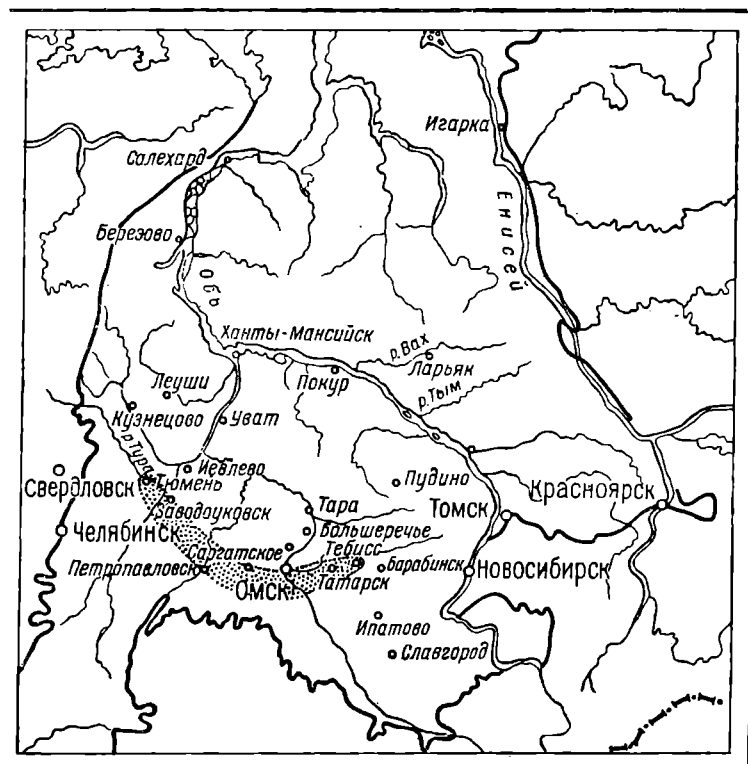
Преобладают песчанистые раковинки фораминифер, главным образом вид *Ammodiscus tenuissimus* (Gumbel.). На этом основании В. С. Засицова еще в 1948 г. выделила здесь зону с *Ammodiscus tenuissimus* (Gumbel.).

Далее к западу, в Приуралье, отложения нижневолжского яруса прослежены в разрезе Тюменской опорной скв. 1-р, в Учешевской скв. 4-р и к северо-востоку от Тюмени — в Покровке.

В тюменском разрезе отложения представлены серыми известковистыми глинами, переходящими в оливково-зеленые, с прослойями глинистых песчаников. В глинах обнаружены раковинны

иных. Г. Я. Крымгольцем определен *Pochyteuthis exadrata* Rom.

. И. Романова (ВСЕГЕИ, 1951 г.) выделила здесь характерный комплекс фораминифер: *Ammodiscus tenuissimus* (Gümbel), *odiscus incertus* (Ogb.), *Ammobaculites haplophragmios* et Polen., *Haplophragmoides aff. nonioninoides* (Reineck), *Haplophragmoides excavata* Cushing. et Watson, var. *umbilicalis*, *Haplophragmoides* sp., *Haplophragmoides aff. latidarsa*



4. Карта распространения фаунистической зоны *Ammodiscus tenuissimus* (Gümbel), *Ammodiscus incertus* Ogb. нижневолжский ярус (составил В. Ф. Козырева)

: nem., *Saracenaria pravoslavlevi* Fur gss. et Polen., *iria hoplites* Wisn., *Cristellaria* aff. *batrakiensis* Mja gulinina sp. Она выделила эти слои в микрофаунистическую зону с *Ammodiscus tenuissimus* (Gümbel) и *Ammobaculites haplophragmios* Fur gss. et Polen. (рис. 4).

Утешевской скв. 4-р (Тюменский район) обнаружен *Cyathis obsoluta* Fesch. По мнению Г. Я. Крымгольца (1952 г.) белемнита указывает на возможность присутствия в нижневолжского яруса. Вместе с белемнитом найдены форамины *Ammobaculites haplophragmios* Fur gss. et Polen. *Ammodiscus tenuissimus* (Gümbel) (глубина 1316 м). На северо-восточнее Тюмени отложения нижневолжского яруса с *Ammodiscus incertus* Ogb. и *Ammobaculites haplophragmios*

*des Furss. et Pole* п. прослежены в разрезах Покровских разведочных скв. 4-р, 6-р, 8-р и др.

Таким образом, отложения нижневолжского яруса в центральной и южной частях низменности выделялись по фауне белемнитов и фораминифер без подтверждения возраста аммонитовой фауны.

В 1955 г. впервые удалось найти нижневолжские аммониты в разрезе Большереченской скв. 1-р. Толща черных плотных аргиллитов мощностью в 25 м (интервал 2500—2475 м) переполнена пиритизированными отпечатками, обломками и ядрами преимущественно молодых экземпляров аммонитов *Perisphinctes* sp. indet. juv. или *Dorsoplaniites* sp. indet. juv. Эти формы молодые и скульптура — наиболее руководящий признак для фауны из керна, на этой стадии роста не может быть характерной.

Фораминиферы в черных аргиллитах отсутствуют. Повидимому, условий для существования фораминиферовой фауны здесь не было, как и в полосе низменности — от Омска до Колпашева — и далее к северу — в Ларьяке.

Районы, охарактеризованные микрофауной, протягиваются узкой полосой: в Тюменском Приуралье, на юге в Петропавловской области и до Татарска.

Комплекс фораминифер из отложений, которые мы относим к нижневолжскому ярусу Западной Сибири, своеобразен и не имеет сходства с комплексами из одновозрастных отложений ближайших областей Европейской части Советского Союза.

### Верхнеюрский спорово-пыльцевой комплекс

Наличие спорово-пыльцевых комплексов в верхней юре прослежено в разрезах Колпашева, Ларьяка и Большеречья. Причем во всех разрезах наблюдается совместное присутствие верхнеюрской фауны и спорово-пыльцевых комплексов.

Спорово-пыльцевые комплексы верхней юры заметно отличаются от среднеюрских комплексов резким увеличением количества пыльцы по сравнению со спорами. Споровый комплекс очень беден. Приводим список форм, встречающихся в спорово-пыльцевых комплексах сопоставляемых районов: *Bennettitalea*, *Cycadaceae*, *Ginkgoaceae*, *Coniferae*, *Brachyphillum*, *Podocarpus*, *Picea*, *Pinaceae*, *Podozamites*, cf. *Taxodiaceae*, *Selaginella*, *Coniopteris*, *Osmundaceae*, единично *Lygodium*, *Mohria*, *Aneimia*, *Leiotriletes* На и т. (спорово-пыльцевой комплекс представлен в табл. 40—45 приложения).

Для всех сопоставляемых районов характерно значительное преобладание пыльцы класса *Coniferales*, причем пыльца древних групп встречается реже, чем в средней юре. Наиболее часто встречается пыльца семейства *Pinaceae* с родом *Picea*, единичны зерна пыльцы *Cedrus*, *Abies*, *Pinus*.

Пыльца семейства *Podocarpaceae* встречается повсеместно. Пыльца цикадофитов присутствует во всех разрезах, но в меньшем количестве, чем в средней юре. Характерно обилие пыльцы рода *Brachyphillum* при обедненном составе голосеменных и папоротникообразных растений, причем это характерно не только для Западно-Сибирской низменности, но и для западных районов СССР (В. В. Зауер, 1954 г.). В восточных же районах и в районе

Ларька такого обилия *Brachyphillum* не обнаружено. Хотя и единично, но везде встречена пыльца семейства *Araucariaceae*.

Во всех районах в значительном количестве найдены зерна, условно относимые к семейству *Taxodiaceae*.

В споровой части комплекса отмечается много спор *Selaginella* трех видов: с пленчатым переспорием, с плотным переспорием и с шиповатой скульптурой экзины. Единично встречаются споры *Osmundaceae*, *Lygodium*, *Mohria*, *Aneimia*. В значительном количестве найдены споры *Coniopteryx* и споры группы *Leiotriletes* *Nau* m.

Говоря о растительности верхнеюрского периода, можно отметить, развитие хвойной тайги с примесью гингковых, в составе которой в отличие от средней и нижней юры имеется в большом количестве *Brachyphillum*. Интересно отметить, что в Ларькском районе пыльца этого рода представлена меньшим количеством, которое несколько возрастает в валанжине, но все же пыльцы *Brachyphillum* здесь меньше, чем в других районах.

Можно утверждать, что в юрском периоде большую роль играл древесный тип растительности, приуроченный, вероятно, к более повышенным участкам суши, а в пониженных местах широкого развития достигали паноротники и плауновые, свидетельствующие о влажности климата в данном периоде.

Сporово-пыльцевой комплекс в отложениях сопоставляемых районов обнаруживает чрезвычайно большое сходство в видовом составе, несмотря на колоссальные расстояния, разделяющие их местонахождение, что, повидимому, указывает на общность физико-географической обстановки на огромной площади Западно-Сибирской низменности. На основании этого можно говорить о существовании одной ботанико-географической провинции в юрский период.

---

## МЕЛОВЫЕ ОТЛОЖЕНИЯ

Отложения мелового возраста в Западной Сибири представлены двумя отделами: нижним и верхним. По мощности осадки занимают значительную часть в разрезе мезозоя низменности и вскрыты многочисленными скважинами от восточного склона Урала до Марийска и Тегульдета.

Разрез меловых отложений Западно-Сибирской низменности почти непрерывен. Выделяются охарактеризованные фауной или флорой слои валанжинского, готеривского, барремского, аптского (?), альбского, сеноманского (?), туронского, сантонского, маастрихтского и датского (?) ярусов. До сих пор не представляется возможным выделить в низменности осадки коньякского и кампанского ярусов, так как руководящей фауны пока не найдено. Со знаком вопроса выделены осадки апта и сеномана, содержащие характерные спорово-пыльцевые комплексы. К датскому ярусу условно отнесены морские отложения выше маастрихта со своеобразным комплексом микрофауны. В юго-восточной окраине низменности, в Чулымо-Енисейской впадине, отложения датского (?) яруса выделены по наличию характерного спорово-пыльцевого комплекса.

### НИЖНИЙ МЕЛ

#### Валанжин

Из морских осадков нижнего мела наиболее широкое распространение в Западной Сибири имеют отложения валанжинского яруса.

Отложения валанжина вскрыты целым рядом скважин на севере, в Усть-Енисейском районе, на юге низменности и обнаруживаются в районе бассейна р. Северная Сосьва. Литологически эти образования представлены аргиллитоподобными глинами, песками и песчаниками серого и темносерого цвета. Отложения богаты фауной аммонитов, пелеципод, фораминифер, реже встречаются остракоды. Богат и разнообразен спорово-пыльцевой комплекс валанжина, но по флористическому составу пыльцы не отличается особым своеобразием по сравнению с юрским. Что касается спор, то в валанжине появляются формы типично меловой флоры, достигающие своего развития уже в готериве и барреме.

Обильная фауна аммонитов позволила расчленить отложения валанжина на три отдела: нижний, средний и верхний.

Нижний валанжин, охарактеризованный аммонитовой фауной, прослеживается на большой территории -- в разрезах скважин

районов Омска, Саргатки, Большеречья, Тары, Татарска, Колпашева и Покура.

Во всех указанных пунктах выделена аммонитовая зона *Tollia stenomphala*.

Первые находки аммонитов приурочены к более нижним горизонтам валанжина. Это раковины рода *Subcraspedites*, характерного для рязанского горизонта Европейской части Советского Союза. В Западной Сибири представители рода *Subcraspedites* имеют более широкое распространение и характеризуют весь нижний валанжин.

Аммониты зоны *Tollia stenomphala* представлены несколькими видами: *Tollia anabarensis* Pavlov (экземпляры с прекрасной лопастной линией), *Tollia sibirica* Klimova n. sp., представленный молодыми, средними и взрослыми оборотами, *Tollia* sp. nova. (Bodylevsky) — вид, характерным признаком которого является длинная стадия двойного ветвления.

Распространение первых двух аммонитов прослеживается в разрезах скважин и в обнажениях на севере низменности. Новый вид Бодылевского впервые найден в обнажениях р. Анабар.

В среднем валанжине обнаружен обломок аммонита с совершенно четкой скульптурой — *Temnoptychites* aff. *Igovensis* Nikitin, который является руководящим видом для среднего валанжина Поволжья.

Из верхневаланжинских аммонитов в разрезе низменности встречен обломок крупного *Dichotomites*, сходного с северогерманским *Dichotomites polytomus* Коенен, и многочисленные отпечатки мелких *Polyptychites* ex gr. *Polyptychus* Keyserling.

Из пелеципод в валанжине низменности встречаются *Aucella volgensis* хорошей сохранности, характерные для нижнего валанжина.

Фораминиферы в валанжине представлены семействами: *Saccaminidae*, *Hyperamminidae*, *Reophacidae*, *Ammodiscidae*, *Lituolidae*, *Verneuilinidae*, *Textularidae*, *Trochamminidae*, *Lagenidae*, *Polymorphinidae*, *Rotaliidae* и др.

Из остракод встречаются створки раковин родов: *Palaeocytheridae*, *Progonocythere*, *Lophocythere* и др.; находки остракод приурочены к верхам валанжина.

Впервые отложения валанжина были установлены на юго-западе низменности в Петропавловской области. В скважине, заложенной на ст. Ганькино, были вскрыты эти отложения мощностью 70 м. В. С. Заспеловой здесь встречен разнообразный комплекс фораминифер: *Haplophragmoides nonioninoides* (Reuss), *Glomospira gaulina* (Bergt.), *Ammobaculites subaequalis* Matl., *Trochammina* sp., *Verneuilina* sp., *Cristellaria münsteri* (Roem.), *Cristellaria parallela* Reuss, *Cristellaria scherlocki* Zasp., *Cristellaria observabilis* Zasp., *Cristellaria notus* Zasp., *Marginulina gracilissima* (Reuss), *Marginulina gracilissima* (Reuss) var. *curta* Zasp., *Saracenaria bononiensis* (Berthelin), *Globulina lacrima* (Reuss).

Последний вид — *Globulina lacrima* (Reuss) — выделен впервые В. С. Заспеловой в зональный по большому количеству экземпляров.

Отложения зоны *Globulina lacrima* Reuss В. С. Заспеловой были разделены на три подзоны и отнесены к неокому на основании сопоставления с неокомом Эмбенской нефтеносной области и Сред-

него Новолужья. Такие виды, как *Haplophragmoides nonioninoides* (Reuss), *Glomospira gaultina* (Bert.), *Cristellaria münsteri* (Röem.), *Cristellaria parallela*, *Cristellaria acutauricularis* (F. et M.), *Marginulina graci lissima* и *Globulina lacrima* Reuss, имеют широкое распространение в неокомских отложениях указанных областей, главным образом в готериве.

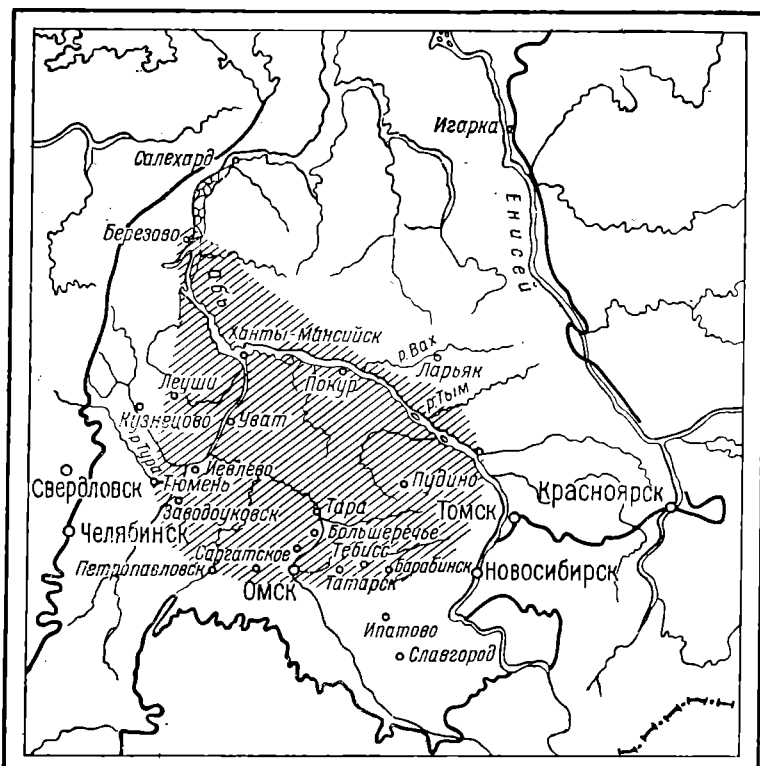


Рис. 5. Карта распространения фаунистической зоны с *Globulina lacrima* (Reuss) — валанжин (составила В. Ф. Козырева).

Как показали дальнейшие исследования многочисленных разрезов неокома Западной Сибири, характерный комплекс фораминифер зоны *Globulina lacrima* обнаружен вместе с руководящими валанжинскими аммонитами.

Распространение и приуроченность к валанжину комплекса зоны *Globulina lacrima* выдерживается на значительной территории — от Березова на севере до Петропавловской области на юге и до Колпашева на востоке (рис. 5).

Неясным остается положение в разрезе Уватской опорной скважины, где в 200-метровой толще отложений, включающей типичный комплекс зоны *Globulina lacrima*, обнаружены по данным ВСЕГЕИ цирены и готеривский аммонит *Speetoniceras* (определение А. Е. Глазуновой).

В юго-западной части низменности, включая и Тюменское Приуралье, отложения валанжина хорошо охарактеризованы фауной фораминифер.

В районе ст. Булаево отложения валанжина вскрыты группой разведочных скважин, заложенных в селах Яковлевка, Октябрьское и Рявикино. Выход керна из скважин указанных площадей был незначителен, поэтому можно только говорить о присутствии валанжина в разрезах. Полного представления о характере и распространении органических остатков получить не удалось.

На Рявикинской площади из скв. 3-р (интервал 1328—1322 м) и 5-р (интервал 1314—1245 м) были исследованы серые и зелено-вато-серые глины. Обнаружен фораминиферовый комплекс валанжинских песчанистых форм: *Glomospira gaultina* (B e r t.), *Glomospira* sp., *Haplophragmoides nonioninoides* (R e u s s), *H. aff. sibirica* Z a s p., *Trochammina subbotinae* Z a s p., *Pseudocyclammina grandis* R o m., *Ammobaculites agglutinans* (O r b.), *Spiroplectammina grata* B u l a t o v a, n. msc., *Verneuilina neocomiensis* M j a t l.

Находки спор и пыльцы в рявикинском разрезе незначительны, встречены единичные зерна.

На Октябрьской площади отложения валанжина представлены серыми глинями, глинистыми алевритами с прослойями мелкозернистого песчаника. В скв. 1-р (интервал 1296—1290 м) обнаружены фораминиферовый комплекс, типичный для валанжинской зоны *Globulina lacrima* R e u s s, а также остракоды и спорово-пыльцевой комплекс.

В составе фораминиферового комплекса присутствуют: *Glomospira gaultina* B e r t., *Reophax scorpiurus* M o n t., *Ammobaculites* sp., *Pseudocyclammina grandis* R o m., *Trochammina rosacea* Z a s p., *Trochammina neocomiana* M j a t l., *Haplophragmoides nonioninoides* (R e u s s), *Marginulina gracilissima* (R e u s s), *Marginulina* sp., *Cristellaria aff. hoplites* W i s n i o w s k i, *Cristellaria paulus* Z a s p., *Cristellaria observabilis* Z a s p., *Globulina lacrima* R e u s s, *Miliammina* sp., из остракод: *Palaeocytheridea cf. acavatilis* M a n d.

Спорово-пыльцевой комплекс сравнительно беден. Голосеменные растения представлены в основном хвойными *Coniferae*, занимающими в комплексе до 67,0 %. По морфологическим особенностям встречающая здесь пыльца *Coniferae* типична для нижнемеловых отложений.

Споры папоротников в комплексе более разнообразны в видовом отношении по сравнению с пыльцой голосеменных растений. Здесь присутствуют: *Lycopodiaceae*, *Gleichenia*, *Cibotium*, споры семейства *Schizaceae*, *Ophioglossum*. Наиболее часто встречающимися в комплексе являются споры неопределенной группы *Leiotriletes* — 8,5 % от общего числа зерен. Процентное содержание всех встреченных спор 24 %.

Несколько обедненный и плохой сохранности комплекс зоны *Globulina lacrima* встречен в скв. 2 этой же площади в исследованных четырех образцах из интервала 1350,4—1296,1 м.

На Яковлевской разведочной площади отложения валанжина представлены в нижней части глинами темносерыми, к верхам переходящими в светлосерые пески, переслаивающиеся песчаниками.

Обращает внимание массовое скопление растительных остатков в верхней песчанистой части.

Из разреза скв. З-р Яковлевки в исследованных образцах керна из интервала 1124—1081 м обнаружена фауна песчанистых и известковистых валанжинских фораминифер: *Glomospira* sp., *Haplophragmoides excavata* C u s h. et W a t ., *Haplophragmoides nonioninoides* (R e u s s), *Pseudocyclammina grandis* R o m ., *Trochammina aff. rosacea* Z a s p ., *Ammobaculites agglutinans* (O r b .), *Ammobaculites* sp., *Cristellaria notus* Z a s p ., *Cristellaria dampelae* Z a s p ., *Cristellaria observabilis* Z a s p ., *Cristellaria sherlocki* Z a s p ., *Cristellaria* sp.

Несколько выше по разрезу скв. З-р на глубине 1065 м, встречен обломок аммонита с совершенно четкой скульптурой — *Temporty- chites* aff. *Igowensis* N i k i t i n — руководящая форма среднего Поволжья валанжина.

Комплекс фораминифер, характерный для валанжинской зоны с *Globulina lacrima* R e u s s , встречен был в Яковлевской скв. 6-р в интервале 1078—1065,8 м. Здесь в комплексе присутствует зональный вид *Globulina lacrima* R e u s s .

В Луговской скв. 1-р по данным Т. В. Долининой (1952 г.) к валанжину относятся мелкозернистые песчаники с прослойями плотных известковистых алевролитов, вскрытых в интервале 1083—1183 м. Алевролиты местами переполнены раковинами *Aucella* ex gr. *inflata* T o i l . (определение В. И. Бодылевского). Указанный вид имеет распространение в основном в нижнем валанжине Европейской части Советского Союза, но встречается и в среднем валанжине.

Глубокими разведочными скважинами отложения валанжина вскрыты на Заводуковской площади. Здесь разрез валанжина представлен песчано-глинистой толщей, иногда с прослойями доломитизированного известняка. Встречаются обломки фауны пелепципод, растительный детрит. Заводуковский разрез охарактеризован присутствием ауцелл, типичным комплексом фораминифер зоны *Globulina lacrima* и единичными находками остракод.

В Тюменской опорной скв. 1-р к валанжину относится толща пород, вскрытая в интервале 1348—1246 м. Литологически породы представлены темносерыми мергелями, чередующимися с зеленовато-серыми плитчатыми глинами, алевролитами, мелкозернистыми песчаниками и песками, кверху переходящими в темносерые аргиллиты с прослойями алевролитов и мелкозернистых песчаников. Заканчивается разрез пачкой зеленовато-темносерых листоватых аргиллитов с прослойями глауконитовых алевролитов и рыхлых песчаников с сидеритами.

В алевролите на глубине 1307 м встречены *Polyptychites* sp. (определение В. И. Бодылевского и Н. П. Лупнова), а также раковины пластинчатожаберных и гастропод. В самой верхней пачке встречаются обломки гладких аммонитов неокомского типа и раковинки пластинчатожаберных. Отложения содержат характерный комплекс валанжинских фораминифер: *Pseudocyclammina grandis* R o m ., *Glomospira multivoluta* R o m ., *Trochammina neocomiana* M j a t l ., *Haplophragmoides nonioninoides* (R e u s s ), *Ammobaculites* ex gr. *agglutinans* O r b ., *Verneuilina neocomiensis* M j a t l ., *Cristellaria* ex gr. *navicula* O r b ., *Cristellaria* aff. *planuiseula* R e u s s , *Cristellaria intravolgensis* F u r s s . et P o l e n ., *Cristellaria planuiscula* R e u s s , *Cristellaria notus* Z a s p ., *Cristellaria*

*sherlocki* Zasp., *Saracenaria* sp., *Marginulina* aff. *parallelia* Reuss, *Globulina lacrima* Reuss.

Северо-восточнее Тюмени отложения валанжина вскрыты группой разведочных скважин в Покровке. В толще темносерых, почти черных аргиллитов, достигающих мощности до 140 м, обнаружен типичный комплекс валанжинских фораминифер: *Reophax scorpiurus* Montfort, *Glomospira multivoluta* Rom., *Haplophragmoides nonioninoides* (Reuss), *Haplophragmoides* aff. *sibiricus* Zasp., *H. volubilis* Rom., *Recurvoides* sp. *Ammobaculites* aff. *agglutinans* (Orb.), *Ammobaculites fontinensis* Terguem, *Pseudocyclammina grandis* Rom., *Trochammina neocomiana* Matl., *Trochammina rosacea* Zasp., *Cristellaria observabilis* Zasp., *Cristellaria initabilis* Zasp., *Cristellaria münsteri* Rom., *Marginulina gracilissima* Reuss и др.

Кроме фораминифер, в отложениях встречаются остатки ихтиофауны и большое количество обломков макрофлоры.

Юго-восточнее Покровки, ближе к центральной части Западно-Сибирской низменности, отложения валанжина вскрыты рядом опорных и разведочных скважин: в Викулово, Таре, Большелечье, Саргатке и Омске. Эти районы являются основными, где прослежены аммонитовые зоны валанжина.

В наиболее южном омском разрезе первые находки аммонитов приурочены к самым низам валанжинских отложений. На глубине 2344—2345,5 м в темных, почти черных глинах обнаружен *Subcraspedites* aff. *bidevexus* Bogoslovskii. Выше, в 20-метровой толще аргиллитов, найдены только углистые растительные остатки; начиная с глубины 2324 м в разрезе встречаются обломки и неопределенные остатки аммонитов. Формы наиболее хорошей сохранности можно определить до рода *Tollia* sp. indet. В интервале 2257—2186 м обнаружены два экземпляра *Tollia anabarcensis* Pavlov. Таким образом, распространение нижневаланжинской аммонитовой зоны *Tollia stenomphala* в разрезе Омской опорной скважины прослежено в интервале 2317—2186 м.

Фауна фораминифер в омском разрезе распределается неравномерно. В нижней части (интервал 2301,1—2283 м) в темносерых аргиллитах обнаружено незначительное количество мелких песчанистых фораминифер, главным образом *Haplophragmoides excavata* W. et J. var *umbilicata* Daup.

Выше породы обогащаются фауной фораминифер, присутствует типичный комплекс зоны *Globulina lacrima* Reuss: *Haplophragmoides nonioninoides* (Reuss), *Trochammina neocomiana* Matl., *Cristellaria* aff. *infravolgensis* Furss., et Polen., *Cristellaria planuiscula* Reuss, *Cristellaria notus* Zasp., *Cristellaria sherlocki* Zasp., *Saracenaria* sp., *Marginulina* aff. *parallelia* Reuss, *Globulina lacrima* Reuss и др.

Спорово-пыльцевой комплекс в валанжине Омского разреза не обнаружен.

Севернее Омска находки валанжинских аммонитов обнаружены в плотных серых аргиллитах, вскрытых разрезом скв. 2-р на Саргатской разведочной площади. В интервале 2480,6—2478,0 м встречены *Tollia* sp. nov. B. (Bodylevsky). Фауна фораминифер в саргатском разрезе отсутствует.

В Большереченской опорной скважине в темносерых плотных

аргиллитах (интервал 2423—2429 м) встречены аммониты группы *Tollia*. Аммониты относятся к новому сибирскому виду *Tollia sibirica* Klimova n. sp. Несколько выше по разрезу, в интервале 2409,8—2416,8 м, обнаружен аммонит *Subcraspedites* sp. nova *indenom.* Отложения валанжина в большереченском разрезе лишены фораминифер.

Спорово-пыльцевой комплекс, обнаруженный в интервале 2475—2269 м, оказался довольно однообразным; на протяжении всей толщи валанжина комплекс характеризуется преобладанием пыльцы голосеменных растений (87,37%) над спорами папоротникообразных (9,13%).

В 100 км от Большелечья, в Тарской опорной скважине, отложения валанжина вскрыты в интервале 2500—2249 м. Это темносерые тонкослоистые алевритистые глины, переходящие иногда в более плотные аргиллиты. В верхней части разреза глины алевритистые с редкими прослойками крепких песчаников и алевролитов. В интервале 2485—2493 м глины переполнены фауной аммонитов зоны *Tollia stenomphala*. В основном здесь обнаружены раковины нового вида *Tollia sibirica* Klimova n. sp.; в верхах зоны встречен аммонит *Tollia annabarensis* Pavlov.

Фауна фораминифер в тарском разрезе распространяется неравномерно. В нижней части (интервал 2500—2410 м) обнаружен комплекс мелких раковинок, главным образом представителей семейств *Lituolidae*, *Lagenidae* и *Trochamminidae*. Характерных валанжинских видов в комплексе не встречено. Выше, в более песчанистых образованиях, находки фораминифер единичны. Это раковинки типичных валанжинских видов — *Haplophragmoides nonioninoides* (Reuss), *Globulina lacrima* Reuss, *Cristellaria aff. planuiscula* Reuss.

К востоку от Омска отложения валанжина вскрыты в разведочных скважинах Татарска, Тебисса, в Барабинской опорной скважине.

На Татарской разведочной площади разрез валанжина представлен темносерыми плотными глинами, переслаивающимися с серыми песчаниками, местами переходящими в алевролиты. Из аммонитов в глинах встречены *Subcraspedites* в скв. 4-р (интервал 2417,3—2422,3 м) и раковины *Tollia* sp. nova B. (Бодяускую) в скв. 1-р (интервал 2280—2349 м) и в скв. 2-р (интервал 2343—2349 м).

Особенно богат разрез валанжина Татарска фауной фораминифер. Обнаружен своеобразный комплекс, где известковистые формы значительно преобладают над песчанистыми. В составе комплекса следующие виды: *Proteonina* sp., *Reophax Scorpiorurus* Mon., *Ammodiscus incertus* (Orb.), *Glomospira* sp., *Pseudocyclamina grandis* Rom., *Haplophragmoides nonioninoides* (Reuss), *Ammobaculites agglutinans* (Orb.), *Ammobaculites beresovi* Kos. n. sp., *Spiroplectammina* sp., *Trochammina neocomiana* Mjatl., *Trochammina rosacea* Zasp., *Cristellaria* aff. *planuiscula* Reuss, *Cristellaria* aff. *grata* Reuss, *Cristellaria observabilis* Zasp., *Cristellaria naviculaformis* Rom., *Cristellaria bronni* Roem., (non Reuss), *Cristellaria paulus* Zasp., *Cr. multicus* Zasp., *Cr. sherlocki* Zasp., *Cr. aff. strombecki* Reuss, *Cr. notus* Zaspelova, *Cristellaria ex gr. münsteri* Roem., *Cristellaria*

*ex gr. similis* Reuss, *Cristellaria hoplites* Wisn., *Cristellaria aff. nuda* Reuss and Jarvis, *Marginulina aff. parallelia* Reuss, *Marginulina gracilissima* Reuss, *Marginulina gracilissima* Reuss var. *curta* Zasp., *Marginulina glabra* Orb., *Marginulina ex gr. striatocostata* Reuss, *Frondicularia* sp., *Tristix insignis* (Reuss), *Saracenaria* sp., *Dentalina* sp., *Globulina lacrima* Reuss, *Glandulina* ex gr. *laevigata* Orb., *Guttulina* sp., *Lingulina* sp., *Pseudoglandulina* sp., *Lagena globosa* W. et B., *Lagena apiculata* Reuss, *Lagena sulcata* W. et J., *Lamarcina* sp., *Epistomina* sp.

Кроме фораминифер, в комплексе встречены в небольшом количестве остракоды — *Palaeocytheridea* sp., *Palaeocytherides cf. glabra* (Mand.), *Progonocythere* (?) aff. *aspera* Mand.

Исключительное разнообразие и богатство фораминиферового комплекса в Татарске выделяют этот разрез среди других разрезов валанжина Западной Сибири.

В Тебисских разведочных скважинах валанжинские аммониты встречены в темносерых плотных аргиллитистых глинах, вскрытых скв. 1-р. На глубине 2153 м найдены два аммоныта плохой сохранности. Один из них с вопросом отнесен к роду *Subcraspedites*.

В интервале 2144—2130 м в плотных, сильно слюдистых аргиллитах с отпечатками растительных остатков фауна не найдена.

Выше по разрезу (интервал 2130—2071 м) вскрытые породы представлены алевритистыми, известковистыми и слюдистыми аргиллитами. В четырех изученных образцах встречен комплекс разнообразных валанжинских фораминифер: *Haplophragmoides nonioninoides* (Reuss), *Ammobaculites subaequalis* Matl., *Cristellaria ex gr. navicula* Orb., *Cristellaria rotulata* Lamarck, *Cristellaria aff. bronni* Roem., (non Reuss), *Marginulina aff. bulata* Reuss, *Dentalina* sp., *Globulina* sp., *Pseudoglandulina* sp. 1, sp. 2, *Lagena* sp., *Lamarcina* sp., *Marginulina jonesi* Reuss, *Marginulina gracilissima* (Reuss) var. *curta* Zasp.

Приведенный комплекс не богат характерными видами. Полной характеристики тебисского разреза валанжина не удалось получить. Отбор керна при бурении произведен с большими пропусками в интервалах.

Далее на восток от Тебисса морской валанжин избестен по материалам бурения Барабинской опорной скважины. Здесь отложения валанжина вскрыты в интервале 1849—2001 м. По данным Н. Н. Ростовцева в разрезе выделяются две части: нижняя мощностью около 119,5 м (сложена алевритовыми глинами и мергелями серыми и зеленовато-серыми, плотными, неслоистыми, с прослойями известковистых песчаников и алевролитов) и верхняя мощностью 38,5 м (представлена в основном песчаниками мелкозернистыми светлыми известковистыми).

В нижней части встречены *Macrodon* (?) sp., *Tancredia* sp., *Corbicella* sp., а на глубине 1976 м В. И. Романовой (ВСЕГЕИ) определены фораминиферы: *Cristellaria* sp., *Marginulina matutina* Orb., *Haplophragmoides cf. volgensis* Matl., *Trochammina* sp., *Discorbis* sp. и др. Возможно, что этот комплекс фораминифер соответствует комплексу глобулиновой зоны, распространенной в других разрезах валанжина.

В верхней песчанистой части найдены *Tellina* sp., *Entolium* sp. indet., *Esthoria* sp. и ауделлы. Фораминифер здесь не встречен.

К северо-востоку от Барабинска отложения морского валанжина прослежены в районе Колпашево. В опорной скв. 2-р, расположенной на Малиновском участке, вскрыты темносерые аргиллиты и алевролиты. В породах обнаружены единичные раковины аммонитов, пелепицопод и довольно обильная фауна фораминифер.

На глубине 2288,75 м встречен аммонит *Tollia* sp. *nova* B (В о - д у л е в с к у) — вид, характерный для нижневаланжинской зоны *Tollia stenomphala*.

Из пелепицопод на глубине 2273 м обнаружена *Limma aff. hausmanni* D u n k — вид, известный из юрских отложений Крыма, Германии и Бельгии. Выше по разрезу, до глубины 2215 м, в аргиллитах встречены раковины *Pecten* и *Cyprina* плохой сохранности и на глубине 2209 м обнаружена *Nuculana ex gr. spectonensis* W o o d s, имеющая широкое распространение в отложениях верхней юры и нижнего мела Европейских провинций.

Небольшой фактический материал, плохая изученность пелепицоподовой фауны не дает возможности сделать какие-либо выводы о стратиграфическом распространении указанных выше видов в мезозое Западной Сибири.

Фораминиферовый комплекс, обнаруженный в валанжине колпашевского разреза, содержит характерные для этих отложений виды: *Haplophragmoides nonioninoides* (Reuss), *Haplophragmoides volubilis* Rom., *Ammobaculites beresovi* Kosugeva, n. msc., *Globulina lacrima* Reuss *Cristellaria multicus* Zasp. и другие виды: *Ammodiscus tenuissimus* (G ü m b e l.), *Ammodiscus incertus* O g b., *Haplophragmoides excavata* C ushman et Waters var. *umbilicatula* Da i n, *Trochammina aff. rosacea* Zasp., *Ammobaculites aequalis* M jat l., *Marginulina striatocostata* Reuss, *Marginulina glabra* Reuss.

Представляют интерес находки в довольно большом количестве в колпашевском разрезе раковинок *Ammodiscus tenuis simus* (G ü m b e l.) и *Ammodiscus incertus* O g b., редко встречающихся в валанжинских отложениях Западно-Сибирской низменности. Известно массовое присутствие, особенно второго, в нижневолжском ярусе верхней юры, в аммодискусовой зоне. Очевидно, в районе Колпашево существовали благоприятные условия для развития аммодискусов в валанжинском бассейне и не было их в конце верхней юры (см. «Нижний волжский ярус»).

Кроме фауны, для отложений валанжина колпашевского разреза выделен очень бедный спорово-пыльцевой комплекс, насчитывающий до 364 зерен.

Комплекс характеризуется преобладанием пыльцы голосеменных растений (до 74,73%) над спорами напоротникообразных (19,23%), неопределенные зерна составляют 6,04%.

Из спор наиболее часто встречаются представители семейства *Osmundaceae* рода *Osmunda*; значительно меньше — *Schizaceae*, *Leiotriletes* Naum., *Lophotriletes* Naum. единично — *Cibotium* и *Stenozonotriletes* Naum. Из плаунов в комплексе встречены споры *Selaginella* и единично *Lycopodiaceae*.

В пыльцевом комплексе доминирует пыльца *Coniferae* — до 75,37%, значительно меньше пыльцы рода *Brachyphyllum* —

до 6,25%, семейство *Podocarpaceae* с родом *Podocarpus* — 2,35%, семейство *Pinaceae* — 6,98%, *Picea* и единично *Cedrus*. Кроме того, в комплексе встречается пыльца семейства *Ginkgoaceae* — 4,41%, единично *Cycadaceae*.

Приведенный комплекс встречен в интервале 2275—2154 м. Морфология зерен и состав полученного спорово-пыльцевого комплекса указывают на нижнемеловой возраст. Более точного указания на возраст отложений комплекс не дает из-за бедности состава.

Далее на восток, в опорной скважине Максимкина Яра палеонтологических остатков для выделения отложений валанжина не найдено.

В разрезе Покурской опорной скважины отложения валанжина, вскрытые в интервале 2353,7—2167,77 м, представлены толщей темносерых, почти черных глинистых алевролитов, чередующихся с плотными аргиллитами и серыми песчаниками.

Отложения богаты остатками растений, спорово-пыльцевыми комплексами. Найдены фауны здесь немногочисленны. На глубине 2253,0 м найден аммонит *Tollia* sp., указывающий на присутствие в разрезе нижневаланжинской зоны с *Tollia stenomphala*.

Несколько ниже, в интервале 2260,64—2291,76 м, встречены немногочисленные находки фораминифер, характерные для валанжинской зоны *Globulina lacrima* Reuss: *Haplophragmoides nonioninoides* (Reuss), *Cristellaria* aff. *planuiscula* (Reuss), *Cristellaria* sp. (aff. *intermedia* Reuss), *Globulina lacrima* Reuss.

Распространение характерного спорово-пыльцевого комплекса в покурском разрезе наблюдается с глубины 2353,7 м и до глубины 2145,8 м, т. е. выше верхней границы валанжина. Отложения с глубины 2167,77 м и выше относятся уже к горизонту по фауне цирен. Повидимому, флора реагировала медленнее на смену условий во времени. Спорово-пыльцевой комплекс валанжина покурского разреза богат: в нем насчитывается более 8000 зерен. Характеризуется комплекс присутствием спор плаунов, папоротников и пыльцы голосеменных растений. Последняя резко преобладает над спорами, составляя 62,6%. На долю спор приходится 19,4%; неопределенные зерна составляют 18% (спорово-пыльцевой комплекс представлен в табл. 48—49 приложения).

Значительное место принадлежит пыльце древних хвойных *Coniferae*.

Пыльца семейств *Bennetiales*, *Ginkgoaceae*, *Podocarpaceae* и *Brachyphyllum* присутствует в небольшом количестве. Встречается пыльца *Taxodiaceae*.

Комплекс богат родовым разнообразием спор плаунов и папоротников. Преобладают споры неопределенной группы *Leiotriletes* Naum, относимой к *Coniopteris*; в меньшем количестве *Trachytriletes* Naum, *Acanthotriletes* Naum, *Chomotriletes* Naum.

Значительный процент принадлежит неопределенным спорам. Второе место в списке спор принадлежит спорам семейства *Osmundaceae* с родом *Osmunda*, далее идут споры семейства *Schizaceae* с родами *Aneimia*, *Lygodium*, *Mohria* и споры плаунов *Selaginella*.

Анализируя спорово-пыльцевой комплекс из покурского разреза, можно сказать, что в валанжинское время в районе произ-

растали леса, состоящие преимущественно из хвойных со значительной примесью бениеттитов и гинкговых; подлесок составляли разнообразные папоротники; во влажных местах росли брахиоподы.

На северо-восток от Покура, в ларьянском разрезе, отложения валанжина, вскрытые в интервале 2383,5—2243,0 м, представлены алевролитами глинистыми серыми, с прослоями мелкозернистых серых песчаников и небольших прослоев аргиллитов алевритистых крепких серых и темносерых.

Отложения лишены какой-либо фауны, но содержат комплекс пыльцы и спор (спорово-пыльцевой комплекс представлен в табл. 46, 47 приложения).

В спорово-пыльцевом комплексе валанжина по сравнению с верхнеюрским наблюдается обеднение флористического состава как по количественному содержанию форм, так и в видовом отношении.

В спорово-пыльцевом комплексе ларьянского разреза значительное место занимает пыльца голосеменных (до 58,71%); спор папоротникообразных значительно меньше (до 34,08%). Неопределенные зерна составляют 7,21%.

Высокий процент хвойных в комплексе косвенно указывает на то, что в Ларьяке, вероятно, имеем дело с прибрежными осадками валанжинского бассейна.

Из папоротникообразных в валанжине найдены такие юрские формы, как *Selaginella*. В значительном количестве отмечаются споры папоротников из семейства *Osmundaceae*, *Dicksoniaceae* с родом *Dicksonia*. Присутствуют различные споры из группы *Leiotriletes* Н а у м., повидимому, принадлежащие папоротнику *Coniopteris*, они, так же как и в верхней юре, доминируют и составляют до 66,4% от общего количества спор.

Заметную роль в валанжине начинают играть споры *Schizaceae* с родом *Lygodium*, почти отсутствующие в юрском комплексе. Здесь они составляют 6,5% комплекса.

Пыльцевой комплекс валанжина в ларьянском разрезе представлен теми же видами, что и в юре. Обращает внимание разнообразие представителей хвойных растений, составляющих до 64,19%. Довольно многочисленны и представители семейства *Ginkgoaceae* с родом *Ginkgo*, составляющие 17,14%. В комплексе определены представители *Bennetitales* — 1,53% и *Cycadaceae* — 1,3% (зерна более мелкие).

В более нижних горизонтах исследуемой толщи пыльца рода *Brachyphyllum* присутствует до 12,78%, т. е. в большем количестве, чем в юрских отложениях ларьянского разреза. Кроме того, в комплексе присутствуют представители семейства *Podocarpaceae* — 1,06% и пыльца *Picea* — 2,0%.

Спорово-пыльцевой комплекс валанжина в Ларьяке довольно разнообразен на протяжении всей толщи, хотя наибольший процент цикадофитов и пыльцы рода *Brachyphyllum* приурочен главным образом к нижним горизонтам разреза.

Исследования показали, что спорово-пыльцевой комплекс валанжина мало отличается от верхнеюрского. Растительность юры и нижнего мела была более стабильна, чем фауна. Многие формы, развивающиеся в юрское время, переходили в нижний мел.

Отложения валанжина на северо-западе низменности, в районе Сверного Урала, вскрыты опорной скважиной в Березове. Разрез представлен аргиллитами темносерого и черного цвета с большим содержанием пирита. В отложениях встречаются пелепицоподы плохой сохранности, мелкие ростры белемнитов и фауна фораминифер.

Фораминиферовый комплекс, встреченный в аргиллитах в интервале 1248—2306 м, состоит из следующих видов: *Risammina* sp., *Proteonina scherborniana* Chapt. *Ammodiscus incertus* Orb., *Glomospira multivoluta* Rom., *Haplophragmoides nonioninoides* (Reuss), *Haplophragmoides excavata* Cushman et Waters var. *umbilicatula* Dain, *Pseudocyclamina grandis* Rom., *Ammobaculites agglutinans* (Orb.), *Ammobaculites berasovi* Kosyrev a n. msc, *Verneuilina neocomiensis* Matl., *Gaudryina* sp., *Heterostomella* sp., *Trochammina rosacea* Zasp., *Trochammina neocomiana* Matl., *Cristellaria infravolgensis* Furss. et Pole n. var. *neocomiana* Rom., *Cristellaria multicostata* Zasp., *Cristellaria observabilis* Zasp., *Cristellaria oligostegia* Reuss, *Cristellaria cf. planuiscula* Reuss, *Marginulina striatocostata* Reuss.

Приведенный комплекс почти целиком состоит из характерных видов, имеющих широкое распространение в валанжине Западной Сибири. Отличительной особенностью березовского комплекса является преобладание в нем раковинок рода *Trochammina*, некоторые образцы переполнены трохамминами.

Из изучаемых разрезов в южной половине низменности отложения верхнего валанжина достоверно известны пока только в районе Викулово. Здесь обнаружены верхневаланжинские аммониты. Нахолки приурочены к темносерым аргиллито-подобным глинам, вскрытым разведочными скважинами. В скв. 2-р на глубине 1896 м найден обломок крупного *Dichotomites*, сходного с северогерманским *Dichotomites polytomus* Koepen, и многочисленные отпечатки мелких раковин аммонитов *Polyptychites ex gr. polyptychus* Keyserling (интервал 1896—1953 м). Те же отпечатки мелких полиптихитов обнаружены в разрезе Викуловской скв. 1-р в интервале 1866—1872 м.

Выше находок аммонитов в викуловском разрезе валанжина наблюдается переслаивание аргиллито-подобных глин с песчаниками серого цвета. К кровле прослои песчаников увеличиваются.

Отложения валанжина в Викулово включают довольно богатый комплекс фораминифер. В нижней части разреза скв. 2-р в интервале 1922—1918 м обнаружен комплекс песчанистых и известковистых форм: *Proteonina* sp., *Haplophragmoides cf. nonioninoides* Reuss, *Ammobaculites* sp., *Trochammina* sp., *Spiroplectammina* sp., *Cristellaria aff. infravolgensis* Furss. et Pole n., *Cristellaria aff. compressa* Reuss, *Marginulina striata* (W. et J.), *Lagena striata* (W. et J.), *Discorbis* sp.

Как видно из приведенного, комплекс не имеет характерного для валанжина облика. Отличительной особенностью его является преобладание песчанистых форм в количественном отношении, главным образом раковинок *Ammobaculites* sp.

Присутствие типичного валанжинского комплекса фораминифер

зоны *Globulina lacrima* Reuss наблюдается выше, в интервале 1876—1832 м.

Присутствуют: *Pseudocyclamina grandis* Rom., *Ammobaculites aff. agglutinans* (Orb.), *Haplophragmoides sibiricus* Zasp., *Proteonina* sp., *Trochammina neocomiana* Matl., *Cristellaria ex gr. müntzeri* Roem., *Cristellaria aff. infravolgensis* Furss. et Polen., *Cristellaria aff. magna* Matl., *Cristellaria planulicula* Reuss, *Cristellaria notus* Zasp., *Marginulina costata* Batsch., *Marginulina aff. parallela* Reuss, *Globulina lacrima* Reuss. Последний вид присутствует почти в каждом изученном образце пород.

Таким образом, фораминиферовая зона с *Globulina lacrima* в Западной Сибири имеет широкое вертикальное распространение: от нижнего до верхнего валанжина.

Выше по разрезу Викуловской скв. 2-р в интервале 1832—1707 м фауна не обнаружена. Верхняя граница валанжинских отложений проводится на глубине 1707 м, по появлению пестроцветных образований в разрезе.

Заканчивая обзор отложений валанжина Западной Сибири, можно сделать следующие выводы.

1. В разрезе Западной Сибири отложения валанжинского яруса представлены полным комплексом: нижним, средним и верхним отделами.

2. Фауна аммонитов указывает, что на территории Западной Сибири на всем протяжении валанжинского века существовал бореальный бассейн.

Аммониты Западной Сибири в большинстве своем являются типичными представителями валанжинских ассоциаций бореальных провинций Европы и Северной Сибири. В то же время на материале исследованных разрезов удалось выявить новые сибирские виды, пока известные только в низменности.

3. Фауна фораминифер валанжина Западной Сибири своеобразна — в основном это комплекс зоны *Globulina lacrima* Reuss. Наблюдается изменчивость этого комплекса на территории низменности. Так, в юго-западной части основными преобладающими членами комплекса являются крупные песчанистые формы из семейства *Lituolidae*. В южных разрезах (Татарск) преобладают известковистые фораминиферы, в основном *Rotaliidae* и *Lagenidae*. В разрезах Омска, Колпашево, Викулово присутствует смешанный комплекс известковистых и песчанистых форм. Сравнительно бедны фауной фораминифер отложения валанжина в Таре и в Покуре. Лишены фораминифер образования валанжина в Саргатке, Большелеречье и Ларьяке. На Северном Урале, в Березове, комплекс фораминифер валанжина близок к юго-западному, но отличается преобладанием раковинок семейства *Trochamminidae*.

4. Найдки фауны остракод в валанжине низменности незначительны. Приурочены они к южным разрезам (Заводоуковск, Покровка, Татарск) и представлены морскими формами: *Palaeocytheridea*, *Progonocythere*, *Lophocythere*.

5. Спорово-пыльцевые комплексы в южных разрезах валанжина отсутствуют. В Колпашево комплекс выявлен, но не несет в себе характерных валанжинских черт.

Более полные комплексы встречены в разрезах опорных скважин

Ларьякской, Покурской и Большереченской. Здесь комплексы включают еще типичные верхнеюрские элементы, но в то же время появляются процентные соотношения спор и пыльцы, характерные уже для нижнемеловых отложений.

Присутствие характерного спорово-пыльцевого комплекса позволило выделить отложения валанжина в ларьякском разрезе, где фауна не была обнаружена.

Наблюдается закономерность более поздней смены растительности на границе юры и нижнего мела. В валанжинских слоях с фауной еще присутствуют споры и пыльца верхнеюрского типа.

### Готерив

Лагунно-морские отложения готерива на территории Западно-Сибирской низменности прослеживаются в разрезах скважин Покровской, Рявкинской, Яковлевской, Татарской, Саргатской, Тебисской, Большереченской, Тарской, Викуловской, Покурской и Уватской площадей.

Представлены они серыми, темносерыми, зеленовато-серыми, зелеными, темнозелеными плотными алевритистыми глинами и серыми тонкозернистыми слабо cementированными песчаниками.

В этих отложениях обнаружена фауна пелеципод, в меньшем количестве встречены фауна гастропод, остракод и фораминифер, остатки харовых водорослей и спорово-пыльцевые комплексы.

Фауна пелеципод рода *Cyrena* встречается скоплениями. Она хорошей сохранности, на некоторых формах сохранилась даже окраска. Большинство форм близко к виду *Cyrena angulata* D u n k из нижнемеловых отложений Северной Германии, а остальные, повидимому, являются новыми видами.

Массовость захоронения пелеципод и их хорошая сохранность указывает на мелководный и спокойный бассейн, в котором отлагались осадки, содержащие эту фауну. Из литературных данных известно, что цирениды живут в пресных и солоноватых водах. Современные формы встречаются преимущественно в теплых странах в илистых эстуариях, некоторые речные формы распространяются в умеренных и холодных зонах.

Отложения, включающие циреновую фауну на территории Западно-Сибирской низменности, имеют широкое горизонтальное распространение и сравнительно небольшое вертикальное. Это дало возможность выделить их в циреновый горизонт (рис. 6).

Наличие фауны фораминифер, остракод и харовых водорослей в отложениях циренового горизонта разреза Западно-Сибирской низменности впервые было установлено в 1954 г. Найдены остракод и харовых водорослей обнаружены в разрезах скважин Рявкинской, Яковлевской, Саргатской, Татарской, Покровской, Большереченской, Тебисской и Ипатовской площадей. Найденные остракоды представлены как пресноводными, так и морскими формами.

Сравнивая между собой комплексы остракод из отложений указанных площадей, находим их отличия в разнообразии видового состава и в количественном отношении. Удалось установить сходство комплексов из разрезов скважин Яковлевской и Рявкинской площадей, где помимо остракод обнаружена фауна фораминифер. Комплексы остракод из разрезов Саргатской, Та-

тарской и Тебисской площадей в некоторой степени также сходны между собой.

Фауна остракод Яковлевской площади представлена видами: *Mandelstamia ordinata* M a n d., *M.* (?) sp., *Palaeocytheridea observata* (S h a g a r o v a), *P.* sp. 1, *Darwinula barabinskensis* M a n d., *Theriosynecum* sp., *Progonocythere* sp. 1, *Cypridea* cf. *consulta* M a n d., *C.* sp.

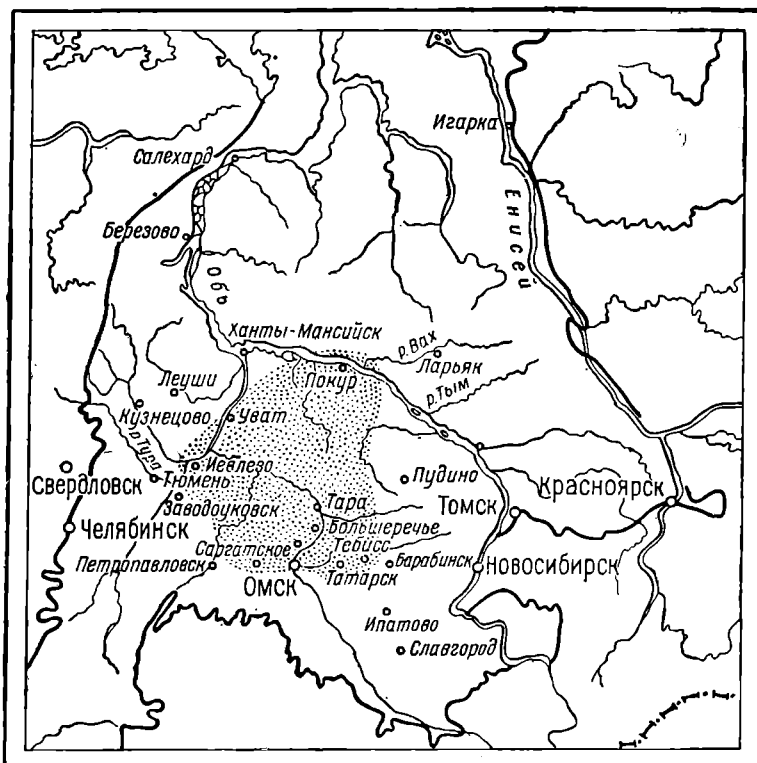


Рис. 6. Карта распространения фаунистической зоны циренового горизонта—готерив (составили Т. А. Казьмина, Ф. Р. Корнева).

Из фораминифер определены виды: *Ammodiscus* sp. (nov), *Ammobaculites* sp., *Cristellaria observabilis* Z a s p., *Cristellaria* sp., *Polymorphina* [*Guttulina* (?)], *Miliammina* sp.

Из отложений, вскрытых скважинами Рябининской площади, определены виды остракод: *Palaeocytheridea* sp., *P.* sp. 2, *P. observata* (S h a g a r o v a), *Mandelstamia* sp. 2, *M.* sp. (nov.), *M. ordinata* M a n d., *Progonocythere* sp. 1, *Darwinula* sp., *Lycoperocypris* (?) sp., *Cypridea planata* sp. nov., *Cypridea consulta* M a n d., *Cypridea koskulensis* M a n d., *Cypridea vitimica* M a n d., *Cypridea* sp.

Из фауны фораминифер определены виды: *Ammodiscus* sp., (нов.), *A. incertus* O g b., *Glomospira gordialis* P. et J., *Miliammina* sp., *Trochammina* sp. (*globigeriniformis* Ha u e s l e r), *Ammobaculites* sp. и *Nodosaria radicula* Lin n e.

Фауна фораминифер из отложений готерива как одной, так и другой площади представлена песчанистыми и известковистыми

формами, причем в количественном отношении песчанистые формы преобладают над известковистыми.

Видовой состав комплекса фораминифер из отложений Рявикинской площади несколько отличается от видового состава фораминифер из тех же отложений Яковлевской площади. Фауна фораминифер из описываемых отложений является своеобразной, она отличается от комплекса фораминифер из нижележащих валанжицких отложений и выше по разрезу не встречена. Из уватского разреза комплекс фораминифер, встречающийся вместе с циренами, имеет общие формы с валанжинским комплексом.

Фауна остракод в количественном отношении и по разнообразию видового состава преобладает над фораминиферами. Видовой состав остракод из разреза Рявикинской площади разнообразнее, чем из тех же отложений Яковлевской площади. Несмотря на это, при сравнении комплексов находим много общих видов.

Наибольшее распространение в количественном отношении в отложениях как одной площади, так и другой имеют морские виды остракод *Palaeocytheridea observata* (Shagarova), *Mandilstamia ordinata* Mand., а из пресноводных — *Lycoperocyparis* (?) sp. и различные виды рода *Cypridea*.

Створки остракод тонкостенные, хрупкие; особенно резко это наблюдается у пресноводных форм.

Виды *Cypridea koskulensis* Mand. и *Cypridea vilimica* Mand. встречаются в пресноводных отложениях нижнего мела Восточного Забайкалья (Тарбагатай).

Представители рода *Lycoperocyparis* широко распространены также в нижнем мелу (ликоитеровые слои) в районах р. Витима и Турги, где они обнаружены в большом видовом разнообразии.

Вид *Cypridea planata* sp. nov. был ранее найден и описан как новый из барремских отложений Ипатовской скв. 3-р. В отложениях разреза Рявикинской площади находки этого вида отмечены в большем количестве и представлены частично створками хорошей сохранности, а частично в виде отпечатков. *Darwinula barabinskensis* и *Cypridea consulta* найдены в пестроцветных отложениях ряда скважин Западно-Сибирской низменности.

Вид *Palaeocytheridea observata* (Shagarova) встречается в отложениях неокома Северного Казахстана (озеро Индер) и Эмбенской области (Шубар-Кудук).

Вид *Mandilstamia ordinata* был найден в описываемых отложениях Рявикинских скв. 1-р, 5-р, Яковлевских скв. 1-р, 6-р и Покровской скв. 4-р (личинки). В отложениях сопредельных областей этот вид пока неизвестен.

Представители рода *Progonocythere* характеризуют морской режим водоема. В отложениях Западно-Сибирской низменности они встречаются редко.

В районе Яковлевской и Рявикинской площадей условия бассейна были благоприятными для развития остракод с тонкостенной раковиной, очевидно, были спокойные воды, о чем также свидетельствует тонкий илистый материал пород. При рассмотрении приведенных выше комплексов остракод выясняется, что развитие морской и пресноводной фаунышло равномерно. Это дает основание предполагать, что существовали условия, способствующие раз-

витию как морской, так и пресноводной фауны. Вероятно, водоем представлял залив, тесно связанный с морским бассейном и в то же время опресняющийся под влиянием притоков пресных вод.

Из отложений готерива Саргатской площади определены пресноводные остракоды: *Timiriaservia cf. reticulata* M a n d., *Origoilyocypris fidis* M a n d., *Darwinula cf. barabinskensis* M a n d., *Cypridea* sp. (мелкие обломки) и др., из морских найдены виды *Palaeocytheridea glabra* M a n d. В количественном отношении в некоторых образцах морские виды преобладают над пресноводными, а в некоторых число находок пресноводных и морских видов одинаково. Встречены в небольшом количестве харовые водоросли. В разрезе скв. 1-р обнаружена раковина фораминиферы *Globilina* sp. (aff. *lacrima Reuss*).

Из отложений Татарской площади определены виды: *Darwinula barabinskensis* M a n d., *D. sp.*, *Cypridea consulta* M a n d., *C. sp.*, *Origoilyocypris fidis* M a n d., *Palaeocytheridea glabra* M a n d., *Mandelstamia* sp. Морские и пресноводные виды в районе Татарска получили одинаковое количественное развитие.

В разрезе Покровской площади обнаружены единичные раковины остракод и харовые водоросли. Определены морские виды *Palaeocytheridea* sp., *P. observata* Sharapova *Progonocythere* (?) sp., *Mandelstamia ordinata*, M a n d. из пресноводных — *Darwinula* sp. Остракоды представлены в виде ядер и обломков створок.

Комплекс остракод из разреза готеривских отложений Тебисской скв. 1-р представлен морскими видами, имеющими массовое распространение, *Palaeocytheridea glabra*, M a n d. и значительно в меньшем количестве пресноводными видами: *Darwinula barabinskensis* M a n d., *Cypridea cf. consulta* M a n d., *C. aff. consulta* M a n d., *Timiriaservia reticulata* M a n d.

Раковины морского вида *Palaeocytheridea glabra* M a n d. хо-  
рошой сохранности, со средней толщиной стенок, внутренняя  
полость их заполнена кальцитом, кроме того, заметно небольшое  
замещение известковистого состава раковин кальцитом.

Сохранность раковин пресноводного комплекса остракод по-  
зволяет сделать определение до вида. Створки так же, как и у мор-  
ских форм, заполнены кальцитовым материалом. Найдены еди-  
ничные экземпляры. Преобладание морских видов остракод над  
пресноводными дает возможность предполагать, что в районе  
Тебисской скв. 1-р существовавший водоем имел менее опреснен-  
ные воды, чем в районах Ряжинской и Яковлевской площа-  
дей.

В готеривских отложениях Большереченской скв. 1-р найдены единичные створки остракод, харовые водоросли и мелкие *Gastropoda*. Остракоды имеют относительно плохую сохранность, из них удалось определить вид *Origoilyocypris fidis* M a n d., характеризующий пресноводные отложения, и вид *Palaeocytheridea glabra* M a n d., характеризующий морские отложения. Эти немногочисленные виды остракод в значительно больших количествах были найдены в тех же отложениях разреза Тебисской, Татарской и Саргатской площадей. Несмотря на обедненность большереченского комплекса остракод, можно предполагать, что осадконакопление готеривских отложений в указанных районах проходило в одинаковых условиях.

Ограждения готерива в районе Ипатовской площади представлены серыми, средизернистыми, полимиктовыми, слабо спементированными песчаниками. В них были найдены виды остракод — *Palaeocytheridea glabra* M a n d. и *P.* sp. — и обломок фораминиферы *Vaginulina* sp. Найденные остракоды имеют плохую сохранность и представлены немногочисленными экземплярами раковин. Единственный вид *Palaeocytheridea glabra* M a n d. позволяет эти песчаники сопоставить с готеривскими отложениями тебисского, большереченского и других разрезов, где этот вид встречен значительно в больших количествах. В указанных песчаниках были обнаружены редкие неопределенные обломки пелеципод.

Обедненность фауны в видовом и количественном отношении, очевидно, объясняется тем, что в районе Ипатовской площади существовали неблагоприятные условия для ее развития. Учитывая грубозернистость материала отложений и плохую сохранность встреченной фауны, можно предполагать, что в районе Ипатовской площади в это время была прибрежная зона водоема.

Отличительные особенности литологии и комплексов фауны, указанные по каждой площади и скважине, объясняются, очевидно, местными изменениями условий бассейна.

Выделенный нами циреновый горизонт характеризуется появлением, расцветом и вымиранием циреновой фауны.

Комплекс фораминифер по изученным разрезам отличается от нижележащего валанжинского комплекса (за исключением Увата), а распространение его наблюдается только в пределах данного горизонта.

К этому же горизонту приурочено первое появление фауны пресноводных остракод, переходящих в вышележащие отложения нестроцветной толщи, возраст которой определялся как барремский.

В николовских разрезах (скв. 1-р и 2-р) циреновый горизонт встречен почти на 180 м выше верхневаланжинских отложений — зоны *Dichotomites bidichotomus* и *Polyptichites poliptichus*. На основании приведенных данных возраст горизонта определялся нами условно готеривским. В последнее время готеривский возраст циренового горизонта подтвердился на основании находки аммонита *Simbirskites* (S p e e t o p i c e g a s) sp. (определение А. Е. Глазуновой) в разрезе Уватской опорной скв. 1-р.

Совместное нахождение в готеривских отложениях морской и пресноводной фауны дает основание предполагать, что на границе валанжина и готерива происходит регрессия моря. Повидимому, с омелением бассейна наступает опреснение его вод и тем самым создаются условия для появления пресноводной фауны остракод и пелеципод. В этот период бассейн, вероятно, начинает принимать лагунный характер, который подтверждается также нестабильством литологического состава пород в пределах незначительных участков.

Как известно из литературных источников, лагунные фации обычно располагаются вдоль берега в виде прерывистой, сравнительно узкой полосы, отделяющей континентальные фации от морских.

В пределах Западно-Сибирской низменности лагунные фации готерива приурочены в основном к южной части (Яковлевская,

Рявкинская, Саргатская, Татарская, Викуловская, Тебисская площади и др.). В это время в северо-западных районах (Уват, Ханты-Мансийск, Кузнецово и т. д.) существовали еще морские условия бассейна.

### Готерив-барремский спорово-пыльцевой комплекс

Спорово-пыльцевые комплексы готерива, изученные из разрезов Ларьинской, Покурской и Уватской опорных скважин, имеют общий состав с комплексами вышележащих отложений баррема.

Выявленные спорово-пыльцевые комплексы характеризуются большим разнообразием спор папоротников и их резким преобладанием над пыльцой голосеменных растений (спорово-пыльцевые комплексы представлены в табл. 50—62 приложения).

Общими формами для всех трех районов являются *Bennettitales*, *Ginkgoaceae*, *Coniferae*, *Brachyphyllum*, *Podocarpus*, *Pinaceae*.

В пыльцевом комплексе преобладает пыльца хвойных, по своим морфологическим особенностям уже отличная от пыльцы хвойных из юрских отложений, имеющих аналоги среди представителей современных хвойных. Также отмечается уменьшение процентного содержания пыльцы цикадофитов, за исключением *Ginkgoaceae*, пыльца которых находится здесь еще в значительном количестве.

В отношении всей группы цикадофитов можно отметить, что переход от юрских к нижнемеловым отложениям характеризуется измельчением пыльцевых зерен этих растений. Характерным для комплекса является присутствие представителя юрской флоры (*Brachyphyllum*), пыльца которого составляет в некоторых районах (например, Увата) значительный процент. Единично отмечается пыльца семейства *Araucariaceae* и семейства *Podocarpaceae*. В районах Увата и Покура найдены пыльцевые зерна семейства *Taxodiaceae*, здесь же впервые в верхних горизонтах отмечено присутствие единичных зерен покрытосеменных растений, относимых к семейству *Juglandaceae* (?).

Общими формами среди спорового комплекса являются: *Lycopodiaceae*, *Selaginella*, *Cyatheaceae*, *Dicksoniaceae*, *Polypodiaceae*, *Gleichenia*, *Schizaeaceae*, *Lygodium*, *Mohria*, *Aneimia*, *Osmundaceae*, *Ophioglossum*, *Leiotriletes* Н а и м.

Среди спор папоротников преобладают споры семейства *Schizaeaceae*, представленные большим разнообразием видов — *Mohria*, *Aneimia*, *Lygodium*. Одни и те же виды папоротников устойчиво присутствуют в комплексах готерив-баррема всех разрезов (Уват, Покур, Ларьин). Характерным является появление спор семейства *Gleicheniaceae*, которые отмечались в валанжине только в районе Увата. Появляются уже в значительном количестве споры семейств *Cyatheaceae*, *Dicksoniaceae*. Из новых видов присутствуют споры семейства *Hymenophyllaceae*. Довольно много спор *Osmundaceae*, а споры группы *Leiotriletes* Н а и м., *Coniopteris* попрежнему доминируют в комплексе. Имеется много спор, определенных по искусственной классификации С. Н. Наумовой. Весьма характерно присутствие различных видов рода *Selaginella*.

Анализируя спорово-пыльцевые комплексы изучаемых разрезов, удалось заметить некоторую дифференциацию спектра в районе

**Увата.** К верхним горизонтам, отвечающим, возможно, уже баррему, количество спор также преобладает над пыльцой, но пыльца голосеменных растений уже играет значительно большую роль, чем в нижней части, а среди папоротников наблюдается преобладание спор из семейства *Schizaceae*, в котором на первом месте стоят рода *Mohria*, *Lygodium* и *Anemis*, но уже других видов. Меняется также и видовой состав спор плаунов — *Selaginella*. Внизу преобладают споры вида *Selaginella*, по морфологическим признакам сходные со спорами *Sphagnum*, в то время как в верхних горизонтах преобладают споры *Selaginella* sp<sub>1</sub>. Кроме того, здесь появляются новые представители семейства *Pinaceae*, напоминающие по морфологии пыльцу современных хвойных, например *Picea*, *Pinus* — подрод *Haploxyylon* и *Pinus* — подрод *Diploxyylon*, и отмечается пыльца семейства *Taxodiaceae*.

Сравнивая спорово-пыльцевой комплекс готерив-баррема с нижним комплексом валашинца, можно отметить, что эти комплексы имеют много общих черт.

### Баррем

Выше готерива на значительной территории расположена толща пестроцветных и сероцветных осадков баррема. Распространение пестроцветов прослеживается в центральной части, на юге и востоке низменности, от районов Тары, Омска на восток — до Йолпашево и Мариинска. В северо-западном и северном направлениях пестроцветные разности пород сменяются сероцветами (Ларьяк, Покур, Уват и Березово).

Отложения представлены глинами, переслаивающимися с алевролитами, песками, песчаниками и реже мергелями и маломощными пропластками кристаллических известняков.

К нижней части пестроцветов приурочены находки фауны пресноводных остракод, мелких гастропод, остатков харовых водорослей и неопределенных органических остатков. Остатков флоры пестроцветные образования не содержат.

Отложения сероцветов, распространенные на севере низменности, только в ларьякском разрезе включают редкие находки остракод. В разрезах покура, увата, березово, леушей эти отложения фауны не содержат. Здесь выявлены спорово-пыльцевые комплексы, не имеющие в основном отличительных особенностей, за исключением уватского разреза (см. главу «Готерив»).

### Зона пресноводных остракод и харовых водорослей

Распространение пресноводных остракод, гастропод, харовых водорослей, остатков ихтиофауны и обуглившейся древесины прослежено в разрезах скважин: Тарской, Саргатских, Барабинской, Омской, Татарских, Заводуковских, Большереченской, Ишатовских, Тегульдетской, Мариинской, Ларьякской, Колпашевской (рис. 7).

Комплекс остракод из пестроцветных отложений Западно-Сибирской низменности очень беден в видовом и количественном отношении и распространен по разрезам неравномерно. Приурочен он в основном к низам пестроцветной толщи, где встречается в небольших по мощности интервалах.

Найденная фауна остракод представлена следующими видами: *Cypridea consulta* M a n d., *C. koskulensis* M a n d., *C. planata* sp. nov., *C. sp. 1*, *C. subcata* M a n d., *Darwinula barabinskensis* M a n d., *D. aff. barabinskensis* M a n d., *Darwinula* sp., *Timiriasevia opindabilis* M a n d., *T. aff. opindabilis* M a n d., *T. reticulata* M a n d., *T.* sp., *Origoilyocypris fidis* M a n d., *O. aff. fidis* M a n d., *O.* sp.

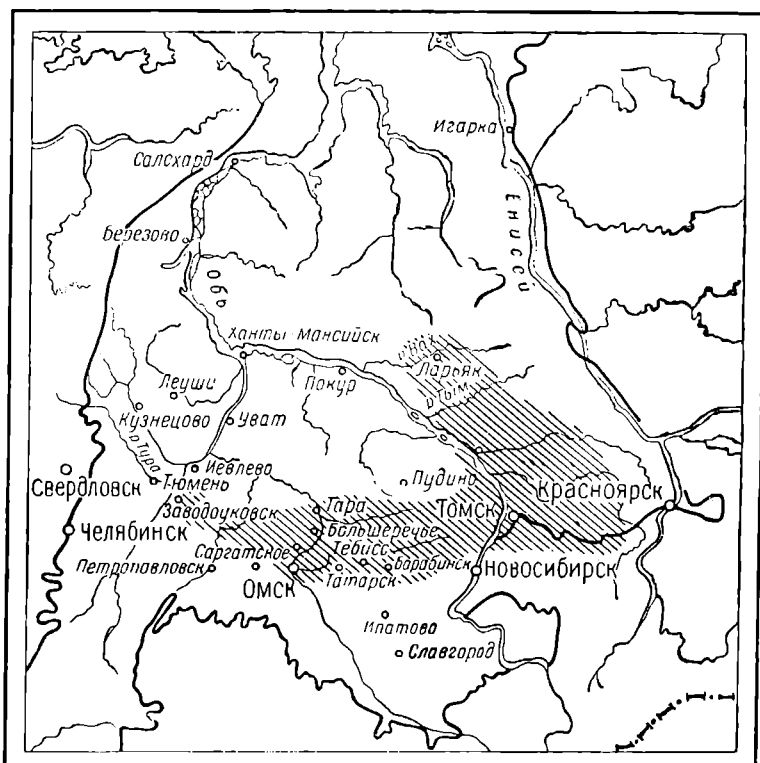


Рис. 7. Карта распространения фаунистической зоны ирссноводных остракод и харовых водорослей — баррем (составила Т. А. Казьмина).

Раковины остракод в основном крупных и средних размеров. Стенки раковин имеют тонкую и среднюю толщину. Сохранность остракод не всегда позволяет сделать определение до вида. Наиболее обильна фауна остракод в отложениях Барабинской скв. 1-р и Ипатовской скв. 3-р и 5-р, где также отмечается и большее разнообразие их видового состава.

Наиболее часто встречающимися видами являются: *Darwinula barabinskensis* M a n d., *Cypridea consulta* M a n d., *Origoilyocypris fidis* M a n d., *Timiriasevia opindabilis* M a n d. Присутствие этих видов было прослежено в разрезах скважин: Тарской, Омской, Татарской, Ипатовской 3-р, 5-р, Большелереченской, Барабинской, Ларьянской, Колпашевской, Чулымской.

Такие виды, как *Timiriasevia reticulata* M a n d., *Origoilyocypris aff. fidis* M a n d., *Cypridea koskulensis* M a n d., *Cypridea planata* sp. nov., встречаются очень редко.

Так, *Cypridea planata* sp. nov. найдена в единственном числе в изученных материалах из пестроцветных отложений Ипатовской скв. 3-р. Позднее этот вид значительно в больших количествах был встречен в более низких горизонтах — в готеривских отложениях разреза Рявкинской скв. 4-р. Наличие его в отложениях разрезов других скважин пока не установлено.

Ограниченнное распространение также имеет вид *Cypridea koskulensis*, который обнаружен в разрезах скважин: Тегульдетской 1-р, Ларьякской 1-р и Ипатовских 3-р и 5-р. В первых двух разрезах этот вид найден в образцах от 1 до 5 экземпляров, а в Ипатовских достигает до 20 экземпляров и имеет значительно лучшую сохранность..

Вид *Cypridea koskulensis* известен из пресноводных отложений баррема Притяньшанской впадины и Эмбенской нефтеносной области.

Вид *Timiriasevia reticulata* Ma n d. встречен единичными раковинками в описываемых отложениях заводоуковского разреза скв. 1-р и в готеривских отложениях тебисского разреза скв. 1-р.

При исследовании распространения фауны остракод удалось установить, что первое появление пресноводных видов *Darwinula barabinskensis* Ma n d., *Origoilyocyparis fidis* Ma n d., *Cypridea consulta* Ma n d., *C. vitimica* Ma n d., *C. koskulensis* Ma n d., *Timiriasevia reticulata* Ma n d. приурочено к отложениям готерива (ширковый горизонт), а в барреме они приобретают более широкое развитие.

Это дает возможность предполагать постепенный переход морских (валанжинских) отложений в лагунно-морские (готеривские) и затем в пресноводные (барремские) отложения.

Общий родовой комплекс остракод, обнаруженный в пестроцветах Западно-Сибирской низменности, является типичным для готерив-барремских отложений Азиатской части СССР и Центральной Азии. Наблюдается сходство некоторых сибирских видов с видами из барремских отложений смежных районов. Так, вид *Origoilyocyparis fidis* Ma n d. имеет большое сходство с видом *Origoilyocyparis echinata* Ma n d. из пресноводных отложений баррема Притяньшанской впадины; вид *Darwinula barabinskensis* Ma n d. имеет сходство с *Darwinula contracta* Ma n d. из отложений баррема Монголии.

Остракоды из пестроцветных отложений Чулымо-Енисейской впадины были исследованы из разрезов скважин Тяжинского, Назаровского и Константиновского районов. Было выявлено, что фауна остракод здесь значительно богаче в видовом и количественном отношении, чем комплекс остракод из пестроцветов низменности. Найденный комплекс остракод включает в себя ряд видов, характерных для отложений Западно-Сибирской низменности, и ряд видов, характерных для пресноводных отложений нижнего мела Восточного Забайкалья.

Судя по фауне остракод, пестроцветы низменности имеют сходство с барремскими отложениями Эмбенской нефтеносной области. Отложения Эмбенской нефтеносной области и Восточного Забайкалья являются континентальными. В более удаленном районе, на полуострове Мангышлак, по данным В. А. Вахрамеева барремские пестроцветы аналогичны пестроцветам Западной Сибири.

Необходимо отметить, что до 1955 г. толща пестроцветных осадков Западно-Сибирской низменности относилась нами к готерив-баррему. С выделением циренового горизонта и находками в нем руководящей аммонитовой фауны, подтверждающей готеривский возраст его, а также учитывая изложенное выше, пестроцветы Западно-Сибирской низменности в настоящее время относятся к баррему.

В период осадконакопления пестроцветов на территории Западно-Сибирской низменности, очевидно, существовал жаркий засушливый климат, такой же, как во время образования барремских пестроцветов на территории Средней Азии, Казахстана (до Мугоджара) и Кавказа.

### Апт—альб (?)

Отложения апского яруса, представленные образованиями различного литологического состава, выделяются в разрезе низменности условно. Охарактеризованы эти отложения редкими находками флоры и спорово-пыльцевыми комплексами.

В районах Приуралья эти отложения выражены серыми алевритами, иногда глинистыми мелкоаеристыми, с прослойями аргиллитов. В разрезе Тюменской опорной скважины серые алевриты прослежены между пестроцветами баррема и отложениями альбской зоны *Ammobaculites agglutinans* (Огб).

В Заводуковской скв. 2-р в светлосерых кварцевых песчаниках (интервал 970—966 м) обнаружена шишка хвойного *Pityostrobus sibirica* (Кгс т.) апского возраста (по заключению А. Н. Криштофовича, 1951—1952 гг., ВСЕГЕИ).

В районе Ганькино, Петропавловской области, к апту (?) В. С. Заспелова отнесла светлосерые пески, залегающие между пестроцветами и отложениями темносерых глин с микрофауной зоны *Verneuilina asanoviensis*.

В последнее время при изучении сероцветной пачки апта (?) был выявлен спорово-пыльцевой комплекс. Впервые этот комплекс был выделен в разрезе Омской опорной скважины, но точное стратиграфическое положение его не было установлено, так как в Омске вернейлиновая зона альба не прослеживается. Кроме спорово-пыльцевых комплексов, в глинах и алевролитах омского разреза найдены узкие иглы хвойных типа *Pytyophyllum* или *Pinites* и фрагменты папоротника типа *Ruffordia* нижнемелового возраста (по А. Н. Криштофовичу).

При изучении уватского разреза тот же спорово-пыльцевой комплекс был обнаружен в сероцветах, непосредственно залегающих под слоями с альбской фауной.

Как показали исследования, выявленный характерный спорово-пыльцевой комплекс занимает в разрезе больший интервал. Распространение его прослеживается и выше, включая отложения альба.

Присутствие общего апто-альбского спорово-пыльцевого комплекса, кроме Омска и Увата, было прослежено в сероцветных отложениях разрезов Покура и Ларька.

Приводим список общих форм для всех изученных районов: *Ginkgoaceae*, *Cycadaceae*, *Coniferae*, *Pinaceae*, *Pinus*, *Pinus* n/p

*Diploxylon*, *Pinus* и/п *Haploxylon*, *Picea*, *Cedrus*, *Abies*, *Taxodiaceae*, *Angiospermae*, *Lycopodiaceae*, *Selaginella*, *Hymenophyllum*, *Cyatheaceae*, *Dicksoniaceae*, *Polypodiaceae*, *Gleichenia*, *Schizaeaceae*, *Mohria*, *Lygodium*, *Anemone*, *Osmundaceae*, *Ophioglossaceae*, *Leiotrichites* Наум., *Coniopteryis* (спорово-пыльцевой комплекс представлен в табл. 63—72 приложения).

В комплексе наблюдается резкое уменьшение пыльцы древних хвойных, а их место занимает пыльца семейства *Pinaceae*, представленная родами, имеющими близкое сходство с современными. Среди семейства *Pinaceae* преобладает род *Pinus*, появляется пыльца *Pinus* и/п *Haploxylon* и *Pinus* и/п *Diploxylon*, а также увеличивается содержание пыльцы *Picea*, *Cedrus*, *Abies* по сравнению со спорово-пыльцевым комплексом готерив-баррема.

Для верхних горизонтов апт-альба характерно значительное увеличение пыльцы семейства *Taxodiaceae*, которое только в районе Ларьяка дает незначительный процент. Пыльца *Brachyphyllum* исчезает совершенно.

Из цикадофитов чаще всего встречается пыльца семейства *Ginkgoaceae*, пыльцевые зерна *Cycadaceae* единичны, также единичны *Bennettitales* в Покуре и Ларьяке, а в районе Увата и Омска они встречаются чаще. В Увате встречена единично пыльца *Caytonia*.

Наиболее характерной особенностью данного комплекса служит появление пыльцы покрытосеменных растений и их наибольшее распространение в отложениях альба.

Здесь встречена пыльца *Salicaceae* (район Увата), единично *Myrtaceae* (районы Ларьяка и Омска) и различные *Angiospermat*, принадлежность которых к какой-либо системе еще не выяснена (районы Увата, Покура, Омска).

Растительность северной части Западно-Сибирской низменности в апт-альбскую эпоху представляла собой хвойную тайгу, состоящую почти исключительно из хвойных древесных пород, близких к современным родам: *Podocarpus*, *Picea*, *Cedrus*, *Pinus* и из небольшой части таксодиевых. Многочисленные меловые паноротники составляли подлесок, среди которых некоторое значение имели уже *Polypodiaceae*. В более увлажненных местах росли плауны. Важно отметить появление в составе растительности первых представителей покрытосеменных растений. Климат, по-видимому, был умеренный, влажный.

### Альб

Как показали исследования большого количества разрезов, микрофаунистически охарактеризованные морские альбские отложения на территории Западной Сибири повсеместного распространения не имеют. Они широко распространены только в районе Восточного Приуралья, охватывающего территорию между восточным склоном Урала и меридианом течения Иртыша. С продвижением на восток фауна в этих отложениях исчезает и морские отложения альба замещаются прибрежно-морскими и континентальными. Эти отложения в основном представлены аргиллитами и глинами серого и темносерого цвета, неясно- или тонкослоистыми с единичными прослойками мелкозернистых песчаников, алевролитов и известняков, а также с включениями пирита.

В них встречается сравнительно много макрофaуны. Чаще она представлена пелeциподами, в отдельных разрезах обнаружены гастроподы и очень бедно представлена группа аммонитов, имеющая большое руководящее значение для стратиграфии этих отложений. Основная масса пелeципод и гастронод состоит из неопределимых обломков, целые раковины встречаются редко.

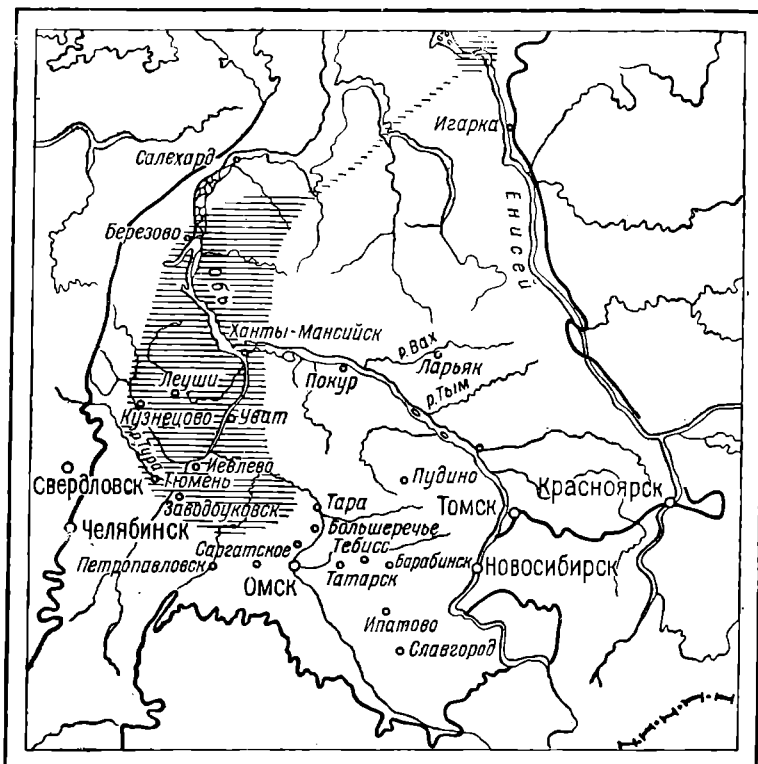


Рис. 8. Карта распространения фаунистической зоны с *Ammobaculites agglutinans* (Orb) и *Cleoniceras bicurvatooides* Sinz. — нижний и средний альб (составила З. И. Булатова).

Из аммонитов в разрезе Ханты-Мансийской скважины удалось обнаружить единственную раковину, руководящую для нижнего альба.

Отложения альба в основном богаты микрофауной, среди которой обнаружены фораминиферы, остракоды и радиолярии. Первое место среди микрофауны занимают фораминиферы, которые преобладают по количеству и разнообразию видов и представлены многочисленными песчанистыми формами. Известковистая фауна играет подчиненную роль. Остракоды немногочисленны и в большинстве случаев представлены неопределимыми раковинами. Радиолярии встречаются в небольшом количестве и почти всегда скелеты их имеют плохую сохранность. Это единственные представители планктонной фауны в отложениях альба.

Вместе с этим в отложениях альба встречаются остатки и других групп органического мира: неопределимые остатки, среди

которых довольно часто находятся хорошей сохранности зубы рыб, иглы ежей, остатки обуглившихся растений, споры и пыльца; в одном разрезе обнаружены циритизированные диатомовые водоросли.

Основная масса перечисленных палеонтологических остатков обнаружена в разрезах опорных скважин, пробуренных в западной части низменности: Березовской, Кузнецовой, Леушинской, Ханты-Мансийской, Уватской и Тюменской. Встреченная фауна позволила в разрезах этих скважин выявить характерные комплексы фораминифер для выделения двух зон: *Ammobaculites agglutinans* (Or b.) и *Verneuilina asanoviensis* Za s p. Первая микрофаунистическая зона выделена нами впервые в 1951 г. в разрезе Ханты-Мансийской скважины. Вторая — выделена В. С. Заспеловой в 1944 г. Объем первой зоны по нашим представлениям соответствует нижнему и среднему альбу, второй — верхнему альбу. За последнее время благодаря материалу, полученному из опорных скважин, стало возможным вернейлиновую зону разделить на две подзоны. В основу разделения положены различия в видовом составе и вертикальное распределение фораминифер.

Из юго-западной и южной частей низменности в основном исследовался керновый материал разведочных скважин, пройденных с отбором керна через большие интервалы. Большая часть образцов, доставленных на анализ, оказалась отвечающей верхней части альбских отложений. По фауне, полученной из этих образцов, хорошо прослеживается зона с *Verneuilina asanoviensis* в разрезах Покровской, Яковлевской, Рябинской, Октябрьской, Бикуловской, Заводоуковской, Саргатской площадей, в то время как зона с *Ammobaculites agglutinans* прослежена только в разрезах некоторых Покровских скважин (рис. 8).

### Нижний и средний альб

#### Зона *Ammobaculites agglutinans* (Or b.)

Отличительной особенностью фораминиферовой ассоциации этой зоны является наличие песчанистых и известковистых фораминифер и преобладание сравнительно небольших размеров раковинок как песчанистых, так и известковистых форм.

В состав комплекса входят только представители бентических фораминифер. Что касается планктонных форм, то в комплексе нижнего альба встречена лишь одна раковинка *Globigerinella*, достоверность нахождения которой вызывает некоторое сомнение.

Первое место среди нижнеальбской микрофaуны занимают песчанистые фораминиферы, основная масса которых относится к семействам *Lituolidae* и *Verneuilinidae*. Из первого семейства преобладают виды родов *Haplophragmoides* и *Ammobaculites*, из второго — *Verneuilina* и *Verneuilinella*. Значительно беднее состав других семейств: *Rhizaminidae*, *Saccamminidae*, *Hyperamminidae*, *Reophacidae*, *Ammodiscidae*, *Silicinidae*, *Trochamminidae*.

Известковистая фауна относится к семействам *Lagenidae* и *Rotaliidae*. Основную роль играют представители семейства *Lagenidae*, среди которых преобладает род *Cristellaria*, значительно реже встречаются *Nodosaria*, *Dentalina*, *Saracenaria*, *Pseudoglan-*

*dulina*. Найдены последних обнаружены не во всех разрезах. Из *Rotaliidae* распространены представители *Cyroidina*, *Eponides* и *Discorbis*. Количество их различно, но в основном невелико. Иногда встречаются раковинки семейства *Polymorphinidae*.

Видовой состав песчанистой фауны по всей толще аммобакулитовой зоны меняется незначительно, что дает возможность легко выделять его в разрезе. Почти постоянным он остается и в других разрезах, удаленных друг от друга на значительное расстояние, что позволяет легко сопоставлять их между собой.

Совсем иная картина наблюдается в распространении известковистой фауны. Непостоянны видовой состав семейства *Lagenidae* отмечается как по вертикали какого-либо разреза, так и в площадном распространении. В том и другом случае наиболее выдержаными из всей массы являются только единичные виды *Cristellaria*, которые можно принять за руководящие. Большой частью в каждом из исследованных образцов встречается иной видовой состав, что, конечно, усложняет его определение. Второе семейство *Rotaliidae* в составе указанных родов является характерным, так как прослежено во всех разрезах опорных скважин.

Что касается сохранности фораминифер, то песчанистые раковинки нарушены, деформированы и часто представлены большим количеством неопределимых обломков. Цвет их всегда желтоватый. Наряду с этим встречаются раковинки очень хорошей сохранности. Известковистая фауна во всех разрезах имеет хорошую сохранность, очень редко раковинки нарушены и имеют истертую поверхность.

Приводим общий список песчанистых фораминифер, которые удалось определить из отложений нижнего альба. Наиболее часто встречаются: *Rhabdammina aff. aptica* Dampf., *Ammodiscus incertus* (Огб.), *Haplophragmoides umbilicatus* Dain., *H. aff. nonioninoides* (Рес), *H. sp.*, *Ammobaculites agglutinans* (Огб.), *A. reverendus* sp. nov., *Cyclammina* (?) sp., *Sibiriella contorta* gen. et sp. nov., *Verneuilinella pusilla* sp. nov., *Verneuilina praesanoviensis* sp. nov. 4, *Heterostomella* (?) sp., *Miliammina rasilis* sp. nov., *Trochammina ex gr. subbotinae* Засп., *Trochammina* sp., *Rzezhakina operta* sp. nov.

В некоторых разрезах, кроме перечисленных видов, встречаются: *Proteonina diffugiformis* (Бради), *Hyperamminoides* sp., *Gaudryina* sp. (ex gr. *filiformis* Бертель) и редко *Reophax heterolculus* sp. nov. и *Reophax crudus* sp. nov.

Из известковистой фауны широко распространенными видами являются: *Saracenaria albica* sp. nov., *Cristellaria ornata* sp. nov., *Saracenaria* aff. *triangularis* (Огб.), *Cristellaria* sp. 1, *Cristellaria* sp. 3, *Cristellaria* sp. 4, *Discorbis ex gr. dampelae* Matl., *Discorbis* sp. nov., *Eponides dignus* sp. nov., *Eponides* sp. 1, *Eponides* sp. 2. В верхах зоны начинает появляться *Verneuilina asanoviensis* Засп.

Как видно из приведенного списка, комплекс фораминифер состоит из новых видов и форм, требующих детальной монографической обработки. Так как это является ближайшей первостепенной задачей, при определении мы не стали подтягивать их к видам, известным в литературе и имеющим очень отдаленное сходство с сибирскими.

Фораминиферы по своему родовому составу, особенно по наличию большого количества представителей семейства *Lagenidae*, а также по внешнему облику фауны близки к валанжинской и готеривской фауне Западной Сибири и нижнемеловой фауне других районов.

Комплекс аммобакулитовой зоны своеобразен и состоит из фораминифер, основная часть которых начинает свое существование с момента наступления альбской трансгрессии. Немногочисленные виды, перешедшие из нижележащих отложений, имеют свои морфологические особенности. Вообще развитие фауны от конца валанжина до альба проследить пока невозможно. С регрессией моря, наступившей к концу валанжина и охватившей почти всю исследованную нами часть низменности, фауна мигрирует, повидимому, в более северные, еще не исследованные районы, а может быть даже за пределы низменности. Поэтому эволюция фауны в связи с приспособлением ее к новым условиям существования, ее изменения в готериве, барреме и апте не прослеживается.

К началу альба приурочено развитие нового комплекса, резко отличающегося по своему видовому и даже родовому составу от валанжинского и готеривского, поэтому взаимосвязь их устанавливается с трудом. Развитие фауны внутри альба прослеживается отчетливо. Не вся фауна, входящая в состав этого комплекса, ограничена распространением описываемой зоны. Некоторые из видов переходят в вышележащие верхнелинновые слои. Причем к ним относятся только песчанистые виды, известковистая фауна выше не поднимается.

*Verneuilina asanoviensis* — вид, характерный для вышележащих слоев, также появляется в верхней части этой зоны, но он отличается от видов, встречающихся в зоне одноименного названия. Здесь он имеет небольшие размеры и меньшее количество камер. Количество экземпляров, как правило, не превышает пяти и очень редко десяти.

Эта микрофаунистическая зона названа по преобладанию раковинок *Ammobaculites agglutinans* (Ог. б.), хотя ее целесообразнее называть просто аммобакулитовой по большому скоплению различных раковинок рода *Ammobaculites*. Например, не менее характерными для этой зоны являются раковинки *Ammobaculites reverendus* sp. nov., но количество их значительно меньше. *Ammobaculites aggettianus* (Ог. б.) в Западной Сибири имеет широкое вертикальное распространение, но массовое скопление приурочено к этой зоне, для которой он является видом-индикатором.

Из всего количества остракод, обнаруженных в нижнем альбе, только в леушинском разрезе отдельные раковины имеют сохранность, позволяющую дать им родовые и видовые определения. К нижней части этого разреза приурочены раковинки *Palarocystheridea* sp. плохой сохранности и обломки других остракод. В разрезе из верхней части, на границе с верхним альбом, найден вид *Cytherellina aff. minaxa* Кузнецова. Все остракоды являются нижнемеловыми, а раковинки первого рода встречаются даже в юре. Это обитатели нормально морских бассейнов.

Возраст этой микрофаунистической зоны определяется аммонитом *Cleoniceras bicurvatooides* Sinz. (определение В. И. Боды-

левского), который найден в разрезе Ханты-Мансийской скважины на глубине 1649,05—1656,85 м. Сохранность раковины хорошая. Впервые этот вид определен в альбских отложениях Машылзака. Из литературы известно, что характерен он для нижнего и для низов среднего альба.

Встречающиеся пелепиподы и гастроподы из-за плохой сохранности в большинстве случаев не определены. Наибольшее количество их обнаружено в Ханты-Мансийской скважине и особенно обильны находки в Березовской и Леушинской скважинах. В разрезе последней скважины из всего количества найденных раковин с глубины 1207,0 м В. П. Ренгарденом определен *Inoceramus anglicus Woods*, характерный для среднего и верхнего альба. Ф. Р. Корневой из верхней части зоны (1179,3—1174,0 м) определены *Pecten* sp. и *Gastropoda* sp. juv., имеющие меловой облик.

В уватском разрезе на глубине 1578—1523 м найдена фауна пелепипод, предварительно определенная Ф. Р. Корневой как *Pecten* ex gr. *orbicularis* Sow., *Pecten* sp. indet., *Panoporea* sp. 1, *Nuculana* aff. *speciosa* Woods. Последний вид характеризует нижний мел Северной Англии. *Pecten orbicularis* Sow.—вид, характерный для альб-сепомана Англии, но наша раковина определена пока с большим сомнением и опираться на нее при установлении возраста нельзя. С глубины 1587,3 м А. Е. Глазуновой определен альбский вид *Entolium* aff. *darius* Log.

Таким образом, стратиграфическое положение аммобакулитовой зоны основывается на находках аммонита *Cleoniceras bicurvatooides* Sinz., пелепипод *Inoceramus anglicus* Woods и *Entolium* aff. *darius* Log.

Из описанного видно, что в нижне- и среднеальбское время существовали условия, благоприятные для развития органического мира и особенно фораминифер. Из всех образцов, исследованных в лаборатории, наибольшее количество фораминифер обнаружено в леушинском и березовском разрезах. Причем в этом отношении первое место занимает леушинский разрез, в котором обнаружено огромное количество песчанистой и известковистой фауны. Из других разрезов сюда нужно отнести Тюменскую скважину, где по данным ВСЕГЕИ, хотя и не выделена эта зона, но на основании вертикального распределения фораминифер также в нижней части альбских отложений прослеживается развитие аналогичной фауны.

Это дает нам возможность предполагать, что узкая полоса, протягивающаяся от Березовского района до Тюменского, была частью нижне- и среднеальбского бассейна, удаленной от береговой линии и населенной обильной и однотипной фауной.

С удалением от этих районов как на запад, так и на восток картина меняется. В самом западном кузнецком разрезе, расположенному ближе к Уральской депрессии, и, вероятно, в области более мелкого морского бассейна мы имеем обедненный видовой и количественный состав песчанистой и известковистой фауны. Несколько она отличается и по внешнему облику. Фауна носит угнетенный характер; раковины более мелкие, разрушенные, трудно определимы.

Далее на восток, в районе Ханты-Мансийска и Уваты, фауна также имеет обедненный состав. Особенно резко сокращается

количество известковистой фауны. В составе семейства *Lagenidae* в ханты-мансиjsком разрезе обнаружено несколько раковин *Cristellaria* и *Marginulina*, причем они не имеют повсеместного вертикального распространения и обнаружены в одном-двух образцах. Также резко сокращается количественный состав раковин семейства *Rotaliidae*. В Уватском районе фауна с известковистым скелетом почти отсутствует. Здесь встречено несколько раковин *Cristellaria* и *Eponides* плохой сохранности. В этом разрезе сокращается также количество песчанистой фауны и ее видовое разнообразие, однако все виды, характерные для комплекса этой зоны, обнаружены. Кроме того, в отличие от других разрезов фораминиферы в нем распределены неравномерно и неповсеместно.

Проведение границы между альбскими зонами основывается на смене ассоциаций фораминифер. Безусловно в основу берутся узко распространенные виды, к которым относятся представители известковистой фауны. Для песчанистой фауны основную роль играет количественный фактор, второстепенную — исчезновение видов. Виды, характерные для нижней зоны, имеют в ней массовое развитие. В верхней же зоне они встречаются в единичных экземплярах и в своем распространении почти всегда ограничиваются самой подошвенной ее частью.

На основании литологии провести эту границу невозможно. Обычно для всей толщи альбских отложений литология однообразна и, если разнится в некоторых разрезах, то минералогическими комплексами. На кривой электрокаротажа в отдельных разрезах более резкие пики отмечаются несколько выше границы, проведенной по смене комплексов, но в большинстве случаев их уловить трудно. Поэтому за основу расчленения альбской толщи нужно брать смену комплексов фораминифер, как быстро реагирующих на изменение условий существования. Граница между этими зонами является границей между подъярусами альба.

Мощность отложений аммобакулитовой зоны колеблется в значительных пределах и увеличивается к восточной границе ее распространения. В кузнецовском разрезе мощность равна 25 м, в леушинском 36,5 м, в березовском 54 м, в ханты-мансиjsком 65,5 м, в уватском 93,5 м.

## Верхний альб

### Зона *Verneuilina asanoviensis* Zaspelova

Объем этой микрофаунистической зоны соответствует верхнему альбу. Как упоминалось выше, распространение ее в пределах низменности прослежено также в районе Восточного Приуралья, но в отличие от описанной выше она имеет более широкое распространение, захватывая и южные районы низменности (Яковлево, Рявино, Саргат) (рис. 9). Эти отложения вскрыты всеми опорными и большинством разведочных скважин, пробуренных в этой части низменности. Особенно большое количество образцов исследовалось из разрезов опорных скважин, что позволило изучить характерные особенности в составе и распределении включенной в них фауны.

В верхнем альбе особенно пышного расцвета достигает вид

*Verneuilina asanoviensis* Zasp. Во всех скважинах обильные скопления этого вида приурочены только к слоям, названным его именем, за пределами которых иногда он встречается, но в небольших количествах. В этих же слоях *Verneuilina asanoviensis* встречается в таких огромных количествах, что раковины остальных видов ассоциации совершенно теряются среди них, а иногда почти весь комплекс состоит из одного этого вида (Уват).

Кроме того, эта зона отличается от нижележащей полным отсутствием известковистой фауны и очень крупными размерами

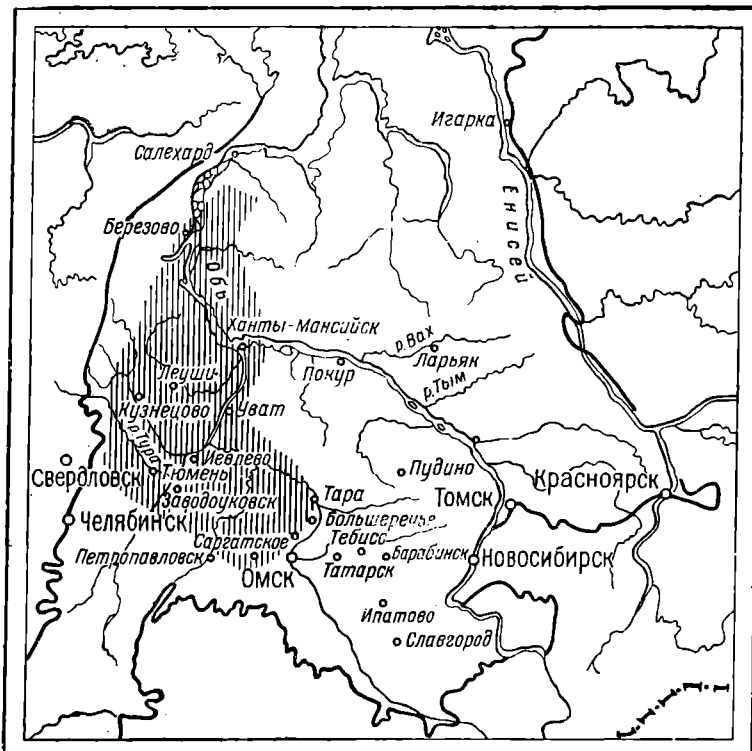


Рис. 9. Карта распространения фаунистической зоны с *Verneuilina asanoviensis* Zasp. — верхний альб (составила З. И. Булатова).

раковин. Существовавшие на протяжении верхнего альба условия не благоприятствовали развитию фораминифер с известковистым скелетом, как это наблюдалось в нижележащей зоне альба.

Большинство видов фораминифер этих двух зон является общим, но отличается числом экземпляров каждого вида. Здесь их значительно меньше. Обычно же эта зона определяется по огромному количеству представителей *Verneuilina asanoviensis* Zasp. Отсутствие их затрудняет ее выделение, потому что сопутствующий песчанистый комплекс состоит в основном из видов, перешедших из нижележащей зоны. Небольшая часть видов, появившихся в этой зоне, большого развития не получает.

Кроме *Verneuilina asanoviensis*, обнаруженная здесь фауна фораминифер представлена небогатой ассоциацией песчанистых

видов. Здесь встречаются: *Rhabdammina* aff. *aptica* Дамрел, *Reophax heterolculus* sp. nov., *Reophax crudus* sp. nov., *Glomospira* (?) sp., *Haplophragmoides* sp., *Haplophragmoides umbilicatus* Da in, *Ammobaculites agglutinans* (Огб.), *Sibiriella contorta* gen et sp. nov., *Miliammina rasilis* sp. nov., *Trochammina* aff. *rosacea* Zasp., *Rzehakina operta* sp. nov., *Verneuilina praesanoviensis* sp. nov., *Textularia constricta* Ехремеева.

К видам, появляющимся в этой зоне, относятся: *Thurammina* aff. *ovalis* Subb. sp. 1, *Thurammina* sp. 1 et sp. 2, *Hyperammina* sp., *Nyprocropina* sp., *Gaudryina oblonga* Zasp. Последний вид иногда встречается и ниже по разрезу.

Виды *Ammobaculites agglutinans* (Огб.) и *Verneuilina praesanoviensis* sp. nov. из нижележащей зоны поднимаются не во всех разрезах и, если они встречаются, то только в двух-трех образцах из нижней части зоны. Выше по разрезу они не распространяются. Остальные из перечисленных видов имеют более широкое развитие.

Вид *Haplophragmoides umbilicatus* Da in встречается также в массовых скоплениях. Это широко варьирующий вид.

Также широко варьирующими являются представители *Verneuilina*, пока отнесенные все к *Verneuilina asanoviensis* Zasp., несмотря на то, что эти раковины имеют заметно отличные морфологические особенности, которые впоследствии будут выделены в новые разновидности, а может быть даже в новые виды. Эта работа будет проделана при дальнейшей монографической обработке фораминифер.

Кроме фораминифер, в комплексе палеонтологических остатков этой зоны встречаются скелеты неопределенных радиолярий и пиритизированные раковины остракод. Остракоды хорошей сохранности обнаружены также только в леушинском разрезе. Найдены они в одном образце с глубины 1133,12—1122,45 м и представлены видами *Cytherettina* aff. *minaxa* Кузнецова, *Cytherettina albica* sp. nov., *Cyclocytheridea* (?) sp. 1.

В отложениях Западно-Сибирской низменности эти виды встречены впервые. Выше упоминалось, что *Cytherettina* aff. *minaxa* Кузнецова обнаружена в этом разрезе и в нижележащей аммобакулитовой зоне. Остальные два вида встречаются только в описываемой зоне. Определение вида *Cytherettina* aff. *minaxa* Кузнецова и заключение о возрасте даны М. И. Мандельштамом.

Из макрофауны в ханты-мансиjsком разрезе найдены гастроподы и пелециподы плохой сохранности; в тюменском — иноцерамы неудовлетворительной сохранности, не позволяющей исследователям прийти к единому мнению при определении их вида.

Из других органических остатков в верхнем альбе встречаются неопределенные обломки скелета рыб, среди которых имеются зубы хорошей сохранности, и очень редко обломки раковин пелеципод и гастропод. Во всех разрезах встречаются обуглившиеся растительные остатки.

Распространение фораминифер в толще верхнего альба неравномерное; наибольшее количество их встречается в нижней части, затем постепенно уменьшается и резко сокращается к середине толщи. Исходя из особенностей вертикального распределения фораминифер, отложения вернейлиновой зоны исследованных

опорных разрезов подразделены на две пачки слоев или две подзоны — нижнюю вернейлиновую и верхнюю вернейлиновую.

В нижней подзоне, лежащей непосредственно на слоях аммо-бакулитовой зоны, фораминиферы достигают значительного разнообразия. Вид *Verneuilina asanoviensis* здесь встречается в массовых скоплениях почти в каждом образце вместе с видами из соизвестующего комплекса. Здесь же встречаются и остракоды.

Для верхней подзоны характерно резкое обеднение родового и видового состава фораминифер. В ней продолжает встречаться зональный вид *Verneuilina asanoviensis*, но он уже не имеет такого повсеместного распространения. В Леушинском и ханты-мансиjsком разрезах он распространен по всей подзоне, в Березово встречен только в верхней части, а в Кузнецово и Увате почти отсутствует. Кроме того, в отдельных образцах обнаружены другие формы комплекса, которые не имеют сплошного развития, а встречаются спародически. К ним относятся — *Miliammina rastellis* var. 1, *Thurammina aff. ovalis* Sub *Thurammina* sp. 1 et 2, иногда встречаются *Haplophragmoides umbilicatus* Daip и *Trochammina aff. rosacea* Zas. Раковинки первого вида имеют массивные скопления.

Недостаточная палеонтологическая охарактеризованность этой подзоны не позволяет выделить ее в качестве третьей зоны альба, и она пока рассматривается только как верхняя часть вернейлиновой зоны и относится к тому же возрасту. Обединение фораминиферами верхней части альба обусловлено начавшейся регрессией верхнеальбского моря.

Ниже приводится таблица расчленения вернейлиновой зоны.

Таблица 2

Скважины	Зона <i>Verneuilina asanoviensis</i> Z aspelova		
	общий интервал, м	I подзона, м	II подзона, м
Кузнецовская . . . . .	603,0—520,0	603,0—568,0	568,0—520,0
Березовская . . . . .	683,0—624,0	683,0—646,0	646,0—624,0
Леушинская . . . . .	1174—1018,1	1174—1099,8	1099,8—1018,1
Ханты-Мансийская . . . .	1600,0—1407,5	1600—1505,3	1505,3—1407,5
Уватская . . . . .	1498,0—1333,0	1498,0—1384,6	1384,6—1333,0

Из всего приведенного выше видно, что фауна фораминифер альба на всей исследованной площади довольно однообразна, но отчетливо выделяется в пределах разреза альбских отложений, что дает возможность расчленить их более дробно. С своеобразные ассоциации фораминифер, выделенные в них, генетически тесно связаны между собой.

Радиолярии в альбских отложениях встречаются не во всех разрезах. В единичных экземплярах они обнаружены в Березовской, Леушинской, Уватской и Покровской (2-р) скважинах. Сохранность их очень плохая, не позволяющая определить даже до рода. По своему внешнему облику они близки к скелетам семейств

ства *Porodiscidae*. В большинстве случаев находки их приурочены к нижней толще альба.

Кроме фауны, в отложениях альба (Уват и Ханты-Мансийск) обнаружены споры и пыльца растений, которые очень близки к аптским, поэтому выделяются в общий комплекс апт-альбский. Подробная характеристика его дана при описании отложений анта. Здесь мы ограничимся кратким повторением основных особенностей комплекса. Он резко отличен от комплекса из осадков готерив-баррема. В нем наблюдается уменьшение пыльцы древних хвойных, а их место занимает пыльца семейства *Pinaceae*, представленная родами, имеющими близкое сходство с современными. Наиболее характерной особенностью данного комплекса является появление пыльцы покрытосеменных растений и их наибольшее распространение в отложениях альба. Это говорит о более высоком стратиграфическом положении данных отложений. С накоплением фактического материала, вероятно, удастся выделить для них отдельные характерные спорово-пыльцевые комплексы.

Если альбский возраст аммобакулитовой зоны всеми исследователями считается установленным, то возраст вернейлиновой зоны до сих пор является спорным. Одни исследователи относят ее к альбу, причем такого мнения в настоящее время придерживается большинство исследователей, другие к турону, а более ранние исследователи относили ее к апту.

В. С. Заспелова, впервые выделившая эту зону на основании присутствия в ней видов *Rhabdammina* (?) *aptica* Dampe 1 n. mns и *Haplophragmoides excavata* Gush. et Wat. var. *umbilicata* Dain, характерных для апта Эмбенского района, отнесла ее к апту.

Палеонтологи ВСЕГЕИ в тюменском разрезе выделили отложения альба в одну вернейлиновую зону и отнесли ее также к апту, но когда была определена раковина моллюска *Inoceramus* ex gr. *labiatus* Schloth. var. *lata* Woods на глубине 904—910,0 м, Н. Н. Ростовцев, Т. И. Осько (1950 г.) отнесли ее к турону, когда нижняя часть этих слоев была выделена в самостоятельную зону и ее на основании руководящего аммонита стали относить к нижнему альбу. В объем собственно вернейлиновой зоны они стали включать верхний альб, сеноман и часть турона. Ими принимается во внимание и то обстоятельство, что раковины подобных инооперамов, имеющие довольно хорошую сохранность, встречаются в Березово на 200 м выше вернейлиновой зоны в слоях с *Gaudryina filiformis* Bergt., туронский возраст которой является доказанным. В результате этого мощность туронских отложений в разрезе увеличивается на 200—300 м, что, конечно, требует объяснения.

Раковина моллюска, найденного в тюменском разрезе, имела плохую сохранность, и долгое время от определения ее специалисты воздерживались. Потом она под сомнением была определена как *Inoceramus* ex gr. *labiatus* Schloth. var. *lata* Woods (В. С. Глазунов и А. В. Романовская) и как *Inoceramus* aff. *amudariensis* Arkh. (С. А. Добров и В. П. Ренгартен).

Из литературных источников известно, что *Inoceramus labiatus* Schloth. — руководящий вид для турона, имеет свой нижнemеловой аналог — *Inoceramus labiatiformis* Stolle, на что еще в свое время указывал А. В. Хабаков. Повидимому, поэтому эти слои он отнес вначале к апт-альбу.

Зона залегает непосредственно на слоях нижнего и среднего альба, поэтому мы относим ее к верхнему альбу.

В пользу альбского возраста вернейлиновых слоев говорит еще ряд фактов.

Здесь обнаружены почти те же виды фораминифер, только одни в меньшем количестве, а другие достигают максимального развития. Это говорит о генетической связи между видами. Следовательно, по развитию фауны аммобакулитовая зона тесно связана с вернейлиновой. По литологическому составу эти слои аналогичны породам нижнего и среднего альба и никакого сходства не имеют с отложениями сеномана и турона.

На основании присутствия общих видов фораминифер в однотипной литологической пачке можно сделать вывод об одновозрастности этих отложений. Однако внутри альба происходит смена комплексов фораминифер, вызванная изменившимися во времени условиями бассейна, что дает основание предполагать более высокое стратиграфическое положение вернейлиновой зоны, чем аммобакулитовой.

Палеонтологическими данными, которые с несомненностью указывают на альбский возраст этой зоны, являются комплексы ныльцы и спор и встреченные здесь остракоды. Хотя альбской макрофауны здесь не найдено, однако и эти данные заставляют склоняться к мысли о ее нижнемеловом, альбском возрасте. Учитывая более высокое стратиграфическое положение зоны и находки сеноманской флоры в вышележащих слоях, до получения новых данных мы считаем ее верхнеальбской.

Микрофаунистические и литологические исследования показывают, что в течение альбского времени режим моря не был однобразным. Со сменой режима менялись и условия существования фауны, что вело к смене комплексов фораминифер. Начавшееся углубление бассейна в нижнеальбское время создало благоприятные условия для развития как песчанистой, так и известковистой фауны; к началу верхнеальбского времени условия изменились, и фауна вернейлинового комплекса обитала уже в резко изменившихся условиях, повлекших за собой смену в облике и составе фауны; исчезновение известковистой фауны и пышный расцвет в основном одного вида *Verneuilina asanoviensis* Z a s p. Во второй половине верхнего альба начавшаяся регрессия моря ведет к смене условий и резкому сокращению фауны, а иногда и к полному ее исчезновению.

Условия седimentации во время альба в отдельных районах почти не менялись. В Кузнецковской скважине отложения альба представлены глиной серой, алевролитистой, слюдистой; в Леушинской — аргиллитом темносерым, почти черным, илотовым, углистым с прослойками алевролита и известняка, только в верхней части аргиллит ритмично чередуется с тонкими прослойками светло-серого, слюдисто-кварцевого алевролита; в Ханты-Мансийской — однообразной аргиллитовой толщей; в Уватской — однородной толщей темносерых, почти черных углистых аргиллитов, с незначительными по мощности прослойками серых мелкозернистых алевролитов. В нижней части отмечается несколько прослоев (линз ?) сидерита и скрытокристаллического известняка. В самой северной Березовской скважине альбские отложения представлены темпо-

серыми алевритистыми, реже алевритовыми плотными глинами, с редкими прослойями серого глинистого алевролита и сидерита.

Что касается более южных районов, то в Викуловском районе альб представлен темносерой плотной глиной, переслаивающейся с алевролитистым глинистым песчаником; в Яковлевском — серой глиной и песчаником, такова же литология и в Ряжинском районе. Более детальную литологию для южной части дать невозможно, так как исследованию подвергались отдельные образцы, которые представляли собой глинистые породы, более или менее плотные, отличавшиеся главным образом цветом и степенью песчанистости.

Из фораминифер в этом материале были встречены немногочисленные в видовом и количественном отношении представители песчанистых форм.

Что касается изменения мощностей альбских отложений, то оно прослежено также только в разрезах опорных скважин. Для сравнения приводим мощности слоев, охарактеризованных палеонтологически; по литологическим и каротажным данным границы выделенных стратиграфических толщ даются несколько иные с увеличением объема в пределах 10 м.

Наименьшая мощность микрофаунистически охарактеризованных альбских слоев равна 108 м (разрез самого западного Кузнецковского района). При удалении этого района мощность слоев увеличивается незначительно — в Березово до 113 м, в Тюмени до 124,15 м, а в Леушинском разрезе резко возрастает — до 192,9 м. Максимальная мощность этих отложений отмечена в более восточных районах — Увате и Ханты-Мансийске. В этих двух разрезах она достигает 258 м. В альбское время указанные районы были областью наибольшего накопления осадков, следовательно, более мелководной, прибрежной. С удалением на восток возрастает не только мощность этих отложений, но и увеличивается содержание песчанистого материала.

Если проследить, как шло изменение с севера на юг, то можно сделать вывод, что от Березовского района к Леушам, Ханты-Мансийску и Увату мощность альба увеличивается, к югу от них — уменьшается, а песчанистость отложений повышается. Отсутствие исчерпывающих данных не дает возможности проследить их постепенное уменьшение.

Относительно условий образования альбских отложений можно сделать следующее предположение. Так как фауна альба изучена еще недостаточно, то мы лишь в самых общих чертах охарактеризуем фораминифер как показателей морской среды. В этом бассейне существовали два комплекса фауны. В нижне-альбское время комплекс со смешанным типом фауны — песчанистой и известковистой, причем известковистая имеет подчиненное значение. В верхнеальбское время существовал комплекс исключительно песчанистых фораминифер.

Восстановить картину палеоэкологии можно только сопоставляя эти комплексы с современными, связанными с определенными условиями современных бассейнов. Однако слабая изученность экологии современных фораминифер не дает такой возможности. В литературных источниках пока еще нет достаточно точных, не

вызывающих сомнений указаний на состав комплексов фораминифер, обитающих на различных глубинах и при различных температурах.

Известно, что комплексы фораминифер, состоящие из песчанистых раковин (по данным З. Г. Щедриной, 1950 г.), обитают на глубинах до 100 м и с низким температурным режимом. Характерны представители *Hypsocrepina*, *Reophax*, *Ammobaculites*, *Verneuilina*, *Miliammina*, *Trochammina*. Глубже к ним присоединяются известковистые раковины. В то же время известно (Бреди, 1884 г.), что современные представители *Haplophragmoides* и *Gaudryina* обитают на глубинах и выше 1 000 м. Представители родов *Cristellaria* и *Gyroidina* обитают в прибрежных условиях и на глубинах выше 1 000 м при различных температурах.

Для этих комплексов характерно отсутствие планктонных фораминифер, которые в современных морях существуют чаще в открытом море, чем у берегов. Присутствие планктонных фораминифер также указывает на более высокую температуру окружающей среды.

Из планктонной фауны в наших комплексах присутствует не большое количество радиолярий. Так как радиолярии ведут подвижной образ жизни, то они, повидимому, не могут быть показателями температурных режимов существования фораминифер.

Таким образом, мы можем предполагать, что комплексы, состоящие преимущественно из песчанистых или целиком из песчанистых фораминифер, развивались не в очень глубоководной морской среде. Нижнеальбский бассейн, в котором развивалась также известковистая фауна, был более глубоководным, чем верхней альбский, в котором развивалась только песчанистая фауна. О небольших глубинах говорит присутствие растительных остатков, обломков раковин пелеципод и гастропод, а также спор и пыльцы растений, а о довольно теплом бассейне — присутствие игл ежей.

Споры и пыльца в разрезе мезозоя Западной Сибири встречаются только в отдельных горизонтах, являющихся континентальными или прибрежно-морскими; морские отложения почти лишены спор и пыльцы. Но наиболее полный альбский спорово-пыльцевой комплекс встречен и в более глубоководных отложениях хорошо охарактеризованного микрофауной леушинского разреза и в разрезах Увата и Ханты-Мансийска, расположенных, по нашему мнению, в прибрежной зоне альбского моря.

В самом бассейне по данным литологов существовал восстановительный режим. Но это противоречит условиям развития фауны. Повидимому, эти процессы в основном шли в осадке. В породе встречается большое количество пирита, которым фауна часто заполнена, цвет раковинок всегда желтоватый.

Приведенные противоречивые результаты безусловно затрудняют вывод об условиях существования альбских комплексов фораминифер.

Наличие в разрезах преобладающего количества песчанистой фауны указывает на boreальный характер отложений.

## ВЕРХНИЙ МЕЛ

### Сеноман

Отложения сеномана в Приуральской части низменности представлены прибрежно-морскими, а на остальной части — континентальными осадками.

В пределах Восточного Приуралья после отложений слоев верхней линовой зоны происходит резкое обмеление бассейна, которое продолжалось на протяжении всего периода отложений песчано-глинистой толщи, вплоть до турона. Прибрежно-морские отложения сеномана в этой части низменности сложены переслаиванием глины зеленовато-серой, серой и темносерой, алевритистой с серым песчаником, алевролитом и редкими прослоями аргиллитов.

Из палеонтологических остатков в этих отложениях обнаружены единичные раковины фораминифер как песчанистых, так и известковистых, скелеты радиолярий плохой сохранности, остатки ихтиофауны и обильный растительный дегрит. Кроме того, в Леушинской, Уватской и Ханты-Мансийской скважинах обнаружен довольно богатый спорово-пыльцевой комплекс. Обычно встречающиеся здесь песчанистые фораминиферы разрушены и представлены единичными раковинками *Naplophragmoides*, реже *Clavulina* и совершенно неопределимыми формами.

В Леушинской скважине, кроме того, в нескольких образцах встречена известковистая фауна родов *Cibicides* и *Eponides*, а также раковинки остракод плохой сохранности, иглы ежей; известковистая фауна обнаружена в одном образце из кузнецового разреза. В том и другом случае фауна имеет довольно хорошую сохранность и по своему облику близка к кампан-маастрихтской. Количество ее невелико — всего несколько экземпляров. В Ханты-Мансийске в толще сеномана встречена одна раковинка *Nodosaria* sp. плохой сохранности и, повидимому, переотложенная.

Чаще фораминифер в этих отложениях встречаются радиолярии, которые также не имеют повсеместного распространения. В борзовском разрезе они не найдены; в кузнецовском встречены в трех образцах единичные скелеты плохой сохранности, которая не позволила определить их даже до рода. В Леушах найдены радиолярии, встречающиеся почти во всех ярусах меловых отложений. Значительная часть из них плохой сохранности. Определены: *Spongodiscus* sp., *Amphibrachium* sp., *Spongodiscus* aff. *volgensis* Lipm., *Spongodiscus* aff. *impressum* Lipm.

Наибольшее количество радиолярий обнаружено в хантымансиjsком разрезе. Здесь они спорадически встречаются по всей толще, но характеризуются бедным видовым составом. Из всего количества встреченных форм удалось определить вид *Spongodiscus volgensis* Lipm. и *Cenellipsis oliptica* Lipm. Остальная фауна определена только до рода. Эти виды являются характерными для более высоких стратиграфических горизонтов, главным образом сантонса, где они встречаются в больших количествах, реже в кампан-маастрихте.

В уватском разрезе радиолярии приурочены к верхней части толщи и представлены единичными экземплярами. Скелеты также

плохой сохранности и с большим трудом определены *Spongodiscus volgensis* L i p m., *Cenosphaera* sp., *Cenosphaera* sp. 1. Таким образом, видовой состав встречаенных радиолярий во всех разрезах одинаков.

Из скважин, пробуренных в южной части низменности, только в Омске на глубине 1107 м найдены единичные экземпляры *Cenosphaera* sp. 1. Что касается разведочных скважин, то в них комплекс сеномана выделить не удалось из-за отсутствия достаточного кернового материала.

По находкам фораминифер и перечисленных радиолярий возраст этой толщи определить невозможно. Количество их невелико, встречаются они не везде и не ограничиваются распространением только в данных слоях, а встречаются ниже и выше по разрезу. Предположение, что найденная фауна фораминифер является переотложенной не имеет оснований. Повидимому, для сеномана характерен смешанный состав фауны — нижне- и верхнемеловой. Для разрешения этого вопроса необходимы новые данные. То же можно сказать и относительно фауны радиолярий.

За пределами исследуемой территории сеноман известен в в Усть-Енисейском районе, где он выделен под сомнением. Представлен он песками и песчаниками с прослойями серых и зеленовато-серых глин и алевролитов с линзочками углей. В этом районе известны находки сеноманской фауны *Inoceramus pictus* J o n., найденной только в валунах.

Отложение толщи сеномана в районе Приуралья происходило в условиях прибрежно-морского мелководного бассейна. О прибрежных условиях свидетельствуют: литология, редкие находки грубозернистой микрофауны плохой сохранности, большое количество остатков обуглившейся древесины и наличие спорово-пыльцевых комплексов.

Мощность сеноманских отложений, как и альбских, увеличивается с продвижением на восток. В Кузнецком районе она равна 90 м, в Березовском — 188 м, в Леушинском — 211 м, в Уватском — 275 м и в Ханты-Мансийском — 314 м. Таким образом, и в сеноманское время районы Увата и Ханты-Мансийска были областью наибольшего накопления осадков.

Сеноманские отложения центральной и восточной частей низменности представлены мощной (свыше 450 м) толщей, которая прослеживается особенно хорошо в тарском, омском, барабинском, татарском, тебисском, покурском, ларьякском, колпашевском и максимкин-ярском разрезах. По литологическому составу она в основном представлена неравномерным переслаиванием мелкозернистых песков, слабо cementированных песчаников, алевролитов, серых и зеленовато-серых глин. Характерным признаком этой толщи является присутствие янтаря.

Из палеонтологических остатков в этой толще в Барабильской ске. 1-р в интервале 985—796 м обнаружено большое количество остатков флоры (отчет ВСЕГЕИ за 1950 г.). Здесь найдены корневище типа *Posidonia* и *Platanus* sp., отпечатки листьев *Platanus* sp., *Dycotyledones* sp., *Trochodendroides* sp. различной сохранности, чешуя, шишки и хвоя *Pinus Lopatinii* Нее г.

По заключению А. Н. Криштофовича — «Весь комплекс типичен для верхнего мела без всяких исключений. Её толща 985—796 м является не древнее сеномана. Она вся также охарактеризо-

вана наличием зерен янтаря, указывающих на произрастание тут хвойных деревьев, вероятно, той же сосны *Pinus Lopatinii*, остатки которой в виде крупной чешуи и хвои появляются только в самом шизу (с глубины 922,5 м).

Неважно сохранившееся корневище *Posidonia* sp. (796 м) может указывать на морское побережье, но при плохой сохранности оно может быть отнесено к *Biotomas*, пресноводному растению, определявшему из меловых отложений». На глубине 898 м обнаружен непарный плавник костистой рыбы.

Аналогичные остатки флоры, указывающие на низы верхнего мела, найдены в Колпашевской скв. 1-р: папоротник *Sphenopteris* cf. *psilotoides* (St. et We b l.), мелкие *Cladophlebis* sp. и очень мелкие фрагменты других растений (А. Н. Криштофович. Отчет ВСЕГЕИ за 1951 г.). В разрезе Максимкин-Ярской скважины найдены *Platanus* cf. *cuneifolia* Br., *Platanus* sp., *Cissites* sp.; в Покурской — *Cyparissidium* sp., *Onychiopsis Mantellii*, отнесенные А. Н. Криштофовичем также к нижней половине верхнего мела. Подобные находки известны и в Чулымской скважине — *Platanus* cf. *cuneifolia* Br., *Lauraphyllum* sp. cf. *Laurus Plutonia* Негр.

Таким образом, приведенный комплекс флоры, найденной в этой толще в различных разрезах, дает возможность относить ее к нижней части верхнемеловой эпохи — сеноману — и сопоставлять с аналогичными отложениями Приуральской части.

В ряде разрезов, подвергнутых спорово-пыльцевому исследованию, удалось выделить комплексы спор и пыльцы, имеющие верхнемеловые черты. Исследовались следующие скважины: Леушинская, Уватская, Ларьинская, Ханты-Мансийская, Омская, Большецечская и Ипатовские.

Спорово-пыльцевой комплекс для разрезов названных выше скважин (сеноман (?) — табл. 73—85 и сеноман-турон — табл. 86—87 и 93—95 приложения) разнообразен по флористическому составу и характеризуется в общем преобладанием спор над пыльцой, кроме района Леушинской, где пыльца преобладает над спорами.

Пыльцевой комплекс в основном представлен пыльцой голосеменных растений. В отличие от нижележащих горизонтов здесь пыльца покрытосеменных растений составляет от 0,9 до 2,9% и представлена пыльцой *Salix*, *Ericaceae*, *Acer*, *Betula*, *Angiospermae* трехпоровой трехбороздной.

Характерной особенностью комплекса является присутствие пыльцы семейства *Pinaceae*, среди которого преобладают рода *Cedrus* и *Pinus*, меньше отмечается пыльцы *Piceae* и *Abies*, т. е. родов, имеющих близкое сходство с современными, тогда как пыльца древних *Coniferae* встречается единично.

Следующей характерной чертой данного комплекса по сравнению с комплексом из нижележащего горизонта является увеличение процентного содержания пыльцы семейства *Taxodiaceae*. Пыльца *Brachyphyllum*, классов *Bennettitales*, *Ginkgoales* и *Cycadales* встречена единично. Как уже указывалось выше, спорово-пыльцевой комплекс Леушинского района несколько отличен от комплексов остальных районов. Во-первых, в комплексе преобладает пыльца над спорами за счет очень высокого процента пыльцы семейства *Taxodiaceae*. Во-вторых, среди пыльцы *Pinaceae* наибольшее количество составляет пыльца *Pinus*, а *Picea*, *Abies* и *Cedrus* встре-

чаются единично. Споровый состав спектра особых отличий не имеет.

Флористический состав папоротникообразных во всех районах очень разнообразен, хотя процентное содержание многих представителей не превышает сотой доли процента.

Подобно споровому комплексу нижележащего горизонта основная роль в спектре принадлежит спорам папоротников из семейства *Schizaeaceae* с преобладанием родов *Mohria*, *Lygodium* и несколько меньше *Aneimia*. Довольно значительную роль в спектре играют споры семейства *Cyatheeaceae*, *Coniopteris*, *Diskoniaceae*, *Gleicheniaceae*, меньше *Osmundaceae* и *Ophioglossaceae*. Отмечается большое количество спор группы *Leiotriletes* *Nau m.*

Постоянно в комплексе, хотя и не в больших количествах, присутствуют споры плаунов семейства *Lycopodiaceae* и рода *Selaginella*, а также споры мхов *Sphagnum*.

Приведенный спорово-пыльцевой комплекс в основном сходен с описанными в литературе сеноманскими комплексами по данным Н. А. Болховитиной (1953 г., р. Эмба, Южный Урал), В. В. Зауер, М. А. Седовой и Н. Д. Мchedлишвили (1954 г., Урал, Тюмень), В. А. Вахрамеева (1952 г., Эмбенская область).

Но нужно отметить, что наши комплексы значительно беднее по содержанию пыльцы покрытосеменных растений, а также и по их видовому составу, кроме того отсутствует пыльца широколиственных форм.

Сопоставляя комплексы пыльцы и спор, полученные из указанных выше районов, между собой, мы отмечаем их большое сходство по основным группам растительного мира. Безде комплексы сеномана несут в себе очень много нижнemеловых черт: присутствие пыльцы древних хвойных — *Coniferae*, доминирование спор папоротников из семейства *Schizaeaceae*, небольшое количество и бедность флористического состава покрытосеменных растений.

Климат в сеноманскоe время был, повидимому, теплый и влажный.

## Турон

Отложения турона, охарактеризованные фаупой, имеют широкое, но не повсеместное распространение. Они вскрыты всеми опорными и разведочными скважинами в пределах от восточного склона Урала на западе до Нарыма на востоке, на юге от районов, расположенных вдоль полотна железной дороги — от Макушшило до Татарска, и на севере в Березово. Известны они также в районе Усть-Еписея. В самых восточных разрезах — колпашевском и максимкин-ярском — в этих отложениях фауна фораминифер не обнаружена.

Таким образом, туронская трансгрессия охватила значительную часть низменности и создала благоприятные условия для развития органического мира. В связи с этим происходит резкое обогащение слоев микрофауной, среди которой большого развития достигает фауна песчанистых фораминифер, а в некоторых районах и радиолярий. Вообще же радиолярии играют второстепенную роль

и большого значения для стратиграфии турона не имеют. Остракоды из этих отложений известны в двух разрезах.

Кроме микрофауны, в туронских отложениях встречаются представители пелепидопод и аммонитов, имеющие руководящее значение. Найдены целых раковин пелепидоп немногочисленны, и основная масса их представлена неопределенными обломками. Особенно богаты ими более восточные разрезы (Ларьяк, Нарым). Из других органических остатков нужно отметить неопределенные остатки ихтиофауны, которые иногда имеют значительные скопления, и небольшое количество спор и пыльцы.

Слагаются отложения турона в основном темносерыми алевролитистыми глинами и аргиллитами с некоторыми особенностями в каждом разрезе: в районе Кузнецово — с прослойми мергеля; в Леушах — с аргиллитом с гнездами алевритового материала; в Ханты-Мансийске — с алевролитом с пресслойками аргилита; в районах Увата и Покура — с прослойми алевролитов; в Ларьяке, Нарыме и Таре — с прослойми песка, а в разрезе Омска — с прослойми опоковидных глин в подопшве и с известковыми желваками в кровле.

Объему туронских отложений соответствуют две микрофаунистические зоны. Одна из них — нижняя зона *Gaudryina filiformis* Вегтхейли — прослежена в пределах распространения морских отложений турона. Верхняя — зона *Discorbis sibiricus* Даип не имеет такого широкого распространения; она окаймляет узкой полосой западную, южную и, повидимому, восточную окраины низменности.

Стратиграфическое положение зон в настоящее время сомнений не вызывает благодаря находкам руководящей макрофaуны аммонитов и пелепидоп. В керне Уватской скважины вместе с комплексом фораминифер годрииновой зоны на глубине 1034—1027 м найден аммонит *Baculites romanovskii* Аргк., определенный В. И. Бодылевским. Этот вид является характерным для турона Араба, Мангышлака и верховьев р. Аму-Дары. В березовском разрезе в этой зоне обнаружены моллюски, приуроченные к нижней части зоны — *Inoceramus labiatus* Schloeth. var. *lata* Woods., определенные А. Е. Глазуновой. Этот вид найден также в Каменском районе (восточный склон Урала) совместно с фораминиферами дискорбисовой зоны и тригониями туронского облика, хотя, по мнению некоторых исследователей, первичное залегание этой фауны вызывает сомнение.

Таким образом, для Приуральской части Западно-Сибирской низменности туронские отложения хорошо охарактеризованы руководящей макрофaуной. Для остальной части они устанавливаются руководящим комплексом микрофaуны зоны *Gaudryina filiformis* Вегт.

В районе Усть-Еписея отложения турона сложены темносерыми глинами с прослойми мелкозернистых зеленовато-серых песков. В них выделяется нижний турон с *Inoceramus labiatus* Schloeth., *Placenticeras cf. planum* Нуат., *Actinocamax* sp., с характерным комплексом микрофaуны и верхний турон с *Inoceramus interruptus* Schm. и с небольшим количеством фораминифер и остракодов. Кроме того, здесь найдены спорово-пыльцевые комплексы.

Зона *Gaudryina filiformis* Berl.

По нашим данным эта зона распространена от районов Восточного Пряуралья — Кузнецово, Тюмень — до Ларька и Нарыма на востоке (рис. 10). Южная и северная границы ее развития пока не установлены.

Ассоциация фораминифер этой зоны в основном представлена большим количеством новых видов песчанистой фауны, которые

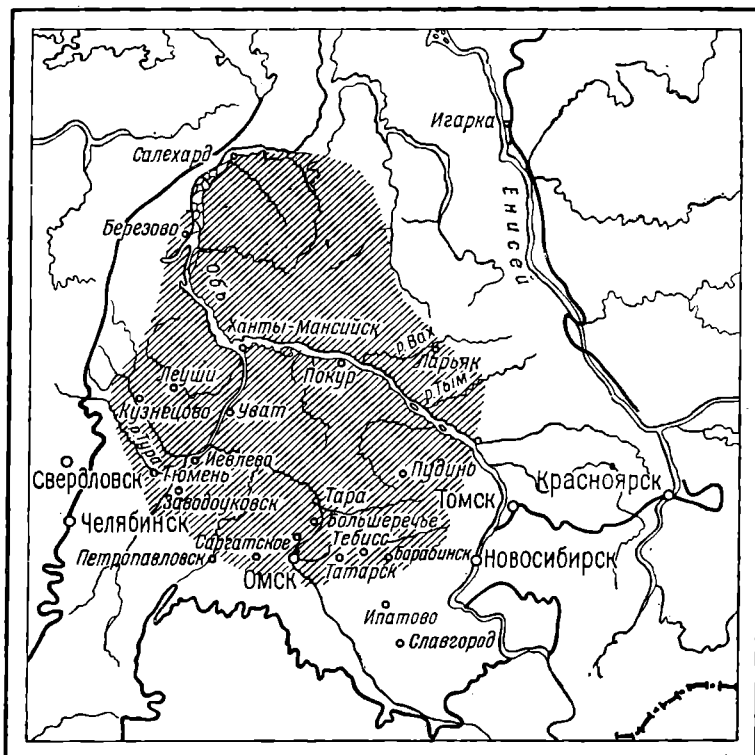


Рис. 10. Карта распространения фаунистической зоны с *Gaudryina filiformis* Berthelin — турон (составила З. И. Булатова).

в разрезе отложений нижнего мела отсутствуют. Отличается этот комплекс и по внешнему облику. Размеры раковинок меньше, структура стенок более мелкозернистая, цвет обычно серый и редко желтоватый.

Видовой состав комплекса довольно разнообразен. Широкое распространение в нем имеют представители песчанистой фауны семейств *Ammodiscidae*, *Lituolidae*, *Textulariidae*, *Verneuilinidae*, *Trochamminidae*. Наиболее разнообразно в видовом отношении семейство *Lituolidae*, в котором преобладает род *Haplophragmoides*. Особенno важным в комплексе является семейство *Verneuilinidae*, представители которого придают своеобразие данной ассоциации. По характерному виду из этого семейства *Gaudryina filiformis* Berl., встречающемуся в больших количествах по всему разрезу, зона получила свое название.

В разрезах Приуральской части годрииновая зона значительно лучше охарактеризована фораминиферами. Некоторые разрезы — Леуши, Ханты-Мансийск, Уват, особенно первый, могут быть взяты за эталонные. Большое количество фауны содержат отложения турона тарского и омского разрезов. Сохранность фауны в них не всегда однакова, но в большинстве случаев достаточна, чтобы произвести определение.

В разрезах, приуроченных к краевым частям низменности, количество фауны резко сокращается; фауна трудно определяма из-за плохой сохранности. Например, в Тюменской скв. 1-р из всего комплекса был найден единственный экземпляр *Gaudryina filiformis* Bergt. Немногочисленна и плохой сохранности фауна в разрезах Кузнецковской, Березовской и Нарымской скважин. Несколько лучше она в разрезах центральной части низменности — Покурском и Ларьяском.

Приподнимем список всех определенных форм из разрезов опорных и разведочных скважин: *Rhizammina* sp., *Proteonina* sp. 2, *Proteonina sherborniana* (Chapman), *Thurammina* sp., *Pelosina* (?) *complanata* Franke, *Reophax* aff. *scorpiurus* Montfort, *Glomospira gaultina* Berthelin var. *confusa* Zasp., *Glomospira* sp., *Haplophragmoides darvini* Dain, *Haplophragmoides sibiricus* Zasp., *Haplophragmoides chapmani* Morosova, *Haplophragmoides* sp. nov. 1, *Haplophragmoides semiinvolutus* Zasp., *Trochamminaoides uniformis* sp. nov., *Trochamminaoides macrus* sp. nov., *Ammobaculites tuaevi* Zasp., *Ammobaculites nitidus* sp. nov., *Ammobaculites* sp. nov. 2, *Ammobaculites agglutinans* (Orb.), *Spiroplectammina mirabilis* sp. nov., *Textularia grandicula* sp. nov., *Textularia* sp. 2, *Textularia* sp. 3, *Verneuilina* sp., *Gaudryina filiformis* Bergt., *Gaudryina* sp. 1, *Clavulina prodigiosa* sp. nov., *Clavulina* sp. 1, *Pseudoclavulina* (?) sp., *Miliammina* sp. 1, *Trochammina frankei* Ehrenberg, *Trochammina subbotinae* Zasp., *Trochammina inusitata* sp. nov., *Trochammina daina* Zasp., *Haplophragmoides* aff. *kirki* Wickenden, *Trochammina gyroidinica* sp. nov., *Protenina* aff. *difflugiformis* (Brady), *Hyperammina* sp., *Hyperamminoidea* (?) sp., *Ammobaculites uvatlicus* sp. nov., *Ammodiscus parvus* Zasp., *Gaudryina* aff. *laevigata* Franke.

Нужно отметить, что ни в одном из исследованных разрезов комплекс не имеет полного видового состава, но отличается очень мало. Как уже было указано выше, сокращается их количество.

Годрииновые слои легко выделяются в разрезах и прослеживаются на площади по присутствию таких наиболее характерных видов комплекса, как *Glomospira gaultina* Bergt., var. *confusa* Zasp., *Haplophragmoides darvini* Dain, *Haplophragmoides sibiricus* Zasp., *Haplophragmoides chapmani* Morosova, *Haplophragmoides semiinvolutus*, Zasp., *Trochamminaoides uniformis* sp. nov., *Trochamminaoides macrus* sp. nov., *Gaudryina filiformis* Bergt., *Clavulina prodigiosa* sp. nov. и др. Особенно характерны виды *Gaudryina filiformis* Bergt. и *Clavulina prodigiosa* sp. nov.

В некоторых разрезах эта ассоциация имеет свои характерные черты. В этом отношении отличен комплекс Ларька и Покура. Здесь паряду с песчанистой фауной встречены фораминифера

с известковистым скелетом из семейств *Lagenidae*, *Rotaliidae*, *Anomalinidae*, *Globigerinidae* и несколько раковинок остракод.

Фораминиферы мелкие и ввиду плохой сохранности и отсутствия их описания в литературе почти все определены лишь до рода. Приводим из них наиболее часто встречающиеся формы: *Cristellaria* sp., *Frondicularia* sp., *Bulimina* sp. (aff. *omskensis* К i s s.), *Discorbis* sp., *Eponides* sp., *Anomalina* sp. 1, *Anomalina* (?) sp., *Anomalina* sp., *Cibicides* sp. 1, *Cibicides* sp. 2, *Cibicides* sp. 3 (aff. *labiosa* К i s s.), *Cibicides* sp., *Gyroidina* aff. *nitida* (R e u s s), *Gyroidina* sp. 1, *Eoguttulina* sp.

Количество их не превышает 5 экземпляров каждого вида. В довольно значительных скоплениях (до 20 экземпляров) найдены *Globigerina cretacea* (O r b.), *Globigerina bulloides* (O r b.), *Globigerina* aff. *infracretacea* G l a e s s n e r, *Epistomina* sp. 1, *Epistomina* sp. 2, *Epistomina* sp. 3.

Из остракод в ларьякском разрезе определены морские формы: *Cytherella* sp. и *Clythrocystheridea* sp., в иокурском — *Cythereis* (?) sp. и несколько неопределенных раковинок.

Отличительной особенностью ларьякского комплекса является преобладание других палеонтологических остатков над фораминиферами, терявшими в массе остатков ихтиофауны, и обуглившихся растительных остатков.

Известковистая фауна встречена и в других разрезах, но в значительно меньшем количестве, в образцах из самой верхней части зоны. В омском разрезе она встречена на глубине 961 м, где вместе с песчанистыми фораминиферами годрииновой зоны найдено несколько раковинок *Polymorphina* sp. 1, довольно много *Gyroidina*, из которых удалось определить только *Gyroidina* aff. *micheliniiana* О г б., и несколько раковинок *Anomalina* sp. и *Cibicides* sp. В отличие от ларьякской эта фауна имеет плохую сохранность. Понятно, эти находки нужно относить уже ко второму комплексу турона, описание которого дается ниже.

То же самое и в березовском разрезе. В одном образце, на 10 м выше гидриновых слоев (глубина 391 м), вместе с массой обломков ихтиофауны и макрофаги обнаружены три раковинки очень хорошей сохранности из семейства *Lagenidae*. Они являются представителями трех различных родов: *Cristellaria* sp., *Dentalina* sp., *Vaginulina* sp. Выше и ниже по разрезу подобные виды не встречаются. Возможно, что при наличии материала нам удалось бы выделить здесь аналог дискорбисовой зоны.

Весьма необычно начинает свое развитие ассоциация фораминифер леушинского разреза. В подошве зоны на глубине 807,1 м вновь появляется *Verneuilina asanoviensis* Z a s p., исчезнувшая в этом разрезе в конце альбского времени. По данным ВСЕГЕИ этот вид обнаружен также в подошве гидриновой зоны Березовской скважины. Вместе с ним найдены туронские пелепицоды *Inoceramus labiatus* S c h l o t h. var. *lata* W o o d s. Несколько раковинок этого вида встречено в Уватской скв. 1-р. Эти находки показывают, что распространение *Verneuilina asanoviensis* не ограничивается альбскими слоями, а выходит за пределы этих отложений. Однако большого развития этот вид в туроне не получает.

Зона *Gaudryina filiformis* В е г т. впервые выделена В. С. Заспеловой (1940—1944 гг.) в разрезах Макушинской, Ганькинской,

Называевской и Татарской скважин. На основании находок этого характерного вида она была отнесена к альбу.

Впервые этот вид описан Бертельеном из альба юго-восточной Франции. Чэпмэн описал его из отложений среднего альба Англии. В пределах Европейской части Советского Союза он известен в альбских отложениях Поволжья, апте и альбе Эмбенской нефтеносной области (Е. В. Мятлюк), в апте и альбе Кавказа (Н. Н. Субботина, Д. А. Агаларова).

Таким образом, находки этого вида, многими авторами счи-тавшегося характерным для альба, послужили основанием для первоначального отнесения этой зоны тоже к альбу.

При наших исследованиях, еще при изучении первого разреза Тарской скважины, возникла необходимость пересмотра ее воз-растного положения. Причиной этого послужили общие геологи-ческие предпосылки, литологические и каротажные данные.

В литературных источниках было найдено, что *Gaudryina filiformis* развивалась и в верхнем мелу. Н. К. Быкова нашла этот вид в отложениях турона на севере Средней Азии; Викенденом она описана из верхнего мела Канады. Эти данные послужили основанием для отнесения годрииновой зоны в начале наших исследований к коньяку (?) — турону, а после уточнения ее воз-раста находкой туронского аммонита *Baculites romanovskii Arkh.* в разрезе Уватской скважины к турону.

Радиолярии годрииновой зоны в большинстве разрезов, не-многочисленны и встречаются в отдельных образцах. Самое большое количество их обнаружено в разрезах Березовской, Леушинской и Омской скважин, где они распространены по всей толще годри-иновых слоев.

Видовой состав радиолярий в них следующий: *Cenosphaera* sp. 1, *Conosphaera* sp., *Conosphaera ex gr. mammilata* Lipm., *Cenodiscus ex gr. lens* Lipm., *Porodiscus vulgaris* Lipm., *Porodiscus vulgaris* Lipm., *Porodiscus aff. vulgaris* Lipm., *Amphibrachium* sp. 3, *Amphibrachium* sp. 6, *Spongodiscus* sp. 1, *Spongodiscus ex gr. impressum* Lipm., *Spongodiscus impressum* Lipm., *Spongodiscus volgensis* Lipm., *Spongodissus citrus* Lipm., *Stylo trochus ex gr. hexaeantus* Lipm., *Stylo trochus cf. asiaticus* Lipm. (?), *Lithocampe* sp. 1, *Cromyodruppa concentrica* Lipm.

Наиболее полный видовой и количественный состав радиолярий встречен в разрезе Омской скважины, в Березово и Леушах он несколько беднее как в том, так и другом отношении. В омском разрезе в подошве годрииновой зоны в 4-метровой толще, в которой наблюдаются прослой опоковидных глин, радиолярии достигают массовых скоплений.

Характерными из перечисленных видов являются: *Conosphaera ex gr. mammilata* Lipm., *Cenodiscus ex gr. lens* Lipm., *Poro-discus vulgaris* Lipm., *Spongodiscus ex gr. impressum* Lipm., *Spongodiscus volgensis* Lipm.

По наличию видов радиолярий, которые не встречены в ниже-лежащих и выше лежащих отложениях, и по отсутствию наиболее характерного комплекса форм выше лежащих сантонских отло-jений появляется возможность в отложениях турона Березовской, Леушинской и Омской скважин выделить отдельную подзону

нижнерадиоляриевой зоны. В ханты-мансийском, уватском и ларькском разрезах аналогичную пачку выделить не удалось ввиду очень малого количества встреченных скелетов и плохой их сохранности.

Для туронских отложений характерно большое количество пирита, что указывает на восстановительные процессы, которые происходили в осадке на протяжении отложений этой толщи. Особенно много пирита в более восточных разрезах Ларька и Нарыма, где почти все раковины фораминифер заполнены пиритом, а также встречается много пиритовых ядер.

Преобладание в комплексе песчанистой фауны указывает на неглубокий бореальный характер моря, в котором развивалась фауна годрииновой ассоциации.

Мощность годрииновой зоны увеличивается с запада на восток. Изменение ее видно из приведенной ниже таблицы.

Таблица 3

Опорные скважины	Мощность, м	Опорные скважины	Мощность, м
Кузнецковская 1-р . . . . .	15	Тарская 1-р . . . . .	27,9
Леушинская 1-р . . . . .	43,6	Омская 1-р . . . . .	38,0
Березовская 1-р . . . . .	45,0	Покурская 1-р . . . . .	19
Ханты-Мансийская 1-р . . . . .	58,4	Ларькская 1-р . . . . .	54,3
Уватская 1-р . . . . .	48,8	Нарымская 1-р . . . . .	8,3

Из таблицы также видно, что наибольшая мощность годрииновых слоев вырисовывается в самой восточной части Приуралья (Ханты-Мансийск, Уват), затем в Покуре она резко сокращается и вновь возрастает в ларькском разрезе. Повидимому, Ханты-Мансийск, Уват и Покур были областями наибольшего накопления осадков. К юго-востоку от Ларька она вновь уменьшается и в Нарыме достигает только 8,3 м. К югу от этих разрезов мощности также сокращаются (Тара, Омск).

### Зона *Discorbis sibiricus* D a i n

Впервые она выделена Л. Г. Дайн в 1937 г. в разрезе Шумихинской скважины, соответствует «зоне II» и лежит выше слоев с годрииной. Из видов, характерных для этой зоны, ею определены *Valvularia* aff. *lenticula* (Reuss), *Discorbis sibiricus* Dain, *Anomalina* ex gr. *lorneiana* (Gib.), *Cibicides* ex gr. *sandidgi* Brotze.

При исследованиях последних лет дискорбисовый комплекс был обнаружен В. Т. Балахматовой в разрезе Барабинской скв. 1-р, причем ею отмечается такая последовательность отложений: выше отложений зоны с *Gaudryina filiformis* лежит 4-метровая толща пород, не охарактеризованных фауной, а затем следует комплекс фораминифер зоны с *Discorbis sibiricus* Dain (рис. 11).

В составе этого комплекса преобладают мелкие и хрупкие тонкостенные известковистые фораминиферы. В. Т. Балахматовой в списке встреченной фауны, кроме видов названных выше, при-

водятся: *Valvulineria vestesibirica* Dain, *Gümbelina globifera* (Ehrenberg) и представители семейств *Lagenidae*, *Polymorphinidae*, *Buliminidae*, *Rotaliidae*. Песчанистые фораминиферы встречаются редко, имеют плохую сохранность и состоят их раковинок *Haplophragmoides*.

Нами этот комплекс обнаружен в двух разрезах — яковлевском и гарымском. Наиболее существенную роль в данном ком-

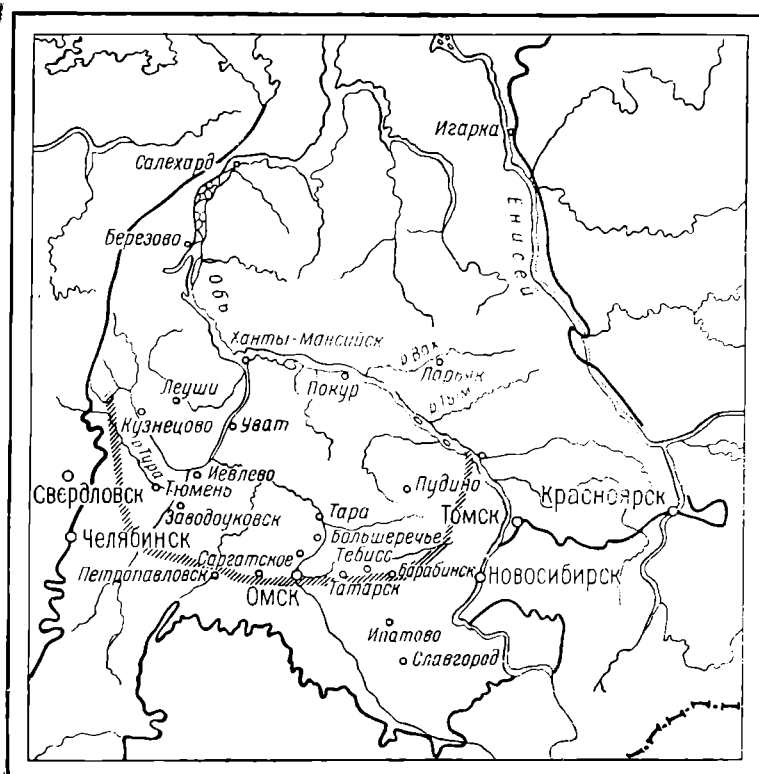


Рис. 11. Карта распространения фаунистической зоны *Discorbis sibiricus* Dain — турон (составила З. И. Булатова).

плексе Яковлевской скважины играют представители семейств *Lagenidae*, *Anomalinidae*, *Rotaliidae*, *Polymorphinidae* и *Buliminidae*. Характерны мелкие, тонкие, большей частью разрушенные раковинки. По своему облику они очень своеобразны и отличаются от известковистой фауны сантонга и кампан-маастрихта. Фауна фораминифер, обнаруженная в парымском разрезе, отлична по составу.

В Яковлевской скважине в образце серой глины (глубина 520—522 м) определены следующие известковистые фораминиферы: *Cristellaria* sp., *Dentalina* sp., *Globulina* sp., *Guttulina cretacea* Reuss, *Discorbis* sp., *Discorbis* aff. *sibirica* Dain, *Gyroidina* sp., *Cyroidina* aff. *turgida* (Hagenow), *Gyromorphina allomorphoides* (Reuss), *Eponides* sp., *Anomalina sibirica* Dain, *Anomalina* sp., *Cibicides globosus* Kisselmann litt.

Из песчанистой фауны встречены *Verneuilina* sp. Помимо этого, обнаружены радиолярии и органические остатки. Из фауны радиолярий определен *Spongodiscus* sp., оставшиеся скелеты плохой сохранности. Форамииниферы мелкие, тонкостенные и хорошей сохранности.

С некоторым сомнением зона *Discorbis sibiricus* Da i n выделена в самой восточной Нарымской скважине. Здесь в одном образце темносерой алевритовой глины с глубины 364,1 м встречен комплекс форамиинифер, состоящий из песчанистых и известковистых форамиинифер, причем преобладают песчанистые. Большинство встреченной здесь фауны определено только до рода из-за плохой сохранности. Известковистые форамииниферы представлены чаще иллитовыми ядрами, чем целыми раковинками, которые, однако, хорошо сохранили внешнюю форму и характерные признаки.

Песчанистая фауна представлена видами, переданными из нижележащей годрииновой зоны. Здесь определены: *Hyperammina* sp., *Bathysiphon* sp., *Haplophragmoides* aff. *kirki* Wickele und den, *Hyperamminoides* sp., *Haplophragmoides chapmani* Morrisova, *Ammodiscus* cf. *parvus* Zasp., *Trochammina gyroidinica* sp. nov., *Glomospira* cf. *gaultina* Berthelin, *Haplophragmoides* sp., *Trochammina* sp.

Известковистая фауна представлена видами: *Nonionella* sp. (aff. *cretacea* Orb.), *Gumbelina* sp., *Gyroidina* sp., *Anomalina* sp., *Nodosaria* sp., *Bulimina* sp., *Polymorphina* sp.

Кроме того, встречены лигнитизированные скелеты радиолярий и диатомовых водорослей, остатки ихтиофауны и обуглившиеся растительные остатки.

Помимо перечисленных выше пунктов, дискорбисовая зона прослежена вдоль восточного склона Урала — от г. Серопа до Кушмурона (данные Уральского геологического управления). В Каменском районе этот комплекс встречен вместе с *Inoceramus labiatus* Schloth и тригониями туронского возраста. Найденная макрофауна устанавливает туронский возраст отложений, включающих фауну форамиинифер этой зоны. Из последних данных (А. И. Еремеева) известно, что находки этого инодерама привлекаются во внимание при определении возраста не могут как находящиеся вне этой зоны. Поэтому зону до получения новых данных условно отнесли к турону.

На основании фактических данных приходим к заключению, что микрофаунистическая зона приурочена к красивым частям низменности, в которых туронский бассейн был более мелководным. Здесь существовали благоприятные условия для развития своеобразной фауны.

Таким образом, в настоящее время в Западной Сибири известны два типа туронских ассоциаций форамиинифер. Одни из них характеризуется весьма разнообразным видовым составом песчанистой фауны и имеет широкое площадное распространение. Второй тип отличается преобладанием известковистой фауны и не имеет повсеместного распространения. Все попытки получить более ясное представление о составе и распределении форамиинифер второго комплекса пока положительных результатов не дали.

Каждая из ассоциаций выделена в микрофаунистическую зону. Судя по имеющимся данным, эти зоны разделены отложениями,

лишеными микрофауной. Мощность их незначительна: в Барабинской скважине равна 4 м, в Яковлевской скважине не установлена, в Нарыме она составляет, повидимому, 1—2 м.

В заключение можно сказать, что в период жизни туронской фауны условия бассейна претерпевали изменения как в пространстве, так и во времени.

## Сантон

Фаунистически охарактеризованные отложения сантонова имеют почти повсеместное распространение в пределах Западно-Сибирской низменности. Характерные по своим литологическим и фаунистическим особенностям эти слои легко прослеживаются почти во всех опорных и разведочных скважинах примерно в пределах тех же границ, что и туронские. Они известны из более южного славгородского разреза, и на востоке морские отложения сантонова пройдены Колпашевской скважиной.

Во всех разрезах скважин сантонские отложения сложены сходными породами и выражены толщей серых, темносерых глин, реже аргиллитов с прослоями алевролитов, опоками и опоковидными глициами. Несмотря на общее сходство разрезов, в каждом районе толща сантонова имеет свои особенности. В кузнецковском и тюменском разрезах это светлосерые опоки, с продвижением на восток — опоки и аргиллит с прослоями сидерита (Леушки) и серые глинистые породы и серые опоки (Уват, Ханты-Мансийск). Далее на восток в сторону Покура и Ларька, а также на юг по направлению к Омску опоковидность уменьшается, опоки сменяются опоковидными глициами и появляются прослойки алевролитов. Уже в ларьянском разрезе прослойки опоковидных глин единичны и толща сантонова сложена разнохарактерными отложениями, основную роль в которых играют глины и песчаники. В южной части низменности в этих отложениях (Барабинск, Славгород) количество опоковидных глин уменьшается и увеличивается количество песков и песчаников.

В фаунистическом отношении породы сантонова содержат обильную фауну фораминифер и радиолярий, а также руководящую макрофаяну пелепицопод, которые в некоторых разрезах встречаются целыми скоплениями. Кроме того, палеонтологические остатки представлены губками рода *Erylus*, спикулами губок, остатками ихтиофауны, спорами и пыльцой.

Возраст их устанавливается по стратиграфическому положению в разрезе между туронскими слоями с *Gaudryina filiformis* Bertheulin и *Inoceramus labiatus* Schloeth. var. *lata* Woods и кампан-маастрихтом, а также по наличию руководящих пелепицопод *Oxytoma tenuicostata* Roemerg, находки которых обнаружены в разрезах Тары, Барабинска, Заводоуковска, Березово. Единичные обломки этого вида найдены в Колпашевской скважине.

В Приполярном Урале, в бассейне р. Сыни, сантон представлен опоковидными глинами и опоковидными песчаниками с прослойками фосфоритовых железняков и большим количеством макрофаяны, среди которой также обнаружен руководящий вид *Oxytoma tenuicostata* Roemerg. Известны отложения сантонова из Усть-

Енисейского района, где они представлены зеленовато-серыми и серо-зелеными алевритами, глинами и песчаниками. По руководящей макрофауне их разделили на нижний сантон с *Inoceramus pachtii* A g k h. и характерной микрофауной и верхний сантон с *Inoceramus patoolensis* J o n. и *Oxytoma tenuicostata* R o e m.

Исходя из особенностей вертикального распределения фауны, сантонские отложения исследованной части низменности также подразделены на две части: нижнюю и верхнюю. Это деление очень резкое и прослежено в разрезах всех опорных скважин, кроме Омска и Нарыма, где хотя также выделены две толщи, но не так четко, как в других.

Для нижней части характерно резкое обеднение видового и количественного состава фораминифер. Верхняя часть выделена в микрофаунистическую зону с *Haplophragmoides* и *Spiroplectammina*. Фораминиферы в ней достигают весьма значительного количества и видового разнообразия. Не менее важное значение для стратиграфии отложений сантонов имеют радиолярии, достигающие здесь наибольшего развития и выделенные в нижнюю радиолярисовую зону, охватывающую весь объем отложений. На этом основании характеристика нижней радиолярисовой зоны приводится отдельно.

По литологическим признакам такое различие не всегда хорошо выражено, но наблюдается в разрезах Кузнецовой, Ханты-Мансийской, Уватской и более резко в Покурской и Ларьянской скважинах. Поэтому в основу расчленения отложений сантонов берется только распределение микрофaуны.

Наличие отложений коньяка в разрезе не выяснено, и вся толща в настоящее время именуется коньяк(?) - сантонской. Поэтому в возрастном отношении нижняя часть относится к коньяку(?) — нижнему сантону, а верхняя — к верхнему сантону.

### Коньяк (?) — нижний сантон

На отложениях турона залегают слои, отнесенные к коньяку(?) — нижнему сантону, отличительным признаком которых является отсутствие характерной микрофaуны. Фораминиферы, которые бы характеризовали эти слои и могли служить основанием для выделения самостоятельной микрофаунистической зоны, здесь нет.

Эти отложения содержат фауну только песчанистых фораминифер в основном родов *Haplophragmoides* и *Ammobaculites*. Состав фораминифер более близок к песчанистой фауне гидропланового комплекса. Это отмечается даже по внешнему виду раковинок. Причем наибольшее количество микрофaуны встречается в разрезах Приуральской части низменности. Кроме того, в них содержится большое количество радиолярий, остатков ихтиофaуны и макрофaуны.

В Приуральской части низменности фауна в этих отложениях также встречается не повсеместно. В Кузнецовском разрезе фораминиферы и радиолярии отсутствуют совершенно. В них найдено незначительное количество мелких органических остатков. Несколько лучше охарактеризован Березовский разрез. Здесь встречено несколько раковинок фораминифер, а также скелетов радиолярий и остатков ихтиофaуны. Наибольшее количество фораминифер обнаружено в леушинском, ханты-мансиjsком и уватском разре-

зах. Встреченная в них фауна немногочисленна и не имеет большого видового разнообразия.

В леушинском разрезе определены: *Pelosina* (?) sp., *Hyperammina* sp., *Haplophragmoides* sp. nov., *Haplophragmoides darvini* Da i n, *Haplophragmoides* aff. *kirkii* W i c k e n d e n, *Ammobaculites* aff. *agglutinans* (O r b.), *Ammobaculites uvaticus* sp. nov., *Clavulina* sp., *Trochammina inusitata* sp. nov.

Кроме того, здесь встречены радиолярии, которые преобладают по количеству и видовому разнообразию над фораминиферами.

Несколько отличен видовой состав фораминифер Ханты-Мансийска, но он также состоит из видов, перешедших из нижележащей годринской зоны. В нем определены: *Hyperammina* sp., *Ammobaculites agglutinans* (O r b.), *Haplophragmoides* sp., *Haplophragmoides chapmani* M o g r o s o v a, *Haplophragmoides ex gr. darvini* Da i n, *Haplophragmoides glomeratoformis* Z a s p., *Gaudryina* sp.

Количество каждого из перечисленных видов невелико и в основном не превышает 5—10 экземпляров. Сохранность раковинок плохая. Кроме фораминифер, здесь найдены радиолярии и остатки ихтиофаузы.

В уватском разрезе фораминифера представлены наибольшим видовым составом. Для сравнения приводим список всей определенной фауны — *Proteonina* sp., *Hyperammina* sp., *Reophax* sp., *Haplophragmoides* sp., *Haplophragmoides ex gr. kirkii* W i c k e n d e n, *Haplophragmoides chapmani* M o g r o s o v a, *Haplophragmoides ex gr. semiinvolutus* Z a s p., *Haplophragmoides glomeratoformis* Z a s p., *Ammobaculites* sp., *Ammobaculites uvaticus* sp. nov., *Verniculina* sp., *Gaudryina* sp., *Gaudryina* aff. *filiformis* B e r l., *Trochammina* sp., *Trochammina frankei* E h r e n b e r g — и небольшое количество радиолярий в двух образцах.

Каждый из этих видов не превышает 5 экземпляров в образце. Наиболее часто встречаются неопределенные раковинки *Haplophragmoides* и *Ammobaculites uvaticus* sp. nov. Этот характерный по своему облику вид в значительно меньшем количестве встречен еще в леушинском разрезе, где в комплексе верхнего сантонса он не обнаружен, здесь же, наоборот, основное развитие он получает в зоне *Haplophragmoides* и *Spiroplectammina* верхнего сантонса.

Таким образом, виды, характерные только для этих слоев, выделить невозможно. Почти все они перешли сюда из нижележащих слоев, но большого развития не получили. Виды, появившиеся здесь, достигают расцвета выше. Причем в Ханты-Мансийске и Увате вся фауна приурочена к нижней части толщи, в средней части она уже исчезает совершенно. Только в леушинском разрезе распространение ее прослежено по всей толще этих слоев, но наибольшее количество фораминифер приурочено также к нижней части. На основании этого отложения конька (?) — нижнего сантонса Приуралья, к которым относится толща пород между кровлей годринской зоны и подошвой верхнего сантонса, по вертикальному распространению в них фауны могут быть подразделены на две части — нижнюю и верхнюю. К нижней приурочена основная масса палеонтологических остатков (фораминифера, радиолярии, остатки ихтиофаузы), в верхней они отсутствуют.

С продвижением на восток картина меняется.

В Покуре в этих слоях встречено несколько раковинок фораминифер очень плохой сохранности, несколько обломков макрофауны и единичные остатки ихтиофауны. В Ларьяке в них из органических остатков обнаружены мелкие остатки обуглившейся древесины (детрит). В Нарыме эту часть разреза выделить трудно. Отнесенный сюда небольшой интервал отложений из палеонтологических остатков содержит несколько раковинок фораминифер.

К юго-востоку от Увата (к Омску) мы встречаемся с аналогичным явлением. Уже в тарском разрезе макрофауна в них почти исчезает. Но здесь эта часть разреза характеризуется присутствием руководящих сантонских пелепципод *Oxytoma* ex gr. *tenuicostata* Roem. Массовое скопление раковинок этого вида приурочено к глубине 812—814 м.

В Омске мощность этой толщи сокращается до 13 м. Здесь, в двух образцах найдено большое количество скелетов радиолярий и единичные фораминифера. В славгородском разрезе отложения сантонса представлены верхней частью.

Относительно возраста данных отложений можно высказать следующее предположение. Деление сантонса на две толщи первые было произведено при наших исследованиях разреза Тарской опорной скважины. Тогда нижняя толща была выделена под названием зоны нехарактерных фораминифер и *Oxytoma* ex gr. *tenuicostata* Roem., так как кней приурочено массовое скопление раковинок этого вида. Вторая, верхняя толща была выделена в зону с *Haplophragmoides* и *Spiroplectammina* по обильному содержанию в ней фораминифер этих двух родов. В возрастном отношении нижняя зона относилась к нижнему сантону, а верхняя к верхнему.

В последующие годы такое деление сантонса производилось во всех опорных скважинах. Но название этой зоны не употреблялось, потому что вид *Oxytoma* ex gr. *tenuicostata* Roem. не остался характерным только для нее, а был встречен в вышележащих слоях верхнего сантонса, а также в кампан-маастрихте. В разведочных скважинах выделить эти слои обычно невозможно из-за отсутствия кернового материала.

В данное время пришлось изменить взгляды на возраст этой толщи. Возраст гидриновых слоев, относимых к коньику (?) — турону, по находкам руководящего аммонита, а затем и пелепципод, был утвержден туронским. Отсутствие перерыва в отложениях заставило поднять коньяк выше, а нижнюю толщу сантонса, относимую прежде к нижнему сантону, условно считать коньик (?) — нижнесантонской. Отнести ее всю к коньику не позволяют находки *Oxytoma tenuicostata* Roem.

По данным литологии деление сантонса на две толщи подтверждается анализом трех опорных скважин — Березовской, Леушинской и Ларьякской. Но попрежнему не получено положительных результатов для выделения конькских отложений.

В Приуралье эта толща делится на две части, к нижней приурочено скопление фораминифер, вид *Oxytoma* ex gr. *tenuicostata* приурочен к верхней части слоев, т. е. там, где фауна уже исчезает (Березово, Тара). Возможно, отложения нижней части, содержащие нехарактерную микрофауну и залегающие между слоями турона и слоями со скоплением сантонской макрофауны, относятся к конькскому ярусу. Это вначале предлагал Н. Н. Ростовцев.

Пока для этого оснований нет и до получения положительных данных выделенные слои относятся к коньяку (?) — нижнему сантону.

### Верхний сантон

#### Зона *Haplophragmoides* и *Spiroplectammina*

К началу верхнесантонского времени условия бассейна вновь становятся благоприятными для размножения фауны.

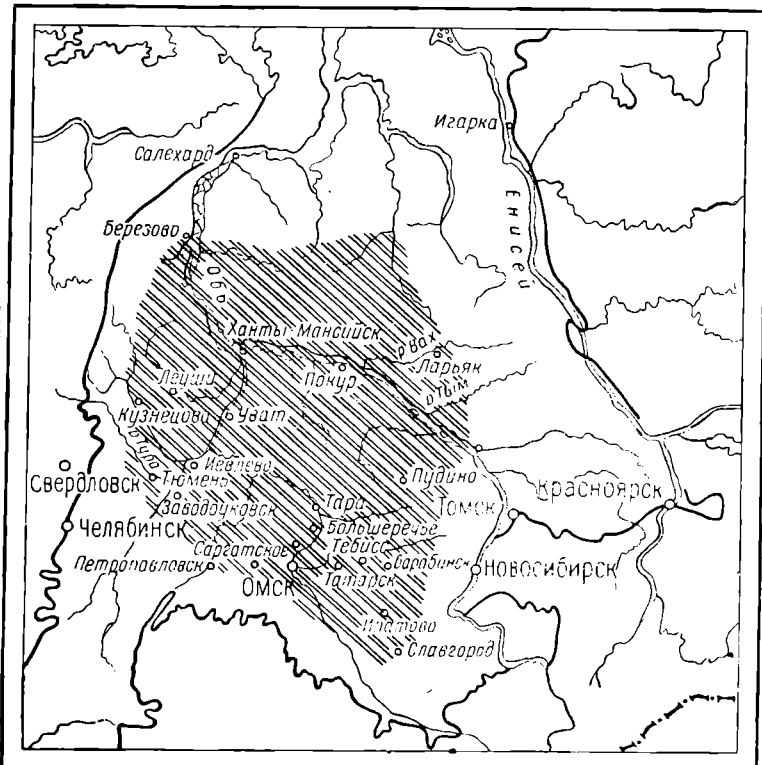


Рис. 12. Карта распространения фаунистической зоны с *Haplophragmoides* и *Spiroplectammina* — верхний сантон (составила З. И. Булатова).

Прослежена эта зона почти во всех опорных и разведочных скважинах, пробуренных на территории низменности (рис. 12). Везде породы верхнего сантонова содержат обильную фауну фораминифер, радиолярий, которые в этой зоне достигают наибольшей численности и разнообразия. Иногда радиолярии в образцах достигают таких массовых скоплений, что преобладают над фораминиферами. Из других органических остатков здесь встречены губки, спикулы губок, обломки раковин пелепипод, неопределенные остатки ихтиофауны, среди которой имеются хорошей сохранности зубы, иглы ежей.

Остракоды в комплексе органических остатков верхнего сантонова встречаются крайне редко. Находки их известны только в

леушинском разрезе, где они представлены несколькими совершенно неопределенными ядрами, и в Покурской скважине единичные раковинки в образце из верхней части этой зоны на границе с кампан-маастрихтом.

Кроме микрофауны, отложения этой зоны характеризуются руководящей фауной пелепипод *Pteria ex gr. tenuicostata* R o c k. В отношении количественного преобладания видов бросается в глаза массовость раковинок родов *Haplophragmoides* и *Spiroplectammina*, очень своеобразных, придающих особую специфичность этой ассоциации фораминифер и послуживших основанием для выделения микрофаунистической зоны, названной этими именами.

В ассоциации фораминифер этой зоны всгречается песчанистая и известковистая фауна, но основную роль в комплексе играет песчанистая как по количеству, так и по разнообразию видов. Отличается этот комплекс по внешнему облику большими размерами раковинок, грубозернистой структурой стенок и белым цветом. Но наряду с ними встречаются раковины небольших размеров.

Это очень характерный и легко отличимый комплекс даже по внешнему облику.

Песчанистая фауна фораминифер главным образом представлена различными видами двух семейств *Lituolidae* и *Textularidae*. Очень много встречается раковинок наиболее простейших палочко-видных фораминифер семейства *Hyperamminidae*, а также семейств *Saccaminidae*, *Ammodiscidae*, *Verneuilinidae* и *Trochamminidae*; несколько меньше — *Reophacidae*.

Известковистая фауна в комплексе играет подчиненную роль, это в основном представители семейств *Rotaliidae* и *Anomalinidae*.

Приводим общий список фораминифер, определенных в сантонских отложениях. Песчанистые формы: *Bathysiphon* sp., *Rhizamina* (?) sp., *Saccammina aff. scruposum* Bert., *Proteonina* sp. nov. 1, *Proteonina sherborniana* (Chapman), *Proteonina diffugiformis* (B r a d y), *Proteonina* sp. 2, *Pelosina* (?) *complanata* Franke, *Hyperammina* sp., *Ammodiscus incertus* (Orb.), *Ammodiscus parvus* Z a s p., *Ammodiscus* sp. 1, *Glomospira gaultina* Bert., *Glomospira gordialis* (Jon. et Park.), *Glomospira charoides* (Park et Jon.), *Reophax scorpiurus* Montfort, *Reophax* sp. 1, *Reophax* sp. 2, *Haplophragmoides aff. chapmani* Morosova, *Haplophragmoides glomeratoformis* Z a s p., *Haplophragmoides excavata* C u s h. et Wat., *Haplophragmoides kirki* W i c k e n d e n, *Haplophragmoides* sp. nov., *Haplophragmoides aff. darvini* D a i n, *Haplophragmoides ex gr. nonioninoides* (Reuss), *Haplophragmoides aff. sibiricus* Z a s p., *Haplophragmoides aff. latidorsatum* (Bornemann), *Trochamminoides* sp. 1, *Ammobaculites agglutinans* (Orb.), *Ammobaculites aff. agglutinans* (Orb.), *Ammobaculites sibiricus* sp. nov., *Ammobaculites uvaticus* sp. nov., *Ammobaculites aff. subaequalis* M j a t., *Cyclamina* (?) sp. 2, *Spiroplectammina* sp. 1, *Spiroplectammina* sp. 2, *Spiroplectammina variabilis* (N e c k a j i), *Spiroplectammina kelleri* D a i n, *Spiroplectammina ex gr. kasanzevi* D a i n, *Spiroplectammina aff. senomana* L a l i c k e r, *Spiroplectammina lata* (Z a s p.) *Spiroplectammina aff. alexanderi* L a l i c k e r, *Spiroplectammina* sp. nov. 3, *Spiroplectammina* sp. nov. 4, *Verneuilina* sp. 1, *Verneuilina* sp. 2, *Verneuilina* sp. 3, *Verneuilina* sp.,

*Gaudryina* sp., *Heterostomella* sp., *Clavulina* sp., *Arenobulimina* sp., *Trochammina daina* Z a s p., *Trochammina subbotinae* Z a s p., *Trochammina* sp. nov. 1, *Trochammina* sp. nov. 2, *Thurammina* (?) sp.

Большая часть видов встречена в большом, а некоторые даже массовом количестве экземпляров хорошей сохранности.

Песчанистая фауна сантонса на всей исследованной площади очень однообразна. По своему видовому составу отлична от одновозрастных фаун, известных по литературным данным.

Из известковистой фауны определены: *Gyroidina* sp., *Eponides sibiricus* Н е с к а ж., *Anomalina* sp., *Cibicides* sp., *Cibicides globigeriniformis* var. *compressa* Н е с к а ж., *Cibicides aktulagtyensis* V a s-s i l e n k o, *Miliolina* sp. 2, *Cristellaria* sp., *Cristellaria ovalis* Re u s s, *Nodosaria sagrinensis* Ba g g., *Gumbelina globifera* Re u s s, *Bulimina omskensis* K i s s., *Bulimina* sp. 5, *Bulimella carseyae* P l u m m e r, *Bulimina* sp., *Gyroidina* sp. 1, *Gyroidina* aff. *soldanii* O г b., *Epistomina* sp. 1, *Anomalina* sp., *Cibicides gankinoensis* Н е с к а ж., *Cibicides burlingtonensis* var. *kurganica* Н е с к а ж., *Dentalina* sp., *Eponides obtusus* (B o t t r o w s et H o l a n d), *Epistomina vigens* Ba l., *Gyroidina* aff. *micheliniiana* O г b., *Globigerina* sp., *Anomalinoides pinguis* J o n.

Среди найденных форм песчанистой фауны встречаются общие с отмеченными в нижележащих слоях турона и выше лежащих слоях кампан-маастрихта и формы, которые отличаются от них незначительными морфологическими признаками. Это, повидимому, объясняется широким распространением некоторых прimitивных песчанистых фораминифер, обладающих малой изменчивостью.

К видам, являющимся отличительными и характерными только для этой зоны и не найдены пока ни ниже, ни выше ее разрезу, можно отнести следующие: *Saccamina* aff. *scruposum* В e g t., *Haplophragmoides* aff. *chapmani* М о р о с о в а, *Haplophragmoides glomeratoformis* Z a s p., *Ammobaculites sibiricus* sp. nov., *Ammobaculites uvaticus* sp. nov., *Ammobaculites* aff. *subaequalis* M ja t l., *Spiroplectammina lata* (Z a s p.), *Trochammina daina* Z a s p.

Эти виды являются широко распространенными в отложениях верхнего сантонса и обычно встречаются в каждом разрезе, вскрывшем эти слои.

Что касается известковистой фауны, то все перечисленные виды начинают здесь свое существование и переходят в отложения кампан-маастрихта, где достигают большого развития. Поэтому видов, характерных только для данных слоев, среди них нет. Нужно отметить, что сохранность известковистой фауны почти всегда плохая, часто она представлена ядрами, а не целыми раковинами. Особенное это наблюдается в тарском и березовском разрезах, где вся встречающаяся известковистая фауна представлена ядрами плохой сохранности.

Известковистая фауна не имеет такого широкого распространения, как песчанистая. Вероятно, условия бассейна не везде благоприятствовали развитию фораминифер с известковистым скелетом. Самое большое скопление ее обнаружено только в двух разрезах — покурском и омском, причем и в них при значительном видовом разнообразии количество каждого вида не превышает 5 и очень редко 10 экземпляров. В Кузнецово, Ханты-Мансийске и Увате

она почти отсутствует. В Березово эта фауна сосредоточена в одном образце, не получила она значительного развития и в леушинском разрезе.

В толще микрофаунистической зоны она не имеет равномерного распространения и приурочена к верхней части, ближе к границе с кампан-маастрихтом. Только в омском разрезе известковистая фауна найдена в средней части зоны.

В отличие от известковистой песчанистая фауна распространена более равномерно, однако количество ее и видовое разнообразие тоже увеличиваются с продвижением к верхней части, заметно улучшается и сохранность. Богатая в видовом отношении фауна песчанистых фораминифер распространена не повсеместно.

Наиболее бедна по составу и имеет плохую сохранность фауна в берзовском и кузнецковском разрезах, очень плохая сохранность ее в омском разрезе. Богатая ассоциация встречена в леушинском и парымском разрезах, расположенных в противоположных частях низменности. Хорошо эта часть разреза охарактеризована в Хапты-Мансийске, Увате, Покуре, поскольку своеобразно в Ларьяке и более бедно в Таре. В ларьякском комплексе преобладают мелкие размеры раковин, и фауны в образцах относительно немного. Для того чтобы получить представление о фауне этого разреза, пришлось отобрать и обработать самое максимальное количество образцов.

Как указывалось выше, отложения коньяк(?) - сантонца Западной Сибири включают фауну радиолярий, выделенную в нижнюю радиоляриевую зону. Нижнерадиоляриевая зона содержит наименее богатый и разнообразный комплекс радиолярий по сравнению с другими ярусами.

В отложениях зоны определена следующая фауна радиолярий: *Spongoprunum* sp. nov., *Cenodiscus* sp., *Porodiscus* cf. *vulgaris* L i p m., *Amphibrachium* sp. 1 \*, *Amphibrachium* sp. 4\*, *Amphibrachium* sp. 5\*, *Amphibrachium* sp. 6\*, *Amphibrachium* sp. 7\*, *Amphibrachium* ex gr. *mygodscharicum* L i p m. \*, *Spongodiscus* aff. *citrus* L i p m., *Spongodiscus impressus* L i p m. \*, *Dictyomitra striata* L i p m. \*, *Cromyodruppa concentrica* L i p m. \*, *Cromyodruppa* sp., *Cromyodruppa* aff. *concentrica* L i p m. \*, *Lithostrobus* sp. \*, *Lithostrobus* sp. \*, *Staurosphaera* sp., *Stylosphaera* sp. \*, *Thecocampe* sp. \*, *Thecocrys* sp. \*, *Histiastrum aster* L i p m. \*

Встречаются единичные экземпляры радиолярий плохой сохранности.

Эта зона приурочена к одной и той же литологической толще, имеет широкое горизонтальное распространение и прослеживается нами во всех изученных скважинах. Наибольшее разнообразие видов в описываемых отложениях приурочено к верхней части отложений фораминиферовой зоны с *Haplophragmoides* и *Spiroplectammina*.

Сравнивая наши комплексы с ранее описанным Р. Х. Липман из сантонца Тюменской очарной скважины, а также с синхронными отложениями района г. Кузнецка (Пепзинской области), мы нахо-

\* Виды отмеченные звездочкой, наиболее характерны для нижней радиоляриевой зоны.

дим, что как видовой, так и родовой составы комплекса сходны с ними.

Фауна радиолярий в сантоне Западной Сибири хорошей сохранности. Наблюдается большое разнообразие видов. Распространение фауны радиолярий в нижнерадиоляриевой зоне не всегда является границей сantonских отложений. Так, например, в Омской скв. 1-р отложения сантона распространены в интервале 961,00—791,00 м, а границы нижней радиоляриевой зоны — 961,00—875,00 м.

Необходимо отметить, что фауна радиолярий в отложениях нижней радиоляриевой зоны Леушинской скв. 1-р представлена наиболее богатым комплексом очень хорошей сохранности. Это позволяет предполагать, что радиолярии отлагались в то время, когда осадконакопление происходило в спокойных условиях.

Мощность нижнерадиоляриевой зоны увеличивается с запада на восток и колеблется в пределах от 3,1 до 162,00 м.

Ниже приводится таблица распространения нижнерадиоляриевой зоны на территории Западно-Сибирской низменности.

Таблица 4

Название скважин	Интервал, м	
	от	до
Березовская 1-р . . . . .	391,0	241,0
Кузнецовская 1-р . . . . .	355,00	275,00
Леушинская 1-р . . . . .	714,75	570,60
Ханты-Мансийская . . . . .	981,15	842,55
Уватская 1-р . . . . .	982,00	820,00
Покурская 1-р . . . . .	837,00	833,00
Парьянская 1-р . . . . .	795,3	679,9
Омская 1-р . . . . .	961,0	875,0
Тебисская 1-р . . . . .	705,15	702,05
Рявкинская 5-р . . . . .	563,55	503,00
Рявкинская 4-р . . . . .	592,0	598,4
Октябрьская 2-р . . . . .	525,0	606,30
Покровская 3-р . . . . .	627,05	500,00
Ипатовская 1-р . . . . .	506,00	500,0
Ипатовская 2-р . . . . .	522,1	516,1
Иковлевская . . . . .	501,00	428,00
Нарымская 1-к . . . . .	364,10	324,70
Нарымская 3-к . . . . .	346,3	332,5

В изученных отложениях верхнего мела и главным образом сантонского яруса Западной Сибири наиболее распространены виды и рода из семейств *Porodiscidae* и *Sponguridae*, т. е. комплекс дисковидных, крестообразных, четырехугольных, треугольных, сильно вытянутых эллипсоидальных и многокамерных башенковидных форм. Также для мезозойских комплексов характерно резкое преобладание *Cyrtoidae*. Из них только в мезозое максимального развития достигают высокие башенковидные формы, что мы и наблюдаем в изученных разрезах Западной Сибири.

В опорных скважинах нижняя граница микрофаунистической зоны с *Haplophragmoides* и *Spirolectammina* устанавливается по появлению видов данной ассоциации. Верхней границей служит появление большого количества известковистой фауны кампан-маастрихта. Эти границы подтверждаются сменой литологии только в некоторых разрезах.

Руководящий для этих отложений вид *Oxytoma ex gr. tenuicostata* Roem. не ограничивается распространением только в сантоне. В Таре он найден в массовых скоплениях в нижней зоне, в Березово массовое скопление их приурочено к интервалу 353,8—360,25 м, в Барабинске — в кровле верхней сантонской толщи на глубине 539,5 м, в Заводоуковской скв. З-к он встречен с известковистым комплексом кампан-маастрихта в интервале 422—424,85 м.

Исходя из этих данных, мы пришли к выводу, что в отложениях Западной Сибири вид *Oxytoma tenuicostata* Roem. не является руководящим для верхнего сантонса, а распространяется по всей сантонской толще и входит в известковистый комплекс кампан-маастрихта.

В Западной Европе он найден в отложениях кампана и коньяка. В Европейской части Союза этот вид имеет очень широкое распространение и является руководящим для сантонских отложений. В Поволжье и Эмбе в верхах сантонса выделяется зона с *Oxytoma tenuicostata* Roem.

Несмотря на широкое вертикальное распространение *Oxytoma tenuicostata*, она считается характерной формой для верхнего подъяруса сантонса. Мы не придерживаемся такого мнения при расследовании отложений сантонса Западной Сибири.

В разрезе Леушинской скважины впервые был получен спорово-пыльцевой комплекс из сантонских отложений в интервале 591,95—714,75 м.

Единичное присутствие спор и пыльцы в нижних горизонтах сантонса сменяется на глубине 714,75 м богатым спорово-пыльцевым комплексом и его появление совпадает с появлением первых находок радиолярий.

Спорово-пыльцевой спектр (см. табл. 88—90) характеризуется преобладанием спор папоротникообразных (60,16%) над пыльцой (37,48%), среди которой пыльца голосеменных составляет 16,91%, а покрытосеменных 20,47% от общего количества зерен.

Флористический список встреченных форм приведен в табл. 5.

В споровом комплексе большая роль принадлежит спорам *Sphagnum* (12,05%). Споры плаунов из семейства *Lycopodiaceae* составляют 4,62%. В их составе встречен новый вид *Lycopodium* sp.. характерный для отложений, начиная от сантонса и кончая палеоценом. Спор *Seleginella* встреченено несколько меньше — 2,47%, но до 10 видов.

Споры папоротников представлены довольно большим разнообразием. Здесь играют еще значительную роль представители семейства *Schizaeaceae* — 7,5% — с преобладанием рода *Lygodium*. Присутствие *Schizaea dorogensis* R. P. t. является характерным для сенона Западно-Сибирской низменности и Чулымо-Енисейской впадины.

Значительная роль принадлежит обитательнице заболоченных участков *Gleichenia* — 6,18%, а также спорам *Cyathea* — 5,28%,

Таблица 5

№ п/п	Наименование формы	Количество	Процентное содержание	
1	<i>Sphagnum</i>	327	12.05	
2	<i>Selaginella</i> (несколько видов)	74	2.47	
3	<i>Lycopodiaceae</i> (несколько видов)	126	4.62	
4	<i>Hymenophyllaceae</i>		Единично	
5	<i>Cyatheaceae</i>	144	5.28	
6	<i>Dicksoniaceae</i>	40	1.47	
7	<i>Dicksonia</i>	36	1.35	
8	<i>Brochotriletes vulgaris</i> Naum	40	1.47	
9	<i>Dicksonia antarctica</i> R. Pot.		Единично	
10	<i>Cibotium</i>	13	0.47	
11	<i>Polypodiaceae</i> (споры бобовой формы)	38	1.37	
12	<i>Polypodium</i>	8	0.28	
13	<i>Matonia</i>	54	2.02	
14	<i>Gleichenia</i> (несколько видов)	168	6.18	
15	<i>Schizaceae</i>	64	2.35	
16	<i>Schizara dorogensis</i> R. Pot.	8	0.28	
17	<i>Aneimia</i> (несколько видов)	13	0.47	
18	<i>Lygodium</i> (несколько видов)	106	3.89	
19	<i>Mohria</i>	10	0.37	
20	<i>Osmundaceae</i>	19	0.70	
21	<i>Osmunda</i>	16	0.58	
22	<i>Ophioglossaceae</i>	12	0.44	
23	<i>Boltrychium</i>		Единично	
24	<i>Leiotriletes</i> Naum	175	6.45	
25	<i>Acanthotriletes</i> Naum	6	0.22	
26	<i>Lophotriletes</i> Naum	11	0.43	
27	<i>Stenozonotriletes</i> Naum	31	1.14	
28	<i>Stenozonotriletes radiatus</i> Kov.		Единично	
29	<i>Hymenozonotriletes</i> Naum		"	
30	<i>Chomotriletes reducens</i> Volk.		"	
31	<i>Coniferae</i>	6	0.22	
32	<i>Coniferae</i> с недоразвитыми воздушными мешками		13	0.47
33	<i>Coniferae</i> с воздушными мешками вокруг тела		Единично	
34	<i>Podozamites</i>	22	0.81	
35	<i>Caytonia</i>		Единично	
36	<i>Podocarpus</i>	4	0.14	
37	<i>Araucariaceae</i>		Единично	
38	<i>Ginkgo</i>		"	
39	<i>Pinaceae</i>	240	8.84	
40	<i>Picea</i>	5	0.18	
41	<i>Cedrus</i>	8	0.28	
42	<i>Pinus</i>	26	0.95	
43	<i>Pinus</i> n/p <i>Diploxylon</i>	11	0.43	
44	<i>Pinus</i> n/p <i>Haploxyylon</i>	7	0.25	
45	<i>Taxodiaceae</i>	107	3.92	
46	<i>Cf. Welwitschia</i>	8	0.28	
47	<i>Salix</i>		Единично	
48	<i>Myrica</i>	6	0.21	
49	<i>Carya</i>	5	0.18	
50	<i>Betulaceae</i>	13	0.47	
51	<i>Betula</i>		Единично	

№ п/п	Наименование формы	Количество	Процентное содержание
52	<i>Corylus</i>		Единично
53	<i>Ulmus</i>	12	0,44
54	<i>Proteaceae</i>		Единично
55	<i>Liquidambar</i>		"
56	<i>Ilex</i>	6	0,22
57	<i>Acer</i>		Единично
58	<i>Paliurus</i>	20	0,73
59	<i>Tilia</i>		Единично
60	<i>Triptycha</i> cf. <i>striata</i> К о в.		"
61	<i>Myrtaceae</i>		"
62	<i>Ericaceae</i>		"
63	<i>Extratriporopollenites</i> Pf.	236	8,68
64	<i>Extratetraporopollenites</i> Pl.	5	0,80
65	<i>Extrapentaporopollenites</i> Pl.	2	0,07
66	<i>Angiospermae</i>	64	2,34
67	<i>Angiospermae</i> трехпоровые трехбороздные	8	0,28
68	<i>Angiospermae</i> трехпоровые	15	0,55
69	<i>Angiospermae</i> трехбороздные	25	0,92
70	<i>Angiospermae</i> с сетчатой скульптурой	84	3,09
71	<i>Angiospermae</i> многопоровые	35	1,29

*Dicksonia* — 4,79% с преобладанием *Brochotriletes vulgaris* Na um., *Leiotriletes* Na um (*Coniopteris*) — 6,56%. Несколько меньше встречено спор *Matonia* — 2,02% и *Osmunda* — 1,28%. Почти все перечисленные споры принадлежат тропическим и субтропическим древовидным папоротникам, но были встречены также и споры папоротников, свойственных более умеренному климату: споры семейства *Polypodiaceae* в основном бобовидной формы — 1,37% — с родом *Polypodium* и споры семейства *Ophioglossaceae* — 0,47%. Характерно присутствие, хотя и в незначительном количестве, спор *Chomotriletes redundus* Volk h. и *Stenozonotriletes radiatus* K o v.

В пыльцевом комплексе сантоне леушинского разреза наблюдается большое разнообразие пыльцы покрытосеменных растений, которые незначительно преобладают над голосеменными. В основном в спектре присутствует пыльца широколиственно-листоцапной и в большинстве случаев теплолюбивой флоры, т. е. такой, как *Myrica*, *Carya*, *Corylus*, *Quercus*, *Ulmus*, *Acer*, *Tilia*, а также встречена пыльца невыясненной систематической принадлежности с крупными широкими призуклыми порами — *Extratriporopollenites* Pf., которая составляет 9,5% от общего количества зерен. Эта группа является характерной для сантоне, где она впервые встречена в таком количестве. Пыльца *Extratriporopollenites* Pf. также в большом количестве была обнаружена в комплексе сантоне на Урале. Появление ее по данным И. А. Аграновской отмечается в небольших количествах в туронском комплексе Урала. В туроне Тургайской впадины Е. П. Бойцовой подобная пыльца была отнесена к семейству миртовых. Повидимому, появление пыльцы этой группы можно отнести к туронскому времени, и при наличии комплекса, вероятно, она была бы обнаружена и в Леушах.

Кроме того, в пыльцевом комплексе присутствуют представители субтропической растительности, такие, как *Liquidambar*, *Ilex*, *Palmaria*, *Myrtaceae*, при участии тропических вечнозеленых растений семейств *Proteaceae* и *Ericaceae*. Отмечается здесь пыльца сережкоцветных: семейства *Betulaceae* — представителей умеренной флоры, *Betula* и *Salix*. Значительный процент — до 8,47 — в комплексе составляет пыльца неопределенной систематической принадлежности: различные *Angiospermae*: *Angiospermae* с сетчатой скульптурой экзины, *Angiospermae* трехбороздные, *Angiospermae* трехпоровые, *Angiospermae* многопоровые и т. д.

Среди представителей голосеменных растений не наблюдается особого разнообразия, и главная роль в спектре принадлежит семейству *Pinaceae* — 10,93 %. Из семейства *Pinaceae* встречена пыльца *Pinus* — 1,63 % — с подродами *Pinus Diploxylon* и *Pinus Haploxyylon*, мало — *Cedrus* и *Picea*. В незначительном количестве присутствуют и субтропические представители семейств *Taxodiaceae* — 3,92 % — и *Podocarpaceae*. Кроме того, обнаружена пыльца *Podosamites* и cf. *Welwitschia*. Единичны находки пыльцы *Coniferae* с мешками вокруг тела, *Coniferae* с недоразвитыми мешками, а также *Ginkgo*, *Araucariaceae*, *Crassula*.

Таким образом, полученный спорово-пыльцевой комплекс по основным группам растений, входящих в его состав, сопоставляется с сантонским комплексом Урала, полученным И. А. Аграновской (1955 г.).

У Усть-Енисейском районе Э. Н. Кара-Мурза был получен сантонский комплекс, отличающийся от леушинского в основном преобладанием в спектре голосеменных (68,7 %) над спорами папоротникообразных (13,5 %) и составом пыльцевого комплекса, в котором отмечается массовое содержание пыльцы *Tsuga* (23,9 %) и большое содержание пыльцы *Cupressaceae*—*Taxodiaceae* (?) (15 %). Не менее характерным для сантона северных районов является присутствие крупных пленчатых образований, природа которых не выяснена. Родовой состав остальных представителей голосеменных растений аналогичен леушинскому. В обоих комплексах отмечается возрастание численности и видового разнообразия пыльцы *Angiospermae*. В леушинском разрезе в сантоне отмечается только несколько большее содержание пыльцы субтропической растительности.

Состав спор папоротников несколько беднее в Усть-Енисейском районе как по количественному, так и по родовому разнообразию.

На основании анализа спорово-пыльцевого комплекса можно сделать вывод, что растительность в сантоне на исследуемой территории представляла собой смешанные леса. В их состав входили преимущественно широколиственно-листоцадные, влаго- и теплолюбивые породы, а также хвойные (в основном сосновые) с примесью сережкоцветных и в подлеске — вечнозеленых растений и папоротников. Вероятно, по берегам моря существовали заболоченные участки с зарослями из папоротников *Gleichenia* и *Osmunda*.

Такое разнообразие экологически различных типов растительности, очевидно, указывает на разнообразие рельефа.

Климат в сантонское время, повидимому, был теплым и влажным, близким к субтропическому.

Мощность сантонских отложений колеблется в больших пределах. Для наглядности ниже приводим табл. 6, в которой показаны изменения мощностей этих отложений в опорных разрезах.

Таблица 6

Скважины	Интервал конька (?)—нижнего сантона, м	Интервал верхнего сантона, м	Общая мощность, м
Березовская . . . . .	391,0—270	270—241,0	150,0
Кузнецовская . . . . .	415—370,0	370—270,0	145,0
Леушинская . . . . .	763,0—654,1	654,1—591,9	171,1
Ханты-Мансийская . . . . .	1021,6—917,9	917,9—804,7	216,9
Уватская . . . . .	1009,0—925,0	925,0—805,0	204,0
Покурская . . . . .	929—870,0	870,0—810,0	119,0
Ларьянская . . . . .	927—836,9	836,9—655,7	271,3
Нарымская . . . . .	364,1—357,2	357,2—308,0	56,1
Тарская . . . . .	840,7—781,5	781,5—726,2	114,5
Омская . . . . .	961,0—948,0	948,0—795,0	166,0
Славгородская . . . . .	—	435,2—386,0	49,2

Таким образом, анализ микрофaуны конька(?)—сантона указывает на резкое изменение условий седиментации, последовавшее после окончания туронского времени. Происходит обеднение фораминифер в видовом и количественном отношении, длившееся в течение первой половины конька(?)—сантона времени. Здесь же сказывается фациальная обособленность отдельных районов, в которых фауна фораминифер совершенно отсутствует как в разрезах Покурской, Ларьянской и Озерной скважин.

Во второй половине (верхний сантон) условия становятся благоприятными для развития фауны. Массового развития достигают песчанистые фораминиферы, принадлежащие семействам *Hyperamminidae*, *Saccamminidae*, *Reophacidae*, *Ammodiscidae*, *Lituolidae*, *Textulariidae*, *Verneuilinidae*, *Trochamminidae*. Отличительной особенностью этой ассоциации является величина раковинок и характерный белый цвет.

Известковистая фауна в комплексе имеет второстепенное значение. Сохранность ее почти всегда плохая. Раковины имеют шершавую поверхность, часто представлены ядрами. Количество ее увеличивается к концу этого времени и на границе с кампан(?)—маастрихтом достигает значительного видового разнообразия.

Наибольшего развития достигают радиолярии и в отдельных районах по массовости скоплений преобладают над фораминиферами.

Размеры раковин, грубозернистый материал, входящий в состав стенки, преобладание мелководных форм, обитающих на глубинах, не превышающих 80—100 м, говорят о мелководном коньке(?)—сантона бассейне, который, вероятно, к концу начинает углубляться.

### Кампан (?) - маастрихт

Кампан(?)—маастрихтские морские отложения имеют широкое горизонтальное распространение на территории Западно-Сибирской низменности.

На севере крайний пункт их распространения известен из отложений разреза Березовской скважины, затем они прослеживаются в районе Покура и Ларька, на северо-востоке вскрыты Нарымскими разведочными скважинами. Наличие в разрезе Колпашево морских кампан(?)-маастрихтских отложений остается под сомнением. На юге они вскрыты разрезами скважин Ипатовской и Славгородской и рядом скважин вдоль линии железной дороги. Известны они и из естественных обнажений восточного склона Урала.

Кампан(?)-маастрихтские отложения представлены в основном известковистыми глинами, реже песчаниками, иногда с прослойями мергелей и в более редких случаях — песчанистыми алевролитами.

Отложения кампан(?)-маастрихта охарактеризованы разнообразной фауной. Из макрофaуны в них найдены белемниты, бакулиты, пелециподы и гастроподы, которые представлены следующими видами: *Nucula* sp. 1, *Leda* sp. 1, *Cucula* sp. 1, *Limopsis* sp. 1, *Lapotini* sp. 1, *Astarte* sp. 1, *A. aff. similis* Münst., *A. pseidonoma* Glasunova \*, *Lucina parva* Glasunova \*, *Cyprina ovata* Meek and Hayden, *Pteria* (*Oxytoma*) cf. *danica* Ravn, *P. (Oxytoma) analatica* Glasunova, *P. (Oxytoma) tenuicostata* (Roemer) \*, *Lima* cf. *mantelli* Br., *Pecten* sp. 1, *P. pseudopulchellus* Glasunova, *P. (Suncyclonoma) sublevis* Glasunova, *P. (Chlamys) omskensis* Glasunova, *P. crispulus* Böhm., *Pycnodonta vesicularis* Lam., *P. sp. ex gr. vesicularis* Lam., *Alectostrea lunata* Milss. var. *nasuta* Morton, *Inoceramus* sp. ex gr. *caucasicus* Bobrov, *I. tegulatus* Haag, *I. sp. ex gr. regularis* Orb., *Turbo aff. ratifer* J. Böhm., *T. cf. tuberculatocinetus* Goldfuss, *T. senonicus* Glasunova, *Scalaria barabensis* Glasunova \*, *S. pseudobrancoi* Glasunova, *Anchura (Dreponochilus) nebrescensis* Ev. \* and Shum., *Gandrycerus rygmalum* Glasunova \*, *Baculites anceps* Lamarck var. *Leopelicensis* Nekr., *B. vertebralis* Lamarck, *B. sibiricus* Glasunova, *B. nitidus* Glasunova \*, *B. cf. bailyi* Woods, *B. singularis* Glasunova \*, *Belemnittella* aff. *lanceolata* Schlotheim и другие.

Микрофауна представлена обильной фауной фораминифер, преимущественно известковистыми видами, в меньшем количестве фауной остракод, реже встречаются радиолярии, в массовом скоплении — остатки известковистых водорослей *Coccilithophoridae*. Наиболее распространены из фораминифер следующие виды: *Spiroplectammina kasanzevi* Daïn, *S. kelleri* Daïn, *S. rosula* Ehrenberg, *S. variabilis* (Nekr.), *S. aff. alexanderi* Lalicker, *S. roemeri* Lalicker, *Gaudryina rugosa* Orb., *G. pupoides* Orb., *G. carinata* Francke, *Plectina* ex gr. *convergens* (Keller), *Heterostomella foveolata* (Marsdon), *H. sp. 1*, *H. sp. 2*, *Clavulina recta* Beisel, *Arenobulimina* ex gr. *obligata* Orb., *Ataxophragmium crassum* (Orb.), *A. rimossum* Brotzén, *Dorothia bullata* (Carsey), *Miliolina ferussacii* (Orb.), *M. graniformis* sp. nov., *M. sp. 2*, *Globulina* aff. *lacrima* Reuss, *Guttulina* ex gr. *cretacea* Reuss, *Cristellaria rotulata* Lam., *C. washitensis* (Carsey), *Cristellaria* sp. sp., *Nodosaria sagrinensis* Bagg, *Dentalina* ex gr. *megalopolitana* Reuss, *D. communis* Orb., *D. aff. reussi*

\* Виды, отмеченные звездочками, определены А. Е. Глазуновой, ВСЕГЕИ.

*Neugeboren*, *Nonion ovatus* Balachmatova, *Gümbrilla globifera* Reuss, *Bolivinoides senonicus* Dain, *B. decorata* (Jones) var. *delicatula* Cushman, *Reussella minuta* (Marssoн), *Eouvierina* sp. (по Калинишу), *Bulimina rosencrantzi* Brotzén, *B. taraensis* sp. nov., *B.* sp. 1, *B. aff. brevis* Orb., *B. omskensis* sp. nov., *B. quadrata* Pummerer, *B. uralica* Ehremeeva, *Buliminella carseyae* Pummerer, *Bolivina plaita* Carsey, *B. decurrens* (Ehrenberg), *B. incrossata* Reuss, *Entosolenia oculoformis* sp. nov., *Angulogerina cristata* (Marssoн), *Discorbis inusitata* sp. nov., *D.* sp. 1, *D.* sp. 2, *D.* sp. 3, *Gyroidina ex gr. depressa* Alth., *G. caucasica* Subbotina, *G. turgida* (Ha g.), *Gyromorphina allomorphinoides* (Reuss), *Eponides sibiricus* Neck., *E. irtishensis* sp. nov., *E.* sp. 1, *Alabammina aff. obtusa* (Borrow et Holland), *Epistomina vigens* sp. nov., *Ceratobulimina* sp. 1, *Pseudoparella* (?) *cultus* Park. et Jones, *Pullenia dampelae* Dain, *P. kasakhstanica* Dain, *Globigerina cretacea* Orb., *Globigerinella aspera* Ehrenberg, *G. ubberanta* Neck., *Anomalinoides pinguis* (Jennings), *A. obica* sp. nov., *Anomalina pseudopapillosa* Carsey, *A. ammonoides* (Reuss) var. *crassisepta* Mjatlı, *Cibicides bembix* (Marssoн), *C. spiripunctatus* Q. et M., *C. globigeriniformis* Neck., *C. globigeriniformis* Neck. var. *compressa* Neck., *C. gankinoensis* Neck., *C. gankinoensis* Neck. var. *kurganica* Neck., *C. aktulagayensis* Vassilenko, *C. pocuriensis* sp. nov., *Haplophragmoides* aff. *chapmani* Morosova, *H. semiinvolutus* Zasp., *H. chapmani* Morosova, *H. kirki* Wickend, *H.* sp., *Ammobaculites agglutinans* (Orb.). Реже встречаются: *Verneuilina* sp. 2, *V.* sp. 3, *Gaudryina* sp. 1 (aff. *filiiformis* Bert.), *Trochammina* aff. *frankei* Ehren., *Trochammina* sp. 1.

Из остракод встречаются следующие виды: *Prothoargilloecia transitiva* Mand., *Cytheridea liqua* Mand., *Clythrocytheridea stricta* Mand., *C. schweyeri* Liep., *C. reliqua* Mand. *Loxoconcha digna* Mand., *L. tunicata* Mand., *L. oblonga* Mand., *L. propulsata* Mand., *L. inpondis* Mand., *L. gabbia* Mand., *Cythereis notabilis* Liep., *C. venerandis* Mand., *C. tumulis* Mand., *C. vitrea* Mand., *C. kwiatkowskajae* Mand., *C. (?) pallensa* Mand., *C. subborrida* Mand., *C. squilida* Mand., *C. rotundatis* Mand., *C. ponderosa* Mand., *C. picta* Liep., *C. septentrionalis* Mand., *C. horrendis* Mand., *C. cf. viatoris* Mand., *C. aff. fossilis* Liep., *Cytheretta sectilis* Mand., *Procytheropteron virginica* (Jones), *Aequacytheridea interstincta* Mand., *Orthonotacythere australis* Liep., *O. elegans* Liep., *O. sibirica* Liep., *O. (?) parva* (Liep.), *O. (?) minaxa* Mand., *O. infrequens* Mand., *O. aff. desnaensis* Lubimova, *O. nodosa* Liep., *Xestoleberis utensis* Mand., *X. triangularis* Mand., *X. vendibilis* Mand., *Krithe curvidorsalis* Mand., *K. simplex* (Jones et Minde), *Cytherella temporalis* Mand., *C.* sp. 1, *C.* sp. 2, *C. noutra* Mand., *C. riparia* Mand., *C. ruditis* Mand., *C. aff. mantelliana* Lubimova, *Eucythere* sp. 1, *E. reclinis* Mand., *Brachycythere minaxa* Mand., *B. aff. verganica* Mand., *Bairdia simplicatis* Mand., *Cythereis* aff. *fossilis* Liep.

Следует, однако, отметить, что в ряде районов кампан(?)–маастрихтские отложения имеют свои особенности как в палеонтологическом, так и в литологическом составе. Они обнаружены на

оснований изучения 11 разрезов опорных и 15 разведочных скважин, а также при просмотре материалов, полученных при обработке ряда разрезов скважин палеонтологами ВСЕГЕИ (Тюмень, Барабинск, Дербышинские разведочные скважины и др.).

Отложения, наиболее мощные (до 200 м) и богато охарактеризованные микрофауной, в особенности разнообразной известковистой фауной фораминифер, с многочисленными находками макрофауны и флоры известковистых водорослей, прослежены в районе центральной части Западно-Сибирской низменности (Омская синеклиза), включая районы Покура и Ларька. Эти отложения представлены серыми и зеленовато-серыми алевритистыми и алевритисто-песчанистыми плотными неслоистыми известковистыми глинами с прослойями известковистых алевролитов и мергелей. В районе Покура и Ларька преимущественно распространены глины счастлосерые и серые известковистые слабо алевритистые плотные плитчатые, иногда с горизонтальной слоистостью. Встреченная здесь фауна известковистых фораминифер представлена девятью семействами. Наиболее распространены виды, относящиеся к семействам: *Buliminidae* (14 видов), *Anomalinidae* (16 видов) и *Rotaliidae* (12 видов).

Большинство этих видов встречается многочисленными экземплярами хорошей сохранности. Песчанистая фауна фораминифер в основном относится к семействам *Verneuilinidae*, *Textularidae* и *Valvulinidae*. Наиболее распространены виды рода *Gaudryina* и *Spiroplectammina*, остальные чаще встречаются в единичных экземплярах. Наибольшее количество остракод и их видовое разнообразие наблюдается также в этом районе. Из макрофaуны наиболее часто встречаются птерии, пектены, устрицы, астарты и бакулиты.

В районе Тюмени резко сокращается мощность кампан(?) - маастрихтских отложений при сравнительном разнообразии микрофaуны. В северо-западных районах (Березово, Леуши, Ханты-Мансийск, Кузнецово, Уват) по сравнению с центральным районом также происходит сокращение мощностей, повидимому, за счет частичного (разрез Уватской скважины) или полного отсутствия отложений второй микрофаунистической зоны; изменяется литологический состав пород, выражющийся в значительном уменьшении известковистости, а в разрезах скважин Березово и Леуши полностью отсутствуют известковистые породы. Резко снижается как разнообразие видового состава, так и количество экземпляров известковистых видов фораминифер. Появляется более разнообразный, чем в других районах, комплекс песчанистой фауны фораминифер (разрез Леушинской скважины) в основном за счет видов, которые ранее были известны в отложениях не моложе сантона. К ним относятся: *Haplophragmoides kirki* W i c k., *Haplophragmoides darwini* Z a s p., *Trochammina rosacea* Z a s p. Fauna остракод в районах Березова, Ханты-Мансийска и Кузнецова не была найдена, в районе Леуши и Увата был обнаружен обедненный комплекс остракод. В значительно меньшем количестве здесь найдена и макрофауна, в основном представленная бакулитами. Флора известковистых водорослей обнаружена в небольшом количестве только в районе Увата. Восточнее, в районе Ханты-Мансийска, Кузнецова, Березова, она совершенно исчезает.

Несколько своеобразно выглядят отложения кампан(?)-маастрихта, вскрытые Нарымскими разведочными скважинами. Мощность их не уступает мощности отложений центрального района, она достигает 125 м (?). В этом разрезе резко меняется литологический состав, и отложения представлены серыми крупнозернистыми, часто песчанистыми алевролитами, с редкими прослойями алевритистой глины, с включениями лептохлоритов в верхней части разреза и переслаиванием глин и алевролитов в нижней части. В кровле установлены прослои мелкозернистого песчаника. Комплекс фауны фораминифер и остракод этого разреза значительно обеднен, количество экземпляров каждого вида редко превышает пять. Но в основном фауна фораминифер представлена известковистыми видами хорошей сохранности.

Найденный в этом разрезе комплекс макрофауны несколько отличен от ранее известных комплексов других районов. Виды *Lapotinia* sp. (sp. nova?), *Limopsis* sp. (sp. nova?), *Astarte aff. similis* M ü n s t., *Turbo* aff. *retifer* J. B ö h m., *Turridula* sp. (*Turridula* ex gr. *vesicularis* La m.) ни в одном из разрезов отложений кампан(?)-маастрихта Западно-Сибирской низменности пока не обнаружены.

Несмотря на то, что встреченные здесь раковинки в большинстве являются тонкостенными и хрупкими, они имеют хорошую сохранность. Флора известковистых водорослей также представлена единичными находками остатков панцирей. Все это свидетельствует о том, что условия жизни в этом районе были не совсем обычны.

Повидимому, здесь была более мелководная зона моря (на что указывает и литологический состав пород), подвергавшаяся влиянию пресных вод. Уменьшение карбоната кальция в водах сказалось и на количестве известковистой фауны и флоры, а также и на строении стенок раковин пелеципод. Большую мощность отложений можно объяснить, повидимому, близостью источника сноса. В соседнем, Колпашевском разрезе, не было найдено кампан(?) - маастрихтского комплекса фауны фораминифер и остракод. Найдки макрофауны в нижележащем интервале (192—187 м) разреза скв. 2-к, как: *Cyprimeria* (?) sp., *Pecten* sp. (sp. nov.), *Pteria* sp., *Astarte* sp. и *Pteria* cf. *tenuicostata* R o e m e r, наводят нас на мысль, что она больше характерна для верхнесенонской толщи, чем для сантоне, несмотря на то, что в них найден вид *Pteria* cf. *tenuicostata* R o e m. Ни в одном из изученных разрезов Западно-Сибирской низменности представители родов *Astarte*, *Pecten* не были встречены в сантоне, а в отложениях кампан(?) - маастрихта встречаются довольно часто.

Единичные находки вида *Oxytoma tenuicostata* (R o e m.) известны из кампан(?) - маастрихта Заводуковской скв. 3-к, где этот вид найден совместно с *Oxytoma sublevis* G l a s u n o v a и кампан(?) - маастрихтским комплексом фораминифер. Вид *Pecten sublevis* G l a s u n o v a в Западной Сибири распространен только в кампан(?) - маастрихтских отложениях. Кроме того, вид *Oxytoma tenuicostata* (R o e m.) известен из отложений маастрихта района р. Аята (из устного сообщения О. Н. Щегловой-Бородиной).

На основании изложенного мы предполагаем, что кампан(?) - маастрихтские отложения в районе Колпашева вскрыты ниже 170 м.

Следует отметить, что в ближайшем разрезе — нарымском — кровля морских кампан(?)-маастрихтских отложений отбивается на глубине 183 м.

Очень близкими к кампан(?)-маастрихтским отложениям Западной Сибири являются отложения маастрихта, известные из обнажений по р. Аяту (северо-западная окраина Казахстана — Тургайская впадина). Мощность этих отложений колеблется от 1 до 8 м. Литологически они представлены мергелистыми песками различной окраски, содержащими в отдельных участках обильную фауну пелеципод и в меньшем количестве брахиопод и белемнитов. При микрофаунистическом исследовании в них найдена в большом количестве фауна фораминифер, а также остракоды и известковистые водоросли *Coccolithophoridae*.

Комплекс фауны фораминифер и остракод очень близок к западно-сибирскому. Здесь также наиболее распространены виды фораминифер, относящиеся к семействам: *Anomalinidae*, *Bulininidae* и *Rotaliidae*. Почти все новые виды фораминифер и остракод кампан(?)-маастрихтских отложений Западно-Сибирской низменности были найдены в отложениях маастрихта данного района. К ним относятся: *Spiroplectammina kasanzevi* Dain., *Spiroplectammina variabilis* Neck., *Bolivinoides senonicus* Dain., *Cibicides globigeriniformis* Neck., *Cibicides gankinoensis* Neck. и остракоды: *Cythereis kwiatkowskaja* Mand., *Cythereis temporalis* Mand., *Bairdia simplicatis* Mand. и ряд других.

Отличие этого комплекса от сибирского выражается в увеличении количества экземпляров, принадлежащих роду *Cibicides* (вид *Cibicides bembix* (Marsion) с разновидностью, *Cibicides spiropunctatus* G. et M.), в более разнообразном видовом составе рода *Discorbis* и в появлении некоторых новых видов.

Комплекс макрофaуны более резко отличается от западно-сибирского. В обнажениях маастрихта р. Аята обильно представлены виды, относящиеся к семейству устричных. В значительном количестве встречаются виды *Belemnitella lanceolata* Schloth. и *Belemnitella americana* Marton.

В отложениях кампан(?)-маастрихта Западно-Сибирской низменности комплекс макрофaуны представлен более разнообразными семействами класса пелеципод. Из устричных единично встречаются *Pycnodonta vesicularis* Lam., *Arctostrea lunata* Nilsson var. *nasuta* Marton. В районе Саргатки встречена единственная находка *Belemnitella* aff. *lanceolata* Schloth. Более разнообразно представлена фауна бакулитов, которая в районе Аята найдена в осыпи одного из обнажений.

Общий облик аятской макрофaуны отличается от западно-сибирской большими размерами и толстостенностью раковин. В комплексе фауны фораминифер увеличивается количество ребристых форм. Раковинки некоторых видов значительно увеличиваются в размерах (*Cibicides gankinoensis* Neck. var. *kurganica* Neck.) и становятся более толстостенными, замечается появление выпуклых швов. Створки остракод, встреченные здесь, также значительно крупнее и массивнее.

Большое сходство фауны фораминифер и остракод, а также наличие общих видов в комплексе макрофaуны позволяет сделать вывод о тесной связи бассейнов, существовавших в этих районах

в маастрихтское время, но в районе Аята бассейн был значительно мелководнее. Об этом свидетельствуют литологический состав пород, состав макрофауны (обилие устричных) и особенности внешнего облика всей фауны.

Отложения кампан(?) -маастрихта по разрезам Западно-Сибирской низменности впервые изучались палеонтологами ВНИГРИ; Л. Г. Дайн и А. И. Нецкая выделяли в них четыре микрофаунистические зоны, о чем подробно излагается в отчете А. К. Богдановича за 1944 г. Возраст отложений, включающих первую зону, определялся кампансским, второй и третьей зоны — маастрихтским и верхней (четвертой) — условно датским (?). А. К. Богданович отложения, включающие все четыре зоны, выделил в ганькинские слои, этому же следуют Н. Н. Ростовцев.

Нами в первые годы исследования в отложениях разреза Тарской опорной скв. 1-р также были выделены четыре микрофаунистические зоны. Изучая последующие разрезы ряда скважин, оказалось, что наиболее четко выделяются две микрофаунистические зоны. В верхних горизонтах первой микрофаунистической зоны замечено изменение комплекса, позволяющее выделить зону, возраст которой условно определен датским. Палеонтолог ВСЕГЕИ В. Т. Балахматова отрицает возможность выделения микрофаунистических зон в кампан(?) -маастрихтских отложениях. Полученные нами данные противоречат этим выводам.

В результате определения фауны фораминифер (всего 130 видов) и изучения их вертикального распределения по разрезу выяснилось, что ряд видов не распространяется во всей кампан(?) -маастрихтской толще, а на определенных глубинах исчезает, на смену им появляются новые виды, кроме того, некоторые виды в верхах встречаются в меньшем количестве экземпляров. На основании такого распределения фораминифер были выделены две микрофаунистические зоны.

Для первой микрофаунистической зоны характерен следующий комплекс фораминифер: *Spiroplectammina kelleri* Dain, *Gaudryina rugosa* Ogb., *Bolivinoides decorata* Jen., var. *delicatula* Cushman, *Bolivinoides senonicus* Dain, *Bulimina omshensis* sp. nov., *Bolivina decurrens* (Ehr.), *Cibicides aktulagayensis* Vassilenko. Встречаются в значительно меньшем количестве, но приурочены к первой микрофаунистической зоне следующие виды: *Ataxophragmium compactum* Grotzen, *Ataxophragmium aff. compactum* Grotzen, *Arenobulimina obligata* Ogb. К этой зоне приурочено несколько большее количество песчанистых видов. Фауна фораминифер в первой микрофаунистической зоне в большинстве изученных разрезов (Омск, Покур, Ларьк, Татарка и т. д.) в количественном отношении распределена равномерно. Исключением является разрез Тарской скважины, где эта зона в первой ее половине представлена незначительным количеством фораминифер (количество экземпляров каждого вида не превышает пяти). Последнее и послужило основанием расчленения ее на две части: первую — с обедненной фауной фораминифер в количественном отношении и вторую — с обильным количеством экземпляров отдельных видов.

Проследив горизонтальное распространение характерных видов зоны на территории Западно-Сибирской низменности, мы на-

блодаем, что вид *Spiroplectammina kelleri* Da i n встречается почти во всех изученных разрезах, за исключением березовского, леушинского и кузнецковского, но в большинстве районов он представлен незначительным количеством экземпляров, редко превышающим 5—10 (Омск, Тара). Виды *Gaudryina rugosa* O g b. и *Cibicides aktulagayensis* V ass i l e n k o обнаружены в центральном районе и встречаются часто в большом количестве; в отложе-

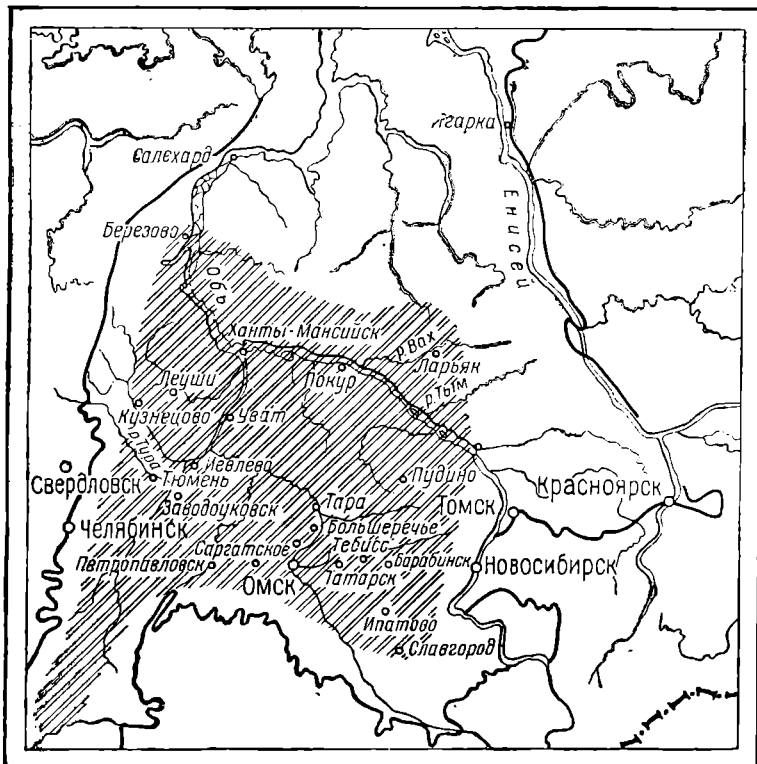


Рис. 13. Карта распространения фаунистической зоны с *Spiroplectammina-kelleri* Da i n (составила Э. Н. Кисельман).

ниях разрезов скважин Нарымской площади они отсутствуют (рис. 13). Несколько форм вида *Cibicides aktulagayensis* Vass. было найдено в разрезе Кузнецковской скважины. Такие виды, как *Bolivinoides decorata* Jepp. var. *delicatula* Cushman и *Bolivinoides senonicus* Dain, распространены также в центральном районе и в районах Покура и Ларька. Встречаются они в незначительном количестве и совсем отсутствуют в северо-западных районах.

Новый вид *Bulimina omskensis* обнаружен в отложениях разрезов Омской, Покурской, Ларыкской, Пудинской, Тебасской, Татарской и Рявикинской скважин.

Виды *Bolivina decurrens* (E h g.) и *Globigerina cretacea* O g b. в основном приурочены к первой микрофаунистической зоне, встречаются они единичными экземплярами в отдельных образцах райо-

нов центральной части Западно-Сибирской низменности. В разрезе Тарской опорной скважины вид *Globigerina cretacea* Огб. представлен обильно.

Из изложенного выше видно, что в краевых частях низменности характерные виды встречаются редко. При выделении первой микрофаунистической зоны иногда приходится ориентироваться на появление характерных видов второй зоны и на большое количество экземпляров отдельных видов. Большое значение для этой зоны имеет вид *Spiroplectammina variabilis* Неск., который здесь встречается до 50 экземпляров, а иногда и больше, тогда как во второй зоне он встречен не повсеместно в количестве экземпляров, не превышающем десяти.

Для первой микрофаунистической зоны характерно также присутствие большого количества раковинок вида *Gümbelina globifera* Ресси и в большинстве разрезов появление в верхах зоны вида *Stensioina caucasica* Субб., причем сразу же в большом количестве экземпляров (Омск, Покур, Татарка и др.).

Отложения, включающие первую микрофаунистическую зону, имеют повсеместное распространение на территории Западно-Сибирской низменности. Мощность их колеблется в пределах от 149—138 м в районе Саргатки и Омска до 33—30,5 м в районе Уваты и Леушки.

Вторая микрофаунистическая зона установлена по появлению значительного количества новых видов и одновременному исчезновению характерных видов первой микрофаунистической зоны. Комплекс фауны фораминифер второй микрофаунистической зоны отличается от комплекса первой микрофаунистической зоны большим распространением видов семейства *Buliminidae*.

Характерный комплекс второй микрофаунистической зоны следующий: *Spiroplectammina kasanzevi* Дайн, *Bulimina rosenkrantzi* Ботзен, *Bulimina* sp. 1 (ребристая форма), *Bulimina taraensis* sp. nov., *Cibicides bembix* (Марссен), *Cibicides spiropunctatus* Г. и М., *Anomalina praecuta* Вассиленко, *Heterostomalla foveolata* (Марсон) и в большом количестве экземпляров вид *Bolivina plaita* Карсей. Виды этого комплекса распределены по разрезу неравномерно. Наиболее распространеными в отложениях, включающих вторую микрофаунистическую зону, являются виды *Spiroplectammina kasanzevi* Дайн, *Bulimina rosenkrantzi* Ботзен (рис. 14).

Вид *Spiroplectammina kasanzevi* Дайн обнаружен во всех разрезах, где выделена вторая микрофаунистическая зона, но в ряде районов (Нарым, Уват, Березово) в незначительном количестве экземпляров.

Вид *Bulimina rosenkrantzi* Ботзен был найден только в районе Пудино и Березова. Встречается он от 10 до 50 экземпляров в образце, в отложениях разрезов скважин Яковлевской, Омской, Ларьякской и Нарымской количество раковинок этого вида не превышало пяти. Такое широкое распространение этих двух видов позволяет вторую микрофаунистическую зону именовать зоной с *Spiroplectammina kasanzevi* Дайн и *Bulimina rosenkrantzi* Бг. В прошлые годы мы воздерживались давать наименования зонам, считая, что материал был недостаточным для проверки распространения характерных видов.

Продолжая характеристику других характерных видов, считаем необходимым остановиться на *Bulimina* sp. 1 и *Bulimina taraensis* sp. nov. Вид *Bulimina* sp. 1 отличается от *Bulimina rosenkrantzi* В г. более клиновидной раковинкой и наличием вдоль нее тонких ребер, не доходящих до последнего оборота. Этот вид был обнаружен в разрезах маасгрикта района р. Аята Октябрьской и Рыбинских скважин, где собственно вид *Bulimina rosenkrantzi* В г. не встречен. Вид *Bulimina taraensis* sp. nov. близок

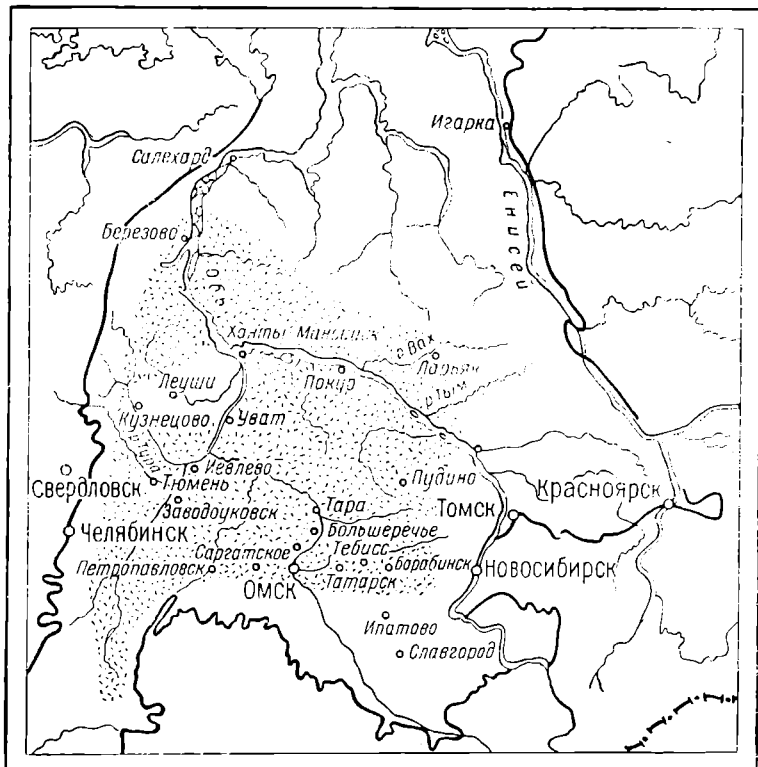


Рис. 14. Карта распространения фаунистической зоны с *Spiroplectammina kasanzevi* Dain и *Bulimina rosenkrantzi* Brotzep — кампан-маастрихт (составила Э. Н. Кисельман).

к *Bulimina rosenkrantzi* В г., основное отличие заключается в прямых рядах раковинки и в меньшем размере. Он почти всегда сопутствует виду *Bulimina rosenkrantzi*, но встречается в меньших количествах. Виды *Cibicides bembix* (Marsion) и *Cibicides spiropunctatus* G. et M. являются наиболее редко встречающимися, они распространены в основном в южных районах. *Cibicides bembix* (Marsion) был найден и в разрезе Тарской скважины. Эти виды имеют большое значение для установления наличия отложений второй микрофаунистической зоны.

Выделение характерных комплексов для первой и второй микрофаунистических зон в отложениях верхнего сенона позволяет устанавливать отсутствие какого-либо из них в разрезах. В большин-

стве случаев отсутствует комплекс второй микрофаунистической зоны. Он не обнаружен в разрезах скважин Кузнецковской, Ханты-Мансийской, Барабинской, Тебисской, Славгородской; частично присутствует в Уватском и Леушинском разрезах.

Следует отметить, что в комплексе как первой, так и второй микрофаунистических зон имеется ряд видов общих, характерных вообще для кампан(?)-маастрихтских отложений и встречающихся часто в больших количествах. К ним относятся виды: *Eponides sibiricus* Неск., *Anomalinoides pinguis* (Jennings), *Reussella minuta* (Marsdon), *Cibicides globigeriniformis* Неск. var. *compressa* Неск., *Globigerinella aspera* Ehrt., в несколько меньшем количестве виды: *Cibicides pocuriensis* sp. nov., *Eponides irritschensis* sp. nov., *Cibicides gankinoensis* Неск., *Buliminella carsevae* Plummett et al. Из них наиболее устойчивыми, встречающимися во всех без исключения разрезах кампан(?) - маастрихтских отложениях, являются *Eponides sibiricus* Неск. и *Anomalinoides pinguis* (Jennings). Так, например, в отложениях разреза Тымской скважины были найдены только экземпляры вида *Eponides sibiricus* Неск.

Из фауны остракод кампан(?) - маастрихтских отложений значительное горизонтальное распространение имеют виды, относящиеся к роду *Orthonotacythere*: *Orthonotacythere elegans* Liep., *Orth. sibirica* Liep. и *Orthonotacythere austra* Liep. Они были встречены почти во всех разрезах, где были отмечены находки фауны остракод. В количественном отношении эти виды всегда преобладают над другими. Известковистые водоросли *Coccolithophoridae* распространены по всей кампан(?) - маастрихтской толще. В отдельных разрезах (Покур, Барабинск) они появляются в сантоне, слабо изучены и не имеют наименований. Фауна радиолярий в отложениях кампан(?) - маастрихта встречается редко, единичными экземплярами, посредственной сохранности. Какой-либо закономерности в ее распространении не наблюдается. Были определены скелеты радиолярий — *Cenosphaera* sp. 1, *Lithocampe* sp. 1, *Sethocyritis* sp., *Spongodiscus* sp.

Переходя к вопросу о возрасте отложений, включающих первую и вторую микрофаунистические зоны, следует заметить, что за последнее время значительно пополнились находки макрофaуны, которые позволяют проводить более полное сопоставление с комплексами фауны соседних районов и приводят к обоснованным выводам.

Одной из причин, ранее затруднявших определение возраста кампан(?) - маастрихтских отложений, является то, что большинство характерных видов из фауны фораминифер представлено местными западно-сибирскими видами. Ряд из них в последние годы был встречен в Тургайской низменности.

Отложения первой микрофаунистической зоны относили к кампану (1950—1952 гг.) на основании находок видов *Anomalina pertusa* (Marsdon), *Pseudouvigerina plummeri* Cushman, *Gaudryina stephsoni* Cush., *Euvigerina regularis* Kelle, характерных для отложений кампана Урало-Эмбенской области. Учитывали также отсутствие перерыва с нижележащими сантонскими отложениями, охарактеризованными фауной *Oxytoma tenuicostata* Roem., и находки в верхах сантонских отложений ряда видов

из фораминифер, получивших широкое распространение в первой микрофаунистической зоне. В настоящее время все указанные кампанская виды переопределены в виды, имеющие распространение в верхнесенонских отложениях различных районов.

Характерный для кампана Эмбенского района вид *Buliminella carseyae* Plummerg в отложениях Западно-Сибирской низменности встречается в верхних горизонтах; в районе р. Аята он найден в комплексе фораминифер совместно с видом *Belemnitella americana* Morton. Следовательно, вид *Buliminella carseyae* Plummerg в Западно-Сибирской низменности указывает не только на кампанийский возраст отложений.

В комплексе первой микрофаунистической зоны в большом количестве встречается вид *Reussella minuta* (Marsdon), в меньшем количестве вид *Anomalina pseudopapilosa* Carsey и единичные экземпляры вида *Bolivina decurrents* (Ehr.), *Bolivina plaita* Carsey, *Bulimina quadrata* Plummerg и *Bolivina incrassata* Reiss. Перечисленная фауна характерна для отложений маастрихта районов Южно-Эмбенского и Поволжья. В. Т. Балахматовой эта фауна описана монографически уже из района Западной Сибири.

Таким образом, в комплексе первой микрофаунистической зоны отсутствуют кампанская виды и найден ряд видов, характерных для маастрихта. В предшествующие годы (1950—1952) в исследуемых отложениях находили макрофауну, определяющую их возраст как верхний сенон. В настоящее время имеются находки фауны, уточняющей возраст данных отложений.

Так, в первой микрофаунистической зоне найдена следующая фауна, которая дает указания на возраст: *Belemnitella aff. lanceolata* Schloeth. (Определение Д. П. Найдина) *Inoceramus* sp. ex gr. *tegulatus* Haag., *Inoceramus* sp. ex gr. *caucasicus* Bovgot, *Turbo* cf. *tuberculatocitrus* Goldf. (определение А. С. Тарабовой). Вид *Belemnitella aff. lanceolata* Schloeth. найден в отложениях разреза Саргатской скв. 1-р на глубине 658,7—652,7 м. Он является руководящим для ляшцеолятовой зоны, о возрасте которой пока еще нет единого мнения. А. Д. Архангельский и В. И. Бодылевский относят ее к нижнему маастрихту, В. И. Ренгартен — к среднему, а Н. П. Михайлов — к верхнему маастрихту. В отложениях разреза Саргатской скв. 2-р (интервал 775,0—779,5 м) обнаружены пелепицоподы, определенные как *Inoceramus* sp. ex gr. *tegulatus* Haag. и *Alectostrea lunata* Nilsson var. *nasuta* Morton. Последняя определена В. И. Ренгартеном из верхнего маастрихта отложений р. Аята. В Крыму этот вид распространен в зоне *Belemnitella americana* Morton.; известен он из этой же зоны в Северной Англии.

Из изложенного видно, что относить отложения, включающие первую микрофаунистическую зону, к кампанскому ярусу недопустимо. Следовательно, мы имеем в Западно-Сибирской низменности две зоны маастрихтского яруса.

Сравнивая комплекс фауны фораминифер обеих зон с комплексом, выявленным из отложений маастрихта района р. Аята, мы убеждаемся в последнем предположении. Считая возраст отложений, включающих первую микрофаунистическую зону, нижне-маастрихтским, продолжаем писать нижний маастрихт-кампан(?)

потому что между рассматриваемыми отложениями и сантоном не прослеживаются следы перерыва и наблюдается связь в комплексах фауны.

Можно предположить, что отложения кампана имеют ограниченную мощность, что вызывает большое затруднение в их выделении. Вероятно, что к кампану можно будет отнести часть отложений сантонского яруса. В настоящее время известны находки кампанской фауны как *Scaphites cuveri* и *Baculites obtusus* в опоковидных породах обнажений Северной Сосьвы.

Возраст отложений, включающих вторую микрофаунистическую зону, всегда определялся маастрихтским.

Из фауны фораминифер здесь встречаются виды *Cibicides bembix* (Марссо п.), *Heterostomella foveolata* (Марссо п.) и наблюдается массовое скопление *Bolivina plaita* Сагеу, свидетельствующее о маастрихтском возрасте отложений. В этих же отложениях разреза Татарской скв. 2-р найден из фауны пелепиопод вид *Inoceramus togulatus* Наг., который характерен для маастрихта Кавказа, и *Pecten crispulus* Бюль., известный из маастрихта Северной Германии. Последний встречается в отложениях разрезов Татарской скважины 3-р и Лучинкинской скв. 1-к. Из гастропод найден вид *Turbo cf. tuberculata — cinctus* Голдф., который также известен из маастрихта Северной Германии и Украины.

Учитывая приведенные данные и основываясь на стратиграфическом положении отложений второй микрофаунистической зоны, возраст их определен как верхнемаастрихтский.

Мощности изученных отложений в разрезах опорных скважин, где керн исследовали через 3—5 м, по распределению фауны фораминифер устанавливаются довольно точно.

Как уже указывалось, при характеристике отложений по районам наибольшая мощность исследуемых отложений приходится на район Омской синеклизы.

Мощность кампан(?)-маастрихтских отложений в разрезах Омской, Саргатской, Татарской скважин достигает 250—200 м. Затем идут районы Тары, Покура, Ларька и Нарыма, где мощность отложений колеблется от 100—110 до 128 м. Резкое сокращение мощности в районе Барабинска по сравнению с близлежащими районами с запада — Татарки и с востока — Нарыма, повидимому, объясняется размывом отложений, включающих вторую и частично первую микрофаунистическую зону. Наличие признаков размыва в этом районе отмечала геолог Т. И. Осыко. С подобным явлением мы встречаемся и в разрезе Славгородской скважины. Значительно уменьшаются мощности кампан(?)-маастрихта в разрезе Тюменской скважины и на северо-западной окраине низменности — разрезы скважин Уватской, Ханты-Мансийской, Кузнецковской, Леушинской и Березовской. В основном это разрезы, где отсутствуют полностью или частично отложения, включающие вторую микрофаунистическую зону. Если сравнивать мощности отложений только первой микрофаунистической зоны, то получается несколько меньшая разница.

Общий состав фауны кампан(?)-маастрихта свидетельствует о существовавших благоприятных условиях для ее жизни, характеризующихся открытым морским бассейном с нормальной соленостью и с умеренно теплой температурой вод. Существование

умеренно теплого режима вод мы считаем на основании того, что в комплексе фауны отсутствуют наиболее теплолюбивые группы из фораминифер, как *Globotruncana* и *Pseudotextularia*, а также отсутствуют рифообразные кораллы, которые характерны для более теплых бассейнов.

В северо-западной части низменности (районы Березова, Леуши, Кузнецова и Ханты-Мансийска) комплекс микрофауны обеднен. Здесь в незначительном количестве встречается известковистая фауна фораминифер, редки находки остракод и макрофауны, которая в основном представлена угнетенной фауной бакулитов, и совершенно отсутствуют теплолюбивые известковистые водоросли *Coccolithophoridae*. Все это свидетельствует о том, что в северо-западной части низменности условия жизни для фауны были менее благоприятны вследствие более пызкой температуры вод. Повидимому, здесь сказывалось влияние Северного моря. Литологический состав пород кампан(?) -маастрихта этого района также не противоречит высказанному предположению. Здесь реже встречаются известковистые глины и появляются прослойки опоковидных глин.

На центральную и южную части кампан(?) -маастрихтского бассейна оказывало влияние через Тургайский пролив более теплое среднеазиатское море. Это подтверждает близкое сходство комплексов и обилие фауны в кампан(?) -маастрихте Тургайской и Западно-Сибирской низменностей.

Обедненность комплекса микрофауны в районе Нарыма может быть объяснена близостью берега и влиянием континентальных вод.

### Датский ярус (?)

На изученной территории Западно-Сибирской низменности стояния датского яруса, достоверно охарактеризованные руководящей фауной, не установлены. Предположительно к ним отнесена верхняя часть отложений зеленовато-серых известковистых глин второй микрофаунистической зоны маастрихтского яруса. Выделяется незначительный по мощности горизонт, характеризующийся обеднением фауны и появлением таких видов, как *Anomalina praecutita* Vassilevko, *Globigerina varianta* Subbotinae; кроме того, вновь появляются *Gyromorphina allomorphinoides* (Reuss) и *Pseudoparella (?) culter* (P. et J.), распространенные в первой микрофаунистической зоне маастрихт-кампана(?) Наиболее четко этот горизонт выделяется в разрезах Тюменской и Тарской скважин, где мощность его не превышает 5—10 м. В других изученных разрезах он не прослежен.

Комплекс фауны фораминифер из выделенного горизонта Тюменской опорной скважины резко отличается от нижележащего маастрихтского, а также от палеоценового (зоны *Ammobaculites foliacostum* Bradly).

Наряду с большим количеством представителей вида *Anomalina praecutita* Vassilevko в комплексе значительное место занимает планктонная фауна фораминифер, среди которой распространен вид *Globigerina varianta* Subbotinae. На Кавказе он известен из отложений, условно отнесенных к датскому ярусу.

Таблица 7

№ п/п	Наименование форм	Количе- ство	Процентное содержание
1	<i>Lycopodiaceae</i>	3	0.6
2	cf. <i>Acrostichum ratundum</i> Kov.	2	0.4
3	<i>Selaginella</i> (три вида)	3	0.6
4	<i>Cyatheaceae</i>	1	0.2
5	<i>Polypodiaceae</i>	44	8.8
6	<i>Polypodium</i>	2	0.4
7	<i>Gleichenia</i>	2	0.4
8	<i>Schizaea</i>	1	0.2
9	<i>Schizaea dorogensis</i> (R. P. O. t.)	1	0.2
10	<i>Lygodium</i>	1	0.2
11	<i>Leiotriletes</i> N a u m	10	2.0
12	<i>Ginkgo</i>	3	0.6
13	<i>Pinaceae</i>	23	4.6
14	<i>Abies</i>	1	0.2
15	<i>Picea</i>	2	0.4
16	<i>Cedrus</i>	1	0.2
17	<i>Pinus</i>	40	8.0
18	<i>Pinus</i> n/p. <i>Haploxyylon</i>	1	0.2
19	<i>Pinus</i> sec. <i>Strobus</i> Shaw	1	0.2
20	<i>Taxodiaceae</i>	71	14.2
21	<i>Taxodium</i>	1	0.2
22	<i>Sequoia</i>	1	0.2
23	<i>Psophosphaerae</i>	6	1.2
24	<i>Salicaceae</i>	8	1.6
25	<i>Betulaceae</i>	23	4.6
26	<i>Betula</i>	7	1.4
27	<i>Carpinus</i>	9	1.8
28	<i>Quercus</i>	13	2.6
29	<i>Castanea</i>	20	4.0
30	<i>Castanea Vakhrameevii</i> B o l k h.	1	0.2
31	<i>Ulmus</i>	3	0.6
32	<i>Proteaceae</i>	19	3.8
33	<i>Protea hirta</i> Kov.	4	0.8
34	<i>Acer</i>	1	0.2
35	<i>Palurus</i>	1	0.2
36	<i>Nyssa</i>	1	0.2
37	<i>Tripticha striata</i> Kov.	6	1.2
38	<i>Triporina globosa</i> Kov.	81	16.2
39	<i>Triporina mirifica</i> Kov.	21	4.2
40	<i>Triporina</i>	1	0.2
41	<i>Angiospermae</i> трехпоровые, трехбороздные	26	5.2
42	<i>Angiospermae</i> трехбороздные, беспоровые	9	1.8
43	<i>Angiospermae</i>	22	4.4

Вид *Globigerina varianta* в других изученных разрезах Западной Сибири не обнаружен.

Учитывая стратиграфическое положение горизонта и наличие в комплексе вида *Globigerina varianta* Subbotinae, относим его условно к датскому ярусу.

Спорово-пыльцевые комплексы датского яруса были изучены из обнажений по р. Сым в восточной части Западно-Сибирской низменности, флористический состав этого яруса приведен в табл. 7. (Спорово-пыльцевой комплекс представлен в табл. 92 приложения).

В спектре преобладают пыльцевые зерна, среди которых покрытосеменные представлены большим количеством разнообразных

видов. Среди покрытосеменных преобладает пыльца семейств *Salicaceae*, *Betulaceae* с родами *Betula* и *Carpinus*, много *Quercus*, *Castanea*. Встречены в значительном количестве пыльцевые зерна тропических форм семейства *Proteaceae*. Единично встречены зерна *Ulmus*, *Acer*, *Nyssa*, *Paliurus*. Характерно присутствие пыльцы *Tripolina globosa* Ко в., *Tripolina mirifica* Ко в. и *Tripticha striata* Ко в., не встречающейся в комплексах выше- и нижележащих отложений. Много *Angiospermac* трехпоровых, трехбороздных, точнее неопределенных.

Голосеменные представлены семейством *Pinaceae* с родами *Abies*, *Picea*, *Cedrus*, *Pinus* (*Pinus sec.* *Strobus* Шау). Встречено много пыльцы *Taxodiaceae*. В споровом комплексе характерно преобладание спор бобовидных *Polypodiaceae*, а также, хотя и в незначительном количестве, присутствие спор *Schizaea dorogensis* (Р. Рот.). Единично встречаются *Lygodium*, *Cyathea* и споры группы *Leiotriletes* Наум. Есть споры плаунов *Selaginella* и *Lycopodiaceae*.

Полученный спорово-пыльцевой комплекс аналогичен «сымскому» комплексу А. Ф. Ковалевой (1953 г.). К датскому ярусу комплекс относится на основании находок в этих отложениях характерной флоры — *Asplenium disksonianum*, *Cephalotaxopsis intermedia*, *Taxodium angustifolium*, *Populus arctica*, изученной С. В. Суховым и И. В. Лебедевым.

---

## ТРЕТИЧНЫЕ ОТЛОЖЕНИЯ

Отложения третичного возраста на всей территории Западно-Сибирской низменности покрывают меловые осадки и в отдельных частях достигают большой мощности (700—600 м).

Исследование отложений проводилось в основном по образцам кернового материала глубокого и мелкого бурения, так как естественных обнажений на территории низменности очень мало, в основном встречаются по р. Оби и Иртышу.

По материалам многочисленных разрезов опорных и разведочных скважин изучалась фауна пелепицод, фораминифер, остракод и радиолярий, а также остатки диатомовых водорослей и спорово-пыльцевые комплексы. В результате исследований установлено, что отложения третичного возраста в Западно-Сибирской низменности представлены морским палеоценом и континентальной толщей верхнего олигоцена, миоцене и плиоцене.

### Палеоген

Морские отложения палеогена палеонтологически охарактеризованы бедно.

Макрофауна встречается редко, руководящих видов пока не найдено. При расчленении и установлении возраста отложений палеогена в основу принятые данные по изучению микрофaуны. Микрофауна представлена фораминиферами, остракодами и радиоляриями. Фораминиферы состоят из песчанистых и известковистых раковин.

В видовом и количественном отношении они немногочисленны и по вертикальному разрезу распространены неравномерно. Отдельные комплексы фораминифер разделены интервалами с полным отсутствием микрофaуны.

Фауна радиолярий в основном приурочена к средней и нижней частям разреза, богата в количественном отношении и бедна в видовом.

Что касается остракод, то они немногочисленны и встречаются только в верхней части палеогена.

Спорово-пыльцевые комплексы и флора диатомовых водорослей представлены сравнительно бедно и приурочены также к верхам палеогена (район Ларьяка).

В результате изучения микрофaуны удалось установить в морских отложениях палеогена Западной Сибири осадки палеоцена, эоцена, нижнего олигоцена и выделить в них характерные комплексы микрофаунистических зон, а также установить отсутствие отложений палеоцена в южной части низменности.

Выделены следующие микрофаунистические зоны (снизу вверх).

1. Зона песчанистых фораминифер с *Ammobaculites foliaceus* (В га д у) в палеоцене.
2. Зона с *Cibicides favorabilis* Vassilenko, *Cibicides lunatus* (В г о т з е н) в палеоцене.
3. Верхнерадиоляриевая зона в эоцене.
4. Зона песчанистых фораминифер с *Spiroplectammina carinata* (О г б.) в эоцене.
5. Зона известковистых фораминифер с *Elphidium rischtanicum* Вуко в а, *Cibicides khanabadensis* М я с с и к о в а.

Необходимо отметить, что в нижнем эоцене и между микрофаунистическими зонами палеоценена и эоценена по всей территории Западно-Сибирской низменности прослеживаются слои без микрофaуны, возраст которых условно отнесен к эоцену.

Исследование многочисленных разрезов отдельных районов Западной Сибири показало, что комплексы микрофаунистических зон в одновозрастных отложениях распространяются неповсеместно. Наиболее полно охарактеризован разрез центральной части низменности и Приуралья, менее — южная часть и бедно — северо-восточная и восточная части низменности.

Таким образом, если учитывать только присутствие микрофаунистических комплексов, то морские палеогеновые отложения можно разделить на две области: к первой из них относится центральная часть низменности и Приуралье; ко второй — северная, восточная и южная части.

Если учитывать и полноту разреза, то отложения палеогена Западно-Сибирской низменности можно разделить на три области.

К первой области относятся центральная часть и Приуралье, где прослежены все микрофаунистические зоны, охарактеризованные наиболее полными комплексами микрофaуны как в количественном, так и видовом разнообразии.

К второй области относятся северная и восточная части низменности (Ханты-Мансийск, Покур, Ларьяк, Нарым и др.), где имеется полный разрез отложений, но отсутствуют некоторые микрофаунистические зоны.

К третьей области относится южная часть низменности (Омск, Славгород, Октябрьское, Рявкино, Кзыл-Тусск), здесь наблюдаются отсутствие нижнеолигоценового микрофаунистического комплекса и выпадение отложений палеоценена.

### Палеоцен

Отложения палеоценена по видовому составу, вертикальному распространению фауны фораминифер и литологическим признакам расчленены на две части.

Нижняя толща пород палеоценена литологически представлена глинами серыми и темносерыми, часто алевритистыми, алеврито-песчанистыми, содержащими комплекс песчанистых фораминифер и незначительное количество известковистых.

Характерной особенностью этого комплекса является наличие почти только песчанистой фауны фораминифер крупных размеров (по сравнению с фауной фораминифер вышележащих комплексов). Фауна фораминифер сравнительно хорошей сохранности и богата в видовом и количественном отношении.

В состав комплекса входят следующие фораминиферы: *Bathy-siphon* sp., *Hyperammina* sp., *Proteonina difflugiformis* (Б р а д у), *Proteonina* cf. *difflugiformis* (Б р а д у), *Proteonina* aff. *difflugiformis* (Б р а д у), *Proteonina* aff. *camplanata* (Ф р а н к е), *Reophax* sp., *Reophax scorpiurus* Mont., *Reophax* cf. *scorpiurus* Mont., *Reophax* aff. *scorpiurus* Mont., *Ammodiscus incertus* (О р б.), *Ammodiscus* sp., *Glomospira* aff. *charoides* Parker et Jones, *Glomospira* ex gr. *gaultina* Berthelin, *Glomospira* cf. *gaultina* Berthelin, *Ammobaculites foliaceus* (Б р а д у), *Ammobaculites* cf. *prodigiosus* sp. nov., *Haplophragmoides* sp., *Haplophragmoides* ex gr. *periferoexcavata* Subbotina, *Haplophragmoides* aff. *chapmani* Cushman et Watterer, *Cyclammina* sp., *Cyclammina* Koc-suvorovae sp. nov., *Trochamminoides* sp., *Trochamminoides abditus* sp. nov., *Trochammina florifera* Subbotina, *Vern-euilina paleogenica* Lipm., *Verneuilina* cf. *paleogenica* Lipm., *Clavulina parisiensis* (О р б.).

По наиболее распространенным и характерным видам названа зона с *Ammobaculites foliaceus* (Б р а д у), *Bathy-siphon* sp. Впервые она была выделена Р. Х. Липман в 1950 г. в разрезе Тюменской скв. 1-р и названа *Ammobaculites incultus* Ehremeeva.

В дальнейшем при изучении фораминифер на большом фактическом материале, собранном из многочисленных скважин Западно-Сибирской низменности, было установлено, что западно-сибирские формы *Ammobaculites* по видовым признакам соответствуют *Ammobaculites foliaceus* (Б р а д у) (описанный Бреди из современных и Н. Н. Субботиной из палеоценена Северного Кавказа). На основании этого зона, названная ранее *Ammobaculites incultus*, была переноминирована в 1953 г. в зону *Ammobaculites foliaceus* (Б р а д у).

Возраст отложений этой зоны остается до сих пор спорным. На восточном склоне Урала аналогичные отложения Ренгарденом отнесены к датскому ярусу по единичным находкам в них раковин *Eutrephoceras bellerophon*.

Геологи и палеонтологи Уральского геологического управления считают находки *Eutrephoceras bellerophon* не в первичном залегании, а в переотложенном. Кроме того, вместе с *Eutrephoceras bellerophon* были найдены в большом скоплении переотложенные раковины *Belemnitella* маастрихтского возраста.

Следовательно, в данный момент нет никаких оснований зону с *Ammobaculites foliaceus* по возрасту относить к датскому ярусу, тем более что в аналогичных отложениях на востоке низменности (Нарымская скв. 3-к) А. С. Тарасовой найдена *Nucula bowerbanki* Sowerby — известный палеоценовый вид, который Г. Д. Романовским и др. отмечается в отложениях палеоценена Туркестанского края. В Березовской скв. 1-р в зоне *Ammobaculites foliaceus* (Б р а д у) были встречены фораминиферы *Cibicides* ex gr. *favorabilis* Vassilienko и *Cibicides lunatus* (Б р о т з е н), которые являются характерными для отложений палеоценена Западной Сибири.

На основании изложенного выше положения зоны *Ammobaculites foliaceus* (Б р а д у) нами относятся к палеоцену.

Полный комплекс фауны фораминифер этой зоны можно встретить в Приуралье; несколько обедненный комплекс в видовом и количественном отношении прослеживается в центральной части низменности (рис. 15). Здесь встречается в основном тот же

видовой состав, по значительно худшей сохранности, а некоторые виды изменяют свой внешний облик настолько, что в определении их легко можно ошибиться. Поэтому некоторые из них различными исследователями относятся к разным видам. Так, например, род *Ammobaculites* в центральной части низменности, повидимому, в зависимости от фациальных условий состоит из средне- и мелко-зернистых песчинок с редкими включениями обломков спикул

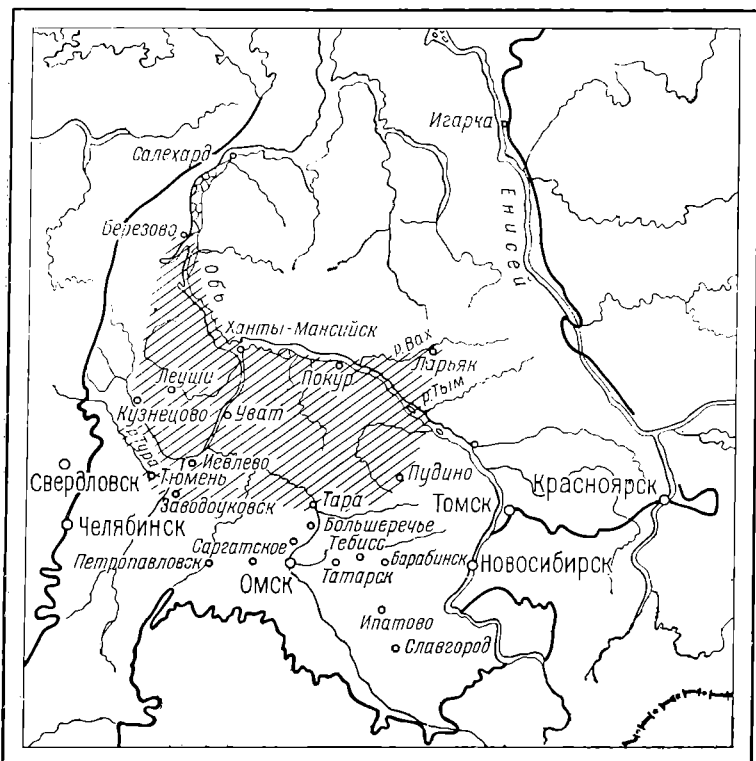


Рис. 15. Карта распространения фаунистической зоны *Ammobaculites foliacetus* (V r a d y) — палеоцен (составила М. В. Ушакова).

губок. Вероятно, по этой причине некоторые морфологические признаки менее выражены и, наоборот, этот же род в Приуралье состоит из более грубозернистых материалов с большим включением обломков спикул губок, а некоторые виды состоят почти из одних обломков спикул губок. По этой причине вид *Ammobaculites foliacetus* (V r a d y) и др. некоторыми палеонтологами выделяются в новый вид, как *Ammobaculites incultus*, и т. д.

Что касается северо-восточных районов (Ханты-Мансийск, Покур, Нарьянка, Нарым и др.), то здесь в одновозрастных отложениях мы встречаем очень бедный не только видовой, но и родовой состав фауны фораминифер этой зоны, а в восточных районах комплекс зоны совсем не прослеживается.

Исходя из изложенного выше, можно сделать следующий вывод: физико-географические условия морского бассейна в Приуралье

в это время были более благоприятные для развития и существования песчаной фауны форамилифер, менее благоприятные в центральной части пизменности и неблагоприятные на северо-востоке и востоке пизменности. Наличие песчаных раковин дает основание предполагать существование довольно холодного морского режима. Грубозернистый состав раковинок указывает на прибрежные условия.

Мощность отложений колеблется от 20 м в краевых частях пизменности до 90 м в ее центральной части.

Выше по разрезу отложения палеоценена резко меняются. Светло-серые и серые глины переходят в темнокоричневые и черные плотные разности. Особенно ясно это наблюдается в центральной части пизменности и Приуралье.

Почти весь комплекс песчанистых форамилифер нижней палеоценовой зоны *Ammobaculites foliaceus* (Brad) встречен в выше-лежащих слоях, но значительно беднее в видовом и количественном отношении. Размеры раковин заметно уменьшаются.

Наряду с песчанистыми форамилиферами встречается комплекс фауны известковистых форамилифер, характерной особенностью которого являются мелкорослость раковин, за исключением рода *Cristellaria*, и красновато-коричневый цвет микрофауны. Сохранность раковин форамилифер сравнительно хорошая.

В составе комплекса встречаются следующие виды: *Cibicides ex gr. favorabilis* Vassilenko, *Cibicides lunatus* (Brotzen), *Cibicides* sp., *Nonion sibiricus* Lipman, *Anomalina infrapaleogenica* Yukova, *Bolivinopsis scanica* Brotzen, *Cristellaria Karasevi* Lipm., *Cristellaria* sp., *Dentalina* sp.

По наиболее распространенным видам и выделена зона с *Cibicides lunatus* (Brotzen) и *Cibicides favorabilis* Vassilenko (рис. 16).

*Cibicides lunatus* (Brotzen) впервые описан Ф. Броценом из отложений палеоценена Швеции. В. П. Василенко *Cibicides lunatus* обнаружила и описала из отложений палеоценена в разрезе около с. Хмелева Ромнепского района Днепровско-Донецкой впадины.

Р. Х. Липман *Cibicides lunatus* (Brotzen) (называя его *Cibicides Vassilenko*) обнаружила в разрезе палеоценена Тюменской скважины 1-р.

*Cibicides favorabilis* Vassilenko был впервые описан В. П. Василенко из отложений палеоценена, охарактеризованных макрофауной (монский ярус, второй горизонт по стратиграфической схеме Василенко) Днепровско-Донецкой впадины.

*Anomalina infrapaleogenica* описана Н. К. Быковой из отложений палеоценена (сузакский ярус) Средней Азии.

*Bolivinopsis scanica* описан Ф. Броценом из палеоценена Швеции.

Приведенные выше данные указывают, что *Cibicides favorabilis* Vassilenko, *Anomalina infrapaleogenica* Yukova, *Bolivinopsis scanica* Brotzen являются характерными для отложений палеоценена Западной Сибири. Это предположение подтверждается находками макрофaуны.

Н. С. Волковой в 1951 г. из этой зоны была определена *Arca № 1* (в скв. 2-к Лучинкинской разведочной площади), которая, по ее мнению, сходна с *Arca reticulatus* Etch, и *Nucula № 1*, сходная с *Nucula crischtafovitschi* Aгch. из палеоценена Поволжья. Следо-

вательно, палеоценовый возраст отложений зоны *Cibicides ex gr. favorabilis* и *C. lunatus* не вызывает сомнения.

Эта зона в пределах Западной Сибири имеет неширокое горизонтальное распространение. Полный комплекс ее прослеживается в Приуралье и центральной части низменности. Отдельные виды ее встречаются в небольшом количестве в северных районах (Березово, Ханты-Мансийск). Сохранность фауны фораминифер этих районов плохая; она носит угнетенный характер.

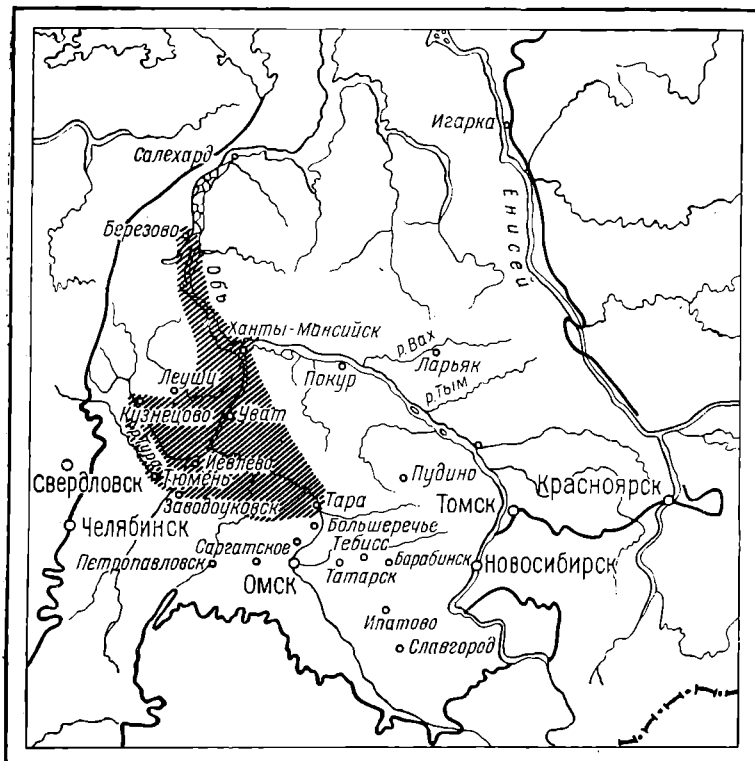


Рис. 16. Карта распространения фаунистической зоны с *Cibicides lunatus* (Бротцен), *Cibicides favorabilis* Вассиленко — палеоцен (составила М. В. Ушакова).

В разрезе Березовской скв. 1-р комплекс фораминифер зоны с *Cibicides favorabilis* и *C. lunatus* обнаружен совместно с песчаним комплексом зоны *Ammobaculites foliaceus* (Бротцен) в низах палеоцена. Повидимому, зарождение известковистых фораминифер зоны мелких аномалинид происходило в момент пышного расцвета песчаной фауны фораминифер зоны *Ammobaculites*, но в силу неблагоприятных физико-географических условий в этот период для известковистых фораминифер они не могли развиваться. Пышный расцвет эти виды получили позднее, когда физико-географические условия морского бассейна стали благоприятнее для развития известковистых фораминифер и менее благоприятны для песчанистых. Поэтому вся песчанистая фауна фораминифер этой зоны носит угнетенный характер и бедна в видовом отношении.

Необходимо отметить, что на юге низменности не только фауна фораминифер этой зоны, но и отложения, вмещающие ее, отсутствуют. Здесь отложения с характерной микрофауной для эоценена ложатся на осадки маастрихта. Повидимому, в южной части низменности (Омск, Октябрьское, Рявино, Славгород, Озерная) был перерыв в осадконакоплении между отложениями палеогена и верхнего мела.

Из всего изложенного выше можно сделать следующее заключение: физико-географические условия морского бассейна в период второй половины палеоценена были благоприятны для развития и существования известковистой фауны фораминифер в центральной части низменности и в Приуралье. Преобладание известковистой фауны фораминифер над песчанистой дает основание предполагать, что во второй половине палеоценового времени было некоторое потепление морского бассейна.

Вместе с фауной фораминифер в отложениях палеоценена встречается фауна радиолярий исключительно плохой сохранности. Найдены скелеты радиолярий в многочисленных разрезах: Березовской скв. 1-р (168,70—141,85 м), Леушинской 1-р (388,8—382,8 м) (?), Ханты-Мансийской 1-р (717,35—676,00 м), Кузнецковской 1-р (160,00—195,0 м), Покурской 1-р (667,2—545,00 мм), Ларьянской 1-р (504,8—502,05 м), Уватской 1-р (660,00—759,00 м) и Пудинской 1-к (236,05—226,85 м).

Мощность палеоценовых отложений с фауной радиолярий увеличивается с запада на восток. Наибольшая ее мощность отмечается в Уватской скв. 1-р.

В Омской скв. 1-р палеоценовые радиолярии отсутствуют. Фауна радиолярий очень плохой сохранности и с большим трудом в редких случаях определяется до рода. Этим она резко отличается от радиолярий верхней радиоляриевой зоны.

Распространение их в палеоцене не является границей палеоценовых отложений с эоценовыми.

По исключительно плохой сохранности фауны радиолярий можно сказать, что осадконакопление в палеоценовое время проходило в условиях, неблагоприятных для ее сохранения.

Наряду с фауной фораминифер и радиолярий только в разрезах Ларьянской скв. 1-р и Леушинской 1-р был встречен комплекс спор и пыльцы, характерный для отложений палеоценена. В состав комплекса входят следующие формы: *Selaginella*, *Polypodiaceae*, *Osmundaceae*, *Leiotriletes* Naum., *Coniopteris*, *Taxodiaceae*, *Pinaeae*, *Pinus*, *Juglandaceae*, *Betulaceae* с родом *Alnus*, *Proteaceae*, *Myrtaceae*, *Angiospermae* (см. табл. 96—97 приложения).

### Эоцен (?)

#### Слои без фораминифер

Выше отложений палеоценена во всех изученных разрезах, за исключением Ларьянской скв. 1-р и Леушинской скв. 1-р, прослеживается толща светлосерых и серых опок и опоковидных глин. Эта толща пород лишена каких бы то ни было палеонтологических остатков. В редких случаях в некоторых разрезах встречаются единичные обломки фораминифер, не определимые до рода, и обуглившиеся растительные остатки. Возраст ее на основании сходства

литологического состава пород с вышележащими отложениями эоцену условно отнесен к эоцену (?).

В разрезе Ларьякской скв. 1-р слои без фауны охарактеризованы спорами и пыльцой. Е. А. Иванова по находкам характерного комплекса эти слои относит к палеоцену и указывает на лагунный или прибрежно-морской характер осадков.

В разрезе Леушинской скв. 1-р в этих слоях (почти на границе ее с эоценом) на глубине 323—314 м встречена единственная створка раковины *Crassatella* sp. (ex gr. *crassatella deshaesiana* N u s t.) плохой сохранности, возраст которой А. С. Тарасова устанавливает как эоцен-нижний олигоцен.

Таким образом, вопрос о возрасте слоев без фораминифер пока остается открытым. Возможно, дальнейшее исследование осадков этой толщи и накопление фактического материала позволят уточнить ее возраст.

Мощность этих слоев колеблется от 25 до 65 м, уменьшение мощности наблюдается от центра к краевым частям пизменности.

### Эоцен

Выше слоев без фораминифер отложения представлены светло-серыми и серыми плотными опоковидными глинами, переходящими в зеленовато-серые сильно песчанистые глины.

Отложения содержат в большом количестве радиолярии, песчаный комплекс фораминифер и флору диатомовых водорослей, а также споры и пыльцу.

Н. Н. Субботина в 1947 г., исследуя третичные отложения юго-западной Сибири, впервые выделила верхнерадиоляриевую зону и отнесла ее к эоцену.

Позднее Р. Х. Липман, занимаясь изучением радиолярий Западной Сибири, выделила комплекс характерных видов для этой зоны.

Радиолярии верхней радиоляриевой толщи имеют широкое горизонтальное распространение и прослеживаются нами во всех изученных скважинах в следующих интервалах: Кузнецово 1-к (60,00—15,00 м), Леуши 1-к (306,5—249,6 м), Ханты-Мансийск 1-р (553,00—437,25 м), Уват 1-р (649,65—406,15 м), Покур (545,00—448,00 м), Ларьяк 1-р (384,00—334,00 м), Пудинская скважина 1-к (226,75—135,75 м), Ново-Басюганская 1-к (457,9—384,80 м), Омская 1-р (590,4—450,5 м); кроме того, они найдены нами на Октябрьской, Рявкинской и Нарымской разведочных площадях.

Мощность верхней радиоляриевой толщи колеблется в пределах от 43,0 до 243,00 м. Наибольшая мощность наблюдается в Уватской скв. 1-р (243,50 м).

Характерными видами для этой толщи являются следующие: *Cenosphaera* sp. 1, *Cenellipsis* sp., *Thecosphaera triglobulata* L i p m., *Ellipsoxiphus chabakovi* L i p m., *Cenosphaera ispharensis* L i p m., *Sethocystis elegans* L i p m., *Trochodiscus Stylo trochus* aff *asiaticus* L i p m. и др.

Комплекс родов *Cenosphaera*, *Cenodiscus*, *Spongodiscus Stylo trochus*, т. е. сферических, линзообразных, дискоидальных, колпачковидных форм, незначительное число *Prunoidea*, *Thecocystidae*,

т. е. эллипсоидальных и трехкамерных башенковидных форм, и полное отсутствие многокамерных башенковидных, треугольных и крестообразных форм является характерным для отложений палеогена и прослеживается нами в изученных западно-сибирских палеогеновых толщах.

Все скелты имеют тончайшее ажурное сетчатое строение, часто с иглами, шипами, при сферической дискоидальной, чечевицеобразной или колпачковидной общей форме.

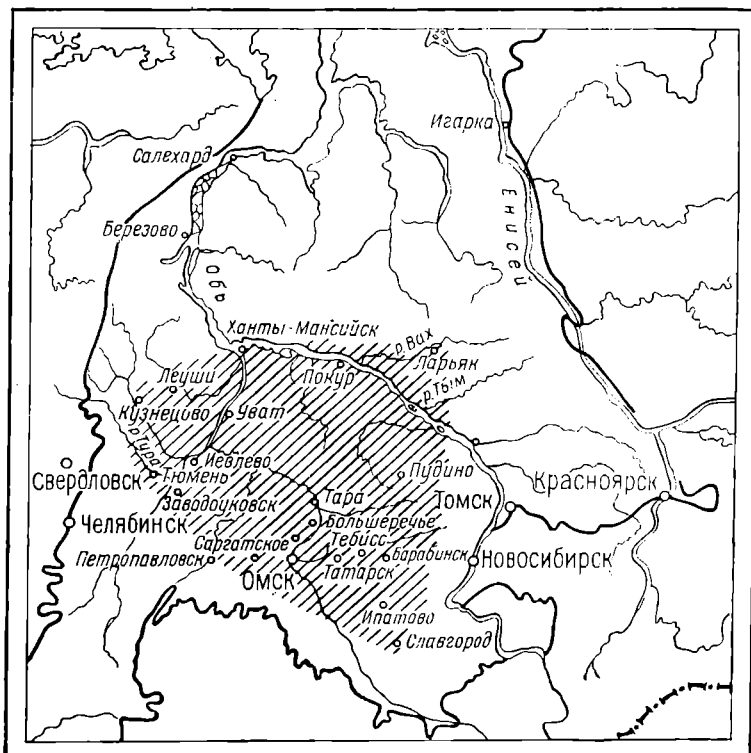


Рис. 17. Карта распространения фаунистической зоны *Spiroplectammina* ex gr. *carinata* (Ог. б.) — эоцен (составила М. В. Ушакова).

Сохранность фауны радиолярий верхней радиоляриевой толщи по разрезам неодинакова. В нижней части фауна радиолярий несколько разрушена, а в верхней части имеет хорошую сохранность с иглами, шипами, скелетными украшениями. Хорошая сохранность пелевых скелетов позволяет высказать предположение о том, что радиолярии отлагались в спокойно осаждавшихся тонких илах.

Изучение фауны фораминифер верхнерадиоляриевой зоны позволило нам выделить в 1952 г. виды, имеющие руководящее значение для этой части разреза палеогена. К таким видам относятся: *Spiroplectammina* ex gr. *carinata* (Ог. б.), *Proteonina* sp. 2, *Gaudryina* sp. и др.

По наиболее распространенным видам зона названа *Spiroplectammina* ex gr. *carinata* (Ог. б.). Эта зона имеет самое широ-

кое горизонтальное распространение в пределах Западно-Сибирской низменности (рис. 17). Она прослеживается во всех изученных разрезах. В количественном отношении комплексы ее неодинаковы. Полные комплексы ее прослеживаются в центральной части низменности и в Приуралье. Здесь комплекс представлен в основном теми же видами фораминифер, что и песчаные комплексы палеоценена, но видовое разнообразие обеднено. Последнее можно отнести за счет плохой сохранности раковин фораминифер. Плохая сохранность не позволяет определить до вида, поэтому большинство ее определено до рода. Некоторые же раковины вызывают затруднение в определении даже до рода. Общий облик комплекса этой зоны носит угнетенный характер.

В северных районах (Ханты-Мансийск, Покур, Ларьяк) комплекс этой зоны несколько обеднен.

В южной части низменности (Омск, Рявикино, Октябрьское, Тебисс, Татарск, Славгород) встречаются единичные раковины этой зоны.

Мощность зоны колеблется от 230 до 15 м.

В эоцене, кроме фауны, встречается флора диатомовых, которая имеет широкое распространение на западных и восточных окраинах Западно-Сибирской низменности. Наиболее полно она представлена в разрезах Ларьякской и Кузнецковской скважин, где охватывает довольно мощные слои пород. Флора в основном приурочена к верхним горизонтам эоценена.

Необходимо отметить, что в разрезе Кузнецковской скважины на основании изучения диатомовых довольно ясно выделяются в верхнем эоцене два горизонта: нижний и верхний, что соответствует комплексам диатомовых, найденных А. П. Жюзе у пос. Гарина р. Сосьве в Восточном Приуралье (1949 г.).

Очень маломощные зоны, не охватывающие всей толщи эоценена, с диатомовой флорой встречаются в опоковидных глинах Покровской скв. 2-к (интервал 291,25—283 м), в трепеловидных глинах Каменско-Гусельниковской скв. 1-к (интервал 205—143 м), в опоковидных глинах Лучинкинской скв. 6-к (интервал 89,3—83,3 м) и 7-к (интервал 191,45—123 м), Пудинской скв. 1-к (интервал 216,6—210,2 м).

Эоценовый комплекс диатомовых и кремневых жгутиковых водорослей представлен следующими видами: *Melosira Julcata* v. *sibirica* Jouse, *Coscinediscus Payeri* Grun., *Triceratium kinheri* A. S., *Triceratium exornatum*, *Trinacria excavata*, *Trinacria rogina*, *Trinacria exculpta* (Heib.) Hust., *Dictyochs rotundata* Jouse, *Pyxilla gracilis* Tempr. et Forti, *Liradiscus ellipticus* Grav. (см. табл. 130—131 приложения).

Наряду с микрофауной и флорой диатомовых водорослей в отложениях эоценена в разрезах Уватской скв. 1-р, Нарымской 3-к и Ново-Логиновской 1-к был встречен спорово-пыльцевой комплекс. В составе комплекса найдены: *Polypodiaceae*, *Selaginella*, *Leiotrichites* Baum, *Pinus*, *Taxodium*, *Pterocarya*, *Betula*, *Alnus*, *Ulmus*, *Tilia* (см. табл. 98—99 приложения).

Изучение фауны и флоры из эоценовых отложений позволило сделать следующие выводы.

1. Широкое горизонтальное распространение фауны фораминифер, радиолярий и флоры диатомовых дает основание предполагать,

что морской бассейн в период эоцена занимал огромное пространство Западно-Сибирской низменности.

2. Общий облик и плохая сохранность песчаной фауны фораминифер указывают на неблагоприятные физико-географические условия для существования ее в период эоцена.

3. Хорошая сохранность скелетов радиолярий и скелетов панцирей диатомовых водорослей позволяет предполагать, что осаждение радиолярий и флоры диатомовых происходило в спокойных условиях.

4. Наличие фауны песчанистых фораминифер, радиолярий и флоры диатомовых дает основание предполагать, что режим бассейна в эоценовое время был умеренно холодный.

### Нижний олигоцен

Морские осадки нижнего олигоцена почти на всей обширной территории Западно-Сибирской низменности сохраняют постоянство литологического состава пород. Во всех изученных опорных и разведочных разрезах (за исключением разреза Кузнецковской скв. 1-р) они представлены зелеными и зеленовато-серыми плотными глинами, жирными на ощупь, местами слабо слюдистыми и слабо песчанистыми, окисленными, с включением гнезд светлосерого песка. (В Кузнецковской скв. 1-р они представлены светлосерыми опоковидными глинами.)

Обломки нижнего олигоцена Западно-Сибирской низменности характеризованы фауной пелеципод, гастропод, известковистых фораминифер, остракод, довольно богатым спорово-пыльцевым комплексом и флорой диатомовых.

Пелециподы и гастроподы представлены семействами *Nuculidae*, *Astartidae*, *Lucinidae*, *Cyprinidae*, *Tellinidae*, *Turritellidae*, *Aporrhaidae*. Фауна фораминифер представлена семействами *Nonionidae*, *Anomalinidae*, *Miliammidae*; из остракод встречены *Cytheridae*.

Макрофауна обнаружена в Покровских скв. 1-к, 22-к, 30-к, 31-к, Леушинской 1-р, Нарымской 1-к, Ново-Логиновской 25-к, Куломзинской 11-к, Октябрьской 9-к, Саргатских 3-к, 4-к, 13-к, Большецеченской 10-к.

Большинство представителей фауны имеет небольшие размеры, тонкую хрупкую раковину. Она представлена ядрами, отпечатками и реже полными раковинами.

В разрезах встречаются: *Tellina* sp. 1, *Tellina* sp. 2, *Leda* sp., *Leda volgensis* A g c h., *Lucina* sp., *Meretrix* sp., *Meretrix* cf. *latilamella* Lukovic, *Meretrix* (*Cordiopsis*) *tenuis* Ale x., *Corbula* cf. *henckeli* Ny st., *Astarte bosqueti* Ny st., *Marcia* (*Marcimonia*) *turgidula* Des h., *Cytherea sultaria* Des h., *Cyprina* aff. *kasachstanica* Ale x., *Chlamys* sp., *Turritella* cf. *uniangularis* La m., *Turritella* sp. ex gr. *uniangularis* La m., *Aporrhais* aff. *coruntus* Ale x.

Из приведенного списка фауны видно, что преобладающее значение имеют пелециподы, очень в незначительном количестве присутствуют гастроподы.

Эта фауна обнаруживает сходство с фауной из чеганской свиты северных чинков Устьюрта, Северного Приаралья и Түргайской впадины (по данным Н. К. Овечкина и А. П. Ильиной).

Общими или близкими здесь являются следующие виды: *Cyprina aff. kasachstanica* Alek., *Crassatella* sp. ex gr. *deshasiana* Nystr., *Corbula* cf. *henckeli* Nystr., *Meretrix* cf. *latilamella* Lukovic, *Turritella* cf. *uniangularis* Lam., *Aporrhais* aff. *cornutus* Alek.

Наблюдается также сходство фауны Западно-Сибирской низменности с фауной Украины.

Некоторые формы сопоставляются с видами из латорфского яруса Северной Германии и парижского бассейна. К этим видам относится *Cytherea sulcataaria* Desh., *Astarta bosqueti* Nystr.

Кроме того, имеется ряд форм, которые впервые встречены в отложениях Западно-Сибирской низменности. Возможно, эти виды и будут характерными для нижнего олигоцена низменности.

Фауна форамиинифер имеет хорошую сохранность и представлена следующим видовым составом: *Elphidium rischtanicum* Bykova, *Elphidium* ex gr. *rischtanicum* Bykova, *Nonion* ex gr. *laevis* (Orb.), *Nonion* sp., *Cibicides khanabadensis* Mjasnikova, *Cibicides* ex gr. *khanabadensis* Mjasnikova, *Cibicides* sp., *Anomalina munda* Bykova, *Miliolina* ex gr. *selena* (Каггег), *Nonion graniferus* (Terguev), *Nonion usbekistanensis* Bykova, *Nonion martkovi* Bogdanowicz, *Discorbis ferganensis* Bykova.

По наиболее распространенным видам и выделена нами нижнеолигоценовая зона *Elphidium rischtanicum* Bykova, *Cibicides khanabadensis* Mjasnikova (рис. 18).

Перечисленные виды, за исключением последнего, широко распространены в отложениях палеогена Средней Азии. Вид *Elphidium rischtanicum* впервые описан Н. К. Быковой из отложений верхнего эоцена и нижнего олигоцена Средней Азии (риштанский и ханабадский ярусы). Значительно реже встречается он в сумарском ярусе (олигоцен). *Cibicides khanabadensis* впервые описан Мясниковой из шизов олигоцена (ханабадский ярус) Средней Азии.

*Nonion laevis* впервые описан Орбиги из отложений среднего и верхнего эоцена парижского бассейна. Н. К. Быкова описывает его из отложений верхнего эоцена Средней Азии (туркестанский и риштанский ярусы). Ею же отмечено, что этот вид не имеет большого стратиграфического значения, а больше связан с определенными фаунистическими группами. В большом количестве экземпляров этот вид появляется в мелководных отложениях и, очевидно, в несколько опресненной среде.

*Nonion graniferus* (Terg.) впервые описан из эоцена парижского бассейна. Н. К. Быковой он описан из палеогена Средней Азии (риштанский, исфаринский, ханабадский и сумарский ярусы).

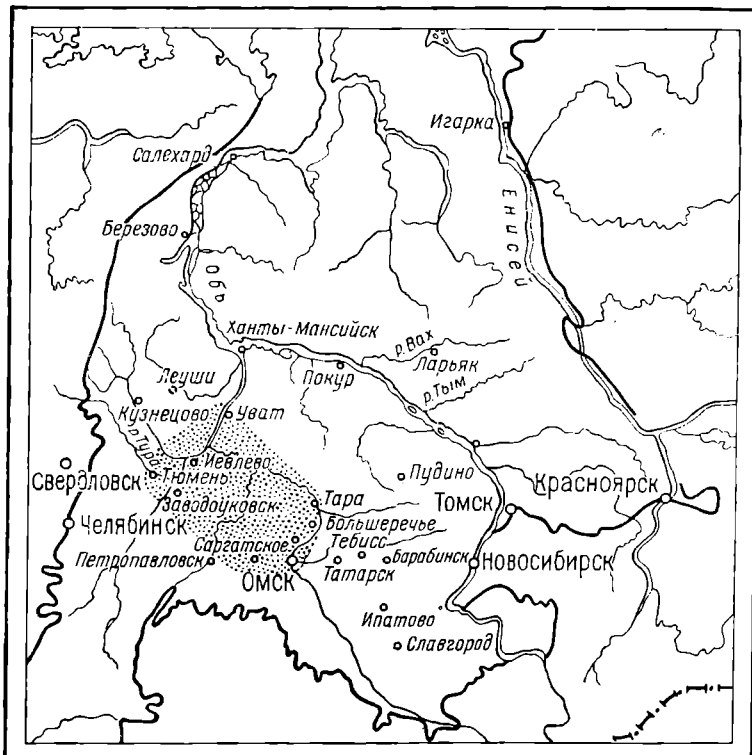
*Nonion usbekistanensis* Н. К. Быковой впервые описан из палеогена Ферганской долины (ханабадский, сумарский ярусы).

*Nonion martkovi* А. К. Богдановичем описан из нижнего и среднего сармата Крымско-Кавказской области. Современные обитают в Черном море.

*Discorbis ferganensis* Н. К. Быковой описан из палеогена Ферганской долины.

*Anomalina munda* впервые описана Н. К. Быковой из отложений нижнего олигоцена сумсарского яруса Ферганы и ханабадского яруса Ферганы и Таджикской депрессии нижнего олигоцена.

*Miliolina ex gr. selena* (Каггер) впервые Карререм описал из отложений миоцена Австралии; передко встречается по всему разрезу чокракских отложений Западного Предкавказья. *Mili-*



Фиг. 18. Карта распространения фаунистической зоны *Elphidium rischtanicum* Bykova и *Cibicides khanabadensis* Mjassnikova — нижний олигоцен (составила М. В. Ушакова).

*olina selena* также известна из чокрака Грозненского района, Дагестана, Грузии и Керченского полуострова.

Из всего изложенного видно, что *Elphidium rischtanicum* Bykova, *Cibicides ex gr. khanabadensis* Mjassnikova и *Anomalina munda* Bykova в массовом распространении приурочены главным образом к нижнему олигоцену. Сибирские находки этих видов совершенно идентичны со среднеазиатскими видами. Следовательно, эти виды можно считать в пределах Западно-Сибирской цизменности характерными для отложений нижнего олигоцена.

Количественное соотношение представителей видов этой зоны неодинаково. Некоторые виды встречаются редко — *Nonion larvis*, *N. graniferus*, *N. usbekistanensis*, *Nonion martkovi*, *Discorbis ferganensis*, другие, как, например: *Cibicides ex gr. khanabadensis*

*Mjassnikova*, *Anomalina munda* Вукова и *Elphidium rischtanicum* Вукова, встречаются часто.

Фауна форамилифер имеет красновато-коричневую окраску. Некоторые раковинки потеряли настоящую форму, так как покрыты ожелезненной оболочкой. Повидимому, воды морского бассейна в период нижнего олигоцена были насыщены гидроокислами железа. Это предположение подтверждается данными геохимического анализа пород. Из устного сообщения геохимика Н. И. Кузнецовой нам известно, что в верхнеэоценовое и нижнеолигоценовое время на территории Западно-Сибирской низменности породы отлагались в морском бассейне с повышенным содержанием железа.

Фауна форамилифер зоны *Cibicides ex gr. khanabadensis* Mjass. и *Elphidium rischtanicum* Вукоя прослеживается не повсеместно. Полные комплексы ее наблюдаются в разрезах нижнего олигоцена Приуралья (в скважинах Тарской, Тюменской, Уватской, Иевлевской, Покровских, Лучинкинских, Заводоуковских, Викуловской, Ново-Логиновской) и в центральной части низменности. На юге низменности (Омск, Октябрьское, Рявкино и др.) в одновозрастных отложениях встречаются единичные виды зонального комплекса. В северных и восточных районах (Ханты-Мансийск, Покур, Ларьяк, Нарым и др.) в нижнем олигоцене микрофауна не найдена. Здесь возраст отложений устанавливается по находкам остатков ихтиофауны с учетом положения их в разрезе, которые обычно сопутствуют характерному комплексу микрофaуны в нижнем олигоцене центральной части низменности и Приуралья.

Фауна остракод в нижнем олигоцене была найдена в основном в разрезах скважин центральной части низменности и Восточном Приуралье, в скважинах Покровских, Иевлевских, Тюменской, Заводоуковской, Викуловской, Лучинкинской, Большещеченской, Федоровской, Ново-Логиновской, Уватской и Тарской.

Полный комплекс фауны остракод из всех разрезов скважин указанных площадей представлен следующими видами: *Cytheridea probata* Mand., *Cytheridea venta* Mand., *Cytheridea clarea* Mand., *Cytheridea meris* Mand., *Cytheridea viatoris* Mand., *Cytheridea celsa* Mand., *Cytheridea testata* Mand., *Cytheridea* sp., *Cythereis spongiosa* Liep., *Cythereis nativa* Mand., *Cythereis subsulana* Mand., *Clythrocytheridea nimia* Mand., *Clythrocytheridea recondita* Mand., *Clythrocytheridea aff. mollis* Mand., *Clythrocytheridea* sp., *Cytheretta tomskensis* Mand., *Cytherura placyda* Mand., *Loxoconcha (?) tunicata* Mand., *Loxoconcha (?) flagilis* Mand., *Loxoconcha chabakovi* Mand., *Loxoconcha septorifera* Mand., *Loxoconcha Lanabilis* Mand., *Loxoconcha exorsa* Mand., *Loxoconcha tabida* Mand., *Loxoconcha* sp., *Semicytheretta tricostata* (Liks), *Cytheropteron obrutschewi* Mand., *Pterigocythereis permira* M.

Фауна остракод в образцах керна встречается в незначительных количествах, т. е. от 1 до 5 экземпляров раковин. Сохранность раковин удовлетворительная, реже — хорошая. Наиболее характерными и часто встречающимися видами в описываемых отложениях являются: *Cytheridea probata* Mand., *Cytheridea meris* Mand., *Cythereis spongiosa* Liep., *Clythrocytheridea nimia* Mand.,

*Clythrocystheridea recondita* Манд. Они были встречены почти во всех разрезах скважин указанных площадей.

Комплекс остракод, более богатый по своему видовому составу, приурочен к отложениям разрезов Тюменских колонковых скважин, затем Покровских и Иевлевских. Створки остракод из отложений этих районов имеют значительно лучшую сохранность, чем из тех же отложений других районов.

Фауна остракод из отложений разрезов Заводоуковской, Викуловской, Лучининской, Большелереченской, Федоровской, Ново-Логиновской площадей, Уватской и Тарской скважин отличается значительной бедностью видового состава и представлена в основном характерными видами, как: *Cytheridea probata* Манд., *Cytheridea nimia* Манд., *Clythrocystheridea recondita* Манд. и некоторые другие.

Видовая ассоциация остракод из описываемых отложений Западно-Сибирской низменности имеет целый ряд видов, близких к тем, которые встречаются в нижнем олигоцене Средней Азии (сумсарский и ханабадский ярусы) и других районов СССР. Так, например, сибирский вид *Clythrocystheridea recondita* Манд. имеет большое сходство с *Clythrocystheridea inna* Манд. из отложений нижнего олигоцена ханабадского яруса Средней Азии; вид *Cytheridea probata* Манд. имеет сходство с *Cytheridea evolsa* Манд. из отложений нижнего олигоцена (майкопская свита) Северного Кавказа; *Cytheridea testata* сходна с видом *Cytheridea khanabadensis* Манд. из нижнего олигоцена (ханабадский ярус) Средней Азии; *Cytheridea clarea* сходна с видом *Cytheridea adiosa* Манд. из отложений нижнего олигоцена миатлинского горизонта станицы Цимлянской (область р. Дона); *Cytheridea meris* Манд. сходна с видом *Cytheridea khanabadensis* Манд. из нижнего олигоцена ханабадского яруса Ферганской долины; *Cythereis subsulana* сходен с видом *Cythereis ferganensis* Манд. из нижнего олигоцена Ферганы; *Cythereis spongiosa* Liep. также сходен с видом *Cythereis ferganensis* Манд., описанным из отложений среднего эоцен — нижнего олигоцена алайского и сумсарского ярусов Ферганской долины.

Сопоставление комплекса остракод Западной Сибири с нижнеолигоценовыми комплексами сопредельных и удаленных районов позволило установить большое сходство некоторых видов, что дает основание возраст отложений Западно-Сибирской низменности относить по фауне остракод также к нижнему олигоцену.

Наряду с фауной фораминифер и остракод в отложениях нижнего олигоцена встречены сравнительно богатые спорово-пыльцевые комплексы и флора диатомовых (см. табл. 132—142 приложения).

Спорово-пыльцевые комплексы были изучены нами в разрезах Уватской 1-р, Покурской 1-р, Ларьянской 1-р, Октябрьской 1-к, Омской 1-р, Большелереченской 6-к, Лебяжинской 2-к и Славгородской 5-к скважин.

Для сопоставления взяты материалы Уватской 1-р, Покурской 1-р, Ларьянской 1-р и Славгородской 5-к скважин с наиболее богатыми спорово-пыльцевыми комплексами, которые представлены в табл. 100—105 (приложения), в остальных скважинах, хотя

и были найдены споры и пыльца, но в недостаточном количестве, и принимать их во внимание мы не сочли возможным.

Анализируя полученный из нижнего олигоцена спорово-пыльцевой комплекс, мы видим, что в нем резко преобладает пыльца покрытосеменных растений над голосеменными. В процентном отношении пыльца покрытосеменных составляет 72,27%, голосеменных — 16,57%. Высокий процент покрытосеменных дает пыльца неопределенных *Angiospermae*.

Споры составляют только 3,76%, неопределенные зерна 7,4% (процентное содержание вычислено от общего количества зерен).

Приводим общий флористический список встреченных форм.

Пыльцевые зерна: *Podocarpus* (0,02—0,96%), *Pinaceae* (5,58—8,92%), *Cedrus* (0—0,2%), *Abies* (0—0,09%), *Picea* (0—0,25%), *Tsuga* (единично), *Keteleeria* (единично), *Pinus* (0,55—4,96%), *Pinus* н/р *Diploxylon* (0,3—0,45%), *Pinus* н/р *Haploxylon* (0,08—0,31%), *Taxodiaceae* (0,35—3,48%), *Sequoia* (единично), *Taxodium* (единично), *Cupressaceae* (0—0,2%), *Salicaceae* (2,0—0,15%), *Salix* (0,03—0,3%), *Ephedra* (единично), *Myrica* (0,04—0,15%), *Juglandaceae* (0,15—1,98%), *Juglans* (0,05—0,12%), *Carya* (0,25—0,71%), *Pterocarya* (0,02—0,23%), *Betulaceae* (0,51—4,88%), *Alnus* (2,08—2,6%), *Betula* (0,07—0,15%), *Carpinus* (0,03—0,15%), *Corylus* (0,03—0,4%), *Quercus* (единично), *Fagus* (0,04—0,17%), *Castanea* (0,36—2,69%), *Castanopsis* (единично), *Alnus* (0,13—1,59%), *Proteaceae* (?) (единично), *Liquidambar* (0,4—0,73%), *Rhus* (0,07—1,73%), *Ilex* (0,17—0,32%), *Acer* (0,07—1,08%), *Nyssa* (0,28—0,87%), *Tilia* (0,05—1,59%), *Sterculiaceae* (единично), *Myrtaceae* (0—0,23%), *Myrtus* (единично), *Extratriporopollenites* Pf. (единично), *Ericaceae* (0,15—0,25%), *Thymelaeaceae* (единично), *Sparganium* (0—12,0%), *Potamogeton* (0—0,3%), *Gramineae* (единично), *Urticaceae* (единично), *Chenopodiaceae* (единично), *Nymphaeaceae* (единично), *Caprifoliaceae* (единично), *Euphorbiaceae* (единично), *Onagraceae* (единично), *Trapa* (единично), *Onagra* (единично), *Compositae* (единично), *Angiospermae* (6,0—29,68%), *Angiospermae* трехпоровые, трехбороздные (12,56—53,31%), *Angiospermae* трехпоровых, безбороздные (0—2,46%), *Angiospermae* трехбороздные, беспоровые (5,71—16,7%).

Споры: *Sphagnum* (0—0,25%), *Lycopodiaceae* (0,05—0,1%), *Lycopodium* (единично), *Selaginella* (единично), *Hymenophyllum* (единично), *Cyatheaceae* (0,06—0,2%), *Cyathea* (единично), *Cibotium* (единично), *Cleichenia* (0—0,12%), *Polypodiaceae* (0,23—2,94%), *Woodsia* (единично), *Osmundaceae* (0,05—0,2%), *Lygodium* (0,02—0,05%), *Ophioglossaceae* (единично), *Leiotriletes* Н а и т (0,05—0,4%), Неопределенные споры (0,1—2,65%), *Equisetum* (единично).

Характерным является высокий процент пыльцы *Pinaceae* с родом *Pinus*. Остальные роды встречены единично. Богато представлены сережкоцветные. Наряду с *Juglans*, *Carya* и *Pterocarya* из семейства *Juglandaceae* встречаются теплолюбивые, широколистственные — листопадные породы: *Quercus*, *Fagus*, *Castanea*, *Castanopsis*, *Acer*, *Ulmus*, *Tilia*, (*Castanea* и *Tilia* значительное количество). Из семейства *Betulaceae*, кроме *Alnus* и *Betula*, встречаются *Carpinus* и *Corylus*. Последний является неизменным спутником теплолюбивых и широколистенных лесов.

Можно также отметить присутствие группы растений среди земноморской флоры, таких, как *Nyssa*, *Rhus*, *Ilex*. Единично встречается пыльца тропических форм *Sterculia* семейства *Proteaceae*, субтропических — *Liquidambar*.

Пыльца представителей жестколистной вечнозеленой флоры *Myrtaceae* с родом *Myrtus* встречена единично, так же как и пыльца семейства *Ericaceae*. Обращает внимание присутствие большого количества неизвестной трехпоровой, трехбороздной пыльцы, которая появляется в отложениях олигоцена и составляет от 12,5 до 53,31 % от общего числа зерен. Выше, в миоцене, мы их встречаем уже в меньшем количестве и считаем возможным отметить это как характерную черту для отложений олигоценового возраста.

Эти пыльцевые зерна относятся к определенной группе покрыто-семенных растений, так как они напоминают по своей морфологии пыльцу широколиственных форм, таких, как *Quercus* и *Castanea*. Принадлежность их к каким-то определенным семействам и родам должна быть выяснена в процессе дальнейших исследований.

В значительном количестве имеется пыльца трехбороздных беспоровых пыльцевых зерен (5—16 %), трехпоровых безбороздных (1—3 %) и просто пыльца *Angiospermae*, точнее нами не определенная (7—29 %).

Группа прибрежных и водных растений представлена пыльцой *Potamogeton*, *Sparganium*, *Trapa*, *Onagraceae*, *Thypha*, но эти виды встречены не во всех скважинах. Единично встречена пыльца травянистых растений семейств *Chenopodiaceae* и *Labiateae*.

Споры представлены очень малым количеством и бедны по своему родовому составу. Больше всего спор из семейства *Polypodiaceae* (до 3 %) — представителей умеренных широт; встречаются споры субтропических и тропических древесных папоротников семейства *Cyatheaceae* с родом *Cyathea*, *Cleichenia*, *Lygodium*, *Osmunda*. Из группы плаунов присутствуют споры *Lycopodium*, *Selaginella*.

Наличие столь богатого в видовом отношении спорово-пыльцевого комплекса дает нам возможность, говоря о ландшафте нижнего олигоцена, представить существование в то время густых хвойно-лиственных лесов, состоящих преимущественно из широколиственных, теплолюбивых пород, с присутствием значительного количества *Pinus* и меньшего количества *Abies*, *Picea*, *Tsuga*, *Keteleeria*, *Cedrus*. В более увлажненных местах росли деревья *Taxodium* и *Sequoia*.

Широколиственные породы могли так же встречаться и как подлесок, в хвойных лесах (*Alnus*, *Betula*, *Tilia*, *Carpinus*), и в виде небольших самостоятельных рощ в долинах рек (*Juglans*, *Fagaceae* и др.). Около озер и медленно текущих рек грушировалась прибрежно-водная растительность *Sparganium*, *Potamogeton*, *Thypha*, *Trapa*, а по берегам, вероятно, росли *Alnus* и *Salix*.

Папоротники и плауны представляли, очевидно, нижний ярус хвойных и смешанно-хвойных лесов. Климат был влажный и теплый, близкий к субтропическому.

При сопоставлении спорово-пыльцевых комплексов нижнего олигоцена отдельных скважин, расположенных в северных и южных частях низменности, мы отмечаем большое сходство их флористического состава при некотором количественном различии.

В табл. 8 показаны количественные соотношения пыльцы и спор отдельных семейств в Ларькской, Покурской, Уватской скважинах, расположенных примерно на одной широте, а также в Славгородской скважине, расположенной южнее. Количество спор и пыльцы в нижнеолигоценовых отложениях Омской скважины оказалось настолько малым, что мы решили не включать ее в таблицу сопоставления спорово-пыльцевых комплексов отдельных скважин.

Из таблицы видно, что количество голосеменных возрастает с севера на юг. Но это увеличение голосеменных идет за счет повышения южных форм: пыльцы *Podocarpus*, *Cupressaceae*, *Cedrus*. Количество пыльцы *Taxodiaceae* наименьшее в Славгороде, так как условия для произрастания таких влаголюбивых форм, как *Taxodium* и *Sequoia*, были, повидимому, наименее благоприятными. Поэтому здесь почти отсутствует и группа прибрежно-водных и водных растений, тогда как в Увате и Покуре она представлена пыльцой *Potamogeton*, *Sparganium*, *Trapa* и *Thyrspha*. Это говорит о благоприятных условиях для произрастания такой растительности и, возможно, о наличии в этих районах небольших водоемов в виде озер и болот. Пыльца семейства *Betulaceae* встречена в меньшем количестве, но присутствуют *Corylus* и *Carpinus*, пыльца которых в других скважинах единична. В составе пыльцы теплолюбивых и широколиственных форм различия не наблюдается. Из средиземноморских форм в Славгороде несколько выше процент пыльцы *Nyssa*; из папоротников можно отметить несколько болльший процент спор *Cyatheaceae* — обитателей субтропических областей.

Таким образом, намечается некоторая не очень резкая и только количественная разница между северными и южными спорово-пыльцевыми комплексами. В более северных районах при доминировании пыльцы хвойных (род *Pinus*) возрастает содержание пыльцы *Betulaceae* (род *Betula*), в то время как участие пыльцы широколиственных пород, количество которых было вообще незначительно, здесь еще снижается (исключение составляет только Ларьк, где процентное содержание широколиственных форм 8,93%).

Может быть здесь можно говорить о зачатке ботанико-географической зональности, хотя несомненно, что растительность того времени была более однотипна.

Диатомовая флора нижнего олигоцена, как и эоценовая, приурочена к отложениям, расположенным ближе к прибрежным рай-

Название скважин	<i>PolyPodiaceae</i> , %	<i>Cyatheaceae</i> , %	<i>Pinaceae</i> , %	<i>Podocarpus</i> , %	<i>Taxodiaceae</i> , %	<i>Juglandaceae</i> , %	<i>Betulaceae</i> , %
Ларькская . . . . .	0,28	—	7,77	0,08	2,06	3,01	6,66
Покурская . . . . .	0,62	0,06	9,11	0,02	3,48	0,30	5,33
Уватская . . . . .	2,94	0,20	9,03	0,04	1,94	1,65	8,64
Славгородская . . . . .	1,62	0,35	9,11	0,96	0,35	0,45	3,29

онам третичного морского бассейна на территории Западно-Сибирской низменности.

Наиболее богатые и разнообразные по видовому составу комплексы характеризуют отложения, вскрытые разрезами Кузнецковской и Ларьянской опорных скважин. Видовой состав флоры еще более разнообразен по сравнению с эоценовым. Необходимо отметить в этом отношении ларьянскую флору, где насчитывается 114 видов, представляющих 32 рода. Кроме того, в нижнем олигоцене ларьянского разреза выделяются две флористические зоны: нижняя в интервале 334—299 м, совмещающая черты нижнеолигоценовой флоры и частично эоценовой, и верхняя с типичной нижнеолигоценовой флорой следующего состава: *Melosira sulcata v. sibirica* Grun., *Arachnoidiscus indicus* Ehrg., *Coscinodiscus decrescens* Yuse, *Coscinodiscus payeri* Grun., *Coscinodiscus argus* Edria и др.

Подобная флора обнаружена в ряде пунктов Свердловской области и в харьковском ярусе Пензенской и Воронежской областей (1949 г.). Флора такого же типа обнаружена нами в нижнеолигоценовых отложениях Западно-Сибирской низменности в зеленовато-серых глинах скв. 1-к Каменско-Гусельниковской площади (интервал 143—86 м), в опоковидных глинах Покровской скв. 2-к (интервал 226—219 м), в зеленовато-серых глинах Лучинских скв. 6-к (576—442 м) и 7-к (123—95 м) и в Пудинской — 200,2—181,9 м. Флористические зоны в разрезах этих скважин не охватывают всей толщи нижнего силикагена, а приурочены лишь к отдельным ее частям. В скважинах северной, северо-восточной и центральной частей низменности (Ханты-Мансийской, Покурской, Уватской и Нарымской 1-к) и на южной окраине низменности (Омской, Барабинской, Славгородской и др.) диатомовая флора отсутствует. А. П. Жузе объясняет это явление тем, что прибрежные формы обладают более грубым прочным панцирем и лучшей сохранностью по сравнению с глубоководными тонкопанцирными водорослями. Мощность отложений нижнего олигоцена Западной Сибири колеблется от 174 до 10 м.

Из всего изложенного выше можно сделать следующие выводы.

1. Осадки нижнего олигоцена на территории Западно-Сибирской низменности сохраняют постоянство литологического состава пород и представлены морскими фауниами.

Таблица 8

<i>Alnus</i> , %	<i>Fagaceae</i> , %	<i>Ulmaceae</i> , %	<i>Tilia</i> , %	<i>Ilex</i> %,	<i>Nyssa</i> , %	Трехпоровые, трехбороздные ( <i>Angiospermae</i> ), %	Голосеменные, %	Широколистственные породы, %
2,22	2,77	1,59	1,59	0,31	0,55	44,29	10,0	8,90
2,24	0,28	0,13	0,22	0,17	0,28	53,31	10,2	3,90
2,60	0,44	0,77	0,46	0,32	0,60	12,56	11,1	3,32
2,08	1,72	0,45	0,65	0,25	0,86	20,40	24,7	5,75

Широкое горизонтальное распространение микрофауны, спорово-пыльцевых комплексов и диатомовых водорослей указывает на то, что морской водоем в период нижнего олигоцена занимал огромное пространство на территории Западной Сибири.

Необходимо отметить, что бассейн олигоценового времени был более мелководен, чем палеоцен-эоценовый. Об этом свидетельствуют характер фауны, присутствие растительного дегрита, а также накопление терригенного алевритового и песчаного материала.

2. Выделение осадков нижнего олигоцена на территории низменности произведено на основании результатов изучения фауны фораминифер, остракод, спорово-пыльцевых комплексов, флоры диатомовых и кремневых жгутиковых водорослей и характера литологического состава пород, вмещающих эти палеонтологические остатки.

3. Мощность нижнеолигоценовых отложений испытывает колебания и снижается при движении от центральной части низменности к ее периферии.

4. Присутствие фораминифер семейств *Anomaliniidae*, *Nonionidae* и *Miliolidae* указывает на мелководность бассейна и теплый его режим.

5. Изучение спорово-пыльцевых комплексов ряда разрезов опорных скважин в различных частях Западно-Сибирской низменности позволило установить флористический состав нижнеолигоценовых отложений и наметить некоторые количественные различия в соотношении отдельных ботанических групп.

6. Спорово-пыльцевой комплекс нижнего олигоцена характеризуется невысоким процентом пыльцы *Pinaceae* с преобладанием рода *Pinus*. Богато представлены сережкоцветные с группой широколиственных листоцадных пород — *Juglans*, *Carya*, *Pterocarya*, *Acer*, *Ulmus*, *Quercus*, *Fagus*, *Castanea*, *Tilia*, хотя пыльца всех этих форм встречена в сравнительно небольшом количестве или даже единично.

Есть пыльца представителей субтропической и тропической флоры, таких, как *Nyssa*, *Rhus*, *Ilex*, *Liquidambar*, *Sterculia*, *Proteaceae*. В виде реликтовых форм остались вечнозеленые *Myrtus*, пыльца которых встречена единично.

7. Характерно для отложений нижнего олигоцена большое количество трехпоровой трехбороздной пыльцы *Angiospermae*, которая появляется в эоцене, имеет широкое распространение в олигоцене и значительно уменьшается в миоцене; она напоминает по своей морфологии представителей широколиственных теплолюбивых пород: *Castanea*, *Quercus*; есть зерна, напоминающие пыльцу *Rhus*.

8. Растительность нижнего олигоцена была представлена хвойно-широколиственными лесами, состоящими из широколиственных теплолюбивых пород с присутствием хвойных, в основном рода *Pinus*. Очевидно, в состав подлеска входили вечнозеленые субтропические растения.

В более увлажненных местах имелись заросли из *Taxodiaceae*. Нужно думать, что значительный процент широколиственных пород составляют растения с трехпоровой трехбороздной пыльцой ввиду ее значительного сходства с пыльцой таких родов, как *Quercus*.

и *Castanea*. Широколиственные породы могли образовывать и подлесок среди хвойных пород (*Alnus*, *Betula*, *Tilia*, *Carpinus*) и существовать в виде небольших самостоятельных рощ в долинах рек (*Juglans*, *Fagaceae* и др.).

Около озер и медленно текущих рек росли прибрежно-водные и водные растения (*Sparganium*, *Potamogeton*, *Trapa*, *Thyrspha*) с зарослями *Alnus* и *Salix*. Климат в тот период был влажным и теплым, близким к субтропическому.

9. Сопоставление спорово-пыльцевых комплексов разрезов географически удаленных скважин позволяет говорить о количественном отличии в спектрах северных и южных точек.

Намечается некоторая ботанико-географическая зональность, подтверждающая положение о том, что во флоре этого периода, несмотря на значительную однотипность, уже имелась широтная дифференциация.

10. И. М. Покровская и Г. А. Бойцова высказывают предположение, что в олигоценовое время на территории Западной Сибири основной фон создавали сосны, а западно-сибирские леса были или сосново-широколиственными, или широколиственно-сосновыми.

На основании анализа изученного материала мы говорим о хвойно-широколиственных лесах в нижнем олигоцене, отмечая в дальнейшем в верхнем олигоцене уменьшение пыльцы *Taxodiaceae*, изменение растительности в сторону увеличения пыльцы светлохвойных пород, уменьшения пыльцы вечнозеленых и субтропических форм и исчезновение пыльцы тропических растений таких, как *Sterculia* и *Proteaceae*.

11. Диатомовые водоросли нижнего олигоцена характеризуются большим разнообразием флористического состава и приуроченностью ее к краевым частям низменности.

### Верхний олигоцен (?)

На отложениях нижнего олигоцена с размывом залегают континентальные отложения верхнего олигоцена и миоцена. К этому времени море покинуло всю территорию центральной части Западно-Сибирской низменности и наступил континентальный и лагунно-континентальный режим в осадконакоплении. Все известные в Западно-Сибирской низменности верхнетретичные отложения являются континентальными озерно-аллювиального типа.

При палеонтологическом исследовании этих отложений из разрезов опорных и разведочных скважин было установлено присутствие только остатков растительности. На основании исследований последних лет среди континентальных отложений стало возможным выделить спорово-пыльцевые комплексы, характерные для верхнего олигоцена (?) в ряде скважин: Уватской 1-р, Покурской 1-р, Ларьянской 1-р, Нарымской 1-р, Омской 1-р, Славгородской 5-к.

Мощная континентальная толща во всех перечисленных скважинах литологически представлена переслаиванием песков и глин. Окраска пород желтовато-серая и зеленовато-серая. Пески мелко-зернистые и неравномерно-зернистые, иногда с включением плохо отсортированной гальки. Резких отличий, отделяющих верхний олигоцен от нижнего миоцена пока не прослеживается, и только в Покурской скв. 1-р А. А. Сергиенко (1952 г.) в интервале 252—267 м выделен верхний олигоцен (?) по наличию характерного

спорово-пыльцевого комплекса, отличного от миоценового. Отложения указанного выше интервала представлены песками и содержат довольно значительное количество пыльцы и спор. Общий состав спорово-пыльцевого комплекса отличается от нижнеолигоценового количественным соотношением. Всего было найдено 4658 зерен, представленных следующими родами и семействами.

Споры: *Sphagnum* (0,67%), *Lycopodiaceae* (0,18%), *Selaginella* (0,03%), *Cyatheaceae* (0,11%), *Osmunda* (0,03%), *Lygodium* (?) (0,03%), *Leiotriletes* Нашум (0,52%).

Пыльца: *Podocarpaceae* (0,33%), *Pinaceae* (8,95%), *Tsuga* (0,14%), *Picea* (0,48%), *Keteleeria* (0,07%), *Pinus* (11,0%), *Pinus* н/р *Diploxylon* (4,38%), *Pinus* н/р *Haploxyylon* (2,96%), *Taxodiaceae* (0,75%), *Salix* (0,3%), *Juglandaceae* (0,11%), *Carya* (0,14%), *Betulaceae* (6,7%), *Alnus* (4,07%), *Betula* (1,00%), *Corylus* (0,03%), *Fagus* (0,03%), *Castanea* (1,5%), *Ulmus* (0,11%), *Liquidambar* (0,41%), *Rhus* (3,97%), *Ilex* (0,33%). *Acer* (0,18%), *Nyssa* (1,68%), *Tilia* (0,03%), *Myrtaceae* (0,11%), *Ericaceae* (0,37%), *Sparganium* (0,06%), *Potamogeton* (0,06%), *Compositae* (0,11%), *Angiospermae* трехпорые, трехбороздные (28,01%), *Angiospermae* трехбороздные беспоровые (4,15%), *Angiospermae* (7,64%), неопределенные и деформированные зерна (7,65%), (спорово-пыльцевой комплекс верхнего олигоцена (?) + миоцена представлен в табл. 106—115 приложения).

Можно отметить большой процент по сравнению с отложениями нижнего олигоцена пыльцы *Podocarpus*, *Pinus* н/р *Diploxylon*, *Pinus* н/р *Haploxyylon*, *Picea*, *Betulaceae* с родами *Alnus* и *Betula*. Больше пыльцы *Acer*, *Rhus*, *Nyssa*. Очевидно, здесь несколько изменяется состав хвойных пород в сторону преобладания светлохвойных (*Pinus* н/р *Diploxylon*, *Picea*). Количество пыльцы широколиственных теплолюбивых форм остается примерно одинаковым, увеличивается количество *Betula* и *Alnus*. Также много пыльцы неопределенных трехбороздных трехпоровых *Angiospermae*. Сравнивая наши данные с анализом образцов из Карасукской скважины, относимых И. М. Покровской (1950 г.) к верхнему олигоцену, мы видим большое сходство этих спорово-пыльцевых комплексов.

В карасукском спорово-пыльцевом комплексе преобладает пыльца *Pinus*, а рода *Abies*, *Picea*, *Tsuga* и семейство *Taxodiaceae* представлены в малом количестве. Довольно много пыльцы *Betula* и *Alnus*, широколистственные породы присутствуют в небольшом количестве; они представлены пыльцой *Pterocarya*, *Carya*, *Fagus*, *Ulmus*, *Tilia*, *Liquidambar*, *Castanea*. Отмечается наличие большого количества пыльцы. Папоротники почти полностью отсутствуют. Этот комплекс очень сведен со спорово-пыльцевым комплексом верхнего олигоцена Покурской скважины. При сопоставлении спорово-пыльцевого комплекса верхнего олигоцена Покурской скв. 1-р со спорово-пыльцевыми комплексами аналогичных отложений Тургайской впадины (И. М. Покровская и Т. И. Бойцова, 1954 г.) и нижнего Приобья (И. М. Покровская, Е. П. Бойцова, И. И. Краснова, Е. С. Малисова, 1954 г.) мы отмечаем, что флористический состав этих отложений почти совершенно аналогичен.

В процентном отношении есть отличие в количестве пыльцы *Taxodiaceae*, которая в спорово-пыльцевых комплексах Тургай-

ской впадины и нижнего Приобья играет доминирующую роль, а в нашем спорово-пыльцевом спектре представлена в небольшом количестве.

## Миоцен

Из всех третичных отложений наиболее полно спорово-пыльцевыми комплексами охарактеризована миоценовая толща; в ней богато представлена пыльца как голосеменных, так и покрытосеменных растений. Это богатство комплекса и разнообразие его состава свидетельствуют о благоприятных условиях захоронения микроскопических остатков растений.

Миоценовый возраст пород доказывается данными спорово-пыльцевого и карпологического анализов. Из обнажений на р. Абрамовке (приток Иртыша) у с. Екатерининского (южнее г. Тары) А. Н. Криштофовичем указываются многочисленные отпечатки флоры миоценового возраста, в том числе: *Salvinia Mildeana* Goerр., *Spirematospermum Wetzelgeri* (Нее г.), *Chandler*, *Populus balsamoides* Goerр., *Populus latior* Нее г. var. *subtruncata* Нее г., *Pterocarya castaneifolia* Goerр. sp., *Alnus kefersteinii* Goerр., *Nelumbium* sp., *Magnolia* sp., *Amelanchier-sibirica* Кгусcht. et Борсук., *Acer trilobatum* (Стернх.), A. Br., *Vitis cf. teutonica* A. Br., *Nyssa* sp., *Alangium acqualifolium* (Goerр.), Кгусcht. et Борсук., *Trapa* sp.

Из скв. 27 Павлодарской области, Михайловского района, на ст. Шира, М. О. Борсук определены остатки миоценовой флоры *Quercus* sp., *Corylus cf. macquarrii* (Фогб.) Нее г.

Миоценовые спорово-пыльцевые комплексы получены нами из разрезов следующих скважин: Уватской, Покурской, Ларьянской, Ханты-Мансийской, Нарымской, Омской, Лебяжинских, Большецеченских, Яковлевской, Ипатовской, Славгородской, Чулымской, а также и из обнажений с р. Пиш и р. Кизак, где удалось проследить чередование нескольких горизонтов: в одних преобладала пыльца хвойных, в других пыльца покрытосеменных растений.

Полученные нами спорово-пыльцевые комплексы хорошо сопоставляются с комплексами из неогеновых отложений в районе г. Тюмени, где проводились исследования сотрудниками ВСЕГЕИ В. В. Заусер и Н. Д. Мчедлишвили (1954), а также из миоценовых отложений нижнего Приобья, исследованных Е. И. Бойцовой, Е. С. Малясовой и И. М. Покровской (1954).

Приводим список общих форм для всех сопоставляемых районов: *Sphagnum*, *Lycopodiaceae*, cf. *Cyatheaceae*, *Polypodiaceae* (споры бобовидные), *Osmundaceae*, *Leiotriletes* Наум., *Pinaceae*, *Abies*, *Tsuga*, *Picea*, *Pinus*, *Pinus* n/p *Diploxyylon*, *Pinus* n/p *Haploxyylon*, *Taxodiaceae*, *Juglandaceae*, *Juglans*, *Pterocarya*, *Carya*, *Betulaceae*, *Alnus*, *Betula*, *Corylus*, *Carpinus*, *Fagus*, *Quercus*, *Castanea*, *Ulmus*, *Liquidambar*, *Ilex*, *Acer*, *Tilia*, *Nyssa*, *Ericaceae*, *Sparganiaceae*, *Chenopodiaceae*, *Onagraceae*, *Angiospermae* (спорово-пыльцевые комплексы представлены в табл. 116—123 приложения).

Необходимо отметить, что характерной особенностью в комплексах всех районов является резкое преобладание пыльцы над спорами.

Споровый состав беден и однообразен. В отличие от олигоценового комплекса здесь появляются в довольно большом количестве споры *Sphagnum*, особенно в верхних горизонтах. Есть споры плаунов семейства *Lycopodiaceae*. Много спор папоротников из семейства *Polypodiaceae*, характерных для третичных и четвертичных отложений. Присутствуют споры cf. *Cyathea*, приуроченные к верхним горизонтам. Споры семейства *Osmundaceae* прослеживаются почти во всех анализах, но в меньших количествах, чем споры семейства *Polypodiaceae*.

Среди голосеменных растений доминирует пыльца семейства *Pinaceae* с родом *Pinus* — подрод *Haploxyylon*. Второе место в комплексах занимает пыльца семейства *Taxodiaceae*. Меньше встречается пыльца *Abies*, *Tsuga*, *Picea*.

Пыльца покрытосеменных растений широко представлена сережкоцветными семейства *Betulaceae* с родами *Alnus*, *Betula*. Единично встречена пыльца родов *Corylus* и *Carpinus*, последний является неизменным спутником теплолюбивых и широколиственных лесов. Широколиственные листопадные породы представлены пыльцой семейства *Juglandaceae* с родами *Juglans*, *Pterocarya*. Остальные представители этой группы растений, как, например, *Carya*, *Quercus*, *Fagus*, *Castanea*, *Ulmus*, *Tilia*, *Ilex*, встречены в меньшем количестве.

Пыльца субтропических растений *Liquidambar*, *Nyssa* во всех разрезах равномерно прослеживается. Почти во всех районах, за исключением Ханты-Мансийска, Нарыма и Чулымка, найдены единичные пыльцевые зерна вечнозеленых субтропических растений семейства *Myrtaceae* с родом *Myrtus*, а также пыльца семейства *Sterculiaceae* (в районе Славгорода), ставших в это время, вероятно, реликтами.

Пыльца жестколистного полукустарника представлена семейством *Ericaceae*, и во всех районах она не превышает одного процента.

В небольшом количестве отмечается пыльца прибрежно-водной растительности в основном семейства *Sparganiaceae*, *Onagraceae* (Гтара), также отмечаются представители степных формаций семейств *Chenopodiaceae*, *Compositae* с родом *Artemisia*.

Спорово-пыльцевые спектры миоценовых отложений южных и северных районов низменности легко сопоставляются между собой. Если же флористический состав в сопоставляемых районах в общем одинаков, то в соотношениях пыльцы отдельных семейств и родов мы наблюдаем некоторые различия, характеризующие определенные районы. Для сравнения приводим табл. 9 руководящих форм комплекса для всех изученных районов.

В районах Ларьяка, Нарыма, Омска и Славгорода пыльца покрытосеменных растений преобладает над пыльцой голосеменных, особенно в районе Славгорода, где она составляет около 70 % от числа всех зерен.

В Улате, Покуре, Ханты-Мансийске, Чулыме и Октябрьской площади, наоборот, доминирует пыльца голосеменных, составляя в Ханты-Мансийском районе 66 % от общего числа всех зерен.

Во всех районах, кроме Ларьяка и Покура, резко преобладает пыльца темнохвойных пород (*Pinus* n/p *Haploxyylon*, *Picea*, *Abies*).

Таблица 9

Руководящие формы	Наименование скважин								
	Ханты-Мансий-ская 1-р	Уват-ская 1-р	Покур-ская 1-р	Ларьян-ская 1-р	Нарым-ская 1-к	Чулым-ская 1-р	Октябрь-ская 1-к	Омская 1-р	Славгородская 5-к
% семейства <i>Podocarpaceae</i> . . . . .	0,13*	0,45	0,13	0,50	Присутствуют	0,08	1,01	0,18	0,70
% семейства <i>Pinaceae</i> . . . . .	59,90	46,0	47,57	35,35	42,93	57,16	46,65	36,06	27,36
% семейства <i>Taxodiaceae</i> . . . . .	6,45	3,69	1,22	2,80	1,10	0,80	11,55	12,00	0,80
% семейства <i>Juglandaceae</i> . . . . .	1,08	2,69	3,30	2,37	16,37	14,19	2,48	4,79	12,10
% семейства <i>Betulaceae</i> . . . . .	19,33	27,52	30,21	30,30	32,75	25,26	21,93	25,58	17,88
% род <i>Alnus</i> . . . . .	4,69	6,05	4,95	5,13	7,20	1,25	2,92	13,11	11,90
% род <i>Betula</i> . . . . .	2,13	2,22	8,35	4,89	25,20	20,20	7,48	2,28	3,10
% <i>Angiospermae</i> трехпоровые, трехбороадные . . . . .	1,60	4,80	6,20	13,44	1,80	2,74	4,39	1,05	3,60
% голосеменных . . . . .	66,12	50,12	49,13	38,88	44,39	58,04	60,11	48,24	29,96
% темнохвойных . . . . .	5,57	4,95	5,70	4,09	4,80	12,71	9,46	9,44	3,00
% светлохвойных . . . . .	1,76	1,91	4,95	4,27	0,87	4,14	4,02	3,56	2,00
% широколиственных пород (за исключением <i>Juglandaceae</i> ) . . . . .	2,64	1,48	2,98	4,27	4,75	1,65	1,13	2,40	4,75
% субтропических пород . . . . .	0,99	0,91	0,87	2,44	2,23	2,83	1,82	2,43	2,30
% водных покрытосеменных . . . . .	2,61	2,14	1,36	Присутствуют	Присутствуют	0,25	0,98	2,09	6,70
% травянистых форм . . . . .	0,55	0,21	0,14	0,89	0,46	1,80	0,05	0,31	1,10

\* Подсчет пыльцы отдельных групп произведен от общего числа найденных пыльцевых зерен; то же в отношении спор.

В этих же двух районах количество пыльцы темно- и светлохвойных пород (*Pinus* n/p *Diploxylon*) почти одинаково.

По сравнению с отложениями олигоцена количество *Pinaceae* заметно возрастает за счет увеличения процента пыльцы различных видов *Pinus*.

Пыльца *Podocarpaceae* встречена в большем количестве в Октябрьской скважине, в остальных она дает незначительный процент.

Много пыльцы *Taxodiaceae* отмечается в южных районах (Октябрьская и Омская скважины), несколько меньше в северных районах (Ханты-Мансийская и Уватская скважины), в остальных районах роль семейства *Taxodiaceae* уменьшается, особенно в Славгороде и Чулыме. Можно предполагать, что такие влаголюбивые формы, как *Taxodium* и *Sequoia*, требующие для своего произрастания определенные экологические условия, не имели их в указанных районах.

Среди покрытосеменных ведущее место занимает пыльца се-режкоцветных, из которых выделяется семейство *Betulaceae* с родами *Betula* и *Alnus*. Особенно много пыльцы отмечено в северных районах Нарыма, Ларьяка и Увата.

Увеличение в указанных районах процентного содержания пыльцы этой группы растений связано с уменьшением в их комплексе пыльцы широколиственных пород. Исключение составляет только район Нарыма, где процент широколиственных пород, особенно семейства *Juglandaceae*, очень высокий. В южных же скважинах участие пыльцы семейства *Betulaceae* несколько ниже, чем в северных, но зато особенно увеличивается в Славгороде и Чулыме количество пыльцы широколиственных пород. Процент субтропических форм несколько больше в Ларьяке, Нарыме, Чулыме, Омске и Славгороде.

Пыльца груши прибрежно-водных растений присутствует везде, особенно много ее в Славгороде, несколько меньше в Омске, Ханты-Мансийске, Увате, что говорит о существовании здесь ину гренних бассейнов в виде озер и болот. Трехпоровые, трехбороздные зерна неопределенных *Angiospermae*, которые содержатся в большом количестве в комплексе олигоцена и условно относятся нами к широколиственным и вечнозеленым породам, в нижних горизонтах миоцена встречаются, но в меньшем количестве. Это также говорит о снижении процента пыльцы широколиственных влаголюбивых и теплолюбивых пород. Выше по разрезу эта пыльца исчезает.

По сравнению с олигоценом растительность миоцена изменяется в сторону появления большого количества темнохвойных пород (сосна, ель, пихта), распространяются больше березовые, особенно род *Betula* в северных районах. Широколиственные породы, сохраняя свое разнообразие, становятся менее распространенными. В незначительном количестве сохраняются представители субтропической растительности. Появляются прибрежно-водные растения, связанные с образованием внутренних водоемов. Постепенно комплекс обогащается появлением травянистых форм, но совершенно отсутствует пыльца стенных элементов, за исключением *Ephedra*, встреченной единично во всех районах.

Говоря о ландшафте миоцена на территории Западно-Сибирской низменности, мы можем себе представить наличие смешанных

лиственно-хвойных лесов с большим количеством пород умеренных широт: хвойных (сосны, пихты, ели) и березовых (береза и ольха) со значительной примесью широколиственных, влаголюбивых и теплолюбивых древесных пород, которые состояли главным образом из различных орехов, лапины, дубов, буков, каштанов, падубов, нисс, ликвидамбара. Возможно, что на более возвышенных местах рельефа проигрывали сосновые леса с подлеском из вересковых и папоротников семейства *Polyopodiaceae*; в низинах с большим увлажнением, в местах, закрытых от ветра, росли широколиственные леса с травянистым покровом. В поймах рек были заросли ольхи-шишика.

По болотам и берегам рек в условиях избыточного увлажнения сохранились заросли болотного кипариса.

Большое место в ландшафте Западно-Сибирской пизменности в миоценовое время занимают водоемы со значительным количеством прибрежно-водных растений: *Trapa*, *Sparganium*, *Potamogeton*.

Климат миоцена, повидимому, был еще теплый и влажный, но по сравнению с климатом олигоцена начал меняться в сторону цхолодания; все же климатические условия были значительно более мягкими, нежели современные, с меньшими, чем в настоящее время, колебаниями температур.

На основании сопоставления спорово-пыльцевых комплексов исследуемых районов можно предположить, что комплекс миоценовых отложений обладает большой выдержанностью как в горизонтальном, так и в вертикальном направлении, и, по всей вероятности, растительность изученных районов принадлежит к одной ботанико-географической провинции.

Наличие лигнитов в миоцене указывает на значительную влажность климата при довольно высокой средней температуре, способствующей торфообразованию.

### Плиоцен (?)

Спорово-пыльцевые комплексы плиоцена (?) выделены пока условно из-за отсутствия достаточного материала в Лебяжинских 1-к и 3-к, Омск-Тюкалинских 5-к и 20-к скважинах, шурфах с Федоровской площади (с. Конторки, с. Карагатан) Омского района, левый берег р. Оби (с. Жуково) (спорово-пыльцевой комплекс приведен в табл. 124—127 приложения).

Характерной особенностью всех полученных спорово-пыльцевых комплексов является присутствие значительного количества пыльцы травянистых растений, которая в плиоцене получает свое пышное развитие как в видою, так и в количественном отношении. Значительную роль в комплексе играет пыльца хвойных и сережкоцветных. Из хвойных в большом количестве найдена пыльца семейства *Pinaceae* с родами *Pinus* и *Picea*, спорадически встречается *Tsuga* и пыльца семейства *Taxodiaceae*. Из сережкоцветных наибольший процент дает пыльца *Betulaceae* с родами *Alnus* и *Betula*; рода *Corylus* и *Carpinus* отмечены единично. Количество пыльцы широколиственных теплолюбивых пород (*Juglans*, *Quercus*, *Fagus*, *Castanea*, *Ulmus*, *Acer*, *Tilia*) резко сокращается по сравнению с миоценовыми спорово-пыльцевыми комплексами,

приурочена пыльца главным образом к нижним горизонтам. Пыльца субтропической растительности (*Liquidambar*, *Ilex*, *Nyssa*) присутствует единично.

Травянистая растительность представлена, с одной стороны, пыльцой прибрежно-водных растений рода *Sparganium*, *Potamogeton*, семейства *Alismataceae*, *Nymphaeaceae*; с другой стороны — представителями типично степных формаций: *Graminae*, *Chenopodiaceae*, *Umbelliferae*, *Plumbaginaceae*, *Dipsacaceae*, *Compositae*.

Споровая часть комплекса представлена спорами папоротников *Polypodiacea*, дающих наибольший процент, меньше — спорами мха рода *Sphagnum* и *Bryales*, единично отмечены споры плаунов *Lycopodium* и *Selaginella*.

Таким образом, для спорово-пыльцевого комплекса отложений плиоцена характерно постепенное обеднение флоры за счет исчезновения широколиственных теплолюбивых, жестколистных вечнозеленых субтропических и тропических форм, но травянистая растительность получает широкое распространение.

Климат плиоцена (?) изменяется в сторону похолодания.

---

## ЛИТЕРАТУРА

- Архангельский А. Д. Верхнемеловые билемниты России. Материалы по геологии России, т. XXV, 1912.
- Архангельский А. Д. О некоторых палеоценовых и верхнемеловых устрицах России. Ежегодник по геологии и минералогии России, т. VII, вып. 10, 1905.
- Архангельский А. Д. Ископаемая фауна берегов Аральского моря. Научные результаты Аральской экспедиции. Верхнемеловые отложения, вып. I. Изв. Туркестанского Отд. Русск. Географ. общ-ва, т. VIII, вып. 2, 1912.
- Анальев А. Р. Остатки верхнемеловой и третичной флоры с р. Кеми, левого притока Енисея. Труды Томского Государственного университета им. В. В. Куйбышева, т. 99, Томск, 1948.
- Алексеев А. К. Палеогеновая фауна моллюсков Северного Приаралья (отчет), 1941.
- Барашинова В. Н. Микропалеоботанические остатки в мезозойских и кайнозойских отложениях Тургая. Изв. АН КССР, вып. 13, серия геологическая, 1951.
- Баранов В. И. и Васильева И. М. Сопоставление результатов спорово-пыльцевого анализа и изучение листовых флор плиоцена. Труды конференции по спорово-пыльцевому анализу, 1950.
- Балахматова В. Т. К вопросу стратиграфии верхнемеловых отложений Среднего Поволжья и Общего Сырта. Труды НГРИ, сер. А, вып. 106, 1937.
- Балахматова В. Т., Липман Р. Х., Романова В. И. Характерные фораминиферы мела и палеогена Западно-Сибирской низменности. Труды ВСЕГЕИ, Новая серия № 2, Госгеолиздат, 1955.
- Безруков П. Л. Верхнемеловые и палеогеновые отложения бассейна верховьев р. Тобола. Бюллетень Московского об-ва испытателей природы. Отд. геологии, т. XII (2), 1934.
- Болховитина Н. А. Пыльца хвойных из мезозойских отложений и ее значение для стратиграфии. Изв. АН СССР, вып. 5, Серия геологическая, 1952.
- Болховитина Н. А. Спорово-пыльцевая характеристика меловых отложений центральных областей СССР. Труды Института геологических наук АН СССР, вып. 145, Геологическая серия (№ 61), 1953.
- Болховитина Н. А. Спорово-пыльцевой состав отложений азита и альба Центральной части Русской платформы. Бюллетень Московского общества испытателей природы. Отд. геологии, т. XXVI (5), 1951.
- Болховитина Н. А. Нижнемеловые спорово-пыльцевые комплексы Чулымо-Енисейского бассейна, Южного Урала и Казахстана. Труды конференции по спорово-пыльцевому анализу, 1950.
- Богданович А. К. Биостратиграфия и корреляция юго-западной части Западно-Сибирской низменности. Фонды ВНИГРИ, 1944.
- Боголюбский Н. А. Рязанский горизонт. Материалы по геологии России, т. 18, 1895.
- Боголюбский Н. А. Материалы для изучения нижнемеловой аммонитовой фауны центральной и северной России. Труды Геолкома. Новая серия, вып. 2, 1902.
- Борисик А. Фауна Донецкой юры. Труды Геолкома. Новая серия, вып. 37, 1908.

Борисик А. Пелепицподы юрских отложений Европейской России. Труды Геологического комитета. Новая серия, вып. 44, 1909.

Борисик А., Иванов Е. Пелепицподы юрских отложений Европейской России. Труды Геолкома. Новая серия, вып. 143, 1917.

Бодина Е. И. Остракоды третичных отложений Зайсанской депрессии. Фонды ВНИГРИ, 1953.

Бодилевский В. И. Малый атлас руководящих ископаемых. Гостоптехиздат, 1953.

Бойцов Е. П., Михайлова В. М., Овечкин Н. К. Геология юго-западной части Тургайского прогиба. Изд. ВСЕГЕИ, 1954.

Быкова Н. К. Фораминиферы меловых и палеогеновых отложений Ферганской долины. Труды НГРИ, сер. А, вып. 121, 1939.

Быкова Н. К. Меловые фораминиферы Средней Азии. Фонды ВНИГРИ, рукопись, 1945.

Быкова Н. К. Материалы к изучению фауны фораминифер сеномана Бухарской области. Труды ВНИГРИ, сб. «Микрофауна нефтяных месторождений Кавказа, Эмбы и Средней Азии». Ленинград, 1947.

Быкова Е. В. О значении ископаемых фораминифер для стратиграфии юрских отложений района Самарской Луки. Труды ВНИГРИ, сб. 1, 1948.

Быкова Е. В. Материалы к стратиграфии Западно-Сибирской пизменности по фауне фораминифер. Фонды ВНИГРИ, стр. 34, табл. 7, 1941.

Булатова З. И., Кисельман Э. Н., Ушакова М. В. Микрофаунистическое изучение кернового материала скважин треста Запсибнефтегеология, Новосибирск, 1950.

Баранов В. И. Ботаника. Ученые записки Казанского Государственного университета им. В. И. Ленина, т. 110, книга 6, вып. 8, Казань, 1950.

Баранов В. И. Ботаника. Ученые записки Казанского Государственного университета им. В. И. Ленина, т. 108, книга 3, вып. 7, Казань, 1948.

Бойцов Е. П. и Покровская И. М. Материалы по стратиграфии континентальных олигопеновых и миоценовых отложений Тургайской впадины. Труды ВСЕГЕИ, 1954.

Бойцов Е. П., Краснов И. И., Малисова Е. С. и Покровская И. М. Результаты изучения спорово-пыльцевых комплексов из континентальных третичных отложений нижнего Приобья. Труды ВСЕГЕИ, 1954.

Васильев В. Г. Геологическое строение северо-западной части Западно-Сибирской пизменности и ее нефтеносность. Союзный научно-исследовательский нефтяной геолого-разведочный институт. Главгеология Наркомнефти, 1946.

Вахрамеев В. А. Роль геологической обстановки в развитии и распространении покрытосеменных флор в меловое время. Бюллетень Московского об-ва испытателей природы. Отд. геологии, т. XXVI (6), 1947.

Вахрамеев В. А. Региональная стратиграфия СССР, Изв. АН СССР, т. 1, Москва, 1952.

Вахрамеев В. А. О возрасте мезозойских бокситов Урала, Казахстана и Енисейского кряжа. Изв. АН СССР, вып. 2, Серия геологическая, 1948.

Василенко В. П. Фораминиферы палеоценена центральной части Днепровско-Донецкой впадины. Труды НГРИ. Новая серия, вып. 51, сб. 4, 1950.

Василенко В. П. и Мятлюк Е. В. Фораминиферы и стратиграфия верхнего мела Южно-Эмбенского района. Труды ВНИГРИ. Сб. «Микрофауна нефтяных месторождений», 1947.

Василенко В. П. Фораминиферы юрских и нижнемеловых отложений Мыса Ильи (Хатанский залив). Фонды ВНИГРИ, 1940.

Волошинова Н. А. и Дайн Л. Г. Нониониды, кассидулиниды и хилостомслииды. Гостоптехиздат, 1952.

Василенко В. П. Аномалиниды. Гостоптехиздат, 1954.

Восковойников М. Е. Стратиграфия мезокайнозойских отложений северных предгорий Кетменского хребта. Изв. АН КССР, вып. 13, Серия геологическая, 1951.

Гричук В. П. Исторические этапы эволюции растительного покрова юго-востока Европейской части СССР в четвертичное время. Труды Института географии АН СССР, вып. 50, 1951.

Грейзер М. И., Обручев Д. В., Сокольская А. Н. Новые данные о возрасте быстрянской свиты нижнего карбона Минусинской котловины. Доклады АН СССР, т. XCIII, № 5, 1954.

Дампель А. И. Фораминыфера верхнемеловых отложений месторождения Караган Эмбенского района. Труды НГРИ, сер. А, вып. 50, 1934.

Дайн Л. Г. Фораминыфера верхнеюрских и меловых отложений месторождения Джансы-Бай Тюменского района. Труды НГРИ, сер. А, вып. 43, 1934.

Дайн Л. Г. Материалы и стратиграфия юрских отложений Саратовской области. Труды ВНИГРИ, сб. 1, 1948.

Дайн Л. Г. Материалы по обработке скважин 5—6 Шумихинского района Челябинской области. Фонды ВНИГРИ, 1937.

Джафаров Д. И., Агаларова Д. А. Микрофауна альбских отложений Азербайджана. Труды АзНИИ, Баку, 1949.

Догель В. А. Курс сравнительной анатомии беспозвоночных. Вып. 1. Кожные покровы и скелет, 1929.

Думитрашко Н. В. и Каманин Л. Г. Палеогеография Средней Сибири и Прибайкалья. АН СССР, Труды Института географии, вып. 37, 1946.

Добров С. А. Руководящие ископаемые верхнего мела СССР. Ученые записки Московского университета, вып. 161, гл. V, 1952.

Жузе А. П. Киселев И. А. и др. Диатомовый анализ, т. I, II, III, Госгеолиздат, 1949.

Жузе А. П. Догретичные диатомовые водоросли. Ботанический журнал АН СССР, № 3, 1948.

Жузе А. П. Ботанические материалы отдела споровых растений. Изд. АН СССР, 1948. (Принципы диатомового анализа).

Жузе А. П. Ботанический журнал, т. XXXVII. Изд. АН СССР, 1952.

Жузе А. П. О диатомовых третичного возраста в данных осадках дальневосточных морей, 1953.

Заявер В. В., Седова М. А., Чедлишили Н. Д., Стельмах Н. К. Спорово-пыльцевые комплексы мезозоя некоторых районов СССР. Спорово-пыльцевая конференция 1953 г. Всесоюзный научно-исследовательский геологический институт, 1953.

Заявер В. В., Чедлишили Н. Д., Покровская И. М., Седова М. А. и Стельмах Н. К. Заключение по результатам спорово-пыльцевого анализа образцов Барабинской скважины, 1951.

Заселова В. С. Фораминыфера верхнеюрских и меловых отложений Западно-Сибирской низменности. Труды ВНИГРИ, сб. 1, Ленинград, 1948.

Зоричева А. И., Седова М. А. Спорово-пыльцевые комплексы верхнепермских отложений некоторых районов севера Европейской части СССР. Труды ВСЕГЕИ, Москва, 1954.

Заклинская Е. Д. Материалы к изучению состава современной растительности и ее спорово-пыльцевых спектров для целей биостратиграфии четвертичных отложений (широколиственный и смешанный лес). Труды Института геологических наук, вып. 127, Геологическая серия № 48, 1951.

Заявер В. В., Карапурза Э. Н., Седова М. А. Основные этапы развития растительности на территории СССР в мезозойское время (по данным палинологического анализа), т. 39. «Ботанический журнал», № 2, 1954.

Ищенко А. М. Атлас микроспор и пыльцы среднего карбона Донбасса. Изд. АН УССР, 1952.

Иловайский Д. И., Флоренский К. П. Верхнеюрские аммониты бассейнов рек Урала и Илека. Материалы к познанию геологического строения СССР. Новая серия, вып. 1, (5), 1941.

Ильина А. И. Моллюски чеганской свиты северных членов Устьурта. Палеонтологический сборник, ч. 1, 1953.

Казаниев В. П. Материалы к познанию фораминифер неокома и юры Эмбенского района. Труды НГРИ, сер. А, вып. 56, 1936.

Казаниев В. П. Материалы к познанию фауны юрских фораминифер промысла Макат-Эмбанефти. Труды НГРИ, сер. А, вып. 43, 1934.

Коллектив авторов палеонтологов и палеонтологов треста Запсибнефтегеология. Палеонтологическое и палеоботаническое исследование кернового материала скважин треста Запсибнефтегеология. Отчет по работам 1951 г.

Коллектив авторов палеонтологов и палеонологов треста Запсибнефте-геология. Палеонтологическое и палеоботаническое исследование кернового материала скважин треста Запсибнефтегеология. Отчет по работам 1952 г.

Коллектив авторов палеонтологов и палеонологов треста Запсибнефте-геология. Палеонтологическое и палеоботаническое исследование кернового материала скважин треста Запсибнефтегеология. Отчет по работам 1953 г.

Коллектив авторов палеонтологов и палеонологов треста Запсибнефте-геология. Палеонтологическое и палеоботаническое исследование кернового материала скважин треста Запсибнефтегеология. Отчет по работам 1954 г.

Коллектив авторов петрографов треста Запсибнефтегеология. Лито-логопетрографическое изучение кернового материала в опорных скважинах треста Запсибнефтегеология. Отчет по работам 1950 г.

Коллектив авторов петрографов треста Запсибнефтегеология. Лито-логопетрографическое изучение кернового материала скважин треста Запсибнефтегеология. Отчет по работам 1951 г.

Коллектив авторов петрографов треста Запсибнефтегеология. Лито-логопетрографическое изучение кернового материала скважин треста Запсибнефтегеология. Отчет по работам 1952 г.

Коллектив авторов петрографов треста Запсибнефтегеология. Лито-логопетрографическое изучение кернового материала скважин треста Запсибнефтегеология. Отчет по работам 1953 г.

Коллектив авторов петрографов треста Запсибнефтегеология. Лито-логопетрографическое изучение кернового материала скважин треста Запсибнефтегеология. Отчет по работам 1954 г.

К алини Н. А. Фораминыфера меловых отложений Бактыгарына. Палеонтологическая лаборатория МГУ, т. I, вып. 2, 1937.

К амышева, Елпатьевская В. Г., Иванова А. Н. Атлас руководящих форм ископаемых фаун Саратовского Поволжья СГУ, 1947.

К еллер Б. Н. Фораминыфера верхнемеловых отложений СССР. Труды НГРИ, сер. А, вып. 116, 1939.

К еллер Б. Н. Микрофауна верхнего мела Днепровско-Донецкой впадины и некоторых сопредельных областей. Бюллетень Московского общества испытателей природы. Отд. геологии, т. 13, вып. 4, 1935.

К риштофович А. Н. Палеоботаника. Изд. 3, М.-Л. Госгеолиздат, 1941.

К оробков И. А. Справочник и методическое руководство по третичным моллюскам (пластиначатожаберные). Гостоптехиздат, 1954.

К овалева А. Ф. Верхние меловые спорово-пыльцевые комплексы Чулымо-Енисейской впадины, Новосибирск, АН СССР, Зап.-Сиб. филиал, 1953.

К риштофович А. Н. Водный папоротник в третичных отложениях Сибири. Палеонтология и стратиграфия. Труды Всесоюзного научно-исследовательского геологического института. Госгеолиздат, 1952.

К амышева-Елпатьевская В. Г., Сиринова В. В., Шаткинская Е. Ф. Микрофауна и спорово-пыльцевые комплексы юрских отложений Ставропольского Поволжья. Ученые записки, т. 37, вып. геологический, 1953.

Л аров В. В. К стратиграфии континентального палеоген-неогена Тургайской впадины. Изв. АН Казахской ССР, Серия геологическая, вып. 2, 1949.

Л агузин И. Описание окаменелостей белого мела Симбирской губернии. Научно-исторический сборник Горного института СПБ, 1873.

Л епина А. Т. Отчет о результатах изучения кайнозойских остракод Западной Сибири. Фонд ВНИГРИ, рукопись, 1940.

Л ипман Р. Х. Заключение о результатах определения микрофауны из третичных отложений г. Тюмени. Фонды Запсибнефтегеологии, Новосибирск, 1951.

Л ипман Р. Х. О стратиграфическом значении радиолярий. Материалы ВСЕГЕИ, сб. 8, 1948.

Л ипман Р. Х. Радиолярии верхнего эоцене Кызыл-Кумов. Труды ВСЕГЕИ, сб. 1, 1950.

Л ипман Р. Х. Материалы к монографическому изучению радиолярий верхнемеловых отложений Русской платформы. Труды ВСЕГЕИ, Сборник статей, 1952.

М а н д е л ь шт а м М. И. Итоги определения фауны отложений из отложений мезозоя и кайнозоя, вскрытых буровыми скважинами в Западно-Сибирской низменности. Фонды треста Запсибнефтегеология, 1950.

М и х а и л о в Н. Н. Верхнемеловые аммониты юга Европейской части СССР и их значение для зональной стратиграфии. Труды Института геологических наук, вып. 129, Серия геологическая (№ 50), 1951.

М и х а л ь с к и й А. Аммониты пижного волжского яруса. Труды Геолкома, т. VIII (№ 2), 1890.

М и я т л ю к Е. В. Материалы к монографическому изучению фауны фораминифер нижнемеловых отложений Южно-Эмбенского нефтепосыпного района. Труды ВНИГРИ, сб. 2, 1949.

М и я т л ю к Е. В. Фораминиферы верхнекорских и нижнемеловых отложений Среднего Поволжья и Общего Сырта. Труды ВНИГРИ, сер. А, вып. 120, 1939.

М а т в е е в а О. В. К истории растительности четвертичного периода в Навлодарском Прииртышье. Труды института геологических наук, вып. 141, Геологическая серия (№ 58), 1953.

М и я т л ю к Е. В. Спироциллиды, роталииды, эпистомийды и астери-гериниды. Гостоптехиздат, 1953.

М ч е д л и в и л и Н. Д. Предварительное заключение по результатам пыльцевого анализа образцов Колпашевской скважины. Отчет 1950 г.

Н а и д и н Д. Н. Верхнемеловые белемниты Западной Украины. Труды Московского геологического разведочного института, т. XXVII, 1952.

Н а л и в к и н Д. В. Брахиоподы среднего и верхнего девона Туркестана. Труды Геологического комитета, вып. 180. Новая серия, 1930.

Н а л и в к и н Д. В. Брахиоподы верхнего среднего девона и нижнего карбона Северо-восточного Казахстана. ОНТП, М.—Л., 1938.

Н а у м о в а С. Н. Спорово-пыльцевые комплексы верхнего девона Русской платформы и их значение для стратиграфии. Труды Института геологических наук, вып. 143. Серия геологическая (№ 60), 1953.

Н а у м о в а С. Н. Споры и пыльца углей СССР. Труды XVII сессии международного геологического конгресса, т. 1, 1937.

Н е й ш т а дт М. П. Спорово-пыльцевой метод в СССР. АН, Институт географии, 1952.

Н е ч а е в А. Фауна эоценовых отложений на Волге между Саратовым и Царицыном. Труды общества Естествоисп. при Казанском университете, т. XXXII, вып. 1, 1897.

Н е ц к а я А. И. О некоторых фораминиферах верхнесеноновых отложений Западной Сибири. Труды ВНИГРИ, сб. 1, 1948.

Н и к и т и н С. Следы мелового периода в Центральной России. Труды Геологического комитета, т. V, № 2, 1888.

Н и к и ф о р о в а К. В. Геоморфология и геологическое строение Прииртышской впадины. Труды Института геологических наук АН СССР, вып. 141, Геологическая серия (№ 58), 1953.

О б р у ч е в В. А. Геология Сибири — мезозой. Изв. АН СССР, т. III, 1938.

О д и н ц о в а М. М. Спорово-пыльцевые комплексы верхнепалеозойских, нижнемезозойских и третичных отложений центральной части Сибирской платформы. Спорово-пыльцевая конференция, 1953.

О в е ч к и н Н. К. Отложения среднего палеогена Тургайской впадины и Северного Приаралья. Москва, Гостехиздат, 1954.

П а в л о в А. П. Юрские и нижнемеловые отложения Северной Сибири. Изв. АН СССР, т. XXI, № 4, 1914.

П е т ц Г. Г. Материалы к познанию фауны девонских отложений окраин Кузнецкого угленосного бассейна (Западная Сибирь). Труды геолог. ком. т. IV, 1905.

П о к р о в с к а я И. М. Основные этапы развития растительности Урала в течение мезозоя и кайнозоя по данным пыльцевого анализа. Труды конференции, 1948.

П о п о в А. И. Некоторые вопросы палеогеографии четвертичного периода в Западной Сибири. Вопросы географии, сб. 12, 1949.

П о к р о в с к а я И. М., Г р и ч у к В. Н., З а к л и н с к а я Е. Д. и др. Пыльцевой анализ. Госиздат геологической литературы, Москва, 1950.

П о к р о в с к а я И. М. Заключение по результатам спорово-пыльцевого анализа образцов из Тюменской скважины. Отчет, 1950.

Покровская И. М. Основные этапы в развитии растительности на территории СССР в третичное время. Ботанический журнал, т. XXXIX, № 2, 1954.

Рабинович С. Д. К стратиграфии морских толщ мезокайнозоя восточного склона Урала. Геология и полезные ископаемые Урала, вып. 2, М.—Л., 1947.

Ренгарден В. П. Описание морской фауны меловых отложений восточного склона Урала. Рукопись Уральского геологического управления 1944.

Ренгарден В. П. О некоторых представителях верхнемеловой фауны Восточного Приуралья. Вопросы петрографии и минералогии, ч. 1, 1953.

Ренгарден В. П. Стратиграфия меловых и третичных отложений Восточного Приуралья. Труды института геологических наук, вып. 138, сер. № 54, 1951.

Ростовцев Н. Н. Отчеты по договору ВСЕГЕИ с трестом Запсибнефтегеология № 508, 1952 г., по теме «Палеонтологическое, литологическое, аналитико-лабораторное изучение кернового материала опорных скважин, бурящихся на территории СССР, как помощь бурящим организациям». Ленинград, 1952.

Рождественская М. А. Спириферы девонских отложений окраин Кузнецкого бассейна. Труды ВСЕГЕИ, 1952.

Романовский Г. Д. Материалы для геологии Туркестанского края. Сиб. 1878—1890.

Сакс В. Н. Геологические исследования в северо-восточной части Западно-Сибирской низменности. Труды Горногеологического управления. Вып. 22, Изд. Главсевморпути, 1946.

Самойлович С. Г. Пыльца и споры из пермских отложений Чердынского и Актюбинского Приуралья. Палеоботанический сборник. Гостоптехиздат, 1953.

Семенович С. Н. Верхнесенонские алектрионии из окрестностей Бахчисарая. Труды Каразской научной станции, вып. II, ч. 1, 1918.

Сарычева Т. Г. и Сокольская А. П. Определитель палеозойских брахиопод подмосковной котловины. Труды палеонтологического института, т. XXXVIII, 1952.

Сигров А. П. и Бурдина О. В. Геология северной части Тургайской низменности (окончательный отчет по работам 1951 и 1952 гг. первой Восточно-Уральской партии). Уралгеопривление, 1953.

Соколов Д. Н. Мезозойские окаменелости с о-ва Преображения и о-ва Бегичева. Труды геологического музея АН, т. IV, 1910.

Соколов Д. Н. Окаменелости из валунов на Новой Земле. Труды геологического музея АН, т. VII, 1913.

Соколов Д. Н. Мезозойские окаменелости из Большеземельской Тундры и Кашпира. Труды геологического музея АН СССР, т. III, 1928.

Соколов Д. Н. Труды Геологического комитета. Новая серия, вып. 36, 1908.

Сукачев В. Н. Исследование четвертичных отложений Нарымского края. Экспедиции АН СССР, 1933.

Субботина Н. Н. Микрофауна меловых отложений южного склона Кавказа. Труды ВНИГРИ, сб. 2, 1949.

Субботина Н. Н. Краткий очерк стратиграфии палеогеновых отложений в Грозненской области по фауне фораминифер. Труды НГРИ, вып. 34, 1949.

Субботина Н. Н. Фораминиферы латских и палеогеновых отложений Северного Кавказа. Труды ВНИГРИ, 1947.

Субботина Н. Н. Стратиграфия нижнего палеогена и верхнего мела Северного Кавказа по фауне фораминифер. Труды НГРИ, сер. А, вып. 96, 1936.

Субботина Н. Н. Глобигериниды, ханткенииды и глобороталииды. Гостоптехиздат, 1953.

Сладкович В. С. Фауна пелепицпод южно-русского палеогена. Труды Геологического разведочного управления, 1952.

Туаев Н. П. Очерк геологии и нефтеносность Западно-Сибирской низменности. Госуд. научно-технич. из-во, 1951.

Фурсенко А. В., Палепова Е. Н. Фораминиферы нижневолжского яруса Эмбенской области (район Индерского озера). Труды ВНИГРИ, вып. 49, 1950.

Толмачев М. П. Нижнекаменноугольная фауна Кузнецкого угленосного бассейна. Матер. по общей и прикладной геологии, вып. 25, 1931.

Хабаков А. В., Ростовцев Н. Н., Осько Т. И. и др. Предварительный отчет за 1949—1950 гг. и предложения по плану нефтеносных работ Западной Сибири на 1951.

Хахлов В. А. Остатки третичной флоры с разъезда Антибесс Томской ж.-д. Изв. Западно-Сибирского отделения комитета, т. X, вып. 2, Томск, 1930.

Хахлов В. А. Третичная флора Томского округа. Изв. Западно-Сибирского геологического управления. Томск, 1931.

Чигуряева А. А. Материалы по третичной флоре и растительности Крынки и Зайсаны. Конференция по спорово-пыльцевому анализу, тезисы докладов МГУ, 1948.

Чигуряева А. А. К ископаемой третичной флоре и растительности Приаралья. Бюллетень Московского общества испытателей природы, Новая серия, т. VI. Отд. геол., т. XXVI, вып. 5, 1951.

Чигуряева А. А. Заметка о третичной флоре р. Эльчек. Ботанический журнал, т. XXXV, вып. 6, 1950.

Чигуряева А. А. Этапы развития растительности Южного Предуралья в третичном периоде на основании изучения спор и пыльцы. Автографат диссертации на соискание учёной степени доктора биологических наук, 1951.

Чигуряева А. А. О пыльце кейтониевых из юрских отложений Казахстана. Советская ботаника, № 3, 1947.

Чигуряева А. А. К зайсанской третичной флоре Ашутаса. Доклады АН СССР, т. XI, № 2, 1948.

Чигуряева А. А. О спорово-пыльцевом комплексе Крынки. Труды конференции по спорово-пыльцевому анализу, 1948.

Шейман Ю. М. Верхнепалеозойские и мезокайнозойские климатические зоны Восточной Азии. Бюллетень Моск. об-ва испыт. природы, Отдел геологии, т. XXIX, № 6, 1954.

Шедрина З. Г. К распределению морских корневожек в связи с условиями их обитания. ДАН СССР, т. XX, № 4, 1950.

Шохина В. А. К изучению микрофауны олигоцена Волго-Донского водораздела. Палеонтологическая лаборатория Московского государственного университета, т. I, вып. 3, 1937.

Халфин Л. Л. Верхний девон села Жарковского на р. Яе. Труды Института Кузбассуголь, 1903.

Яншин А. Л. Геология Северного Приаралья. Московское общество испытателей природы, 1953.

Яскевич Э. Д. Описание фауны пелеципод и брахиопод из маастрихтских отложений Тургайской впадины. Отчет палеонтологической партии. Рукопись. Фонды Уральского геологического управления, 1952.

Материалы по палинологии и стратиграфии. Сборник статей. Труды ВСЕГЕИ Министерства геологии и охраны недр. Москва, 1954.

Bertthelin J. Memorres sur les Foraminifères des silex de l'étage Albian de Montley (Doubs), Mem. Soc. Geol. France ser., 3, t. II, p. 1—84, pl. 24—27, 1890.

Brady H. B. Report of the Foraminifera dredged by H. M. S. Challenger. Rep. Voy. Challenger, Zool., vol. 9, I vol. text. 814 pp., I vol., pls. 1, 1884.

Büttmann R. Die Foraminifera des litauischkurischen jura, Schrift. Physik. Okonom. Königsh., Bd. XLV, 1904.

Carsley D. C. Foraminifera of the Cretaceous of Central Texas Univ. Texas Bull., № 2612, pp. 1—56, pls. 1—8, 1926.

Cushman J. A. Some Foraminifera from the Mendez shale of eastern Mexico Contr. Cushman Lab. Foram. Res., vol. 2, pt. I, pp. 16—26, pls. 2, 3, 1926.

Chapman F. The Foraminifera of the Gault of Folkestone, Journ. Roy. Micr. Soc., 1897—1898.

Dohm B. Ueber den oberen Jura von Zarhglasse P. und seine Ammonitenfauna, 1925.

Orbigny. Paleontologie Française. Terraius certaceus Atlas, Tome premier, 1840—1842.

Orbigny. Paleontologie Française. Terraius jurassiques Atlas, Tome premier, 1850—1860.

Egger J. G. Foraminiferen und Ostracoden aus den Kreidemergeln der Oberbayrischen Alpen. Abh. Bayer. Akad. Wiss. Cl. 11, Bd. 21, S. 1—260, 27 Taf. 1902.

Frank C. A. Die Foraminiferen der Oberen Kreide Nord und Mitteldeutschlandus. Abh. Preuss. Geol. Landosants., N. Heft. III, 207 S., 18 Taf. 1928.

Grebeld. Verbreitung und ausbildung des mesozoikums in Spitzbergen. Skrifter om Svalbard og Ishavet, № 31, 1930.

Karrer F. Ueber das Auftreten der Foraminiferen in dem marinem Tegel des Wiener Beckens. Sitzb. Akad. Wiss. Wien. vol. 44, 1903.

Koenen A. Die Ammonitiden des Norddeutschen Neocom (Valanginien) Hauteviere, Barremien und Aptien, 1902.

Haeckel E. Report on the Radiolaria collected by H. M. S. Challenger during the years, 1873—1876, mit 140 pl. 1887.

Hantken M. Die Fauna der Clavulina usaboi Schichten 1, Foraminiferen. Mitt. Ung. Geol. Austalt, Bd. 4, S. 1—93, Taf. 1—16, 1875 (1881).

Haenstler R. Monographie der Foraminifera fauna der Schweizerischen Transversariuszone. Abhandl. Schwein. Pal. Ges., Bd. XVII, S. 1—134, Taf. I—XV, 1890.

Lalicker J. New Cretaceous Textulariidae, Centr. Cuschman Lab. Foram. Res. vol. II, Part. I, pp. 1—13, pls. 1—2, 1935.

Il'ovaisky D. L'oxofordie et le sequanien des Gouvernements de Mascove et de Riasan, 1903.

Keyserling A. Wissenschaftungen in des Petschora Land, 1846.

Murchison, Verneuil, Keyserling. Geologie de la Russie d'Europe et des montagnes de l'Oural, T 2, 1845.

Müller J. Monographie der Petrefacten der Achner Kreideformation, 1851.

Nikitin S. Der Jura der mugegend von Elatmae Nouv. mem de la Soc. imper. des naturalist Moscov. XIV, Livraison 1, 1881.

Nikitin S. Der Jura der mugegend von Elatmae Nowmenn de la Soc. imper. des Naturalisten de Moscov, Tom XV, Livrasion 2, 1885.

Nikitin S. Der Jura der umgegend von Elatmae. Nouw. de la Soc. imper. des Naturalist. Moscov, t. XIV, Liv., 1881.

Nikitin S. Der Jura der umgegend von Elateneae Nouw. mem de la Soc. imper. des Naturalistes de Moscov, t. XV. Liv. 2, 1885.

Marsson T. Die Foraminiferen der Weissen Schreid kreide der Juseln Bügen. Mitt. Nat. Nen-Vorpommern U. Rügen, Jahrg 10, 1878.

Pavlov et Lamplugh. Argiles de Speeton, 1892.

Pavlov M. Des ammonites du groupe olcostepha nus versicolor. Bulletin de la societe Imperial des Naturalistes, № 3, T. LXII, Moscou, 1886.

Paalzon R. Beiträge zur Kenntnis des Foraminiferen fauna des unteren Weissen jura in Süddeutschland. Abh. Nat. Ges. Nürnberg, Bd. XIX, S. 1—48, Taf. XI—XLVII, 1917.

Puummer H. Foraminifera of the Midway Formation in Texas. Univ. Texas Bull., № 2644, pp. 1—206, 15 pls., 13 figs, 1926.

Reuss A. Die Foraminiferen des norddeutschen Hils und Gautl. Sitz. Akad. Wiss. Wien, math. natur. Kl., Bd. XLVI, Abt. 1, S. 1—96, Taf. I—XII, 1862.

Roman F. Les ammonites jurassiques et cretacees., 1938.

Schwager C. Beitrag zur Kenntnis der mikroskopischen Fauna jurassischer Schechiten. Jahresh. Ver. usterländ. Naturkunde in Württemberg, Janrg. 21, S. 82—151, Taf. II—VII, 1866.

Sokolov und Bodylevsky W. Jura und Kreidfaunen von spitzbergen Skrifter om svalbar og ishovet n 35, 1931.

Wood H. A monograph. of the Cretaceous Lamelli branchiata of England, vol. I, 1899—1903.

Wood H. A monograph. of the Cretaceous Lamelle branchiata of England, vol. II, 1904—1913.

Wisniowski T. Mikrofauna ilow ornatowych okolicey Krakowa Czese I, w. Krakow, 1890.

Zittel K. Die bivalven der Gosanggbilde in den tlichen Alpen. Beitrag zur charakteristik der Kreideformation österreich, 1864—1866.

**АТЛАС**  
**ИСКОПАЕМЫХ ФОРАМИНИФЕР,**  
**РАДИОЛЯРИЙ, ОСТРАКОД,**  
**БРАХИОПОД, ПЕЛЕЦИПОД,**  
**ГАСТРОПОД, АММОНИТОВ,**  
**БЕЛЕМНИТОВ,**  
**СПОРОВО-ПЫЛЬЦЕВЫХ**  
**КОМПЛЕКСОВ И КОМПЛЕКСОВ**  
**ДИАТОМОВЫХ ВОДОРОСЛЕЙ**

Предложенный атлас зарисовок микрофауны, фотографий макрофауны, рисунков пыльцы, спор, диатомовых и кремневых жгутиковых водорослей является приложением к «Стратиграфии мезозоя и кайнозоя Западно-Сибирской низменности», составленным коллективом палеонтологов и палинологов треста Запсибнефтегеология (по материалам изученности за 1950—1955 гг.).

В атласе помещены: зарисовки характерных видов фораминифер, радиолярий и остракод; фотографии брахиопод, пелеципод, гастropод, аммонитов, белемнитов; зарисовки спор, пыльцы, диатомовых, кремневых жгутиковых водорослей из различных по характеру отложений мезозоя и кайнозоя Западно-Сибирской низменности.

Представленные в атласе фауна и флора далеко не исчерпывают всего видового состава, распространенного в изученных разрезах низменности. Здесь помещены наиболее характерные формы фауны, спорово-пыльцевые комплексы, а также комплексы остатков водорослей из отдельных разрезов.

## ТАБЛИЦА 1

Фораминиферы оксфордского, киммериджского и нижневолжского ярусов  
Увеличены в 60 раз.

Рис. 1 а, б, в. *Haplophragmoides infracallioensis* Dain.

Омская скв. 1-р; а, б — боковая сторона; в — периферический край. Оксфорд.

Рис. 2. *Ammobaculites pokrovkaensis* Kosireva n. sp.

Омская скв. 1-р; боковая сторона. Оксфорд.

Рис. 3. *Spiroplectammina aff. biformis* Park et Jones.

Омская скв. 1-р; боковая сторона. Оксфорд.

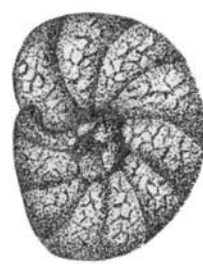
Рис. 4 а, б. *Verneuilina micra* Kosireva n. sp.

Омская скв. 1-р. Оксфорд.

Рис. 5 а, б, в, г, д, е. *Trochammina omskensis* Kosireva n. sp. ■

Омская скв. 1-р; а, д — брюшная сторона; б, г — спинная сторона; в, е — периферический край. Оксфорд.

Таблица 1



1α



1δ



1β



2



3



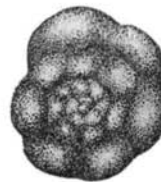
4α



4δ



5α



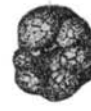
5δ



5β



5γ



5δ



5ε

#### ТАБЛИЦА 1 (продолжение)

Рис. 6 а, б, в, г. *Cristellaria sibirensis* Koslgeva n. spc.

а, б — из Рябининской скв. 5-р; в, г — из Покровской скв. 4-р; а — вид сбоку; б, г — периферический край. Киммеридж.

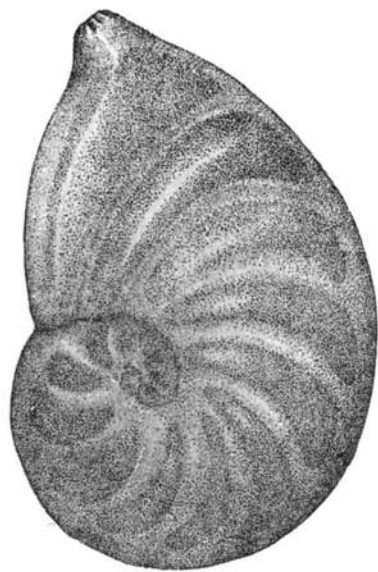
Рис. 7. *Ammodiscus incertus* Ogrb.

Покровская скв. 4-р; боковая сторона. Нижний волжский ярус.

Рис. 8. *Ammodiscus tenuissimus* Gumbel.

Татарская скв. 1-р; боковая сторона. Нижний волжский ярус.

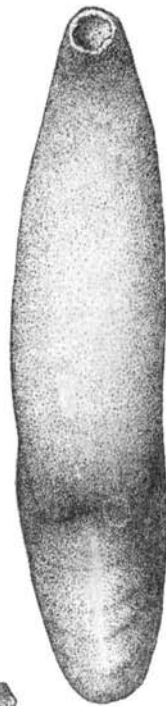
Таблица 1 (продолжение)



6а



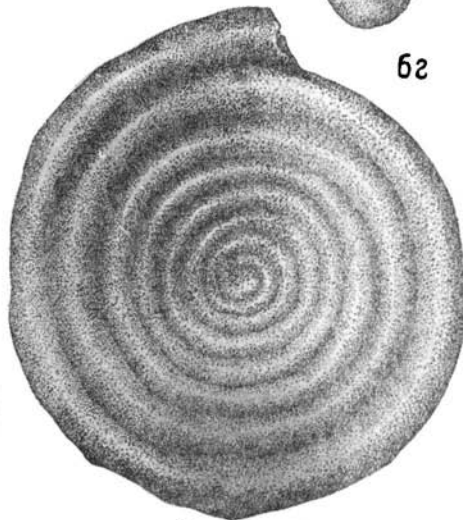
6б



6в



6б



7



8

## ТАБЛИЦА 2

Форамииниферы валанжина. Увеличены в 60 раз.

Рис. 1 а, б, в. *Recurvoides* sp. nov. (G a i g a l a s).

Покровская скв. 4-р; а — спинная сторона; б — периферический край; в — брюшная сторона.

Рис. 2 а, б, в. *Recurvoides* sp. nov. (G a i g a l a s).

Покровская скв. 4-р; а — брюшная сторона; б — периферический край; в — спинная сторона.

Таблица 2



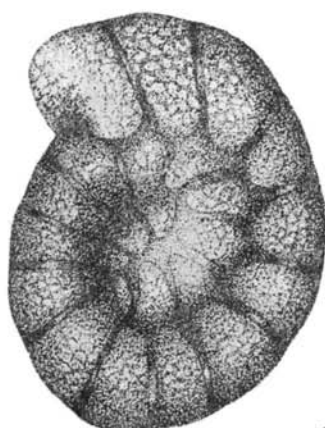
1α



1β



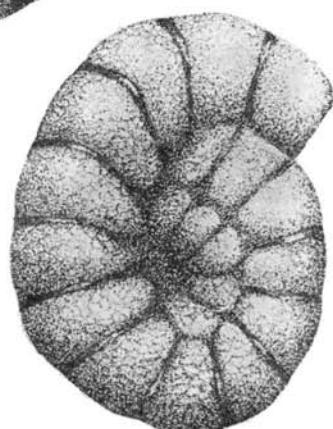
1γ



2α



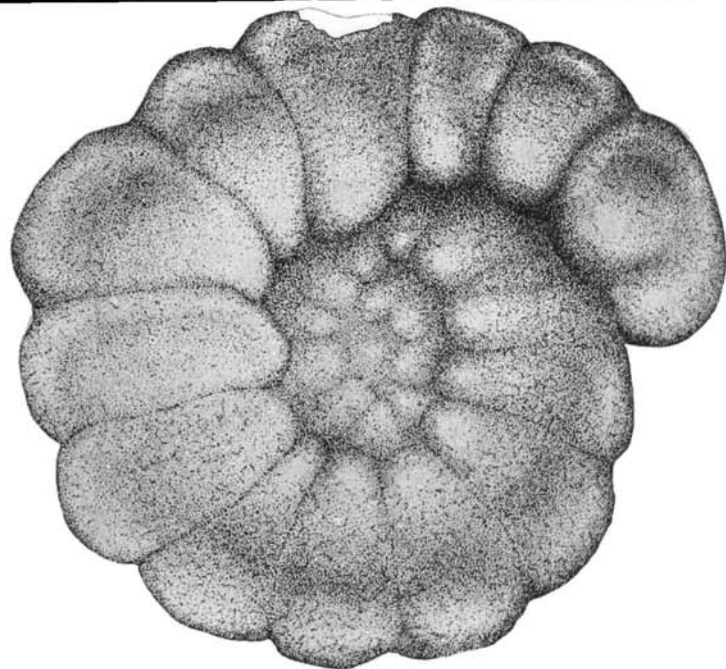
2β



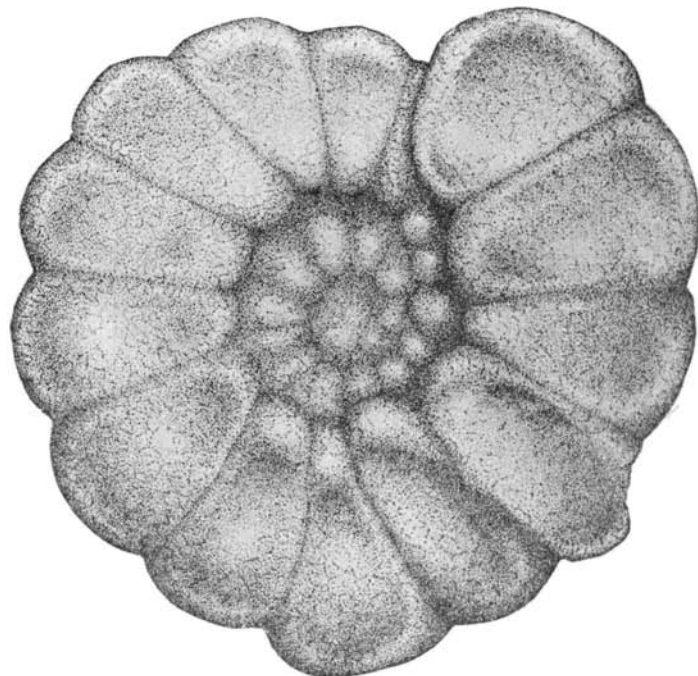
2γ

ТАБЛИЦА 2 (продолжение)

Рис. 3 а, б. *Pseudocyclammina grandis* Романова.  
Покровская скв. 4-р; а, б — боковая сторона.



3а



3б

## ТАБЛИЦА 3

Фораминиферы валанжина. Увеличены в 60 раз.

Рис. 1 а, б. *Pseudocyclammina grandis* Romanova.

Покровская скв. 4-р; а — боковая сторона; б — периферический край.

Рис. 2 а, б. *Ammobaculites beresovii* Kosigevan msc.

Березовская скв. 1-р; а, б — боковая сторона.

Рис. 3 а, б, в, г. *Spiroplectammina grata* Bulatova n msc.

Ряжкинская скв. 5-р; а, в — боковая сторона; б, г — периферический край.

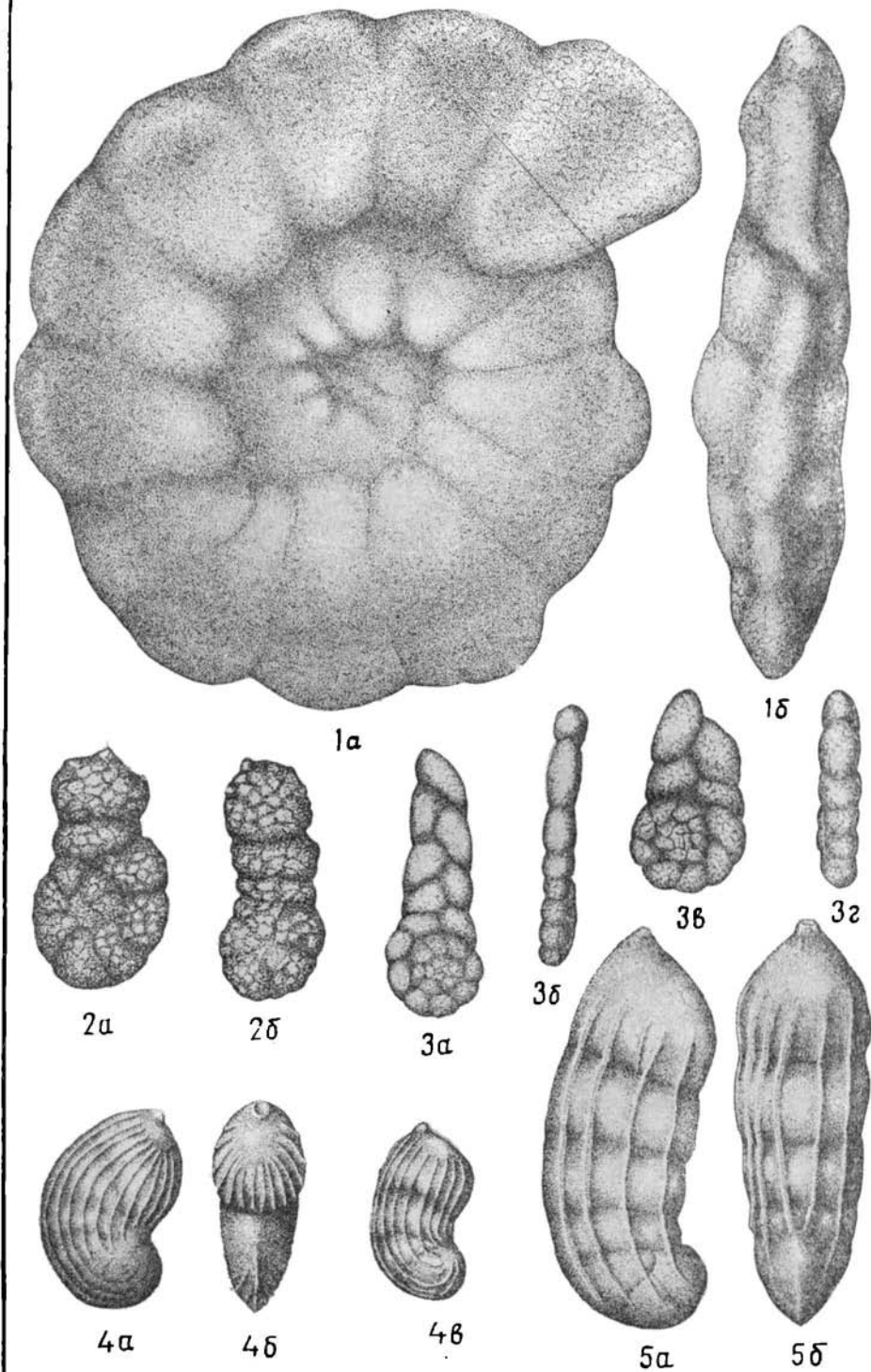
Рис. 4 а, б, в. *Marginulina turgida* Reiss.

Татарская скв. 2-р; а, в — боковая сторона; б — периферический край с брюшной стороны.

Рис. 5 а, б. *Marginulina ex gr. costata* Batsch.

Татарская скв. 2-р; а — боковая сторона, б — периферический край с брюшной стороны.

Таблица 3



## ТАБЛИЦА 4

Форамииниферы валанжина. Увеличены в 60 раз

Рис. 1. *Marginulina* sp. nov. (*Gaigalas*).

Татарская скв. 2-р; вид с боковой стороны.

Рис. 2 а, б. *Marginulina bullata* R e u s s.

Татарская скв. 2-р; а — боковая сторона; б — периферический край.

Рис. 3 а, б, в, г, д, е. *Marginulina matutina* (O r b i g n y).

Татарская скв. 2-р; а, в, д — боковая сторона; б, г, е — периферический край.

Рис. 4 а, б. *Marginulina* sp. nov. (*Gaigalas*).

Татарская скв. 2-р; а — боковая сторона; б — вид с устьевого конца.

Рис. 5 а, б, в, г, д, е. *Marginulina* sp. nov. (*Gaigalas*).

Татарская скв. 2-р; а, б, в, д — боковая сторона; г, е — периферический край.

Рис. 6 а, б. *Marginulina* aff. *exilis* (R e u s s).

Татарская скв. 2-р; а — боковая сторона; б — периферический край.

Рис. 7. *Globulina lacrima* R e u s s.

Уватская скв. 1-р.

Рис. 8. *Frondicularia* sp.

Татарская скв. 2-р; вид с боковой стороны.

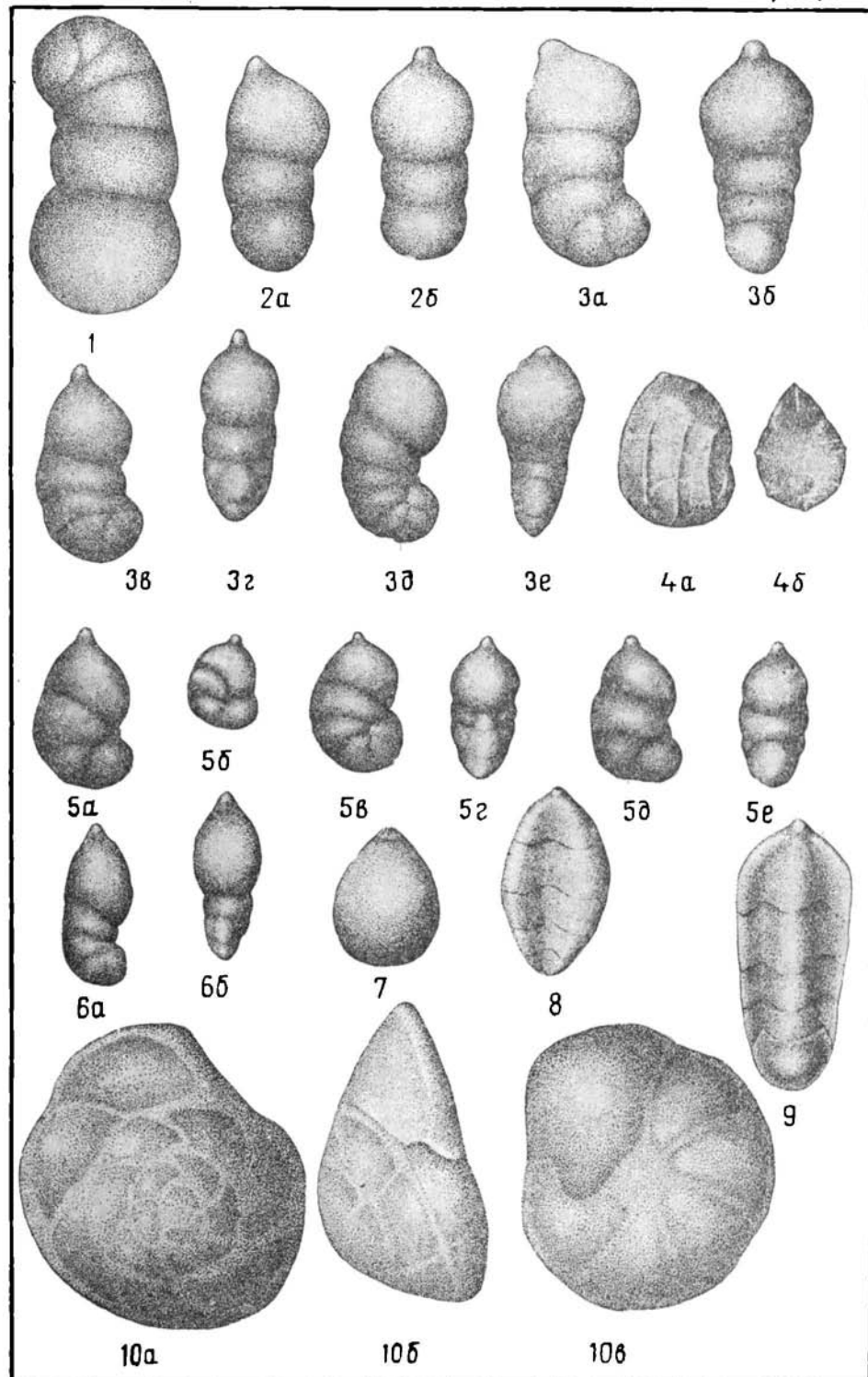
Рис. 9. *Tristix insignis* R e u s s.

Татарская скв. 2-р.

Рис. 10 а, б, в. *Lamarckina tatarica* R o m a n o v a n msc.

Татарская скв. 2-р; а — спинная сторона; б — периферический край; в — брюшная сторона.

Таблица 4



## ТАБЛИЦА 5

Фораминыфера альба. Увеличено в 60 раз.

Рис. 1 *a, б.* *Thurammina aff. ovalis Subbotina*.

Леушинская скв. 1-р; *a* — вид сбоку; *b* — вид с устьевой стороны.

Рис. 2 *a, б.* *Thurammina* sp. 1.

Леушинская скв. 1-р; *a* — вид сбоку; *b* — вид с устьевой стороны.

Рис. 3. *Reophax heterocolulus* Bulatova sp. nov.

Ханты-Мансийская скв. 1-р; вид сбоку.

Рис. 4 *a, б.* *Reophax crudus* Bulatova sp. nov.

Вид с боковой стороны; *a* — Ханты-Мансийская скв. 1-р; *b* — Заводоуковская скв. 1-р.

Рис. 5 *a, б.* *Cyclammina (?)* sp.

Леушинская скв. 1-р; *a* — вид сбоку; *b* — периферический край.

Рис. 6. *Ammobaculites agglutinans* (O bigny).

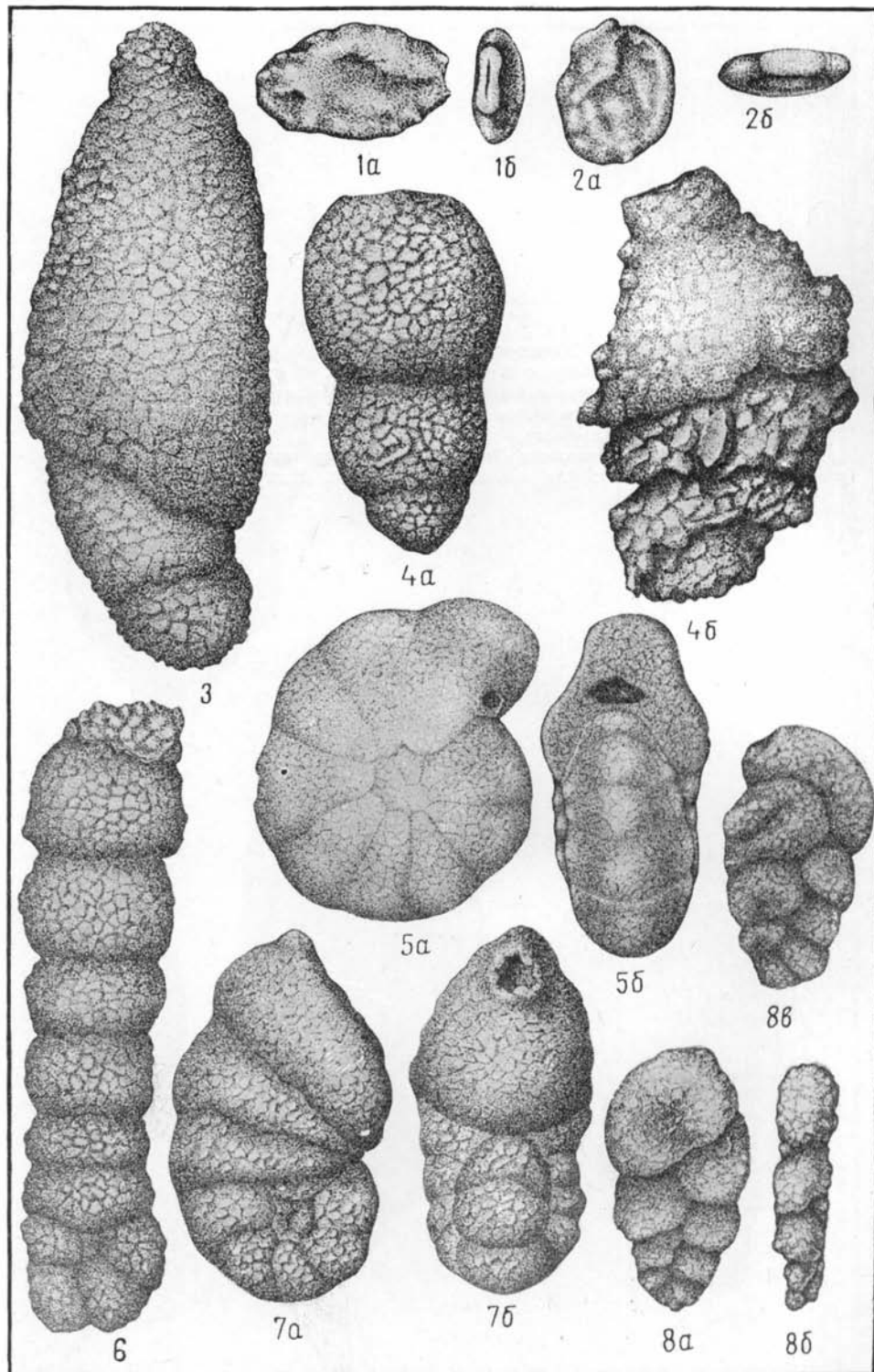
Ханты-Мансийская скв. 1-р; вид сбоку.

Рис. 7 *a, б.* *Ammobaculites reverendus* Bulatova sp. nov.

Яковлевская скв. 1-р; *a* — вид сбоку; *b* — вид с устьевой стороны.

Рис. 8 *a, б, в.* *Textularia constricta* Ehremeeva in lit.

Кузнецковская скв. 1-р; *a, в* — вид сбоку; *б* — периферический край.



## ТАБЛИЦА 6

Фораминиферы альба. Увеличено в 60 раз.

Рис. 1 *a, б.* *Sibiriella contorta* Bulatova gen. et sp. nov.

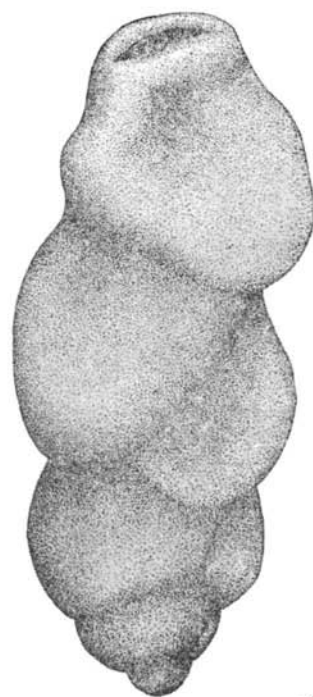
Леушинская скв. 1-р; вид с боковой стороны. Микросфериическая особь.

Рис. 2. *Sibirella uvigeriniformis* (Balaachmatova) in lit. Ханты-Мансийская скв. 1-р; вид сбоку.

Рис. 3 *a, б.* *Sibiriella contorta* Bulatova gen. et sp. nov.

Леушинская скв. 1-р; вид с боковой стороны. Микросфериическая особь.

Таблица б



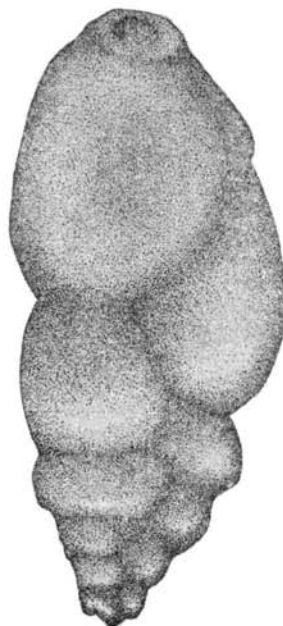
1α



1б



2



3α



3б

#### ТАБЛИЦА 6 (продолжение)

Рис. 4. *Verneuilina asanoviensis* Zaspeleva.

Заводоуковская скв. 1-р; вид сбоку. Микросферическая особь.

Рис. 5 а, б. *Verneuilina preasanoviensis* Bulatova sp. nov.

Березовская скв. 1-р; а — вид со стороны устья; б — вид сбоку.

Рис. 6 а, б. *Verneuilina asanoviensis* Zaspeleva in lit. Заводоуковская скв. 1-р; а — вид сбоку; б — вид с устьевой стороны. Мегасферическая особь.

Рис. 7. *Verneuilinella pussilla* Bulatova sp. nov.

Березовская скв. 1-р; вид сбоку.

Рис. 8 а, б. *Verneuilinella pussilla* Bulatova sp. nov.

Березовская скв. 1-р; а — вид с устьевой стороны; б — вид сбоку.

Таблица б (продолжение)



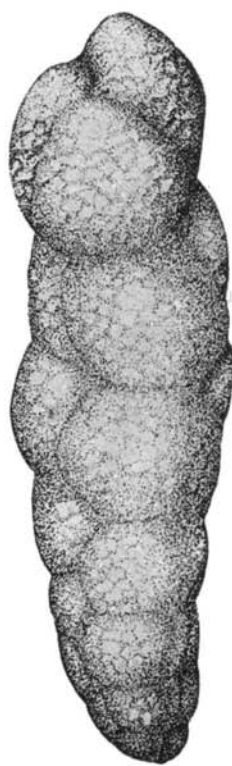
4



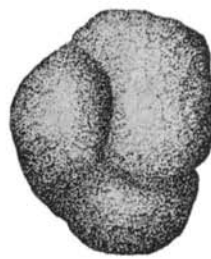
5a



5b



6a



6b



7



8a



8b

## ТАБЛИЦА 7

Форамииниферы альба. Увеличено в 60 раз.

Рис. 1 а, б. *Gaudryina oblonga* Zaspelova.

Заводоуковская скв. 1-р; а — вид сбоку; б — периферический край.

Рис. 2 а, б, в. *Gaudryina* sp. nov. (Bulatova).

Березовская скв. 1-р; а, б — вид с боковой стороны; в — периферический край.

Рис. 3 а, б, в. *Miliammina rasilis* Bulatova var. 1.

Уватская скв. 1-р; а, в — вид с боковой стороны; б — вид с устьевой стороны.

Рис. 4 а, б, в. *Miliammina rasilis* Bulatova sp. nov.

Леушинская скв. 1-р; а — вид со стороны устья; б, в — вид с боковой стороны.

Рис. 5 а, б. *Miliammina rasilis* Bulatova sp. nov.

Ханты-Мансийская скв. 1-р, вид с боковой стороны.

Таблица 7

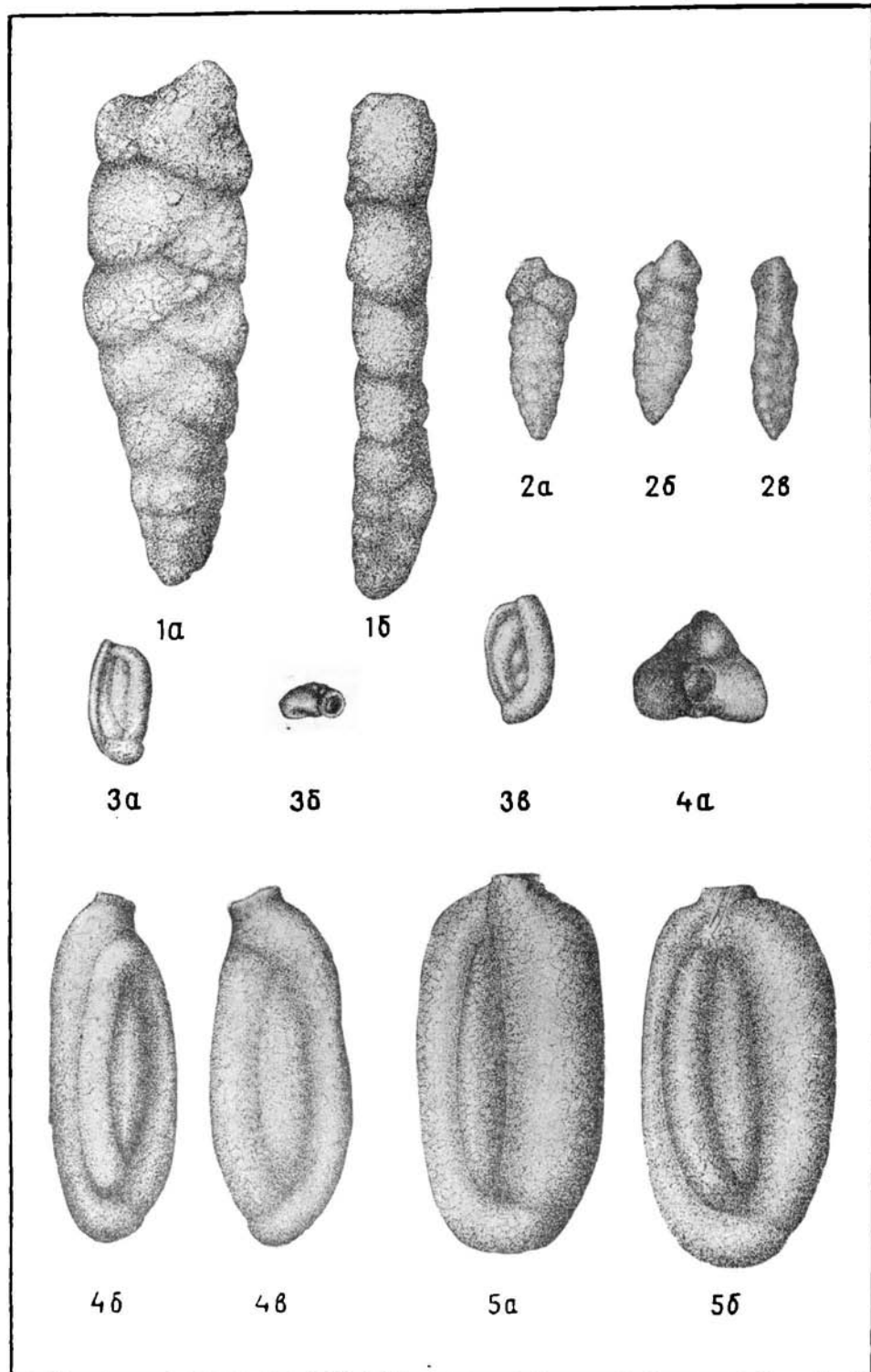


ТАБЛИЦА 7 (продолжение)

Рис. 6 а, б. *Rzezhakina operta* B u l a t o v a sp. nov.

Березовская скв. 1-р; а — вид с устьевой стороны; б — вид сбоку.

Рис. 7 а, б, в. *Trochammina rosaceae* Z a s p e l o v a.

Березовская скв.; а — спинная сторона; б — периферический край; в — брюшная сторона.

Рис. 8 а, б. *Cristellaria ornata* B u l a t o v a sp. nov.

Покровская скв. 1-р; а — вид сбоку; б — вид с устьевой стороны.

Рис. 9 а, б. *Saracenaria albica* B u l a t o v a sp. nov.

Леушинская скв. 1-р; а — вид сбоку; б — вид с устьевой стороны.

Рис. 10 а, б, в. *Discorbis ex gr. dampelae* M j a t l i u k.

Леушинская скв. 1-р; а — спинная сторона; б — периферический край; в — брюшная сторона.

Рис. 11 а, б, в. *Eponides dignus* B u l a t o v a sp. nov.

Леушинская скв. 1-р; а — брюшная сторона; б — периферический край; в — спинная сторона.

Рис. 12 а, б, в. *Eponides* sp. 1. Леушинская скв. 1-р; а — брюшная сторона; б — периферический край; в — спинная сторона.

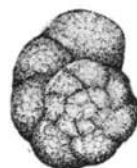
Таблица 7 (продолжение)



6α



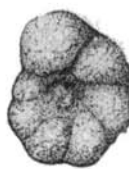
6β



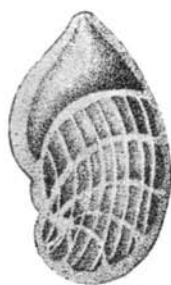
7α



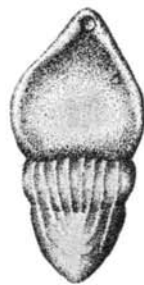
7β



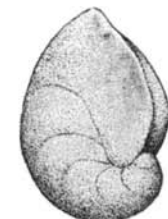
7γ



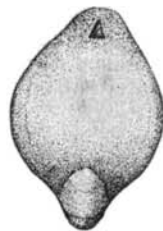
8α



8β



9α



9β



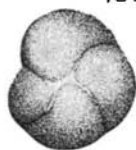
10α



10β



10γ



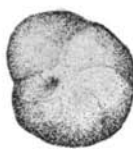
11α



11β



11γ



12α



12β



12γ

## ТАБЛИЦА 8

Фораминиферы турона  
Увеличено в 60 раз.

Рис. 1 а, б. *Saccammina sphaerica* M. Sars.

Ларинская скв. 1-р. а — вид с устьевой стороны; б — вид сбоку.

Рис. 2. *Proteonina sherborniana* (Chapman).

Ханты-Мансийская скв. 1-р; вид сбоку.

Рис. 3 а, б. *Glomospira numerabilis* Bulatova sp. nov.

Леушинская скв. 1-р; а — вид сбоку; б — вид с устьевой стороны.

Рис. 4 а, б. *Haplophragmoides semiinvolutus* Zaspelova.

Саргатская скв. 1-р; а — вид сбоку; б — периферический край.

Рис. 5 а, б. *Haplophragmoides semiinvolutus* Zaspelova.

Саргатская скв. 1-р; а — вид сбоку; б — периферический край.

Таблица 8



1α



1б



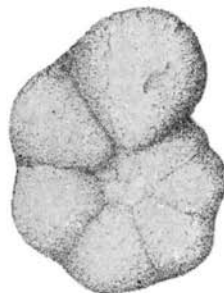
2



3α



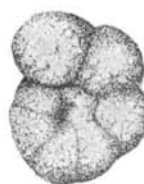
3β



4α



4β



5α



5β

ТАБЛИЦА 8 (продолжение)

Рис. 6 а, б. *Haplophragmoides darvini* Da i n.

Саргатская скв. 1-р; а — периферический край; б — вид сбоку.

Рис. 7 а, б. *Haplophragmoides darvini* Da i n.

Саргатская скв. 1-р; а — вид сбоку; б — периферический край.

Рис. 8 а, б. *Trochamminoides (?) uniformis* B u l a t o v a sp. nov.

Ханты-Мансийская скв. 1-р; а — периферический край; б — вид сбоку.

Рис. 9 а, б. *Ammobaculites tuaeri* Z a s p e l o v a.

Уватская скв. 1-р; вид с боковой стороны.

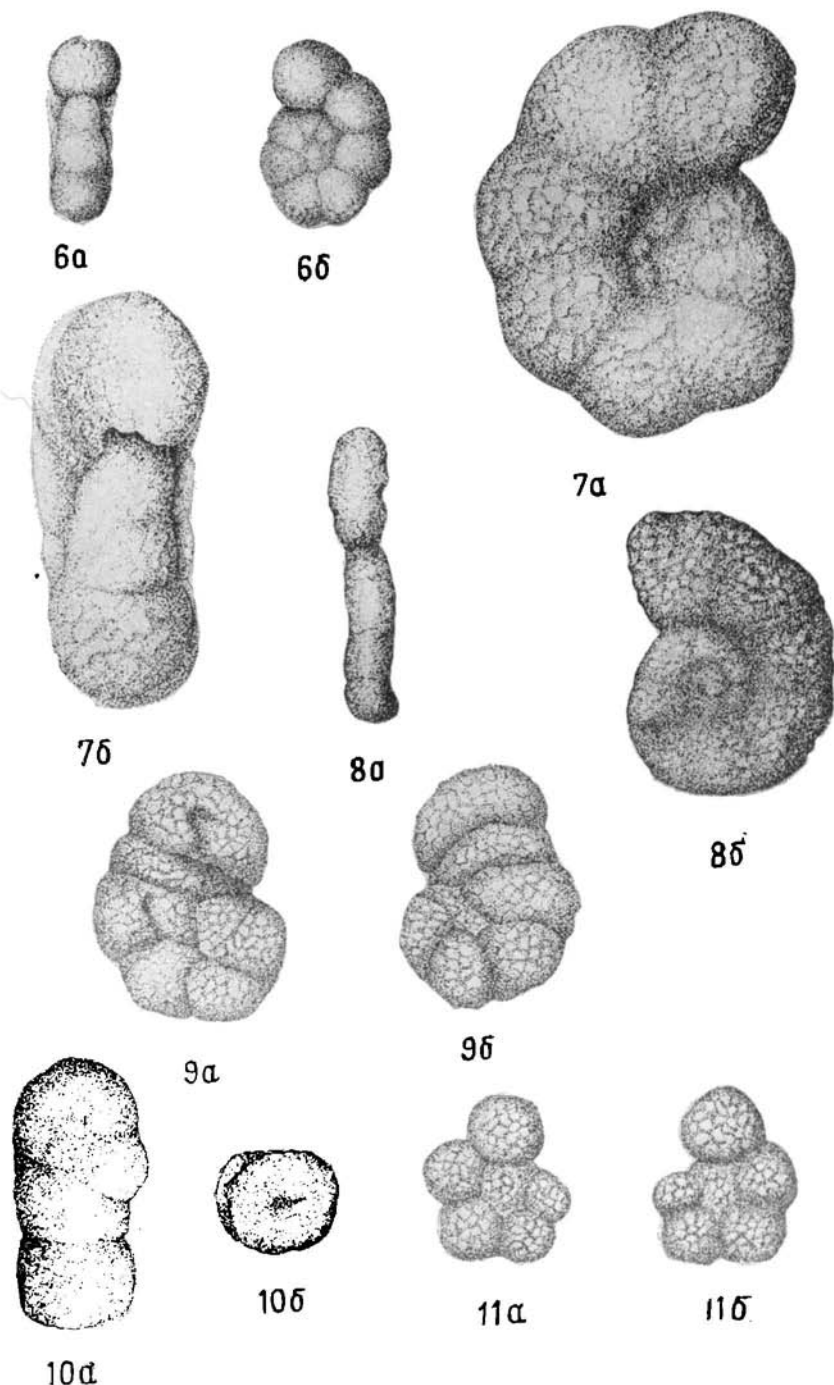
Рис. 10 а, б. *Ammobaculites uvaticus* B u l a t o v a sp. nov.

Покурская скв. 1-р; а — вид сбоку; б — вид с устьевой стороны.

Рис. 11 а, б. *Ammobaculites nitidus* B u l a t o v a sp. nov.

Уватская скв. 1-р; вид с боковой стороны.

Таблица 8 (продолжение)



## ТАБЛИЦА 9

Фораминифера турона.

Увеличено в 60 раз.

Рис. 1 а, б. *Textularia grandicula* B u l a t o v a sp. nov.

Ханты-Мансийская скв. 1-р; а — вид сбоку; б — периферический край.

Рис. 2 а, б. *Spiroplectammina mirabilis* B u l a t o v a sp. nov.

Ханты-Мансийская скв. 1-р; а — вид сбоку; б — периферический край.

Рис. 3. *Gaudryina filiformis* B e r g t h e l i n.

Лесунинская скв. 1-р; вид сбоку.

Рис. 4 а, б. *Gaudryina filiformis* B e r g t h e l i n.

Тарская скв. 1-р; вид с боковой стороны.

Рис. 5 а, б, в. *Gaudryina filiformis* B e r g t h e l i n.

Леушинская скв. 1-р; а — вид сбоку; б — периферический край; в — вид с устьевой стороны.

Таблица 9

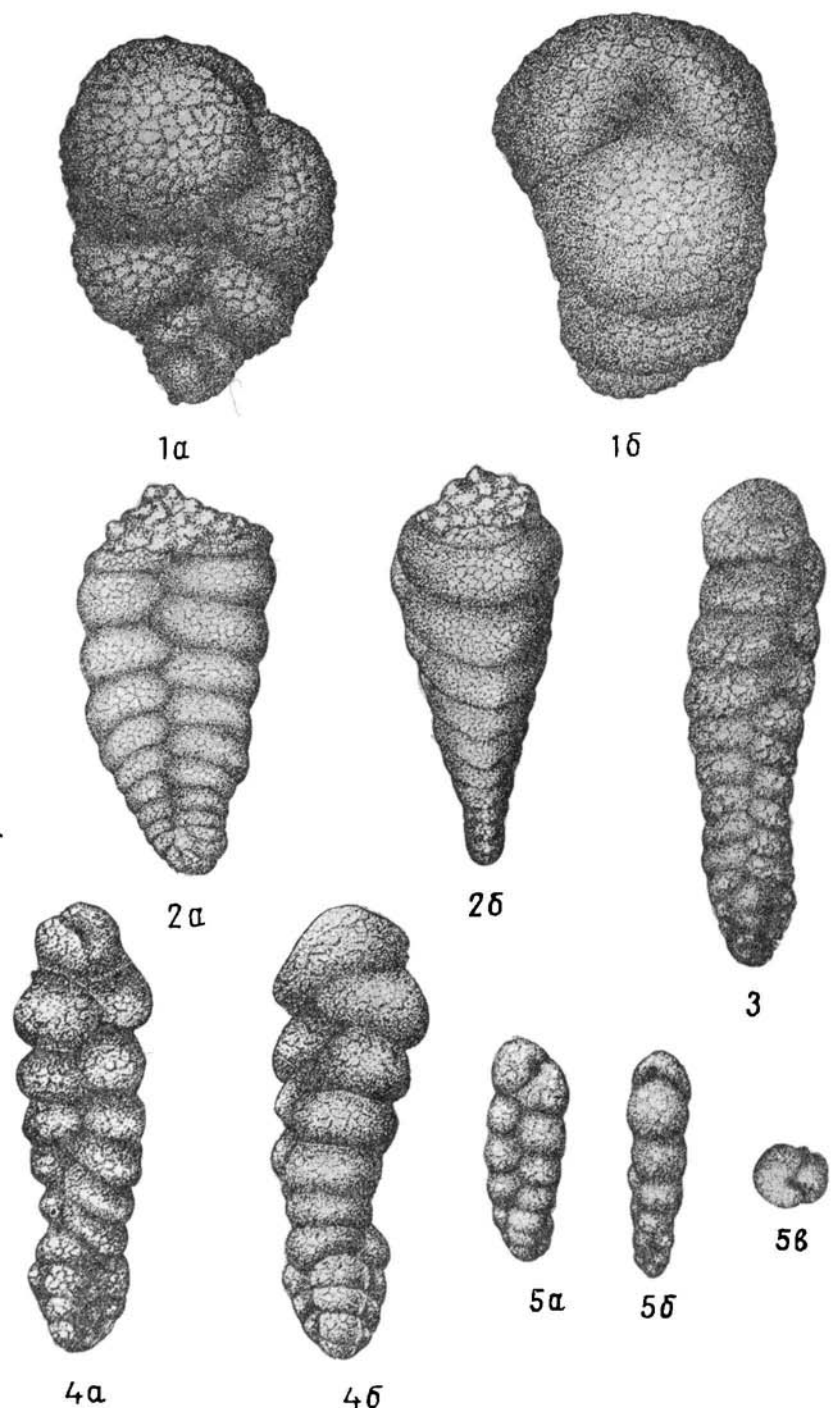


ТАБЛИЦА 9 (продолжение)

Рис. 6. *Gaudrynelia infrafiliformis* B u l a t o v a sp. nov.

Тарская скв. 1-р; вид с боковой стороны.

Рис. 7 а, б, в. *Clavulina prodigiosa* B u l a t o v a sp. nov.

Тарская скв. 1-р; а, б — вид с боковой стороны; в — вид с устьевой стороны.

Мегасферическая особь.

Рис. 8. *Clavulina prodigiosa* B u l a t o v a sp. nov.

Кузнецковская скв. 1-р; вид с боковой стороны. Микросферическая особь.

Рис. 9 а, б, в. *Valvularia lenticula* (R e u s s).

Яковлевская скв. 4-р; а — брюшная сторона; б — периферический край;

в — спинная сторона.

Рис. 10 а, б, в. *Cyromorphina allomorphinoides* (R e u s s). Яковлевская

скв. 4-р; а — брюшная сторона; б — периферический край; в — спинная сторона.

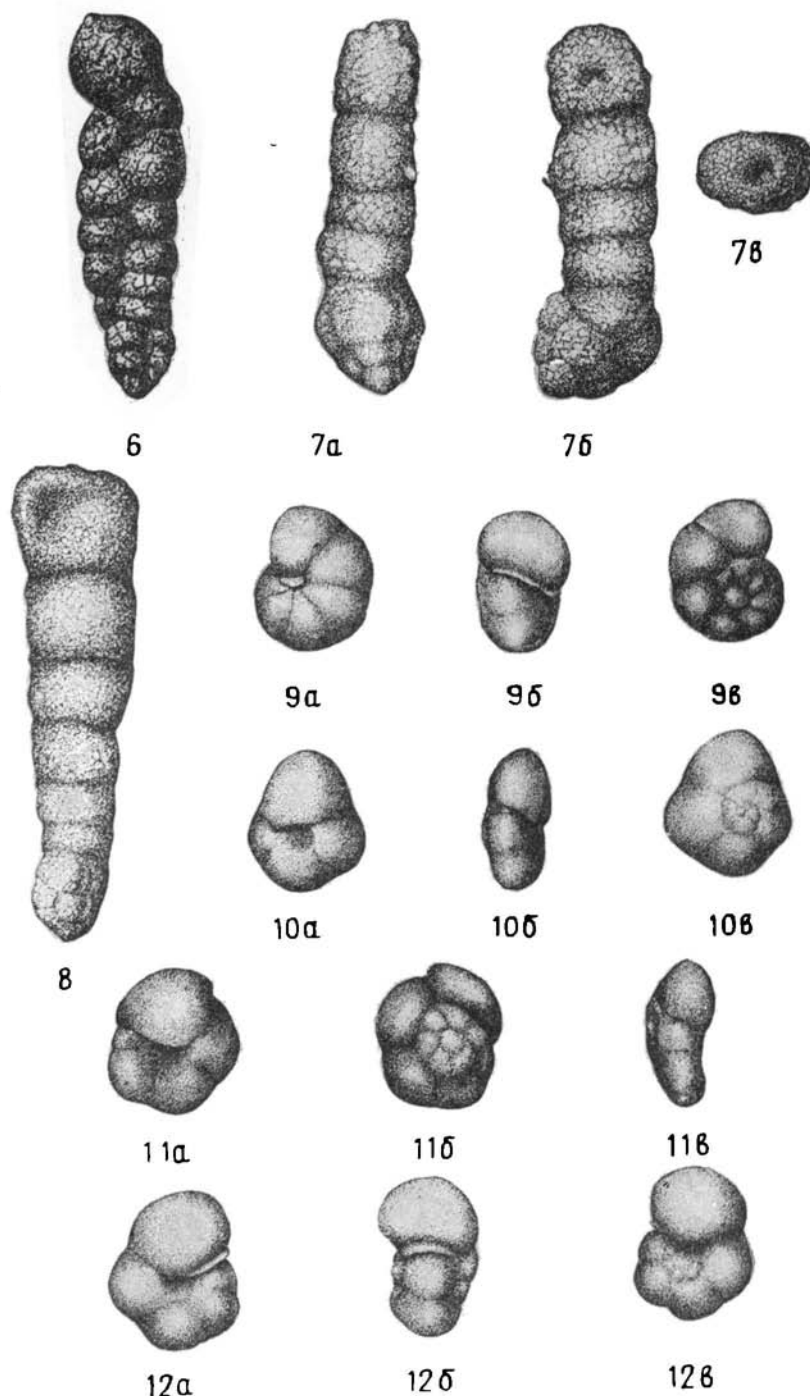
Рис. 11 а, б, в. *Discorbis aff. sibiricus* D a i n.

Яковлевская скв. 4-р; а — брюшная сторона; б — спинная сторона; в — периферический край.

Рис. 12 а, б, в. *Cibicides globosus* K i s s c l m a n in litt.

Яковлевская скв. 4-р; а — брюшная сторона; б — периферический край; в — спинная сторона.

Таблица 9(продолжение)



## ТАБЛИЦА 10

Фораминиферы сантоня.

Увеличено в 60 раз.

Рис. 1. *Proteonina diffugiformis* (Brad y).

Яковлевская скв. 6-р; вид сбоку.

Рис. 2 а, б. *Glomospira charoides* (Pargk. et Jon).

Ханты-Мансийская скв. 1-р; вид с боковой стороны.

Рис. 3 а, б. *Haplophragmoides excavata* Cush. et Wat.

Покурская скв. 1-р; а — периферический край; б — вид сбоку.

Рис. 4 а, б, в. *Haplophragmoides floriferus* Bulatova sp. nov.

Ларьянская скв. 1-р; а, в — вид с боковой стороны; б — периферический край.

Рис. 5 а, б. *Haplophragmoides* sp. 1.

Покурская скв. 1-р; а — вид сбоку; б — периферический край

Рис. 6. *Haplophragmoides glomeratoformis* Zaspelova.

Тарская скв. 1-р; вид сбоку.

Рис. 7. *Ammobaculites sibiricus* Bulatova sp. nov

Уватская скв. 1-р; вид сбоку.

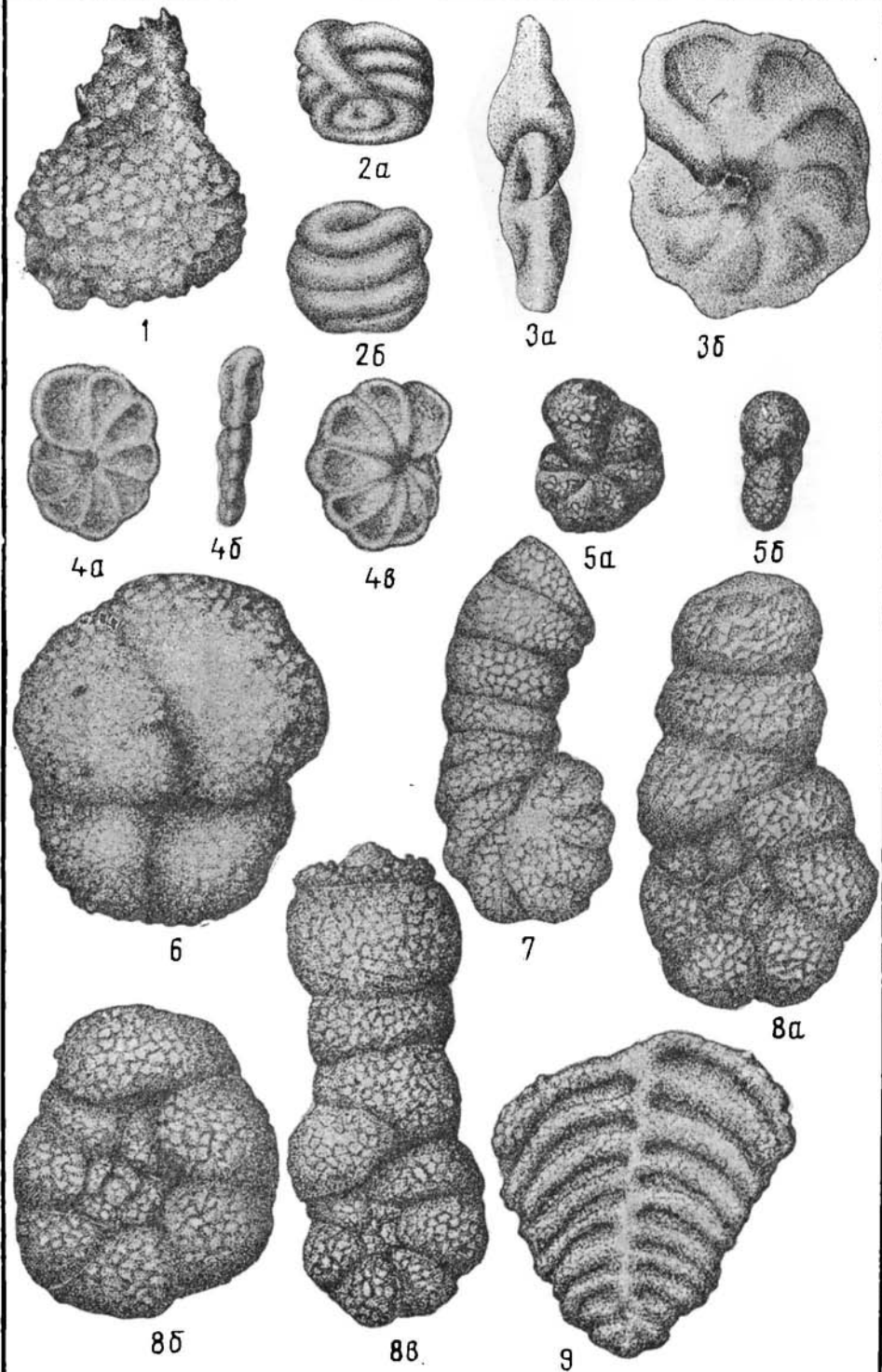
Рис. 8 а, б, в. *Ammobaculites uvaticus* Bulatova sp. nov.

а, б — из Уватской скв. 1-р; в — из Покурской скв. 1-р; вид с боковой стороны.

Рис. 9. *Spiroplectammina lata* (Zaspelova).

Тарская скв. 1-р; вид сбоку.

Таблица 10



## ТАБЛИЦА 11

Фораминиферы нижнего маастрихта.

Увеличено в 60 раз.

Рис. 1. *Spiroplectammina kelleri* D a i n.

Ханты-Мансийская скв. 1-р; вид сбоку.

Рис. 2. *Gaudryina rugosa* O r b i g n y. Озерная скв. 1-в; вид сбоку.

Рис. 3 а, б. *Bolivinoides senonicus* D a i n.

Славгородская скв. 1-р; а — периферический край; б — вид сбоку.

Рис. 4. *Bolivinoides decorata* J o n e s var. *umbilicatula* D a i n.

Тарская скв. 1-р; вид сбоку.

Рис. 5. *Bulimina omskensis* K i s s e l m a n sp. nov.

Ларьякская скв. 1-р; вид сбоку.

Рис. 6 а, б. *Bulimina omskensis* K i s s e l m a n sp. nov.

Ларьякская скв. 1-р; а — устьевая сторона; б — вид сбоку.

Рис. 7. *Bolivina decurrens* (E h r e n b e r g).

Саргатская скв. 1-р; вид сбоку.

Рис. 8 а, б, в. *Globigerina cretacea* O r b i g n y.

Славгородская скв. 5-к; а — спинная сторона; б — периферический край;

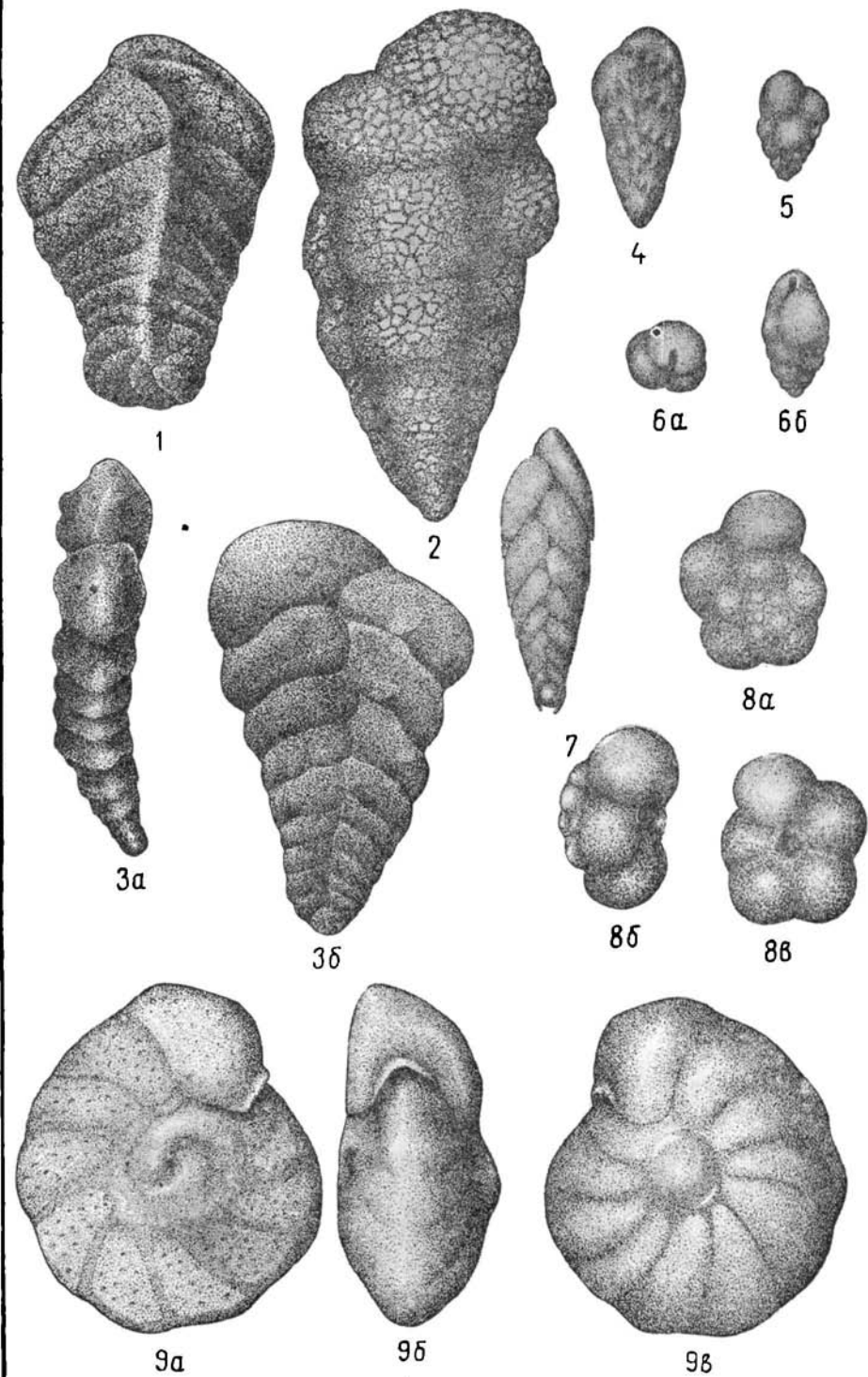
в — брюшная сторона.

Рис. 9 а, б, в. *Cibicides aktulagayensis* V a s s i l e n k o.

Славгородская скв. 5-к; а — спинная сторона; б — периферический край;

в — брюшная сторона.

Таблица 11



## ТАБЛИЦА 12

Фораминиферы маастрихта. Увеличено в 40 раз.

Рис. 1. *Spirroplectammina kasanzevi* Da i n.

Омская скв. 1-р; вид сбоку. Верхний маастрихт.

Рис. 2 а, б. *Heterostomella foveolata* (M a r s s o n).

Тарская скв. 1-р; вид с боковых сторон. Верхний маастрихт.

Рис. 3 а, б. *Bulimina* sp. nov. (K i s s e l m a n).

Октябрьская скв. 1-р; 4, 5 — вид с боковых сторон. Верхний маастрихт.

Рис. 4 а, б. *Bulimina rosencrantzi* B r o t z e n.

Нарьянская скв. 1-р; вид сбоку. Верхний маастрихт.

Рис. 5 а, б. *Bolivina plaita* C a r s e y.

Омская скв. 1-р; а — боковая сторона; б — периферический край. Маастрихт.

Рис. 6 а, б. *Eponides irtishensis* K i s s e l m a n sp. nov.

Нарымская скв. 1-к; а — брюшная сторона; б — спинная сторона. Маастрихт.

Рис. 7 а, б. *Eponides irtishensis* K i s s e l m a n sp. nov.

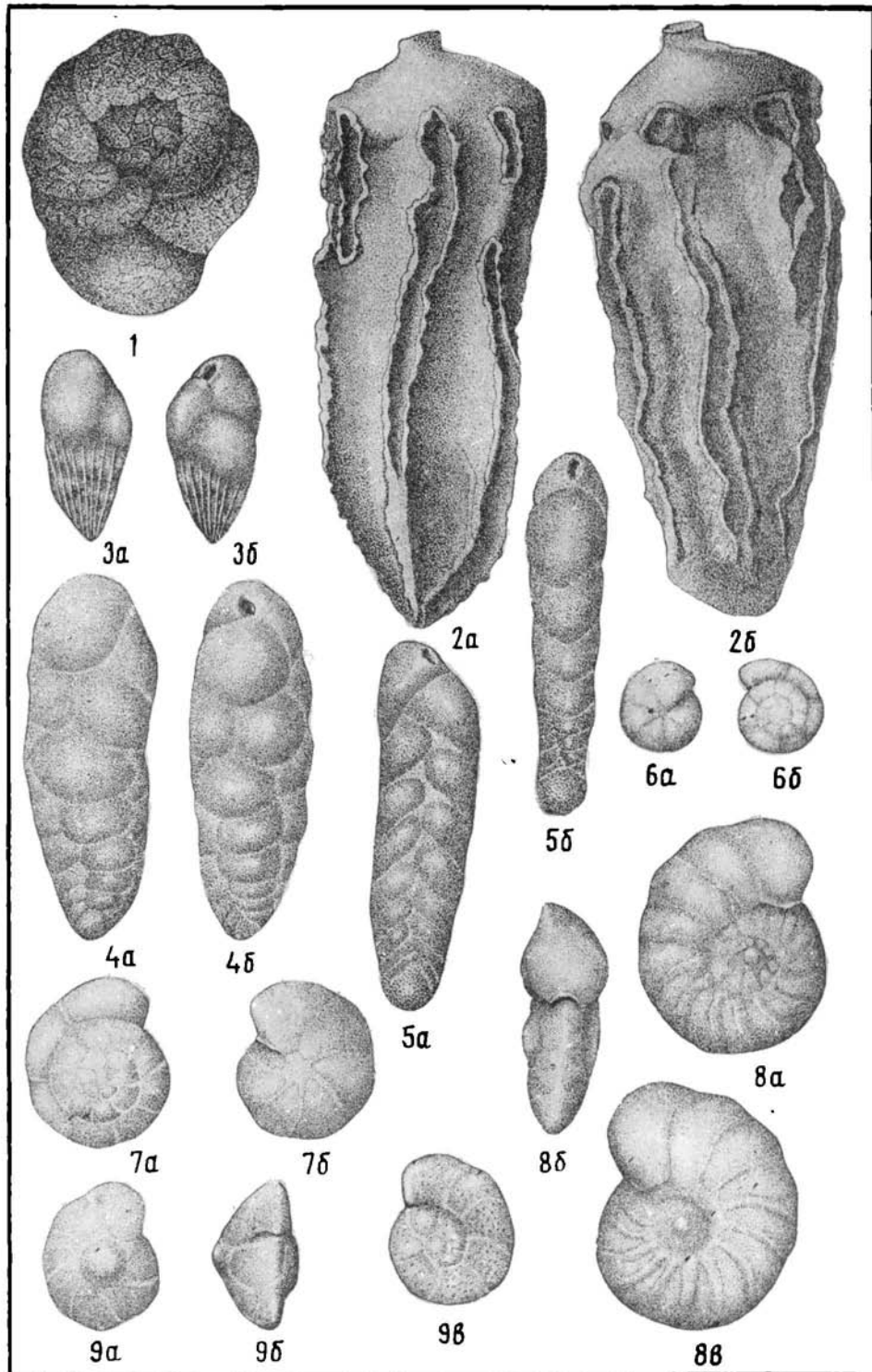
Нарымская скв. 1-к; а — спинная сторона; б — брюшная сторона. Маастрихт.

Рис. 8 а, б, в. *Anomalina preacuta* V a s s i l e n k o.

Октябрьская скв. 1-р; а — спинная сторона; б — периферический край; в — брюшная сторона. Датский ярус (?).

Рис. 9 а, б, в. *Cibicides bembix* M a r s s o n.

Кушмурунская скв. 3-к; а — брюшная сторона; б — периферический край; в — спинная сторона. Верхний маастрихт.



## ТАБЛИЦА 13

- Фораминиферы палеоценца из комплекса с *Ammobaculites foliaceus* (В г а д э). Увеличено в 60 раз.
- Рис. 1. *Proteonina difflugiformis* (В г а д э).  
Уватская скв. 1-р; боковая сторона.
- Рис. 2 а, б, в. *Reophax scorpiurus* М о н т.  
Обская экспедиция скв. 1; вид сбоку.
- Рис. 3 а, б. *Reophax* aff. *scorpiurus* М о н т.  
Березовская скв. 1-р; вид сбоку.
- Рис. 4 а, б. *Glomospira* ex gr. *gaultina* В е г т.  
Ларьянская скв. 1-р; а — вид с брюшной стороны; б — вид со спинной стороны.
- Рис. 5. *Ammobaculites foliaceus* (В г а д э).  
Лучинкинская скв. 5-к; вид сбоку.
- Рис. 6. *Ammobaculites* aff. *foliaceus* (В г а д э).  
Березовская скв. 1-р; вид сбоку.
- Рис. 7. *Trochamminoides* (?) *abtitus* У с ч а к о в а sp. nov.  
Уватская скв. 1-р; вид сбоку.

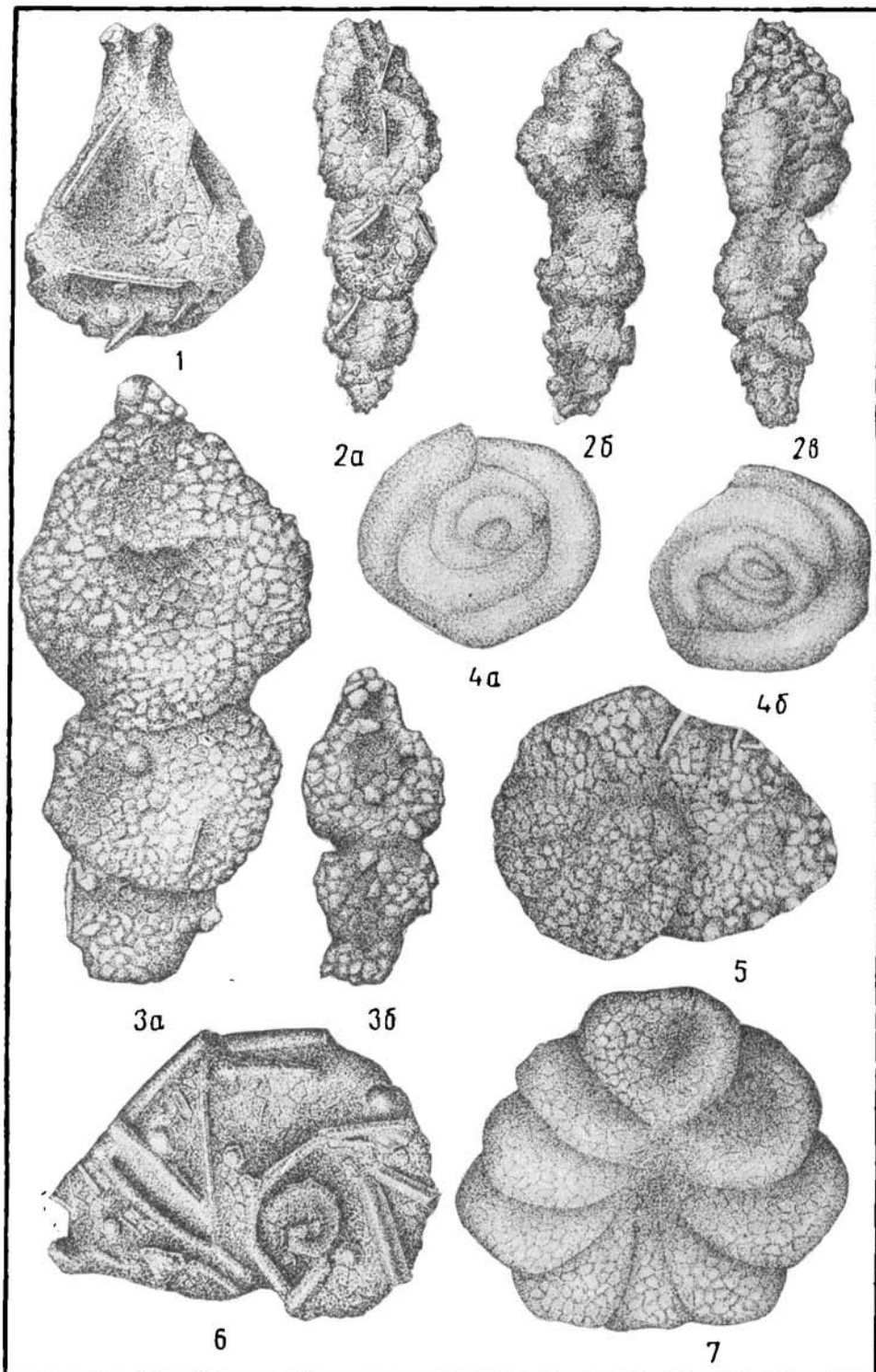


ТАБЛИЦА 14

Форамииниферы палеоценена. Увеличено в 60 раз.

Рис. 1 *a*, *b*, *e*. *Haplophragmoides periferoexcavata* Subbotina.

Ханты-Мансийская скв. 1-р; *a*, *e* — вид сбоку; *b* — вид с устьевой стороны.  
Рис. 2 *a*, *b*. *Haplophragmoides* sp. Покровская скв. 2-к; *a* — вид с устьевой стороны; *b* — вид сбоку.

Рис. 3 *a*, *b*, *e*. *Cyclammina koc-suvorova* Uschakova sp. nov.

Ханты-Мансийская скв. 1-р; *a*, *e* — вид сбоку; *b* — вид с устьевой стороны.

Рис. 4. *Spiroplectammina spectabilis* (Groz.).

Лучинкинская скв. 2-к; вид сбоку.

Рис. 5. *Bolivinopsis scanica* Boltze n.

Лучинкинская скв. 2-к; вид сбоку.

Рис. 6. *Glomospira* sp.

Лучинкинская скв. 3-к; вид сбоку.

Рис. 7 *a*, *b*. *Trochammina* sp.

Лучинкинская скв. 3-к; *a* — вид со спинной стороны; *b* — вид с брюшной стороны.

Рис. 8 *a*, *b*. *Cristellaria corasevi* Lipman.

Лучинкинская скв. 3-к; *a* — вид с устьевой стороны; *b* — вид сбоку.

Рис. 9. *Dentalina* sp.

Покровская скв. 2-к; вид сбоку.

Рис. 10 *a*, *b*, *e*. *Cibicides ex gr. fararobilis* Vassilenko.

Лучинкинская скв. 7-к; *a* — вид с брюшной стороны; *b* — вид с устьевой стороны; *e* — вид со спинной стороны.

Рис. 11 *a*, *b*, *e*. *Anomalina infrapaleogenica* N. Yukova.

Лучинкинская скв. 3-к; *a*, *e* — вид со спинной стороны; *b* — вид с устьевой стороны.

Таблица 14.

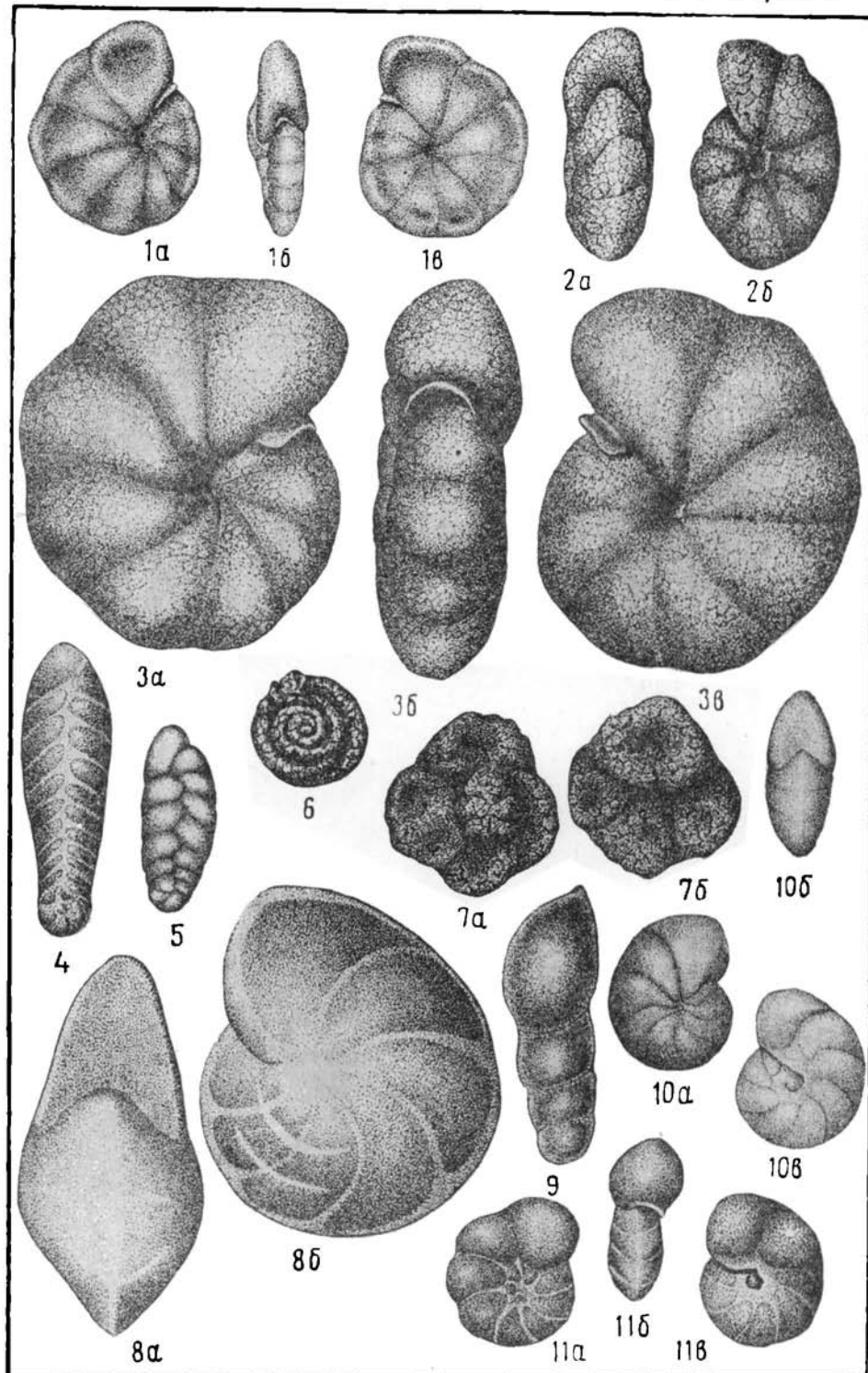


ТАБЛИЦА 15

Фораминиферы палеогена. Увеличено в 60 раз.

Рис. 1. *Proteonina* sp.

Покровская скв. 2-к; вид сбоку.

Рис. 2 а, б. *Haplophragmoides* sp.

Покровская скв. 1-р; а — вид сбоку; б — вид с устьевой стороны.

Рис. 3 а, б, в. *Haplophragmoides periferoexcavata* Subbotina e.

Ханты-Мансийская скв. 1-р; а, в — вид сбоку, б — вид с устьевой стороны.

Рис. 4 а, б, в. *Spiroplectammina* ex gr. *carinata* (Orb.).

Покровская скв. 2-к; а, в — вид сбоку; б — вид с периферического края.

Рис. 5. *Gaudryina* sp.

Покровская скв. 1-к; вид сбоку.

Рис. 6 а, б. *Verneuilina paleogenica* Lippm.

Леушинская скв. 5-к; вид сбоку.

Таблица 15



1



2α



2δ



3α



3δ



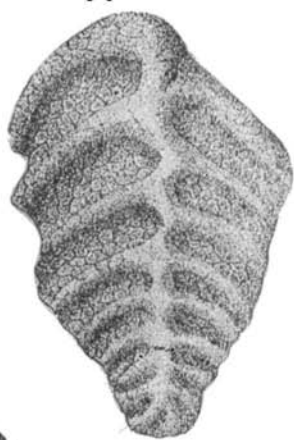
3β



4α



4δ



4β



5



6α



6δ

ТАБЛИЦА 15 (продолжение)

Рис. 7 а, б, в. *Miliolina* ex gr. *selena* (Коггаг).

Покровская скв. 2-к; а, в — вид с устьевой стороны; б — вид сбоку.

Рис. 8 а, б. *Elphidium rischtanicum* Вукова.

Покровская скв. 2-к; а — вид сбоку; б — вид с устьевой стороны.

Рис. 9 а, б, в, г, д, е. *Cibicides* ex gr. *khanabadensis* Мяссюкова.

Покровская скв. 1-к; а, г — вид с брюшной стороны; б, е — вид с устьевой стороны; в, д — вид со спинной стороны.

Рис. 10 а, б, в. *Cibicides gissarensis* N. Вукова.

Лучинкинская скв. 2-к; а — вид со спинной стороны; б — вид с устьевой стороны; в — вид с брюшной стороны.

Таблица 15 (продолжение)

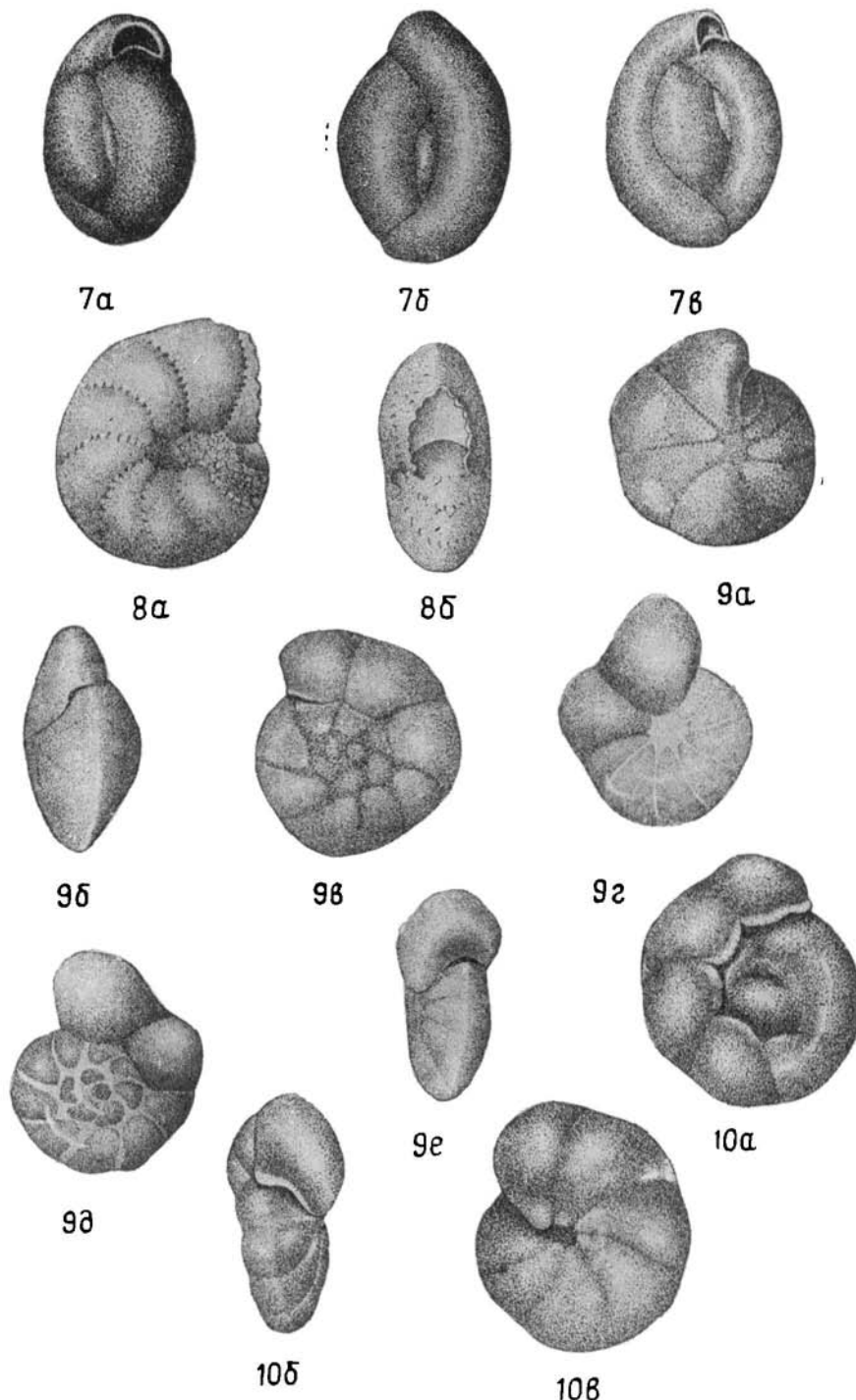
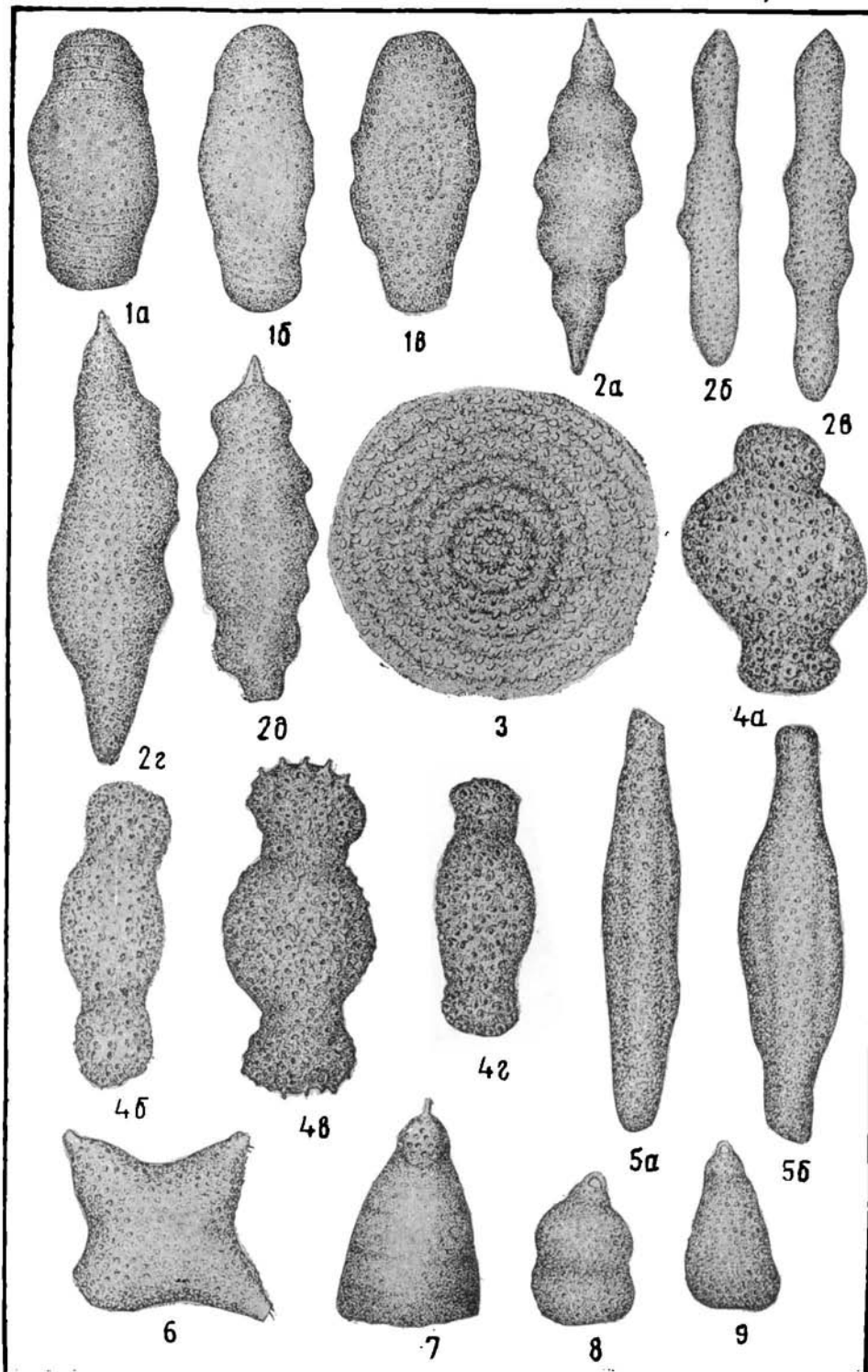


ТАБЛИЦА 16

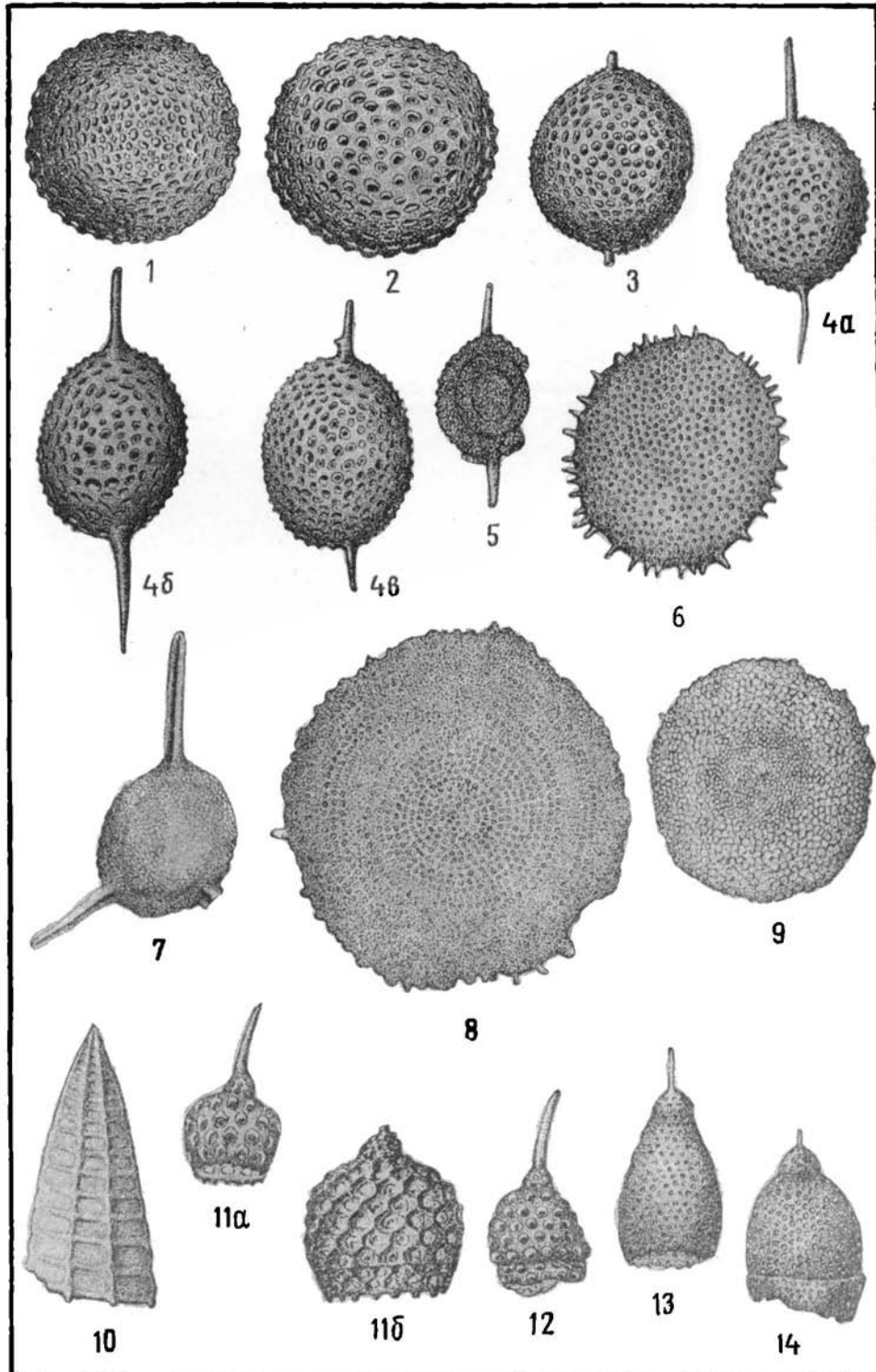
- Радиолярии сантона. Увеличено в 60 раз.  
Рис. 1 а, б, в. *Cromyodrurra concentrica* Lipm.  
Леушинская скв. 1-п.  
Рис. 2 а, б, в, г, д. *Spongoprunum articulatum* Lipm.  
Нарымская скв. 1-п.  
Рис. 3. *Porodiscus vulgaris* Lipm.  
Леушинская скв. 1-п.  
Рис. 4 а, б, в, г. *Amphibrachium spongiosum* Lipm.  
Совхоз Озерный 1-в.  
Рис. 5 а, б. *Amphibrachium sibirica* Gorbovjec n msc.  
Леушинская скв. 1-п.  
Рис. 6. *Histiastrum aster* Lipm.  
Леушинская скв. 1-п.  
Рис. 7. *Lithostrobus curganicus* Gorbovjec n msc.  
Курганская скв. 12-к.  
Рис. 8. *Tricolocapsa* sp.  
Леушинская скв. 1-п.  
Рис. 9. *Dicolocapsa sibirica* Gorbovjec n msc.  
Леушинская скв. 1-п.

Таблица 16



- Радиолярии эоценна. Увеличено в 60 раз
- Рис. 1. *Cenosphaera valentinae* Lipm.  
Нарымская скв. 1-п.
- Рис. 2. *Cenosphaera mariae* Lipm.  
Нарымская скв. 1-п.
- Рис. 3. *Xiphosphaera irinae* Lipm.  
Нарымская скв. 1-п.
- Рис. 4 а, б, в. *Ellipsoxiphus chabakovi* Lipm.  
Курган, скв. 31-к.
- Рис. 5. *Lithatractus* sp.  
Степная экспедиция скв. 67.
- Рис. 6. *Trochodiscus paleogenicus* Lipm.  
Степная экспедиция скв. 67.
- Рис. 7. *Stylocycta aff. magnifica* Lipm.  
Курган, скв. 10-к.
- Рис. 8. *Stylotrochus paciferum* Lipm.  
Курган, скв. 3-к.
- Рис. 9. *Stylotrochus ex gr. nativus* Lipm.  
Курган, скв. 2-к.
- Рис. 10. *Sethopyramis victori* Lipm.  
Курган, скв. 12-к.
- Рис. 11 а, б. *Sethocyrtis elegans* Lipm.  
Курган, скв. 3-к.
- Рис. 12. *Sethocyrtis aff. tamdiensis* Lipm.  
Степная экспедиция скв. 67.
- Рис. 13. *Sethocyrtis aff. puer* Lipm.  
Курган, скв. 21-к.
- Рис. 14. *Theocorys* sp.  
Семизерная скв. 21-к.

Таблица 17



## ТАБЛИЦА 18

Остракоды готерив-баррема.

Увеличено в 60 раз.

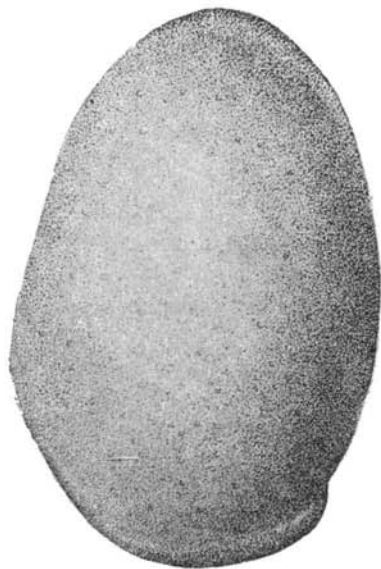
Рис. 1 а, б. *Cypridea consulta* Mandelst.

Барабинская скв. 1-р; а — левая створка с внешней стороны; б — спинная сторона.

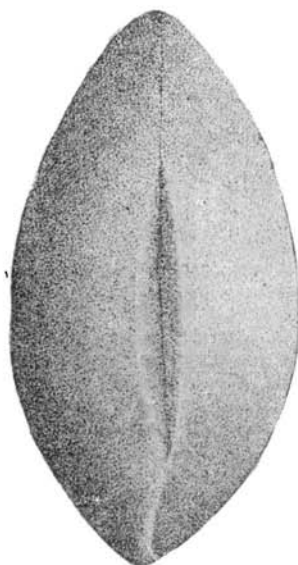
Рис. 2 а, б. *Cypridea koskulensis* Mandelst.

Ипатовская скважина 5-р; а — левая створка с внешней стороны; б — спинная сторона.

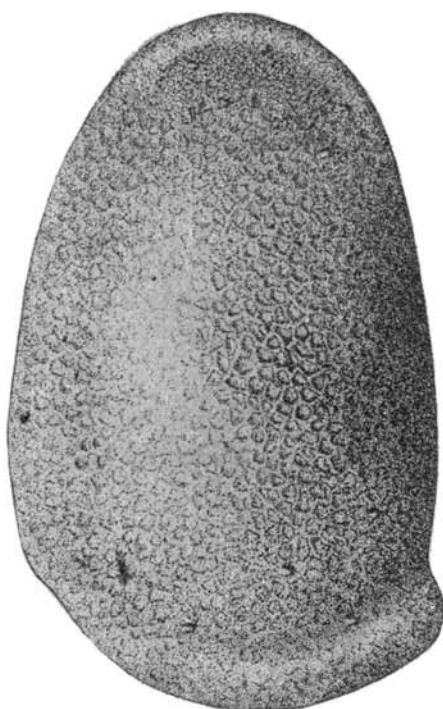
Таблица 18



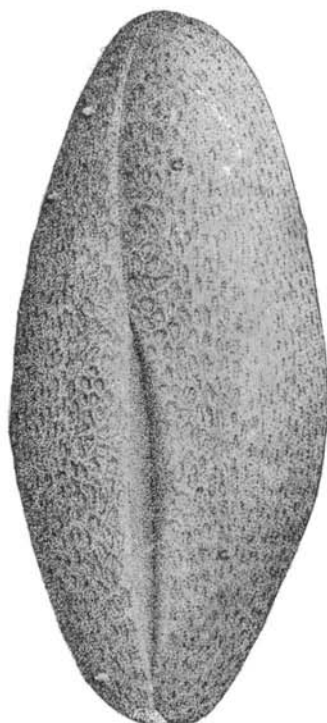
1α



1β



2α



2β

ТАБЛИЦА 18 (продолжение)

Рис. 3 а, б. *Origoilyocypris fidis* Mandelst.

Инаготовская скв. 5-р; а — левая створка с внешней стороны; б — спинная сторона.

Рис. 4. *Darwinula barabinskensis* Mandelst.

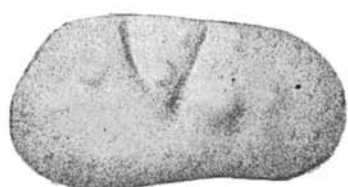
Колпашевская скв. 2-р; правая створка.

Рис. 5. *Timiriasevia opinabilis* Mandelst.

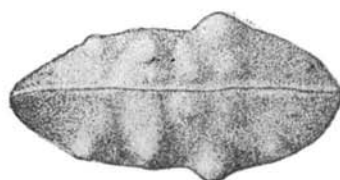
Ларьянская скв. 1-р.

Рис. 6 а, б, в. Харовые водоросли.

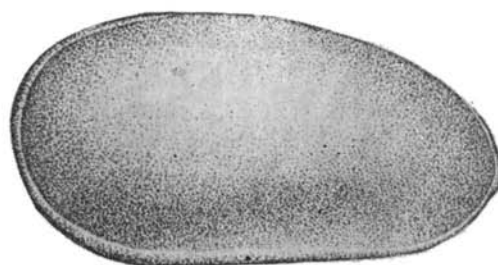
Таблица 18(продолжение)



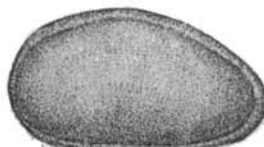
3а



3б



4



5



6а



6б



6в

## ТАБЛИЦА 19.

Остракоды маастрихта. Увеличено в 60 раз.

Рис. 1 а, б. *Procytheropteron virginicum* (Jones).

Октябрьская скв. 1-к; а — левая створка с внешней стороны; б — левая створка с внутренней стороны.

Рис. 2. *Orthonotacythere elegans* Liepin.

Омская скв. 1-р; правая створка с внешней стороны.

Рис. 3 а, б. *Aequacytheridea interstincta* Mandelst.

Октябрьская скв. 1-к; а — левая створка с внешней стороны; б — левая створка с внутренней стороны.

Рис. 4 а, б. *Cytheridea liqua* Mandelst.

Омская скв. 1-р; а — левая створка с внешней стороны; б — левая створка с внутренней стороны.

Рис. 5. *Clythrocystheridea schweyeri* Liepin.

Октябрьская скв. 1-р; правая створка с внешней стороны.

Рис. 6. *Clythrocystheridea stricta* Mandelst.

Октябрьская скв. 1-р; правая створка с внешней стороны.

Таблица 19

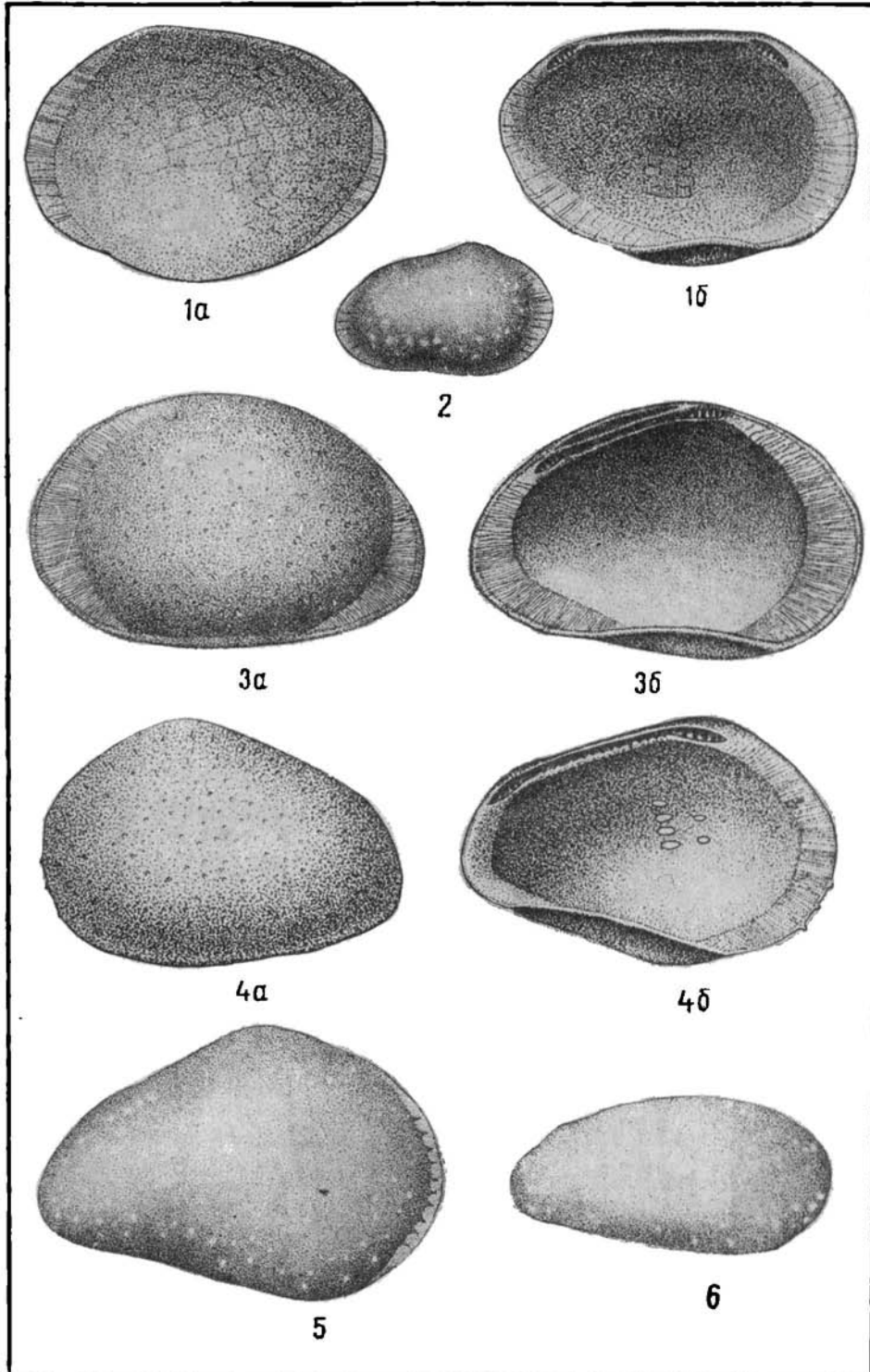


ТАБЛИЦА 20

Рис. 1 а, б. *Macrocephalites* sp. ind.

а — Саргатская скв. 2-р; глубина отбора 2521,15 м ( $\times 1$ ).

б — Большишереченская скв. 1-р; глубина отбора 2522—2535 м ( $\times 1,5$ ).  
Нижний келловей.

Рис. 2. *Cosmoceras* sp. ind.

Большишереченская скв. 1-р; глубина отбора 2515 м. Келловей.

Рис. 3. *Perisphinctes* sp. ind.

Омская скв. 1-р; глубина отбора 2387,0 м. Нижний оксфорд.

Рис. 4. *Cardioceras* aff. *kostromense* N i k. var.

Омская скв. 1-р; глубина отбора 2387,0 м. Нижний оксфорд

Рис. 5. *Cardioceras* ex gr. *alternans* B u c h. J u v. ( $\times 2,2$ ).

Омская скв. 1-р; глубина отбора 2377 м. Верхний оксфорд.

Рис. 6. *Cardioceras* ex gr. *alternans* B u c h. ( $\times 0,8$ ).

Омская скв. 1-р; глубина отбора 2377 м. Верхний оксфорд.

Таблица 20



1a



2



15



3



4



5



6

ТАБЛИЦА 21.

Рис. 1. *Rasenia* cf. *orbignyi* (?) var. *suburalensis* S p a t h.

Татарская скв. 1-р; глубина отбора 2454,3—2460,55 м. Нижний кимеридж.

Рис. 2. *Prorasenia* (?) sp. ( $\times 1,3$ ).

Татарская скв. 1-р; глубина отбора 2454,3—2460,55 м. Нижний кимеридж.

Рис. 3. *Prorasenia* (?) sp. ind ( $\times 1,4$ ).

Татарская скв. 1-р; глубина отбора 2454,3—2460,55 м. Нижний кимеридж.

Рис. 4 а, б. *Rasenia* cf. *uralensis*. а — ( $\times 1,8$ ); б — ( $\times 2,1$ ).

Ряжкинская скв. 1-р; глубина отбора 2454,3—2460,55 м. Нижний кимеридж.

Рис. 5 а, б, в. *Subplanites* sp. ind. а — ( $\times 1,4$ ); б — ( $\times 1,4$ ); в — ( $\times 2,5$ ).

Большереченская скв. 1-р; глубина отбора 2475—2500 м.

Нижневолжский ярус.



1



2



3



4a



4б



5a



5б



ТАБЛИЦА 22

Зона *Tollia stenomphala*.

Рис. 1 *a*, *b*, *e*, 2, 3, 4. *Tollia sibirica* Klimova n. sp.

1 *a*, *b*, *e* — Тарская скв. 1-р; глубина отбора 2492,97 м.

*a* — обломок наружного оборота; *b* — обломок внутреннего оборота; *e* — ноперечное сечение.

2 — Большелеречская скв. 1-р; глубина отбора 2423—2429 м ( $\times 1,5$ ).

3 — Тарская скв. 1-р; глубина отбора 2492,62 м.

4, 4 *a* — Тарская скв. 1-р; глубина отбора 2485,80 м. 4 *a* — Лопастная ли-  
ния. Нижний валанжин.

Рис. 5 *a*, *b* — *Tollia annabarensis*.

*a* — Омская скв. 1-р; глубина отбора 2186,0 м; *b* — Омская скв. 1-р; глу-  
бина отбора 2257,0 м. Нижний валанжин.

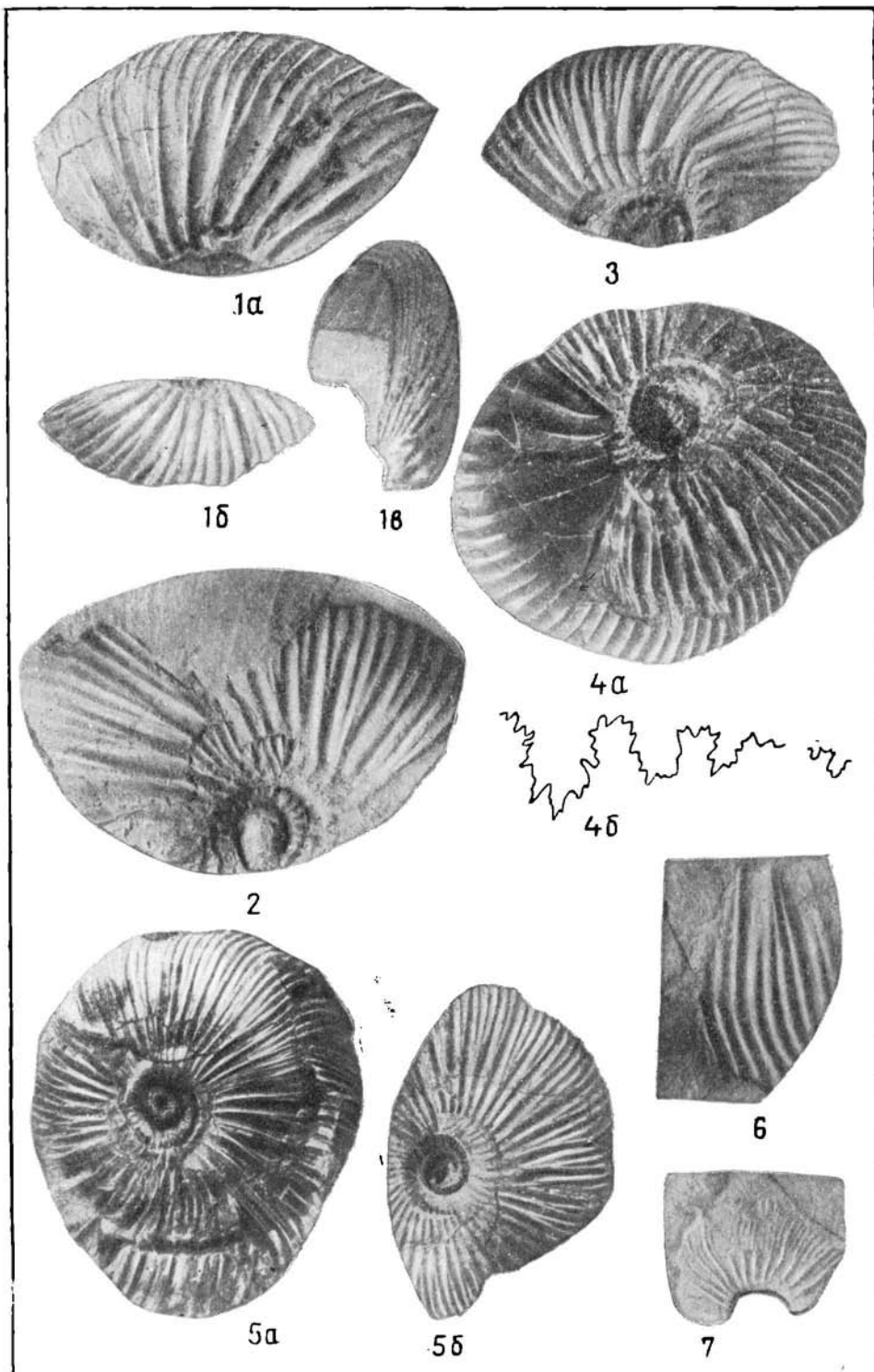
Рис. 6. *Subcraspedites* sp. nov.

Большелеречская скв. 1-р; глубина отбора 2403,8—2416,8 м. Нижний валан-  
жин.

Рис. 7. *Subcraspedites* (?) sp. ( $\times 2,2$ ).

Тебесская скв. 1-р; глубина отбора 2153—2165 м. Нижний валанжин.

Таблица 22



## ТАБЛИЦА 23

Зона *Tollia stenomphala*.

Рис. 1 а, б, в. *Tollia* sp. почва В. (Водяевский).

а — Саргатская скв. 2-р; глубина отбора 2478,0—2480,6 м; б — Татарская скв. 1-р; глубина отбора 2280—2287 м ( $\times 1,4$ ); в — Колпашевская скв. 2-р; глубина отбора 2288,75 м ( $\times 1,3$ ). Нижний валанжин.

Рис. 2. *Subcraspedites* sp. 1. ( $\times 1,4$ ).

Татарская скв. 1-р; глубина отбора 2327—2344 м. Нижний валанжин.

Рис. 3 а, б. *Temnoptychites* aff. *Igouensis* Nikiti п.

а — вид сбоку; б — вид с наружной стороны. Яковлевская скв. 3-р; глубина отбора 1065 м. Средний валанжин.

Рис. 4. *Dichotomites* ex gr. *polytomus* Koeppen.

Викуловская скв. 2-р; глубина отбора 1896 м. Верхний валанжин.

Рис. 5. *Polyptychites* ex gr. *Polyptychus* Keyss. ( $\times 2,5$ ).

Викуловская скв. 2-р; глубина отбора 1936,65 м. Верхний валанжин.

Рис. 6 а, б, в. *Simbirskites* sp. ind. juv.

а — Саргатская скв. 3-р; глубина отбора 2302,0,7—2308,17 м; б — обломок с наружной стороны ( $\times 3$ ); Саргатская скв. 2-р; глубина отбора 2297,3—2303,3 м; в — вид сбоку ( $\times 1,8$ ). Саргатская скв. 3-р; глубина отбора 2302,07—2308,17 м. Готерив.



1а



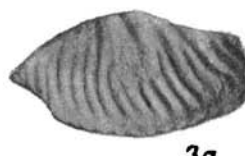
1б



1б



2



3а



3б



4



5



6а



6б



6б

## ТАБЛИЦА 24

Рис. 1. *Aucella pallasi* var. cf. *tenuistriata* La h. ( $\times 2,5$ ).

Викулово, скв. 2-р; глубина отбора 2018—2024 м. Правая створка. Верхняя юра.

Рис. 2. *Aucella bronni* La h. ( $\times 1,4$ ).

Викулово, скв. 2-р, глубина отбора 2053,5 м. Правая створка. Верхняя юра.

Рис. 3. *Pecten demissus* P hill i p s. ( $\times 2,2$ ).

Викулово, скв. 2-р; глубина отбора 2034—2040 м. Верхняя юра.

Рис. 4. *Aucella pallasi* var. *tenuistriata* La h. ( $\times 2,4$ ).

Викулово, скв. 2-р; глубина отбора 2018—2024 м. Левая створка. Верхняя юра.

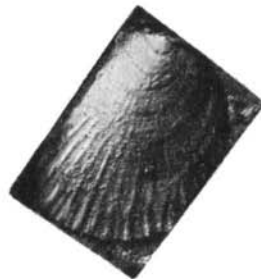
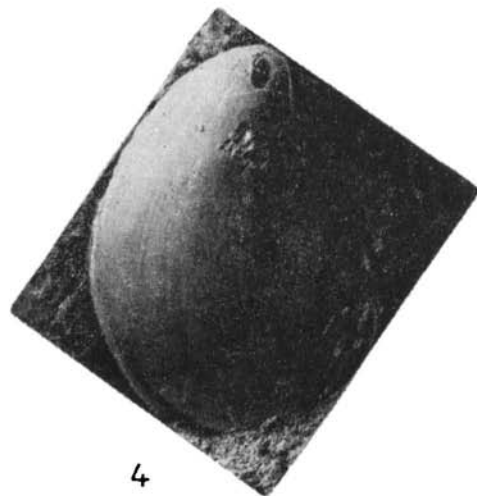
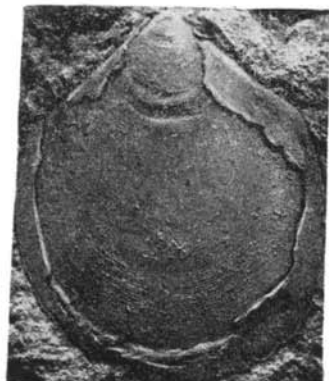
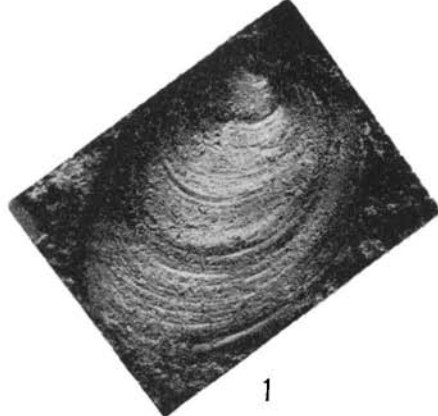
Рис. 5. *Pseudomonotis* sp. ( $\times 2,1$ ).

Покровская скв. 4-р; глубина отбора 1576—1583 м. Правая створка. Киммеридж.

Рис. 6. *Pseudomonotis* sp. ( $\times 4,5$ ).

Покровская скв. 4-р, глубина отбора 1576—1583 м. Правая створка. Киммеридж.

Таблица 24



## ТАБЛИЦА 25

- Рис. 1. *Cyrena cf. angulata* D u n k. ( $\times 1,5$ )  
Тебисская скв. 2-р; глубина отбора 2064 м. Готерив.
- Рис. 2 а, б, в. *Cyrena cf. angulata* D u n k. ( $\times 2,1$ ).  
Яковлевская скв. 1-р; глубина отбора 994—1000 м. Готерив.
- Рис. 3 а, б. *Cyrena* sp. а — ( $\times 2,1$ ); б — ( $\times 2,4$ ).  
Яковлевская скв. 1-р; глубина отбора 994—1000 м. Готерив.
- Рис. 4. Ракушник переполненный раковинами *Cyrena*. ( $\times 1,1$ ).  
Покровская скв. 3-р; глубина отбора 1373—1380 м. Готерив.
- Рис. 5. *Cyrena* sp. ( $\times 2,3$ ).

Таблица 25

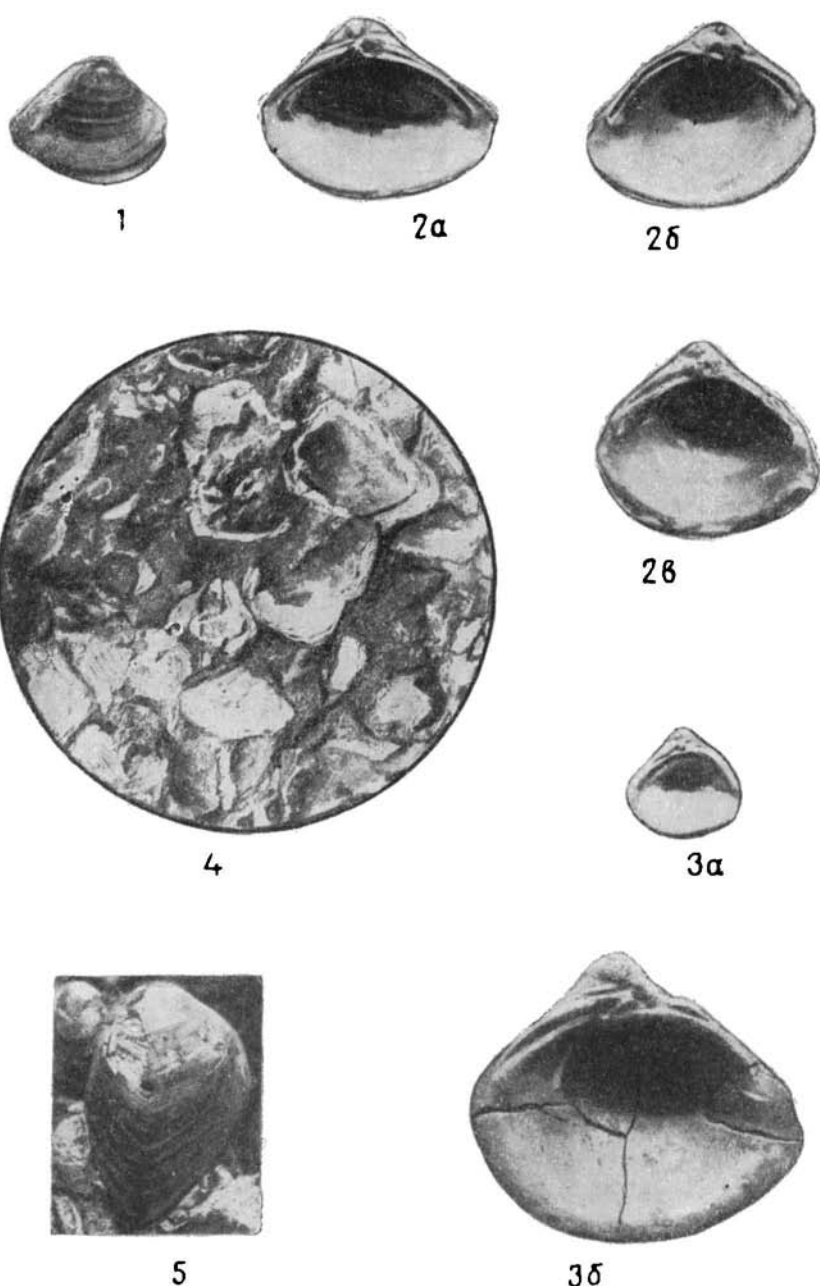


Рис. 1 а, б, в. *Nucula bowerbanki* S o w.

а — правая створка изнутри ( $\times 2$ ); б — правая створка снаружи, натуральная величина; в — правая створка снаружи ( $\times 2$ ). Нарымская скв. 1-к; глубина 193,2—196,9 м. Палеоцен.

Рис. 2. *Chlamys* sp. nov.

Отпечаток правой створки ( $\times 2$ ). Леушинская скв. 1-к; глубина 208,5—306,0 м. Эоцен (?).

Рис. 3 а, б. *Crassatella* sp. ex gr. *deshayesiana* N y s t.

а — отпечаток правой створки ( $\times 2$ ); б — ядро правой створки ( $\times 2$ ). Леушинская скв. 1-к; глубина 314,8—323,0 м. Эоцен (?).

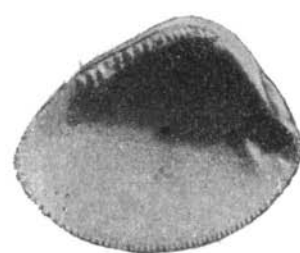
Рис. 4 а, б. *Leda volgensis* Archangelskii.

а — отпечатки зубов правой створки; б — ядро правой створки ( $\times 3$ ). Саргатская скв. 2-к; глубина 281,4—290,1 м. Нижний олигоцен.

Рис. 5. *Leda* sp.

Зубы правой створки ( $\times 3$ ). Саргатская скв. 4-к; глубина 286,1—234,5 м. Нижний олигоцен.

Таблица 26



1α



1δ



1β



2



3α



3δ



4α



4δ



5

Рис. 1 а, б, в. *Meretrix (cordiopsis) tenuis* A leх.

*а* — правая створка снаружи; *б* — вид спереди; *в* — вид сбоку; натуральная величина. Октябрьская скв. 9-к; глубина 197,0—205,0 м. Нижний олигоцен.

Рис. 2 а, б. *Cytherea sulcatoria* D esh.

*а* — ядро правой створки; *б* — ядро левой створки, натуральная величина. Покровская скв. 22-к; глубина 165,6—196,0 м. Нижний олигоцен.

Рис. 3 а, б. *Cyprina* aff. *kasachstanica* A leх.

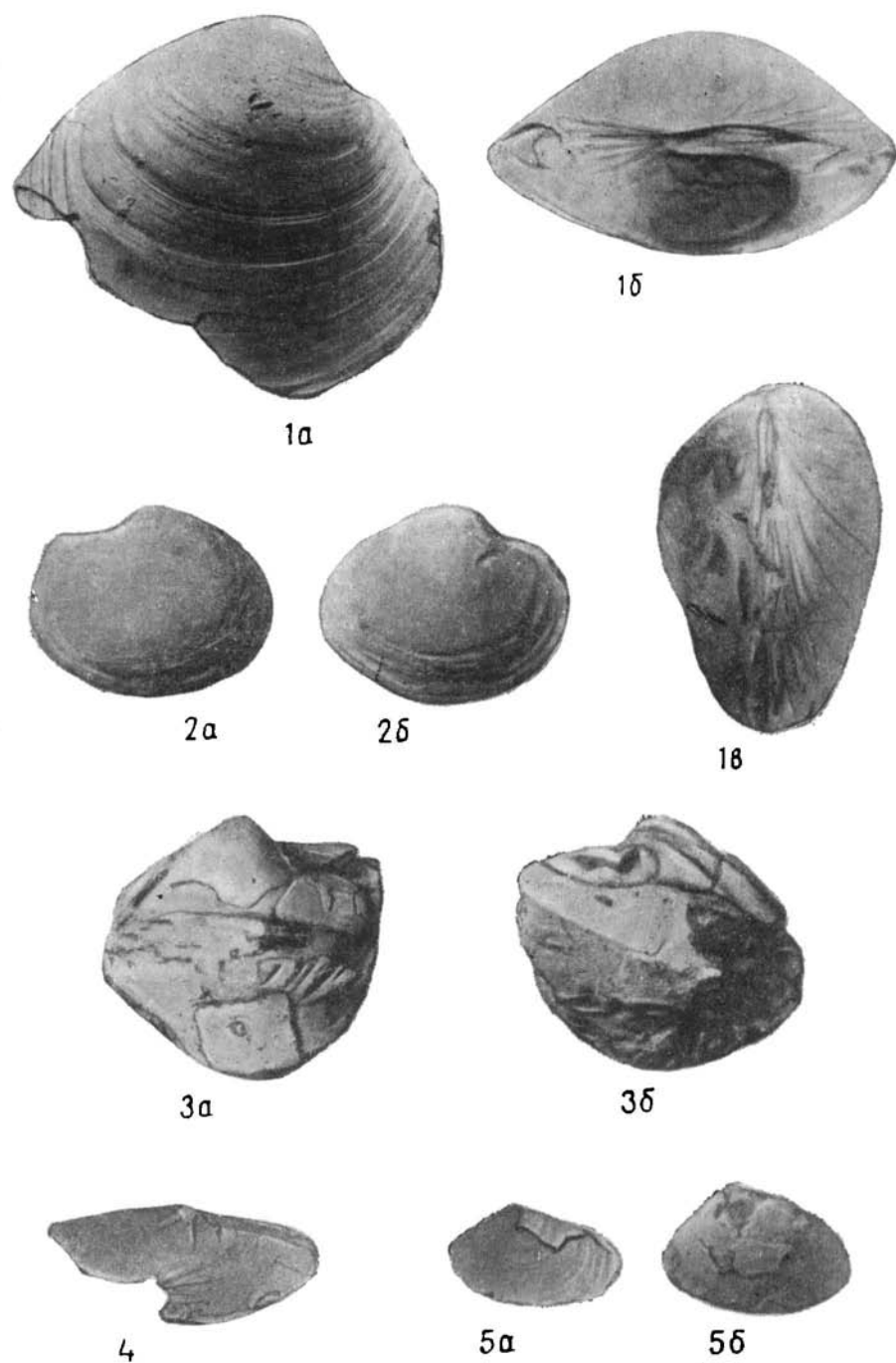
*а* — макушечная часть правой створки; *б* — зубы правой створки, натуральная величина. Покровская скв. 31-к; глубина 100,0—113,0 м. Нижний олигоцен.

Рис. 4. *Tellina* sp. 1. ( $\times 2$ ).

Отпечаток створки. Покровская скв. 30-к; глубина 149,0—158,8 м. Нижний олигоцен.

Рис. 5 а, б. *Tellina* sp. 2.

*а* — ядро правой створки; *б* — отпечаток правой створки ( $\times 2$ ). Саргатская скв. 4-к; глубина 286,1—294,5 м. Нижний олигоцен.



## ТАБЛИЦА 28

Рис. 1 а, б, в, г. *Marcia (Mercimonia) turgidula* Desh.

а — правая створка снаружи; б — правая створка изнутри ( $\times 5$ ); в — левая створка снаружи; г — левая створка изнутри ( $\times 3$ ). Большереческая скв. 10-к; глубина 311,8—315,3 м. Нижний олигоцен.

Рис. 2 а, б. *Apporhais* aff. *coruntus* Allex.

а — вид со стороны, противоположной устью; б — вид со стороны устья, натуральная величина. Саргатская скв. 13-к; глубина 290,0—298,1 м. Нижний олигоцен.

Рис. 3 а, б, в. *Turritella* cf. *uniangularis* Lam.

а — вид со стороны, противоположной устью ( $\times 2$ ), б — вид со стороны устья; в — вид со стороны, противоположной устью ( $\times 3$ ). Татарская скв. 1-р; глубина 189,6—193,3 м. Нижний олигоцен.

Рис. 4. *Lopatinia* sp. nov. 1. ( $\times 2$ ).

Левая створка изнутри. Нарымская скв. 1-к; глубина 186,9—196,6 м. Маастрихт.

Рис. 5 а, б. *Lopatinia* sp. nov. 2.

а — левая створка снаружи; б — левая створка изнутри ( $\times 2$ ). Нарымская скв. 1-к; глубина 186,9—196,6 м. Маастрихт.

Таблица 28

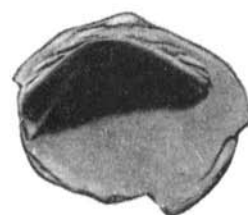
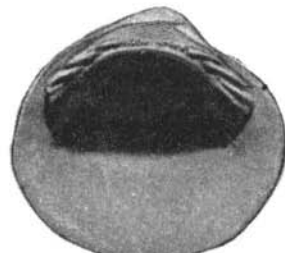


Рис. 1 а, б. *Limopsis* sp. nov. 1.

*а* — левая створка изнутри; *б* — левая створка снаружи ( $\times 2,3$ ); Нарымская скв. 1-к; глубина 200,5—202,5 м. Маастрихт.

Рис. 2. *Limopsis* sp. nov. 2.

Правая створка изнутри ( $\times 3$ ). Нарымская скв. 1-к; глубина 183,8 м. Маастрихт.

Рис. 3. *Astarte* sp. 1. ( $\times 2$ ).

Левая створка снаружи. Нарымская скв. 1-к; глубина 268,7 м. Маастрихт.

Рис. 4 а, б. *Astarte* sp. 2.

*а* — правая створка снаружи; *б* — правая створка изнутри ( $\times 1,3$ ); Рявкинская скв. 5-р; глубина 446—452 м. Маастрихт.

Рис. 5. *Astarte* sp. 3.

Левая створка снаружи. Рявкинская скв. 5-р; глубина 458,7—469,7 м. Маастрихт.

Рис. 6. *Astarte* sp. 4 ( $\times 3$ ).

Левая створка снаружи. Нарымская скв. 1-к; глубина 200,5—202,5 м. Маастрихт.

Рис. 7 а, б. *Astarte* sp. 5.

*а* — левая створка снаружи; *б* — левая створка изнутри ( $\times 1,3$ ). Нарымская скв. 1-к; глубина 200,5—202,5 м. Маастрихт.

Таблица 29



1α



1β



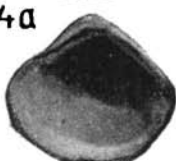
2



3



4α



4β



5



6



7α



7β

Рис. 1. *Pteria* sp. 3. ( $\times 2,3$ ).

Левая створка снаружи. Ларькская скв. 1-р; глубина 541,1—547,6 м. Маастрихт.

Рис. 2. *Pteria* sp. 4. ( $\times 1,6$ ).

Левая створка снаружи. Татарская скв. 2-р; глубина 635,0—641,0 м. Маастрихт.

Рис. 3 а, б, в. *Pteria* sp. 5.

а — ядро левой створки ( $\times 2,5$ ); б — левая створка снаружи ( $\times 2$ ); в — левая створка изнутри ( $\times 2,5$ ). Калининская скв. 1-в; глубина 227,65—231,4 м. Маастрихт.

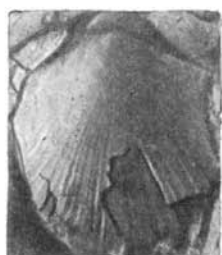
Рис. 4. *Pteria* sp. 6. ( $\times 2$ ).

Левая створка снаружи. Ряжинская скв. 5-р; глубина 446,0—452,0 м. Маастрихт.

Рис. 5 а, б. *Inoceramus* sp. ex gr. *regularis* O r b. ( $\times 1,2$ ).

Внешний вид створок. Ларькская скв. 1-р; глубина 605,35—615,0 м. Маастрихт.

Таблица 30



1



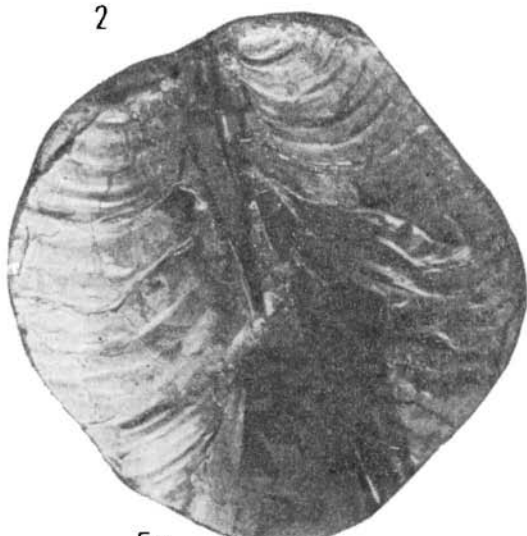
2



3a



3б



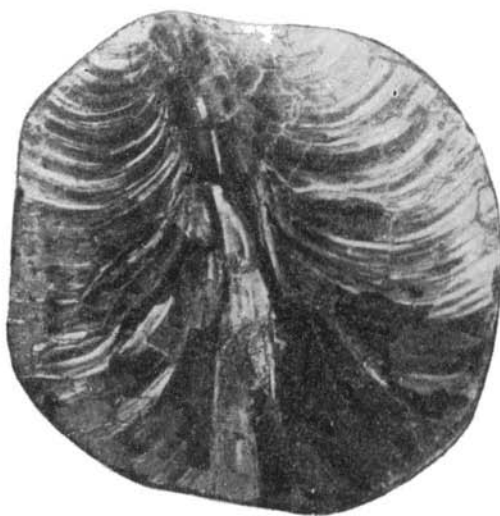
5a



3б



4



5б

# ТАБЛИЦА 31

Рис. 1. *Inoceramus tegulatus* H a g. ( $\times 2$ ).

Внешний вид. Татарская скв. 2-р; глубина 635,0—641,0 м. Маастрихт.

Рис. 2. *Pycnodonta cf. vesicularis* L a m. ( $\times 2$ ).

Левая створка снаружи. Рявкинская скв. 5-р; глубина 446,0—452,0 м. Маастрихт.

Рис. 3 а, б. *Pycnodonta* sp. ex gr. *vesicula, is* L a m.

а — левая створка изнутри; б — правая створка изнутри. Яковлевская скв. 1-р; глубина 380,5 м. Маастрихт.

Рис. 4 а, б, в. *Pycnodonta* sp. ex gr. *vesicularis* L a m.

а — левая створка снаружи; б — левая створка изнутри ( $\times 2$ ); в — ядро левой створки. Ларькская скв. 1-р, глубина 559,0—565,0 м. Маастрихт.

Рис. 5. *Terebratula cornea* S o w.

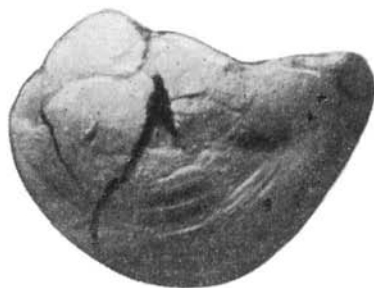
Внешний вид раковины, натуральная величина. Калининская скв. 1-в; глубина 250,9—261,75 м. Маастрихт.

Рис. 6. *Beblemnitella* aff. *lanceolata* S ch l o t h.

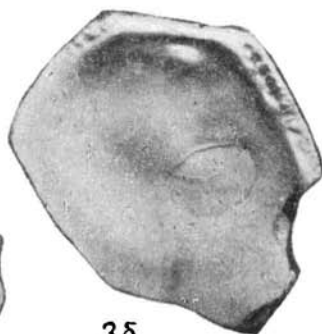
Внешний вид раковины, почти натуральная величина. Саргатская скв. 1-р; Глубина 652,7—658,7 м. Нижний маастрихт.



1



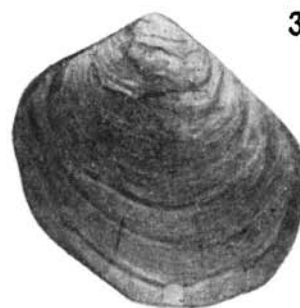
2



3δ



3α



4α



4β



6



5



4γ

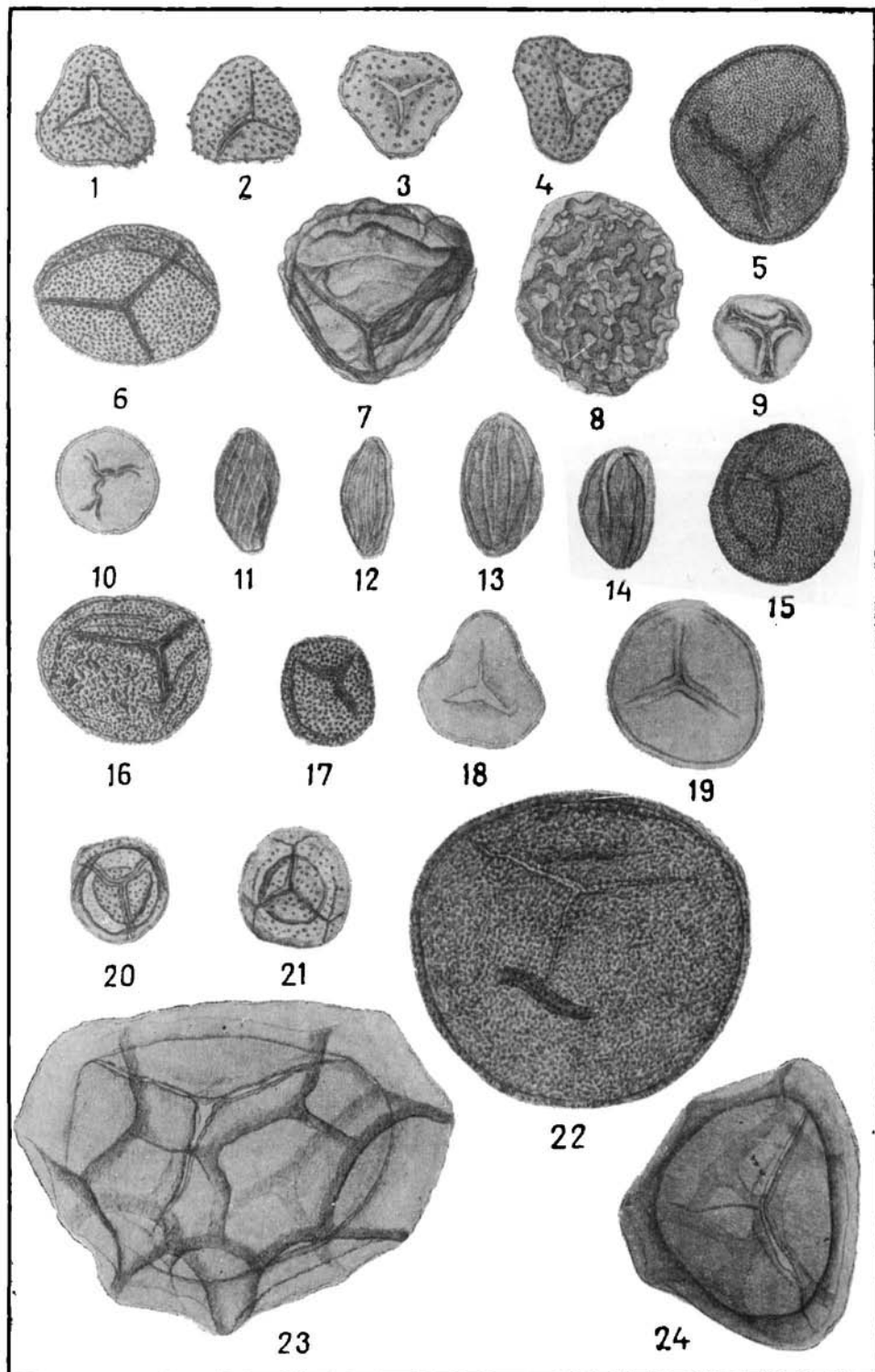
## ТАБЛИЦА 32

Спорово-пыльцевой комплекс рэт-лейаса Омской скв. 1-р

1. *Selaginella* sp.  $d = 40,8 \mu$ .
2. *Selaginella* sp.  $d = 35,6 \mu$ .
3. *Selaginella* sp.  $d = 37,7 \mu$ .
4. *Selaginella* sp.  $d = 41,3 \mu$ .
5. *Hymenophyllum* sp.  $d = 69,0 \mu$ .
6. *Hymenophyllum* sp.  $d = 60,6 \mu$ .
7. *Chomotriletes anagrammannensis* K—M.  $d = 65,9 \mu$ .
8. *Campotriletes* N a u m.  $d = 67,0 \mu$ .
9. *Cibotium* sp.  $d = 30,3 \mu$ .
10. *Cibotium* sp.  $d = 34,7 \mu$ .
11. *Schizaea* (?) дл.  $42,1 \mu$ , шир.  $21,9 \mu$ .
12. *Schizaea* (?) дл.  $42,1 \mu$ , шир.  $19,3 \mu$ .
13. *Schizaea* (?) дл.  $46,3 \mu$ , шир.  $28,3 \mu$ .
14. *Schizaea* (?) дл.  $40,8 \mu$ , шир.  $24,7 \mu$ .
15. *Osmunda* sp.  $d = 54,5 \mu$ .
16. *Osmunda* sp.  $d = 59,3 \mu$ .
17. *Osmunda* sp.  $d = 36,4 \mu$ .
18. *Leiotriletes* N a u m.  $d = 41,7 \mu$ .
19. *Stenozonotriletes* N a u m.  $d = 56,2 \mu$ .
20. *Chomotriletes* N a u m.  $d = 37,3 \mu$ .
21. *Chomotriletes* N a u m.  $d = 39,7 \mu$ .
22. *Lophotriletes* N a u m.  $d = 116,7 \mu$ .
23. Спора с кр. сеткой дл.  $142,8 \mu$ , шир.  $113,2 \mu$ .
24. Спора с кр. сеткой  $d = 94,5 \mu$ .

Все рис.  $\times 400$

Таблица 32

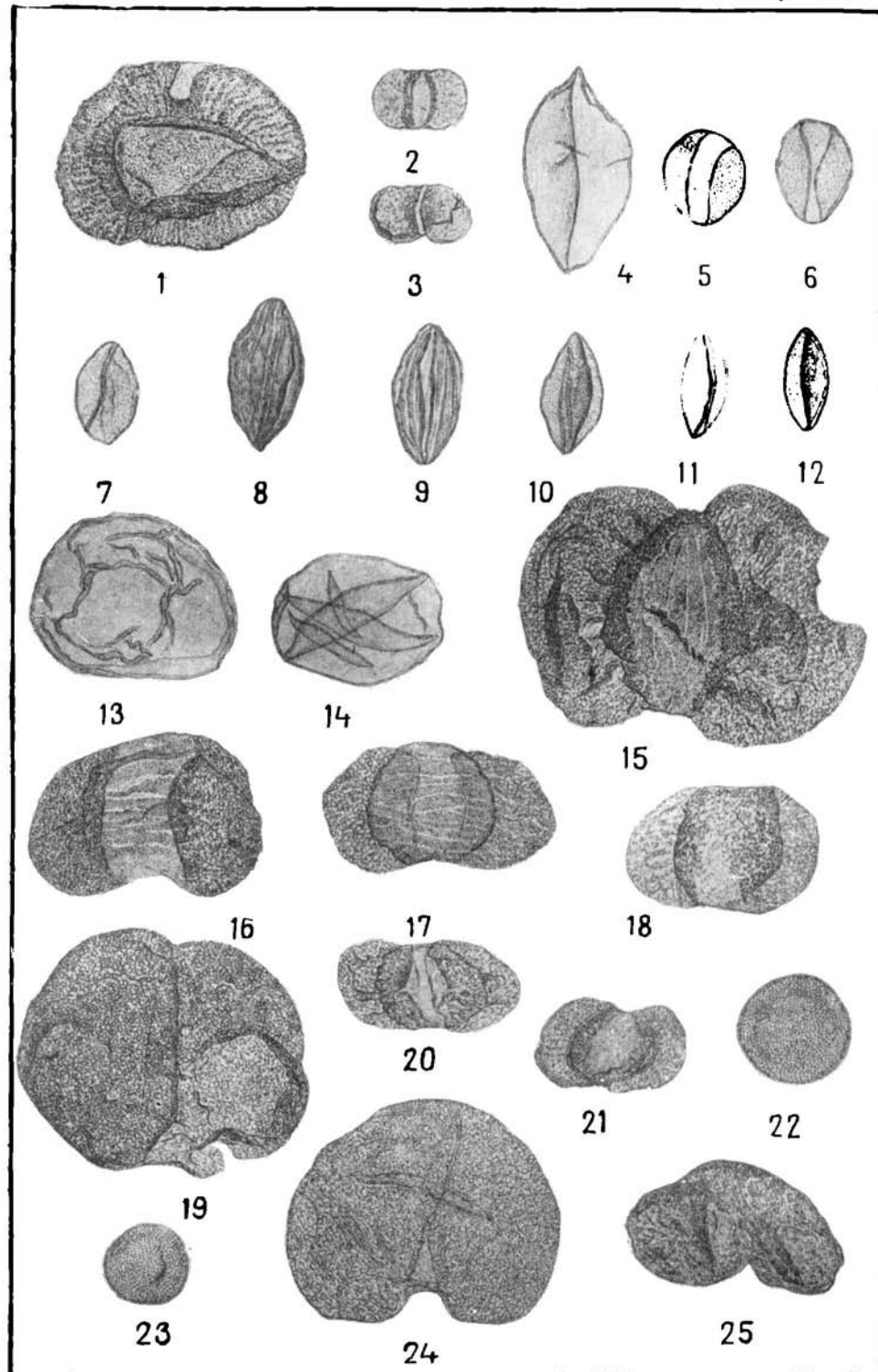


Спорово-пыльцевой комплекс рэт-лейаса Омской скв. 1-р.

1. *Cordaites* дл. 84,8  $\mu$ , шир. 63,3  $\mu$ .
2. *Caytonia oncodes* Наггіс дл. 29,9  $\mu$ , шир. 19,3  $\mu$ .
3. *Caytonia* дл. 31,6  $\mu$ , выс. т. 16,6  $\mu$ , выс. м. 20,8  $\mu$ .
4. *Bennettitales* дл. 72,0  $\mu$ , шир. 39,5  $\mu$ .
5. *Cycadaceae* дл. 34,5  $\mu$ , шир. 29,2  $\mu$ .
6. *Cycadaceae* дл. 35,8  $\mu$ , шир. 26,5  $\mu$ .
7. *Cycadaceae* дл. 32,5  $\mu$ , шир. 21,9  $\mu$ .
8. *Ginkgo* sp. дл. 52,9  $\mu$ , шир. 25,0  $\mu$ .
9. *Ginkgo* sp. дл. 47,4  $\mu$ , шир. 23,7  $\mu$ .
10. *Ginkgo* sp. дл. 42,4  $\mu$ , шир. 21,9  $\mu$ .
11. *Ginkgo* sp. дл. 35,1  $\mu$ , шир. 16,6  $\mu$ .
12. *Ginkgo* sp. дл. 34,0  $\mu$ , шир. 14,8  $\mu$ .
13. *Podozamites* дл. 70,5  $\mu$ , шир. 53,6  $\mu$ .
14. *Podozamites*  $d = 54,9 \mu$ .
15. *Striatopodocarpites* дл. 122,0  $\mu$ , выс. т. 70,7  $\mu$ , выс. м. 89,6  $\mu$ .
16. *Striatopinipites* дл. 80,8  $\mu$ , выс. т. 48,1  $\mu$ , выс. м. 51,4  $\mu$ .
17. *Striatopinipiles* дл. 79,1  $\mu$ , выс. т. 41,9  $\mu$ , выс. м. 45,2  $\mu$ .
18. *Coniferae* дл. 62,2  $\mu$ , шир. 41,3  $\mu$ .
19. *Coniferae* дл. 99,1  $\mu$ , шир. 80,4  $\mu$ .
20. *Coniferac* дл. 62,9  $\mu$ , выс. т. 29,2  $\mu$ , выс. м. 31,4  $\mu$ .
21. Тип *Podocarpus* дл. 51,6  $\mu$ , выс. т. 24,7  $\mu$ , выс. м. 30,9  $\mu$ .
22. *Agathis* sp.  $d = 39,4 \mu$ .
23. *Agathis* sp.  $d = 27,8 \mu$ .
24. Тип *Picea* дл. 93,4  $\mu$ , шир. 68,8  $\mu$ .
25. Тип *Cedrus* дл. 77,5  $\mu$ , шир. 34,3  $\mu$ .

Все фигуры  $\times 400$ .

Таблица 33



Спорово-пыльцевой комплекс средней юры Ларьякской скв. 1-р.

1. *Lycopodium tener* N a u m.  $d = 40,6 \mu$ .
2. *Lycopodium tener* N a u m.  $d = 34,7 \mu$ .
3. *Selaginella perfecta* N a u m.  $d = 37,3 \mu$ .
4. *Selaginella media* K—M.  $d = 34,5 \mu$ .
5. Cf. *Hymenophyllum*  $d = 32,5 \mu$ .
6. *Cibotium junctum* K—M.  $d = 31,4 \mu$ .
7. *Polyopodiaceae* дл.  $61,7 \mu$ , шир.  $41,7 \mu$ .
8. Cf. *Adiantum*  $d = 32,7 \mu$ .
9. *Gleichenia*  $d = 27,8 \mu$ .
10. *Gleichenia*  $d = 25,9 \mu$ .
11. *Gleichenia*  $d = 36,0 \mu$ .
12. *Chomotriletes anagra mmensis* K—M.  $d = 42,1 \mu$ .
13. *Lophotriletes* N a u m.  $d = 65,9 \mu$ .
14. *Lophotriletes* N a u m.  $d = 48,3 \mu$ .
15. *Osmundaceae* (?)  $d = 79,5 \mu$ .
16. *Osmunda* спора с крупн. шипами  $d = 52,0 \mu$ .
17. *Osmunda bulbosa typica* Mal.  $d = 56,9 \mu$ .
18. *Osmunda* спора с мелк. шипами  $d = 59,9 \mu$ .
19. *Osmunda* спора с мелк. шипами  $d = 48,9 \mu$ .
20. *Osmunda* спора с мелк. шипами  $d = 52,7 \mu$ .
21. *Osmunda* спора с мелк. шипами  $d = 49,4 \mu$ .
22. *Osmunda* спора с мелк. шипами  $d = 48,3 \mu$ .
23. *Osmunda* спора с мелк. шипами  $d = 32,7 \mu$ .
24. *Leiotriletes* N a u m.  $d = 84,3 \mu$ .
25. *Leiotriletes* N a u m.  $d = 72,5 \mu$ .
26. *Leiotriletes* N a u m.  $d = 74,7 \mu$ .
27. *Leiotriletes* N a u m.  $d = 65,9 \mu$ .
28. *Coniopteris divaricata* Ma l.  $d = 65,9 \mu$ .
29. *Leiotriletes* N a u m.  $d = 59,1 \mu$ .

Все фигуры  $\times 400$

Таблица 34

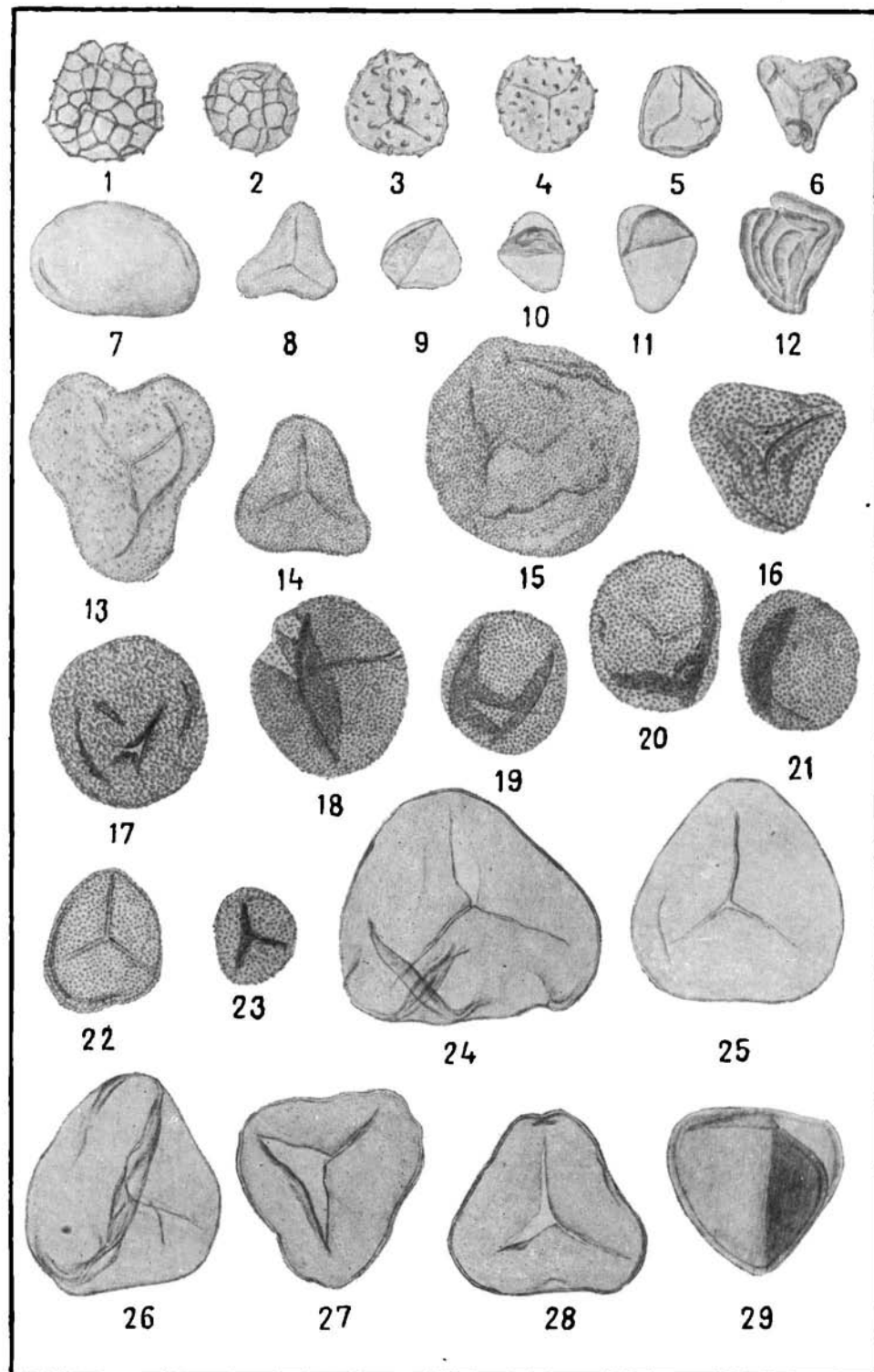
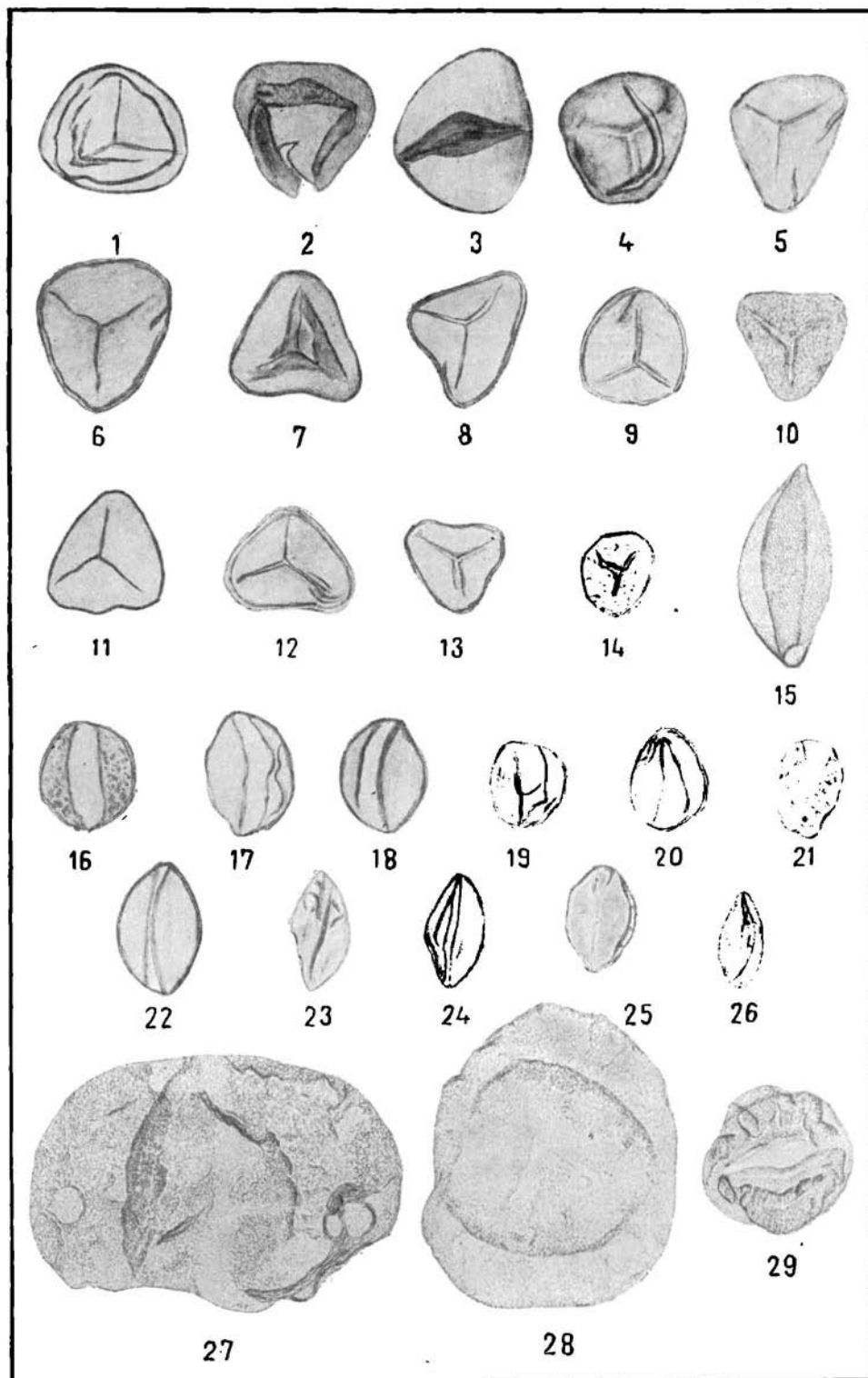


ТАБЛИЦА 35

Спорово-пыльцевой комплекс средней юры Ларьякской скв. 1-р.

1. *Leiotriletes* N a u m.  $d = 50,1 \mu$ .
2. *Leiotriletes* N a u m.  $d = 50,1 \mu$ .
3. *Leiotriletes* N a u m.  $d = 48,7 \mu$ .
4. *Leiotriletes* N a u m.  $d = 48,7 \mu$ .
5. *Leiotriletes* N a u m.  $d = 43,8 \mu$ .
6. *Leiotriletes* N a u m.  $d = 49,4 \mu$ .
7. *Leiotriletes* N a u m.  $d = 42,1 \mu$ .
8. *Leiotriletes* N a u m.  $d = 41,7 \mu$ .
9. *Leiotriletes* N a u m.  $d = 39,5 \mu$ .
10. *Leiotriletes* N a u m.  $d = 36,4 \mu$ .
11. *Leiotriletes* N a u m.  $d = 41,7 \mu$ .
12. *Leiotriletes* N a u m.  $d = 41,9 \mu$ .
13. *Leiotriletes* N a u m.  $d = 33,4 \mu$ .
14. *Filicales*  $d = 29,0 \mu$ .
15. *Bennettitales* дл. 76,4  $\mu$ , шир. 35,1  $\mu$ .
16. *Cycadaceae* дл. 37,5  $\mu$ , шир. 33,4  $\mu$ .
17. *Cycadaceae* дл. 43,8  $\mu$ , шир. 30,9  $\mu$ .
18. *Cycadaceae* дл. 39,3  $\mu$ , шир. 30,5  $\mu$ .
19. *Cycadaceae* дл. 30,7  $\mu$ , шир. 27,4  $\mu$ .
20. *Cycadaceae* дл. 35,3  $\mu$ , шир. 29,0  $\mu$ .
21. *Cycadaceae* дл. 33,6  $\mu$ , шир. 21,9  $\mu$ .
22. *Ginkgo* дл. 48,1  $\mu$ , шир. 29,6  $\mu$ .
23. *Ginkgo* дл. 41,0  $\mu$ , шир. 21,9  $\mu$ .
24. *Ginkgo* дл. 40,6  $\mu$ , шир. 21,9  $\mu$ .
25. *Ginkgo* дл. 35,1  $\mu$ , шир. 21,9  $\mu$ .
26. *Ginkgo* дл. 33,4  $\mu$ , шир. 17,1  $\mu$ .
27. *Picea* дл. 131,8  $\mu$ , шир. 87,9  $\mu$ .
28. *Coniferae* с возд. мешком вокруг тела дл. 109,9  $\mu$ , шир. 90,1  $\mu$ .
29. *Coniferae* с зачатками воздушных мешков дл. 52,9  $\mu$ , шир. 52,7  $\mu$ .

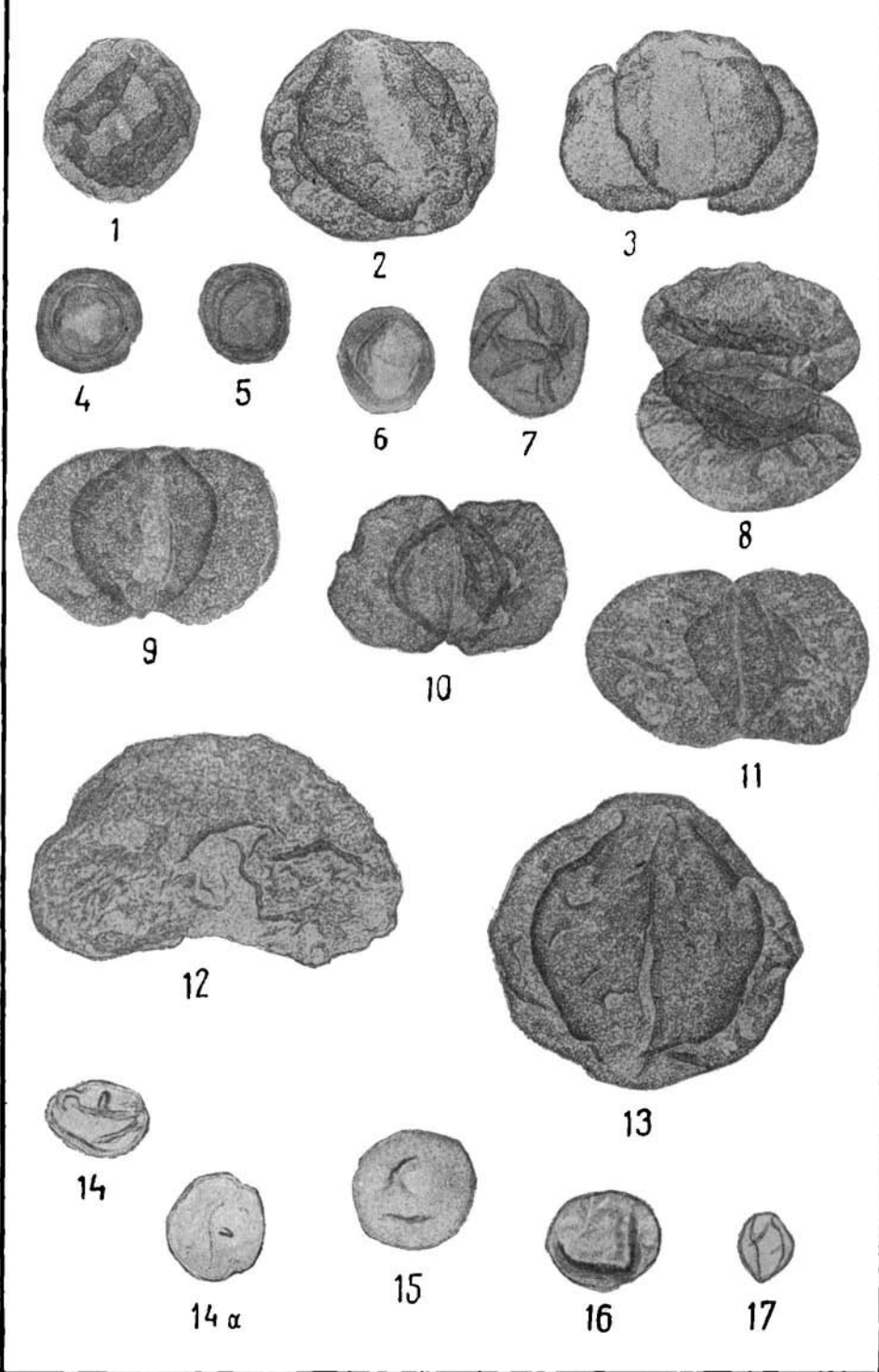
Все фигуры  $\times 400$



## ТАБЛИЦА 36

- Спорово-пыльцевой комплекс средней юры Ларьянской скв. 1-р.
1. *Coniferac* с зачатками воздушных мешков дл. 52,9  $\mu$ , шир. 50,4  $\mu$ .
  2. *Picea* дл. 80,6  $\mu$ , шир. 73,8  $\mu$ .
  3. *Pinus* sp. дл. 87,9  $\mu$ , выс. т. 57,3  $\mu$ , выс. м. 54,7  $\mu$ .
  4. *Brachyphyllum*  $d$  — 35,8  $\mu$ .
  5. *Brachyphyllum*  $d$  — 33,8  $\mu$ .
  6. *Brachyphyllum*  $d$  — 37,3  $\mu$ .
  7. Cf. *Podozamites*  $d$  — 47,4  $\mu$ .
  8. Тип *Podocarpus* дл. 90,9  $\mu$ , выс. т. 51,0  $\mu$ , выс. м. 73,8  $\mu$ .
  9. *Podocarpus* дл. 87,9  $\mu$ , выс. т. 57,0  $\mu$ , выс. м. 58,9  $\mu$ .
  10. *Podocarpus* дл. 81,5  $\mu$ , выс. т. 37,5  $\mu$ , выс. м. 49,2  $\mu$ .
  11. *Podocarpus* дл. 97,3  $\mu$ , выс. т. 50,5  $\mu$ , выс. м. 57,8  $\mu$ .
  12. Тип *Picea* дл. 123,9  $\mu$ , шир. 67,8  $\mu$ .
  13. Тип *Picea* дл. 105,5  $\mu$ , шир. 103,3  $\mu$ .
  14. *Taxodiaceae*  $d$  — 36,0  $\mu$ .
  - 14а. *Taxodiaceae*  $d$  — 36,0  $\mu$ .
  15. Cf. *Taxodiaceae*  $d$  — 40,6  $\mu$ .
  16. Cf. *Taxodiaceae*  $d$  — 39,1  $\mu$ .
  17. Cf. *Taxodiaceae* дл. 23,9  $\mu$ , шир. 19,5  $\mu$ .
- Все фигуры  $\times 400$

Таблица 36

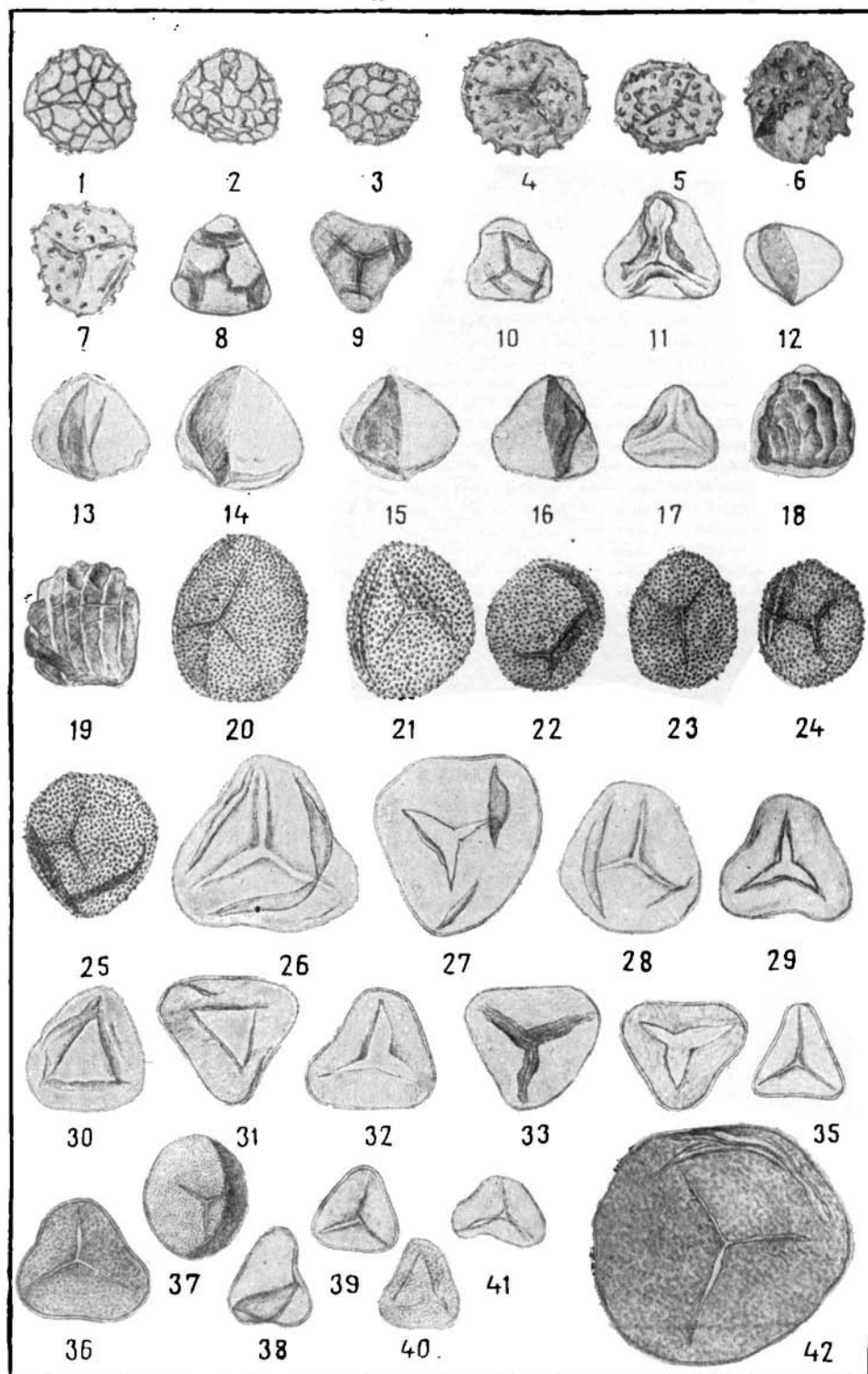


### ТАБЛИЦА 37

- Спорово-пыльцевой комплекс средней юры Колпашевской скв. 2-р
1. *Lycopodium tener* N a u m.  $d = 37,3 \mu$ .
  2. *Lycopodium tener* N a u m.  $d = 34,5 \mu$ .
  3. *Lycopodium tener* N a u m.  $d = 34,0 \mu$ .
  4. *Selaginella media* K—M  $d = 41,5 \mu$ .
  5. *Selaginella perfecta* N a u m.  $d = 36,9 \mu$ .
  6. *Selaginella perfecta* N a u m.  $d = 38,9 \mu$ .
  7. *Selaginella media* K—M  $d = 34,7 \mu$ .
  8. *Cibotium junctum* K—M  $d = 32,5 \mu$ .
  9. *Cibotium junctum* K—M  $d = 30,7 \mu$ .
  10. *Cibotium junctum* K—M  $d = 27,6 \mu$ .
  11. *Gleicheniaceae*  $d = 37,5 \mu$ .
  12. *Gleichenia* sp.  $d = 34,9 \mu$ .
  13. *Gleichenia* sp.  $d = 42,1 \mu$ .
  14. *Hausmannia alata* K—M  $d = 41,3 \mu$ .
  15. *Coniopteris* aff. *tajmyrensis* K—M дл. — 39,5  $\mu$ , шир. 31,8  $\mu$ .
  16. *Gleichenia*  $d = 34,7 \mu$ .
  17. *Gleichenia stellata* B o l c h.  $d = 30,7 \mu$ .
  18. *Chomotriletes anagrammensis* K—M  $d = 39,1 \mu$ .
  19. *Chomotriletes anagrammensis* K—M  $d = 40,2 \mu$ .
  20. *Osmunda*  $d = 58,0 \mu$ .
  21. *Osmunda* sp.  $d = 54,5 \mu$ .
  22. *Osmunda* sp.  $d = 45,4 \mu$ .
  23. *Osmunda* sp. дл. 48,1  $\mu$ , шир. 23,7  $\mu$ .
  24. *Osmunda* sp.  $d = 39,5 \mu$ .
  25. *Osmunda* sp.  $d = 48,7 \mu$ .
  26. *Leiotriletes tenuis* M a l.  $d = 58,2 \mu$ .
  27. *Leiotriletes* N a u m.  $d = 60,6 \mu$ .
  28. *Leiotriletes tenuis* M a l.  $d = 54,5 \mu$ .
  29. *Leiotriletes* N a u m.  $d = 41,3 \mu$ .
  30. *Coniopteris tajmyrensis* K—M  $d = 41,7 \mu$ .
  31. *Coniopteris tajmyrensis* K—M  $d = 43,8 \mu$ .
  32. *Leiotriletes* N a u m.  $d = 42,8 \mu$ .
  33. *Leiotriletes turgidormosus* K—M  $d = 41,7 \mu$ .
  34. *Coniopteris divaricata* M a l.  $d = 39,3 \mu$ .
  35. *Leiotriletes* N a u m.  $d = 30,0 \mu$ .
  36. *Leiotriletes* N a u m.  $d = 43,8 \mu$ .
  37. *Leiotriletes* N a u m.  $d = 43,8 \mu$ .
  38. *Leiotriletes* N a u m.  $d = 33,8 \mu$ .
  39. *Leiotriletes* N a u m.  $d = 29,9 \mu$ .
  40. *Lophotriletes* N a u m.  $d = 26,3 \mu$ .
  41. *Lophotriletes* N a u m.  $d = 26,3 \mu$ .
  42. *Stenozonotriletes* N a u m.  $d = 90,9 \mu$ .

Все фигуры  $\times 400$

Таблица 37



# ТАБЛИЦА 38

Спорово-пыльцевой комплекс средней юры Колпашевской скв. 2-р

1. *Bennettitales* дл. 70,3  $\mu$ , шир. 43,8  $\mu$ .
2. *Bennettitales* дл. 65,9  $\mu$ , шир. 39,7  $\mu$ .
3. *Bennettitales* дл. 75,8  $\mu$ , шир. 32,0  $\mu$ .
4. *Bennettitales* дл. 61,3  $\mu$ , шир. 35,1  $\mu$ .
5. *Bennettitales* дл. 52,3  $\mu$ , шир. 33,4  $\mu$ .
6. *Bennettitales* дл. 61,1  $\mu$ , шир. 27,8  $\mu$ .
7. *Cycadaceae* дл. 41,3  $\mu$ , шир. 30,9  $\mu$ .
8. *Cycadaceae* дл. 35,1  $\mu$ , шир. 27,4  $\mu$ .
9. *Cycadaceae* дл. 39,3  $\mu$ , шир. 25,9  $\mu$ .
10. *Ginkgoaceae* дл. 50,1  $\mu$ , шир. 27,6  $\mu$ .
11. *Ginkgoaceae* дл. 44,3  $\mu$ , шир. 24,7  $\mu$ .
12. *Ginkgoaceae* дл. 41,5  $\mu$ , шир. 23,7  $\mu$ .
13. *Ginkgoaceae* дл. 43,8  $\mu$ , шир. 21,9  $\mu$ .
14. *Ginkgoaceae* дл. 45,4  $\mu$ , шир. 21,9  $\mu$ .
15. *Ginkgoaceae* дл. 40,6  $\mu$ , шир. 21,9  $\mu$ .
16. *Ginkgoaceae* дл. 37,7  $\mu$ , шир. 20,0  $\mu$ .
17. *Ginkgoaceae* дл. 36,0  $\mu$ , шир. 21,9  $\mu$ .
18. *Ginkgoaceae* дл. 38,4  $\mu$ , шир. 21,9  $\mu$ .
19. *Ginkgoaceae* дл. 39,1  $\mu$ , шир. 17,5  $\mu$ .
20. *Ginkgoaceae* дл. 30,2  $\mu$ , шир. 20,0  $\mu$ .
21. *Ginkgoaceae* aff. *parva* Н а и т дл. 32,7  $\mu$ , шир. 16,9  $\mu$ .
22. *Coniferae* дл. 168,5  $\mu$ , шир. 118,2  $\mu$ .
23. *Picea* sp. дл. 114,9  $\mu$ , шир. 87,9  $\mu$ .
24. *Picea* sp. дл. 116,9  $\mu$ , шир. 87,9  $\mu$ .
25. *Picea* sp. дл. 112,0  $\mu$ , шир. 94,5  $\mu$ .
26. *Pinus* sp. дл. 65,9  $\mu$ , выс. т. 50,3  $\mu$ , выс. м. 41,0  $\mu$ .
27. *Pinus* sp. дл. 62,8  $\mu$ , выс. т. 37,7  $\mu$ , выс. м. 39,7  $\mu$ .
28. *Pinus* sp. дл. 68,0  $\mu$ , выс. т. 43,8  $\mu$ , выс. м. 46,5  $\mu$ .

Все фигуры  $\times 400$

Таблица 38

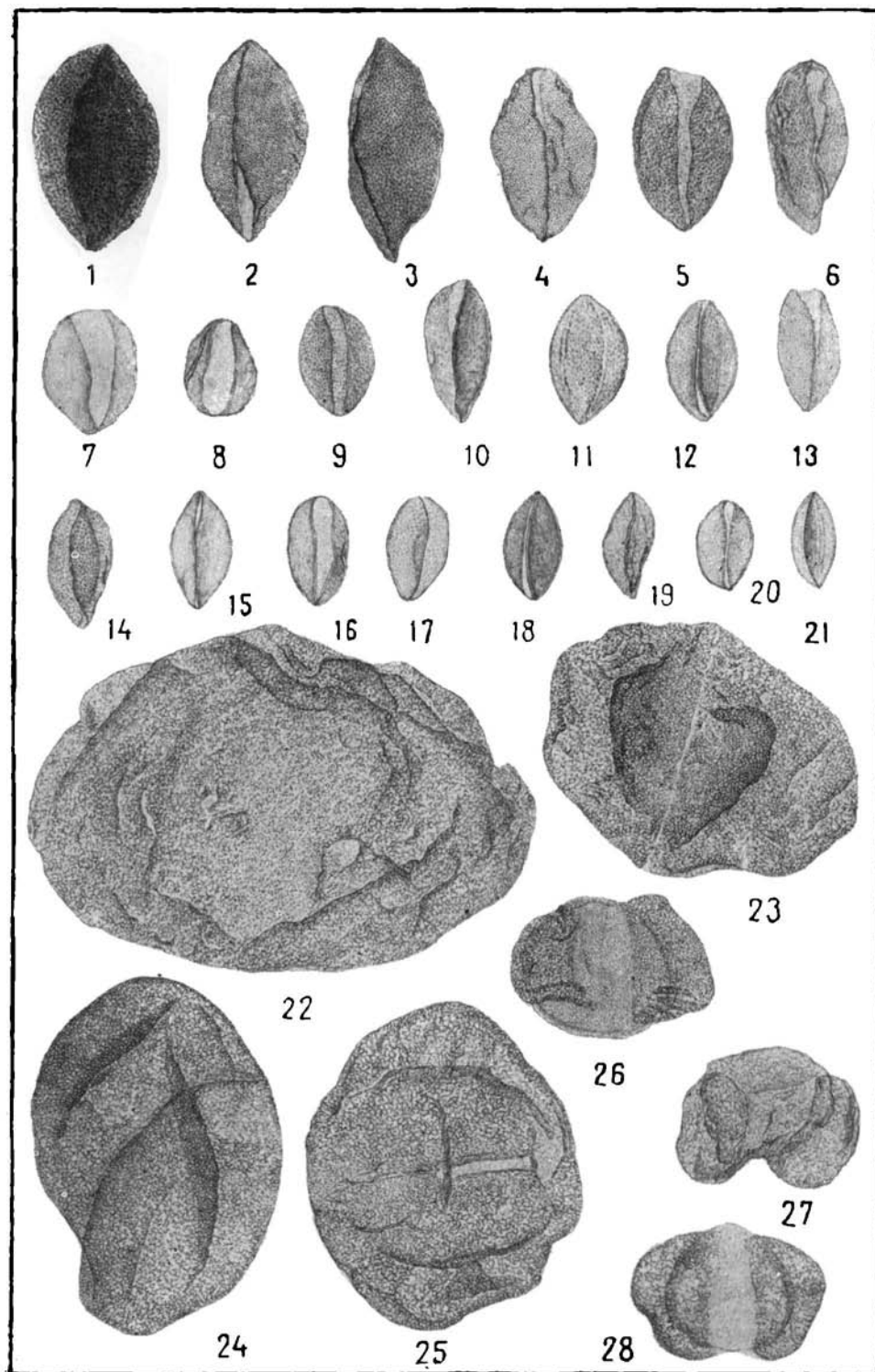


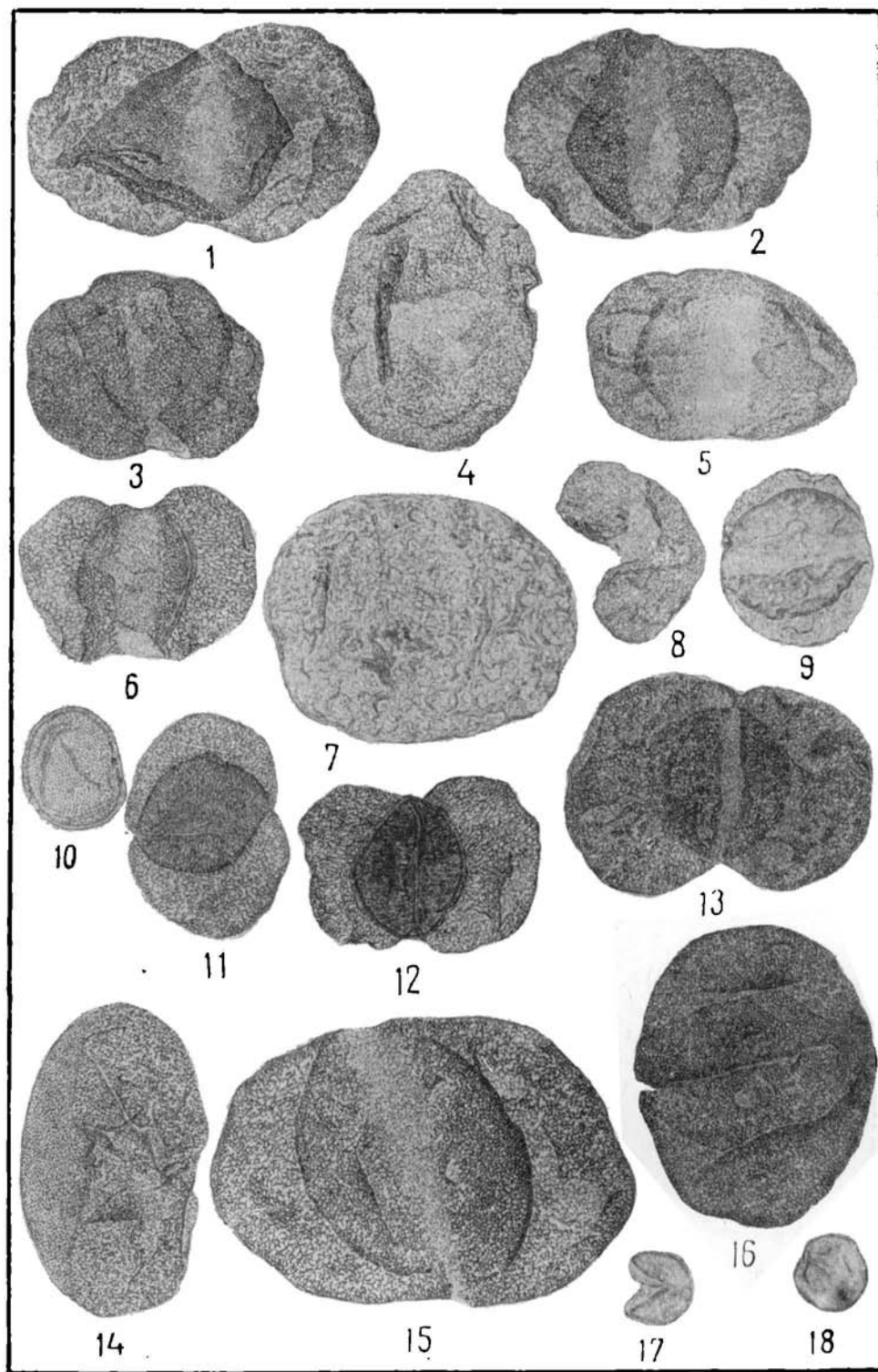
ТАБЛИЦА 39

Спорово-пыльцевой комплекс средней юры Колпашевской скв. 2-р

1. *Coniferaeae* дл. 112,5  $\mu$ , выс. т. 54,2  $\mu$ , выс. м. 71,2  $\mu$ .
2. *Picea* sp. дл. 100,6  $\mu$ , выс. т. 65,9  $\mu$ , выс. м. 69,0  $\mu$ .
3. *Coniferaeae* дл. 80,2  $\mu$ , шир. 62,4  $\mu$ .
4. *Coniferaeae* дл. 126,0  $\mu$ , шир. 71,6  $\mu$ .
5. *Picea* sp. дл. 94,7  $\mu$ , шир. 60,6  $\mu$ .
6. *Coniferaeae* дл. 83,9  $\mu$ , выс. т. 52,0  $\mu$ , выс. м. 60,0  $\mu$ .
7. *Coniferaeae* дл. 109,9  $\mu$ , шир. 86,3  $\mu$ .
8. Тип *Cedrus* дл. 65,9  $\mu$ , шир. 36,7  $\mu$ .
9. *Piceipites flacciformis* M a 1. дл. 65,5  $\mu$ , выс. т. 53,3  $\mu$ , выс. м. 54,9  $\mu$ .
10. *Brachyphyllum* d — 38,4  $\mu$ .
11. *Podocarpus* дл. 80,2  $\mu$ , выс. т. 47,2  $\mu$ , выс. м. 57,1  $\mu$ .
12. *Podocarpus* дл. 82,6  $\mu$ , выс. т. 49,6  $\mu$ , выс. м. 62,9  $\mu$ .
13. *Podocarpus* дл. 103,3  $\mu$ , выс. т. 51,4  $\mu$ , выс. м. 80,2  $\mu$ .
14. *Picea* sp. дл. 109,9  $\mu$  шир. 65,9  $\mu$ .
15. *Picea* sp. дл. 142,8  $\mu$ , шир. 97,9  $\mu$ .
16. *Picea* sp. дл. 97,7  $\mu$ , шир. 80,8  $\mu$ .
17. Cf. *Taxodiaceae* d — 25,6  $\mu$ .
18. Cf. *Taxodiaceae* d — 26,7  $\mu$ .

Все фигуры  $\times 400$

Таблица 39



16\*

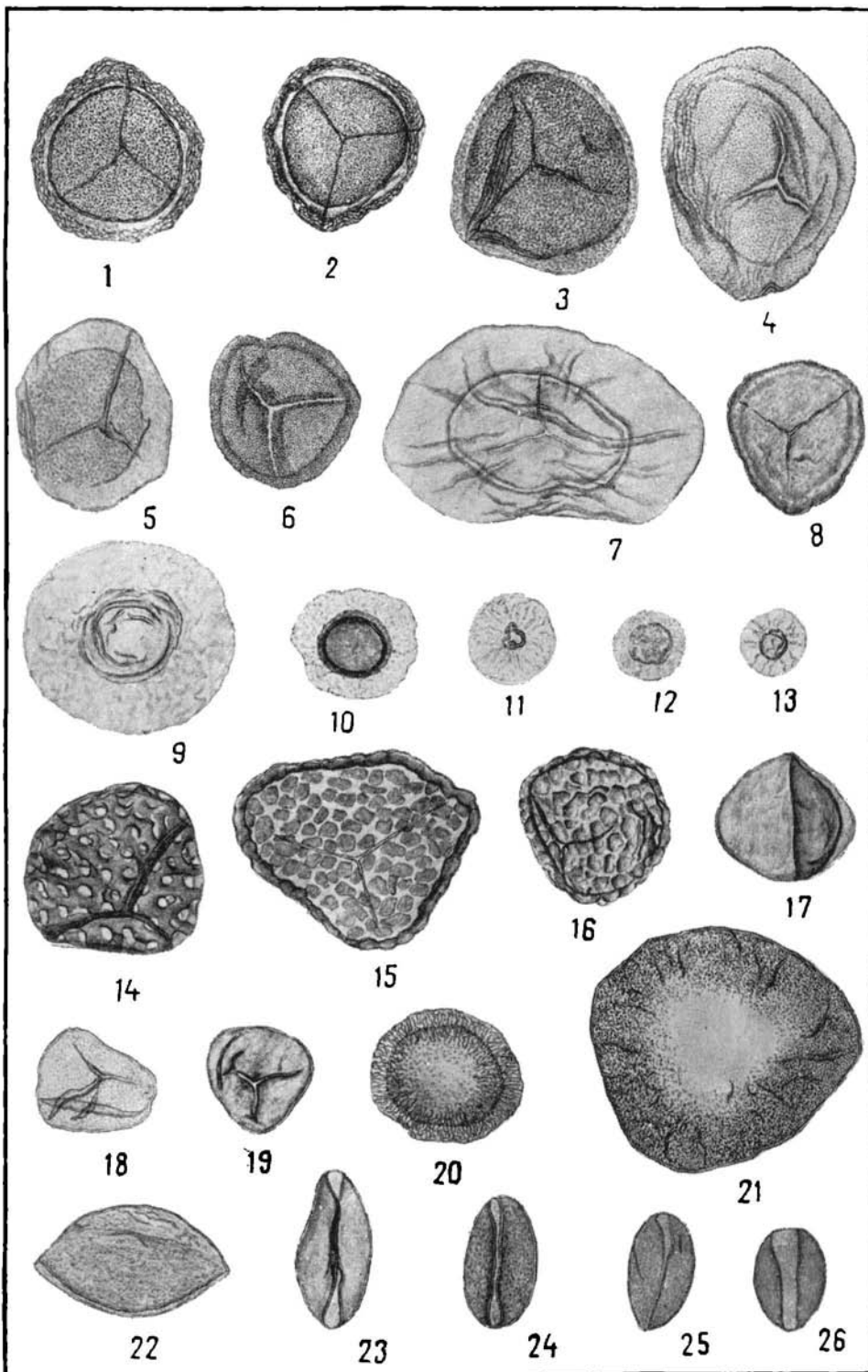
# ТАБЛИЦА 40

Споро-пыльцевой комплекс верхней юры Ларыкской скв. 1-р

1. *Selaginella* «а»  $d = 61,5 \mu$ .
2. *Selaginella* «а»  $d = 59,7 \mu$ .
3. *Selaginella*  $d = 71,8 \mu$ .
4. *Selaginella*  $d = 87,9 \mu$ .
5. *Selaginella*  $d = 60,4 \mu$ .
6. *Selaginella*  $d = 54,5 \mu$ .
7. *Selaginella*  $d = 111,0 \mu$ .
8. *Selaginella*  $d = 52,0 \mu$ .
9. *Selaginella* (споры) с пленчатым периспорием  $d = 73,1 \mu$ .
10. *Selaginella* (споры) с пленчатым периспорием  $d = 43,8 \mu$ .
11. *Selaginella* (?) спора с пленчатым периспорием  $d = 256 \mu$ .
12. *Selaginella* (?) спора с пленчатым периспорием  $d = 25,9 \mu$ .
13. *Selaginella* (?) спора с пленчатым периспорием  $d = 21,9 \mu$ .
14. *Brocchotriletes vulgaris* Naum.  $d = 63,3 \mu$ .
15. *Dicksonia arborescens* L'Herit.  $d = 81,0 \mu$ .
16. *Dicksonia*  $d = 54,7 \mu$ .
17. *Hausmannia alata* K-M  $d = 43,8 \mu$ .
18. *Leiotriletes* Naum.  $d = 40,6 \mu$ .
19. *Leiotriletes* Naum.  $d = 35,1 \mu$ .
20. *Cordaites* дл. 53,6  $\mu$ , шир. 43,8  $\mu$ .
21. Cf. *Cordaites*  $d = 99,7 \mu$ .
22. *Bennettitales* дл. 68,5  $\mu$ , шир. 39,3  $\mu$ .
23. *Bennettitales* дл. 55,3  $\mu$ , шир. 27,2  $\mu$ .
24. *Cycadaceae* дл. 43,8  $\mu$ , шир. 23,5  $\mu$ .
25. *Cycadaceae* дл. 42,1  $\mu$ , шир. 23,9  $\mu$ .
26. *Cycadaceae* дл. 35,8  $\mu$ , шир. 25,9  $\mu$ .

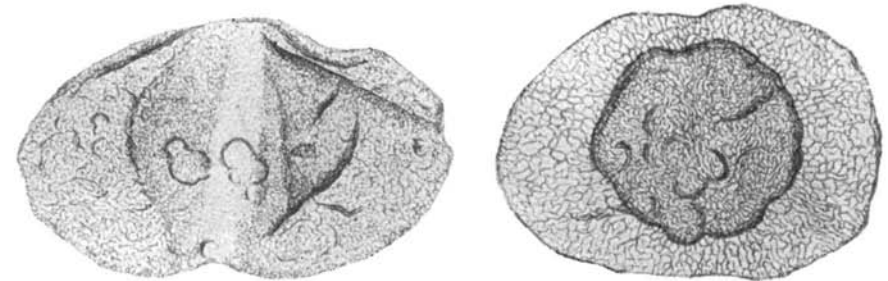
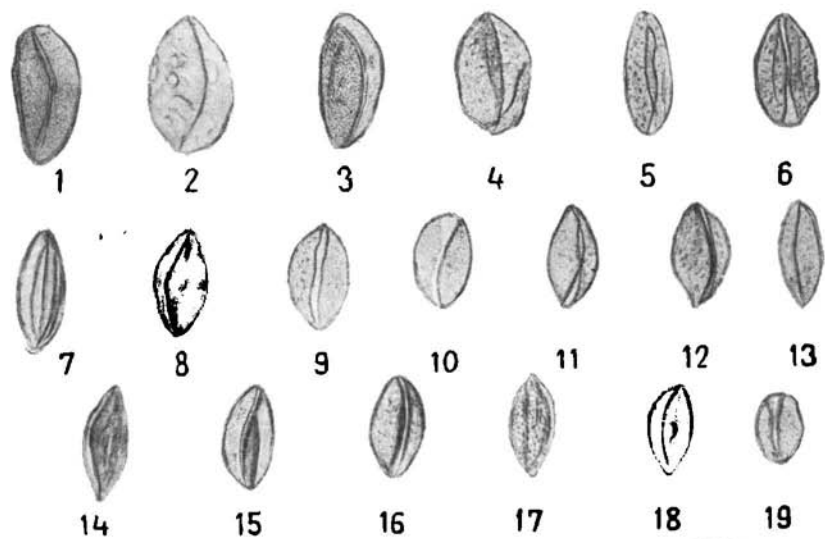
Все рис.  $\times 400$

Таблица 40



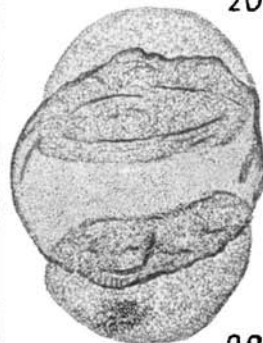
- Спорово-пыльцевой комплекс верхней юры Ларьянской скв. 1-р
1. *Ginkgo* дл. 44,6  $\mu$ , шир. 21,9  $\mu$ .
  2. *Ginkgo* дл. 43,8  $\mu$ , шир. 27, 4  $\mu$ .
  3. *Ginkgo* дл. 43,8  $\mu$ , шир. 21,9  $\mu$ .
  4. *Ginkgo* дл. 38,3  $\mu$ , шир. 24,3  $\mu$ .
  5. *Ginkgo* дл. 39,5  $\mu$ , шир. 15,2  $\mu$ .
  6. *Ginkgo* дл. 34,5  $\mu$ , шир. 20,0  $\mu$ .
  7. *Ginkgo* дл. 39,3  $\mu$ , шир. 15,4  $\mu$ .
  8. *Ginkgo* дл. 33,6  $\mu$ , шир. 18,1  $\mu$ .
  9. *Ginkgo* дл. 32,7  $\mu$ , шир. 19,1  $\mu$ .
  10. *Ginkgo* дл. 29,2  $\mu$ , шир. 18,6  $\mu$ .
  11. *Ginkgo* дл. 32,2  $\mu$ , шир. 16,9  $\mu$ .
  12. *Ginkgo* дл. 34,7  $\mu$ , шир. 20,6  $\mu$ .
  13. *Ginkgo* дл. 32,5  $\mu$ , шир. 14,8  $\mu$ .
  14. *Ginkgo* дл. 34,0  $\mu$ , шир. 12,0  $\mu$ .
  15. *Ginkgo* дл. 33,4  $\mu$  шир. 17,3  $\mu$ .
  16. *Ginkgo* дл. 31,8  $\mu$ , шир. 16,4  $\mu$ .
  17. *Ginkgo* дл. 32,0  $\mu$ , шир. 16,0  $\mu$ .
  18. *Ginkgo* дл. 29,0  $\mu$ , шир. 14,3  $\mu$ .
  19. *Ginkgo* дл. 22,0  $\mu$ , шир. 15,2  $\mu$ .
  20. *Picea* дл. 131,8  $\mu$ , выс. т. 73,1  $\mu$ , выс. м. 73,1  $\mu$ .
  21. *Coniferae* с возд. мешк. вокруг тела дл. 119,7  $\mu$ , шир. 84,8  $\mu$ .
  22. *Abies* дл. 109,9  $\mu$ , выс. т. 79,1  $\mu$ , выс. м. 65,9  $\mu$ .
  23. *Coniferae* дл. 102,0  $\mu$ , выс. т. 87,9  $\mu$ , выс. м. 65,9  $\mu$ .
  24. *Coniferae* дл. 93,6  $\mu$ , шир. 83,9  $\mu$ .
  25. *Picea* дл. 87,9  $\mu$ , шир. 65,9  $\mu$ .
  26. *Coniferae* дл. 84,3  $\mu$ , выс. т. 62,9  $\mu$ , выс. м. 63,7  $\mu$ .
  27. *Pinus* дл. 73,8  $\mu$ , шир. 53,1  $\mu$ .
- Все рис.  $\times 400$

Таблица 41



20

21



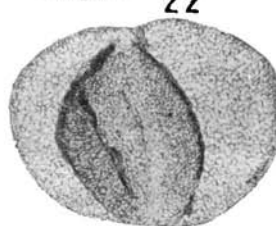
22



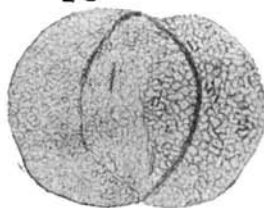
23



24



25



26



27

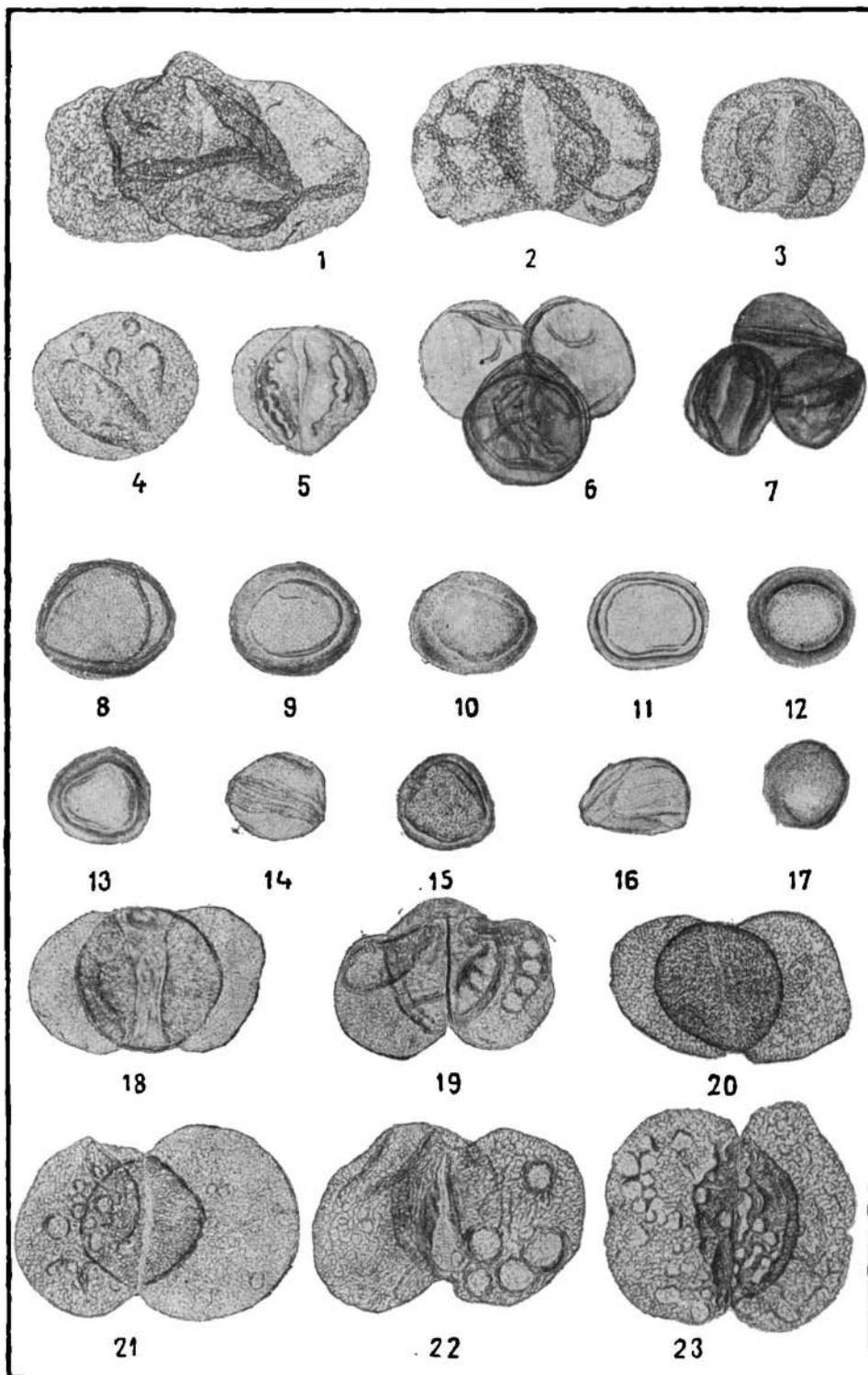
## ТАБЛИЦА 42

Спорово-пыльцевой комплекс верхней юры Ларьякской скв. 1 р

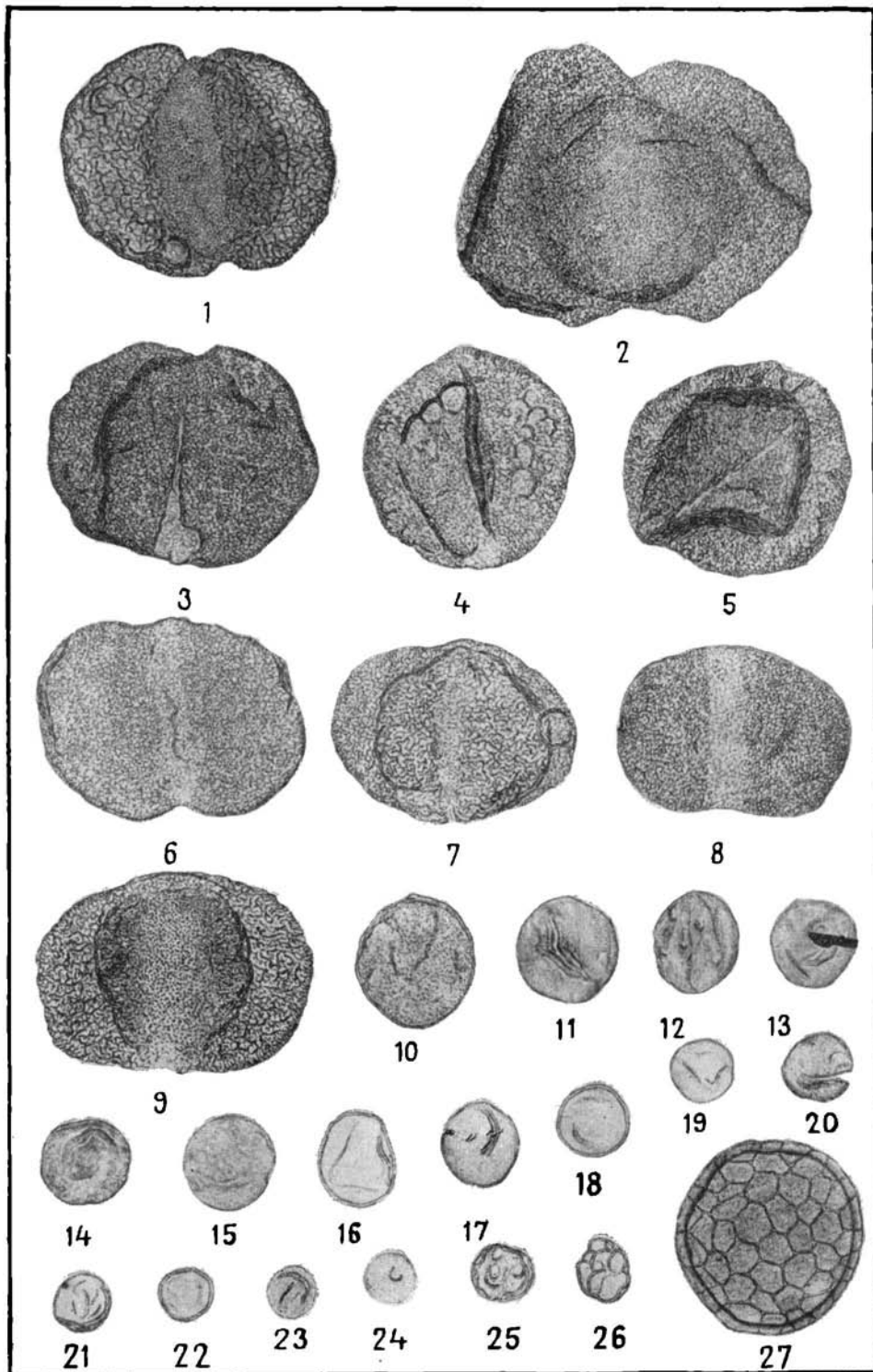
1. *Coniferae* дл. 113,8  $\mu$ , выс. т. 65,9  $\mu$ , выс. м. 55,3  $\mu$ .
2. *Coniferae* дл. 90,3  $\mu$ , выс. т. 73,6  $\mu$ , выс. м. 51,9  $\mu$ .
3. *Coniferae* дл. 59,1  $\mu$ , шир. 49,6  $\mu$ .
4. *Coniferae* дл. 56,4  $\mu$ , шир. 51,8  $\mu$ .
5. *Pinus* sp. дл. 48,3  $\mu$ , шир. 43,8  $\mu$ .
6. *Tetrada Brachyphyllum*  $d$  — 48,3  $\mu$ .
7. *Tetrada Brachyphyllum*  $d$  — 38,0  $\mu$ .
8. *Brachyphyllum* дл. 47,8  $\mu$ , шир. 42,1  $\mu$ .
9. *Brachyphyllum*  $d$  — 43,8  $\mu$ .
10. *Brachyphyllum*  $d$  — 41,3  $\mu$ .
11. *Brachyphyllum* дл. 43,8  $\mu$ , шир. 32,7  $\mu$ .
12. *Brachyphyllum*  $d$  — 37,5  $\mu$ .
13. *Brachyphyllum*  $d$  — 34,5  $\mu$ .
14. *Brachyphyllum*  $d$  — 34,5  $\mu$ .
15. *Brachyphyllum*  $d$  — 32,9  $\mu$ .
16. *Brachyphyllum*  $d$  — 41,3  $\mu$ .
17. *Brachyphyllum*  $d$  — 32,7  $\mu$ .
18. *Podocarpus* дл. 80,8  $\mu$ , выс. т. 51,0  $\mu$ , выс. м. 49,4  $\mu$ .
19. *Podocarpus* дл. 79,3  $\mu$ , выс. т. 43,8  $\mu$ , выс. м. 47,2  $\mu$ .
20. *Podocarpus* дл. 82,4  $\mu$ , выс. т. 43,0  $\mu$ , выс. м. 47,4  $\mu$  и 50,5  $\mu$ .
21. *Podocarpus* дл. 101,3  $\mu$ , выс. т. 49,4  $\mu$ , выс. м. 71,4  $\mu$ .
22. *Podocarpus* дл. 97,5  $\mu$ , выс. т. 55,1  $\mu$ , выс. м. 65,9  $\mu$ .
23. *Podocarpus* дл. 89,0  $\mu$ , выс. т. 57,1  $\mu$ , выс. м. 79,5  $\mu$ .

Все рис.  $\times 400$

Таблица 42



- Споро-пыльцевой комплекс верхней юры Ларьянской скв. 1-р
1. Тип *Podocarpus* sp. дл. 98,9  $\mu$ , выс. м. 71,2  $\mu$ , выс. м. 81,3  $\mu$ .
  2. Тип *Podocarpus* sp. дл. 118,6  $\mu$ , выс. т. 71,2  $\mu$ , выс. м. 102,2  $\mu$ .
  3. Тип *Picea* sp. дл. 96,4  $\mu$ , шир. 72,5  $\mu$ .
  4. Тип *Picea* sp. дл. 79,0  $\mu$ , шир. 76,9  $\mu$ .
  5. Тип *Picea* sp. дл. 76,2  $\mu$ , шир. 76,8  $\mu$ .
  6. Тип *Picea* sp. дл. 96,2  $\mu$ , шир. 65,9  $\mu$ .
  7. Тип *Picea* sp. дл. 85,7  $\mu$ , шир. 63,7  $\mu$ .
  8. Тип *Picea* sp. дл. 80,2  $\mu$ , шир. 54,0  $\mu$ .
  9. Тип *Cedrus* sp. дл. 97,5  $\mu$ , шир. 71,4  $\mu$ .
  10. Cf. *Taxodiaceae* d — 43,4  $\mu$ .
  11. Cf. *Taxodiaceae* d — 37,7  $\mu$ .
  12. Cf. *Taxodiaceae* d — 33,8  $\mu$ .
  13. Cf. *Taxodiaceae* d — 28,5  $\mu$ .
  14. Cf. *Taxodiaceae* d — 33,2  $\mu$ .
  15. Cf. *Taxodiaceae* d — 32,1  $\mu$ .
  16. Cf. *Taxodiaceae* d — 33,8  $\mu$ .
  17. Cf. *Taxodiaceae* d — 29,4  $\mu$ .
  18. Cf. *Taxodiaceae* d — 24,1  $\mu$ .
  19. Cf. *Taxodiaceae* d — 21,9  $\mu$ .
  20. Cf. *Taxodiaceae* d — 23,9  $\mu$ .
  21. Неопр. зерно d — 21,9  $\mu$ .
  22. Неопр. зерно d — 20,4  $\mu$ .
  23. Неопр. зерно d — 16,4  $\mu$ .
  24. Неопр. зерно d — 17,7  $\mu$ .
  25. Неопр. зерно с пузырями d — 20,0  $\mu$ .
  26. Неопр. зерно с пузырями d — 23,5  $\mu$ .
  27. Неопр. зерно с крупн. сеткой d — 68,5  $\mu$ .
- Все рис.  $\times 400$

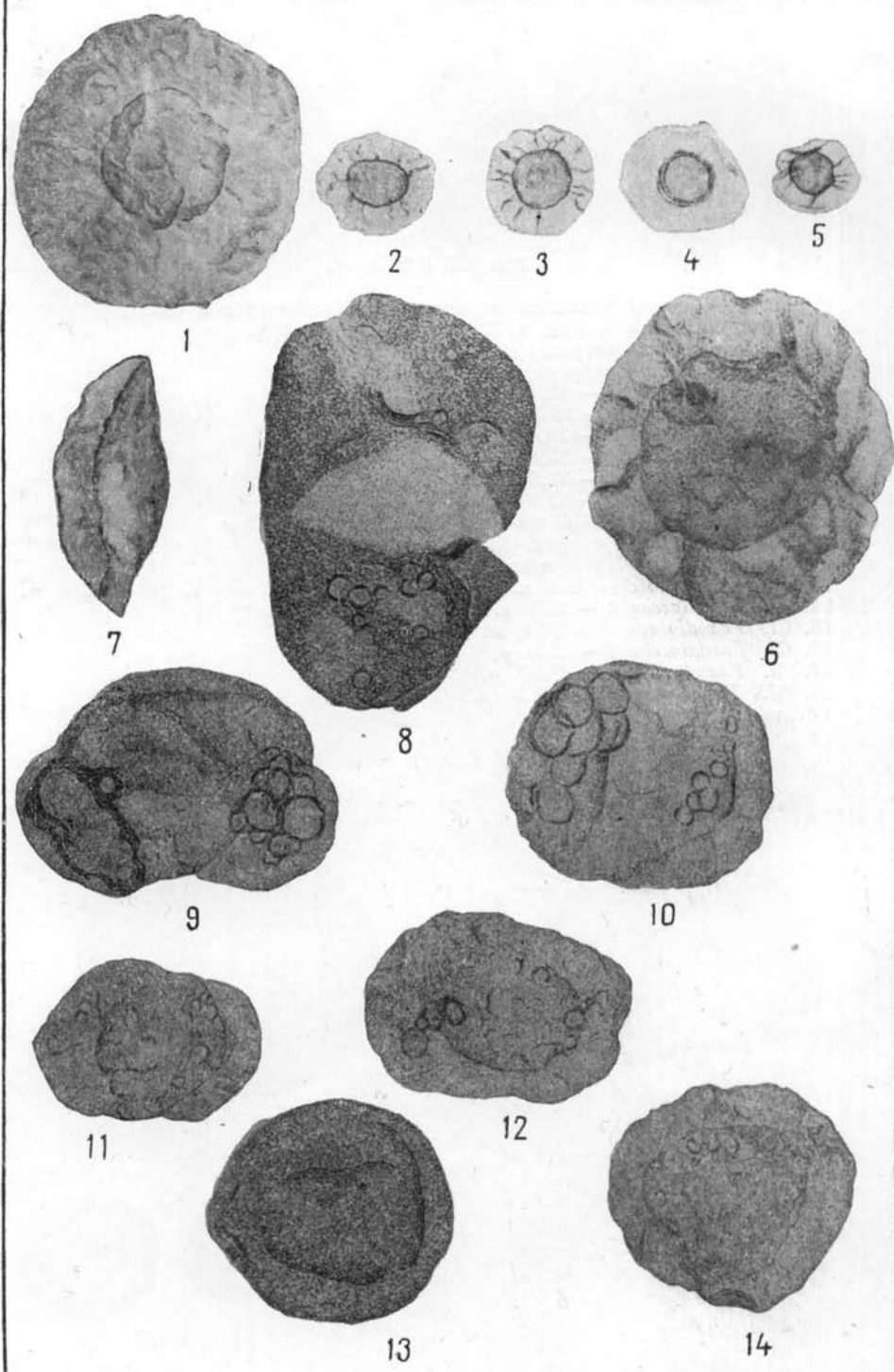


Спорово-пыльцевой комплекс верхней юры Колпашевской скв. 2-р.

1. *Selaginella* (споры) с плотным периспорием  $d = 93,1 \mu$ .
2. *Selaginella* (споры) с пленчатым периспорием  $d = 35,1 \mu$ .
3. *Selaginella* (?) спора с пленчатым периспорием  $d = 37,7 \mu$ .
4. *Selaginella* (?) спора с пленчатым периспорием  $d = 41,5 \mu$ .
5. *Selaginella* (?) спора с пленчатым периспорием  $d = 24,5 \mu$ .
6. *Selaginella* спора с плотным периспорием (?)  $d = 109,9 \mu$ .
7. *Bennettitales* дл.  $87,9 \mu$ , шир.  $58,3 \mu$ .
8. *Coniferae* дл.  $131,8 \mu$ , шир.  $79,3 \mu$ .
9. *Coniferae* дл.  $102,0 \mu$ , шир.  $65,9 \mu$ .
10. *Coniferae* дл.  $87,9 \mu$ , шир.  $71,8 \mu$ .
11. *Coniferae* дл.  $76,9 \mu$ , выс. т.  $49,4 \mu$ , выс. м.  $55,1 \mu$ .
12. *Coniferae* дл.  $81,7 \mu$ , шир.  $58,4 \mu$ .
13. *Coniferae* с мешк. вокруг тела дл.  $78,0 \mu$ , шир.  $72,9 \mu$ .
14. *Coniferae* с мешк. вокруг тела дл.  $85,7 \mu$ , шир.  $76,6 \mu$ .

Все рис.  $\times 400$

Таблица 44



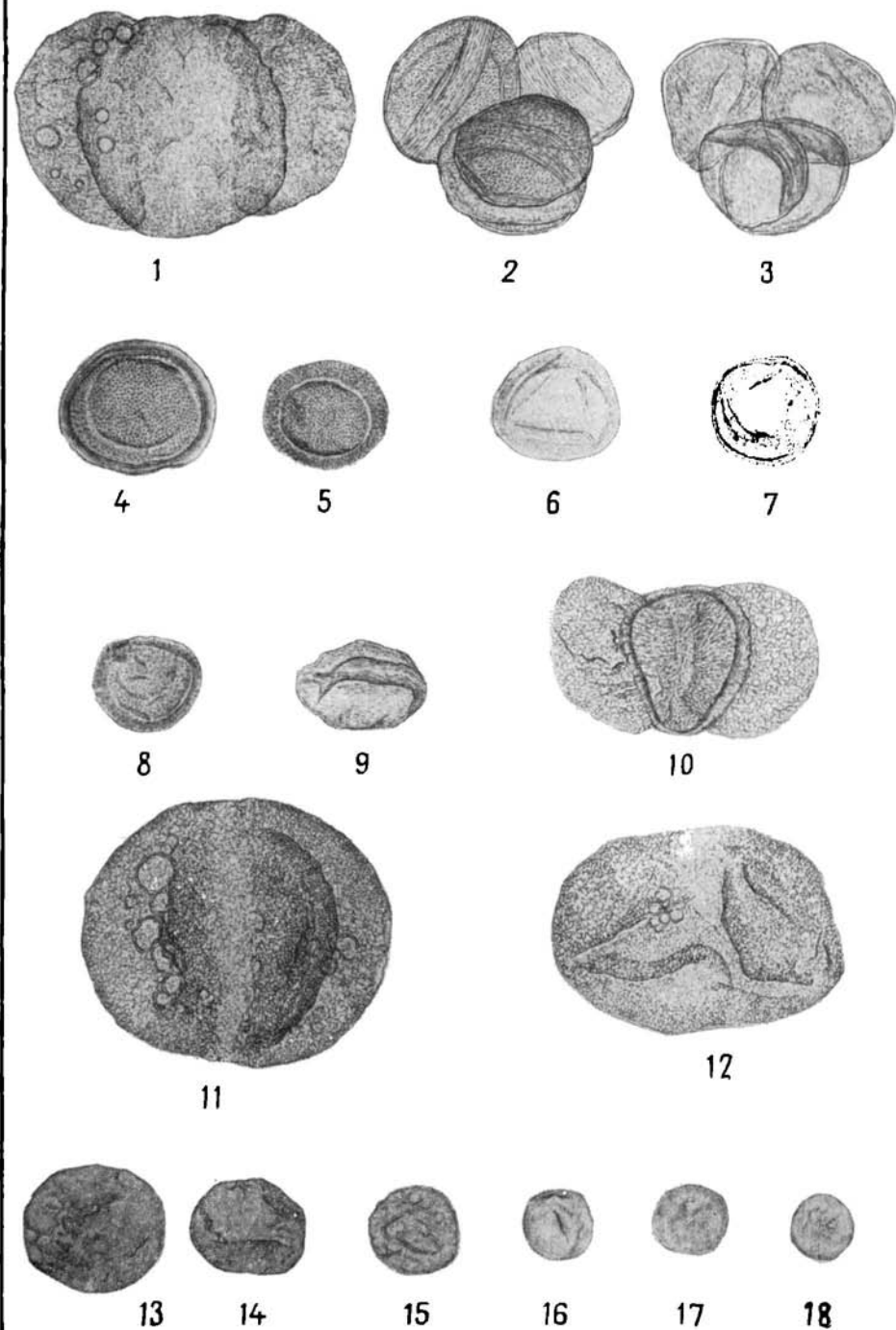
## ТАБЛИЦА 45

Спорово-пыльцевой комплекс верхней юры Колпашевской скв. 2-р

1. *Picea* дл. 109,9  $\mu$ , выс. т. 70,7  $\mu$ , выс. м. 67,2  $\mu$ .
2. *Brachypodium* (тетрагада)  $d = 49,2 \mu$ .
3. *Brachypodium* (тетрагада)  $d = 45,9 \mu$ .
4. *Brachypodium*  $d = 48,1 \mu$ .
5. *Brachypodium*  $d = 38,3 \mu$ .
6. *Brachypodium*  $d = 38,4 \mu$ .
7. *Brachypodium*  $d = 35,8 \mu$ .
8. *Brachypodium*  $d = 32,5 \mu$ .
9. *Brachypodium*  $d = 43,8 \mu$ .
10. *Podocarpus* дл. 86,3  $\mu$ , выс. т. 46,8  $\mu$ , выс. м. 48,3  $\mu$ .
11. *Picea* дл. 100,6  $\mu$ , шир. 83,7  $\mu$ .
12. Тип *Picea* дл. 91,4  $\mu$ , шир. 65,9  $\mu$ .
13. Неопр. зерно  $d = 45,4 \mu$ .
14. Cf. *Taxodiaceae*  $d = 36,7 \mu$ .
15. Cf. *Taxodiaceae*  $d = 29,6 \mu$ .
16. Cf. *Taxodiaceae*  $d = 25,2 \mu$ .
17. Cf. *Taxodiaceae*  $d = 22,0 \mu$ .
18. Cf. *Taxodiaceae*  $d = 21,9 \mu$ .

Все рис.  $\times 400$

Таблица 45



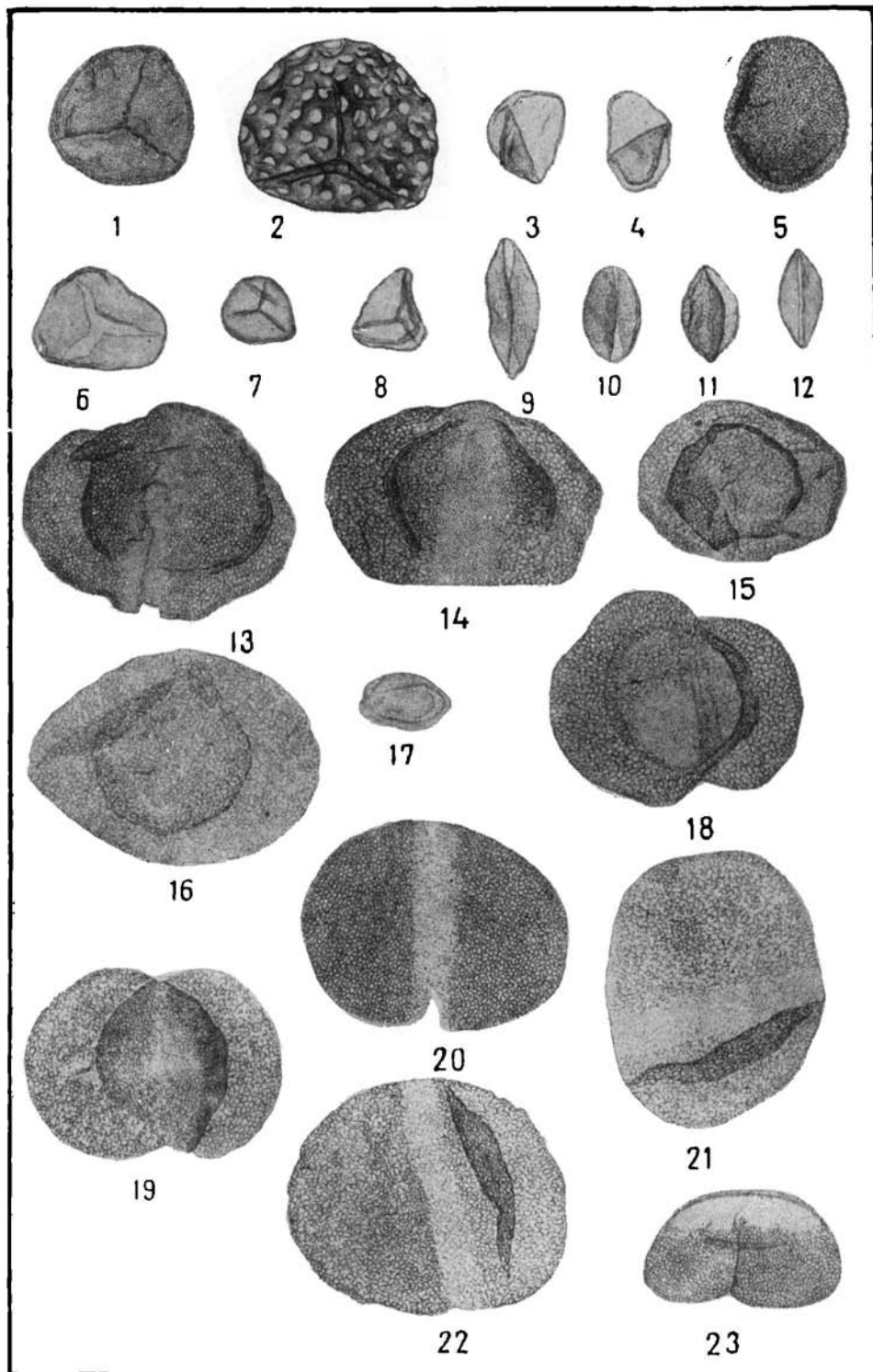
## ТАБЛИЦА 46

Спороно-пыльцевой комплекс валанжина Ларынгской скв. 1-р.

1. *Selaginella* «а»  $d = 53,6 \mu$ .
2. *Brochotriletes vulgaris* Н а у м.  $d = 66,8 \mu$ .
3. *Gleichenia* sp.  $d = 32,3 \mu$ .
4. *Gleichenia* sp. дл.  $34,7 \mu$ , шир.  $24,7 \mu$ .
5. *Osmunda* sp.  $d = 54,2 \mu$ .
6. *Leiotriletes* Н а у м.  $d = 48,3 \mu$ .
7. *Leiotriletes* Н а у м.  $d = 24,3 \mu$ .
8. *Leiotriletes* Н а у м.  $d = 24,5 \mu$ .
9. *Bennettitales* дл.  $47,2 \mu$ , шир.  $18,6 \mu$ .
10. *Ginkgo* дл.  $32,0 \mu$ , шир.  $18,6 \mu$ .
11. *Cycadaceae* дл.  $35,3 \mu$ , шир.  $20,2 \mu$ .
12. *Ginkgo* дл.  $33,6 \mu$ , шир.  $16,4 \mu$ .
13. *Pinaceae* дл.  $92,7 \mu$ , выс. т.  $57,1 \mu$ , выс. м.  $53,8 \mu$ .
14. Тип *Picea* дл.  $101,0 \mu$ , шир.  $68,0 \mu$ .
15. *Coniferae* дл.  $69,2 \mu$ , шир.  $51,2 \mu$ .
16. *Coniferae* с возд. менск. вокруг тела дл.  $103,5 \mu$ , шир.  $76,0 \mu$ .
17. *Brachyphyllum* дл.  $33,4 \mu$ , шир.  $21,9 \mu$ .
18. *Podocarpus* дл.  $95,1 \mu$ , выс. т.  $53,1 \mu$ , выс. м<sub>1</sub>  $76,4 \mu$ , м<sub>2</sub>  $63,5 \mu$ .
19. *Podocarpus* дл.  $90,9 \mu$ , выс. т.  $55,1 \mu$ , выс. м.  $65,9 \mu$ .
20. *Picea* sp. дл.  $87,9 \mu$ , шир.  $69,2 \mu$ .
21. *Picea* sp. дл.  $97,9 \mu$ , выс. т.  $77,8 \mu$ , выс. м.  $74,7 \mu$ .
22. *Picea* sp. дл.  $97,9 \mu$ , шир.  $79,7 \mu$ .
23. *Picea* дл.  $73,1 \mu$ , выс. т.  $42,9 \mu$ , выс. м.  $43,4 \mu$ .

Все рис.  $\times 400$

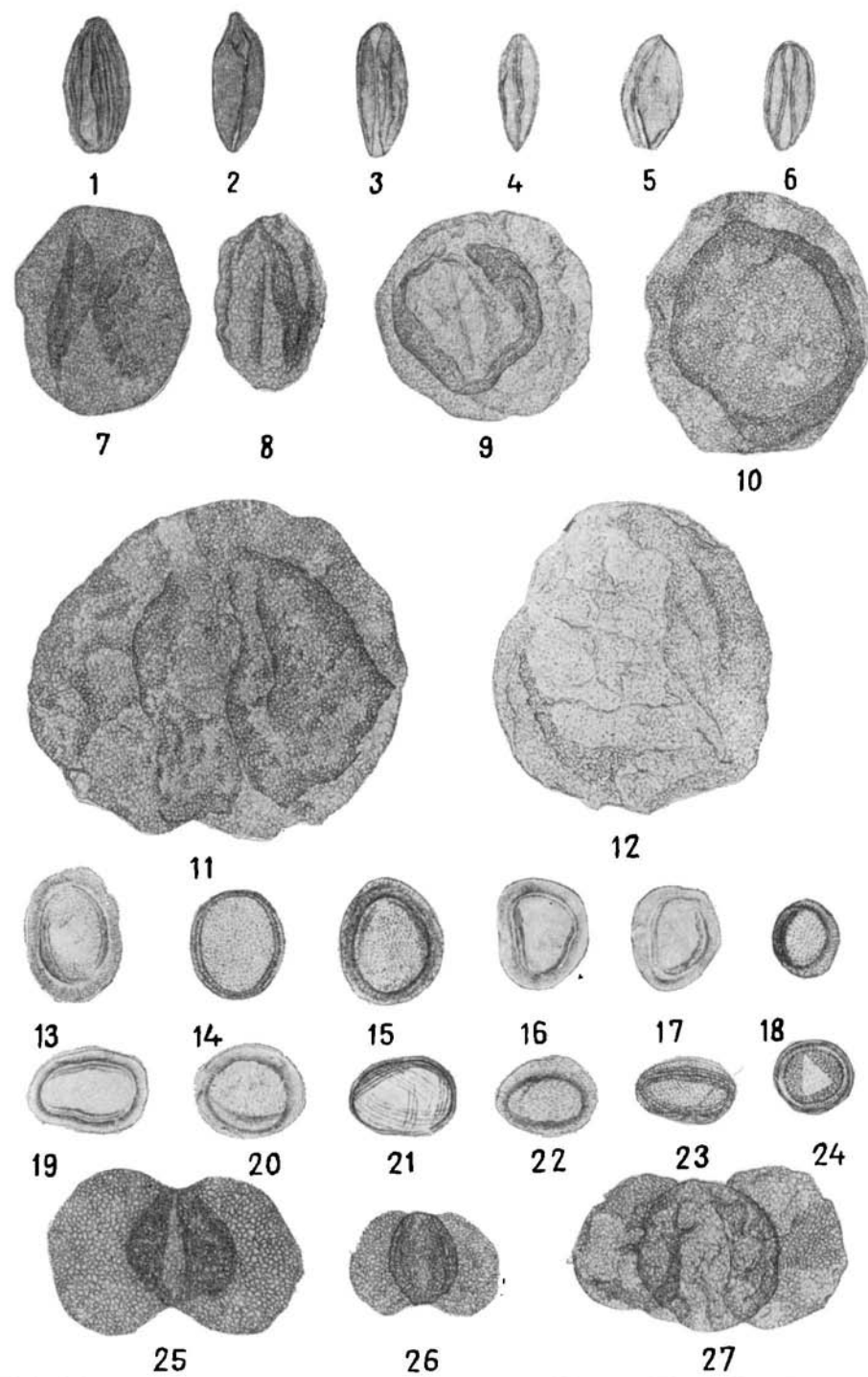
Таблица 46



Спорово-пыльцевой комплекс валанжина Ларьякской скв. 1-р

1. *Ginkgo* дл. 43,1  $\mu$ , шир. 21,5  $\mu$ .
  2. *Ginkgo* дл. 46,5  $\mu$ , шир. 18,1  $\mu$ .
  3. *Ginkgo* дл. 42,1  $\mu$ , шир. 14,8  $\mu$ .
  4. *Ginkgo* дл. 38,9  $\mu$ , шир. 14,0  $\mu$ .
  5. *Ginkgo* дл. 38,3  $\mu$ , шир. 20,8  $\mu$ .
  6. *Ginkgo* дл. 34,7  $\mu$ , шир. 13,6  $\mu$ .
  7. *Coniferae* с зачат. возд. мешк. дл. 70,1  $\mu$ , шир. 55,3  $\mu$ .
  8. *Coniferae* с зачат. возд. мешк. дл. 59,9  $\mu$ , шир. 37,5  $\mu$ .
  9. *Coniferae* с мешк. возд. вокруг тела  $d = 70,5 \mu$ .
  10. *Coniferae* с мешк. возд. вокруг тела дл. 87,9  $\mu$ , шир. 74,2  $\mu$ .
  11. *Coniferae* дл. 128,5  $\mu$ , шир. 111,4  $\mu$ .
  12. *Coniferae* дл. 101,0  $\mu$ , шир. 95,3  $\mu$ .
  13. *Brachyphyllum*  $d = 42,4 \mu$ .
  14. *Brachyphyllum*  $d = 36,9 \mu$ .
  15. *Brachyphyllum*  $d = 37,3 \mu$ .
  16. *Brachyphyllum*  $d = 35,6 \mu$ .
  17. *Brachyphyllum*  $d = 34,3 \mu$ .
  18. *Brachyphyllum*  $d = 25,9 \mu$ .
  19. *Brachyphyllum* дл. 40,6  $\mu$ , шир. 28,5  $\mu$ .
  20. *Brachyphyllum*  $d = 34,0 \mu$ .
  21. *Brachyphyllum* дл. 39,5  $\mu$ , шир. 25,0  $\mu$ .
  22. *Brachyphyllum*  $d = 32,0 \mu$ .
  23. *Brachyphyllum*  $d = 33,6 \mu$ .
  24. *Brachyphyllum*  $d = 27,6 \mu$ .
  25. *Podocarpus* sp. дл. 75,3  $\mu$ , выс. т. 36,9  $\mu$ , выс. м. 51,0  $\mu$ .
  26. *Podocarpus* sp. дл. 48,9  $\mu$ , выс. т. 31,4  $\mu$ , выс. м. 36,7  $\mu$ .
  27. *Podocarpus* sp. дл. 94,4  $\mu$ , выс. т. 52,2  $\mu$ , выс. м. 56,2  $\mu$ .
- Все рис.  $\times 400$

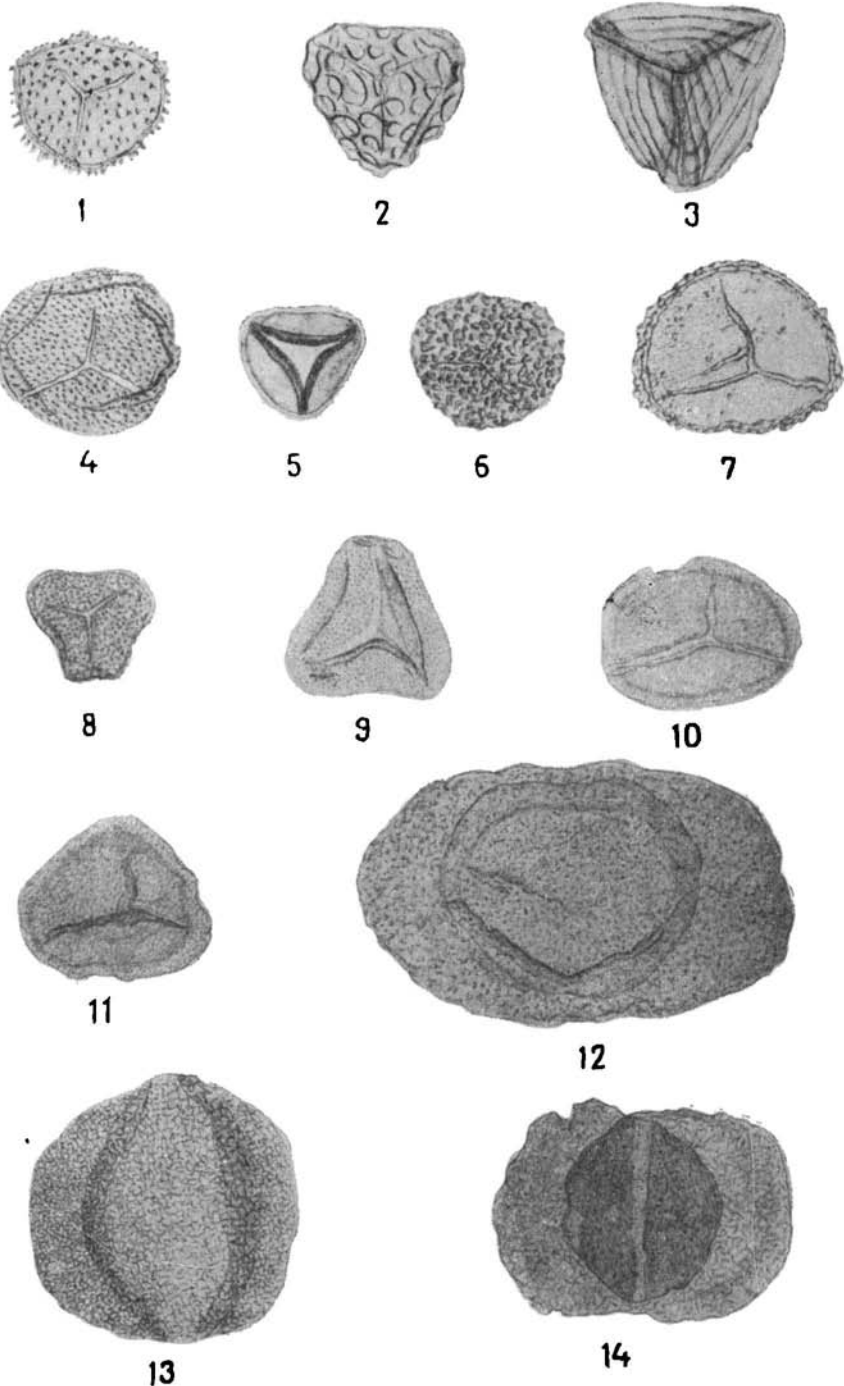
Таблица 47



Спорово-пыльцевой комплекс валанжина Покурской скв. 1-р

1. *Selaginella* sp.  $d = 44,6 \mu$ .
  2. *Brochotriletes vulgaris* Naum.  $d = 46,1 \mu$ .
  3. *Aneimia* sp.  $d = 56,2 \mu$ .
  4. *Osmunda* sp.  $d = 58,6 \mu$ .
  5. *Leiotriletes* Naum.  $d = 35,1 \mu$ .
  6. *Lophotriletes* Naum.  $d = 43,8 \mu$ .
  7. *Lophotriletes* Naum.  $d = 55,0 \mu$ .
  8. *Trachytriletes* Naum.  $d = 29,9 \mu$ .
  9. *Trachytriletes* Naum.  $d = 45,4 \mu$ .
  10. Неопр. спора дл.  $54,9 \mu$ , шир.  $41,0 \mu$ .
  11. Неопр. спора  $d = 51,0 \mu$ .
  12. *Coniferae* дл.  $131,8 \mu$ , выс. т.  $65,9 \mu$ , выс. м.  $74,7 \mu$ .
  13. *Coniferae* дл.  $80,0 \mu$ , шир.  $76,0 \mu$ .
  14. *Podocarpaceae* дл.  $85,2 \mu$ , выс. т.  $50,1 \mu$ , выс. м.  $58,4 \mu$ .
- Все рис.  $\times 400$

Таблица 48



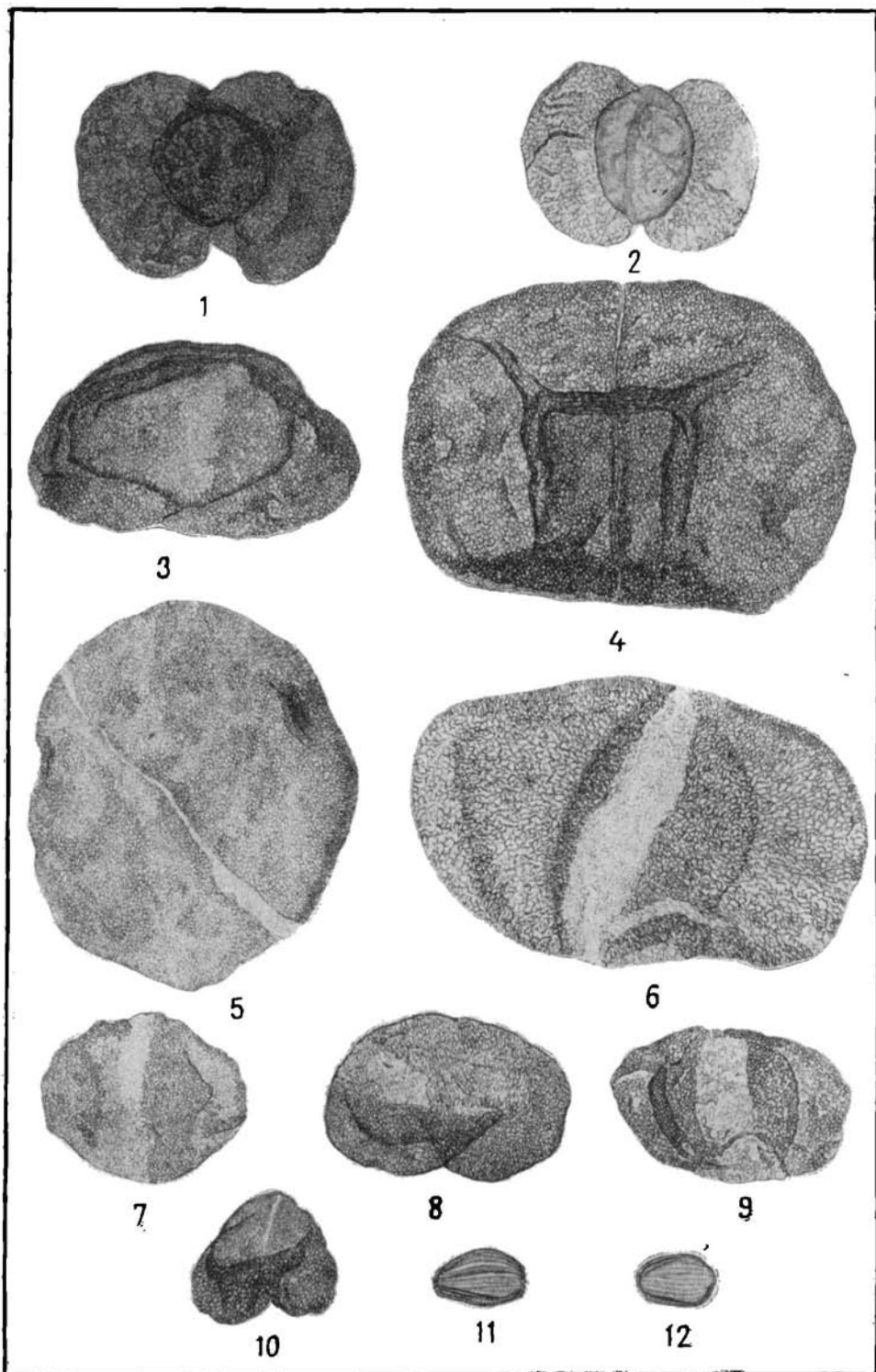
## ТАБЛИЦА 49

Спорово-пыльцевой комплекс валанжина Покурской скл. 1-р

1. *Podocarpus* sp. дл. 95,5  $\mu$ , выс. т. 43,8  $\mu$ , выс. м. 69,4  $\mu$ .
2. *Podocarpus* sp. дл. 84,1  $\mu$ , выс. т. 50,3  $\mu$ , выс. м. 62,2  $\mu$ .
3. Тип *Abies* дл. 109, 9  $\mu$ , шир. 65,9  $\mu$ .
4. Тип *Picea* дл. 153,9  $\mu$ , шир. 109,9  $\mu$ .
5. Тип *Picea* дл. 126,1  $\mu$ , шир. 109,9  $\mu$ .
6. *Picea* sp. дл. 145,3  $\mu$ , выс. т. 99,7  $\mu$ , выс. м. 99,7  $\mu$ .
7. Тип *Picea* дл. 68,5  $\mu$ , шир. 56,9  $\mu$ .
8. Тип *Picea* дл. 75,1  $\mu$ , выс. т. 35,8  $\mu$ , выс. м. 46,1  $\mu$ .
9. Тип *Picea* дл. 80,8  $\mu$ , шир. 54,5  $\mu$ .
10. *Cedrus* sp. дл. 47,4  $\mu$ , выс. т. 21,9  $\mu$ , выс. м. 25,9  $\mu$ .
11. *Welwitschiapites* дл. 27,4  $\mu$ , шир. 17,5  $\mu$ .
12. *Ephedripites* дл. 26,7  $\mu$ , шир. 17,3  $\mu$ .

Все рис.  $\times 400$

Таблица 49

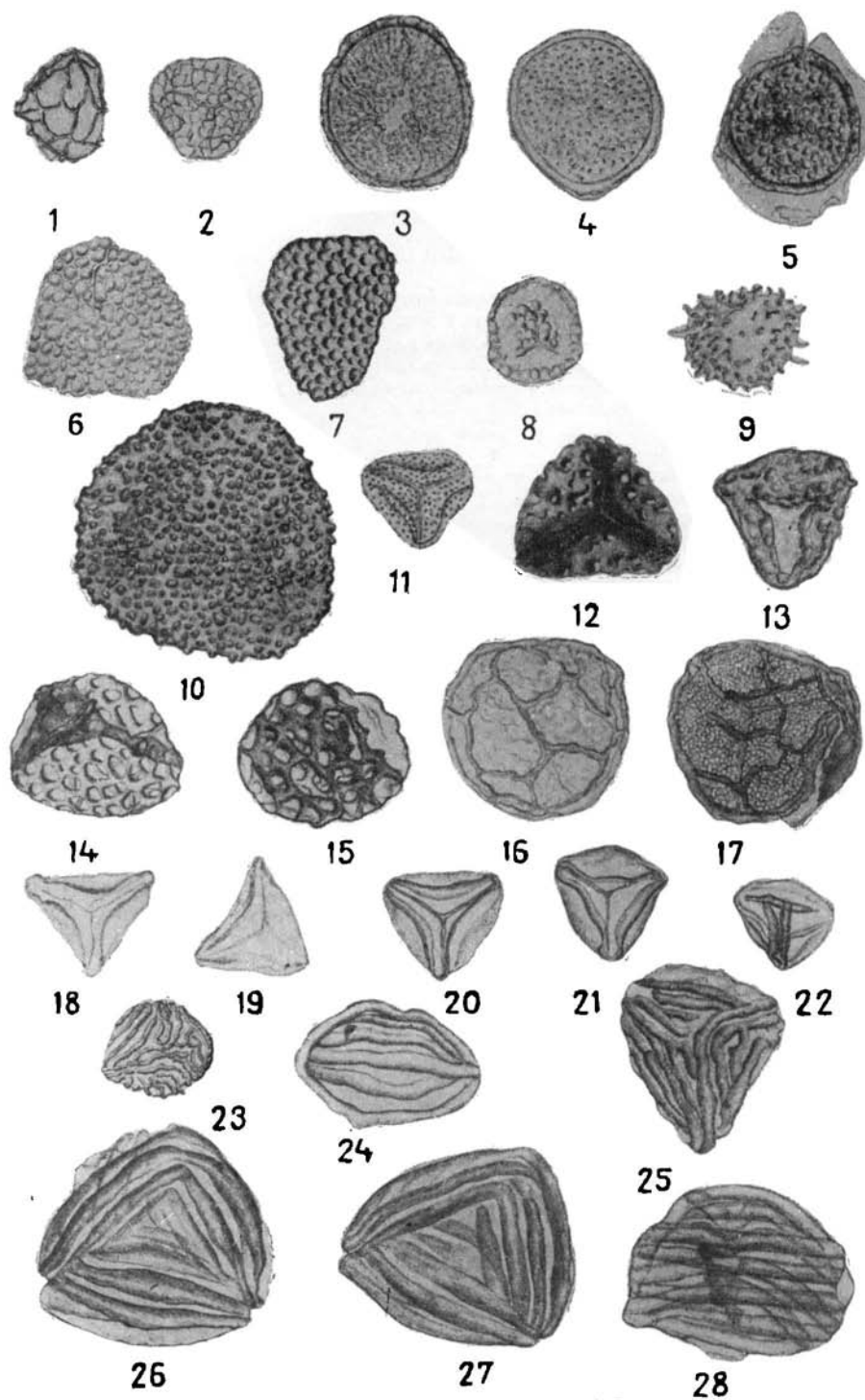


# ТАБЛИЦА 50

- Спорово-пыльцевой комплекс готерив-баррема Уватской скв. 1-р
1. *Lycopodium* sp.  $d = 34,3 \mu$ .
  2. *Lycopodium clavatum* (по Нокс)  $d = 32,5 \mu$ .
  3. *Selaginella* sp.  $d = 53,3 \mu$ .
  4. *Selaginella* sp.  $d = 56,7 \mu$ .
  5. *Selaginella* sp.  $d = 43,8 \mu$ .
  6. *Selaginella* sp.  $d = 51,0 \mu$ .
  7. *Selaginella* sp. дл.  $53,3 \mu$ , шир.  $42,1 \mu$ .
  8. *Sphagnum* sp.  $d = 27,8 \mu$ .
  9. *Selaginella* sp.  $d = 33,8 \mu$ .
  10. *Selaginella* sp.  $d = 79,5 \mu$ .
  11. *Gleichenia* cf. *echinata* Bolch.  $d = 29,6 \mu$ .
  12. *Brochotriletes vulgaris* Naum.  $d = 47,2 \mu$ .
  13. *Lophotriletes* Naum.  $d = 39,5 \mu$ .
  14. *Brochotriletes vulgaris* Naum.  $d = 49,6 \mu$ .
  15. *Brochotriletes vulgaris* Naum.  $d = 48,3 \mu$ .
  16. *Woodsia* sp.  $d = 51,2 \mu$ .
  17. *Woodsia* sp.  $d = 55,1 \mu$ .
  18. *Gleichenia triplex* Bolch.  $d = 33,4 \mu$ .
  19. *Gleichenia triplex* Bolch.  $d = 29,6 \mu$ .
  20. *Gleichenia carinata* Bolch.  $d = 35,8 \mu$ .
  21. *Gleichenia carinata* Bolch.  $d = 33,2 \mu$ .
  22. *Gleichenia* sp. дл.  $30,7 \mu$ , шир.  $26,3 \mu$ .
  23. *Schizaeaceae* (?) дл.  $35,1 \mu$ , шир.  $29,0 \mu$ .
  24. *Schizaea* дл.  $60,0 \mu$ , шир.  $36,4 \mu$ .
  25. *Aneimia* cf. *tomentosa* (Sw.) дл.  $55,3 \mu$ , шир.  $47,6 \mu$ .
  26. *Aneimia exiliformis* Bolch.  $d = 71,2 \mu$ .
  27. *Aneimia exiliformis* Bolch.  $d = 72,9 \mu$ .
  28. *Aneimia* sp. дл.  $67,6 \mu$ , шир.  $51,4 \mu$ .

Все рис.  $\times 400$

Таблица 50



# ТАБЛИЦА 51

Спорово-пыльцевой комплекс готерив-баррема Уватской скв. 1·р

1. *Lygodium* cf. *circinatum* (Burm.) Sw.  $d = 74,8 \mu$ .
2. *Lygodium hirsutoides* J.v.  $d = 49,4 \mu$ .
3. *Lygodium hirsutoides* J.v.  $d = 58,9 \mu$ .
4. *Lygodium pilosum* K-M  $d_1 = 46,3 \mu$ ,  $d_2 = 54,9 \mu$ .
5. *Lygodium* cf. *articulatum* (?)  $d = 58,9 \mu$ .
6. *Mohria striata* Naum.  $d = 34,9 \mu$ .
7. *Mohria* sp.  $d = 37,7 \mu$ .
8. *Mohria striata* Naum.  $d = 37,7 \mu$ .
9. *Osmunda* sp.  $d = 57,8 \mu$ .
10. *Osmunda* sp.  $d = 59,7 \mu$ .
11. *Osmunda* sp.  $d = 43,8 \mu$ .
12. *Ophioglossaceae* дл.  $43,8 \mu$ , шир.  $40,4 \mu$ .
13. *Coniopteryx tajamurensis* K-M  $d = 65,9 \mu$ .
14. *Leiotriletes tenuis* Ma1.  $d = 54,0 \mu$ .
15. *Leiotriletes tenuis* Ma1.  $d = 48,9 \mu$ .
16. *Trachytriletes* Naum.  $d = 38,9 \mu$ .
17. *Lophotrilites* Naum.  $d = 28,7 \mu$ .
18. *Sphagnum* sp.  $d = 37,5 \mu$ .
19. *Sphagnum* sp.  $d = 30,9 \mu$ .
20. *Sphagnum* sp.  $d = 25,0 \mu$ .
21. Неопр. спора  $d_{cp} = 43,8 \mu$ .
22. Неопр. спора дл.  $54,9 \mu$ , шир.  $48,3 \mu$ .
23. Неопр. спора  $d_{cp} = 47,5 \mu$ .

Все рис.  $\times 400$ .

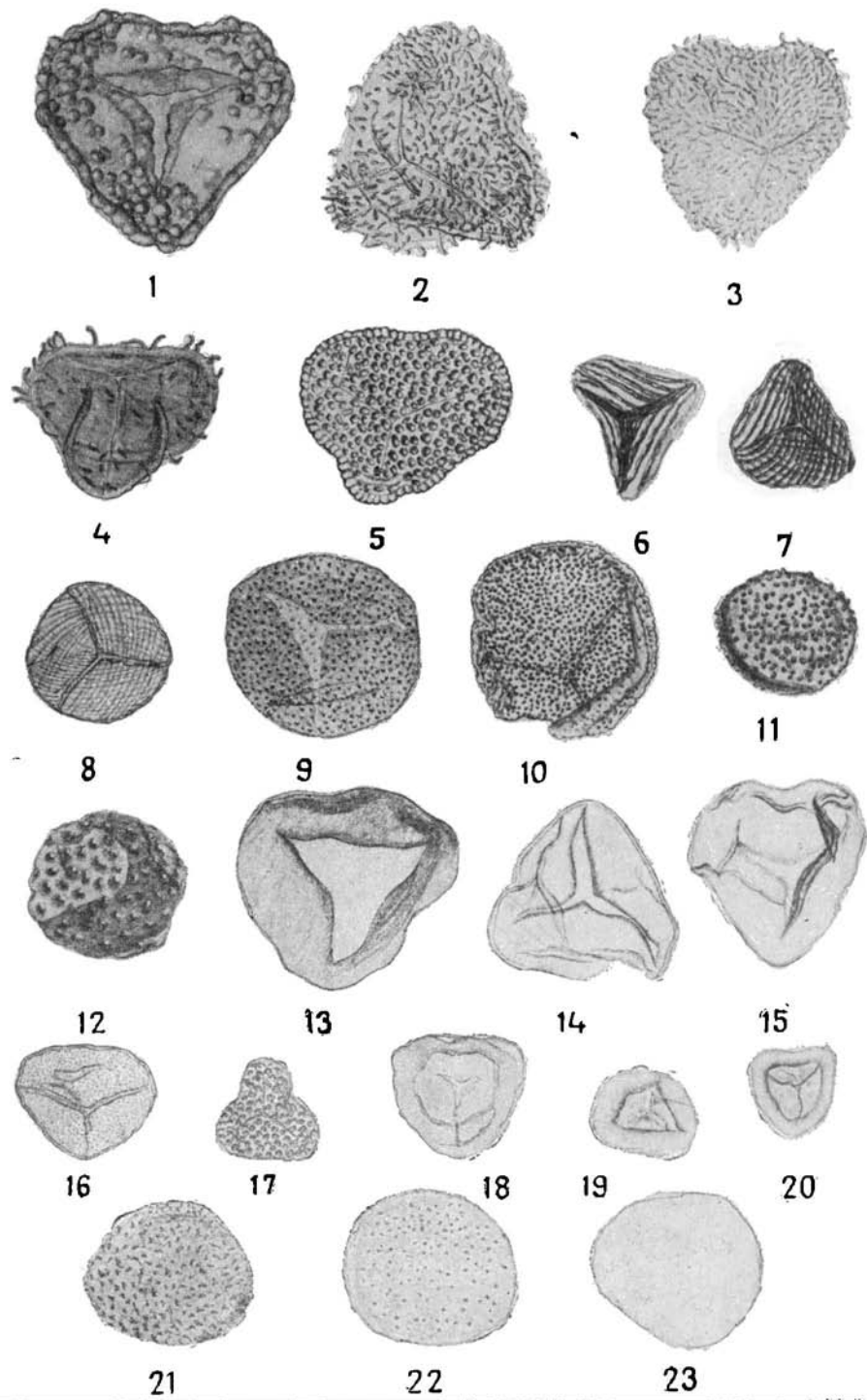
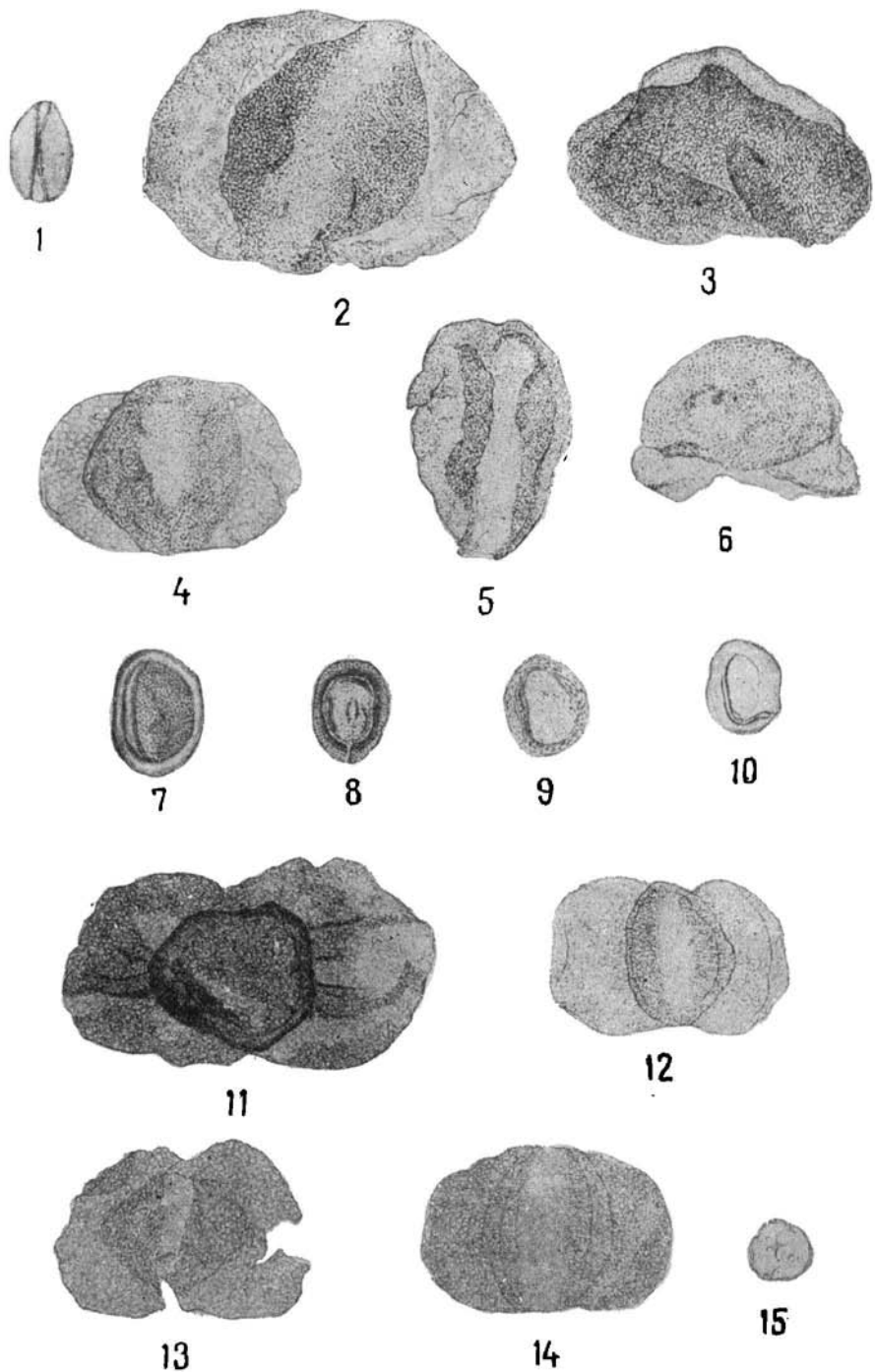


ТАБЛИЦА 52

- Споро-пыльцевой комплекс готерив-баррема Уватской скв. 1-р
1. *Cycadaceae* дл. 29,2  $\mu$ , шир. 18,9  $\mu$ .
  2. *Picea* sp. дл. 120,6  $\mu$ , шир. 85,5  $\mu$ .
  3. *Coniferae* дл. 93,1  $\mu$ , шир. 57,8  $\mu$ .
  4. *Pinus* п/р *Haploxyylon* дл. 76,4  $\mu$ , выс. т. 52,1  $\mu$ , выс. м. 49,2  $\mu$ .
  5. *Coniferae* с зачат. возд. мешк. дл. 69,2  $\mu$ , шир. 43,8  $\mu$ .
  6. *Cedrus* sp. дл. 70,3  $\mu$ , шир. 45,0  $\mu$ .
  7. *Brachyphyllum* дл. 40,6  $\mu$ , шир. 29,6  $\mu$ .
  8. *Brachyphyllum* дл. 32,5  $\mu$ , шир. 24,5  $\mu$ .
  9. *Brachyphyllum* дл. 31,1  $\mu$ , шир. 24,7  $\mu$ .
  10. *Brachyphyllum* d — 25,0  $\mu$ .
  11. *Podocarpus* дл. 109,9  $\mu$ , выс. т. 40,6  $\mu$ , выс. м. 63,5  $\mu$ .
  12. *Podocarpus* дл. 71,0  $\mu$ , выс. т. 40,8  $\mu$ , выс. м. 45,4  $\mu$ .
  13. *Podocarpus* дл. 65,9  $\mu$ , выс. т. 37,3  $\mu$ , выс. м. 49,4  $\mu$ .
  14. *Pinus* п/р *Haploxyylon* дл. 70,1  $\mu$ , выс. т. 47,0  $\mu$ , выс. м. 43,8  $\mu$ .
  15. Cf. *Juglandaceae* d — 19,1  $\mu$ .
- Все рис.  $\times 400$

Таблица 52

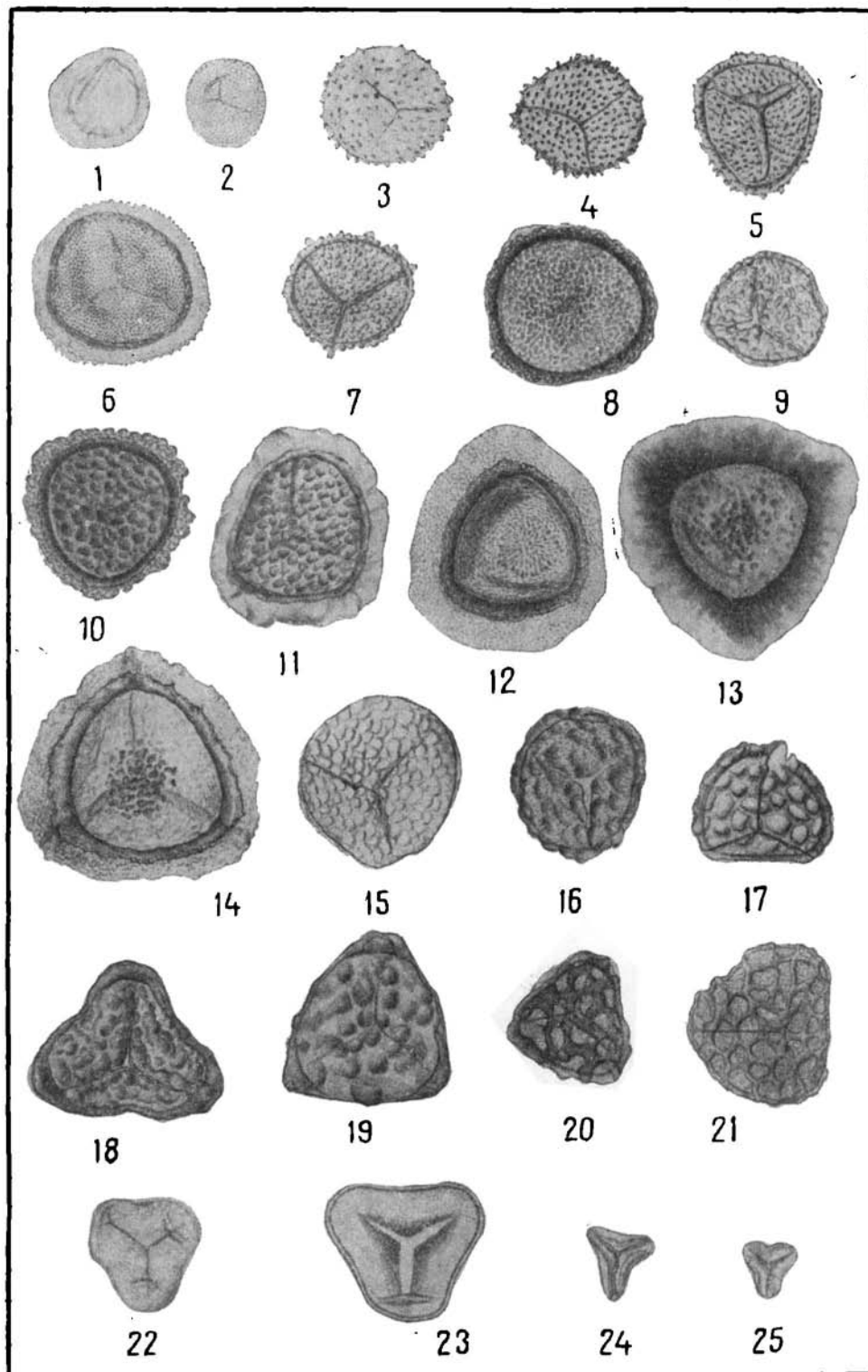


Спорово-пыльцевой комплекс готерив-баррема Ларьякской скв. 1-р

1. *Equisetum* sp.  $d = 32,0 \mu$ .
2. *Selaginella* sp.  $d = 27,8 \mu$ .
3. *Selaginella* sp.  $d = 43,8 \mu$ .
4. *Selaginella* sp.  $d = 43,8 \mu$ .
5. *Selaginella* sp.  $d = 49,8 \mu$ .
6. *Selaginella* sp.  $d = 54,9 \mu$ .
7. *Selaginella* sp.  $d = 56,2 \mu$ .
8. *Selaginella* sp.  $d = 38,4 \mu$ .
9. *Selaginella* sp.  $d = 43,8 \mu$ .
10. *Selaginella* sp.  $d = 58,0 \mu$ .
11. *Selaginella* sp.  $d = 63,9 \mu$ .
12. *Selaginella* sp.  $d = 78,9 \mu$ .
13. *Selaginella* sp.  $d = 82,9 \mu$ .
14. *Selaginella* sp.  $d = 83,5 \mu$ .
15. Cf. *Selaginella* d — 52,0  $\mu$ .
16. *Selaginella* sp.  $d = 53,3 \mu$ .
17. *Brochotriletes vulgaris* N a u m.  $d = 47,0 \mu$ .
18. *Dicksonia* sp.  $d = 57,3 \mu$ .
19. *Dicksonia arborescens* L'H erit.  $d = 60,4 \mu$ .
20. *Brochotriletes vulgaris* N a u m.  $d = 43,8 \mu$ .
21. *Brochotriletes vulgaris* N a u m.  $d = 57,8 \mu$ .
22. *Cibotium junctum* K — M  $d = 41,5 \mu$ .
23. *Adiantum* sp.  $d = 48,1 \mu$ .
24. *Gleicheniaceae laeta* B o l c h.  $d = 23,0 \mu$ .
25. *Gleicheniaceae*  $d = 17,1 \mu$ .

Все рис.  $\times 400$

Таблица 53

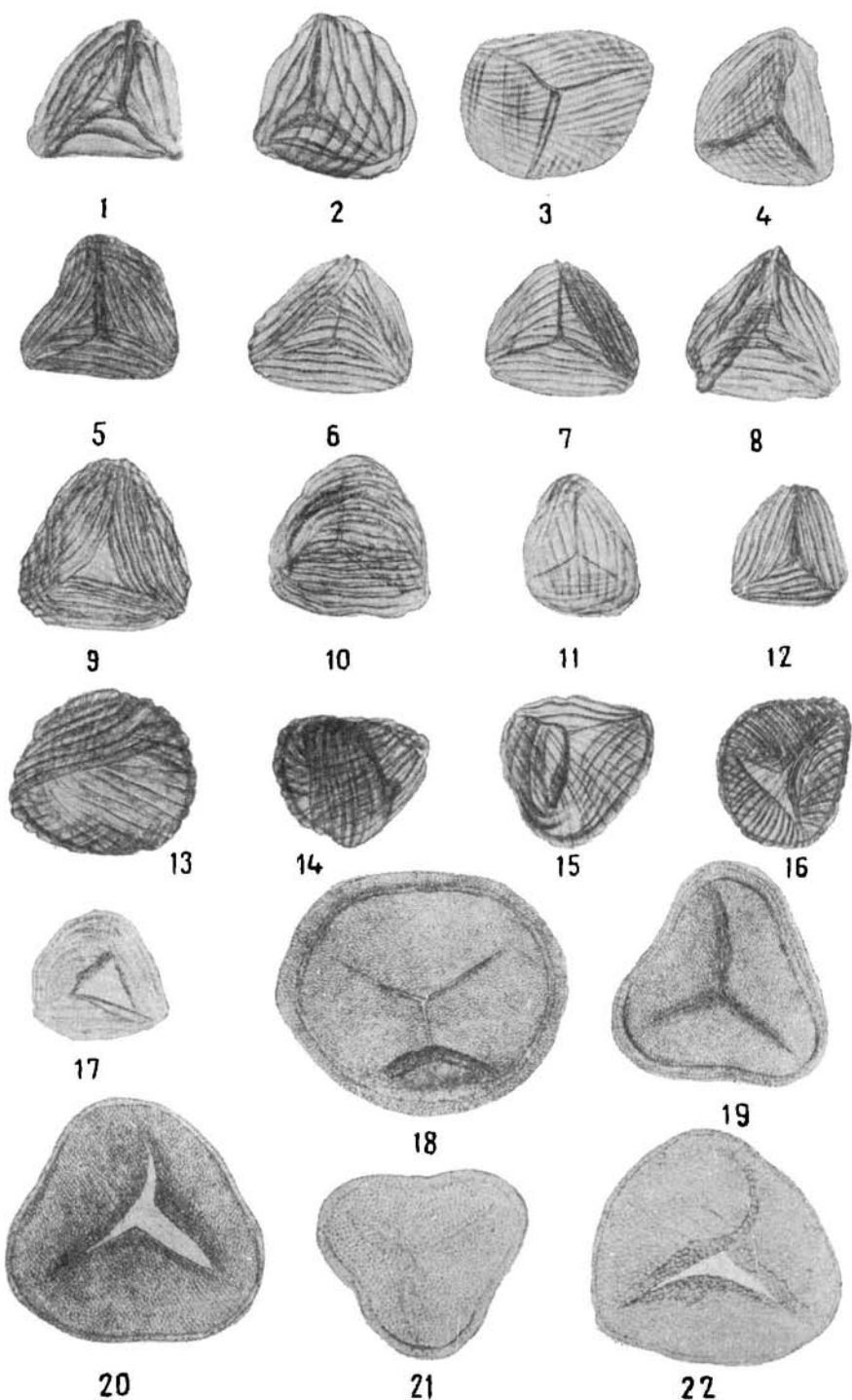


Спорово-пыльцевой комплекс готерив-баррема Ларьковской скв. 1-р

1. *Aneimia* cf. *macrorhiza* Mal.  $d = 49,8 \mu$ .
2. *Aneimia* sp.  $d = 51,0 \mu$ .
3. *Mohria striata* Naum.  $d = 59,3 \mu$ .
4. *Mohria* sp.  $d = 50,3 \mu$ .
5. *Mohria* cf. *tersa* K-M  $d = 47,4 \mu$ .
6. *Mohria* cf. *tersa* K-M  $d = 49,6 \mu$ .
7. *Mohria* cf. *tersa* K-M  $d = 48,9 \mu$ .
8. *Mohria* sp.  $d = 47,6 \mu$ .
9. *Mohria* cf. *tersa* K-M  $d = 56,0 \mu$ .
10. *Mohria* sp.  $d = 48,5 \mu$ .
11. *Mohria* sp.  $d = 45,9 \mu$ .
12. *Mohria* sp.  $d = 38,9 \mu$ .
13. *Mohria* sp.  $d = 63,3 \mu$ .
14. *Mohria* sp.  $d = 48,5 \mu$ .
15. *Mohria* sp.  $d = 47,6 \mu$ .
16. *Mohria* sp.  $d = 48,9 \mu$ .
17. *Mohria* sp.  $d = 43,8 \mu$ .
18. *Lygodium* aff. *flaxuosum*  $d = 85,7 \mu$ .
19. *Lygodium* aff. *flaxuosum*  $d = 65,6 \mu$ .
20. *Lygodium* aff. *flaxuosum*  $d = 76,0 \mu$ .
21. *Lygodium* aff. *flaxuosum*  $d = 60,6 \mu$ .
22. *Lygodium* aff. *flaxuosum*  $d = 82,6 \mu$ .

Все рис.  $\times 400$

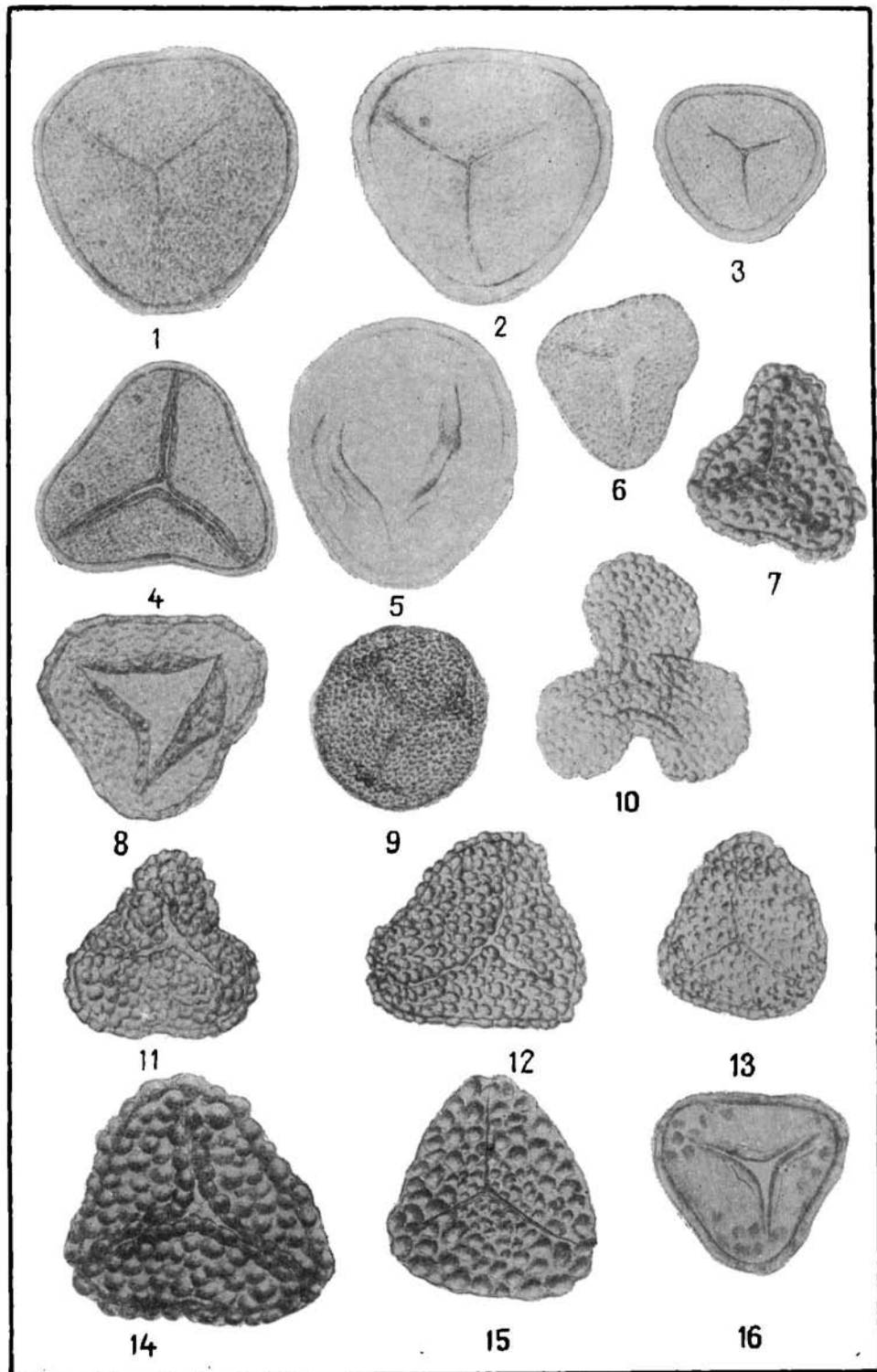
Таблица 54



Спороно-пыльцевой комплекс готерив-баррема Ларькской скв. 1-р

1. *Lygodium* sp.  $d = 96,0 \mu$ .
2. *Lygodium* sp.  $d = 87,9 \mu$ .
3. *Lygodium* sp.  $d = 59,7 \mu$ .
4. *Lygodium* sp.  $d = 80,2 \mu$ .
5. *Lygodium* sp.  $d = 92,9 \mu$ .
6. *Lygodium* sp.  $d = 56,2 \mu$ .
7. *Lygodium* cf. *macrotuberculatum* K—M  $d = 65,9 \mu$ .
8. *Lygodium* sp.  $d = 68,5 \mu$ .
9. *Filicales*  $d = 63,7 \mu$ .
10. *Lygodium* cf. *platituberculatum* K—M  $d = 58,4 \mu$ .
11. *Lygodium* cf. *platituberculatum* K—M  $d = 65,9 \mu$ .
12. *Lygodium* cf. *platituberculatum* K—M  $d = 69,0 \mu$ .
13. *Lygodium* sp.  $d = 63,1 \mu$ .
14. *Lygodium* cf. *macrotuberculatum* K—M  $d = 87,9 \mu$ .
15. *Lygodium* cf. *planotuberculatum* K—M  $d = 74,2 \mu$ .
16. *Lygodium* sp.  $d = 63,1 \mu$ .

Все рис.  $\times 400$



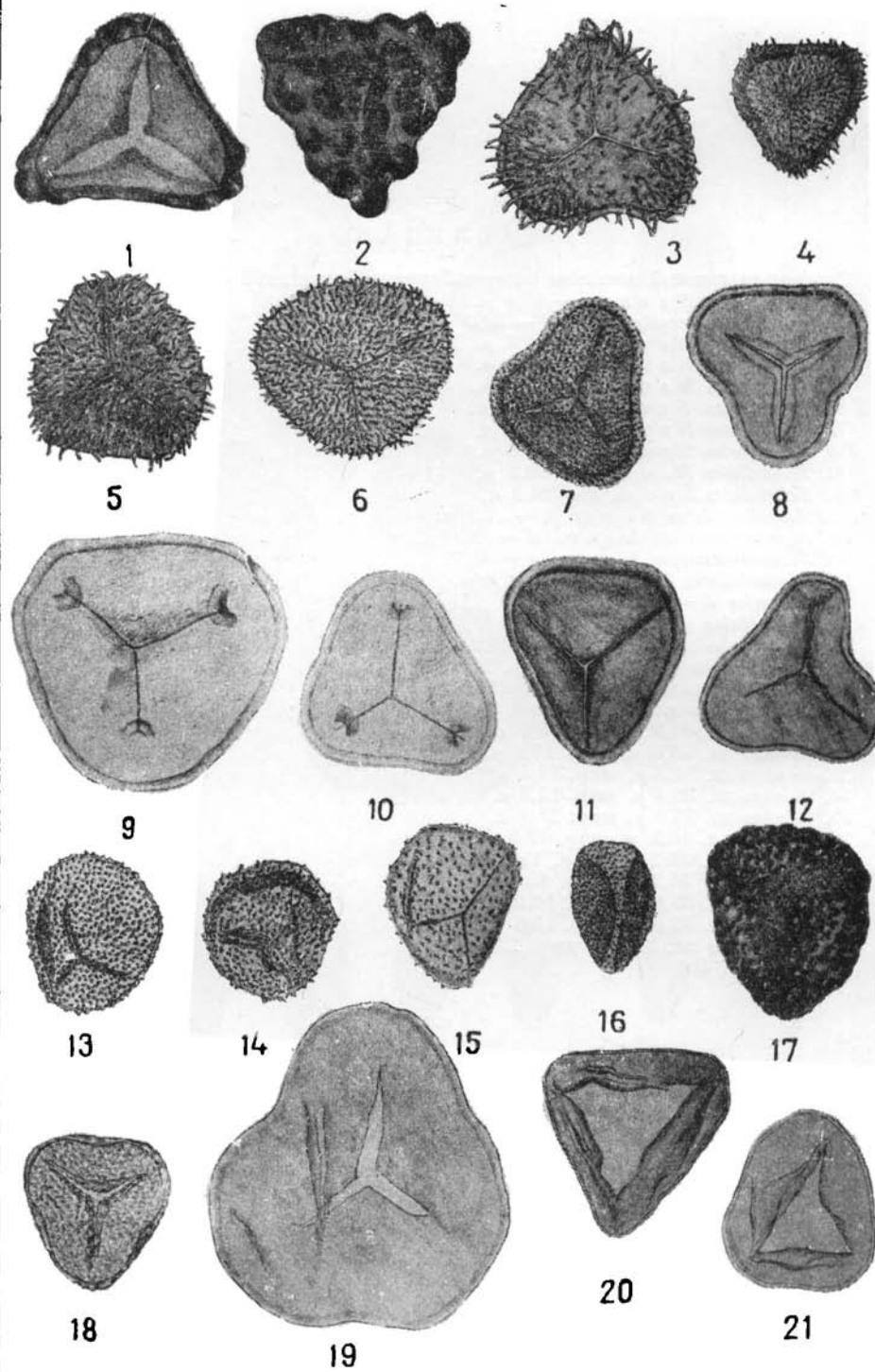
# ТАБЛИЦА 56

Спороно-пыльцевой комплекс готерив-баррема Ларьинской скв. 1-р

1. *Lygodium splendidum* K—M  $d = 72,2 \mu$ .
2. *Lygodium* sp.  $d = 65,9 \mu$ .
3. *Lygodium harridus* S a c h.  $d = 65,9 \mu$ .
4. *Lygodium* sp.  $d = 43,8 \mu$ .
5. *Lygodium hirsutooides* J v.  $d = 61,9 \mu$ .
6. *Lygodium hirtus* J v.  $d = 59,3 \mu$ .
7. *Lygodium hispidus* J v.  $d = 65,7 \mu$ .
8. *Lygodium* sp.  $d = 58,9 \mu$ .
9. *Lygodium* cf. *subsimplex* B o l c h.  $d = 90,1 \mu$ .
10. *Lygodium* cf. *subsimplex* B o l c h.  $d = 60,4 \mu$ .
11. *Lygodium* sp.  $d = 65,9 \mu$ .
12. *Lygodium* sp.  $d = 56,2 \mu$ .
13. *Osmunda* sp.  $d = 51,4 \mu$ .
14. *Osmunda* sp.  $d = 45,7 \mu$ .
15. *Osmunda* sp.  $d = 54,5 \mu$ .
16. *Osmunda* sp.  $d = 46,1 \mu$ .
17. *Ophioglossum* sp.  $d = 59,9 \mu$ .
18. *Botrychium* sp.  $d = 50,1 \mu$ .
19. *Lygodium* aff. *japonicum* S w.  $d = 103,7 \mu$ .
20. *Coniopteris tajamyrensis* K—M  $d = 60,6 \mu$ .
21. *Coniopteris tajamyrensis* K—M  $d = 57,8 \mu$ .

Bee pic.  $\times 400$

Таблица 56

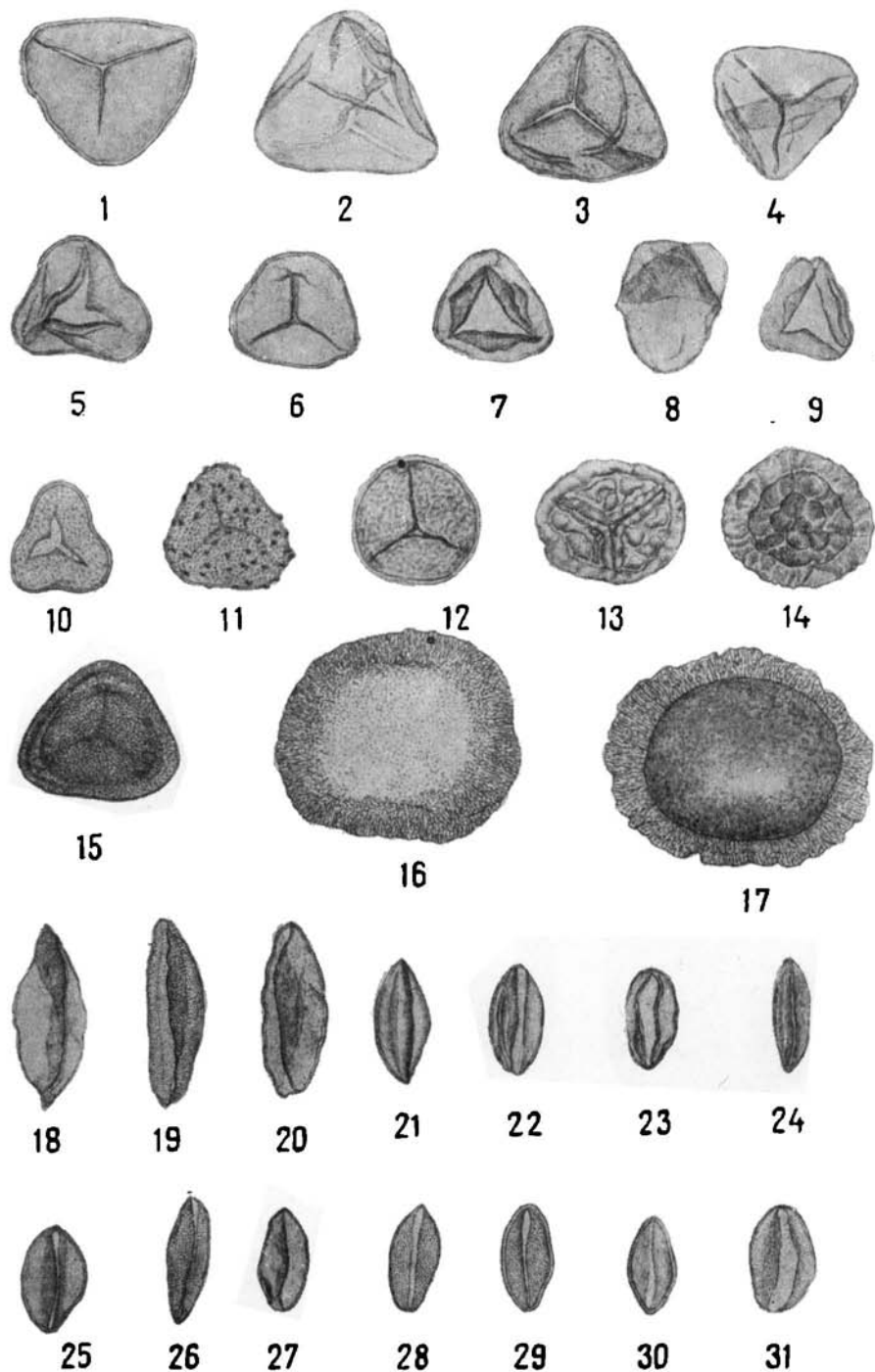


Спорово-пыльцевой комплекс готерив-баррема Ларьякской скв. 1-р

1. *Leiotriletes* Naum.  $d = 49,4 \mu$ .
2. *Leiotriletes tenuis* Mal.  $d = 53,6 \mu$ .
3. *Leiotriletes* Naum.  $d = 51,4 \mu$ .
4. *Leiotriletes* Naum.  $d = 43,8 \mu$ .
5. *Leiotriletes* Naum.  $d = 40,6 \mu$ .
6. *Leiotriletes* Naum.  $d = 39,5 \mu$ .
7. *Leiotriletes* Naum.  $d = 39,1 \mu$ .
8. *Leiotriletes* Naum.  $d = 43,8 \mu$ .
9. *Leiotriletes* Naum.  $d = 29,9 \mu$ .
10. *Leiotriletes* Naum.  $d = 29,0 \mu$ .
11. *Acanthotriletes* Naum.  $d = 37,5 \mu$ .
12. *Stenozonotriletes* Naum.  $d = 39,1 \mu$ .
13. *Stenozonotriletes* Naum.  $d = 45,7 \mu$ .
14. *Chomotriletes* Naum.  $d = 46,8 \mu$ .
15. *Filicales*  $d = 46,5 \mu$ .
16. *Cordaitales*  $d = 83,5 \mu$ .
17. *Cordaitales* дл.  $87,9 \mu$ , шир.  $70,1 \mu$ .
18. *Bennettitales* дл.  $54,7 \mu$ , шир.  $21,9 \mu$ .
19. *Bennettitales* дл.  $56,2 \mu$ , шир.  $19,5 \mu$ .
20. *Bennettitales* дл.  $56,2 \mu$ , шир.  $21,9 \mu$ .
21. *Ginkgo* дл.  $40,8 \mu$ , шир.  $18,9 \mu$ .
22. *Ginkgo* дл.  $36,0 \mu$ , шир.  $17,1 \mu$ .
23. *Ginkgo* дл.  $31,5 \mu$ , шир.  $17,5 \mu$ .
24. *Ginkgo* дл.  $36,4 \mu$ , шир.  $12,3 \mu$ .
25. *Ginkgo* дл.  $35,8 \mu$ , шир.  $21,9 \mu$ .
26. *Ginkgo* дл.  $40,2 \mu$ , шир.  $13,8 \mu$ .
27. *Ginkgo* дл.  $33,2 \mu$ , шир.  $15,6 \mu$ .
28. *Ginkgo* дл.  $34,7 \mu$ , шир.  $15,6 \mu$ .
29. *Ginkgo* дл.  $35,1 \mu$ , шир.  $16,0 \mu$ .
30. *Ginkgo* дл.  $30,5 \mu$ , шир.  $15,6 \mu$ .
31. *Cycadaceae* дл.  $31,8 \mu$ , шир.  $23,7 \mu$ .

Все рис.  $\times 400$

Таблица 57



## ТАБЛИЦА 58

Спорово-пыльцевой комплекс готерив-баррема Ларьянской скв. 1-р

1. Тип *Picea* дл. 100,6  $\mu$ , шир. 92,9  $\mu$ .
2. *Coniferae* дл. 81,5  $\mu$ , шир. 78,0  $\mu$ .
3. *Coniferae* дл. 77,3  $\mu$ , шир. 75,1  $\mu$ .
4. *Picea* дл. 109,9  $\mu$ , выс. т. 65,9  $\mu$ , выс. м. 70,7  $\mu$ .
5. *Brachiphyllum* (*Tetraga*)  $d = 49,8 \mu$ .
6. *Brachiphyllum*  $d = 43,8 \mu$ .
7. *Brachiphyllum*  $d = 37,3 \mu$ .
8. *Brachiphyllum*  $d = 30,2 \mu$ .
9. *Brachiphyllum*  $d = 27,6 \mu$ .
10. *Brachiphyllum*  $d = 26,1 \mu$ .
11. *Brachiphyllum* дл. 30,2  $\mu$ , шир. 22,2  $\mu$ .
12. *Brachiphyllum*  $d = 23,5 \mu$ .
13. *Brachiphyllum*  $d = 26,1 \mu$ .
14. *Podocarpus* дл. 77,5  $\mu$ , выс. т. 30,7  $\mu$ , выс. м. 48,9  $\mu$ .
15. Тип *Podocarpus* дл. 124,1  $\mu$ , выс. т. 63,5  $\mu$ , выс. м. 71,8  $\mu$ .
16. Тип *Podocarpus* дл. 82,6  $\mu$ , выс. т. 69,2  $\mu$ , выс. м. 83,5  $\mu$ .
17. Cf. *Araucariaceae*  $d = 43,8 \mu$ .
18. *Picea* дл. 93,4  $\mu$ , шир. 78,9  $\mu$ .
19. Тип *Picea* дл. 73,8  $\mu$ , шир. 65,9  $\mu$ .

Все рис.  $\times 400$

Таблица 58

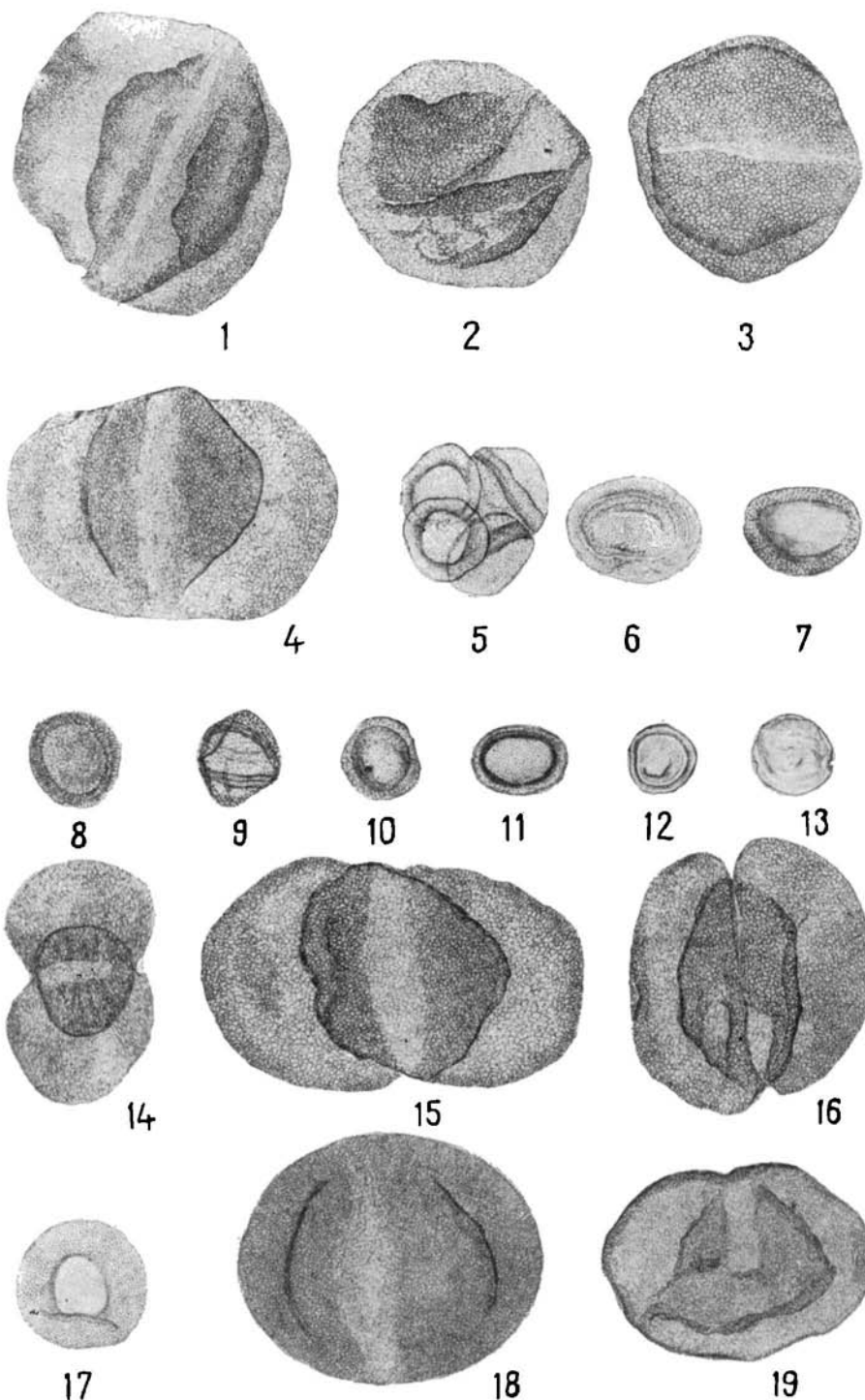


ТАБЛИЦА 59

- Спорово-пыльцевой комплекс готерив-баррема Ларьякской скв. 1-р
1. *Picea* sp. дл. 108,3  $\mu$ , шир. 96,7  $\mu$ .
  2. *Picea* sp. дл. 109,9  $\mu$ , шир. 98,5  $\mu$ .
  3. Тип *Picea* sp. дл. 83,5  $\mu$ , шир. 59,5  $\mu$ .
  4. *Picea* sp. дл. 99,3  $\mu$ , шир. 87,9  $\mu$ .
  5. *Picea* sp. дл. 87,9  $\mu$ , шир. 76,2  $\mu$ .
  6. Неопр. зерно дл. 88,3  $\mu$ , шир. 72,0  $\mu$ .
  7. Неопр. зерно с сеткой  $d$  — 67,2  $\mu$ .
  8. Неопр. зерно с крупной сеткой  $d$  — 61,5  $\mu$ .
  9. Неопр. зерно с крупной сеткой  $d$  — 52,7  $\mu$ .
  10. Неопр. зерно с крупной сеткой  $d$  — 99,5  $\mu$ .
  11. Неопр. зерно с мелкой сеткой  $d$  — 59,1  $\mu$ .
  12. Неопр. зерно с мелкой сеткой дл. 52,3  $\mu$ , шир. 45,0  $\mu$ .
- Все рис.  $\times 400$

Таблица 59

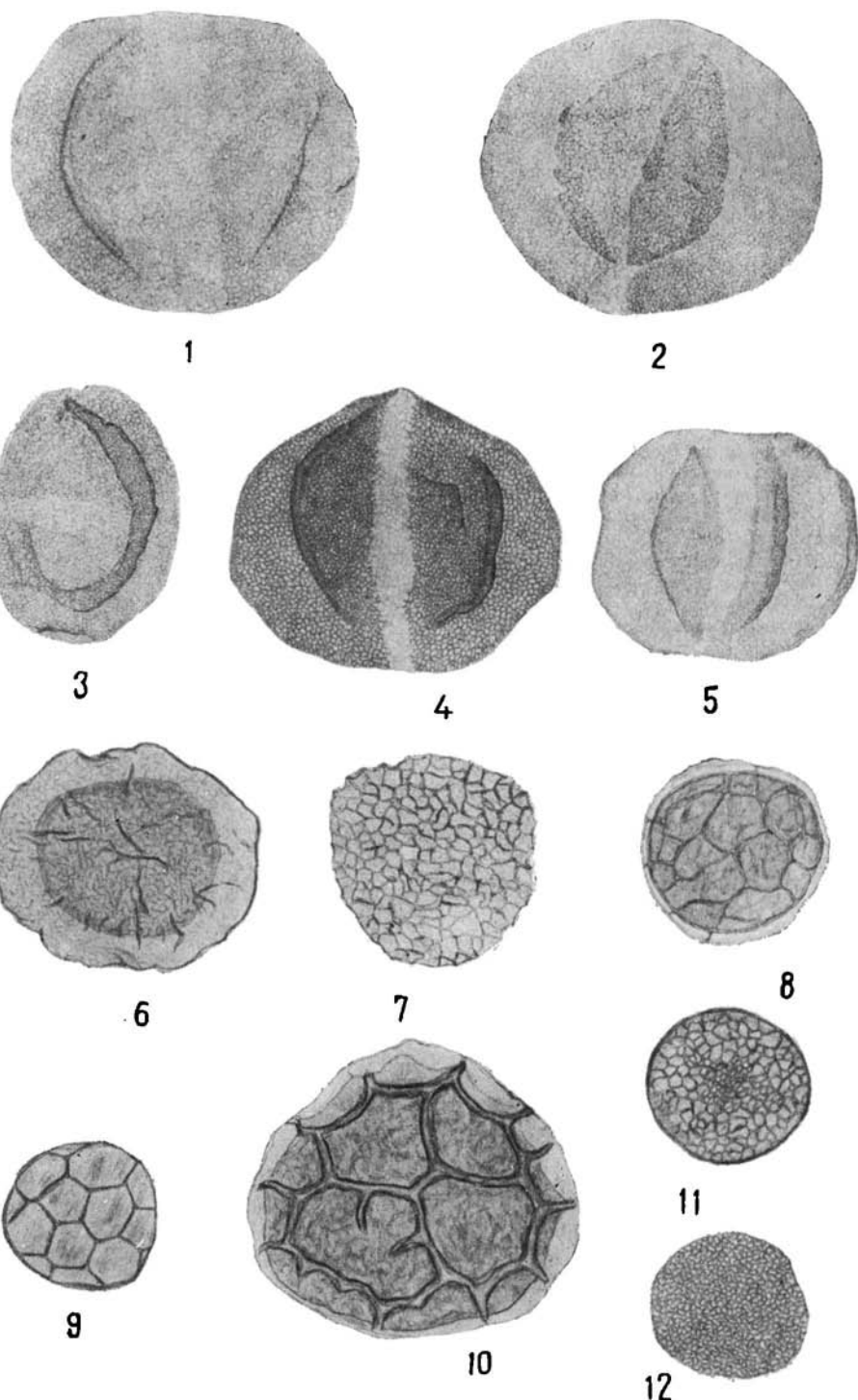
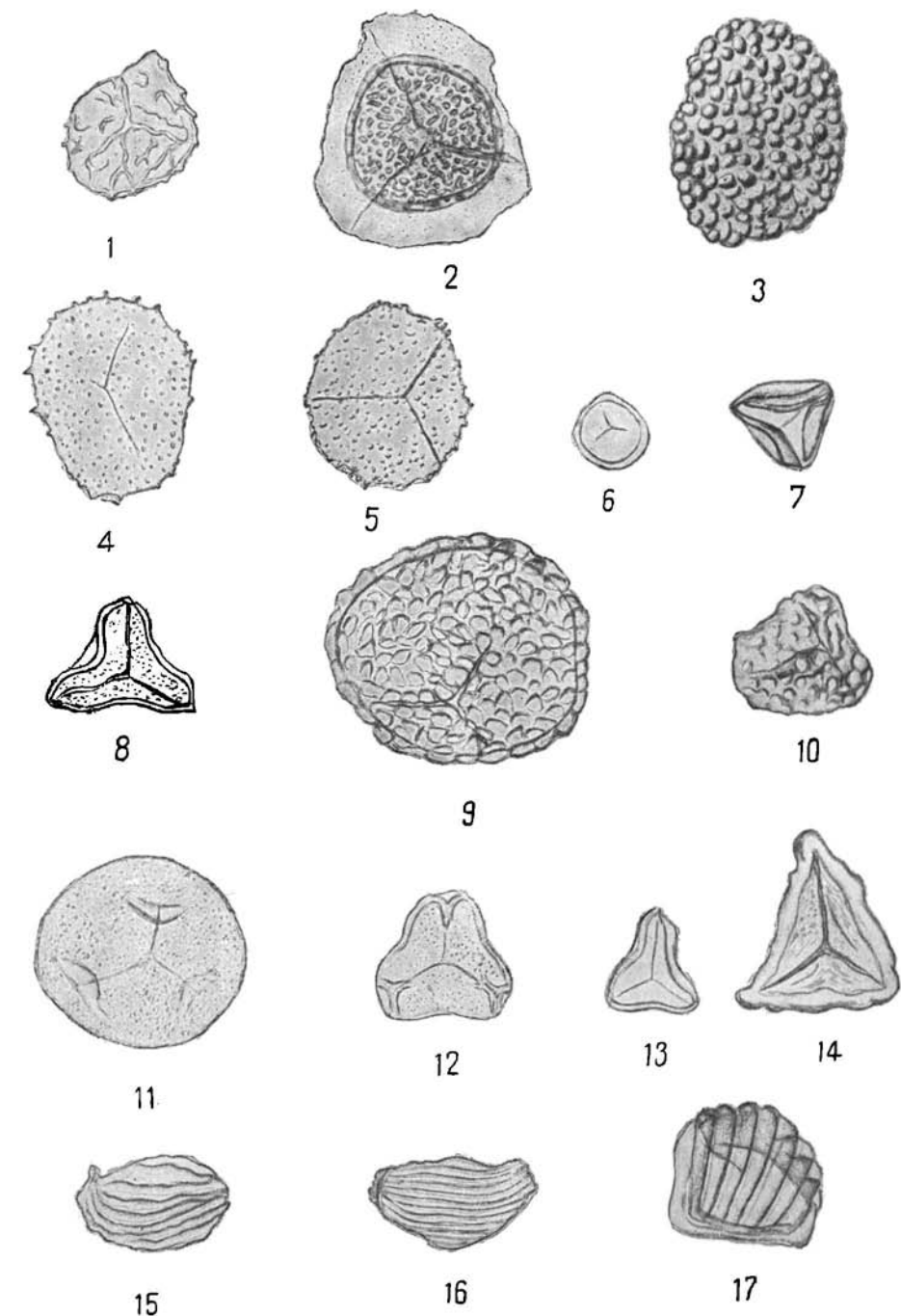


ТАБЛИЦА 60

- Спорово-пыльцевой комплекс готерив-баррема Покурской скв. 1-я
1. *Lycopodium* cf. *claratum* (по Ноке)  $d = 35,1 \mu.$ .
  2. *Selaginella* sp.  $d = 68,8 \mu.$ .
  3. *Selaginella* sp. дл.  $65,9 \mu$ , шир.  $49,2 \mu.$
  4. *Selaginella* sp. дл.  $55,9 \mu$ , шир.  $42,6 \mu.$
  5. *Selaginella* sp. дл.  $36,9 \mu$ , шир.  $26,1 \mu.$
  6. *Sphagnum* sp.  $d = 21,9 \mu.$
  7. *Gleichenia carinata* Болч.  $d = 28,5 \mu.$
  8. *Cyatheaceae*  $d = 33,4 \mu.$
  9. *Lygodium* cf. *platituberculatum* К-М  $d = 65,9 \mu.$
  10. *Brochotriletes vulgaris* Нам.  $d = 33,6 \mu.$
  11. *Filicales*  $d = 57,3 \mu.$
  12. *Cibotium* sp.  $d = 38,0 \mu.$
  13. *Gleichenia* sp.  $d = 28,3 \mu.$
  14. *Gleichenia triplex* Болч.  $d = 48,1 \mu.$
  15. *Schizaeaceae* дл.  $40,0 \mu$ , шир.  $26,1 \mu.$
  16. *Schizaeaceae* дл.  $47,8 \mu$ , шир.  $24,5 \mu.$
  17. *Schizaeaceae* дл.  $43,8 \mu$ , шир.  $37,3 \mu.$

Все рис.  $\times 400$

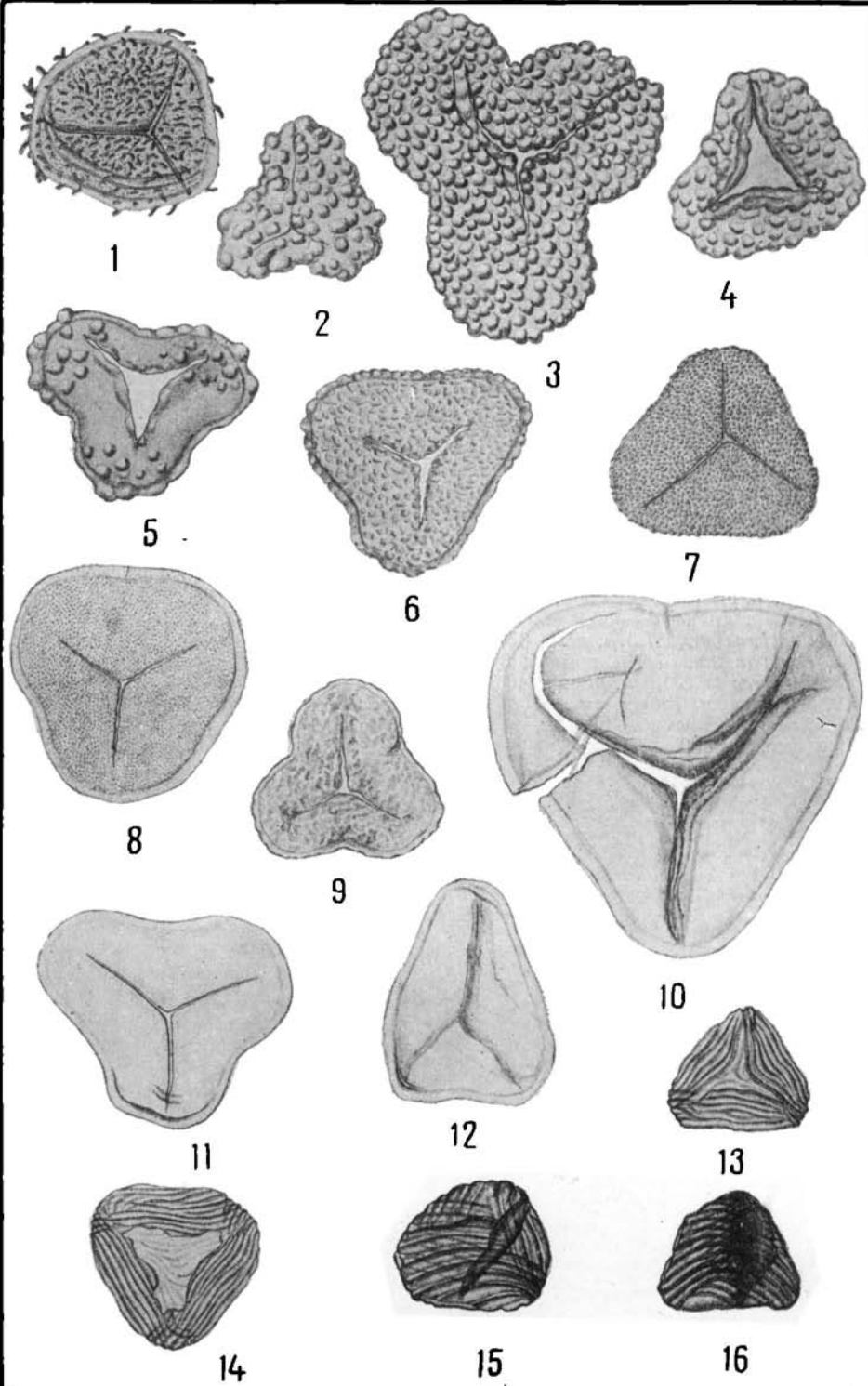


Спороно-пыльцевой комплекс готерив-баррема Покурской скв. 1-р.

1. *Lygodium* sp.  $d = 58,0 \mu$ .
2. *Lygodium valanjinensis* K—M  $d = 48,3 \mu$ .
3. *Lygodium* cf. *platituberculatum* K—M  $d = 75,3 \mu$ .
4. *Lygodium valanjinensis* K—M  $d = 52,0 \mu$ .
5. *Lygodium*  $d = 56,9 \mu$ .
6. *Lygodium*  $d = 60,8 \mu$ .
7. *Lygodium* sp.  $d = 53,6 \mu$ .
8. *Lygodium asperatum* K—M  $d = 65,9 \mu$ .
9. *Lygodium* sp.  $d = 48,9 \mu$ .
10. *Lygodium subsimplex* Naum.  $d = 105,5 \mu$ .
11. *Lygodium* aff. *japonicum* S w.  $d = 64,3 \mu$ .
12. *Lygodium* sp.  $d_1 = 65,9 \mu$ ,  $d_2 = 50,3 \mu$ .
13. *Mohria tera* K—M  $d = 39,7 \mu$ .
14. *Mohria striata* Bölich.  $d = 52,3 \mu$ .
15. *Mohria* sp.  $d = 43,8 \mu$ .
16. *Aneimia tricostata* Bölich.  $d = 36,4 \mu$ .

Все рис.  $\times 400$

Таблица 61



Спорово-пыльцевой комплекс готерив-баррема Покурской скв. 1-р

1. *Mohria* sp.  $d = 33,8 \mu$ .
2. *Osmunda* sp.  $d = 34,3 \mu$ .
3. *Leiotriletes* Naum.  $d = 50,1 \mu$ .
4. *Coniopteris tajamurenensis* K-M  $d = 48,7 \mu$ .
5. *Coniopteris tajamurenensis* K-M  $d = 51,2 \mu$ .
6. *Leiotriletes* Naum.  $d = 43,8 \mu$ .
7. *Leiotriletes* Naum.  $d = 45,7 \mu$ .
8. *Leiotriletes* Naum.  $d = 37,5 \mu$ .
9. *Leiotriletes* Naum.  $d = 47,6 \mu$ .
10. *Leiotriletes* Naum. дл. 36,9  $\mu$ , шир. 29,2  $\mu$ .
11. *Trachytriletes* Naum.  $d = 43,8 \mu$ .
12. *Stenozonotriletes* Naum.  $d = 59,7 \mu$ .
13. Неопр. спора  $d = 43,8 \mu$ .
14. Неопр. спора  $d = 54,9 \mu$ .
15. Неопр. спора  $d = 32,9 \mu$ .
16. *Coniferae* дл. 137,3  $\mu$ , шир. 65,9  $\mu$ .
17. *Coniferae* дл. 87,9  $\mu$ , шир. 55,8  $\mu$ .
18. *Pinaceae* дл. 56,0  $\mu$ , выс. т. 49,8  $\mu$ , выс. м. 42,1  $\mu$ .
19. *Pinaceae* дл. 78,9  $\mu$ , выс. т. 54,9  $\mu$ , выс. м. 50,5  $\mu$ .
20. *Brachyphyllum*  $d = 27,4 \mu$ .

Все рис.  $\times 400$

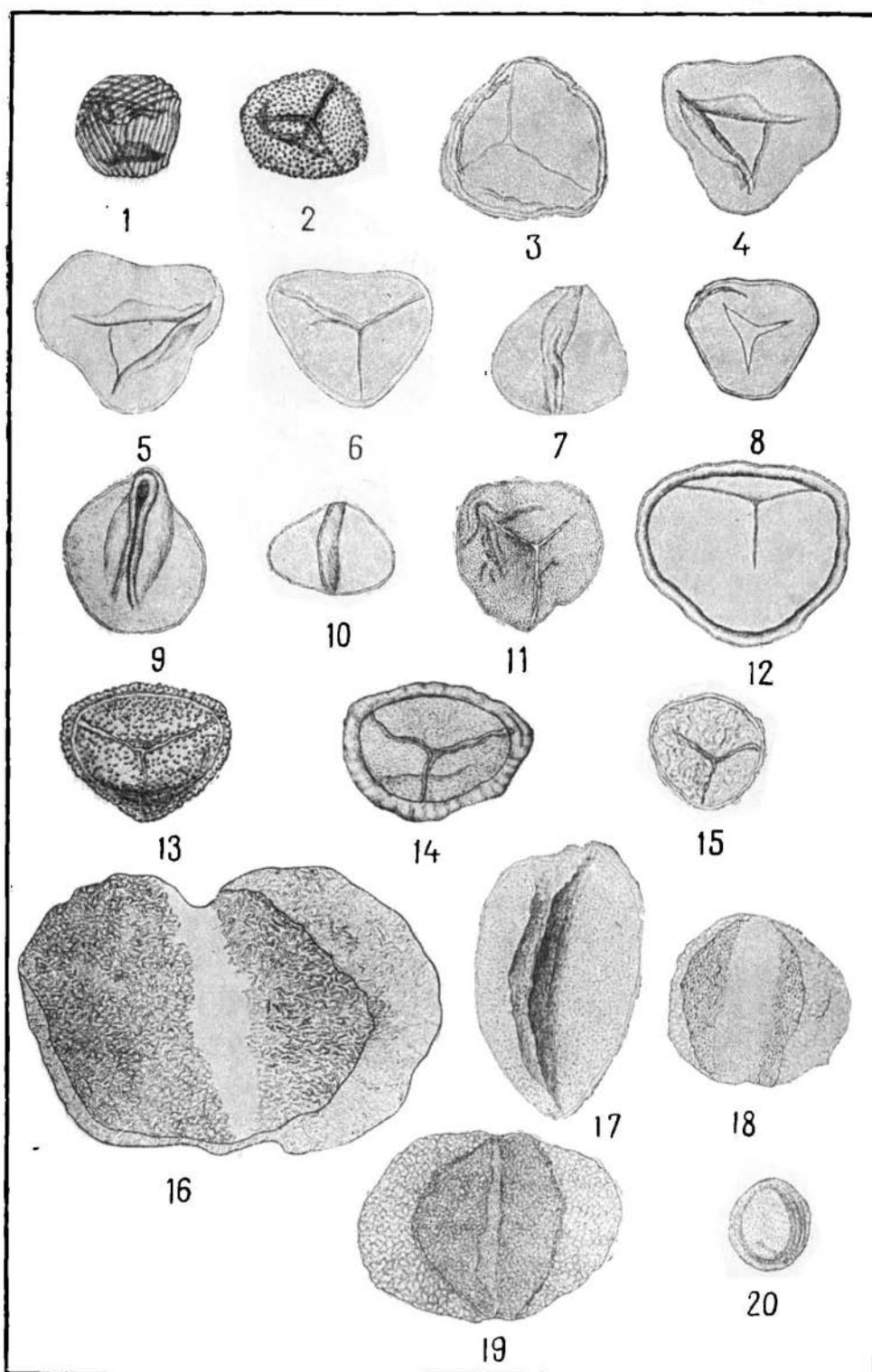
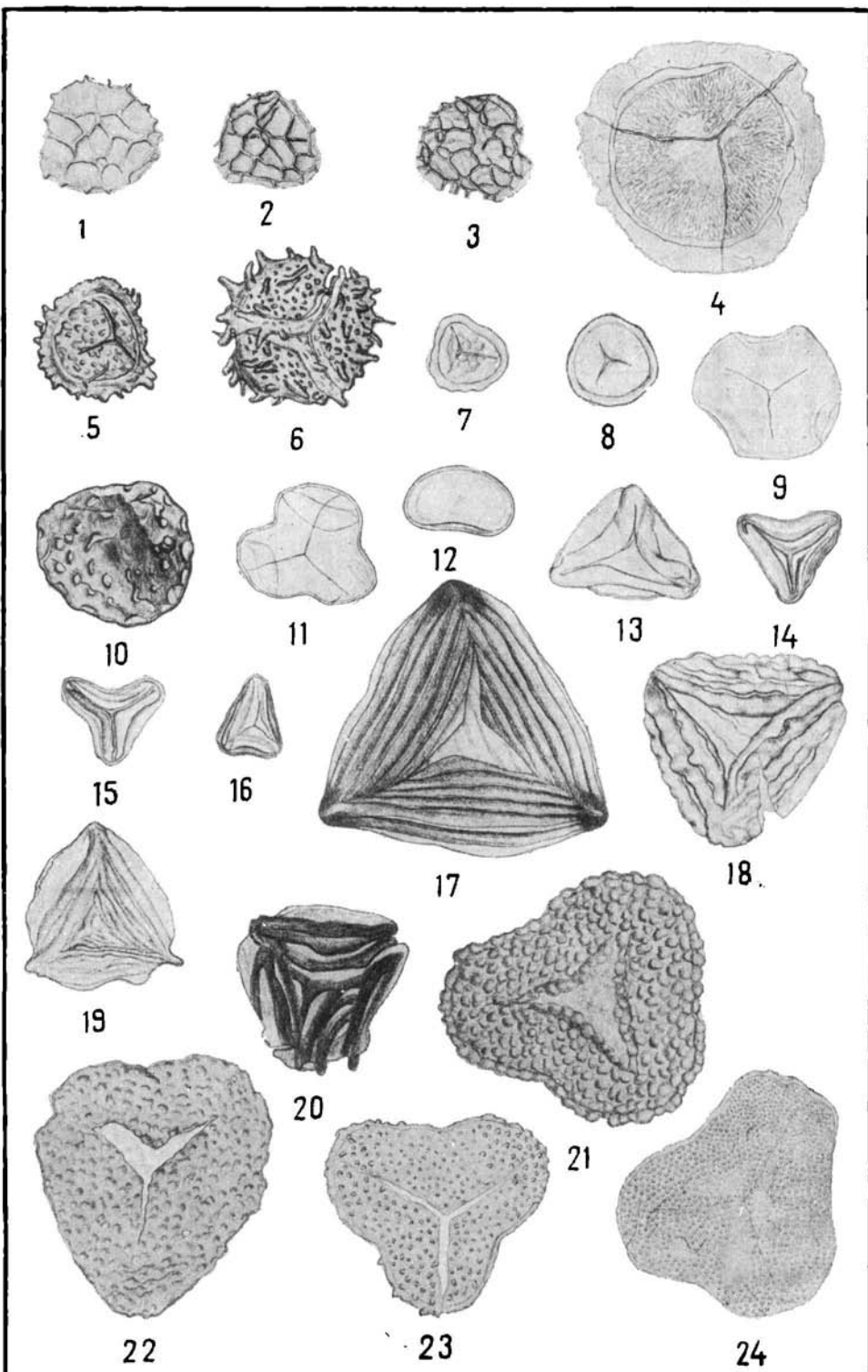


ТАБЛИЦА 63

Спирово-пыльцевой комплекс антильба Уватской скв. 1-р

1. *Lycopodium* sp.  $d = 31,0 \mu$ .
2. *Lycopodium* sp.  $d = 33,4 \mu$ .
3. *Lycopodium* sp.  $d = 36,0 \mu$ .
4. *Selaginella* sp.  $d = 61,1 \mu$ .
5. *Selaginella* sp.  $d = 33,6 \mu$ .
6. *Selaginella* sp.  $d = 42,0 \mu$ .
7. *Sphagnum* sp.  $d = 23,5 \mu$ .
8. *Sphagnum* sp.  $d = 23,9 \mu$ .
9. *Hemitelia* sp.  $d = 36,9 \mu$ .
10. *Brochotrichites vulgaris* N a u m.  $d = 43,5 \mu$ .
11. *Cibotium* sp.  $d = 31,6 \mu$ .
12. *Polypodiaceae* дл.  $33,4 \mu$ , шир.  $19,7 \mu$ .
13. *Matoniaceae*  $d = 36,9 \mu$ .
14. *Gleichenia* sp.  $d = 24,3 \mu$ .
15. *Gleichenia umbonata* B o l c h.  $d = 54,5 \mu$ .
16. *Gleichenia* sp.  $d = 25,6 \mu$ .
17. *Aneimia* sp.  $d = 73,0 \mu$ .
18. *Aneimia mandiacana* R u d.  $d = 51,3 \mu$ .
19. *Aneimia macrorhiza* B o l c h.  $d = 43,8 \mu$ .
20. *Aneimia* cf. *tomentosa* (S w.) S a v.  $d = 43,5 \mu$ .
21. *Lygodium* sp.  $d = 81,7 \mu$ .
22. *Lygodium* cf. *platituberculatum* K—M  $d = 80,4 \mu$ .
23. *Lygodium* sp.  $d = 53,1 \mu$ .
24. *Lygodium* sp.  $d = 60,2 \mu$ .

Бсе рис.  $\times 400$

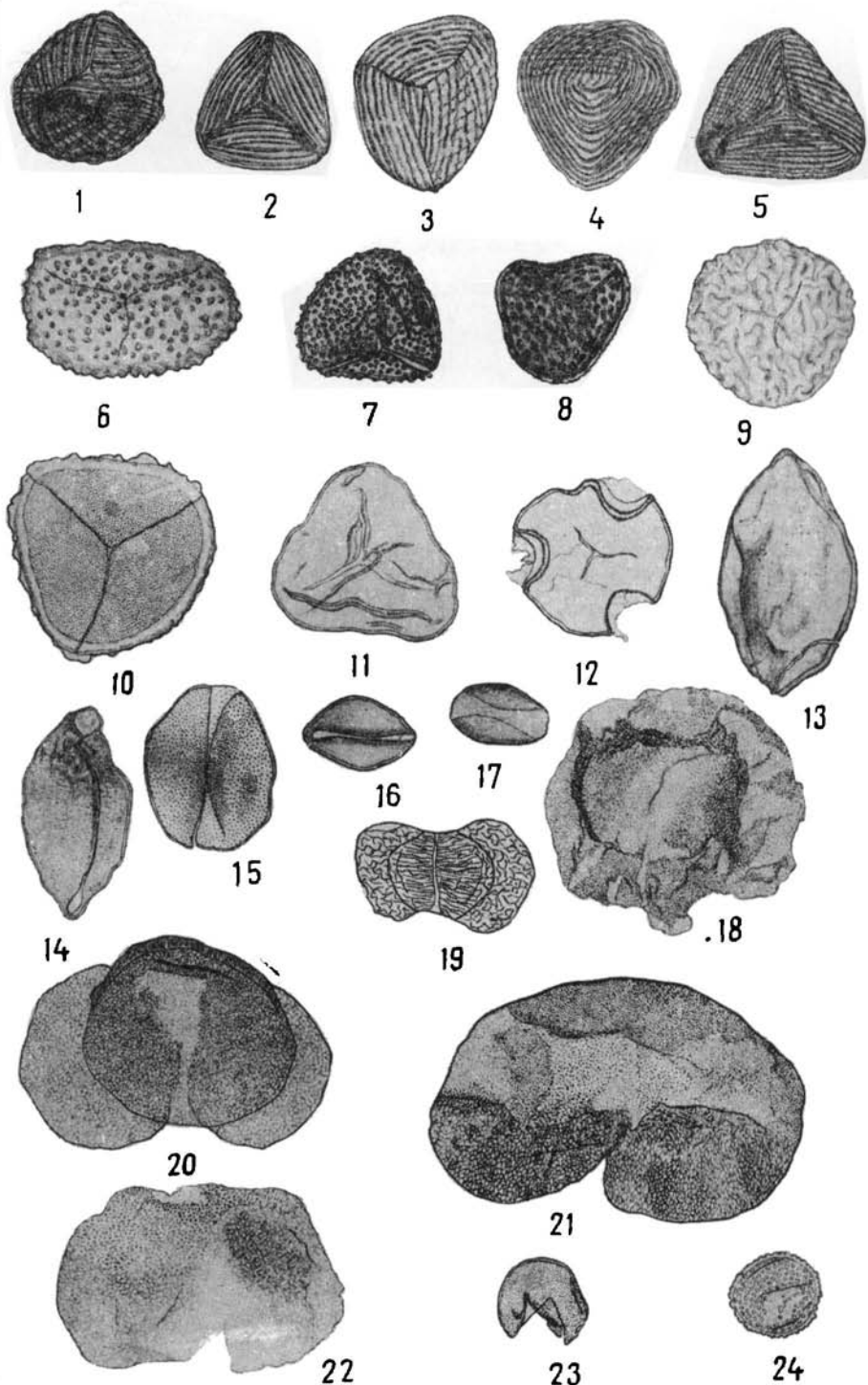


Спорово-пыльцевой комплекс апт-альба Уватской скв. 1-р

1. *Mohria excilis* Mal. д — 45,7  $\mu$ .
2. *Mohria mutabilis* Bolc h. д — 33,4  $\mu$ .
3. *Mohria* sp. д — 48,5  $\mu$ .
4. *Mohria striata* Naum. д — 51,6  $\mu$ .
5. *Mohria striata* Naum. д — 46,3  $\mu$ .
6. *Osmunda granulata* Mal. дл. 56,2  $\mu$ , шир. 34,8  $\mu$ .
7. *Osmunda* sp. д — 39,3  $\mu$ .
8. *Ophioglossum senomanicum* Kov. д — 36,6  $\mu$ .
9. *Lophotriletes* Naum. д — 41,5  $\mu$ .
10. *Stenozonotriletes* Naum. д — 53,1  $\mu$ .
11. *Leiotriletes tenuis* Mal. д — 54,0  $\mu$ .
12. Неопр. спора д — 41,7  $\mu$ .
13. *Bennettitales* дл. 65,6  $\mu$ , шир. 32,4  $\mu$ .
14. *Bennettitales* дл. 67,6  $\mu$ , шир. 36,0  $\mu$ .
15. *Bennettitales* дл. 43,8  $\mu$ , шир. 35,3  $\mu$ .
16. *Cycadaceae* дл. 29,5  $\mu$ , шир. 20,0  $\mu$ .
17. *Cycadaceae* дл. 25,0  $\mu$ , шир. 15,6  $\mu$ .
18. *Coniferae* дл. 77,8  $\mu$ , шир. 65,9  $\mu$ .
19. *Podocarpus* дл. 46,3  $\mu$ , выс. т. 21,9  $\mu$ , выс. м. 28,1  $\mu$ .
20. Тип *Abies* дл. 80,0  $\mu$ , выс. т. 46,1  $\mu$ , выс. м. 38,8  $\mu$ .
21. *Picea* sp. дл. 96,2  $\mu$ , выс. т. 43,8  $\mu$ , выс. м. 60,2  $\mu$ .
22. *Picea* sp. дл. 83,9  $\mu$ , выс. т. 43,8  $\mu$ , выс. м. 48,3  $\mu$ .
23. *Taxodiaceae* д — 24,0  $\mu$ .
24. *Salicaceae* дл. 28,8  $\mu$ , шир. 25,0  $\mu$ .

Все рис.  $\times 400$

Таблица 64

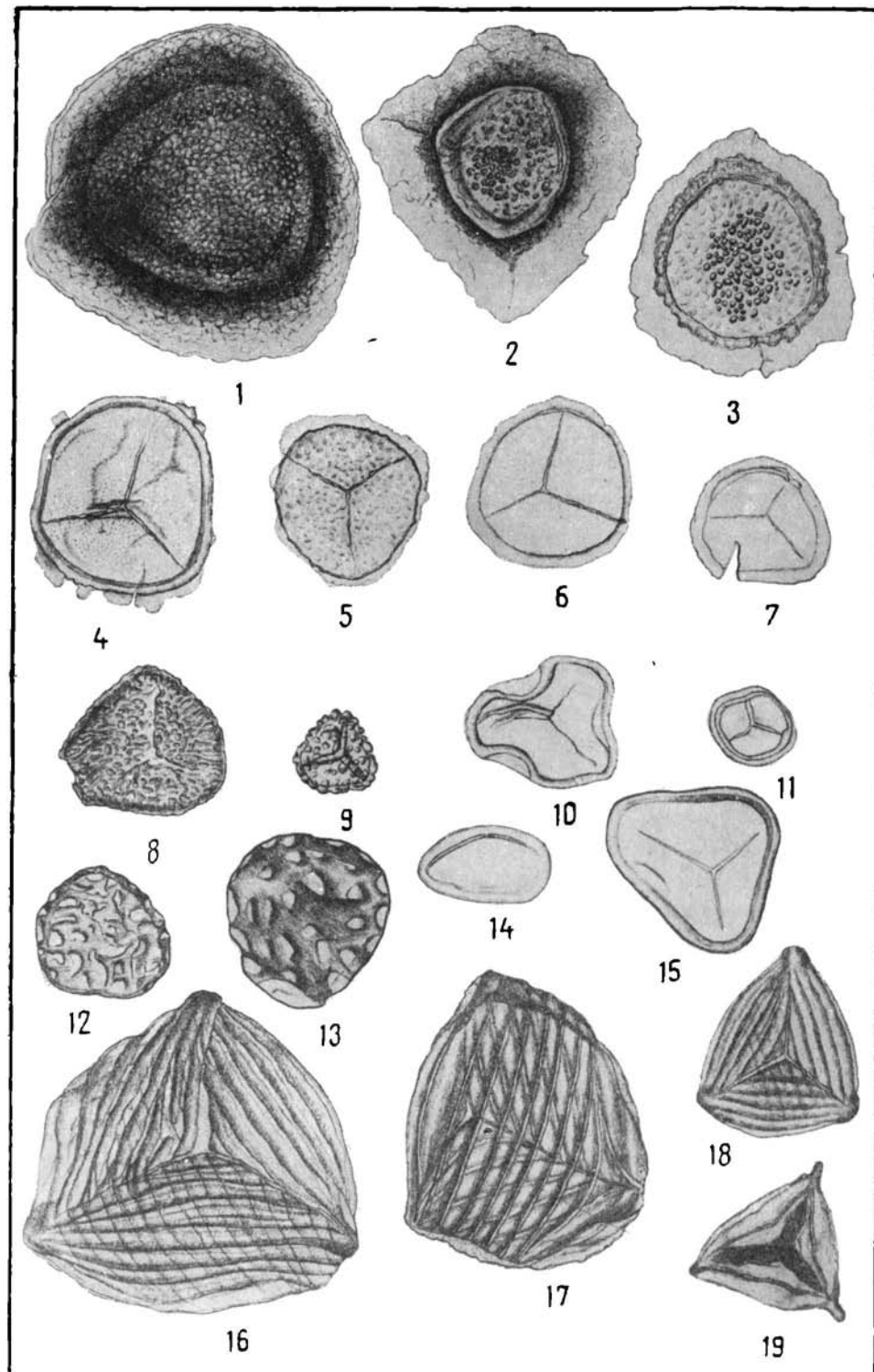


Спороово-пыльцевой комплекс апт-альба Ларьякской скв. 1·р

1. *Selaginella* sp.  $d = 97,3 \mu$ .
2. *Selaginella* sp.  $d = 78,7 \mu$ .
3. *Selaginella* sp.  $d = 65,9 \mu$ .
4. *Selaginella* sp.  $d = 58,6 \mu$ .
5. *Selaginella* sp.  $d = 49,8 \mu$ .
6. *Selaginella* sp.  $d = 48,7 \mu$ .
7. *Selaginella* sp.  $d = 36,0 \mu$ .
8. *Selaginella* sp.  $d = 43,8 \mu$ .
9. *Selaginella* sp.  $d = 22,8 \mu$ .
10. *Hemitelia* sp.  $d = 37,5 \mu$ .
11. *Dicksonieae*  $d = 24,5 \mu$ .
12. *Brochotriletes vulgaris* Nau m.  $d = 44,0 \mu$ .
13. *Brochotriletes vulgaris* Nau m.  $d = 48,9 \mu$ .
14. *Polypodiaceae* дл. 39,3  $\mu$ , шир. 21,9  $\mu$ .
15. *Acrostichum* sp.  $d = 51,0 \mu$ .
16. *Aneimia* cf. *exilioides* Mal.  $d = 95,3 \mu$ .
17. *Aneimia* cf. *exilioides* Mal. дл. 83,9  $\mu$ , шир. 71,4  $\mu$ .
18. *Aneimia pyramidina* Mal.  $d = 61,9 \mu$ .
19. *Aneimia macrorhiza* Bolch.  $d = 47,4 \mu$ .

Все рис.  $\times 400$

Таблица 65

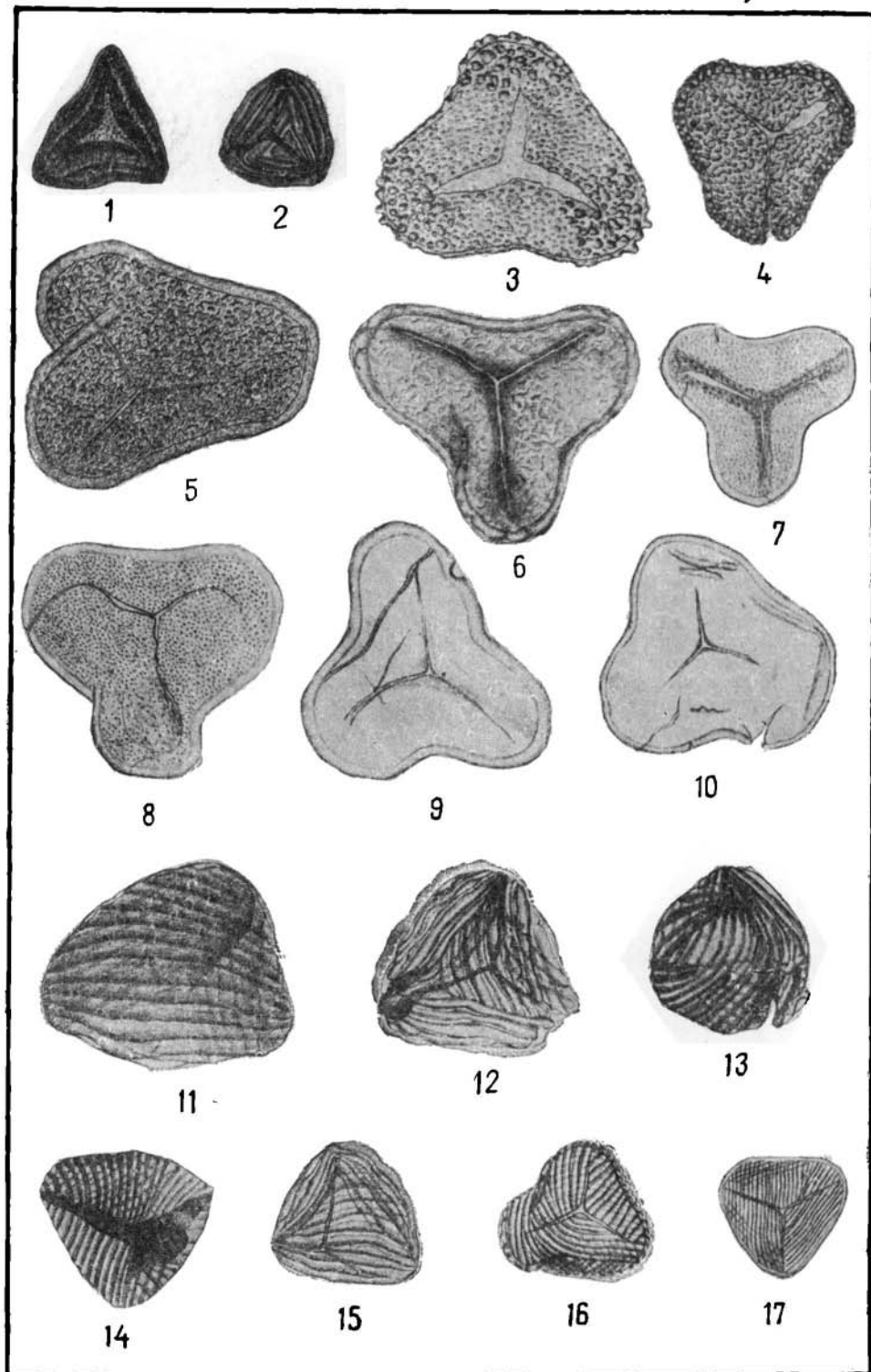


Спорово-пыльцевой комплекс апт-альба Ларьинской скв. 1-р

1. *Aneimia* sp.  $d = 39,4 \mu$ .
2. *Aneimia* cf. *tripartina* Bolch.  $d = 36,0 \mu$ .
3. *Lygodium splendidum* K-M  $d = 69,0 \mu$ .
4. *Lygodium* sp.  $d = 49,8 \mu$ .
5. *Lygodium* cf. *gibberulum* K-M  $d = 79,6 \mu$ .
6. *Lygodium eretaceum* Mal.  $d = 73,4 \mu$ .
7. *Lygodium* sp.  $d = 48,8 \mu$ .
8. *Lygodium asperatum* K-M  $d = 63,0 \mu$ .
9. *Lygodium* cf. *japonicum* Sw.  $d = 69,6 \mu$ .
10. *Lygodium* sp.  $d = 60,8 \mu$ .
11. *Mohria* sp. дл.  $71,0 \mu$ , шир.  $60,0 \mu$ .
12. *Mohria* sp.  $d = 53,1 \mu$ .
13. *Mohria* sp.  $d = 47,0 \mu$ .
14. *Mohria* sp.  $d = 43,8 \mu$ .
15. *Mohria* sp.  $d = 60,8 \mu$ .
16. *Mohria exilis* Mal.  $d = 39,5 \mu$ .
17. *Mohria striata* Bolch.  $d = 35,8 \mu$ .

Все рис.  $\times 400$

Таблица 66

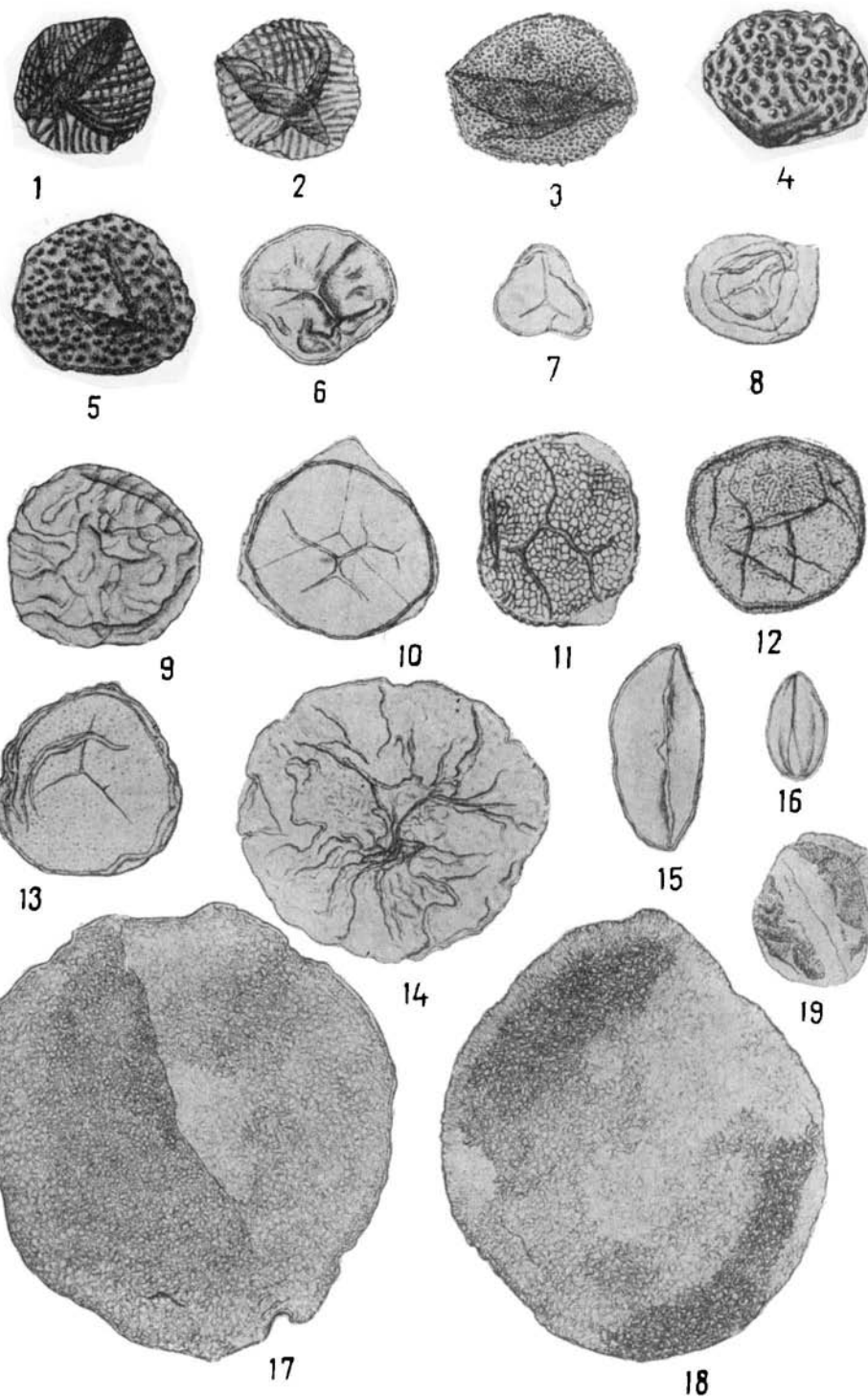


Спорово-пыльцевой комплекс апт-альба Ларьковской скв. 1-р

1. *Mohria* sp.  $d = 37,1 \mu$ .
2. *Mohria* sp.  $d = 38,3 \mu$ .
3. *Osmunda* sp.  $d = 52,0 \mu$ .
4. *Ophioglossum* sp.  $d = 43,8 \mu$ .
5. *Ophioglossum* sp.  $d = 49,2 \mu$ .
6. *Filicales*  $d = 40,8 \mu$ .
7. *Leiotriletes* N a u m.  $d = 27,4 \mu$ .
8. *Chomotriletes* N a u m.  $d = 38,3 \mu$ .
9. *Periplectotriletes* N a u m.  $d = 49,6 \mu$ .
10. Неопр. спора  $d = 51,0 \mu$ .
11. Неопр. спора  $d = 43,8 \mu$ .
12. Неопр. спора  $d = 50,5 \mu$ .
13. Неопр. спора  $d = 51,4 \mu$ .
14. Неопр. зерно  $d = 87,9 \mu$ .
15. *Bennettitales* дл. 56,0  $\mu$ , шир. 23,7  $\mu$ .
16. *Ginkgo typica* M a l. дл. 28,5  $\mu$ , шир. 18,6  $\mu$ .
17. *Protoconiferus* B o l c h. дл. 120,8  $\mu$ , шир. 117,5  $\mu$ .
18. *Coniferae* дл. 131,8  $\mu$ , шир. 105,5  $\mu$ .
19. *Coniferae* с зачат. возд. мешк. дл. 40,8  $\mu$ , шир. 32,9  $\mu$ .

Всегда рис.  $\times 400$

Таблица 67

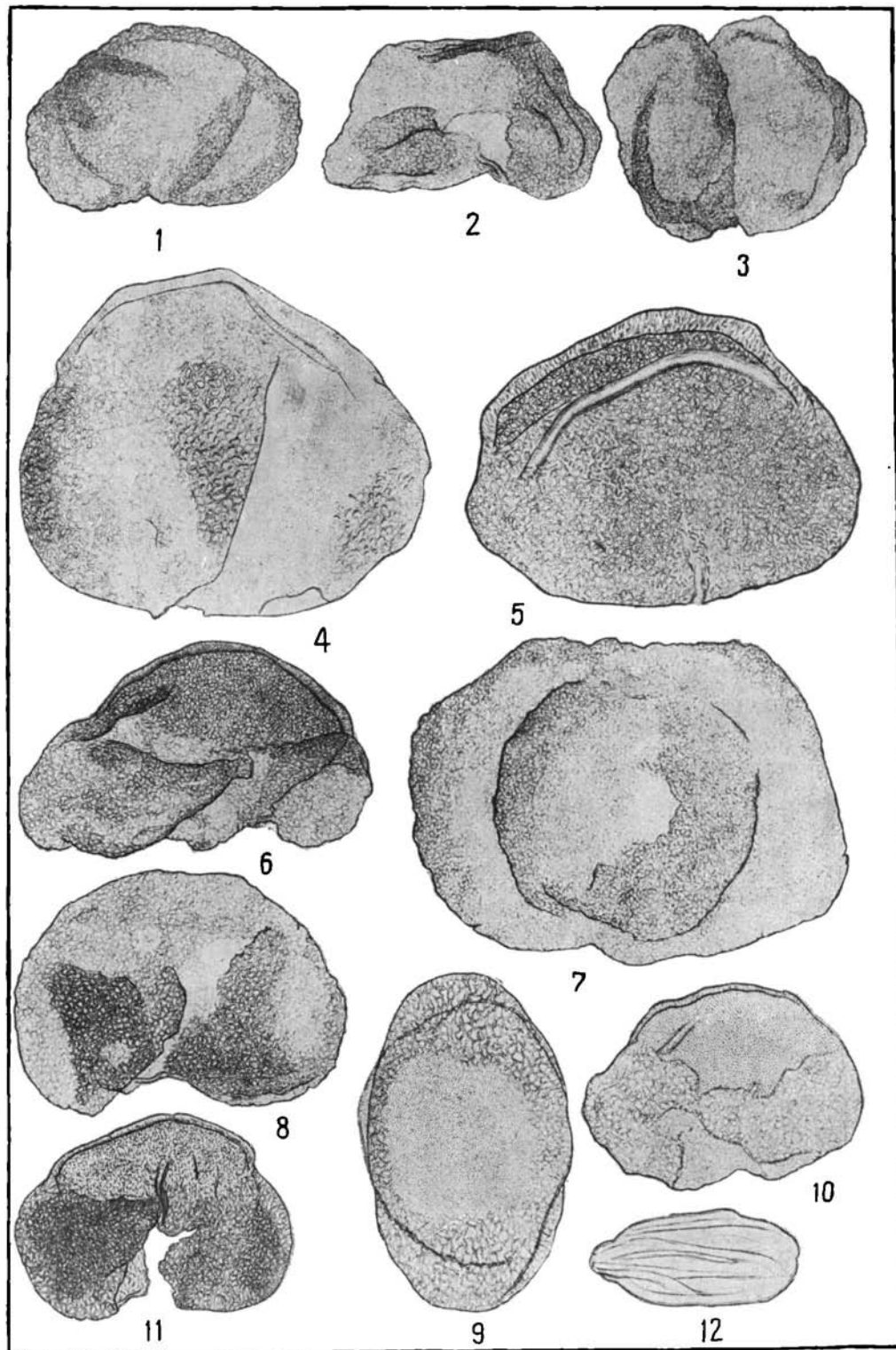


## ТАБЛИЦА 68

Спороно-пыльцевой комплекс апт-альба Ларьякской скв. 1-р

1. *Pinaceae* дл. 87,9  $\mu$ , выс. т. 29,2  $\mu$ , выс. м. 38,4  $\mu$ .
2. *Pinaceae* дл. 83,5  $\mu$ , выс. т. 40,8  $\mu$ , выс. м. 35,6  $\mu$ .
3. *Coniferae* дл. 75,8  $\mu$ , шир. 65,9  $\mu$ .
4. *Protoabies* В олс. б. дл. 110,4  $\mu$ , выс. т. 94,0  $\mu$ , выс. м. 69,9  $\mu$ .
5. *Protoabies* В олс. б. дл. 117,0  $\mu$ , выс. т. 87,9  $\mu$ , выс. м. 67,0  $\mu$ .
6. *Abies* дл. 102,0  $\mu$ , выс. т. 61,5  $\mu$ , выс. м. 43,8  $\mu$ .
7. *Paleopicea* В олс. б. дл. 131,8  $\mu$ , выс. т. 80,0  $\mu$ , выс. м. 87,9  $\mu$ .
8. *Picea* дл. 93,4  $\mu$ , выс. т. 61,7  $\mu$ , выс. м. 43,8  $\mu$ .
9. *Pinaceae* дл. 101,5  $\mu$ , выс. т. 65,9  $\mu$ , выс. м. 61,9  $\mu$ .
10. *Pinaceae* дл. 87,9  $\mu$ , выс. т. 39,5  $\mu$ , выс. м. 30,2  $\mu$ .
11. *Cedrus* дл. 80,4  $\mu$ , выс. т. 30,3  $\mu$ , выс. м. 43,8  $\mu$ .
12. *Ephedripites* дл. 65,9  $\mu$ , шир. 28,1  $\mu$ .

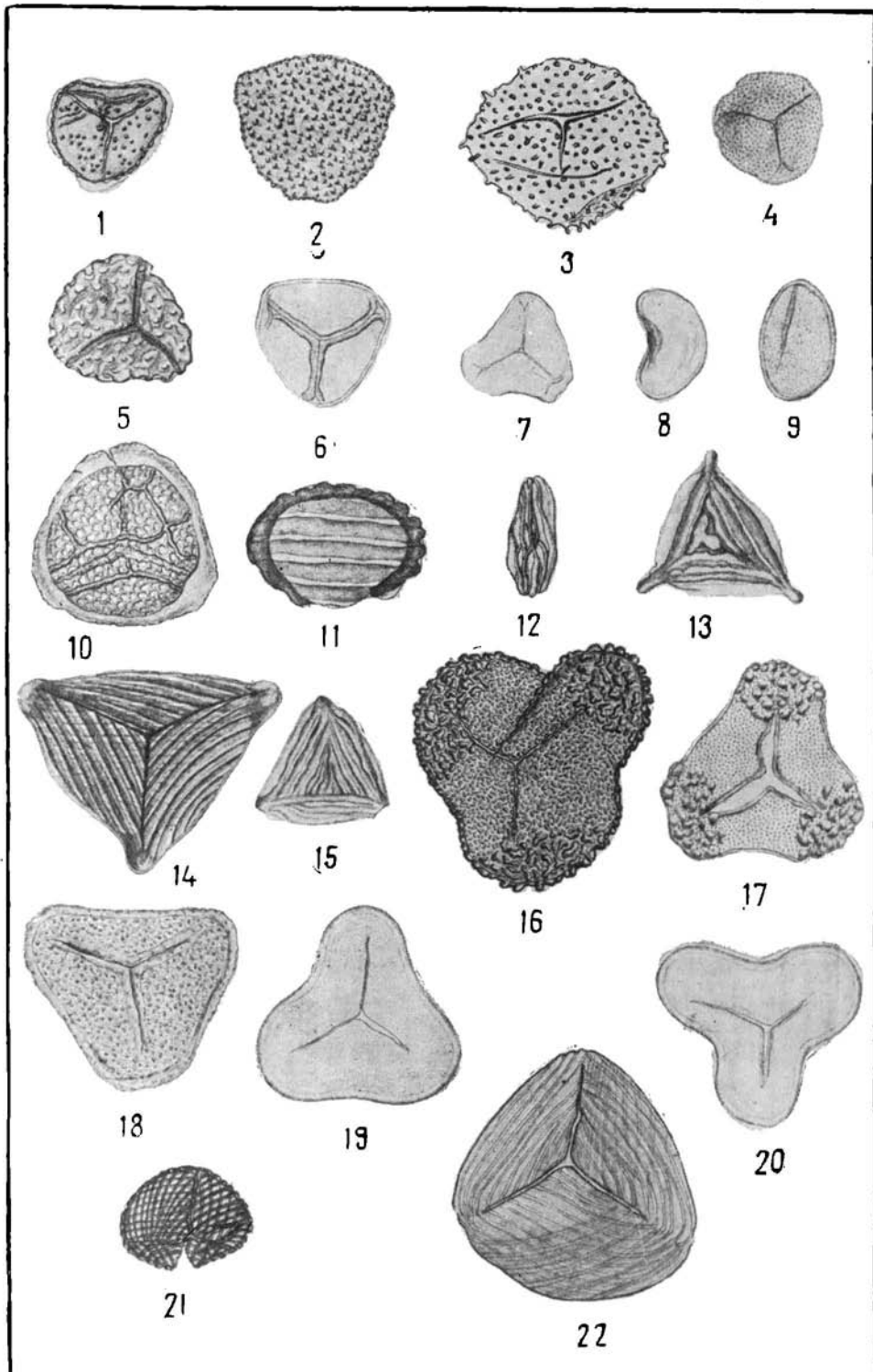
Все рис.  $\times 400$



Спирально-шылцевой комплекс антильской Покурской св. 1-р

1. *Selaginella* sp.  $d = 32,0 \mu$ .
2. *Selaginella* sp.  $d = 49,4 \mu$ .
3. *Selaginella* sp.  $d = 31,2 \mu$ .
4. *Hymenophyllum*  $d = 36,7 \mu$ .
5. *Brochotriletes vulgaris* N a u m.  $d = 43,8 \mu$ .
6. *Cibotium* sp.  $d = 41,5 \mu$ .
7. *Cibotium* sp.  $d = 30,7 \mu$ .
8. *Polypodiaceae* дл.  $36,7 \mu$ , шир.  $19,3 \mu$ .
9. *Polypodiaceae* дл.  $37,7 \mu$ , шир.  $24,4 \mu$ .
10. *Woodsia* sp.  $d = 59,9 \mu$ .
11. *Schizaeaceae* дл.  $55,3 \mu$ , шир.  $39,1 \mu$ .
12. *Schizaeaceae* дл.  $33,8 \mu$ , шир.  $14,0 \mu$ .
13. *Aneimia macrorhiza* B o l c h.  $d = 47,6 \mu$ .
14. *Aneimia* cf. *trichacantha* (M a l.)  $d = 70,5 \mu$ .
15. *Aneimia tripartita* B o l c h.  $d = 43,8 \mu$ .
16. *Lygodium* sp.  $d = 61,9 \mu$ .
17. *Lygodium splendidum* K—M  $d = 62,4 \mu$ .
18. *Lygodium* sp.  $d = 67,0 \mu$ .
19. *Lygodium japonicum* A g r.  $d = 60,4 \mu$ .
20. *Lygodium japonicum* A g r.  $d = 54,0 \mu$ .
21. *Mohria* sp. дл.  $38,9 \mu$ , шир.  $30,2 \mu$ .
22. *Mohria* sp.  $d = 40,6 \mu$ .

Все рис.  $\times 400$

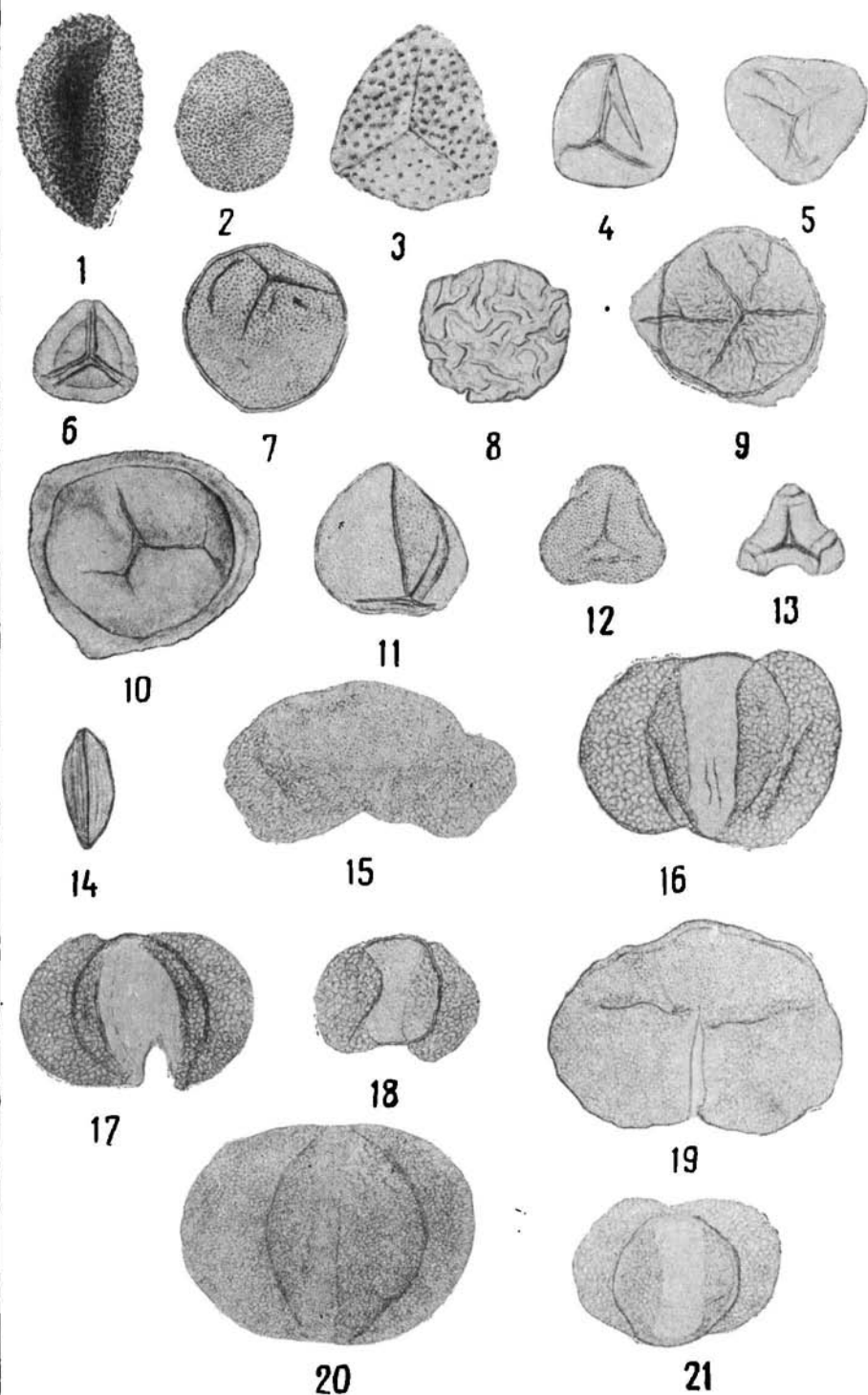


## ТАБЛИЦА 70

Спорово-пыльцевой комплекс апт-альба Покурской скв. 1-р

1. *Osmundaceae* дл. 59,7  $\mu$ , шир. 36,2  $\mu$ .
  2. *Osmunda* sp. дл. 38,4  $\mu$ , шир. 32,7  $\mu$ .
  3. *Ophioglossum* sp.  $d$  — 53,6  $\mu$ .
  4. *Leiotriletes* Naum.  $d$  — 41,3  $\mu$ .
  5. *Leiotriletes tenuis* Naum.  $d$  — 43,8  $\mu$ .
  6. *Chomotriletes* Naum.  $d$  — 33,2  $\mu$ .
  7. *Trachytriletes* Naum.  $d$  — 43,8  $\mu$ .
  8. *Periplectotrilites* Naum.  $d$  — 43,8  $\mu$ .
  9. Неопр. спора  $d$  — 48,9  $\mu$ .
  10. *Stenozonotrilites* Naum.  $d$  — 69,8  $\mu$ .
  11. Неопр. спора  $d$  — 49,6  $\mu$ .
  12. Неопр. спора  $d$  — 35,6  $\mu$ .
  13. *Cibotium junctum* K-M  $d$  — 26,7  $\mu$ .
  14. *Ginkgoaceae* дл. 37,5  $\mu$ , шир. 16,0  $\mu$ .
  15. *Pinaceae* дл. 89,2  $\mu$ , выс. т. 43,8  $\mu$ , выс. м. 38,3  $\mu$ .
  16. *Pinus* дл. 76,9  $\mu$ , выс. т. 56,0  $\mu$ , выс. м 59,3  $\mu$ .
  17. *Pinus* n/p *Haploxyylon* дл. 70,5  $\mu$ , выс. т. 45,9  $\mu$ , выс. м. 45,9  $\mu$ .
  18. *Pinus* n/p *Diploxyylon* дл. 50,7  $\mu$ , выс. т. 34,0  $\mu$ , выс. м. 35,1  $\mu$ .
  19. *Picea* sp. дл. 91,4  $\mu$ , выс. т. 26,5  $\mu$ , выс. м. 50,5  $\mu$ .
  20. *Picea* sp. дл. 87,9  $\mu$ , шир. 68,8  $\mu$ .
  21. *Pinus* n/p *Haplorylon* дл. 67,8  $\mu$ , выс. т. 41,5  $\mu$ , выс. м. 42,4  $\mu$ .
- Все рис.  $\times 400$

Таблица 70



# ТАБЛИЦА 71

Спорово-пыльцевой комплекс апт-альба Омской скв. 1-р

1. *Selaginella* sp.  $d = 43,8 \mu$ .
2. *Cibotium* sp.  $d = 35,8 \mu$ .
3. *Polypodiaceae* дл. 36,9  $\mu$ , шир. 24,5  $\mu$ .
4. *Polypodium* sp. дл. 37,1  $\mu$ , шир. 25,0  $\mu$ .
5. *Adiantum* sp.  $d = 33,6 \mu$ .
6. *Adiantum* sp.  $d = 38,0 \mu$ .
7. *Adiantum* sp.  $d = 37,5 \mu$ .
8. *Adiantum* sp.  $d = 32,5 \mu$ .
9. *Adiantum* sp.  $d = 38,0 \mu$ .
10. *Gleichenia angulata* Н а у м.  $d = 30,0 \mu$ .
11. *Gleichenia* sp.  $d = 23,5 \mu$ .
12. *Gleichenia carinata* В о л ч.  $d = 27,6 \mu$ .
13. *Gleichenia* sp.  $d = 23,0 \mu$ .
14. *Gleichenia* sp.  $d = 24,3 \mu$ .
15. *Schizaea* sp. дл. 36,2  $\mu$ , шир. 26,1  $\mu$ .
16. *Aneimia* cf. *macrorhiza* (М а л.)  $d = 39,7 \mu$ .
17. *Lygodium* sp.  $d = 68,3 \mu$ .
18. *Lygodium* cf. *platituberculatum* К—М  $d = 61,7 \mu$ .
19. *Lygodium* sp.  $d = 46,5 \mu$ .
20. *Lygodium* sp.  $d = 57,6 \mu$ .
21. *Lygodium* sp.  $d = 47,6 \mu$ .
22. *Lygodium japonicum* А г р.  $d = 72,5 \mu$ .
23. *Mohria* sp.  $d = 50,5 \mu$ .
24. *Mohria* cf. *tersa* К—М  $d = 49,4 \mu$ .

Все рис.  $\times 400$

Таблица 71

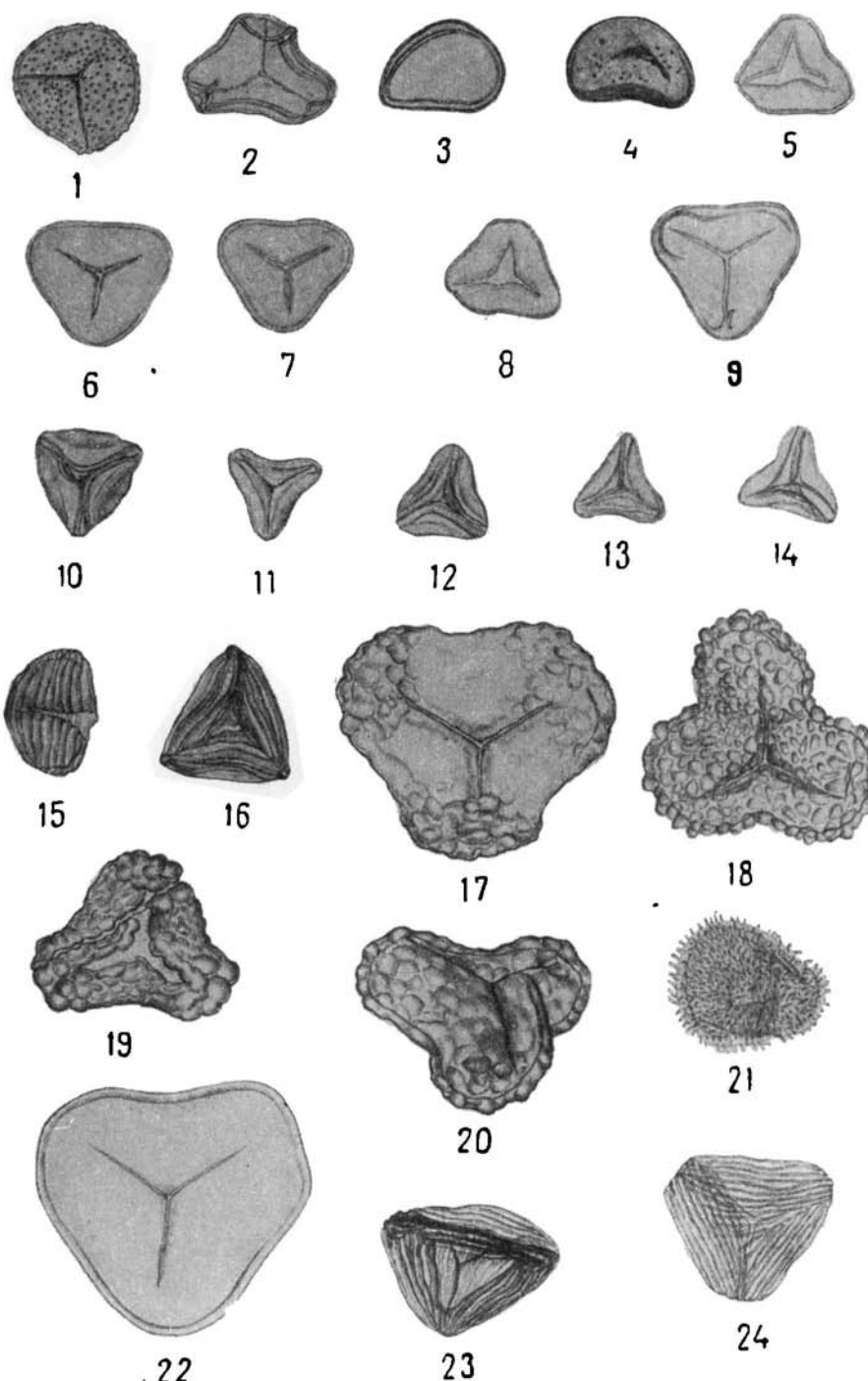


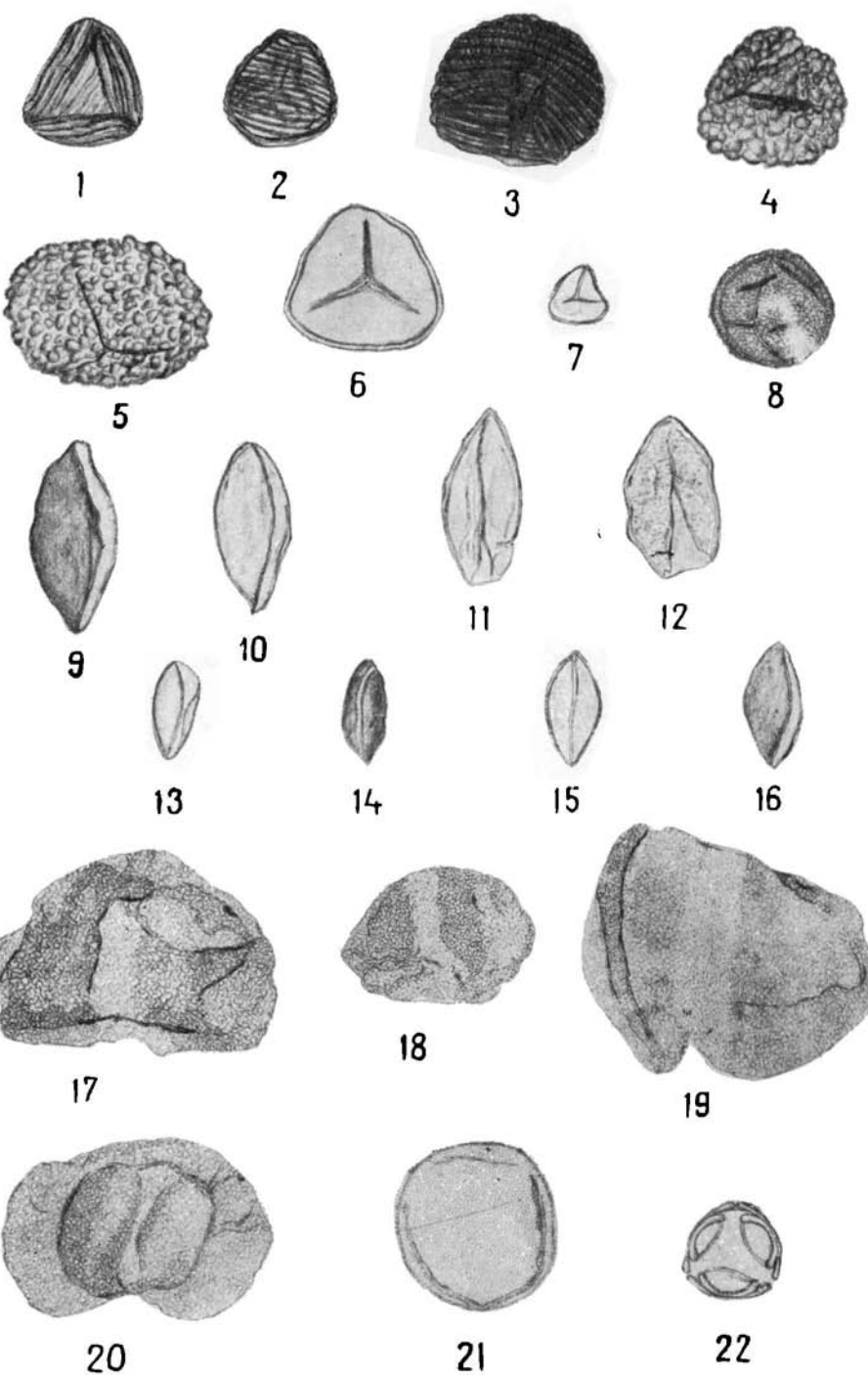
ТАБЛИЦА 72

Спорово-пыльцевой комплекс апт-альба Омской скв. 1-р

1. *Mohria* cf. *striata* В ол. ч. д — 35,8  $\mu$ .
2. *Mohria* sp. д — 32,7  $\mu$ .
3. *Mohria* sp. дл. 47,2  $\mu$ , шир. 40,0  $\mu$ .
4. *Filicales* д — 45,9  $\mu$ .
5. *Filicales* дл. 58,9  $\mu$ , шир. 43,8  $\mu$ .
6. *Coniopterus trisepta* М а л. д — 45,9  $\mu$ .
7. *Leiotriletes* Н а у м. д — 17,7  $\mu$ .
8. Неопр. спора д — 32,3  $\mu$ .
9. *Bennettitales* дл. 51,1  $\mu$ , шир. 23,6  $\mu$ .
10. *Bennettitales* дл. 46,9  $\mu$ , шир. 21,9  $\mu$ .
11. *Bennettitales* дл. 49,4  $\mu$ , шир. 21,9  $\mu$ .
12. *Bennettitales* дл. 43,8  $\mu$ , шир. 25,2  $\mu$ .
13. *Ginkgoaceae* дл. 30,7  $\mu$ , шир. 14,3  $\mu$ .
14. *Ginkgoaceae* дл. 32,7  $\mu$ , шир. 13,6  $\mu$ .
15. *Ginkgoaceae* дл. 33,8  $\mu$ , шир. 15,8  $\mu$ .
16. *Ginkgoaceae* дл. 40,2  $\mu$ , шир. 17,9  $\mu$ .
17. *Coniferae* дл. 90,7  $\mu$ , шир. 65,9  $\mu$ .
18. *Coniferae* дл. 60,6  $\mu$ , шир. 42,4  $\mu$ .
19. *Coniferae* дл. 98,9  $\mu$ , шир. 69,6  $\mu$ .
20. *Podocarpus* дл. 79,5  $\mu$ , выс. т. 38,3  $\mu$ , выс. м. 55,5  $\mu$ .
21. *Araucariaceae* д — 48,3  $\mu$ .
22. *Myrtus* д — 25,6  $\mu$ .

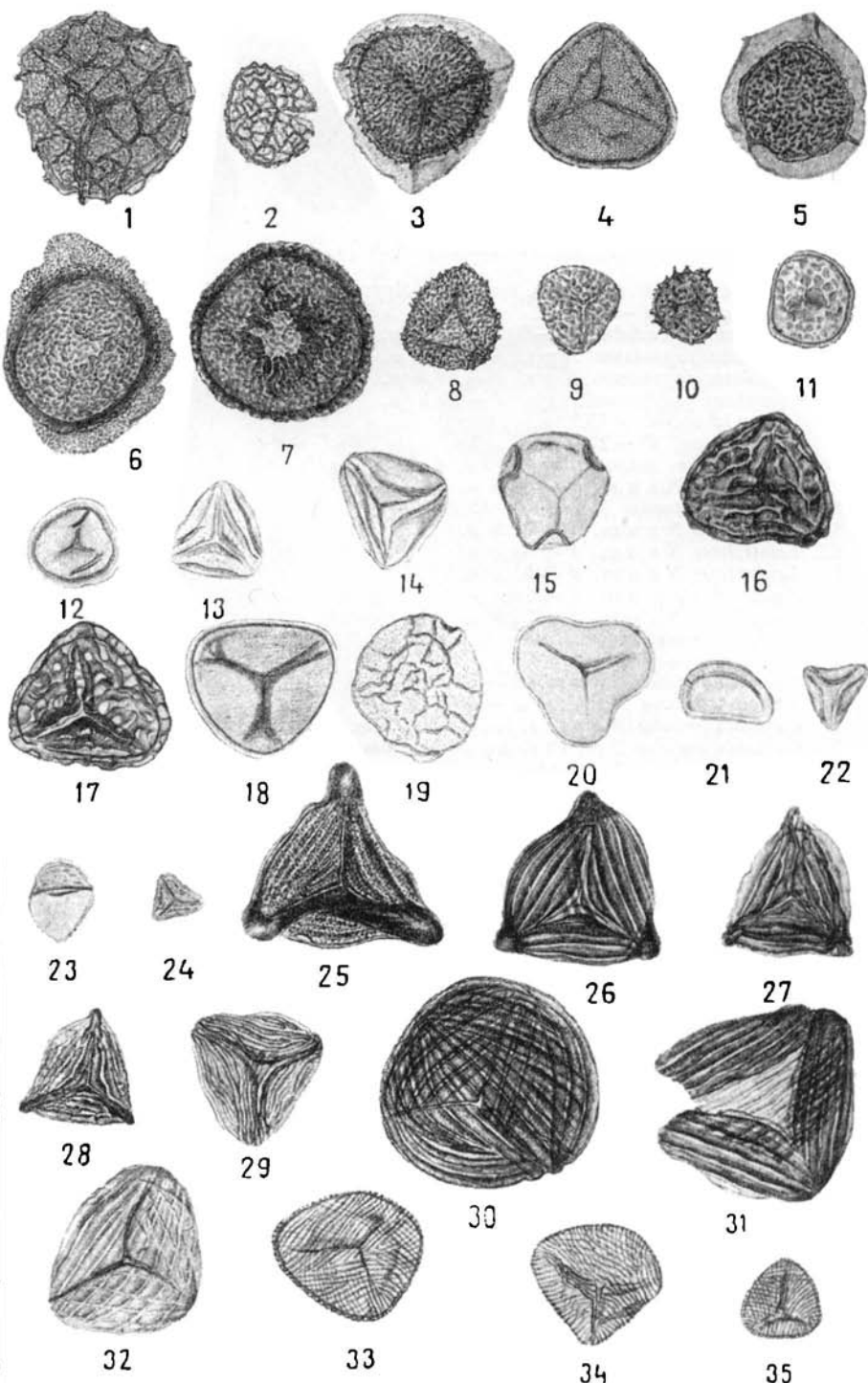
Все рис. × 400

Таблица 72



- Спорово-пыльцевой комплекс сеномана Леупшинской скв. 1-р
1. *Lycopodium* sp.  $d = 58,0 \mu$ .
  2. *Lycopodium* sp.  $d = 31,6 \mu$ .
  3. *Selaginella* sp.  $d = 56,9 \mu$ .
  4. *Selaginella* sp.  $d = 47,2 \mu$ .
  5. *Selaginella* sp.  $d = 54,5 \mu$ .
  6. *Selaginella* sp.  $d = 65,9 \mu$ .
  7. *Selaginella* sp.  $d = 62,4 \mu$ .
  8. *Selaginella* sp.  $d = 35,6 \mu$ .
  9. *Selaginella* sp.  $d = 26,5 \mu$ .
  10. *Selaginella* sp.  $d = 21,9 \mu$ .
  11. *Sphagnum* sp.  $d = 30,5 \mu$ .
  12. *Sphagnum* sp.  $d = 31,6 \mu$ .
  13. *Cyathea* sp.  $d = 30,3 \mu$ .
  14. Cf. *Cyathea* sp.  $d = 37,1 \mu$ .
  15. *Hemitelia* sp.  $d = 37,5 \mu$ .
  16. *Dicksoniaceae*  $d = 49,4 \mu$ .
  17. *Dicksonia* sp.  $d = 48,5 \mu$ .
  18. *Cibotium* sp.  $d = 49,2 \mu$ .
  19. Cf. *Woodsia*  $d = 49,2 \mu$ .
  20. *Adiantum* sp.  $d = 41,7 \mu$ .
  21. *Polypodiaceae* дл.  $32,7 \mu$ , шир.  $21,0 \mu$ .
  22. *Gleichenia glauca* H o o k.  $d = 21,9 \mu$ .
  23. *Gleichenia* sp.  $d = 24,1 \mu$ .
  24. *Gleicheniaceae*  $d = 15,4 \mu$ .
  25. *Aneimia* sp.  $d = 60,6 \mu$ .
  26. *Aneimia pyramidina* (M a l.)  $d = 56,4 \mu$ .
  27. *Aneimia macrorhiza* B o l c h.  $d = 46,3 \mu$ .
  28. *Aneimia* aff. *humilis* S. W.  $d = 38,9 \mu$ .
  29. *Aneimia* cf. *tricostata* B o l c h.  $d = 40,4 \mu$ .
  30. *Aneimia* sp.  $d = 72,2 \mu$ .
  31. *Aneimia exiliformis* B o l c h.  $d = 71,6 \mu$ .
  32. *Aneimia* sp.  $d = 57,8 \mu$ .
  33. *Mohria exilis* (M a l.)  $d = 45,4 \mu$ .
  34. *Mohria striata* B o l c h.  $d = 41,0 \mu$ .
  35. *Mohria exilis* (M a l.)  $d = 26,1 \mu$ .
- Все рис.  $\times 400$

Таблица 73



# ТАБЛИЦА 74

Спорово-пыльцевой комплекс сеномана Лесушинской скв. 1-р

1. *Lygodium* sp.  $d = 73,4 \mu$ .
2. *Lygodium splendidum* K—M  $d = 61,1 \mu$ .
3. *Lygodium japonicum* A g r.  $d = 72,9 \mu$ .
4. *Lygodium japonicum* A g r.  $d = 69,8 \mu$ .
5. *Lygodium japonicum* A g r.  $d = 65,9 \mu$ .
6. *Osmunda* sp.  $d = 40,2 \mu$ .
7. *Osmunda* sp.  $d = 29,0 \mu$ .
8. *Ophioglossum senomanicum* K o v.  $d = 46,1 \mu$ .
9. *Leiotriletes* N a u m.  $d = 65,9 \mu$ .
10. *Leiotriletes tenuis* M a l.  $d = 48,7 \mu$ .
11. *Leiotriletes* N a u m.  $d = 37,5 \mu$ .
12. *Leiotriletes* N a u m.  $d = 34,3 \mu$ .
13. *Leiotriletes* N a u m.  $d = 31,4 \mu$ .
14. *Leiotriletes* N a u m.  $d = 29,0 \mu$ .
15. *Leiotriletes* N a u m.  $d = 21,9 \mu$ .
16. *Camptotriletes* N a u m.  $d = 33,6 \mu$ .
17. *Filicales*  $d = 37,5 \mu$ .
18. *Stenozonotriletes* N a u m.  $d = 32,3 \mu$ .
19. *Stenozonotriletes* N a u m.  $d = 60,8 \mu$ .
20. *Caytonia oncodes* H a g g i s. дл. 38,4  $\mu$ , выс. т. 20,2  $\mu$ , выс. м. 20,6  $\mu$ .
21. *Caytonia oncodes* H a g g i s. дл. 28,5  $\mu$ , выс. т. 17,7  $\mu$ , выс. м. 17,7  $\mu$ .
22. *Caytonia oncodes* H a g g i s. дл. 29,4  $\mu$ , выс. т. 16,0  $\mu$ , выс. м. 16,0  $\mu$ .
23. *Picea* дл. 1099  $\mu$ , шир. 74,5  $\mu$ .
24. *Coniferae* с зачат. возд. мешк. дл. 29,9  $\mu$ , выс. т. 27,8  $\mu$ , выс. м. 21,9  $\mu$ .
25. *Podozamites*  $d = 76,0 \mu$ .
26. *Podozamites*  $d = 60,0 \mu$ .
27. *Podozamites*  $d = 55,5 \mu$ .

Все рис.  $\times 400$

Таблица 74

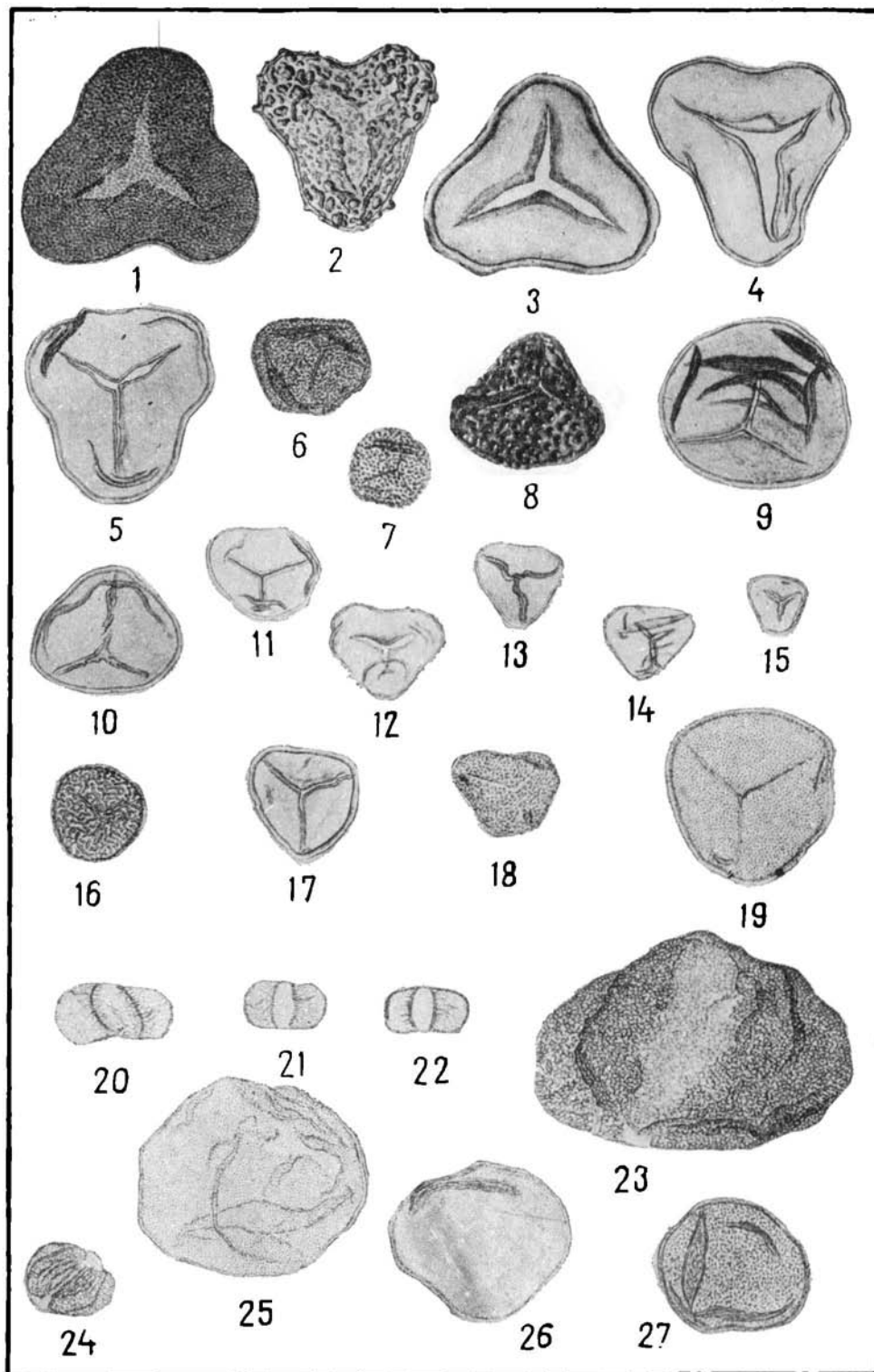
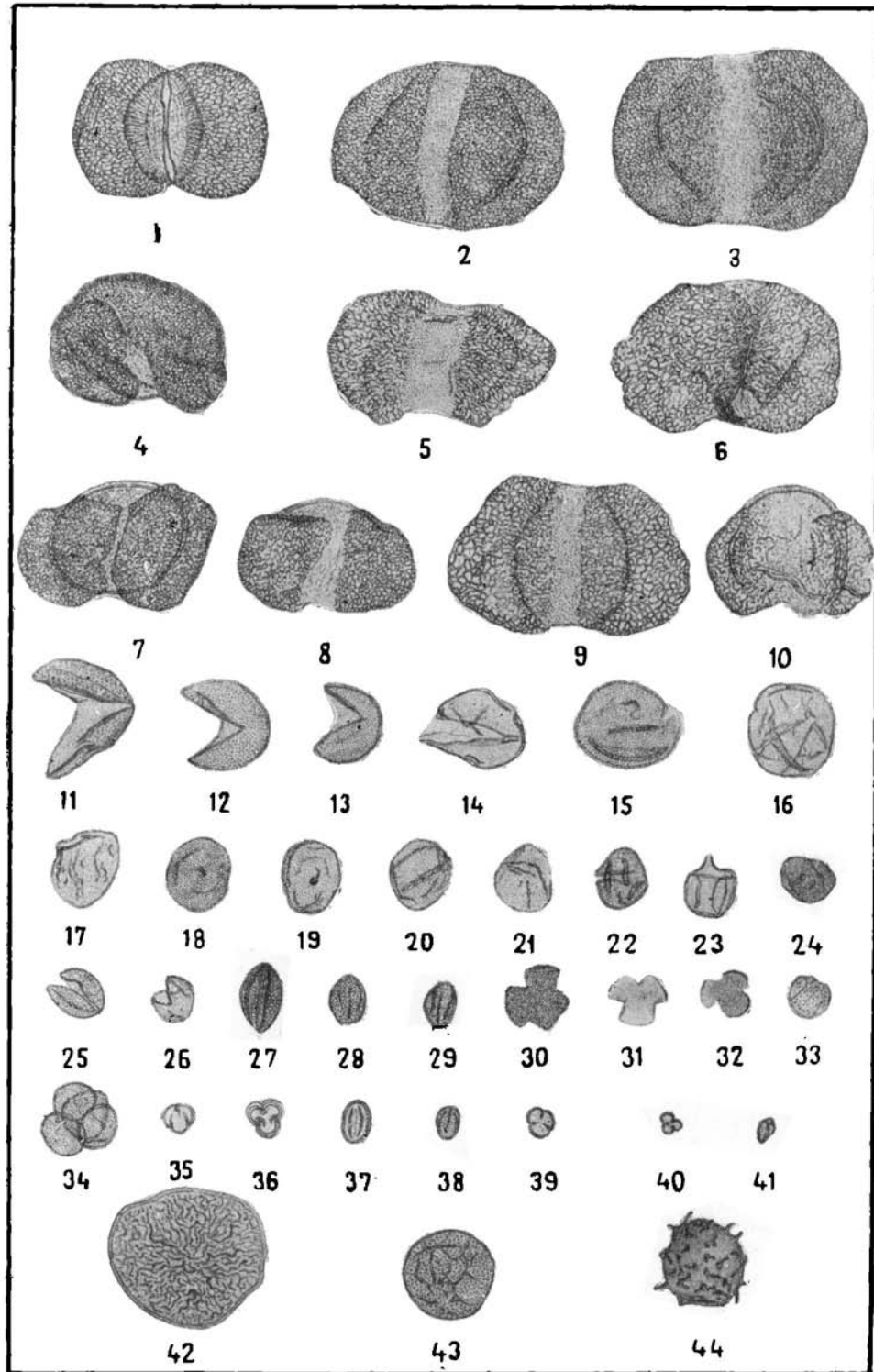


ТАБЛИЦА 75

- Спорово-пыльцевой комплекс сепомана Леушинской скв. 1-р
1. *Podocarpus* дл. 73,4  $\mu$ , выс. т. 39,1  $\mu$ , выс. м. 48,9  $\mu$ .
  2. *Picea* дл. 76,9  $\mu$ , шир. 57,5  $\mu$ .
  3. *Picea* дл. 87,9  $\mu$ , выс. т. 56,2  $\mu$ , выс. м. 58,6  $\mu$ .
  4. *Cedrus* дл. 62,8  $\mu$ , выс. т. 43,8  $\mu$ , выс. м. 33,2  $\mu$ .
  5. *Pinaceae* дл. 72,0  $\mu$ , выс. т. 37,5  $\mu$ , выс. м. 43,8  $\mu$ .
  6. *Pinaceae* дл. 78,3  $\mu$ , выс. т. 48,5  $\mu$ , выс. м. 52,7  $\mu$ .
  7. *Pinus* п/р *Diploxylon* дл. 67,2  $\mu$ , выс. т. 39,5  $\mu$ , выс. м. 43,8  $\mu$ .
  8. *Pinus* дл. 64,7  $\mu$ , выс. т. 37,7  $\mu$ , выс. м. 34,3  $\mu$ .
  9. *Pinus* дл. 83,7  $\mu$ , выс. т. 48,9  $\mu$ , выс. м. 53,1  $\mu$ .
  10. *Pinus* дл. 58,9  $\mu$ , выс. т. 38,9  $\mu$ , выс. м. 37,1  $\mu$ .
  11. *Taxodiaceae*  $d = 40,6 \mu$ .
  12. *Taxodiaceae*  $d = 33,8 \mu$ .
  13. *Taxodiaceae*  $d = 26,5 \mu$ .
  14. *Taxodiaceae*  $d = 36,4 \mu$ .
  15. *Taxodiaceae*  $d = 34,5 \mu$ .
  16. *Taxodiaceae*  $d = 33,2 \mu$ .
  17. *Taxodium* sp.  $d = 27,8 \mu$ .
  18. *Taxodiaceae*  $d = 23,5 \mu$ .
  19. *Taxodiaceae*  $d = 24,1 \mu$ .
  20. *Taxodiaceae*  $d = 21,9 \mu$ .
  21. *Taxodiaceae*  $d = 21,9 \mu$ .
  22. *Taxodiaceae*  $d = 19,5 \mu$ .
  23. *Taxodiaceae*  $d = 21,3 \mu$ .
  24. *Taxodiaceae*  $d = 16,9 \mu$ .
  25. *Taxodiaceae*  $d = 18,8 \mu$ .
  26. *Taxodiaceae*  $d = 14,1 \mu$ .
  27. Cf. *Salix* дл. 23,5  $\mu$ , шир. 14,3  $\mu$ .
  28. T. *Salicaceae* дл. 16,2  $\mu$ , шир. 12,0  $\mu$ .
  29. T. *Salicaceae* дл. 16,0  $\mu$ , шир. 9,8  $\mu$ .
  30. *Angiospermae*  $d = 21,9 \mu$ .
  31. *Angiospermae*  $d = 18,3 \mu$ .
  32. *Angiospermae*  $d = 14,8 \mu$ .
  33. *Angiospermae*  $d = 14,8 \mu$ .
  34. *Angiospermae*  $d = 24,7 \mu$ .
  35. *Angiospermae*  $d = 11,8 \mu$ .
  36. *Angiospermae*  $d = 11,4 \mu$ .
  37. *Angiospermae* дл. 14,0  $\mu$ , шир. 10,4  $\mu$ .
  38. *Angiospermae* дл. 11,6  $\mu$ , шир. 8,1  $\mu$ .
  39. *Angiospermae*  $d = 10,0 \mu$ .
  40. *Angiospermae*  $d = 7,0 \mu$ .
  41. *Angiospermae* дл. 8,2  $\mu$ , шир. 5,5  $\mu$ .
  42. Неопр. зерно  $d = 52,3 \mu$ .
  43. Неопр. зерно  $d = 32,5 \mu$ .
  44. Неопр. зерно  $d = 29,9 \mu$ .

Все рис.  $\times 400$

Таблица 75

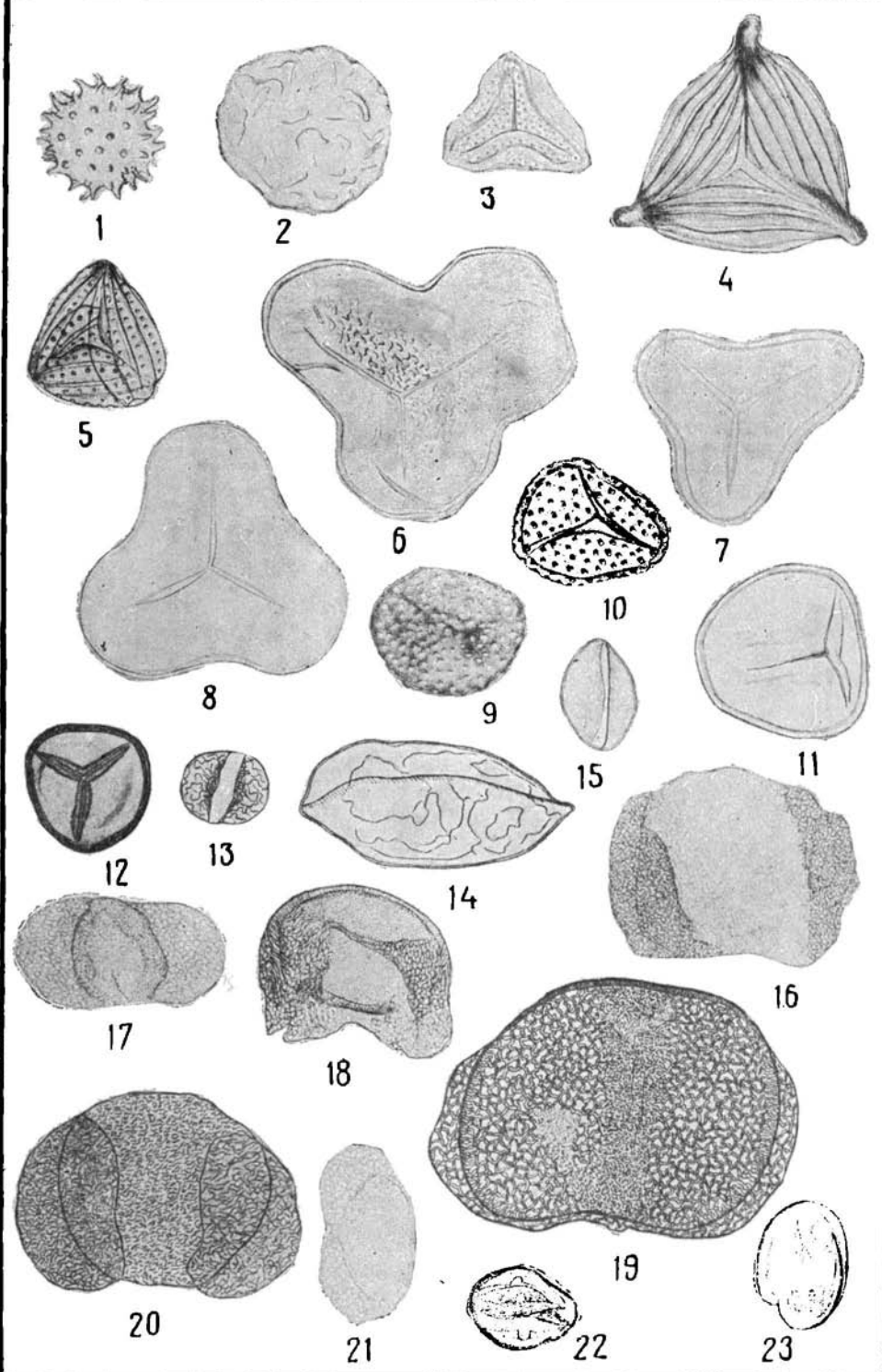


Спорово-пыльцевой комплекс сеномана (?) Уватской скв. 1-р

1. *Selaginella* sp.  $d = 27,2 \mu$ .
2. *Periplectotriletes* Н а у м.  $d = 47,6 \mu$ .
3. *Cyathaea* sp.  $d = 34,7 \mu$ .
4. *Aneimia* sp.  $d = 59,1 \mu$ .
5. *Aneimia* cf. *fulva* (?)  $d = 36,9 \mu$ .
6. *Lygodium* sp.  $d = 71,0 \mu$ .
7. *Lygodium japonicum* S w.  $d = 63,7 \mu$ .
8. *Lygodium Japonicum* S w.  $d = 83,7 \mu$ .
9. *Ophioglossum* sp.  $d = 52,9 \mu$ .
10. *Ophioglossum senomanicum* K o v.  $d = 40,0 \mu$ .
11. *Coniopteris*  $d = 48,7 \mu$ .
12. *Stenozonotriletes* Н а у м.  $d = 41,3 \mu$ .
13.  *Caytonia* дл.  $21,9 \mu$ , выс. т.  $18,6 \mu$ , выс. м.  $18,6 \mu$ .
14. *Bennettitales* дл.  $71,7 \mu$ , шир.  $33,7 \mu$ .
15. *Cycadaceae* дл.  $29,5 \mu$ , шир.  $20,0 \mu$ .
16. *Coniferae* дл.  $89,4 \mu$ , шир.  $65,9 \mu$ .
17. *Pinus* sp. дл.  $67,6 \mu$ , шир.  $41,5 \mu$ .
18. *Cedrus* sp. дл.  $50,6 \mu$ , выс. т.  $35,6 \mu$ , выс. м.  $28,1 \mu$ .
19. *Abies* sp. дл.  $101,4 \mu$ , выс. т.  $66,0 \mu$ , выс. м.  $60,0 \mu$ .
20. *Abies* sp. дл.  $83,2 \mu$ , выс. т.  $56,0 \mu$ , выс. м.  $37,8 \mu$ .
21. *Pinus* sp. дл.  $60,0 \mu$ , выс. т.  $24,5 \mu$ , выс. м.  $28,7 \mu$ .
22. *Nyssa* sp. дл.  $30,0 \mu$ , шир.  $21,9 \mu$ .
23. *Angiospermae* (?) трехбороздные дл.  $36,9 \mu$ , шир.  $26,1 \mu$ .

Все рис.  $\times 400$

Таблица 76



Спорово-пыльцевой комплекс сеномана (?) Ларьковской скв. 1-р

1. *Selaginella* sp.  $d = 73,0 \mu$ .
2. *Selaginella* sp.  $d = 51,6 \mu$ .
3. *Selaginella* sp.  $d = 40,6 \mu$ .
4. *Hymenozonotriletes* N a u m.  $d = 45,3 \mu$ .
5. *Hymenozonotriletes* N a u m.  $d = 35,6 \mu$ .
6. *Selaginella* sp.  $d = 58,0 \mu$ .
7. *Selaginella* sp.  $d = 45,3 \mu$ .
8. Cf. *Selaginella*  $d = 65,2 \mu$ .
9. *Selaginella* sp.  $d = 50,1 \mu$ .
10. *Selaginella* sp.  $d = 33,0 \mu$ .
11. *Hymenophyllum* sp.  $d = 51,6 \mu$ .
12. Cf. *Hymenophyllum*  $d = 57,8 \mu$ .
13. *Brochotriletes vulgaris* N a u m.  $d = 39,5 \mu$ .
14. *Brochotriletes vulgaris* N a u m.  $d = 46,3 \mu$ .
15. *Dicksoniaeae*  $d = 38,8 \mu$ .
16. *Cibotium* sp.  $d = 45,3 \mu$ .
17. *Cibotium* sp.  $d = 35,6 \mu$ .

Все рис.  $\times 400$

Таблица 77

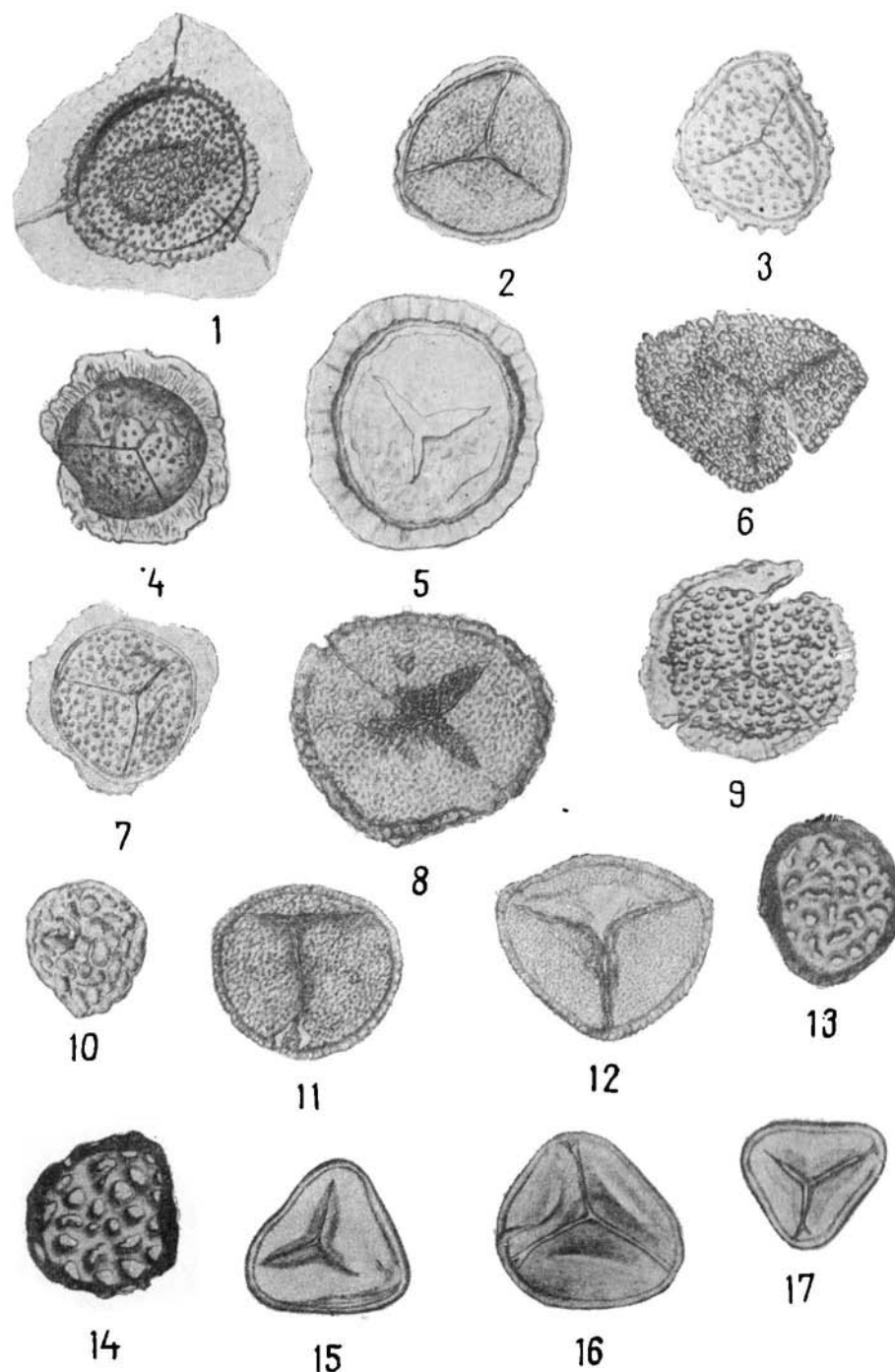
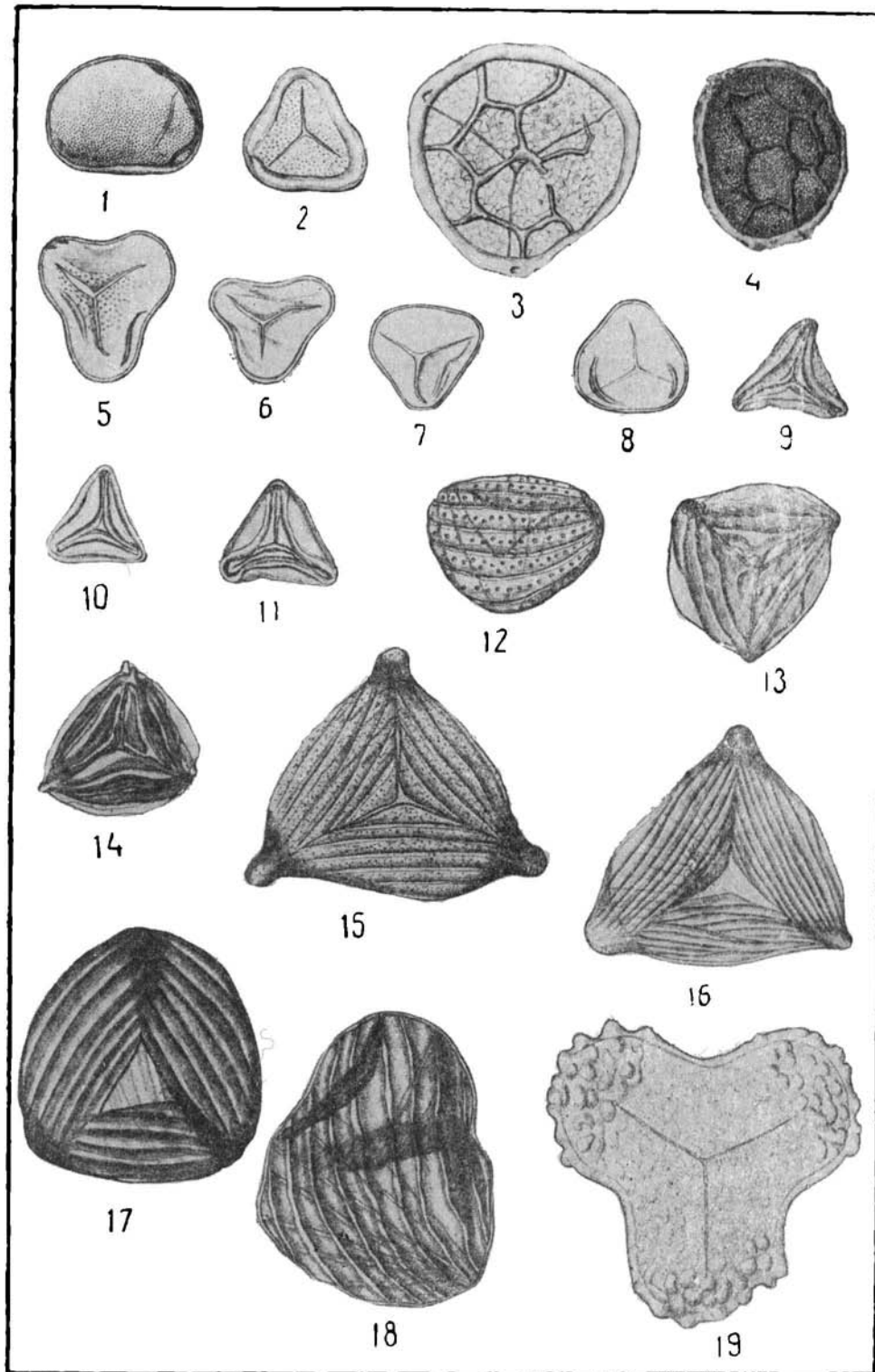


ТАБЛИЦА 78

Спорово-пыльцевой комплекс сеномана (?) Марьинской скв. 1-р

1. *Polypodiaceae* дл. 38,0  $\mu$ , шир. 30,9  $\mu$ .
2. *Acrostichum* sp.  $d = 32,5 \mu$ .
3. *Woodsia* sp.  $d = 65,0 \mu$ .
4. *Woodsia* sp.  $d = 50,1 \mu$ .
5. *Adiantum* sp.  $d = 37,9 \mu$ .
6. *Adiantum* sp.  $d = 28,1 \mu$ .
7. *Adiantum* sp.  $d = 31,8 \mu$ .
8. *Adiantum* sp.  $d = 30,9 \mu$ .
9. *Gleichenia* sp.  $d = 29,8 \mu$ .
10. *Gleichenia* sp.  $d = 25,0 \mu$ .
11. *Gleichenia* sp.  $d = 30,7 \mu$ .
12. *Schizaeaceae*  $d = 48,9 \mu$ .
13. *Aneimia* sp.  $d = 46,3 \mu$ .
14. *Aneimia* cf. *macrorhiza* B o l c h.  $d = 39,0 \mu$ .
15. *Aneimia* sp.  $d = 74,2 \mu$ .
16. *Aneimia* cf. *trichacantha* (M a l.)  $d = 65,9 \mu$ .
17. *Aneimia* sp.  $d = 65,2 \mu$ .
18. *Aneimia* sp.  $d = 36,9 \mu$ .
19. *Lygodium* sp.  $d = 72,7 \mu$ .

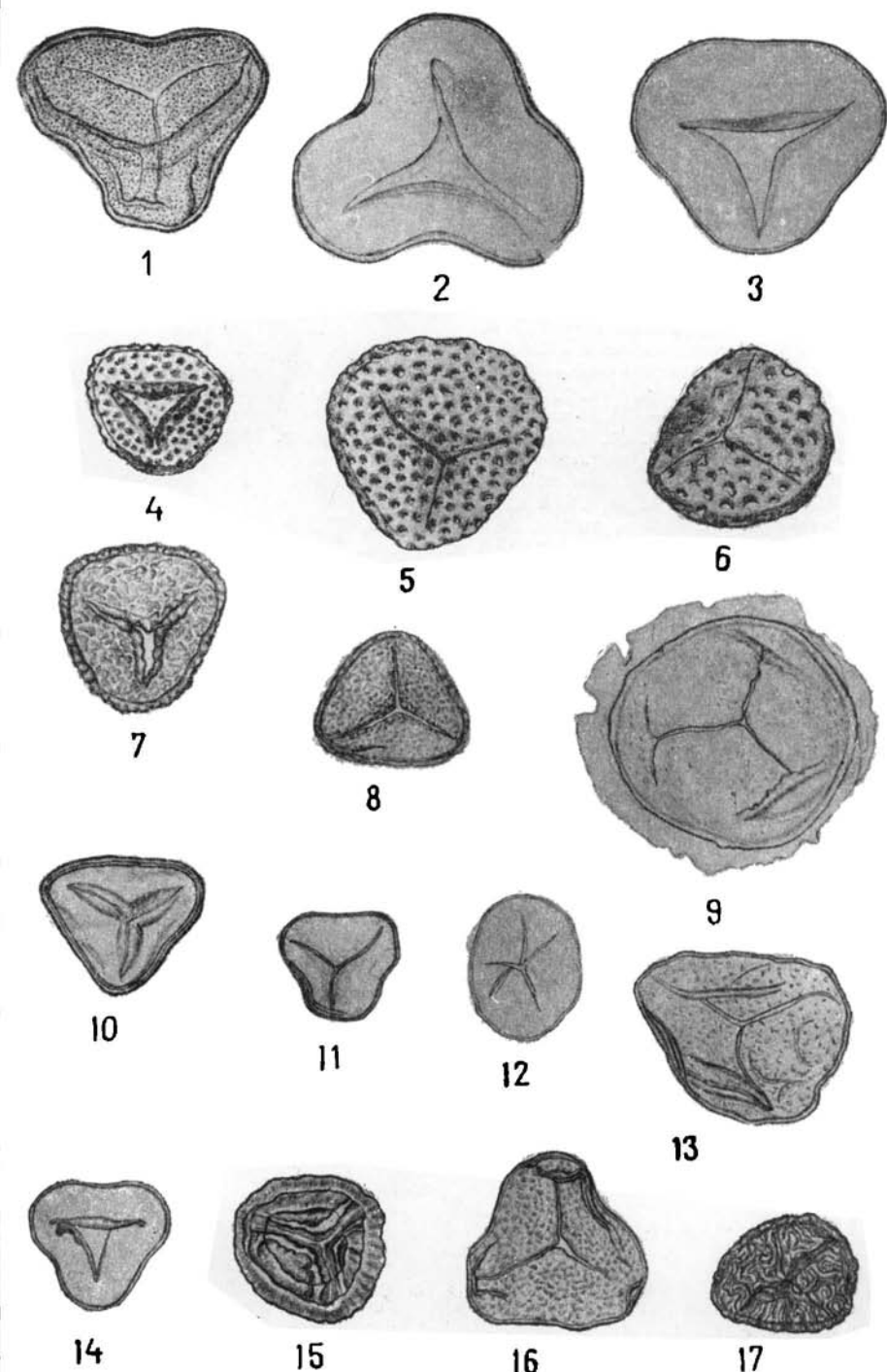
Все рис.  $\times 400$



Спорово-пыльцевой комплекс сеномана (?) Марьинской скв. 1-р

1. *Lycopodium* sp.  $d = 50,3 \mu$ .
2. Cf. *Lycopodium japonicum* S w.  $d = 65,9 \mu$ .
3. *Lycopodium* sp.  $d = 60,0 \mu$ .
4. *Ophioglossum* sp.  $d = 37,5 \mu$ .
5. *Ophioglossum* sp.  $d = 51,6 \mu$ .
6. *Ophioglossum* sp.  $d = 45,7 \mu$ .
7. *Botrychium* sp.  $d = 43,8 \mu$ .
8. Cf. *Botrychium* d — 45,0  $\mu$ .
9. *Hymenozonotriletes* N a u m.  $d = 71,6 \mu$ .
10. *Filicites* d — 40,0  $\mu$ .
11. *Leiotriletes* N a u m.  $d = 25,3 \mu$ .
12. *Leiotriletes* N a u m.  $d = 39,3 \mu$ .
13. *Leiotriletes* N a u m.  $d = 45,8 \mu$ .
14. *Leiotriletes* N a u m.  $d = 35,3 \mu$ .
15. *Chomotriletes* N a u m.  $d = 37,6 \mu$ .
16. *Lophotriletes* N a u m.  $d = 43,8 \mu$ .
17. *Camptotriletes* N a u m.  $d = 40,4 \mu$ .

Все рис.  $\times 400$



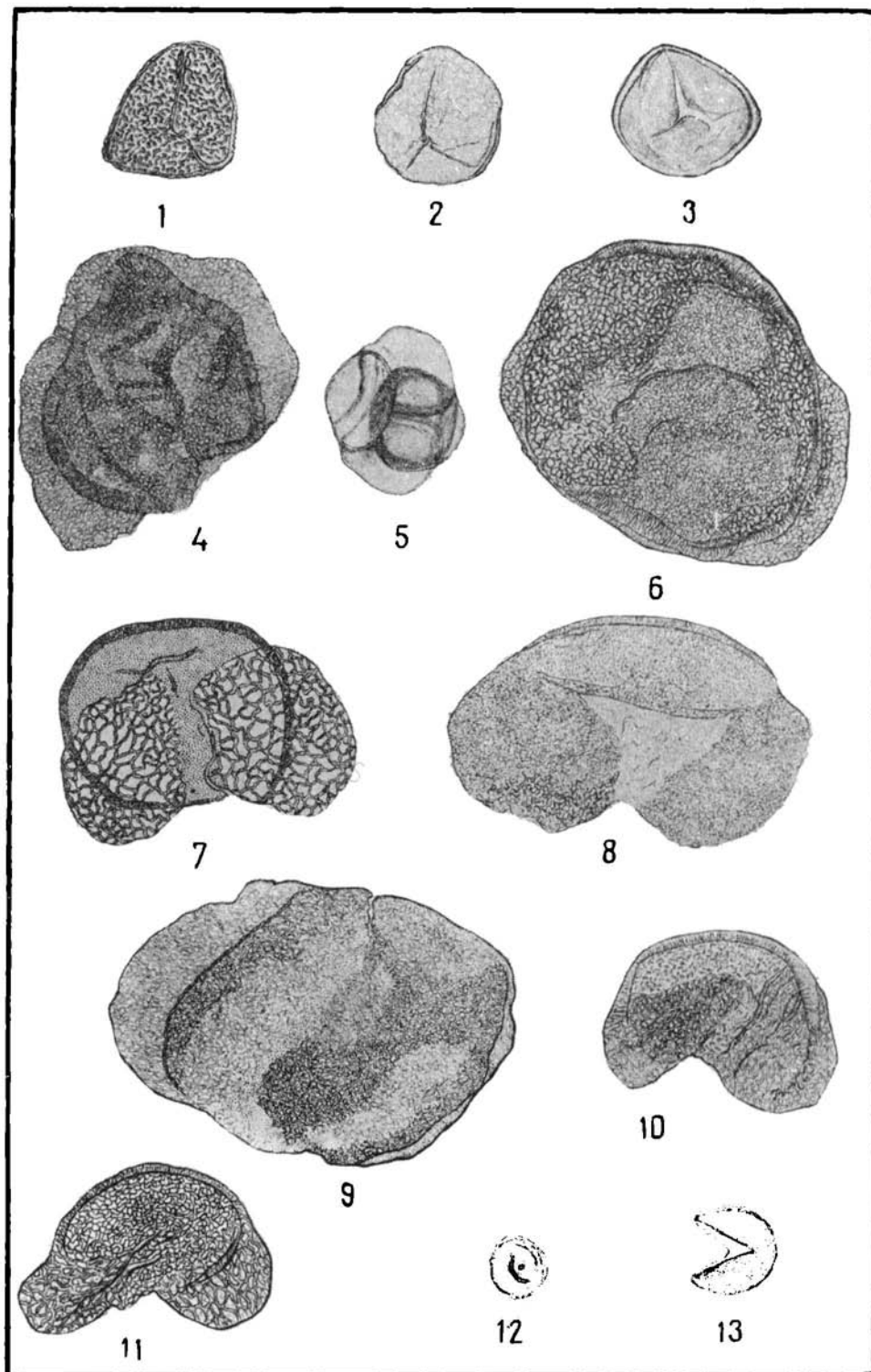
## ТАБЛИЦА 80

Спорово-пыльцевой комплекс сеномана (?) Ларьянской скв. 1-р

1. *Lophotriletes* N a u m.  $d = 40,5 \mu$ .
2. Неопределенная спора  $d = 36,0 \mu$ .
3. Неопределенная спора  $d = 41,9 \mu$ .
4. *Coniferae* дл.  $98,3 \mu$ , выс. т.  $50,7 \mu$ , выс. м.  $70,1 \mu$ .
5. *Brachyphyllum*  $d = 28,5 \mu$ .
6. *Protoabies* В о л с h. дл.  $95,0 \mu$ , выс. т.  $79,0 \mu$ , выс. м.  $70,2 \mu$ .
7. *Pinaceae* дл.  $72,9 \mu$ , выс. т.  $46,8 \mu$ , выс. м.  $43,8 \mu$ .
8. *Picea* sp. дл.  $106,5 \mu$ , выс. т.  $50,1 \mu$ , выс. м.  $49,9 \mu$ .
9. *Piceapites* В о л с h. дл.  $110,8 \mu$ , шир.  $79,4 \mu$ .
10. *Cedrus* sp. дл.  $65,9 \mu$ , выс. т.  $39,0 \mu$ , выс. м.  $33,2 \mu$ .
11. *Cedrus* sp. дл.  $70,0 \mu$ , выс. т.  $35,6 \mu$ , выс. м.  $29,8 \mu$ .
12. *Taxodiaceae*  $d = 19,4 \mu$ .
13. *Taxodiaceae*  $d = 29,6 \mu$ .

Все рис.  $\times 400$

Таблица 80



Сибирь-пильцевой комплекс сеномана (?) Омской скв. 1-р

1. *Lycopodium* sp<sub>1</sub>  $d = 35,6 \mu$ .
2. *Lycopodium* sp<sub>2</sub>  $d = 30,5 \mu$ .
3. *Selaginella* sp.  $d = 32,5 \mu$ .
4. *Selaginella* sp.  $d = 52,7 \mu$ .
5. *Selaginella* sp.  $d = 87,9 \mu$ .
6. *Selaginella* sp.  $d = 55,0 \mu$ .
7. *Selaginella* sp.  $d = 66,0 \mu$ .
8. *Selaginella* sp.  $d = 61,7 \mu$ .
9. *Periplectotriletes* Н а у м.  $d = 41,0 \mu$ .
10. *Periplectotriletes* Н а у м.  $d = 53,2 \mu$ .
11. *Selaginella* sp.  $d = 43,8 \mu$ .
12. *Sphagnum* sp.  $d = 24,3 \mu$ .
13. *Cyathea* sp.  $d = 37,5 \mu$ .
14. *Brochotriletes vulgaris* Н а у м.  $d = 47,1 \mu$ .
15. *Dicksonia* sp.  $d = 60,2 \mu$ .
16. *Brochotriletes vulgaris* Н а у м.  $d = 39,5 \mu$ .
17. *Polypodiaceae* дл.  $27,4 \mu$ , шир.  $21,9 \mu$ .
18. *Polypodiaceae* дл.  $27,8 \mu$ , шир.  $21,9 \mu$ .
19. *Woodsia* sp.  $d = 65,9 \mu$ .
20. *Woodsia* sp.  $d = 61,3 \mu$ .
21. *Woodsia* sp.  $d = 65,9 \mu$ .
22. *Adiantum* sp.  $d = 27,4 \mu$ .
23. *Adiantum* sp.  $d = 25,0 \mu$ .
24. *Adiantum* sp.  $d = 34,0 \mu$ .
25. *Gleichenia angulata* Б о л е х.  $d = 30,7 \mu$ .
26. *Gleichenia* sp.  $d = 31,1 \mu$ .
27. *Gleichenia angulata* Б о л е х.  $d = 30,2 \mu$ .

Все рис.  $\times 400$

Таблица 81

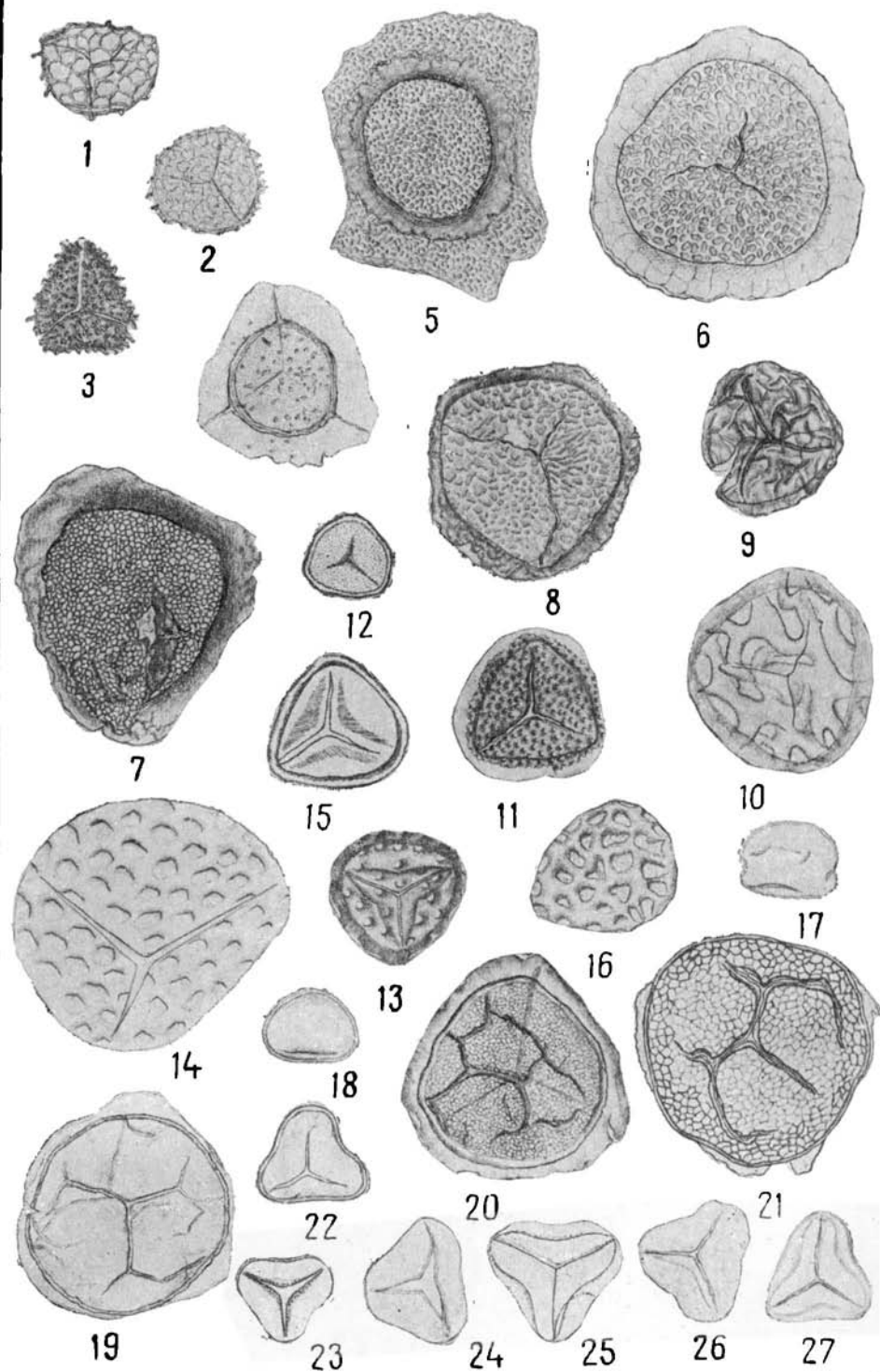


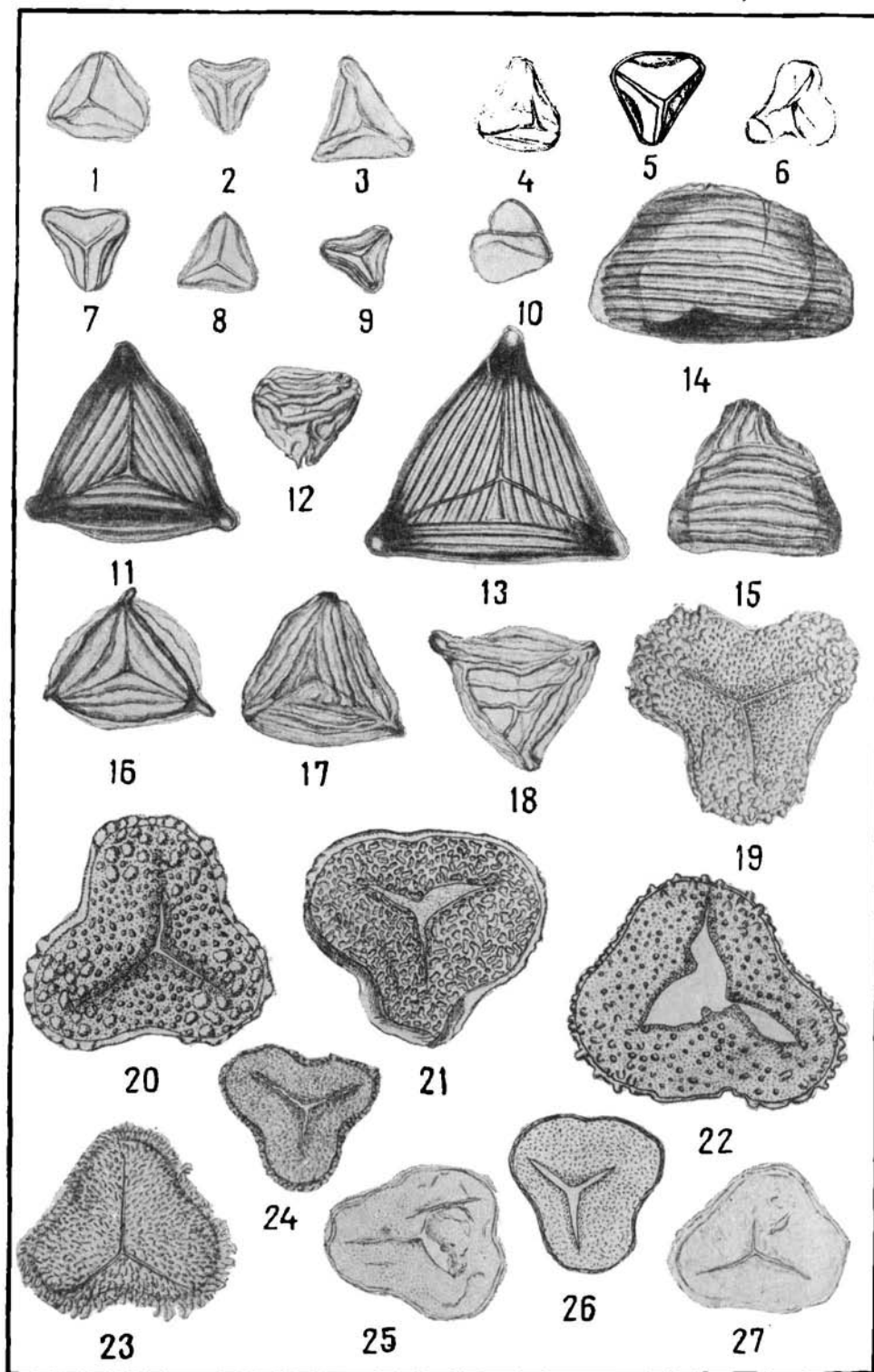
ТАБЛИЦА 82

Спорово-пыльцевой комплекс сеномана (?) Омской скв. 1-р

1. *Gleichenia angulata* Naum.  $d = 27,6 \mu$ .
2. *Gleichenia stellata* Bolch.  $d = 23,7 \mu$ .
3. *Gleichenia* sp.  $d = 31,4 \mu$ .
4. *Gleichenia laeta* Bolch.  $d = 25,0 \mu$ .
5. *Gleichenia* sp.  $d = 25,0 \mu$ .
6. *Gleichenia* sp.  $d = 26,9 \mu$ .
7. *Gleichenia laeta* Bolch.  $d = 26,5 \mu$ .
8. *Gleichenia laeta* Bolch.  $d = 21,9 \mu$ .
9. *Gleichenia stellata* Bolch.  $d = 19,9 \mu$ .
10. *Gleichenia* sp.  $d = 25,0 \mu$ .
11. *Aneimia* sp.  $d = 56,7 \mu$ .
12. *Aneimia* cf. *phyllitidifolium* Kov.  $d = 33,4 \mu$ .
13. *Aneimia* sp.  $d = 71,2 \mu$ .
14. *Aneimia* sp. дл.  $83,5 \mu$ , шир.  $50,5 \mu$ .
15. *Aneimia* sp.  $d = 52,0 \mu$ .
16. *Aneimia macrorhiza* Bolch.  $d = 48,1 \mu$ .
17. *Aneimia* sp.  $d = 49,2 \mu$ .
18. *Ancimia macrorhiza* Bolch.  $d = 49,8 \mu$ .
19. *Lygodium splandidum* K-M  $d = 62,2 \mu$ .
20. *Lygodium splandidum* K-M  $d = 57,8 \mu$ .
21. *Lygodium* cf. *gibberulum* K-M  $d = 56,7 \mu$ .
22. *Lygodium* sp.  $d = 72,8 \mu$ .
23. *Lygodium* sp.  $d = 57,8 \mu$ .
24. *Lygodium* sp.  $d = 41,0 \mu$ .
25. *Lygodium* sp.  $d = 51,2 \mu$ .
26. *Lygodium* sp.  $d = 43,8 \mu$ .
27. *Lygodium cretaceum* (M a l.)  $d = 48,1 \mu$ .

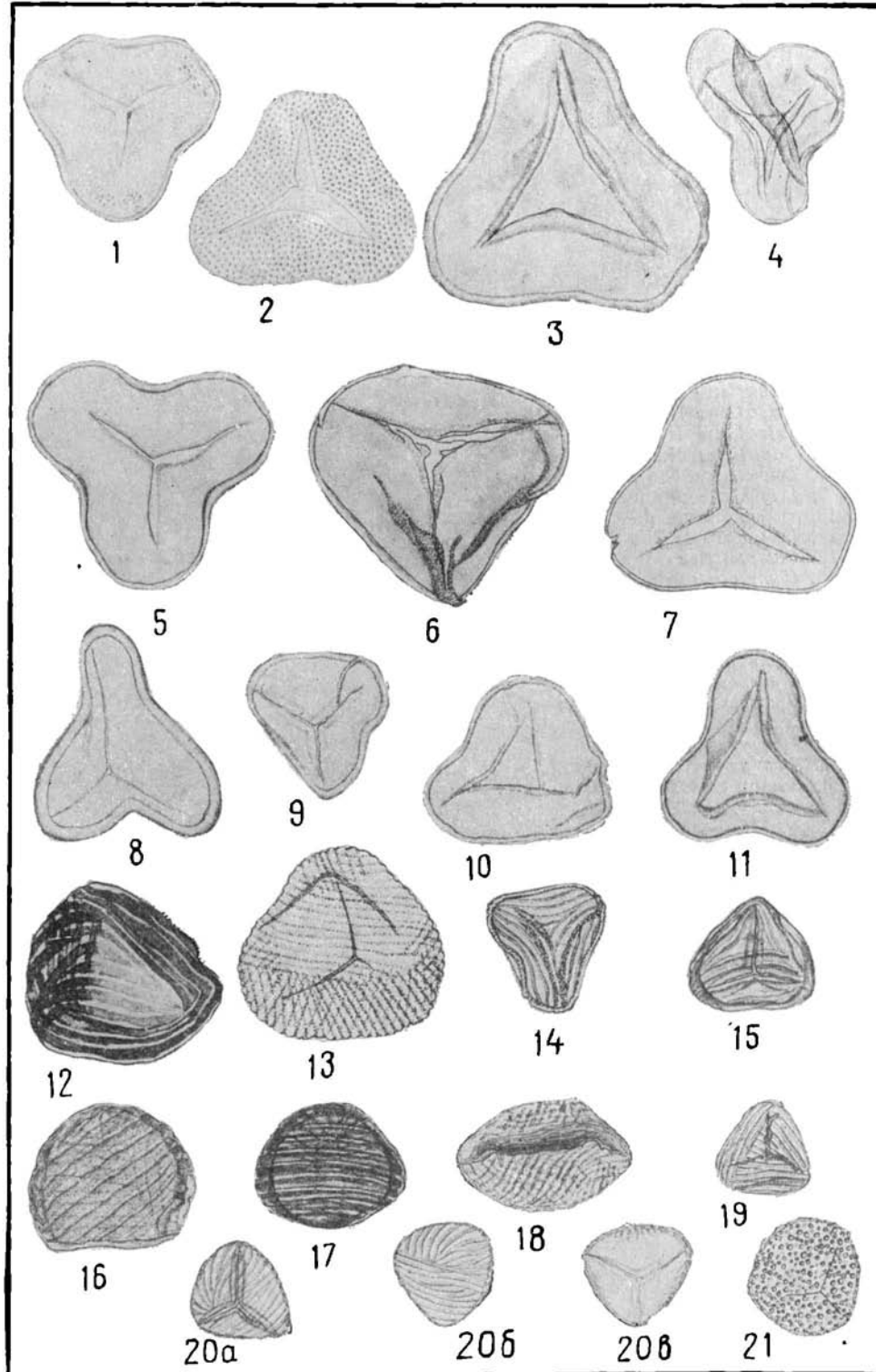
Все рис.  $\times 400$

Таблица 82



Спорово-пыльцевой комплекс сеномана (?) Омской скв. 1-р

1. *Lygodium* sp.  $d = 51,4 \mu$ .
  2. *Lygodium* sp.  $d = 63,5 \mu$ .
  3. *Lygodium* aff. *japonicum* S w.  $d = 78,0 \mu$ .
  4. *Lygodium* sp.  $d = 63,3 \mu$ .
  5. *Lygodium* sp.  $d = 65,9 \mu$ .
  6. *Lygodium* sp.  $d = 70,2 \mu$ .
  7. *Lygodium* sp.  $d = 56,7 \mu$ .
  8. *Lygodium* sp.  $d = 47,4 \mu$ .
  9. *Lygodium* sp.  $d = 38,0 \mu$ .
  10. *Lygodium* sp.  $d = 53,6 \mu$ .
  11. *Lygodium* sp.  $d = 51,6 \mu$ .
  12. *Mohria* sp.  $d = 54,9 \mu$ .
  13. *Mohria striata* N a u m.  $d = 36,9 \mu$ .
  14. *Mohria* sp.  $d = 32,7 \mu$ .
  15. *Mohria* sp.  $d = 37,5 \mu$ .
  16. *Mohria* sp. дл.  $51,2 \mu$ , шир.  $43,8 \mu$ .
  17. *Mohria* sp. дл.  $47,0 \mu$ , шир.  $39,5 \mu$ .
  18. *Mohria* sp. дл.  $53,1 \mu$ , шир.  $35,3 \mu$ .
  19. *Mohria* sp.  $d = 27,6 \mu$ .
  20. а, б, в. *Mohria* sp. а— $d = 32,3 \mu$ , б— $d = 32,3 \mu$ , в— $d = 32,3 \mu$ .
  21. *Osmunda* sp.  $d = 31,7 \mu$ .
- Все пнс.  $\times 400$

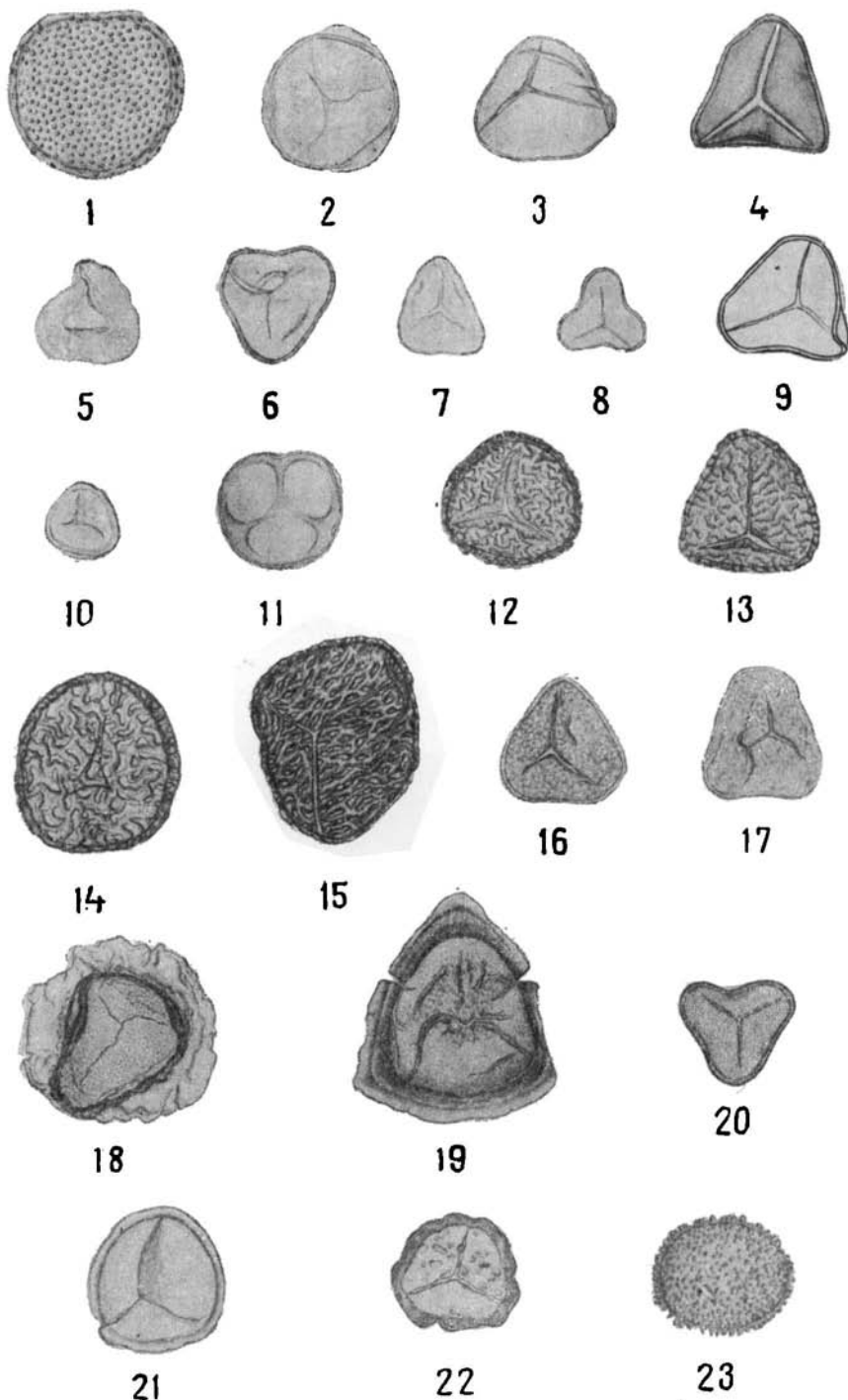


Спорово-пыльцевой комплекс сеномана (?) Омской скв. 1-р

1. *Ophioglossum* sp.  $d = 43,8 \mu$ .
2. *Leiotriletes* Na um.  $d = 36,9 \mu$ .
3. *Leiotriletes* Na um.  $d = 36,0 \mu$ .
4. *Leiotriletes* Na um.  $d = 42,4 \mu$ .
5. *Leiotriletes* Na um.  $d = 26,9 \mu$ .
6. *Leiotriletes* Na um.  $d = 32,7 \mu$ .
7. *Leiotriletes* Na um.  $d = 23,7 \mu$ .
8. *Leiotriletes* Na um.  $d = 21,9 \mu$ .
9. *Leiotriletes* Na um.  $d = 29,0 \mu$ .
10. *Sphagnum* sp.  $d = 18,9 \mu$ .
11. *Retusotriletes* Na um.  $d = 35,1 \mu$ .
12. *Campotriletes* Na um.  $d = 38,0 \mu$ .
13. *Campotriletes* Na um.  $d = 38,9 \mu$ .
14. *Campotriletes* Na um.  $d = 49,4 \mu$ .
15. *Campotriletes* Na um.  $d = 52,0 \mu$ .
16. *Campotriletes* Na um.  $d = 32,7 \mu$ .
17. *Campotriletes* Na um.  $d = 37,1 \mu$ .
18. *Hymenozonotriletes* Na um.  $d = 55,8 \mu$ .
19. *Hymenozonotriletes* Na um.  $d = 63,3 \mu$ .
20. *Stenozonotriletes* Na um.  $d = 30,5 \mu$ .
21. *Stenozonotriletes* Na um.  $d = 39,5 \mu$ .
22. *Stenozonotriletes* Na um.  $d = 34,7 \mu$ .
23. Неопр. зерно дл. 40,6  $\mu$ , шир. 33,8  $\mu$ .

Все рис.  $\times 400$

Таблица 84

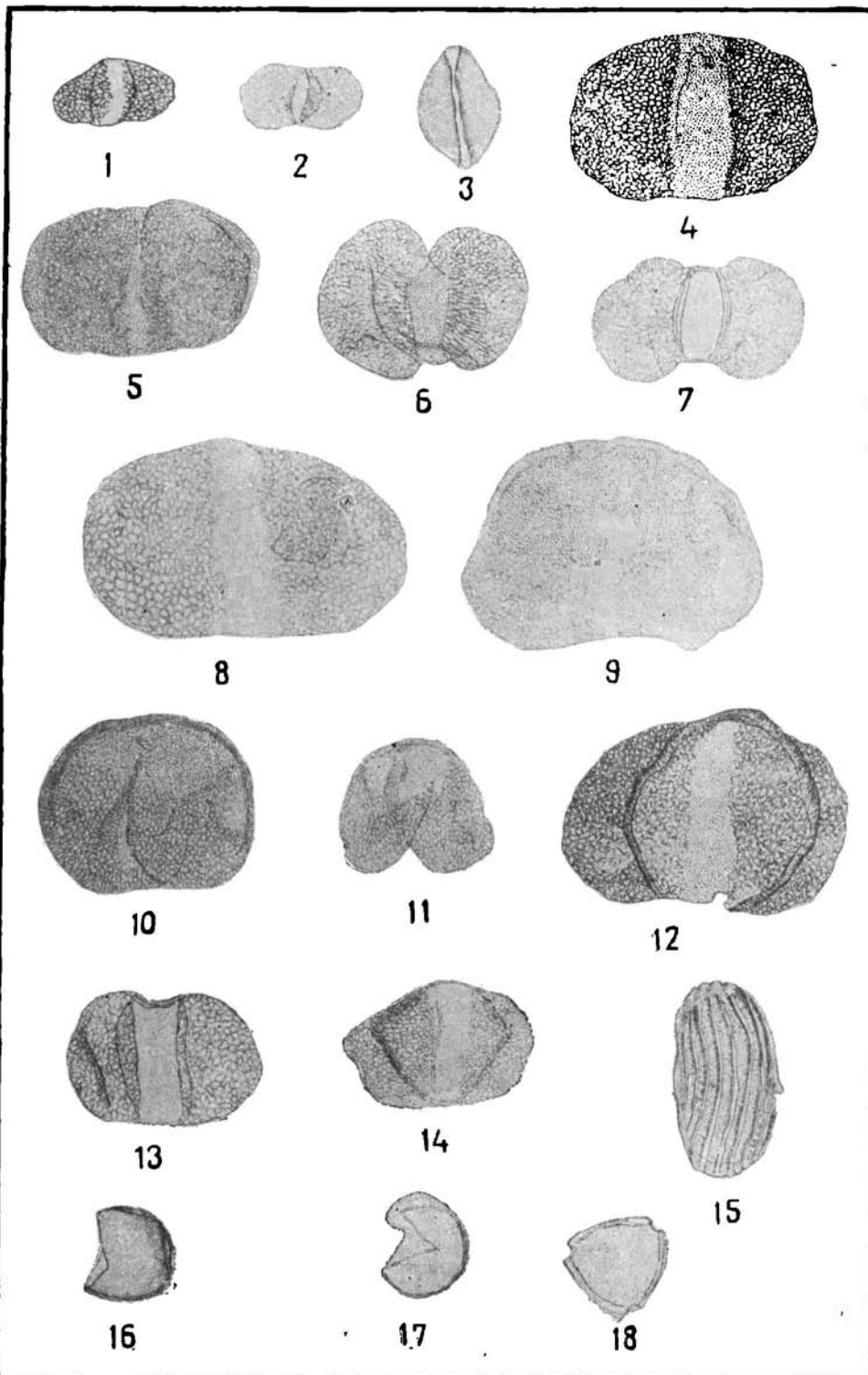


## ТАБЛИЦА 85

- Спорово-пыльцевой комплекс сеномана (?) Омской ски. 1-р
1. *Caytonia* sp. дл. 33,4  $\mu$ , выс. т. 17,5  $\mu$ , выс. м. 18,6  $\mu$ .
  2. *Caytonia* sp. дл. 36,9  $\mu$ , выс. т. 19,7  $\mu$ , выс. м. 21,9  $\mu$ .
  3. *Ginkgoaceae* дл. 36,9  $\mu$ , шир. 26,0  $\mu$ .
  4. *Picea* sp. дл. 67,9  $\mu$ , выс. т. 45,5  $\mu$ , выс. м. 45,5  $\mu$ .
  5. *Pinaceae* дл. 72,5  $\mu$ , выс. т. 43,8  $\mu$ , выс. м. 43,8  $\mu$ .
  6. *Podocarpus* дл. 56,7  $\mu$ , выс. т. 31,6  $\mu$ , выс. м. 43,8  $\mu$ .
  7. *Podocarpus* дл. 67,6  $\mu$ , выс. т. 30,3  $\mu$ , выс. м. 39,1  $\mu$ .
  8. *Pinaceae* дл. 94,9  $\mu$ , выс. т. 60,8  $\mu$ , выс. м. 56,9  $\mu$ .
  9. *Picea* sp. дл. 98,1  $\mu$ , выс. т. 43,8  $\mu$ , выс. м. 65,9  $\mu$ .
  10. *Cedrus* sp. дл. 75,1  $\mu$ , выс. т. 24,1  $\mu$ , выс. м. 52,3  $\mu$ .
  11. *Cedrus* sp. дл. 52,7  $\mu$ , выс. т. 21,9  $\mu$ , выс. м. 35,1  $\mu$ .
  12. *Pinus* n/p *Diploxylon* дл. 80,2  $\mu$ , выс. т. 55,3  $\mu$ , выс. м. 51,4  $\mu$ .
  13. *Pinus* n/p *Haploxyylon* дл. 61,1  $\mu$ , выс. т. 38,9  $\mu$ , выс. м. 36,4  $\mu$ .
  14. *Pinus* n/p *Haploxyylon* дл. 64,3  $\mu$ , выс. т. 43,8  $\mu$ , выс. м. 41,9  $\mu$ .
  15. *Welwitschiapites* дл. 55,8  $\mu$ , шир. 28,1  $\mu$ .
  16. *Taxodiaceae* d — 29,6  $\mu$ .
  17. *Taxodiaceae* d — 28,7  $\mu$ .
  18. *Myrica* sp. d — 29,2  $\mu$ .

Всё рис.  $\times 400$

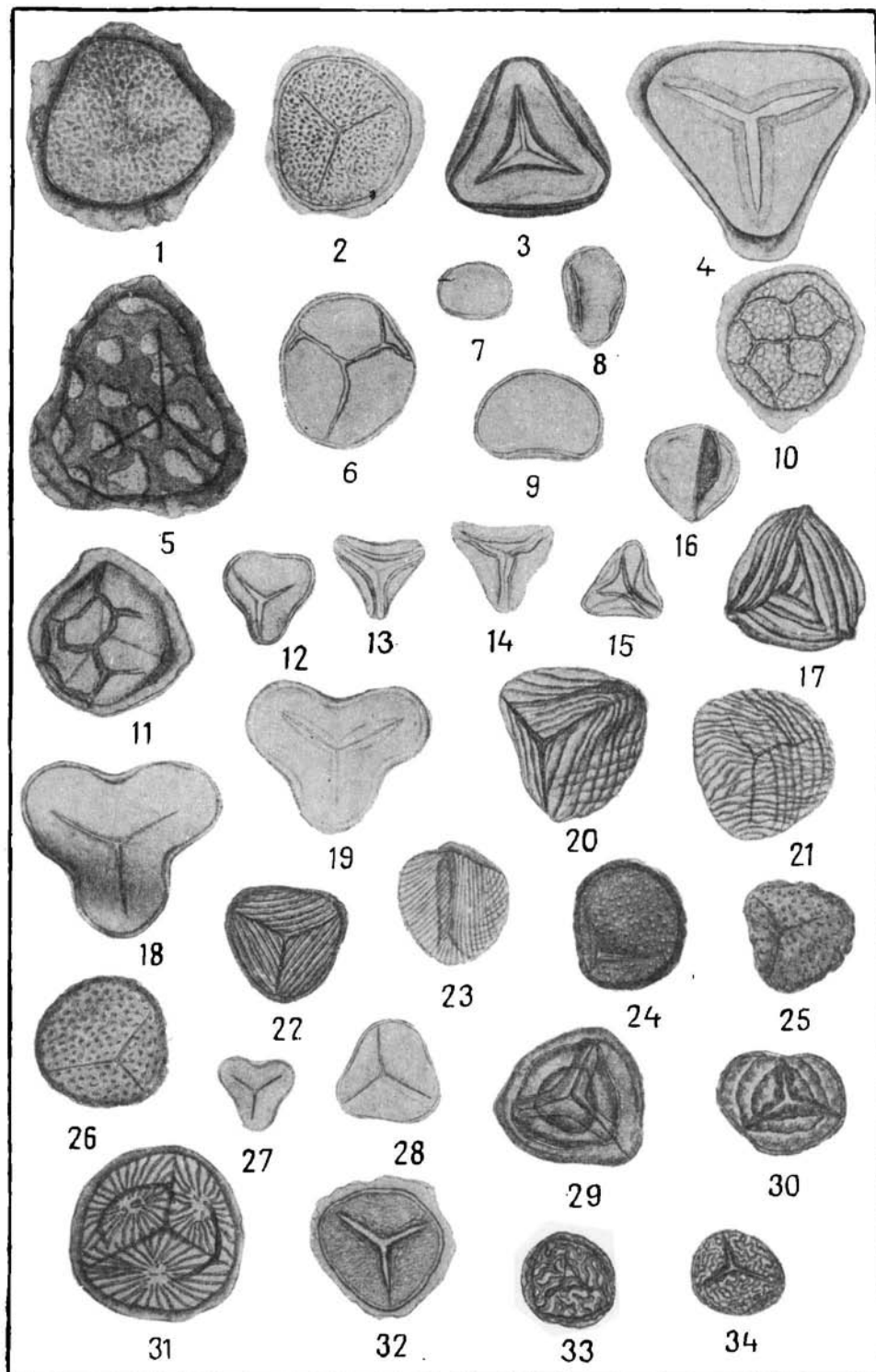
Таблица 85



Спорово-пыльцевой комплекс сеноман-турона Чулымской скв. 1-р

1. *Selaginella* sp<sub>1</sub>  $d = 68,0 \mu$ .
2. *Selaginella* sp<sub>2</sub>  $d = 51,2 \mu$ .
3. *Cyatheaceae*  $d = 52,7 \mu$ .
4. *Dicksonia antarctica* R. Br.  $d = 75,1 \mu$ .
5. *Dicksonia arborescens* L.-H. crit.  $d = 80,6 \mu$ .
6. *Cibotium* sp.  $d = 51,0 \mu$ .
7. *Polypodiaceae* дл.  $25,2 \mu$ , шир.  $19,7 \mu$ .
8. *Polypodiaceae* дл.  $33,4 \mu$ , шир.  $21,9 \mu$ .
9. *Polypodiaceae* дл.  $45,0 \mu$ , шир.  $31,1 \mu$ .
10. *Woodsia* sp.  $d = 42,4 \mu$ .
11. *Woodsia* sp.  $d = 54,0 \mu$ .
12. *Adiantum* sp.  $d = 27,6 \mu$ .
13. *Gleichenia* sp.  $d = 27,4 \mu$ .
14. *Gleichenia* sp.  $d = 31,8 \mu$ .
15. *Gleichenia* sp.  $d = 24,3 \mu$ .
16. *Gleichenia* sp.  $d = 31,8 \mu$ .
17. *Aneimia macrorhiza* Bolch.  $d = 48,5 \mu$ .
18. *Lygodium japonicum* S w.  $d = 57,1 \mu$ .
19. *Lygodium* sp.  $d = 52,0 \mu$ .
20. *Mohria* sp.  $d = 49,8 \mu$ .
21. *Mohria striata* Bolch.  $d = 52,0 \mu$ .
22. *Mohria* sp.  $d = 40,0 \mu$ .
23. *Mohria striata* Bolch. дл.  $41,9 \mu$ , шир.  $38,4 \mu$ .
24. *Ophioglossum senomanicum* Kov.  $d = 43,8 \mu$ .
25. *Ophioglossum senomanicum* Kov.  $d = 37,5 \mu$ .
26. *Ophioglossum senomanicum* Kov.  $d = 46,5 \mu$ .
27. *Leiotriletes* Naum.  $d = 23,3 \mu$ .
28. *Leiotriletes* Naum.  $d = 33,2 \mu$ .
29. *Chomotriletes redundus* Bolch.  $d = 53,8 \mu$ .
30. *Chomotriletes redundus* Bolch.  $d = 45,7 \mu$ .
31. *Stenozonotriletes radiatus* Kov.  $d = 52,9 \mu$ .
32. *Hymenozonotriletes* Naum.  $d = 47,4 \mu$ .
33. *Campptotriletes* Naum.  $d = 30,3 \mu$ .
34. *Campptotriletes* Naum.  $d = 31,4 \mu$ .

Все рис.  $\times 400$

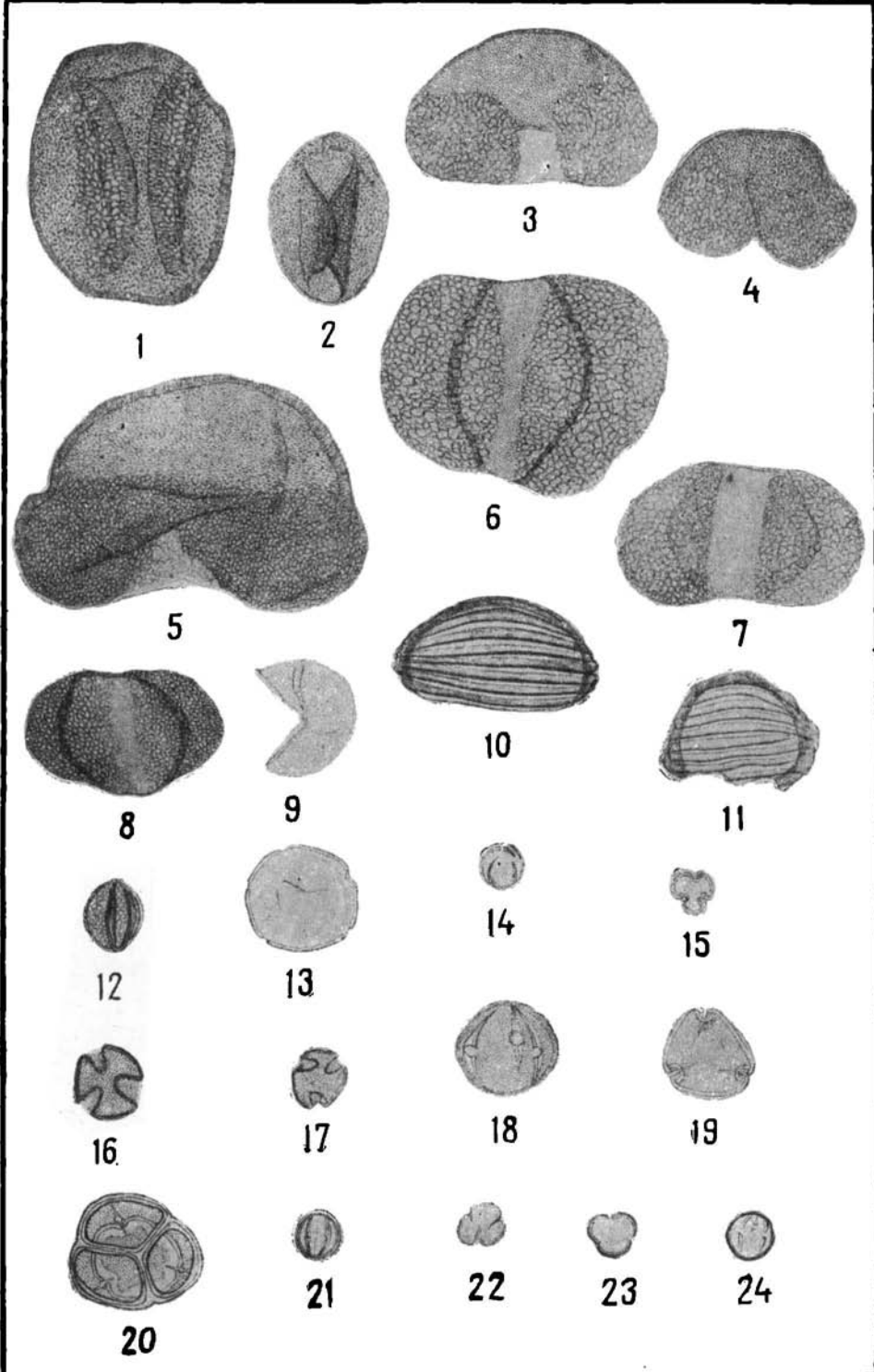


Спорово-пыльцевой комплекс сеноман-турона Чульмской скв. 1-р

1. *Coniferae* с зачат. возд. мешк. дл. 85,2  $\mu$ , шир. 71,4  $\mu$ .
2. *Coniferae* с зачат. возд. мешк. дл. 51,8  $\mu$ , шир. 38,4  $\mu$ .
3. *Picea* дл. 87,9  $\mu$ , выс. т. 52,7  $\mu$ , выс. м. 40,0  $\mu$ .
4. *Cedrus* дл. 56,4  $\mu$ , выс. т. 17,9  $\mu$ , выс. м. 30,2  $\mu$ .
5. *Cedrus* дл. 109,9  $\mu$ , выс. т. 35,6  $\mu$ , выс. м. 50,5  $\mu$ .
6. *Pinus* дл. 87,9  $\mu$ , выс. т. 57,5  $\mu$ , выс. м<sub>1</sub>. 65,9  $\mu$ , выс. м<sub>2</sub> 60,8  $\mu$ .
7. *Pinus* н/р *Haploxyylon* дл. 77,3  $\mu$ , выс. т. 40,8  $\mu$ , выс. м. 45,2  $\mu$ .
8. *Pinus* н/р *Haploxyylon* дл. 61,7  $\mu$ , выс. т. 39,5  $\mu$ , выс. м. 34,0  $\mu$ .
9. *Taxodiaceae*  $d$  — 36,2  $\mu$ .
10. *Welwitschiapites* дл. 62,9  $\mu$ , шир. 34,5  $\mu$ .
11. *Welwitschiapites* дл. 51,8  $\mu$ , шир. 35,1  $\mu$ .
12. *Salicaceae* дл. 21,9  $\mu$ , шир. 17,5  $\mu$ .
13. *Juglans* sp.  $d$  — 35,8  $\mu$ .
14. *Quercopites*  $d$  — 13,8  $\mu$ .
15. *Quercopites*  $d$  — 14,8  $\mu$ .
16. *Rhamnus* sp.  $d$  — 24,1  $\mu$ .
17. *Rhamnus* sp.  $d$  — 18,9  $\mu$ .
18. *Nyssa* sp. дл. 27,8  $\mu$ , шир. 30,7  $\mu$ .
19. *Nyssa* sp.  $d$  — 29,2  $\mu$ .
20. *Ericaceae*  $d$  — 38,0  $\mu$ .
21. *Angiospermae* трехпоровые, трехбороздные дл. 13,6  $\mu$ , шир. 12,3  $\mu$ .
22. *Angiospermae*  $d$  — 13,8  $\mu$ .
23. *Angiospermae*  $d$  — 14,5  $\mu$ .
24. *Angiospermae* дл. 16,9  $\mu$ , шир. 16,0  $\mu$ .

Все рис.  $\times 400$

Таблица 87

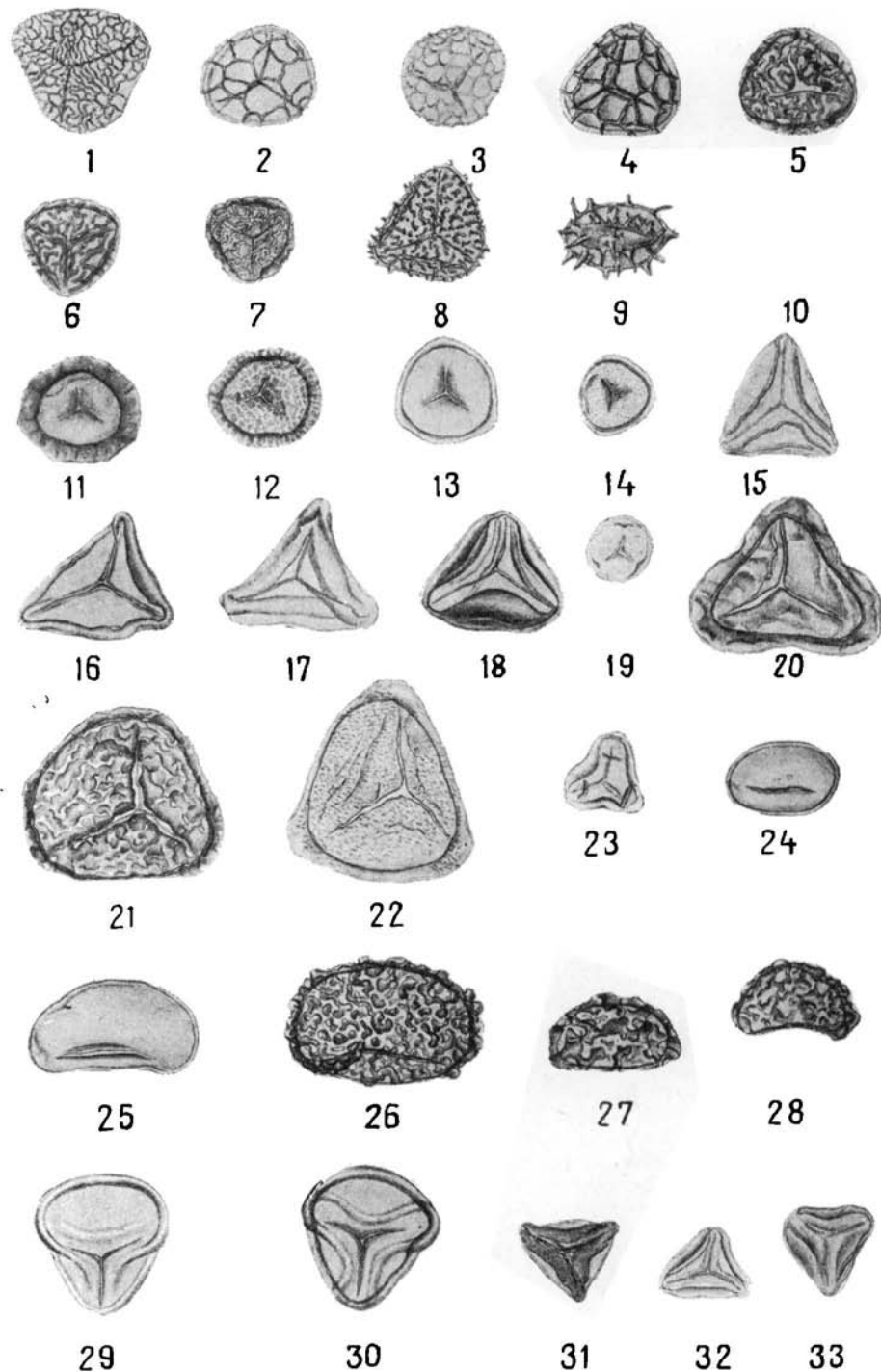


Сибиро-пальцевой комплекс сантона Леушинской скв. 1-р

1. *Lycopodiaceae*  $d = 43,8 \mu$ .
2. *Lycopodium tener* Н а у м.  $d = 34,7 \mu$ .
3. *Lycopodium tener* Н а у м.  $d = 32,9 \mu$ .
4. *Lycopodium tener* Н а у м.  $d = 33,6 \mu$ .
5. *Lycopodium claratum* (по К н о х)  $d = 36,9 \mu$ .
6. *Lycopodium claratum* (по К н о х)  $d = 32,7 \mu$ .
7. *Lycopodium claratum* (по К н о х)  $d = 26,5 \mu$ .
8. *Selaginella* sp.  $d = 35,3 \mu$ .
9. *Selaginella* sp. дл.  $33,2 \mu$ , шир.  $21,9 \mu$ .
10. *Selaginella* sp.  $d = 31,4 \mu$ .
11. *Sphagnum* sp.  $d = 33,6 \mu$ .
12. *Sphagnum* sp.  $d = 32,5 \mu$ .
13. *Sphagnum* sp.  $d = 33,2 \mu$ .
14. *Sphagnum* sp.  $d = 23,9 \mu$ .
15. *Cyatheaceae*  $d = 39,1 \mu$ .
16. *Cyathea* sp.  $d_1 = 47,4 \mu$ ,  $d_2 = 41,9 \mu$ .
17. *Cyathea* sp.  $d = 39,5 \mu$ .
18. *Cyathea* sp.  $d = 40,4 \mu$ .
19. *Filicales*  $d = 19,5 \mu$ .
20. *Dicksonia* sp.  $d = 52,0 \mu$ .
21. *Dicksonia* cf. *arborescens* L'Herit.  $d = 60,8 \mu$ .
22. *Dicksonia antarctica* R. Br.  $d = 62,4 \mu$ .
23. *Cibotium functum* K-M  $d = 21,9 \mu$ .
24. *Polypodiaceae* дл.  $39,5 \mu$ , шир.  $22,2 \mu$ .
25. *Polypodiaceae* дл.  $55,8 \mu$ , шир.  $29,2 \mu$ .
26. *Polypodium* sp. дл.  $61,1 \mu$ , шир.  $40,0 \mu$ .
27. *Polypodium* sp. дл.  $41,7 \mu$ , шир.  $27,8 \mu$ .
28. *Polypodium* sp. дл.  $41,5 \mu$ , шир.  $23,5 \mu$ .
29. *Matonia* sp.  $d = 44,0 \mu$ .
30. *Matonia* sp.  $d = 44,0 \mu$ .
31. *Gleichenia carinata* Bolch.  $d = 26,7 \mu$ .
32. *Gleichenia angulata* Н а у м.  $d = 26,5 \mu$ .
33. *Gleichenia* sp. дл.  $25,2 \mu$ , шир.  $24,1 \mu$ .

Все рис.  $\times 400$

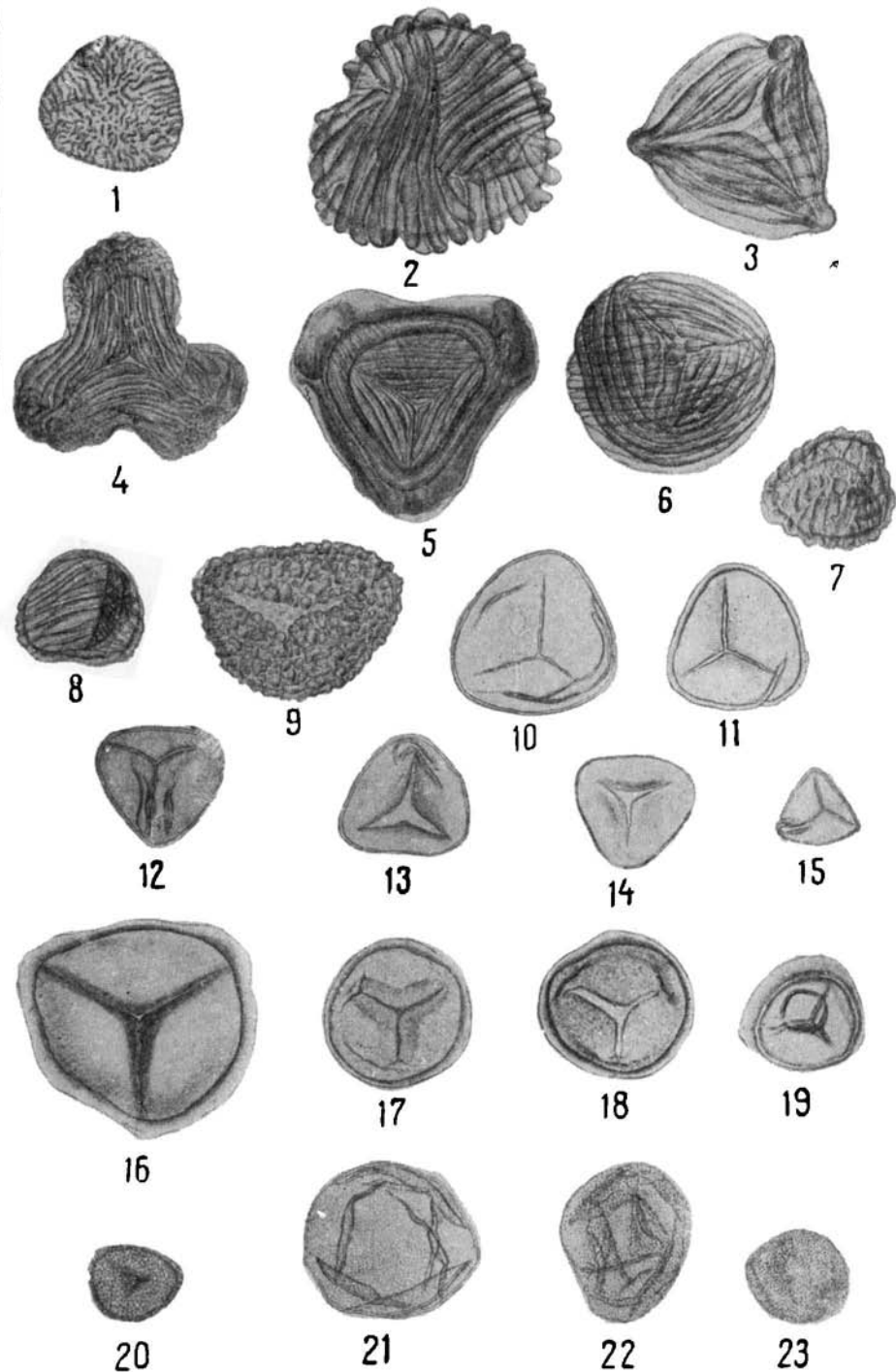
Таблица 88



Спорово-пыльцевой комплекс сантоне Леушинской скв. 1-р

1. *Schizaeaceae* (?)  $d = 40,8 \mu$ .
2. *Schizaceaceae*  $d = 83,2 \mu$ .
3. *Aneimia* cf. *macrorhiza* (M a l.)  $d = 46,8 \mu$ .
4. *Aneimia* sp.  $d = 61,5 \mu$ .
5. *Aneimia* sp.  $d = 65,9 \mu$ .
6. *Mohria* sp.  $d = 63,5 \mu$ .
7. *Mohria* cf. *exilis* M a l.  $d = 39,3 \mu$ .
8. *Mohria exilis* M a l. дл.  $41,0 \mu$ , шир.  $34,7 \mu$ .
9. *Lygodium* cf. *platinervium* K-M  $d = 65,9 \mu$ .
10. *Leiotriletes tenuis* M a l.  $d = 53,8 \mu$ .
11. *Coniopteris trisepta* M a l.  $d = 45,0 \mu$ .
12. *Leiotriletes* N a u m.  $d = 35,6 \mu$ .
13. *Leiotriletes* N a u m.  $d = 40,0 \mu$ .
14. *Leiotriletes* N a u m.  $d = 37,3 \mu$ .
15. *Leiotriletes* N a u m.  $d = 24,3 \mu$ .
16. *Stenozonotriletes* N a u m.  $d = 74,2 \mu$ .
17. *Stenozonotriletes* N a u m.  $d = 45,7 \mu$ .
18. *Stenozonotriletes* N a u m.  $d = 48,3 \mu$ .
19. *Stenozonotriletes* N a u m.  $d = 31,4 \mu$ .
20. *Lophotriletes* N a u m.  $d = 26,9 \mu$ .
21. *Podozamites*  $d = 56,7 \mu$ .
22. *Podozamites* дл.  $50,5 \mu$ , шир.  $42,6 \mu$ .
23. *Agathis* sp.  $d = 33,4 \mu$ .

Все рис.  $\times 400$



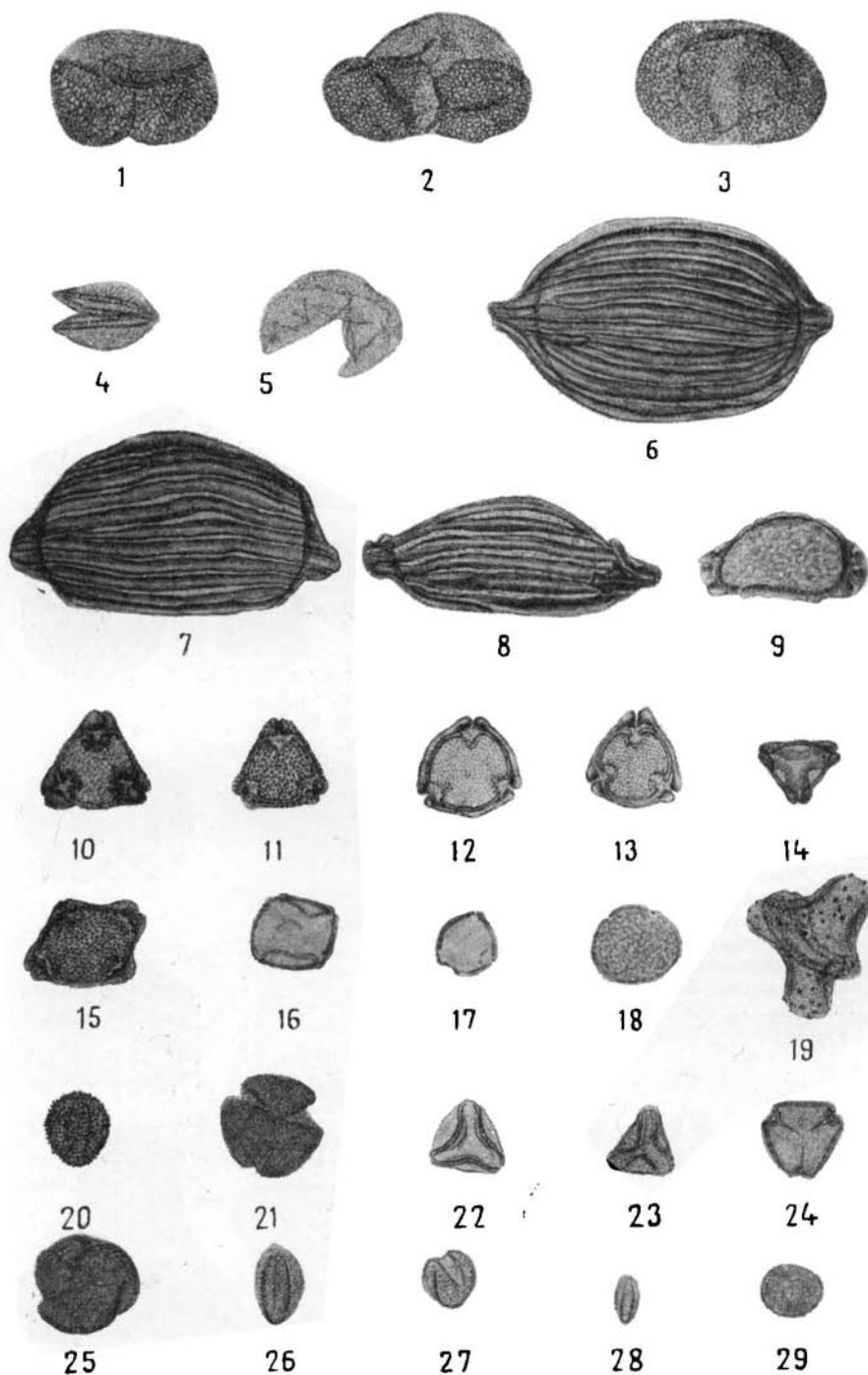
## ТАБЛИЦА 90

Спорово-пыльцевой комплекс сантонов Леушиянской скв. 1-р

1. *Pinaceae* дл. 54,0  $\mu$ , выс. т. 16,9  $\mu$ , выс. м. 28,1  $\mu$ .
2. *Pinus* n/p *Diploxylon* дл. 65,9  $\mu$ , выс. т. 30,7  $\mu$ , выс. м. 33, 6  $\mu$ .
3. *Pinus* n/p *Haploxyylon* дл. 61,9  $\mu$ , выс. т. 37,7  $\mu$ , выс. м. 39,3  $\mu$ .
4. *Glyptostrobus*  $d = 34,0 \mu$ .
5. *Taxodiaceae*  $d = 43,8 \mu$ .
6. *Welwitschiapites* дл. 100,8  $\mu$ , шир. 60,8  $\mu$ .
7. *Welwitschiapites* дл. 102,9  $\mu$ , шир. 58,9  $\mu$ .
8. *Welwitschiapites* дл. 91,8  $\mu$ , шир. 36,9  $\mu$ .
9. *Welwitschiapites* дл. 52,7  $\mu$ , шир. 28,5  $\mu$ .
10. *Extratriroropollenites Pf.*  $d = 30,5 \mu$ .
11. *Extratriroropollenites Pf.*  $d = 25,4 \mu$ .
12. *Extratriroropollenites Pf.*  $d = 30,2 \mu$ .
13. *Extratriroropollenites Pf.*  $d = 30,5 \mu$ .
14. *Extratriroropollenites Pf.*  $d = 21,9 \mu$ .
15. *Extratriroropollenites Pf.*  $d = 39,5 \mu$ .
16. *Alnus* sp.  $d = 27,2 \mu$ .
17. *Corylus* sp.  $d = 19,7 \mu$ .
18. *Ulmus* sp.  $d = 27,6 \mu$ .
19. *Proteaceae* дл. 49,8  $\mu$ , шир. 41,3  $\mu$ .
20. *Ilex* sp. дл. 25,2  $\mu$ , шир. 19,5  $\mu$ .
21. *Acer* sp.  $d = 32,0 \mu$ .
22. *Paliurus* sp.  $d = 23,3 \mu$ .
23. *Paliurus* sp.  $d = 21,9 \mu$ .
24. *Nyssa* sp.  $d = 26,9 \mu$ .
25. *Angiospermae* трехбороздные  $d = 31,6 \mu$ .
26. *Angiospermae* трехбороздные дл. 23,9  $\mu$ , шир. 14,8  $\mu$ .
27. *Angiospermae* трехбороздные  $d = 18,6 \mu$ .
28. *Angiospermae* трехбороздные дл. 14,8  $\mu$ , шир. 7,5  $\mu$ .
29. *Angiospermae* многопоровые  $d = 20,0 \mu$ .

Все рис.  $\times 400$

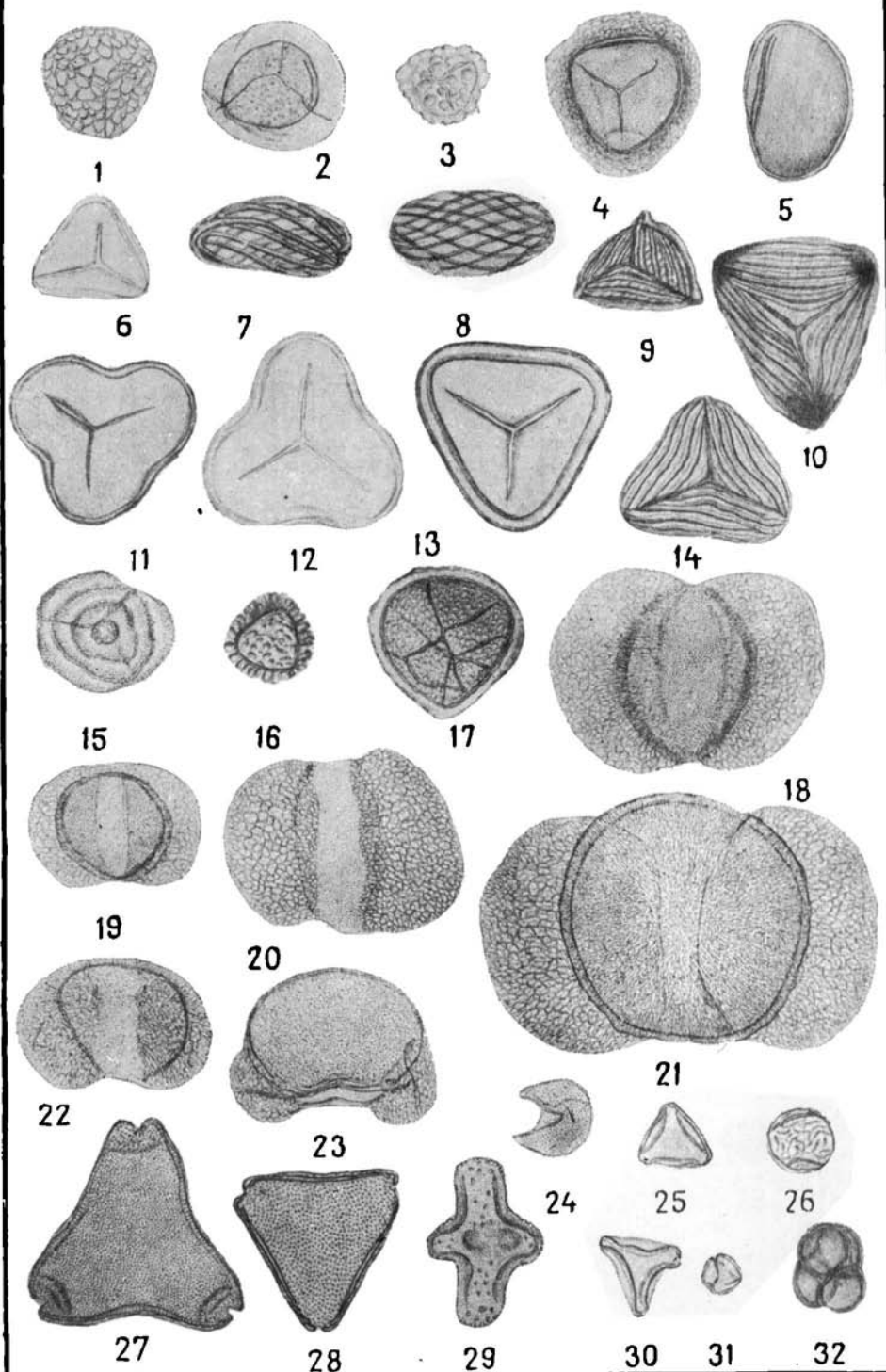
Таблица 90



Споро-пыльцевой комплекс сенона Чулымских скв. 1-к и 1-р

1. *Lycopodium* sp.  $d = 36,2 \mu$ .
2. *Selaginella* sp.  $d = 46,8 \mu$ .
3. *Selaginella* sp.  $d = 28,5 \mu$ .
4. *Selaginella* sp.  $d = 54,5 \mu$ .
5. *Polypodiaceae* дл.  $54,2 \mu$ , шир.  $38,3 \mu$ .
6. *Adiantum* sp.  $d = 36,2 \mu$ .
7. *Schizaea dorogensis* R. P o t. дл.  $48,9 \mu$ , шир.  $21,9 \mu$ .
8. *Schizaea dorogensis* R. P o t. дл.  $53,1 \mu$ , шир.  $27,6 \mu$ .
9. *Aneimia exiliformis* (M a l.) Bolch. дл.  $40,0 \mu$ , шир.  $30,1 \mu$ .
10. *Aneimia* sp. дл.  $63,9 \mu$ , шир.  $54,0 \mu$ .
11. *Lygodium* sp.  $d = 55,8 \mu$ .
12. *Lygodium* sp.  $d = 58,9 \mu$ .
13. *Lygodium* sp.  $d_{\text{cp}} = 62,1 \mu$ .
14. *Mohria* sp.  $d_1 = 43,8 \mu$ ,  $d_2 = 51,2 \mu$ .
15. *Chomotriletes redundans* B o l c h.  $d = 45,0 \mu$ .
16. *Selaginella* sp.  $d = 30,9 \mu$ .
17. Тип *Woodsia*  $d = 48,5 \mu$ .
18. *Podocarpus* sp. дл.  $91,6 \mu$ , выс. т.  $58,9 \mu$ , выс. м.  $69,6 \mu$ .
19. *Pinus* sp. дл.  $61,3 \mu$ , выс. т.  $38,3 \mu$ , выс. м.  $44,6 \mu$ .
20. *Pinus* sp. дл.  $77,3 \mu$ , выс. т.  $57,1 \mu$ , выс. м.  $60,8 \mu$ .
21. *Abies* sp. дл.  $130,1 \mu$ , выс. т.  $81,0 \mu$ , выс. м.  $76,6 \mu$ .
22. *Cedrus* sp. дл.  $62,8 \mu$ , выс. т.  $38,0 \mu$ , выс. м.  $35,6 \mu$ .
23. *Cedrus* sp. дл.  $73,4 \mu$ , выс. т.  $45,7 \mu$ , выс. м.  $29,6 \mu$ .
24. *Taxodiaceae*  $d = 27,4 \mu$ .
25. *Betulaceae*  $d = 22,8 \mu$ .
26. *Ulmus* sp. дл.  $23,0 \mu$ , шир.  $19,1 \mu$ .
27. *Protea hirta* K o v.  $d = 56,9 \mu$ .
28. *Protea* sp.  $d = 47,6 \mu$ .
29. *Proteaceae* дл.  $54,7 \mu$ , шир.  $34,7 \mu$ .
30. *Paliturus* sp.  $d = 24,7 \mu$ .
31. *Rhamnus* sp.  $d = 12,5 \mu$ .
32. *Ericaceae*  $d = 28,5 \mu$ .

Все рис.  $\times 400$



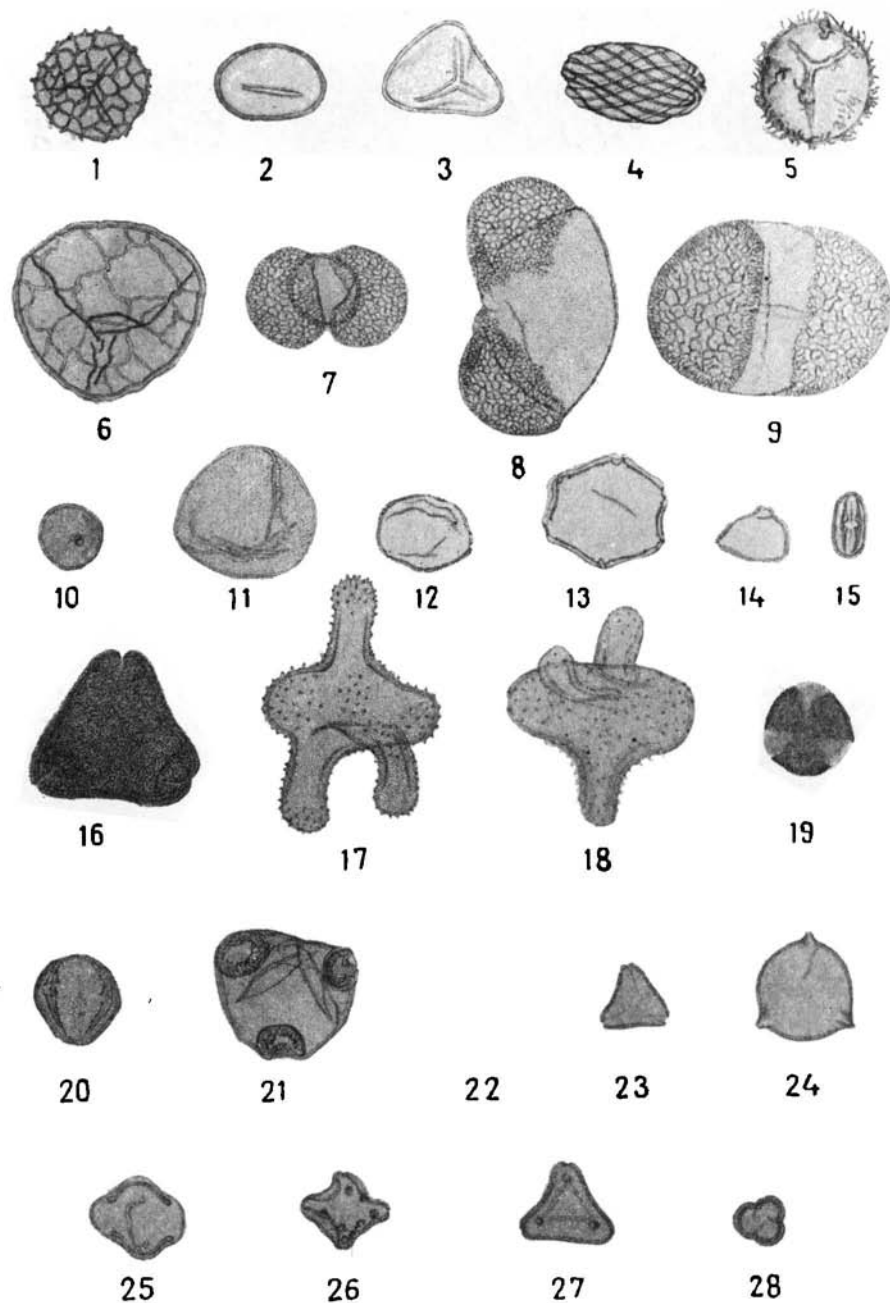
## ТАБЛИЦА 92

Спорово-пыльцевой комплекс датского яруса из обнажения с р. Сым

1. *Lycopodiaceae*  $d = 34,9 \mu$ .
2. *Polyopodiaceae* дл.  $33,6 \mu$ , шир.  $23,7 \mu$ .
3. *Adiantum*  $d = 32,3 \mu$ .
4. *Schizaea dorogensis* (R. P o t.) дл.  $43,8 \mu$ , шир.  $25,2 \mu$ .
5. *Filicales*  $d = 36,9 \mu$ .
6. Спора с крупн. сеткой  $d = 68,5 \mu$ .
7. *Podocarpus* дл.  $50,5 \mu$ , выс. т.  $24,5 \mu$ , выс. м.  $32,5 \mu$ .
8. *Pinus* н/р *Diploxyylon* дл.  $76,9 \mu$ , выс. т.  $41,9 \mu$ , выс. м.  $38,4 \mu$ .
9. *Pinus* н/р *Haploxyylon* дл.  $77,1 \mu$ , выс. т.  $56,9 \mu$ , выс. м.  $56,9 \mu$ .
10. *Taxodiaceae*  $d = 18,3 \mu$ .
11. *Psophosphaera*  $d = 43,8 \mu$ .
12. *Juglans*  $d = 29,4 \mu$ .
13. *Pterocarya*  $d = 33,8 \mu$ .
14. *Corylus*  $d = 19,7 \mu$ .
15. *Castanopsis* дл.  $19,5 \mu$ , шир.  $10,1 \mu$ .
16. *Protea hirta* К о в.  $d = 47,4 \mu$ .
17. *Proteaceae* дл.  $80,0 \mu$ , шир.  $56,0 \mu$ .
18. *Proteaceae* дл.  $68,5 \mu$ , шир.  $58,9 \mu$ .
19. *Acer*  $d = 27,8 \mu$ .
20. *Nyssa* дл.  $26,5 \mu$ , шир.  $26,1 \mu$ .
21. *Onagraceae*  $d = 43,8 \mu$ .
22. *Triptycha striata* К о в.  $d = 18,6 \mu$ .
23. *Triptycha striata* К о в.  $d = 19,7 \mu$ .
24. *Triporina globosa* К о в.  $d = 32,5 \mu$ .

Все рис.  $\times 400$

Таблица 92



Сиорово-пыльцевой комплекс верхнего мела сеноман (?)-турова Мариинской буровой партии, скв. 1-р

1. *Sphagnum*  $d = 23,7 \mu$ .
2. *Sphagnum*  $d = 27,4 \mu$ .
3. *Lycopodium*  $d = 39,1 \mu$ .
4. *Selaginella*  $d = 56,2 \mu$ .
5. *Selaginella*  $d = 47,0 \mu$ .
6. *Selaginella* «а»  $d = 54,0 \mu$ .
7. *Selaginella kemensis* Kov.  $d = 41,0 \mu$ .
8. *Selaginella kemensis* Kov.  $d = 37,7 \mu$ .
9. *Selaginella*  $d = 43,8 \mu$ .
10. *Selaginella*  $d = 35,3 \mu$ .
11. *Selaginella*  $d = 52,7 \mu$ .
- 11а. *Selaginella*  $d = 52,7 \mu$ .
12. *Gleichenia umbonata* Bolch.  $d = 33,2 \mu$ .
13. *Gleichenia* sp.  $d = 32,9 \mu$ .
14. *Gleichenia* sp.  $d = 25,0 \mu$ .
15. *Hemitelia*  $d = 39,1 \mu$ .
16. *Dicksoniaceae*  $d = 31,4 \mu$ .
17. *Dicksoniaceae*  $d = 36,0 \mu$ .
18. *Dicksonia*  $d = 43,8 \mu$ .
19. *Polypodiaceae* дл.  $30,5 \mu$ , шир.  $18,9 \mu$ .
20. *Woodsia*  $d = 50,5 \mu$ .
21. *Adiantum*  $d = 65,9 \mu$ .
22. *Schizaea dorogensis* R. Pot. дл.  $43,8 \mu$ , шир.  $30,2 \mu$ .
23. *Schizaea dorogensis* R. Pot. дл.  $43,8 \mu$ , шир.  $17,3 \mu$ .
24. *Aneimia exiliformis* (M a l.) Bolch.  $d = 65,0 \mu$ .
25. *Aneimia* sp.  $d = 51,2 \mu$ .
26. *Aneimia exiliformis* (M a l.) Bolch.  $d = 62,8 \mu$ .
27. *Aneimia*  $d = 65,9 \mu$ .
28. *Aneimia*  $d = 53,3 \mu$ .

Все рис.  $\times 400$

Таблица 93

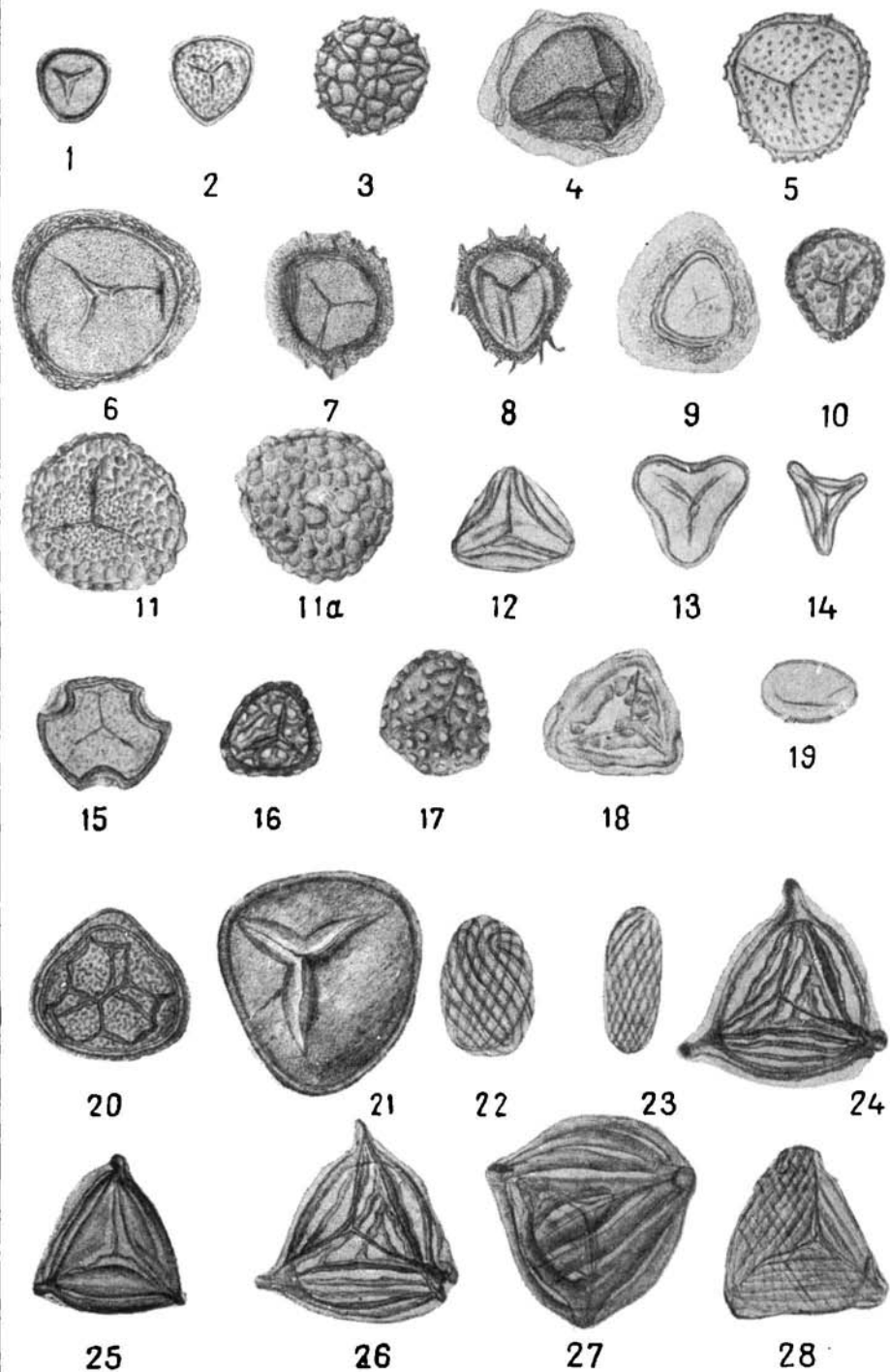


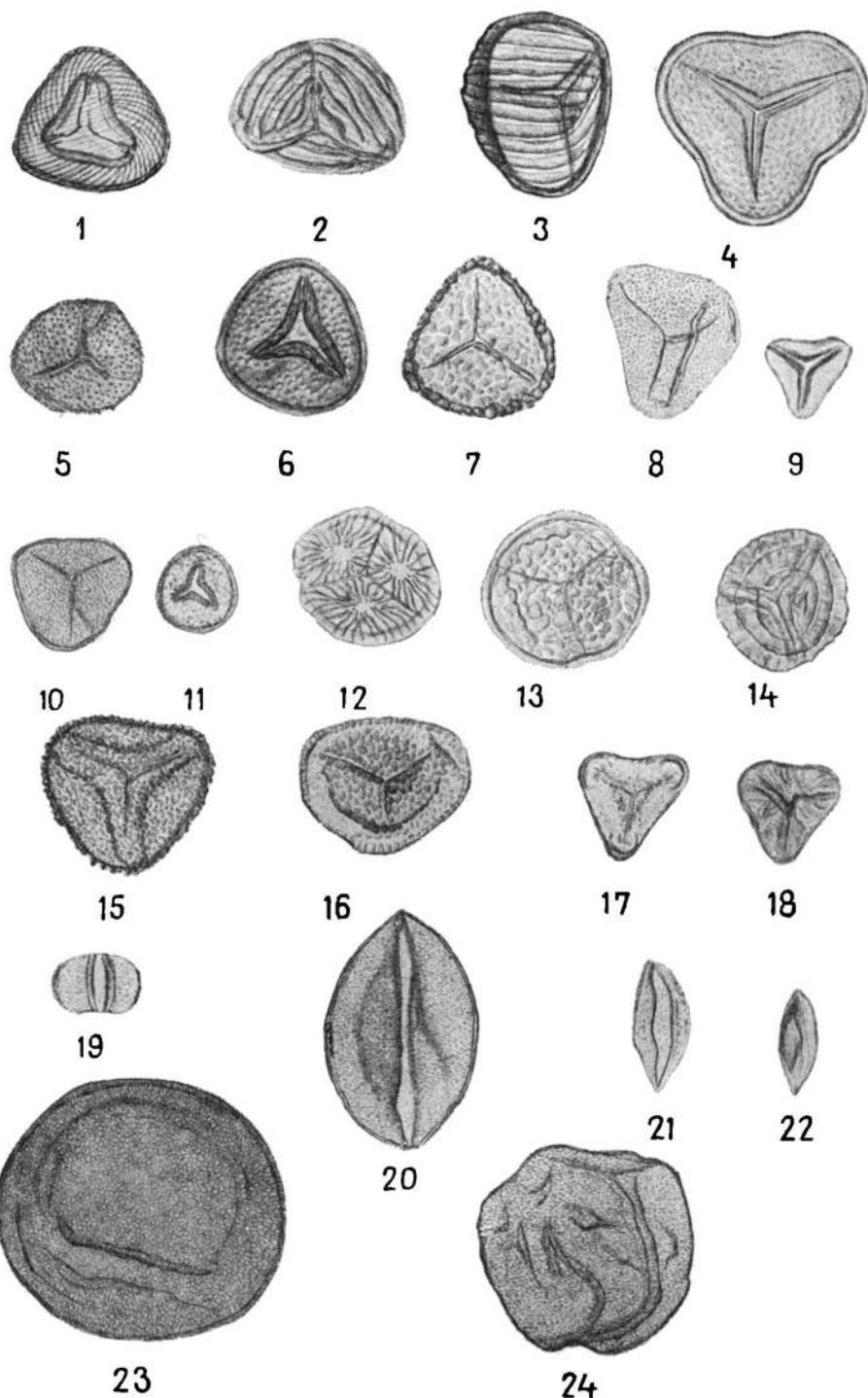
ТАБЛИЦА 94

Споро-пыльцевой комплекс верхнего мела сеноман (?)-тура Марийской буровой партии, скв 1-р

1. *Mohria* sp. d — 44,8  $\mu$ .
2. *Mohria* cf. *exilis* Ma I. дл. 55,1  $\mu$ , шир. 43,6  $\mu$ .
3. *Mohria* d — 56,0  $\mu$ .
4. *Lygodium* d — 59,5  $\mu$ .
5. *Osmunda* d — 40,0  $\mu$ .
6. *Ophioglossum senomanicum* K o v. d — 49,4  $\mu$ .
7. *Botrychium* d — 51,4  $\mu$ .
8. *Lophotriletes* N a u m. d — 45,2  $\mu$ .
9. *Leiotriletes* N a u m. d — 24,5  $\mu$ .
10. *Lophotriletes* N a u m. d — 37,5  $\mu$ .
11. *Lophotriletes* N a u m. d — 26,9  $\mu$ .
12. *Stenozonotriletes radiatus* K o v. d — 50,3  $\mu$ .
13. *Stenozonotriletes radiatus* K o v. d — 53,1  $\mu$ .
14. *Chomotriletes redundus* B o l c h. d — 42,1  $\mu$ .
15. Неопр. спора d — 48,3  $\mu$ .
16. Неопр. спора d — 52,0  $\mu$ .
17. *Cibotium* sp. d — 31,4  $\mu$ .
18. *Tripartina variabilis* M a l. d — 29,9  $\mu$ .
19. *Caytonia* дл. 28,1  $\mu$ , шир. 18,1  $\mu$ .
20. *Bennettitales* дл. 73,8  $\mu$ , шир. 47,4  $\mu$ .
21. *Ginkgo* дл. 41,3  $\mu$ , шир. 17,3  $\mu$ .
22. *Ginkgo* дл. 32,9  $\mu$ , шир. 10,3  $\mu$ .
23. *Podozamites* дл. 93,1  $\mu$ , шир. 83,5  $\mu$ .
24. *Coniferae* дл. 65,9  $\mu$ , шир. 62,4  $\mu$ .

Все рис.  $\times 400$

Таблица 94

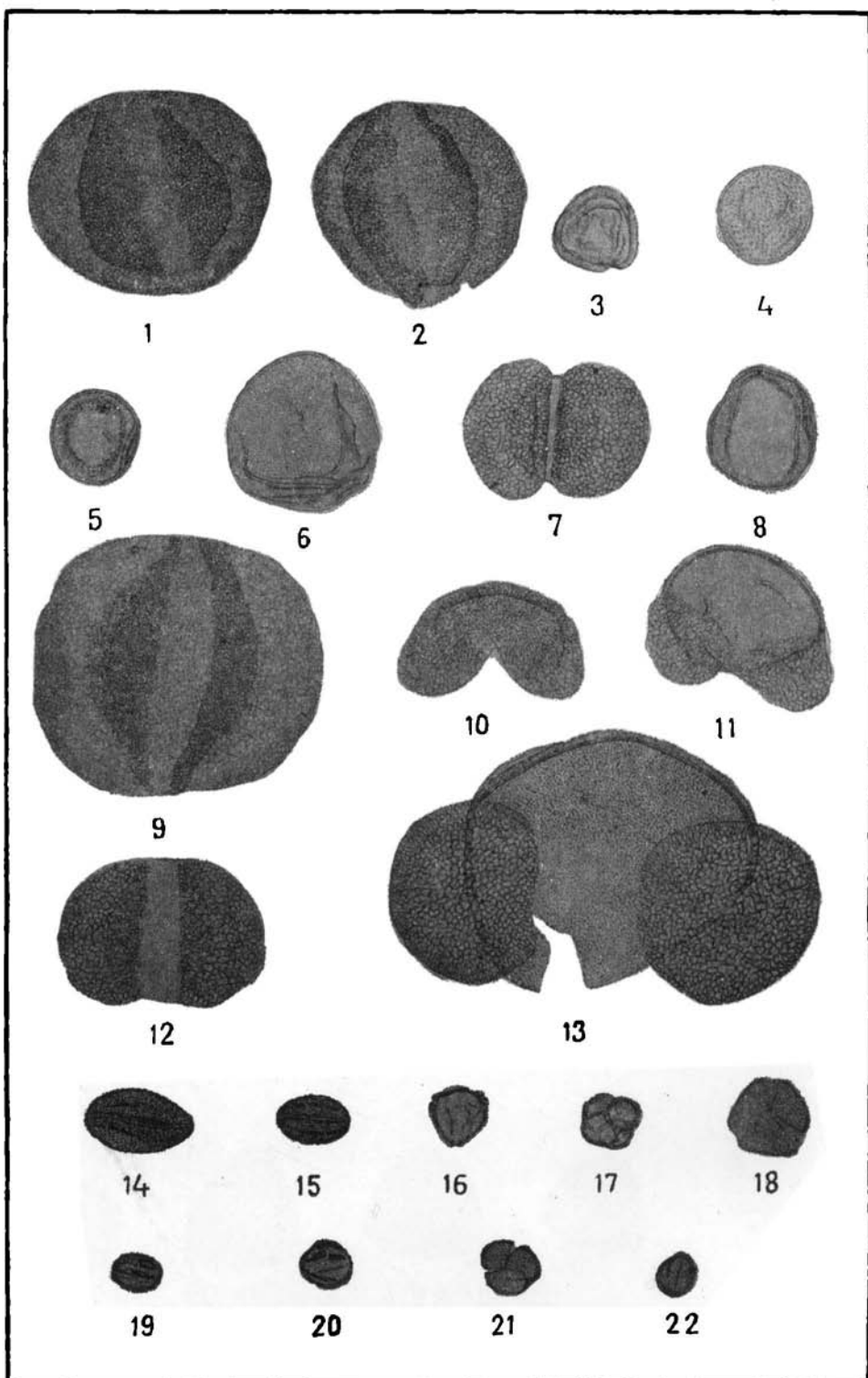


# ТАБЛИЦА 95

Спороно-пыльцевой комплекс верхнего мела сеноман (?)-турона  
Мариинской буровой партии, скв. 1-р

1. *Picea* дл. 81,3  $\mu$ , шир. 69,0  $\mu$ .
2. *Picea* дл. 65,9  $\mu$ , шир. 62,2  $\mu$ .
3. *Brachyphyllum*  $d = 27,2 \mu$ .
4. Сл. *Brachyphyllum*  $d = 29,9 \mu$ .
5. *Brachyphyllum*  $d = 29,4 \mu$ .
6. *Podozamites*  $d = 53,6 \mu$ .
7. *Podocarpus* дл. 62,4  $\mu$ , выс. т. 33,2  $\mu$ , выс. м. 43,8  $\mu$ .
8. *Araucariaceae*  $d = 43,8 \mu$ .
9. *Picea* дл. 94,0  $\mu$ , выс. т. 79,7  $\mu$ , выс. м. 82,2  $\mu$ .
10. *Cedrus* дл. 60,4  $\mu$ , выс. т. 18,9  $\mu$ , выс. м. 25,4  $\mu$ .
11. *Cedrus* дл. 65,9  $\mu$ , выс. т. 40,2  $\mu$ , выс. м. 30,3  $\mu$ .
12. *Pinus* н/р *Haploxyylon* дл. 68,5  $\mu$ , выс. т. 47,4  $\mu$ , выс. м. 47,8  $\mu$ .
13. *Keteleeria* дл. 53,8  $\mu$ , выс. т. 92,9  $\mu$ , выс. м. 65,9  $\mu$ .
14. *Salicaceae* дл. 35,1  $\mu$ , шир. 21,9  $\mu$ .
15. *Salicaceae* дл. 23,7  $\mu$ , шир. 16,0  $\mu$ .
16. *Betula*  $d = 20,0 \mu$ .
17. *Ericipites tetraedralis* Волк h.  $d = 18,9 \mu$ .
18. *Angiospermae* трехбороздные  $d = 25,2 \mu$ .
19. *Angiospermae* трехпоровые, трехбороздные дл. 16,0  $\mu$ , шир. 11,4  $\mu$ .
20. *Angiospermae* трехпоровые, трехбороздные  $d = 15,6 \mu$ .
21. *Angiospermae* трехпоровые, трехбороздные  $d = 17,1 \mu$ .
22. *Angiospermae* трехбороздные  $d = 13,1 \mu$ .

Все рис.  $\times 400$

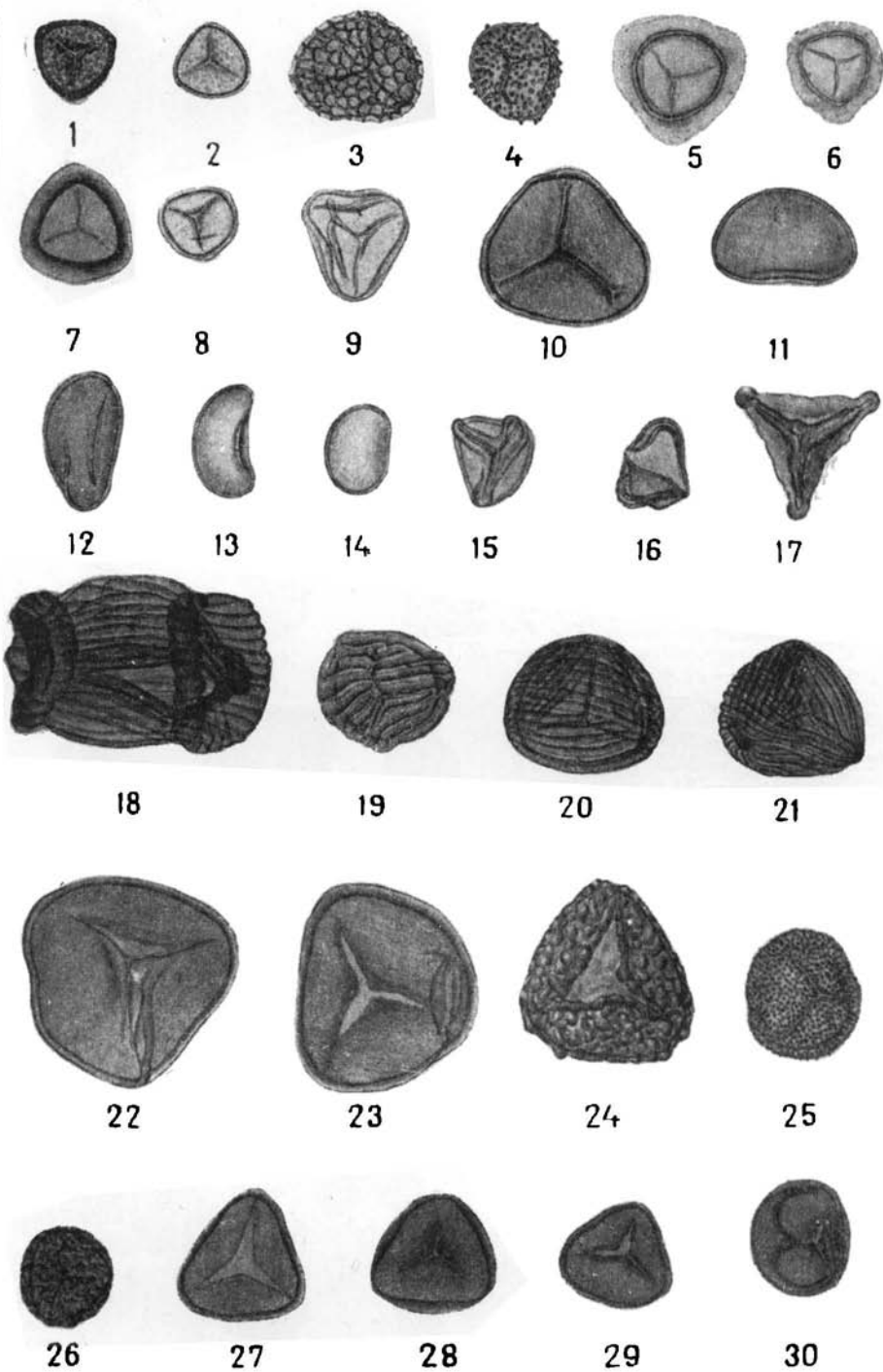


Споро-пыльцевой комплекс палеоценена Леушинской скв. 1-р

1. *Sphagnum*  $d = 26,3 \mu$ .
2. *Sphagnum*  $d = 24,5 \mu$ .
3. *Lycopodiaceae*  $d = 38,3 \mu$ .
4. *Selaginella*  $d = 29,4 \mu$ .
5. *Selaginella* с оторочкой  $d = 42,8 \mu$ .
6. *Selaginella* с оторочкой  $d = 30,5 \mu$ .
7. *Selaginella* с оторочкой  $d = 37,5 \mu$ .
8. *Sphagnum*  $d = 23,9 \mu$ .
9. *Cyatheaaceae*  $d = 33,4 \mu$ .
10. *Dicksoniaceae*  $d = 51,0 \mu$ .
11. *Polypodiaceae* дл.  $47,0 \mu$ , шир.  $31,8 \mu$ .
12. *Polypodiaceae* дл.  $43,8 \mu$ , шир.  $25,0 \mu$ .
13. *Polypodiaceae* дл.  $36,0 \mu$ , шир.  $17,3 \mu$ .
14. *Polypodiaceae* дл.  $27,2 \mu$ , шир.  $20,0 \mu$ .
15. *Gleichenia*  $d = 27,6 \mu$ .
16. *Gleichenia* дл.  $29,9 \mu$ , шир.  $24,1 \mu$ .
17. *Gleichenia triplex* В о л с h.  $d = 38,9 \mu$ .
18. *Schizaeaceae* дл.  $84,1 \mu$ , шир.  $57,8 \mu$ .
19. *Schizaeaceae*  $d = 40,4 \mu$ .
20. *Mohria*  $d = 46,8 \mu$ .
21. *Aneimia*  $d = 43,8 \mu$ .
22. *Lygodium*  $d = 62,2 \mu$ .
23. *Lygodium*  $d = 65,9 \mu$ .
24. *Lygodium valanjinensis* K—M  $d = 56,9 \mu$ .
25. *Osmunda*  $d = 39,5 \mu$ .
26. Спора с мозговой скульпт.  $d = 32,3 \mu$ .
27. Неопр. спора  $d = 63,1 \mu$ .
28. Неопр. спора  $d = 40,2 \mu$ .
29. Неопр. спора  $d = 33,2 \mu$ .
30. Неопр. спора  $d = 36,2 \mu$ .

Все рис.  $\times 400$

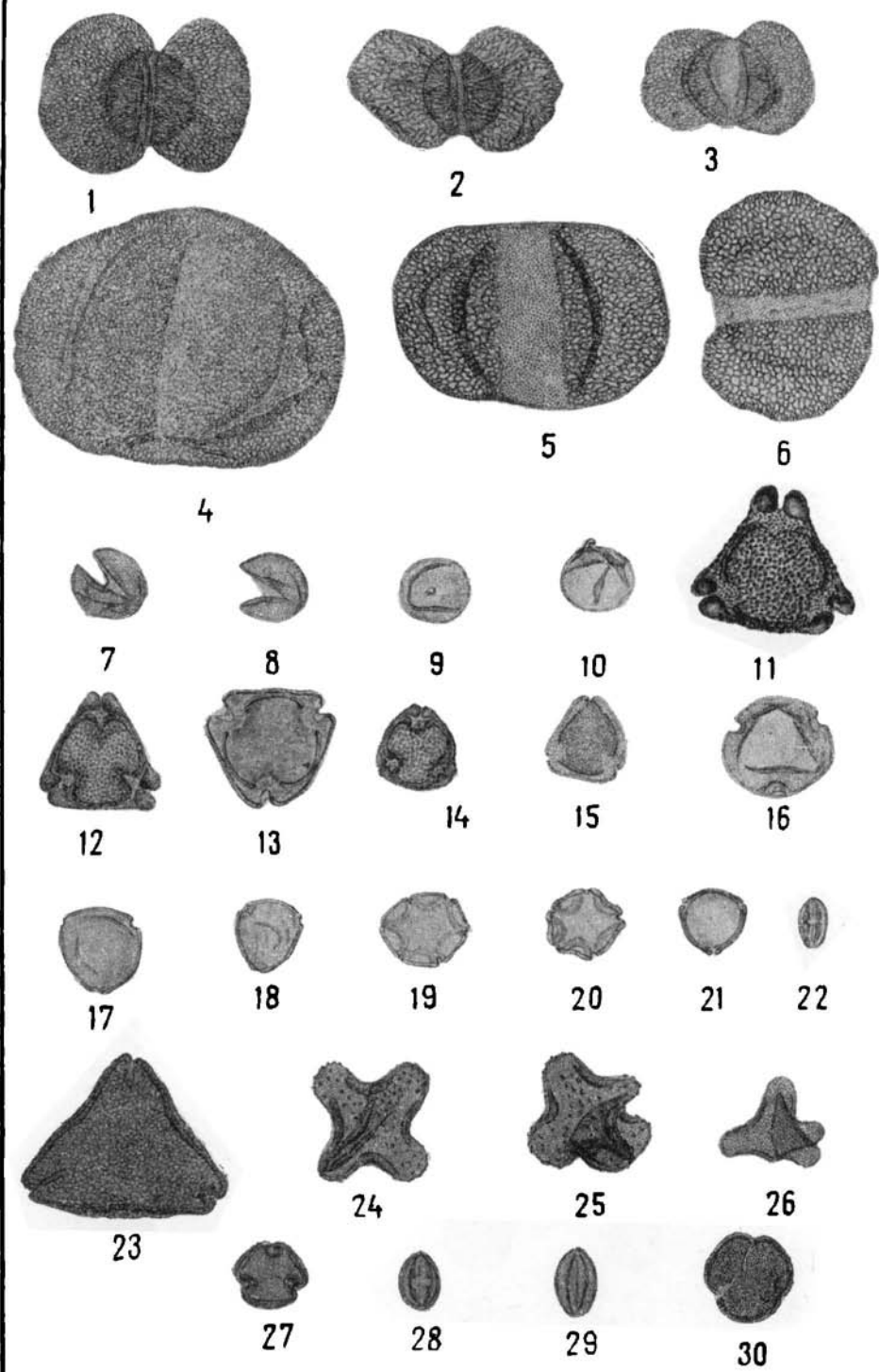
Таблица 9б



Спорово-пыльцевой комплекс палеоценца Леушинской скв. 1-р

1. *Podocarpus* дл. 60,6  $\mu$ , выс. т. 33,6  $\mu$ , выс. м. 51,0  $\mu$ .
2. *Podocarpus* дл. 71,6  $\mu$ , выс. т. 27,2  $\mu$ , выс. м. 43,8  $\mu$ .
3. *Podocarpus* дл. 58,2  $\mu$ , выс. т. 29,0  $\mu$ , выс. м. 38,3  $\mu$ .
4. *Picea* дл. 108,5  $\mu$ , шир. 86,1  $\mu$ .
5. *Pinus* н/р *Haploxyylon* дл. 78,7  $\mu$ , шир. 62,2  $\mu$ .
6. *Pinus* дл. 73,8  $\mu$ , выс. т. 50,1  $\mu$ , выс. м. 55,8  $\mu$ .
7. *Taxodiaceae*  $d = 25,0 \mu$ .
8. *Taxodiaceae*  $d = 25,0 \mu$ .
9. *Taxodiaceae*  $d = 22,2 \mu$ .
10. *Sequoia*  $d = 21,9 \mu$ .
11. *Extratriroropollenites* *Pf.*  $d = 47,8 \mu$ .
12. *Extratriroropollenites* *Pf.*  $d = 38,0 \mu$ .
13. *Extratriroropollenites* *Pf.*  $d = 42,1 \mu$ .
14. *Extratriroropollenites* *Pf.*  $d = 26,5 \mu$ .
15. *Extratriroropollenites* *Pf.*  $d = 26,1 \mu$ .
16. *Carya*  $d = 36,4 \mu$ .
17. *Betulaceae*  $d = 27,4 \mu$ .
18. *Betulaceae*  $d = 22,1 \mu$ .
19. *Alnus*  $d = 27,4 \mu$ .
20. *Alnus*  $d = 24,5 \mu$ .
21. *Betula*  $d = 21,9 \mu$ .
22. *Castanea* дл. 16,9  $\mu$ , шир. 2,8  $\mu$ .
23. *Protea* sp.  $d = 54,7 \mu$ .
24. *Proteaceae* дл. 47,8  $\mu$ , шир. 48,5  $\mu$ .
25. *Proteaceae* дл. 43,8  $\mu$ , шир. 42,8  $\mu$ .
26. *Proteaceae* дл. 29,0  $\mu$ , шир. 28,1  $\mu$ .
27. *Nyssa*  $d = 20,0 \mu$ .
28. *Tricolpopollenites* дл. 20,0  $\mu$ , шир. 13,6  $\mu$ .
29. *Tricolpopollenites* дл. 21,9  $\mu$ , шир. 13,8  $\mu$ .
30. *Tricolpopollenites*  $d = 29,9 \mu$ .

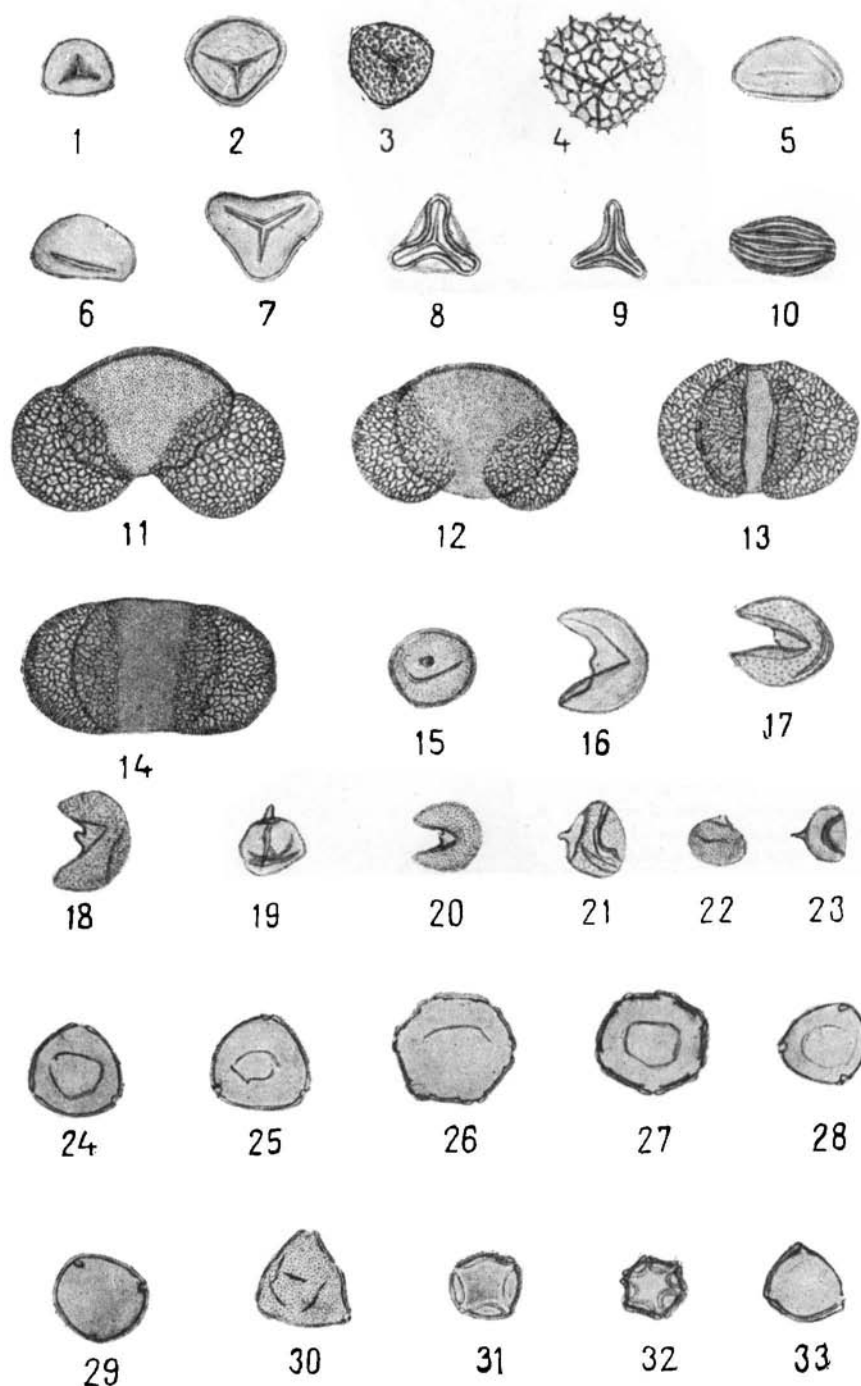
Все рис.  $\times 400$



Спорово-пыльцевой комплекс эоценена Нарымской скв. З-к

1. *Sphagnum*  $d = 21,9 \mu$ .
2. *Sphagnum*  $d = 29,0 \mu$ .
3. *Sphagnum*  $d = 28,5 \mu$ .
4. *Lycopodium*  $d = 35,3 \mu$ .
5. *Polypodiaceae* дл.  $34,3 \mu$ , шир.  $18,9 \mu$ .
6. *Polypodiaceae* дл.  $32,9 \mu$ , шир.  $20,8 \mu$ .
7. *Adiantum*  $d = 32,3 \mu$ .
8. *Gleichenia*  $d = 24,7 \mu$ .
9. *Gleichenia*  $d = 20,2 \mu$ .
10. *Schizaea* дл.  $34,0 \mu$ , шир.  $19,1 \mu$ .
11. *Pinus* н/р *Diploxylon* дл.  $82,6 \mu$ , выс. т.  $38,9 \mu$ , выс. м.  $40,2 \mu$ .
12. *Pinus* н/р *Diploxylon* дл.  $74,2 \mu$ , выс. т.  $45,9 \mu$ , выс. м.  $36,7 \mu$ .
13. *Pinus* н/р *Haploxyylon* дл.  $62,8 \mu$ , выс. т.  $40,2 \mu$ , выс. м.  $43,8 \mu$ .
14. *Pinus* н/р *Haploxyylon* дл.  $80,2 \mu$ , выс. т.  $45,9 \mu$ , выс. м.  $45,2 \mu$ .
15. *Taxodiaceae*  $d = 26,5 \mu$ .
16. *Taxodium*  $d = 33,8 \mu$ .
17. *Taxodium*  $d = 31,6 \mu$ .
18. *Taxodium*  $d = 32,0 \mu$ .
19. *Taxodium*  $d = 20,0 \mu$ .
20. *Sequoia*  $d = 21,9 \mu$ .
21. *Sequoia*  $d = 21,9 \mu$ .
22. *Sequoia*  $d = 18,3 \mu$ .
23. *Sequoia*  $d = 16,0 \mu$ .
24. *Juglans*  $d = 29,6 \mu$ .
25. *Juglans*  $d = 30,3 \mu$ .
26. *Pterocarya*  $d = 34,9 \mu$ .
27. *Pterocarya*  $d = 34,5 \mu$ .
28. *Carya*  $d = 29,0 \mu$ .
29. *Carya*  $d = 28,1 \mu$ .
30. *Betulaceae*  $d = 29,0 \mu$ .
31. *Alnus*  $d = 21,9 \mu$ .
32. *Alnus*  $d = 18,6 \mu$ .
33. *Betula*  $d = 23,5 \mu$ .

Все рис.  $\times 400$



## ТАБЛИЦА 99

Спороно-пыльцевой комплекс эоценена Нарымской скв. 3-к

1. *Betula*  $d = 21,9 \mu$ .
  2. *Betula*  $d = 22,0 \mu$ .
  3. *Corylus*  $d = 24,1 \mu$ .
  4. *Corylus*  $d = 24,1 \mu$ .
  5. *Carpinus*  $d = 30,2 \mu$ .
  6. *Quercus* дл.  $27,2 \mu$ , шир.  $17,1 \mu$ .
  7. *Quercus rex*  $d = 17,3 \mu$ .
  8. *Quercus*  $d = 19,7 \mu$ .
  9. *Castanea* дл.  $16,0 \mu$ , шир.  $8,7 \mu$ .
  10. *Castanea* дл.  $15,0 \mu$ , шир.  $8,1 \mu$ .
  11. *Castanea* дл.  $18,9 \mu$ , шир.  $11,0 \mu$ .
  12. *Castanea* дл.  $18,0 \mu$ , шир.  $8,2 \mu$ .
  13. *Castanea* дл.  $18,6 \mu$ , шир.  $11,4 \mu$ .
  14. *Ilex* дл.  $29,2 \mu$ , шир.  $20,0 \mu$ .
  15. *Acer*  $d = 20,0 \mu$ .
  16. *Tilia*  $d = 29,0 \mu$ .
  17. *Nyssa*  $d = 20,4 \mu$ .
  18. *Myrtus*  $d = 20,0 \mu$ .
  19. *Myrtus*  $d = 28,0 \mu$ .
  20. *Myrtus*  $d = 28,3 \mu$ .
  21. *Ericaceae*  $d = 38,9 \mu$ .
  22. *Ericaceae*  $d = 23,9 \mu$ .
  23. *Chenopodiaceae*  $d = 19,3 \mu$ .
  24. *Compositae*  $d = 24,1 \mu$ .
  25. *Artemisia*  $d = 16,4 \mu$ .
  26. *Extratriroropollenites Pf.*  $d = 43,8 \mu$ .
  27. *Extratriroropollenites Pf.*  $d = 34,5 \mu$ .
  28. *Extratriroropollenites Pf.*  $d = 32,5 \mu$ .
  29. *Extratriroropollenites Pf.*  $d = 33,8 \mu$ .
  30. *Angiospermae* тип *Salicaceae* дл.  $28,5 \mu$ , шир.  $16,4 \mu$ .
  31. *Angiospermae* трехбороздные дл.  $34,9 \mu$ , шир.  $20,6 \mu$ .
  32. *Angiospermae* трехбороздные  $d = 25,2 \mu$ .
  33. *Angiospermae* трехбороздные  $d = 17,5 \mu$ .
  34. *Angiospermae* трехбороздные дл.  $20,4 \mu$ , шир.  $16,2 \mu$ .
  35. *Angiospermae* трехпоровые, трехбороздные, дл.  $25,2 \mu$ , шир.  $12,3 \mu$ .
  36. *Angiospermae* трехпоровые, трехбороздные дл.  $25,9 \mu$ , шир.  $12,1 \mu$ .
  37. *Angiospermae* трехпоровые, трехбороздные дл.  $23,0 \mu$ , шир.  $13,8 \mu$ .
  38. *Angiospermae* трехпоровые, трехбороздные дл.  $21,9 \mu$ , шир.  $11,8 \mu$ .
- Все рис.  $\times 400$

Таблица 99

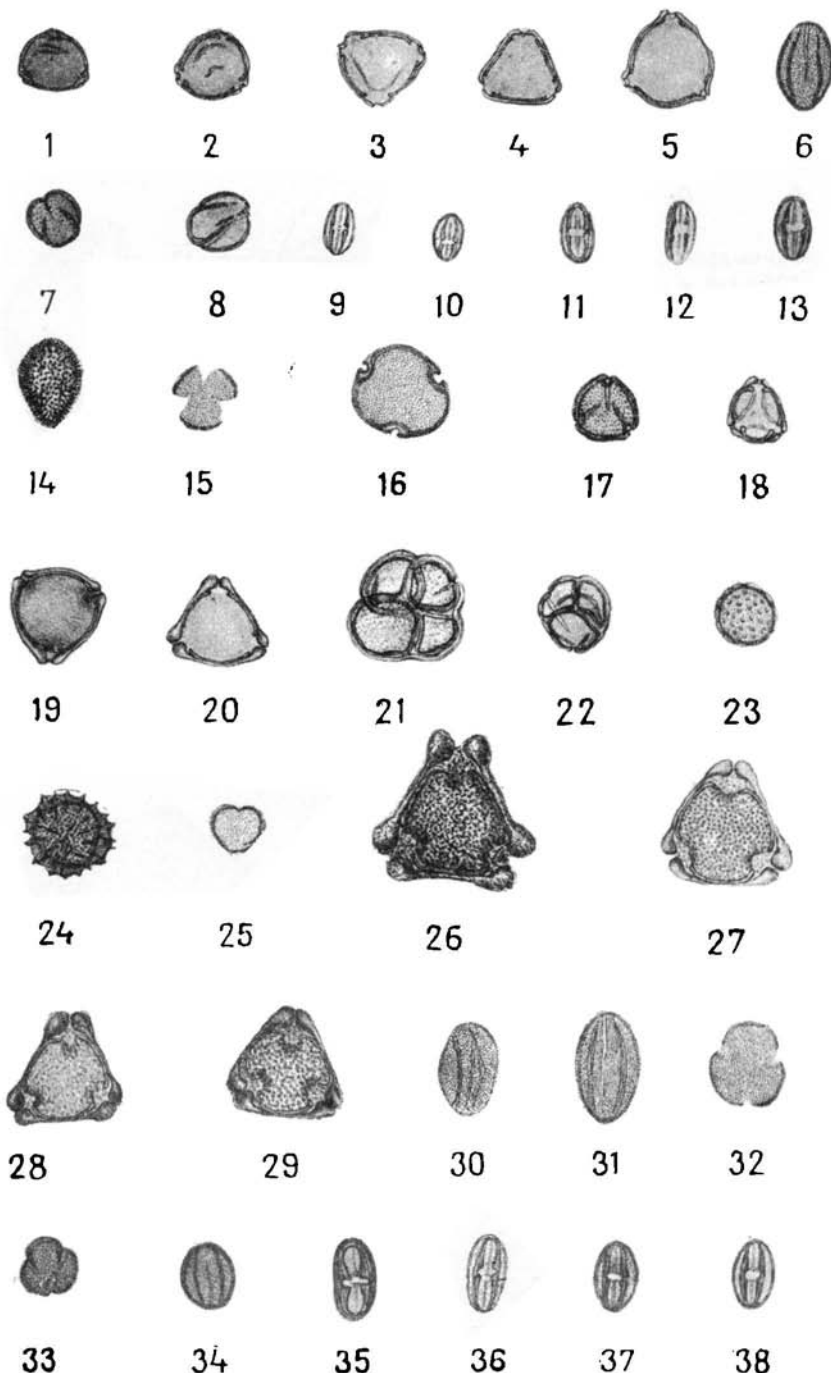


ТАБЛИЦА 100

Спорово-пыльцевой комплекс нижнего олигоцена Уватской скв. 1-р

1. *Sphagnum*  $d = 24,5 \mu$ .
2. *Sphagnum*  $d = 27,4 \mu$ .
3. *Lycopodium* sp.  $d = 40,0 \mu$ .
4. *Cyathea*  $d_1 = 32,3 \mu$ ,  $d_2 = 28,7 \mu$ .
5. *Polypodiaceae* п/с *Woodsia* дл.  $36,2 \mu$ , шир.  $25,0 \mu$ .
6. *Osmunda* дл.  $76,2 \mu$ , шир.  $52,3 \mu$ .
7. *Osmunda* sp.  $d = 83,5 \mu$ .
8. *Ginkgo* дл.  $34,0 \mu$ , шир.  $15,0 \mu$ .
9. *Podocarpus* дл.  $43,8 \mu$ , выс. т.  $21,9 \mu$ , выс. м.  $25,9 \mu$ .
10. *Pinus* дл.  $69,4 \mu$ , выс. т.  $45,7 \mu$ , выс. м.  $43,8 \mu$ .
11. *Pinus* н/п *Haploxyylon* дл.  $70,5 \mu$ , выс. т.  $48,5 \mu$ , выс. м.  $50,5 \mu$ .
12. *Pinus* н/п *Diploxyylon* дл.  $84,8 \mu$ , выс. т.  $47,0 \mu$ , выс. м.  $43,8 \mu$ .
13. *Tsuga*  $d = 101,5 \mu$ .
14. *Taxodium*  $d = 32,5 \mu$ .
15. *Taxodiaceae*  $d = 25,9 \mu$ .
16. *Juglans*  $d = 33,6 \mu$ .
17. *Juglans* sp.  $d = 40,4 \mu$ .
18. *Juglans*  $d = 37,7 \mu$ .
19. *Carya*  $d = 23,7 \mu$ .
20. *Carya*  $d = 24,7 \mu$ .
21. *Alnus*  $d = 21,6 \mu$ .
22. *Alnus*  $d = 23,3 \mu$ .
23. *Alnus* sp.  $d = 26,7 \mu$ .
24. *Betula*  $d = 25,0 \mu$ .
25. *Corylus*  $d = 21,9 \mu$ .

Таблица 100

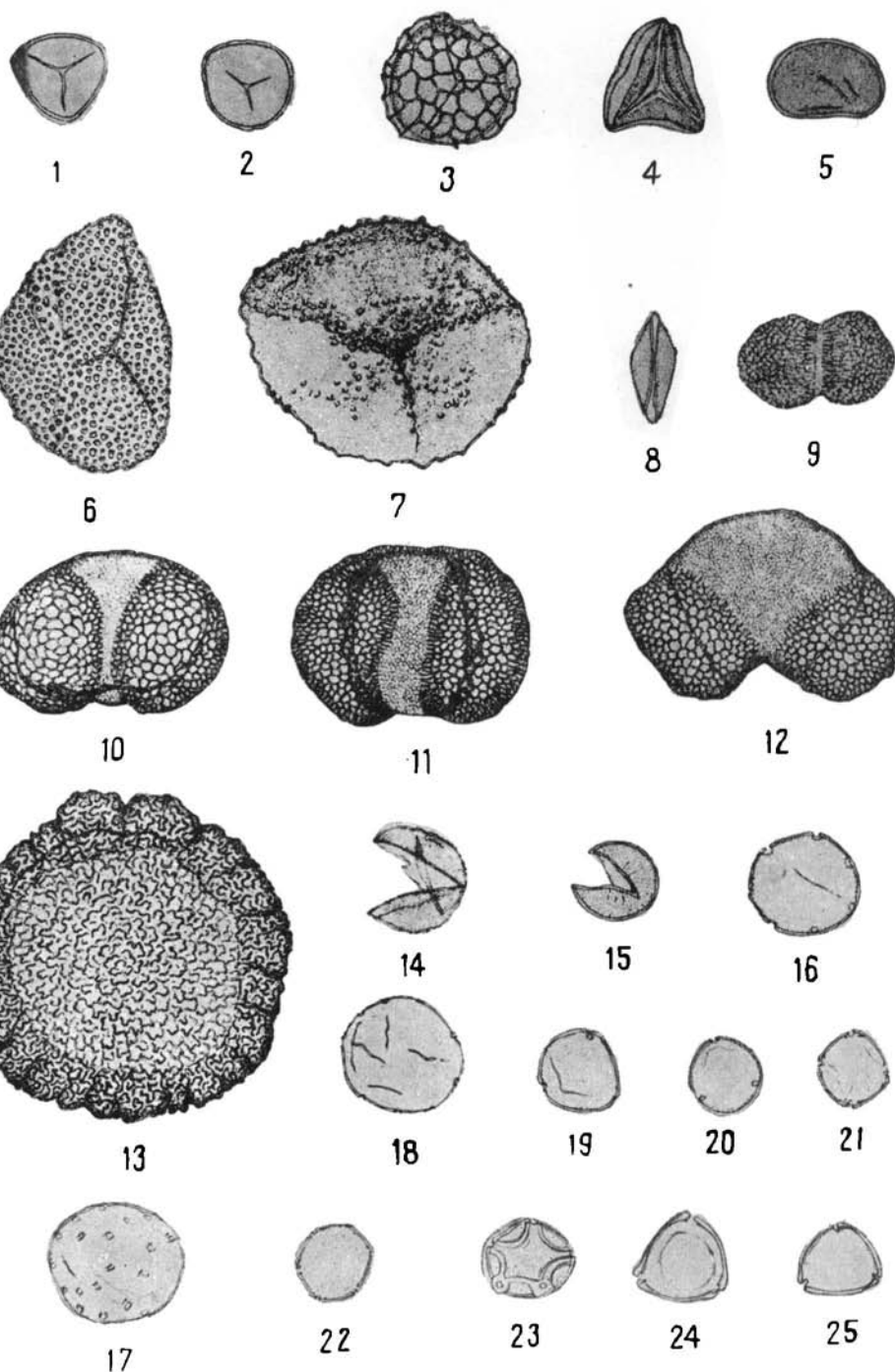


ТАБЛИЦА 100 (продолжение)

26. Тип *Salicaceae* дл. 27,2  $\mu$ , шир. 17,1  $\mu$ .
  27. *Castanopsis* дл. 20,8  $\mu$ , шир. 12,7  $\mu$ .
  28. *Castanea* дл. 14,5  $\mu$ , шир. 9,4  $\mu$ .
  29. *Ulmus*  $d = 21,9 \mu$ .
  30. *Ulmus* sp.  $d = 29,6 \mu$ .
  31. *Tilia*  $d = 32,0 \mu$ .
  32. *Acer*  $d = 33,8 \mu$ .
  33. *Acer (?)*  $d = 32,9 \mu$ .
  34. *Rhus* дл. 35,3  $\mu$ , шир. 23,5  $\mu$ .
  35. *Myrica*  $d = 21,9 \mu$ .
  36. *Extratriporopollenites Pf.*  $d = 30,7 \mu$ .
  37. *Ericaceae*  $d = 31,1 \mu$ .
  38. *Angiospermae* трехбороздные т. *Salicaceae* дл. 29,9  $\mu$ , шир. 24,1  $\mu$ .
  39. Cf. *Sterculia* дл. 27,4  $\mu$ , шир. 18,1  $\mu$ .
  40. *Angiospermae*  $d = 30,5 \mu$ .
  41. *Angiospermae* дл. 21,9  $\mu$ , шир. 17,1  $\mu$ .
  42. *Hydropteryis*  $d = 20,4 \mu$ , дл. выроста 26,1  $\mu$ .
  43. *Angiospermae* трехбороздные дл. 25,4  $\mu$ .
  44. *Angiospermae* трехпоровые, трехбороздные  $d = 15,8 \mu$ .
  45. *Angiospermae* дл. 23,9  $\mu$ , шир. 14,5  $\mu$ .
  46. *Angiospermae*  $d = 11,4 \mu$ .
  47. *Angiospermae* дл. 54,4  $\mu$ , шир. 17,5  $\mu$ .
  48. Неопр. зерно дл. 54,5  $\mu$ , шир. 46,8  $\mu$ .
- Все рис.  $\times 400$

Таблица 100 (продолжение)



26



27



28



29



30



31



32



33



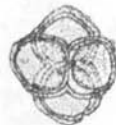
34



35



36



37



38



39



40



41



42



43



44



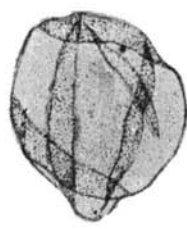
45



46



47



48

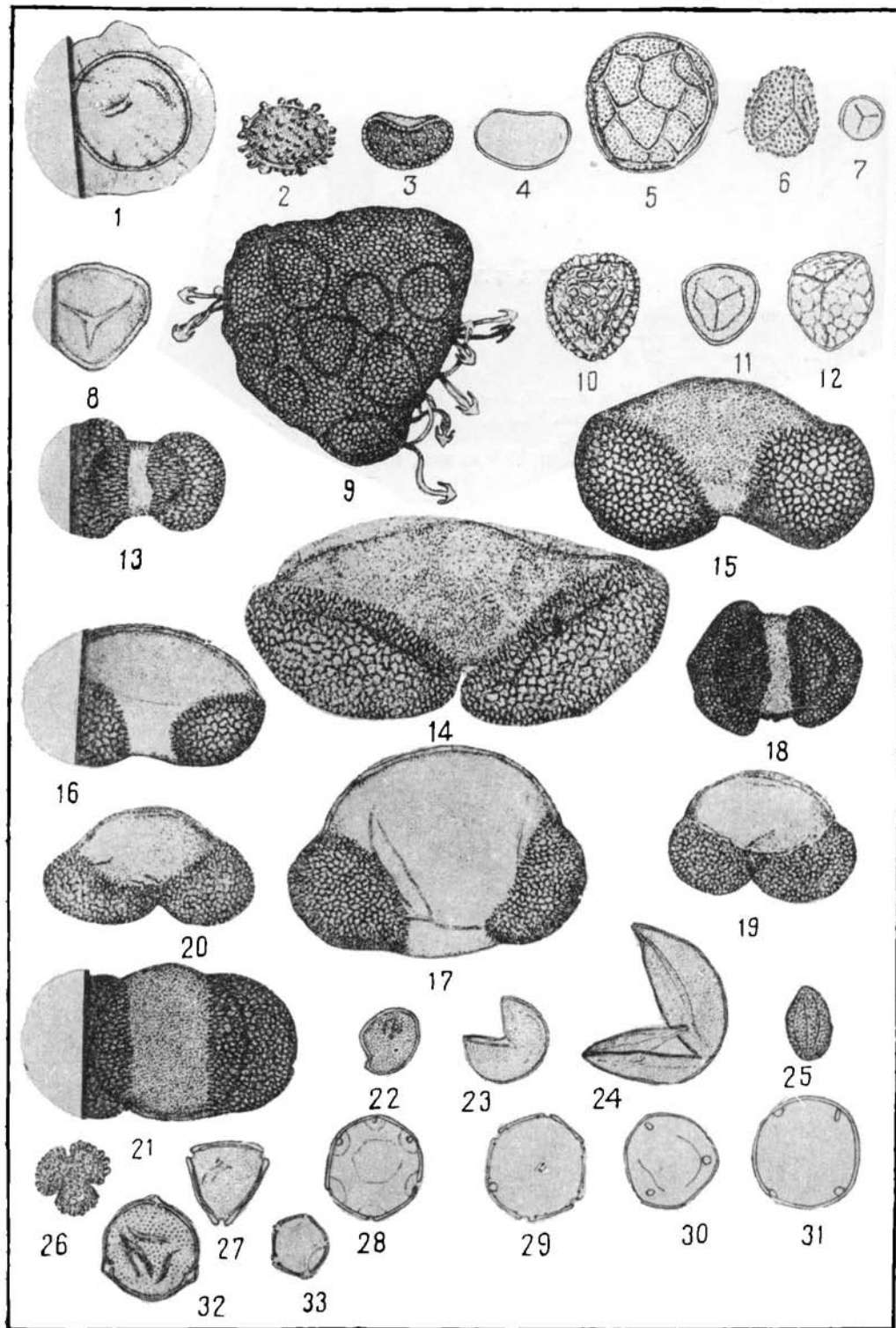
## ТАБЛИЦА 101

Спорово-пыльцевой комплекс нижнего олигоцена Ларынкской скв. 1-р

1. *Equisetum* (?)  $d = 59,1 \mu$ .
2. *Cyclophorus* дл.  $34,0 \mu$ , шир.  $26,1 \mu$ .
3. *Polyopodium* sp. дл.  $30,7 \mu$ , шир.  $16,4 \mu$ .
4. *Dipteridaceae* дл.  $31,6 \mu$ , шир.  $19,5 \mu$ .
5. *Woodsia* sp.  $d = 47,4 \mu$ .
6. *Osmunda* sp.  $d_1 = 31,6 \mu$ ,  $d_2 = 26,9 \mu$ .
7. Неопр. спора  $d = 15,0 \mu$ .
8. *Leiotriletes* N а u m.  $d = 38,4 \mu$ .
9. *Mascula Azolla* (?)  $d = 92,5 \mu$ .
10. Неопр. спора  $d = 35,3 \mu$ .
11. Неопр. спора  $d = 27,8 \mu$ .
12. Неопр. спора  $d = 33,2 \mu$ .
13. *Podocarpus* sp. дл.  $61,5 \mu$ , выс. т.  $25,6 \mu$ , выс. м.  $40,2 \mu$ .
14. *Abies* sp. дл.  $145,2 \mu$ , выс. т.  $50,5 \mu$ , выс. м.  $78,7 \mu$ .
15. *Abies* sp. дл.  $99,3 \mu$ , выс. т.  $46,5 \mu$ , выс. м.  $54,5 \mu$ .
16. *Picea* sp. дл.  $68,5 \mu$ , выс. т.  $41,9 \mu$ , выс. м.  $35,6 \mu$ .
17. *Picea* sp. дл.  $94,7 \mu$ , выс. т.  $69,0 \mu$ , выс. м.  $39,5 \mu$ .
18. *Pinus* sp. дл.  $65,9 \mu$ , выс. т.  $36,2 \mu$ , выс. м.  $46,3 \mu$ .
19. *Pinus* n/p *Haploxyylon* дл.  $65,9 \mu$ , выс. т.  $29,6 \mu$ , выс. м.  $35,8 \mu$ .
20. *Pinus* n/p *Diploxyylon* дл.  $73,4 \mu$ , выс. т.  $30,3 \mu$ , выс. м.  $34,7 \mu$ .
21. *Pinus* n/p *Haploxyylon* дл.  $87,9 \mu$ , выс. т.  $51,6 \mu$ , выс. м.  $49,2 \mu$ .
22. *Taxodiaceae*  $d = 21,9 \mu$ .
- 22 a, b. *Taxodiaceae*.
23. *Salicaceae* дл.  $23,8 \mu$ , шир.  $14,0 \mu$ .
24. *Ilex* sp.  $d = 24,5 \mu$ .
25. *Myrica* sp.  $d = 26,7 \mu$ .
26. *Juglans* sp.  $d = 33,2 \mu$ .
27. *Pterocarya* sp.  $d = 35,8 \mu$ .
28. *Carya* sp.  $d = 31,4 \mu$ .
29. *Carya* sp.  $d = 36,4 \mu$ .
30. *Betulaceae*  $d = 34,0 \mu$ .
31. *Alnus* sp.  $d = 21,9 \mu$ .
32. *Alnus* sp.  $d = 24,1 \mu$ .
33. *Betula* sp.  $d = 23,9 \mu$ .

Все рис.  $\times 400$

Таблица 101

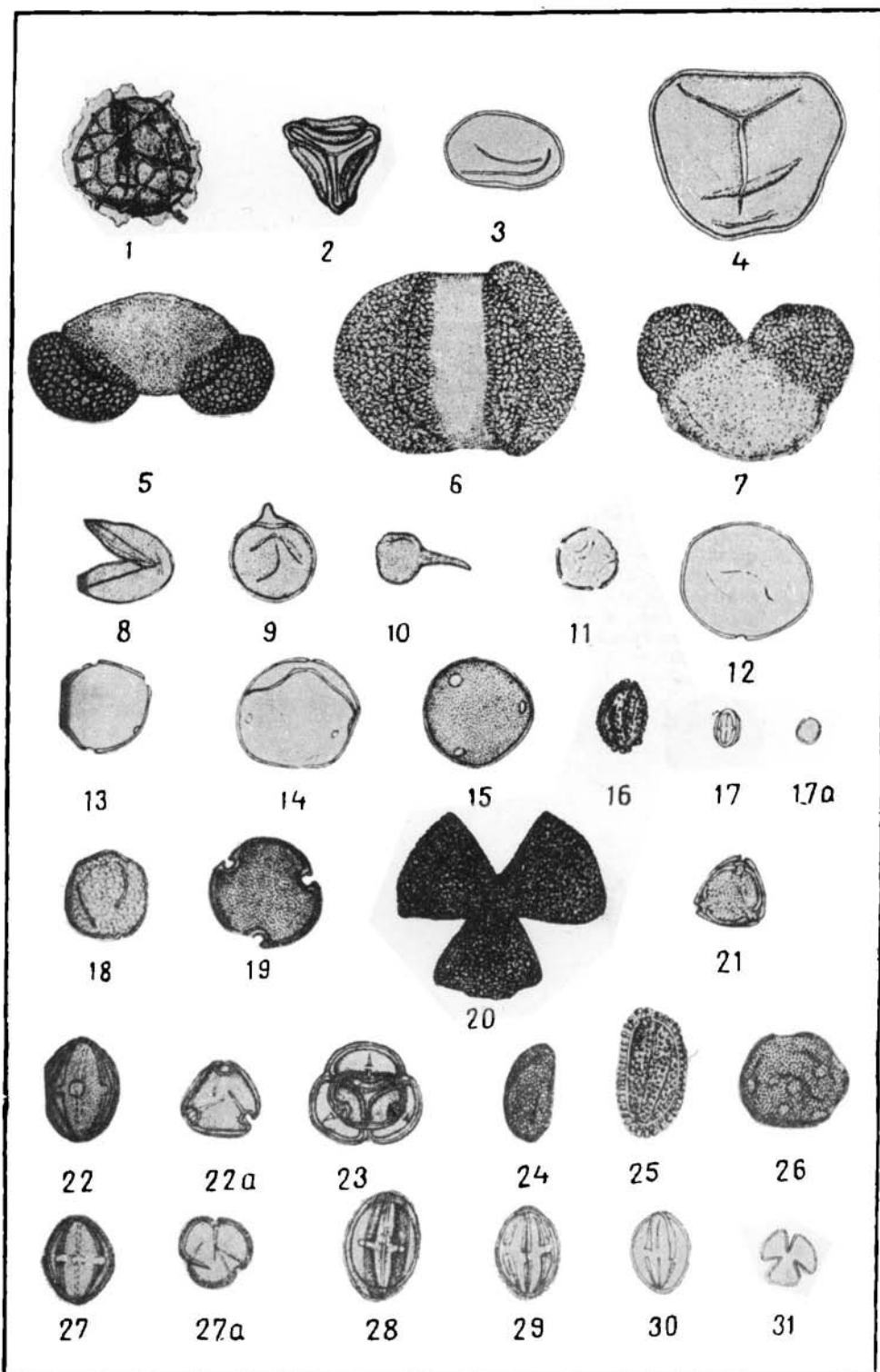


## ТАБЛИЦА 102

Спорово-шыльцевой комплекс нижнего олигоцена Покурской скв. 1-р

1. *Lycopodium*  $d = 39,7 \mu$ .
2. *Cyathea*  $d = 29,6 \mu$ .
3. *Polyodiaceae*.
4. *Leiotriletes* *Nau*  $m d = 65,9 \mu$ .
5. *Pinus* n/p *Diploxyylon* дл.  $80,8 \mu$ , выс. т.  $32,9 \mu$ , выс. м.  $35,8 \mu$ .
6. *Pinus* n/p *Haploxyylon*.
7. *Cedrus* дл.  $61,2 \mu$ , выс. т.  $40,4 \mu$ , выс. м.  $34,3 \mu$ .
8. *Taxodiaceae*.
9. *Taxodium*  $d = 27,4 \mu$ .
10. *Hydropteris*  $d = 16,9 \mu$ , дл. выроста  $15,4 \mu$ .
11. *Alnus*  $d = 21,9 \mu$ .
12. *Juglans*.
13. *Juglans*.
14. *Carya*  $d = 38,4 \mu$ .
15. *Carya*
16. *Salix* дл.  $25,9 \mu$ , шир.  $16,4 \mu$ .
17. *Castanea*.
- 17 а. *Castanea*.
18. *Ulmus*.
19. *Tilia*  $d = 35,1 \mu$ .
20. *Acer*  $d = 69,6 \mu$ .
21. *Myrtaceae*  $d = 21,9 \mu$ .
22. *Nyssa* дл.  $32,7 \mu$ , шир.  $25,9 \mu$
- 22 а. *Nyssa*  $d = 25,9 \mu$ .
23. *Ericaceae*  $d = 36,0 \mu$ .
24. *Potamogeton* дл.  $31,6 \mu$ , шир.  $17,1 \mu$ .
25. *Ilex* дл.  $37,7 \mu$ , шир.  $23,3 \mu$ .
26. *Liquidambar*  $d = 35,8 \mu$ .
27. Cf. *Rhus* дл.  $25,2 \mu$ , шир.  $21,9 \mu$ .
- 27 б. Cf. *Rhus* дл.  $37,5 \mu$ , шир.  $25,6 \mu$ .
28. *Tricolporopollenites* дл.  $29,9 \mu$ , шир.  $21,9 \mu$ .
29. *Angiospermae* трехпоровые, трехбороздные дл.  $24,7 \mu$ , шир.  $19,9 \mu$ .
30. *Angiospermae* трехбороздные  $d = 17,5 \mu$ .

Все рис.  $\times 400$



# ТАБЛИЦА 103

- Спорово-пыльцевой комплекс нижнего олигоцена Омской скв. 1-р
1. Cf. Cyatheaceae  $d = 38,3 \mu$ .
  2. Polypodiaceae дл.  $43,8 \mu$ , шир.  $28,1 \mu$ .
  3. Polypodiaceae дл.  $56,0 \mu$ , шир.  $40,0 \mu$ .
  4. Pinus n/p Haploxyylon дл.  $69,6 \mu$ , выс. т.  $46,8 \mu$ , выс. м.  $47,6 \mu$ .
  5. Taxodiaceae  $d = 24,3 \mu$ .
  6. Taxodium sp. 3  $d = 23,3 \mu$ .
  7. Taxodium sp. 2  $d = 25,2 \mu$ .
  8. Juglans sp. 1  $d = 36,0 \mu$ .
  9. Carya sp. 1  $d = 30,7 \mu$ .
  10. Alnus sp. 1  $d = 26,1 \mu$ .
  11. Alnus sp. 2  $d = 24,5 \mu$ .
  - 11a. Quercus  $d = 30,1 \mu$ .
  12. Acer sp.  $d = 30,3 \mu$ .
  13. Liquidambar sp.  $d = 37,7 \mu$ .
  14. Angiospermae трехбороздовые дл.  $25,9 \mu$ , шир.  $17,3 \mu$
- Все рис.  $\times 400$

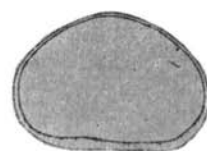
Таблица 103



1



2



3



4



5



6



7



8



9



10



11



11<sub>a</sub>



12



13



14

## ТАБЛИЦА 104

Спорово-пыльцевой комплекс нижнего олигоцена Славгородской скв. 5-к

1. *Lycopodium* sp.  $d = 50,1 \mu$ .
2. *Polypodium* дл.  $43,8 \mu$ , шир.  $29,2 \mu$ .
3. *Lycopodiaceae*  $d = 29,0 \mu$ .
4. *Podocarpus* дл.  $76,4 \mu$ , выс. т.  $43,3 \mu$ , выс. м.  $48,3 \mu$ .
5. *Picea* sp. дл.  $90,7 \mu$ , выс. т.  $61,3 \mu$ , выс. м.  $47,2 \mu$ .
6. *Cedrus* sp. дл.  $87,9 \mu$ , выс. т.  $43,8 \mu$ , выс. м.  $42,8 \mu$ .
7. *Pinus* н/р *Haploxyylon* дл.  $73,1 \mu$ , выс. т.  $43,8 \mu$ , выс. м.  $44,3 \mu$ .
8. *Pinus* н/р *Diploxyylon* дл.  $68,8 \mu$ , выс. т.  $48,3 \mu$ , выс. м.  $43,8 \mu$ .
9. *Pinus* н/р *Diploxyylon* дл.  $70,0 \mu$ , выс. т.  $43,8 \mu$ , выс. м.  $34,9 \mu$ .
10. *Keteleeria* sp. дл.  $113,4 \mu$ , выс. т.  $59,5 \mu$ , выс. м.  $61,7 \mu$  и  $52,7 \mu$ .
11. *Taxodium* sp.  $d = 32,5 \mu$ .
12. *Sequoia* sp.  $d = 26,9 \mu$ , дл. выроста  $2,4 \mu$ .
13. *Salix* sp. дл.  $26,5 \mu$ , шир.  $21,3 \mu$ .
14. *Juglans* sp. 1  $d = 39,0 \mu$ .
15. *Juglans* sp. 2  $d = 28,3 \mu$ .
16. *Carya* sp.  $d = 33,6 \mu$ .
17. *Alnus* sp. 1  $d = 21,9 \mu$ .
18. *Corylus* sp.  $d = 23,5 \mu$ .
19. *Quercus* sp. дл.  $26,3 \mu$ , шир.  $17,9 \mu$ .
20. *Rhus* sp.  $d = 20,2 \mu$ .
21. *Ulmus* sp.  $d = 30,7 \mu$ .
22. *Liquidambar* sp. 1  $d = 30,2 \mu$ .
23. *Liquidambar* sp. 2  $d = 42,1 \mu$ .
24. *Acer* sp.  $d = 39,5 \mu$ .
25. *Nyssa* sp.  $d = 23,7 \mu$ .
26. *Ilex* sp. дл.  $23,7 \mu$ , шир.  $21,9 \mu$ .
27. *Umbelliferae* дл.  $21,9 \mu$ , шир.  $15,6 \mu$ .
28. *Sparganium* дл.  $28,7 \mu$ , шир.  $25,0 \mu$ .
29. *Alnus* sp. 2  $d = 21,9 \mu$ .
30. *Fagus* sp. дл.  $30,7 \mu$ , шир.  $24,3 \mu$ .

Все рис.  $\times 400$

Таблица 104

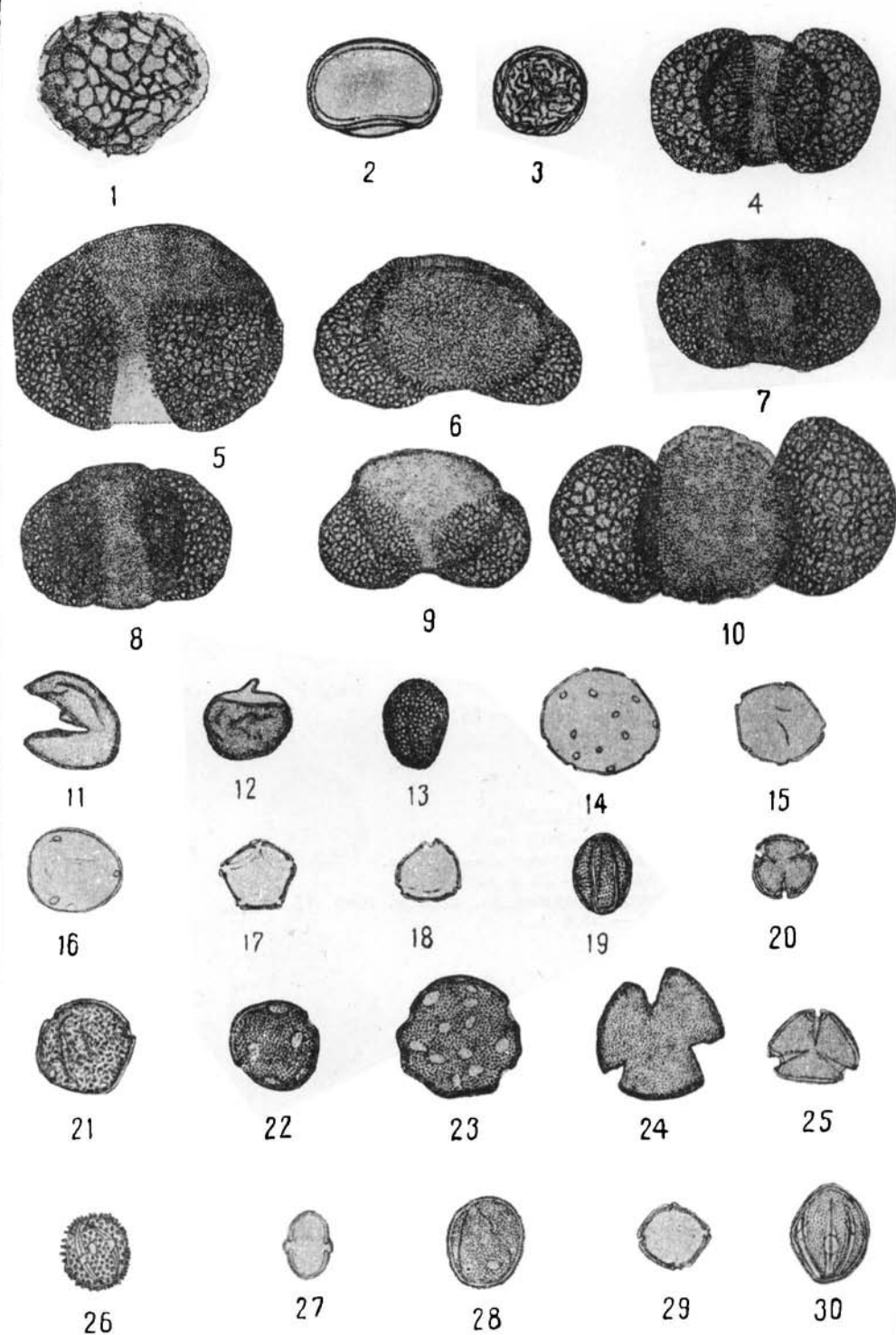


ТАБЛИЦА 104 (продолжение)

31. *Corylus* sp.  $d = 32,7 \mu$ .
  32. *Ostrya* (?)  $d = 35,3 \mu$ .
  33. *Quercus* sp.  $d = 28,7 \mu$ .
  34. *Castanea* sp. дл.  $15,9 \mu$ , шир.  $9,2 \mu$ .
  35. *Ulmus* sp.  $d = 26,5 \mu$ .
  36. *Liquidambar*  $d = 34,7 \mu$ .
  37. *Rhus* sp. дл.  $32,5 \mu$ , шир.  $18,0 \mu$ .
  38. Cf. *Rhus* sp. дл.  $30,9 \mu$ , шир.  $23,5 \mu$ .
  39. *Rhus* sp. дл.  $19,7 \mu$ , шир.  $15,9 \mu$ .
  40. Cf. *Rhus* дл.  $27,2 \mu$ , шир.  $14,8 \mu$ .
  41. *Proteaceae* дл.  $48,5 \mu$ , шир.  $28,7 \mu$ .
  42. *Ilex* sp.  $d = 25,2 \mu$ .
  43. *Ilex* sp.  $d_1 = 25,0 \mu$ ,  $d_2 = 23,9 \mu$ .
  44. *Ilex* sp. дл.  $25,9 \mu$ , шир.  $17,1 \mu$ .
  45. *Acer* sp.  $d = 30,2 \mu$ .
  46. *Tilia* sp.  $d = 31,1 \mu$ .
  - 46 a. *Tilia* sp.  $d = 29,6 \mu$ .
  47. *Sterculia* sp. дл.  $43,8 \mu$ , шир.  $27,4 \mu$ .
  48. *Sterculia* sp. дл.  $31,8 \mu$ , шир.  $19,3 \mu$ .
  49. *Nyssa* sp.  $d_1 = 19,3 \mu$ ,  $d_2 = 21,4 \mu$ .
  50. *Nyssa* sp.  $d = 25,2 \mu$ .
  51. *Extratriporopollenites Pf.*  $d = 36,7 \mu$ .
  52. *Myrtaceae*  $d = 24,7 \mu$ .
  53. *Myrtus* sp.  $d = 28,7 \mu$ .
  54. *Myrtus* sp.  $d = 23,0 \mu$ .
  55. *Ericaceae*  $d = 31,6 \mu$ .
  56. Cf. *Euphorbiaceae*  $d = 48,7 \mu$ .
  57. *Caprifoliaceae* (?)  $d = 30,9 \mu$ .
  58. *Angiospermae* трехбороздные  $d = 30,3 \mu$ .
  59. *Tricolporopollenites*  $d = 33,8 \mu$ .
  60. *Angiospermae* трехбороздные дл.  $25,2 \mu$ , шир.  $15,2 \mu$ .
  61. Неопр. зерно  $d = 95,8 \mu$ .
- Все рис.  $\times 400$

Таблица 104 (продолжение)

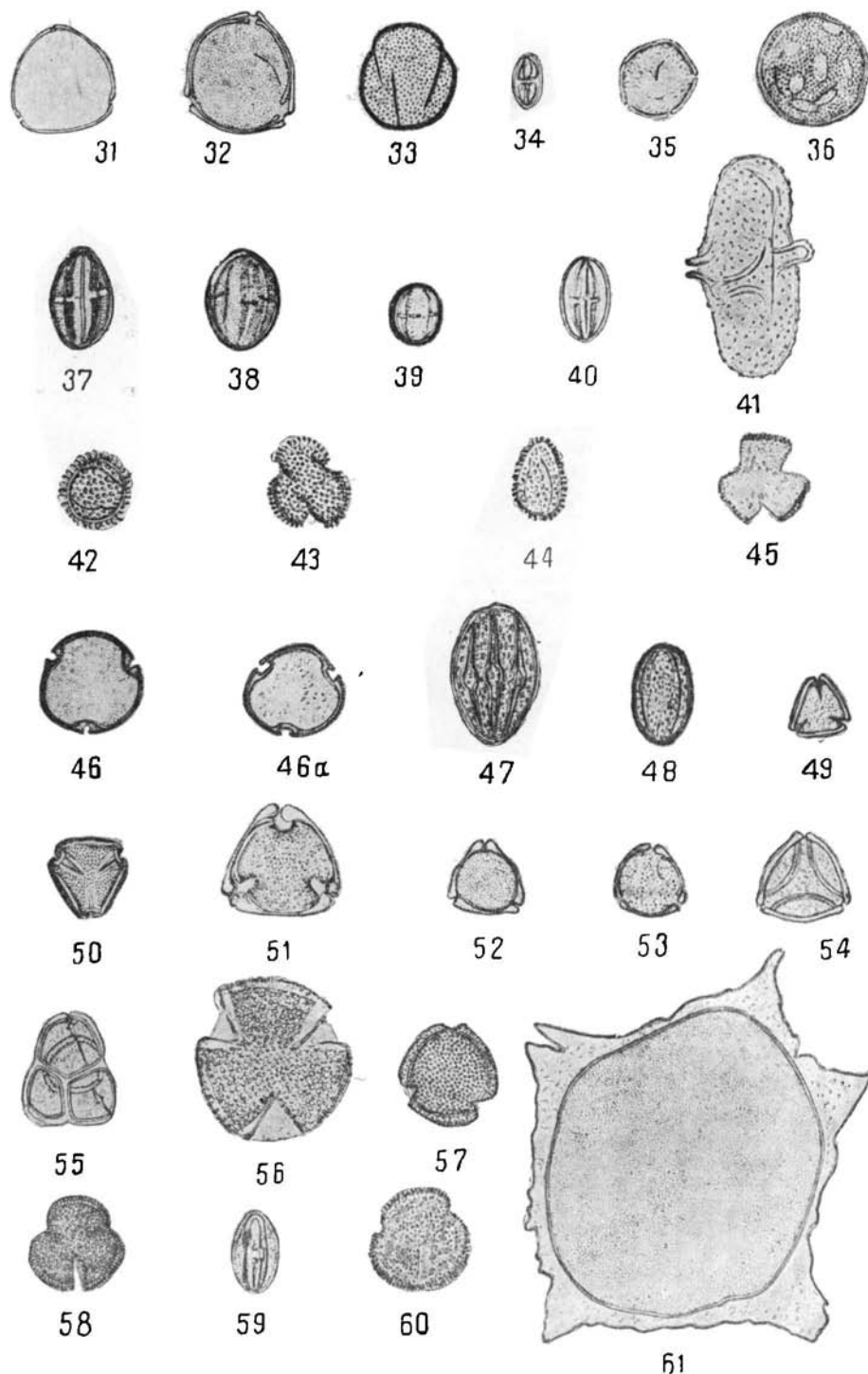


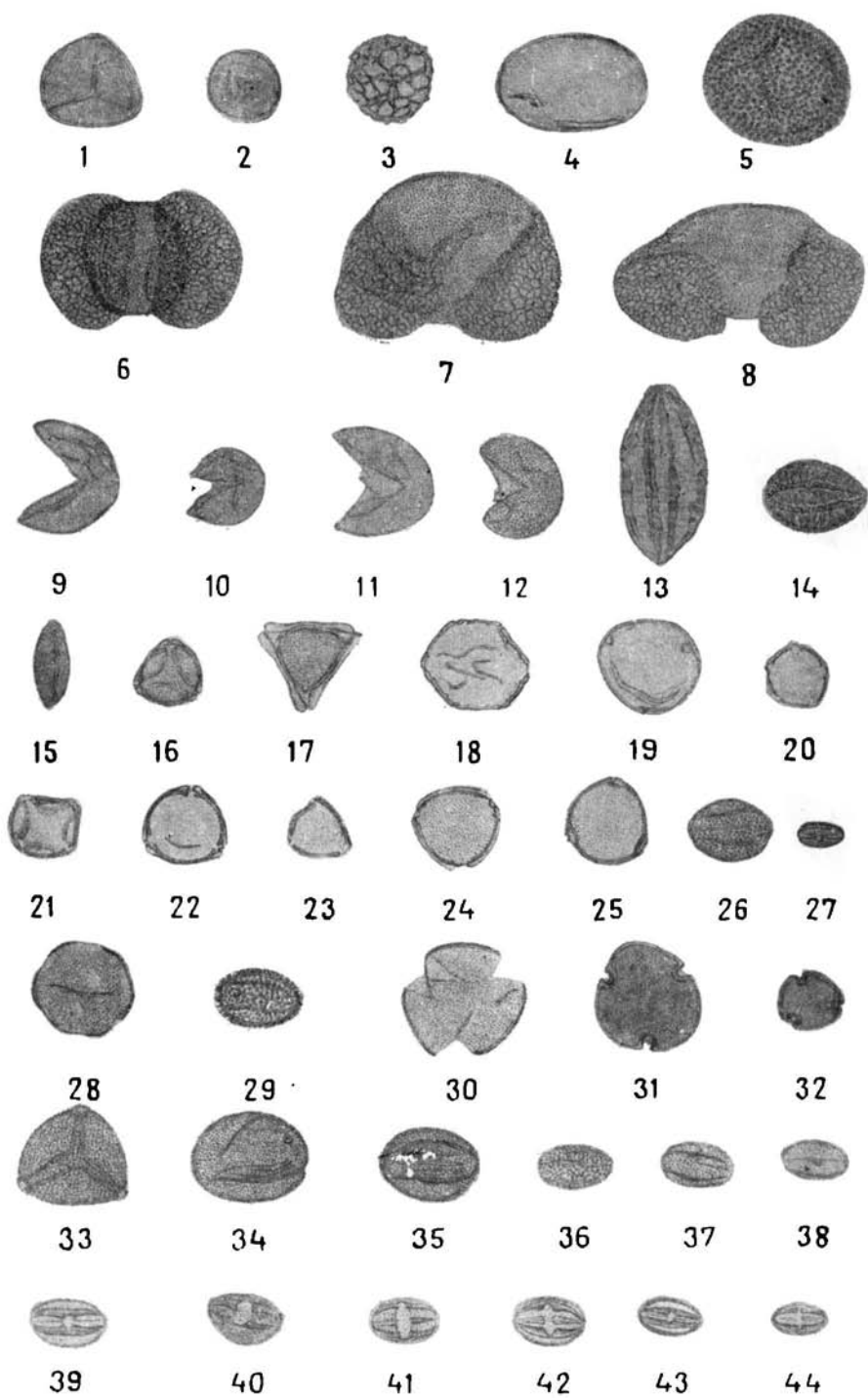
ТАБЛИЦА 105

Спорово-пыльцевой комплекс нижнего олигоцена Южно-Кетской скв. 14-к

1. *Sphagnum* дл. 31,3  $\mu$ .
2. *Sphagnum* д — 21,9  $\mu$ .
3. *Lycopodium* д — 26,5  $\mu$ .
4. *Polypodiaceae* дл. 46,3  $\mu$ , шир. 30,5  $\mu$ .
5. *Osmunda* дл. 43,6  $\mu$ , шир. 36,7  $\mu$ .
6. *Pinus* дл. 65,9  $\mu$ , выс. т. 36,4  $\mu$ , выс. м. 42,8  $\mu$ .
7. *Pinus* дл. 68,0  $\mu$ , выс. т. 43,8  $\mu$ , выс. м. 41,3  $\mu$ .
8. *Pinus* дл. 77,1  $\mu$ , выс. т. 35,3  $\mu$ , выс. м. 38,9  $\mu$ .
9. *Taxodiaceae* д — 36,4  $\mu$ .
10. *Taxodiaceae* д — 24,1  $\mu$ .
11. *Taxodiaceae* д — 35,3  $\mu$ .
12. *Taxodium* д — 29,2  $\mu$ .
13. *Ephedra* дл. 53,6  $\mu$ , шир. 25,2  $\mu$ .
14. *Ephedra* дл. 30,2  $\mu$ , шир. 21,9  $\mu$ .
15. *Salicaceae* дл. 24,5  $\mu$ , шир. 10,3  $\mu$ .
16. *Myricaceae* д — 21,9  $\mu$ .
17. *Myrica* д — 25,6  $\mu$ .
18. *Pterocarya* д — 32,0  $\mu$ .
19. *Carya* д — 32,3  $\mu$ .
20. *Alnus* д — 17,7  $\mu$ .
21. *Alnus* д — 21,9  $\mu$ .
22. *Betula verrucosa* E h r h. д — 26,5  $\mu$ .
23. *Betula* д — 20,2  $\mu$ .
24. *Betulaceae* д — 25,2  $\mu$ .
25. *Ostrya* (?) д — 25,2  $\mu$ .
26. *Quercus* дл. 26,3  $\mu$ , шир. 20,0  $\mu$ .
27. *Castanea* дл. 14,0  $\mu$ , шир. 6,3  $\mu$ .
28. *Liquidambar* д — 29,9  $\mu$ .
29. *Ilex cassine* L. дл. 27,4  $\mu$ , шир. 17,9  $\mu$ .
30. *Acer* д — 35,1  $\mu$ .
31. *Tilia* д — 32,9  $\mu$ .
32. *Nyssa* д — 19,5  $\mu$ .
33. *Elaeagnus* д — 30,9  $\mu$ .
34. *Tricolpopollenites turulosus* sp. nov. дл. 34,7  $\mu$ , шир. 29,9  $\mu$ .
35. *Tricolpopollenites reticulatus* sp. nov. дл. 31,4  $\mu$ , шир. 12,9  $\mu$ .
36. *Tricolpopollenites* дл. 24,7  $\mu$ , шир. 14,0  $\mu$ .
37. *Tricolpopollenites quercooides* sp. nov. дл. 21,9  $\mu$ , шир. 12,3  $\mu$ .
38. *Tricolpopollenites* дл. 21,9  $\mu$ , шир. 14,0  $\mu$ .
39. *Tricolpopollenites* дл. 23,5  $\mu$ , шир. 15,8  $\mu$ .
40. *Tricolpopollenites* дл. 23,9  $\mu$ , шир. 16,6  $\mu$ .
41. *Tricolpopollenites* дл. 21,9  $\mu$ , шир. 14,0  $\mu$ .
42. *Tricolpopollenites* дл. 21,9  $\mu$ , шир. 15,4  $\mu$ .
43. *Tricolpopollenites* дл. 19,5  $\mu$ , шир. 11,8  $\mu$ .
44. *Castanea* дл. 16,2  $\mu$ , шир. 8,5  $\mu$ .

Всё рис.  $\times 400$

Таблица 105



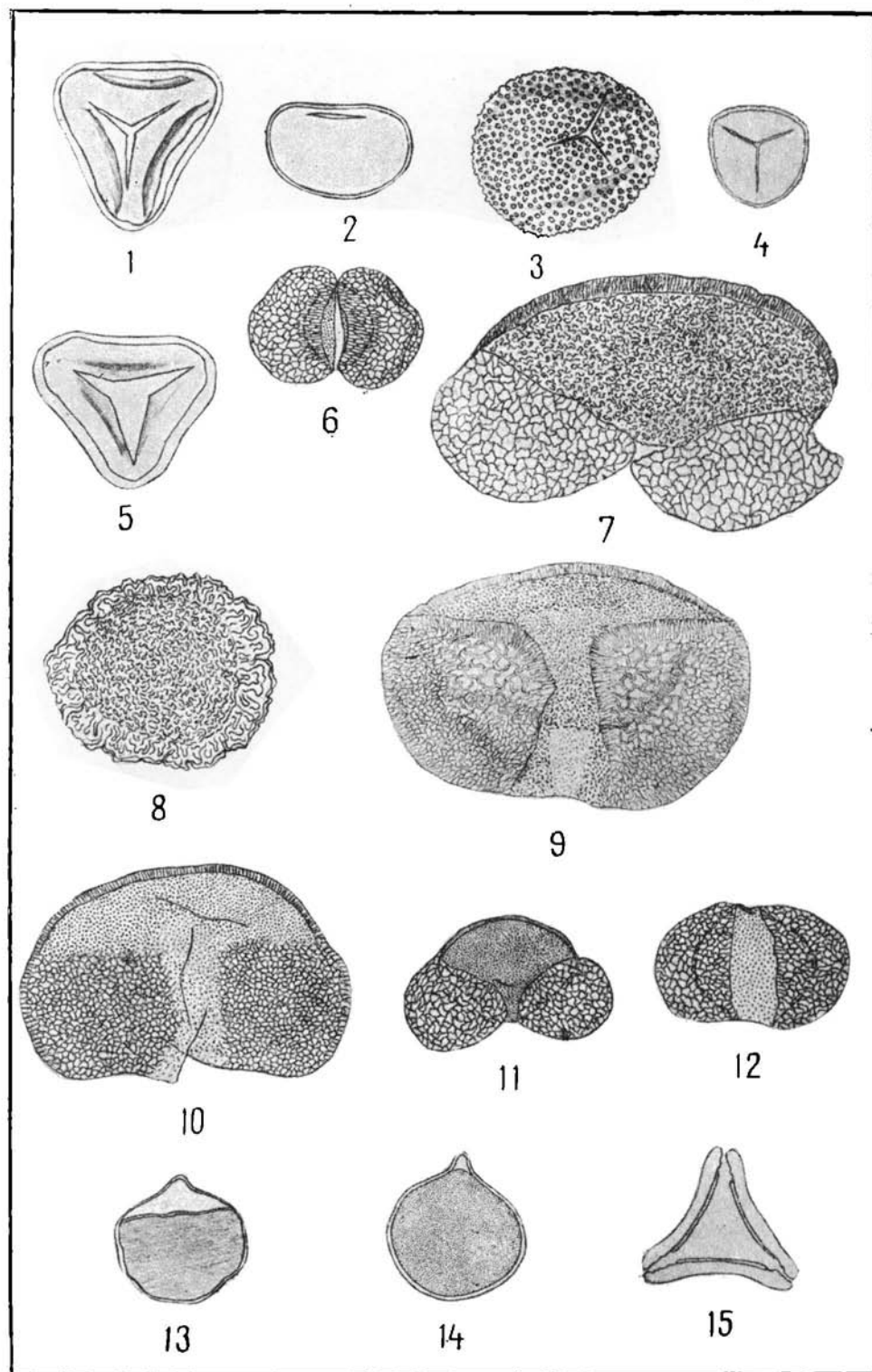
# ТАБЛИЦА 106

Спорово-пыльцевой комплекс верхнего олигоцена (?)-миоцена  
Уватской скв. 1-р

1. Cf. *Cyatheaceae*  $d = 41,7 \mu$ .
2. *Polyopodiaceae* дл.  $32,8 \mu$ , шир.  $21,7 \mu$ .
3. *Osmunda*  $d = 43,5 \mu$ .
4. *Sphagnum*  $d = 21,5 \mu$ .
5. *Coniopteris*  $d = 38,7 \mu$ .
6. *Podocarpus* дл.  $58,4 \mu$ , выс. т.  $27,1 \mu$ , выс. м.  $36,5 \mu$ .
7. *Abies* дл.  $121,3 \mu$ , выс. т.  $65,9 \mu$ , выс. м.  $61,0 \mu$ .
8. *Tsuga*  $d = 81,5 \mu$ .
9. *Picea* дл.  $130,4 \mu$ , выс. т.  $82,1 \mu$ , выс. м.  $74,3 \mu$ .
10. *Picea* дл.  $106,0 \mu$ , выс. т.  $87,0 \mu$ , выс. м.  $50,0 \mu$ .
11. *Pinus* н/р *Diploxylon* дл.  $69,1 \mu$ , выс. т.  $33,9 \mu$ , выс. м.  $33,4 \mu$ ,
12. *Pinus* н/р *Haploxyylon* дл.  $63,2 \mu$ , выс. т.  $36,0 \mu$ , выс. м.  $37,8 \mu$ .
13. *Taxodium*  $d = 28,9 \mu$ .
14. *Taxodium*  $d = 24,8 \mu$ .
15. *Myrica*  $d = 25,4 \mu$ .

Рис. 1—5, 13—15  $\times 600$

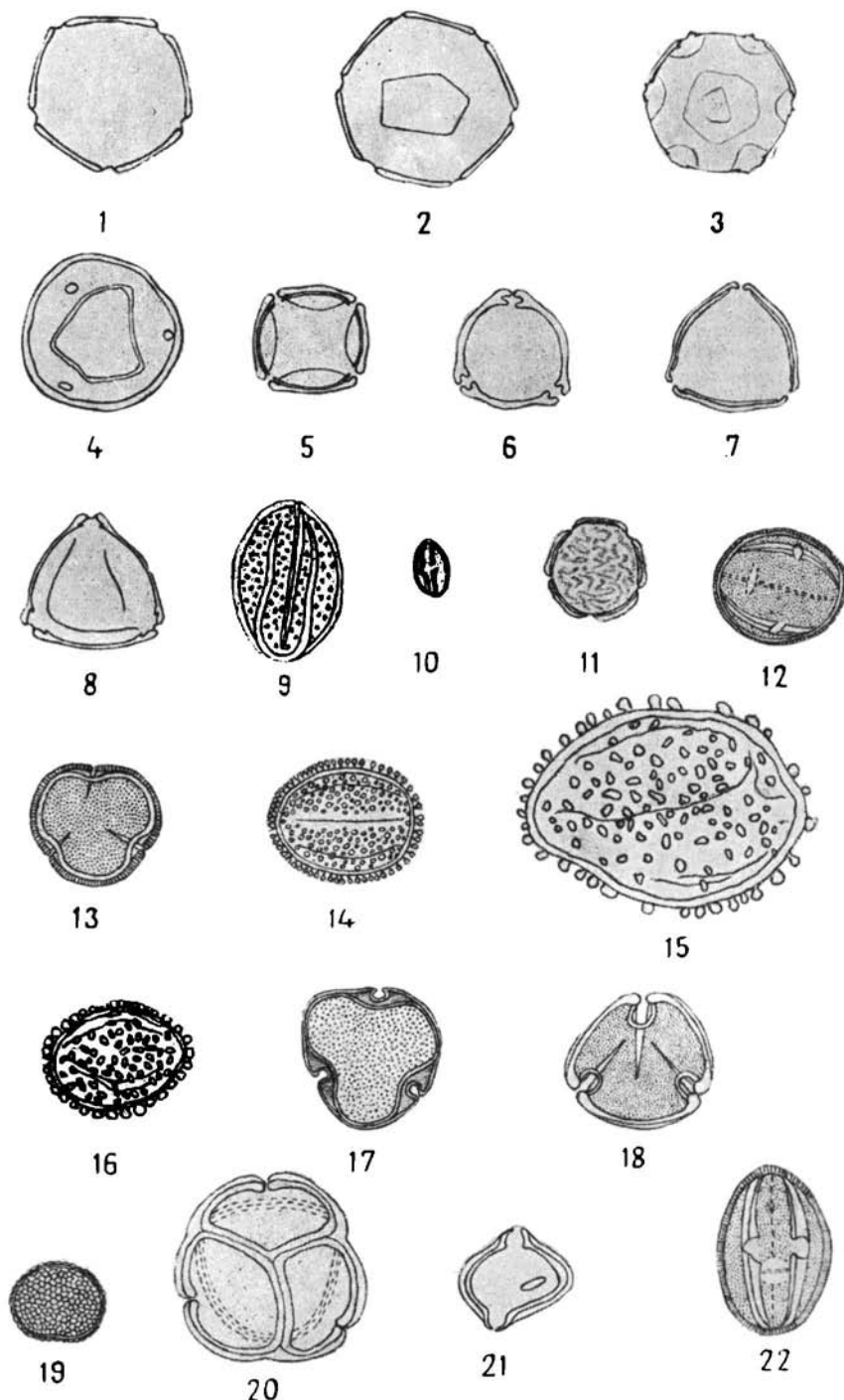
Рис. 6—12  $\times 400$



Спорово-пыльцевой комплекс верхнего олигоцена (?) + миоцена  
Уватской скв. 1-р

1. *Juglans*  $d = 29,5 \mu$ .
  2. *Juglans*  $d = 37,3 \mu$ .
  3. *Pterocarya*  $d = 27,8 \mu$ .
  4. *Carya*  $d = 34,7 \mu$ .
  5. *Alnus*  $d = 25,0 \mu$ .
  6. *Betula*  $d = 27,8 \mu$ .
  7. *Corylus*  $d = 24,8 \mu$ .
  8. *Carpinus*  $d = 27,8 \mu$ .
  9. *Quercus* дл.  $26,3 \mu$ , шир.  $21,7 \mu$ .
  10. *Castanea* дл.  $12,3 \mu$ , шир.  $7,9 \mu$ .
  11. *Ulmus*  $d = 21,9 \mu$ .
  12. *Rhus* дл.  $24,1 \mu$ , шир.  $21,7 \mu$ .
  13. *Rhus*  $d = 21,7 \mu$ .
  14. *Ilex* дл.  $27,6 \mu$ , шир.  $20,0 \mu$ .
  15. Неопр. зерно дл.  $48,7 \mu$ , шир.  $34,3 \mu$ .
  16. *Ilex* дл.  $23,9 \mu$ , шир.  $20,0 \mu$ .
  17. *Tilia*  $d = 30,9 \mu$ .
  18. *Nyssa*  $d = 24,7 \mu$ .
  19. *Sparganium*  $d = 21,7 \mu$ .
  20. *Ericaceae*  $d = 34,3 \mu$ .
  21. *Trapa*  $d = 21,7 \mu$ .
  22. *Angiospermae* трехпоровые, трехбороздные дл.  $32,4 \mu$ , шир.  $21,7 \mu$ .
- Все рис.  $\times 600$

Таблица 107



Спорово-пыльцевой комплекс верхнего олигоцена(?) + миоцена  
Ларьковской скв. 1-р

1. *Polypodiaceae* дл. 35,0  $\mu$ , шир. 21,7  $\mu$ .
2. *Osmundaceae*  $d$  — 50,0  $\mu$ .
3. *Sphagnum*  $d$  — 25,6  $\mu$ .
4. *Lycopodiaceae*  $d$  — 33,5  $\mu$ .
5. *Lycopodiaceae*  $d$  — 28,0  $\mu$ .
6. *Podocarpaceae* дл. 70,0  $\mu$ , выс. т. 37,1  $\mu$ , выс. м. 43,5  $\mu$ .
7. *Abies* дл. 141,5  $\mu$ , выс. т. 81,0  $\mu$ , выс. м. 65,2  $\mu$ .

Рис. 1—5  $\times 600$

Рис. 6, 7  $\times 400$



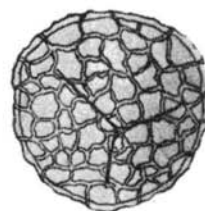
1



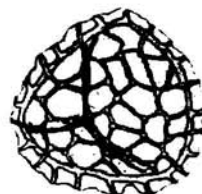
2



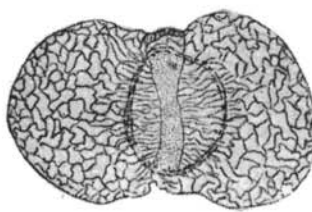
3



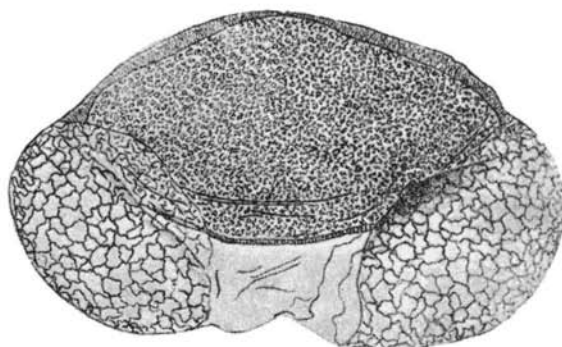
4



5



6



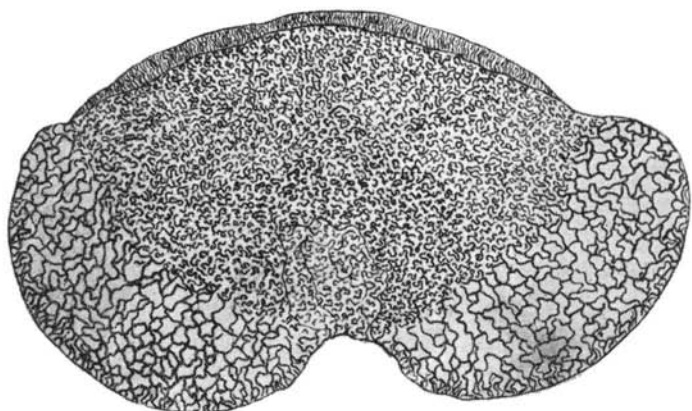
7

ТАБЛИЦА 108 (продолжение)

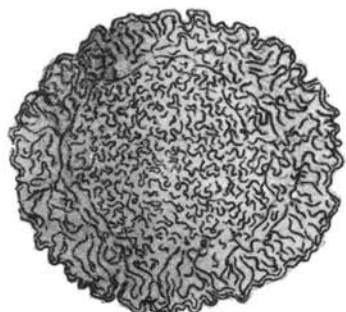
8. *Abies* дл. 173,9  $\mu$ , выс. т. 86,9  $\mu$ , выс. м. 90,0  $\mu$ .
9. *Tsuga* д — 80,0  $\mu$ .
10. *Picea* дл. 114,8  $\mu$ , выс. т. 87,0  $\mu$ , выс. м. 76,0  $\mu$ .
11. *Picea* дл. 169,3  $\mu$ , выс. т. 87,0  $\mu$ , выс. м. 76,0  $\mu$ .

Рис.  $\times 400$

Таблица 108 (продолжение)



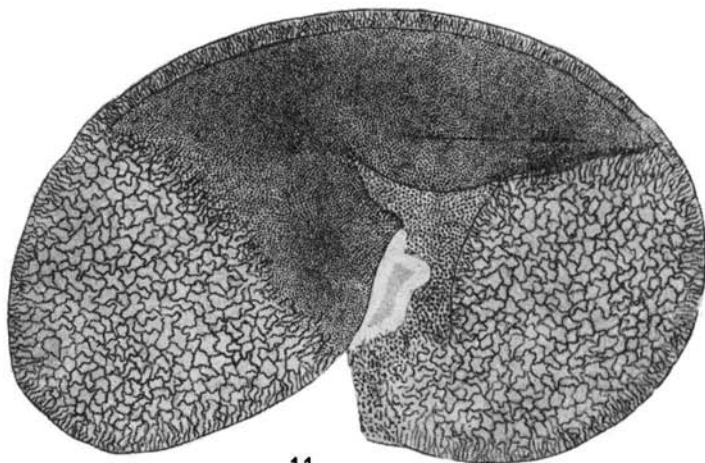
8



9



10



11

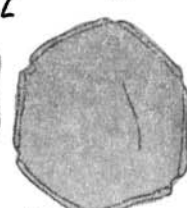
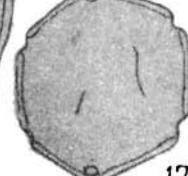
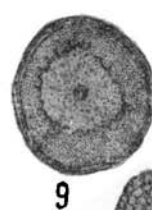
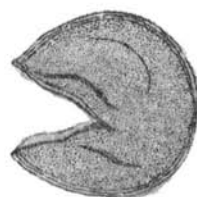
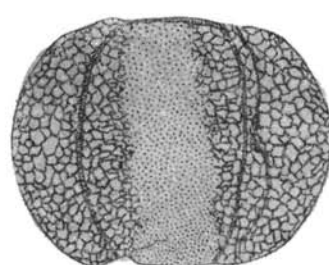
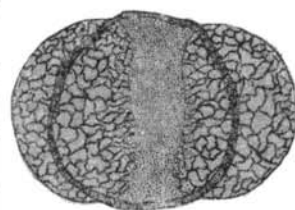
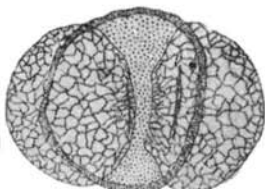
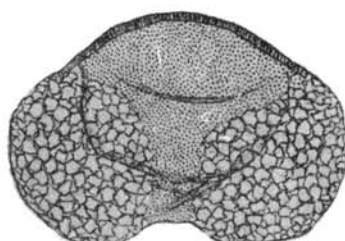
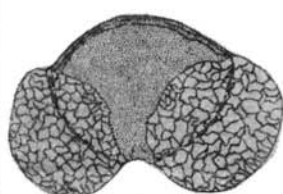
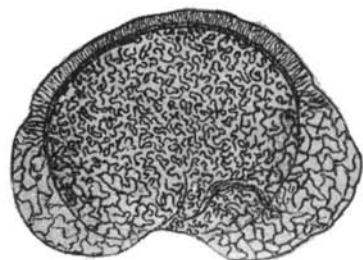
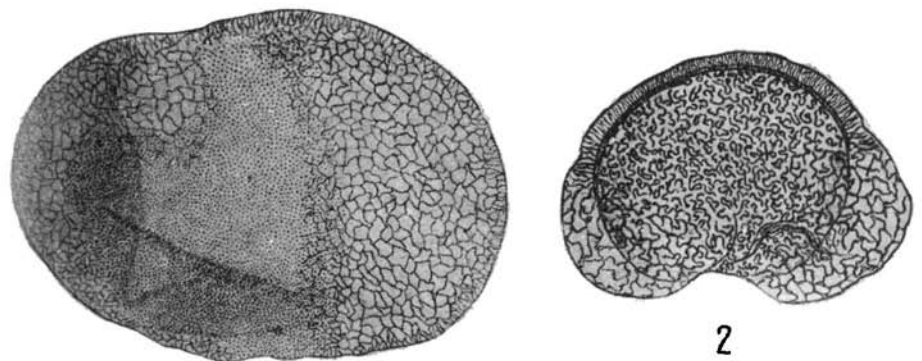
# ТАБЛИЦА 109

Спорово-пыльцевой комплекс верхнего олигоцена (?) + миоцена!  
Ларьякской скв. 1-р.

1. *Picea* дл. 130,0  $\mu$ , выс. т. 91,7  $\mu$ , выс. м. 87,0  $\mu$ .
2. *Cedrus* дл. 90,0  $\mu$ , выс. т. 53,2  $\mu$ , выс. м. 38,0  $\mu$ .
3. *Pinus* н/п *Diploxylon* дл. 69,1  $\mu$ , выс. т. 34,1  $\mu$ , выс. м. 31,7  $\mu$ .
4. *Pinus* н/п *Haploxyylon* дл. 87,0  $\mu$ , выс. т. 53,0  $\mu$ , выс. м. 49,0  $\mu$ .
5. *Pinus* н/п *Diploxylon* дл. 71,1  $\mu$ , выс. т. 48,7  $\mu$ , выс. м. 46,3  $\mu$ .
6. *Pinus* н/п *Diploxylon* дл. 69,1  $\mu$ , выс. т. 47,4  $\mu$ , выс. м. 44,3  $\mu$ .
7. *Pinus* н/п *Haploxyylon* дл. 77,8  $\mu$ , выс. т. 60,0  $\mu$ , выс. м. 60,0  $\mu$ .
8. *Taxodiaceae*  $d = 32,1 \mu$ .
9. *Taxodiaceae*  $d = 25,6 \mu$ .
10. *Taxodiaceae*  $d = 23,5 \mu$ .
11. *Taxodiaceae*  $d = 25,0 \mu$ .
12. *Taxodiaceae*  $d = 25,4 \mu$ .
13. *Taxodiaceae*  $d = 19,3 \mu$ .
14. *Salix* дл. 30,6  $\mu$ , шир. 27,8  $\mu$ .
15. *Salix*  $d = 23,5 \mu$ .
16. *Myrica*  $d = 27,1 \mu$ .
17. *Juglans*  $d = 31,7 \mu$ .
18. *Juglans*  $d = 35,6 \mu$ .
19. *Juglans*  $d = 34,1 \mu$ .

Рис. 1—7  $\times 400$

Рис. 8—19  $\times 600$



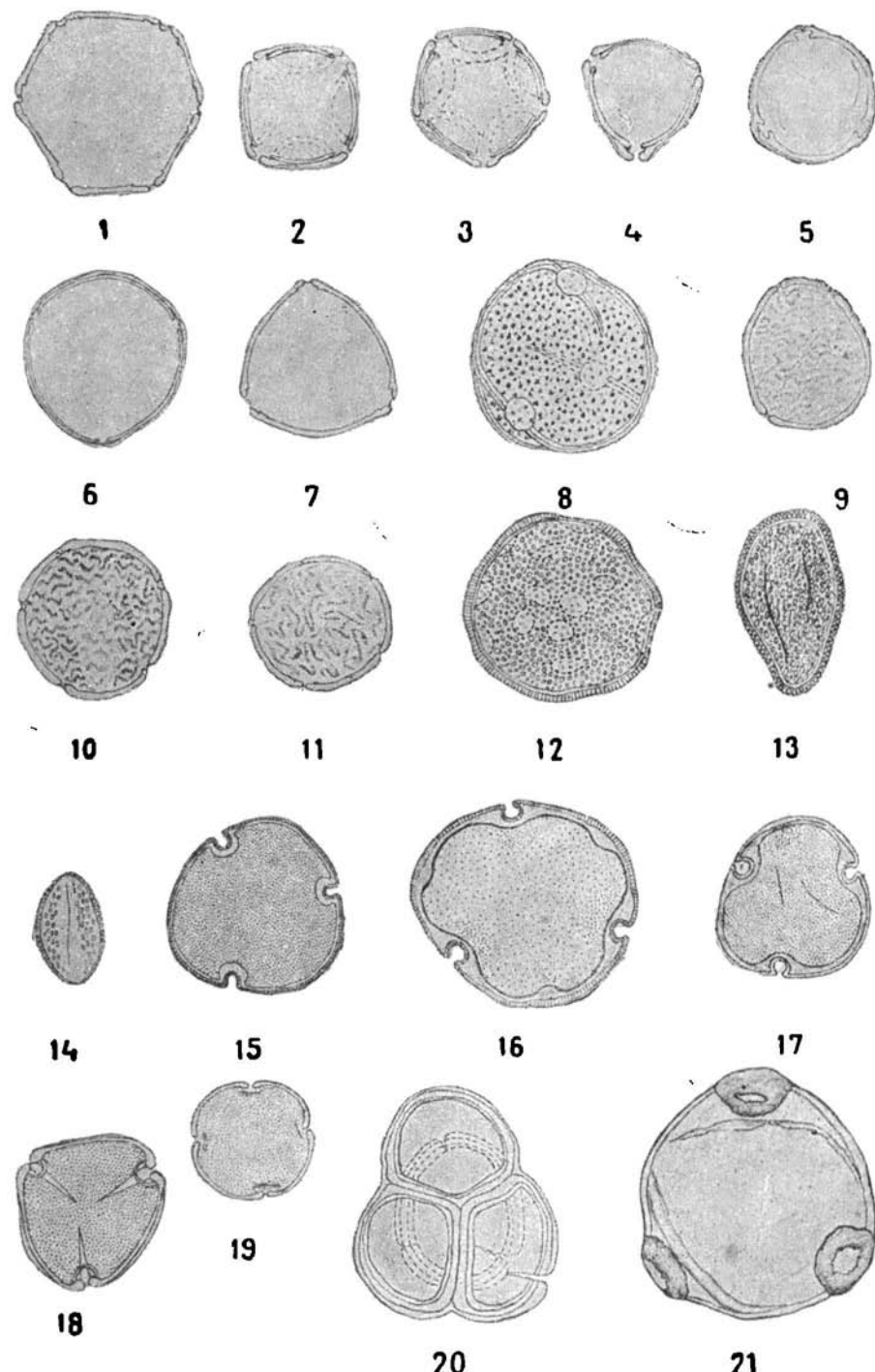
# ТАБЛИЦА 110

Спорово-пыльцевой комплекс верхнего олигоцена (?) + миоцен  
Ларьинской скв. 1-р

1. *Pterocarya*  $d = 33,5 \mu$ .
2. *Alnus*  $d = 23,9 \mu$ .
3. *Alnus*  $d = 21,7 \mu$ .
4. *Betula*  $d = 20,0 \mu$ .
5. *Betulaceae*  $d = 23,7 \mu$ .
6. *Corylus*  $d = 30,0 \mu$ .
7. *Carpinus*  $d = 26,5 \mu$ .
8. *Fagus*  $d = 32,8 \mu$ .
9. *Ulmus*  $d = 26,5 \mu$ .
10. *Ulmus*  $d = 27,4 \mu$ .
11. *Ulmus*  $d = 23,9 \mu$ .
12. *Liquidambar*  $d = 37,4 \mu$ .
13. *Ilex* дл.  $33,0 \mu$ , шир.  $21,7 \mu$ .
14. *Ilex* дл.  $21,7 \mu$ , шир.  $11,5 \mu$ .
15. *Tilia*  $d = 33,7 \mu$ .
16. *Tilia*  $d = 38,2 \mu$ .
17. *Tilia*  $d = 29,0 \mu$ .
18. *Nyssa*  $d = 27,4 \mu$ .
19. *Polygonaceae*  $d = 21,7 \mu$ .
20. *Ericaceae*  $d = 30,8 \mu$ .
21. *Onagraceae*  $d = 45,0 \mu$ .

Все рис.  $\times 600$

Таблица 110



# ТАБЛИЦА 111

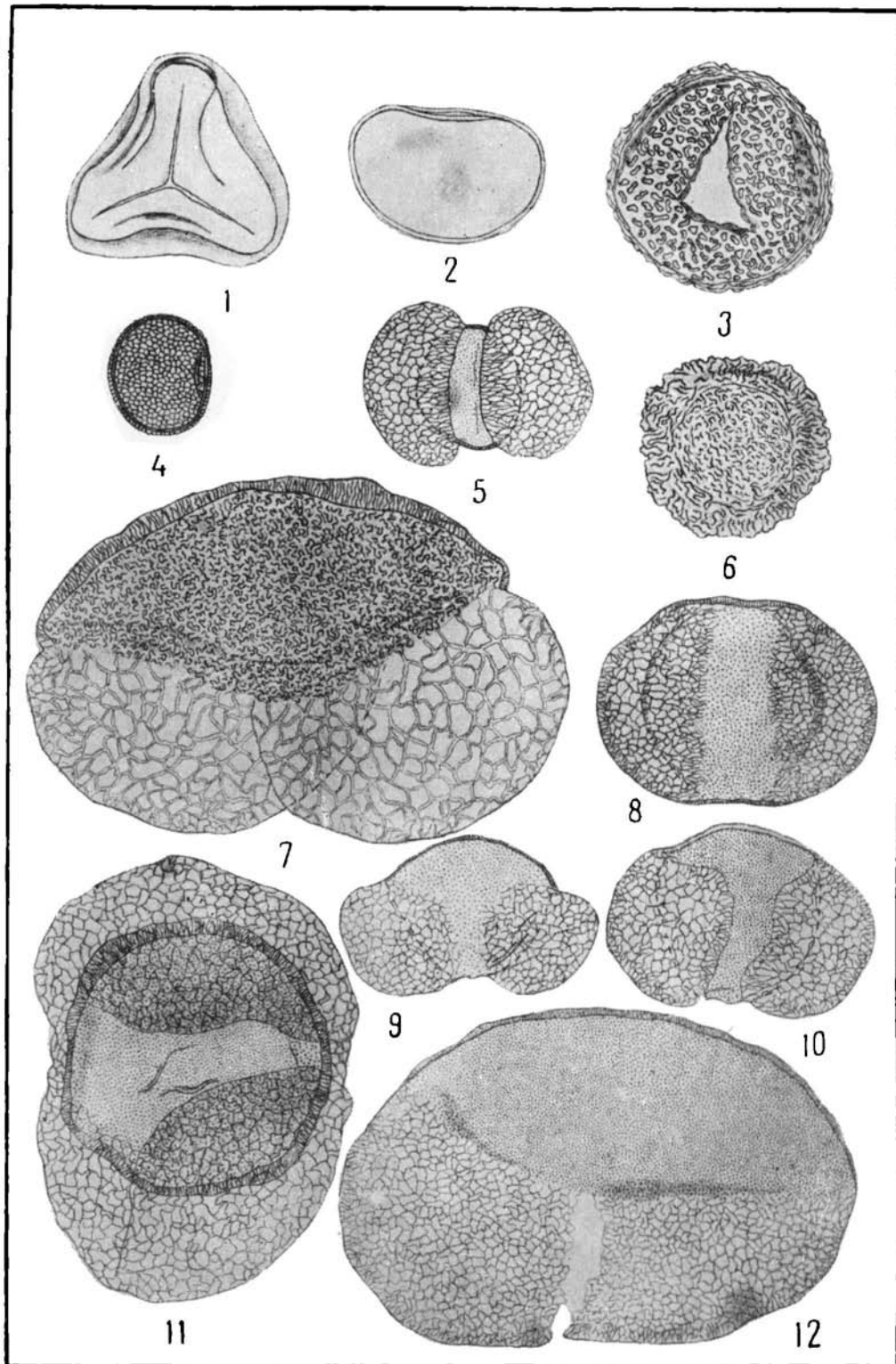
Спорово-пыльцевой комплекс верхнего олигоцена (?) + миоцена  
Покурской скв. 1-р

1. Cf. Cyatheaceae  $d = 42,0 \mu$ .
2. Polypodiaceae дл.  $43,9 \mu$ , шир.  $26,3 \mu$ .
3. Osmunda  $d = 43,0 \mu$ .
4. Sparganium дл.  $26,4 \mu$ , шир.  $22,0 \mu$ .
5. Podocarpus дл.  $65,2 \mu$ , выс. т.  $35,8 \mu$ , выс. м.  $43,5 \mu$ .
6. Tsuga  $d = 57,1 \mu$ .
7. Abies дл.  $153,8 \mu$ , выс. т.  $92,3 \mu$ , выс. м.  $76,9 \mu$ .
8. Pinus n/p Haploxyylon дл.  $76,5 \mu$ , выс. т.  $54,5 \mu$ , выс. м.  $52,6 \mu$ .
9. Pinus дл.  $73,7 \mu$ , выс. т.  $49,3 \mu$ , выс. м.  $43,5 \mu$ .
10. Pinus n/p Diploxyylon дл.  $73,4 \mu$ , выс. т.  $40,0 \mu$ , выс. м.  $35,8 \mu$ .
11. Keteleeria дл.  $123,2 \mu$ , выс. т.  $80,0 \mu$ , выс. м.  $79,3 \mu$ .
12. Picea дл.  $144,0 \mu$ , выс. т.  $93,6 \mu$ , выс. м.  $80,0 \mu$ .

Рис. 1—4  $\times 600$

Рис. 5—12  $\times 400$

Таблица III



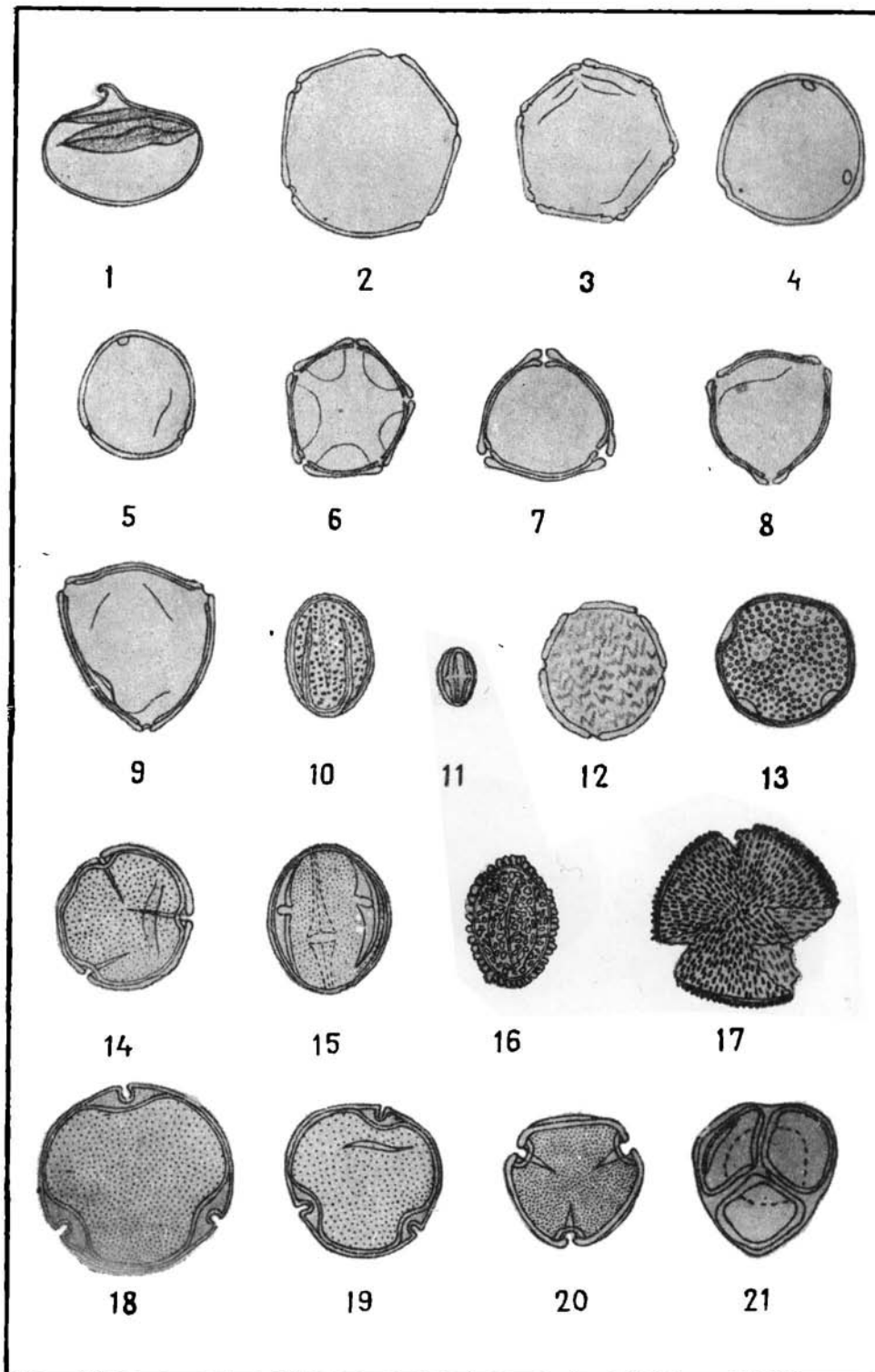
## ТАБЛИЦА 112

Спорово-пыльцевой комплекс верхнего олигоцена (?) + миоцена  
Покурской скв. 1-р

1. *Sequoia*  $d = 30,6 \mu$ .
2. *Juglans*  $d = 33,0 \mu$ .
3. *Pterocarya*  $d = 33,6 \mu$ .
4. *Carya*  $d = 29,2 \mu$ .
5. *Carya*  $d = 21,7 \mu$ .
6. *Alnus*  $d = 24,1 \mu$ .
7. *Betula*  $d = 23,9 \mu$ .
8. *Betula*  $d = 24,1 \mu$ .
9. *Corylus*  $d = 33,2 \mu$ .
10. *Quercus* дл.  $25,2 \mu$ , шир.  $18,0 \mu$ .
11. *Castanea* дл.  $12,3 \mu$ , шир.  $8,9 \mu$ .
12. *Ulmus*  $d = 29,9 \mu$ .
13. *Liquidambar*  $d = 30,0 \mu$ .
14. *Rhus*  $d = 29,6 \mu$ .
15. *Nyssa* дл.  $30,0 \mu$ , шир.  $24,0 \mu$ .
16. *Ilex* дл.  $27,4 \mu$ , шир.  $19,0 \mu$ .
17. *Acer*  $d = 37,4 \mu$ .
18. *Tilia*  $d = 38,6 \mu$ .
19. *Tilia*  $d = 29,1 \mu$ .
20. *Nyssa*  $d = 25,4 \mu$ .
21. *Ericaceae*  $d = 28,2 \mu$ .

Все рис.  $\times 600$

Таблица 112



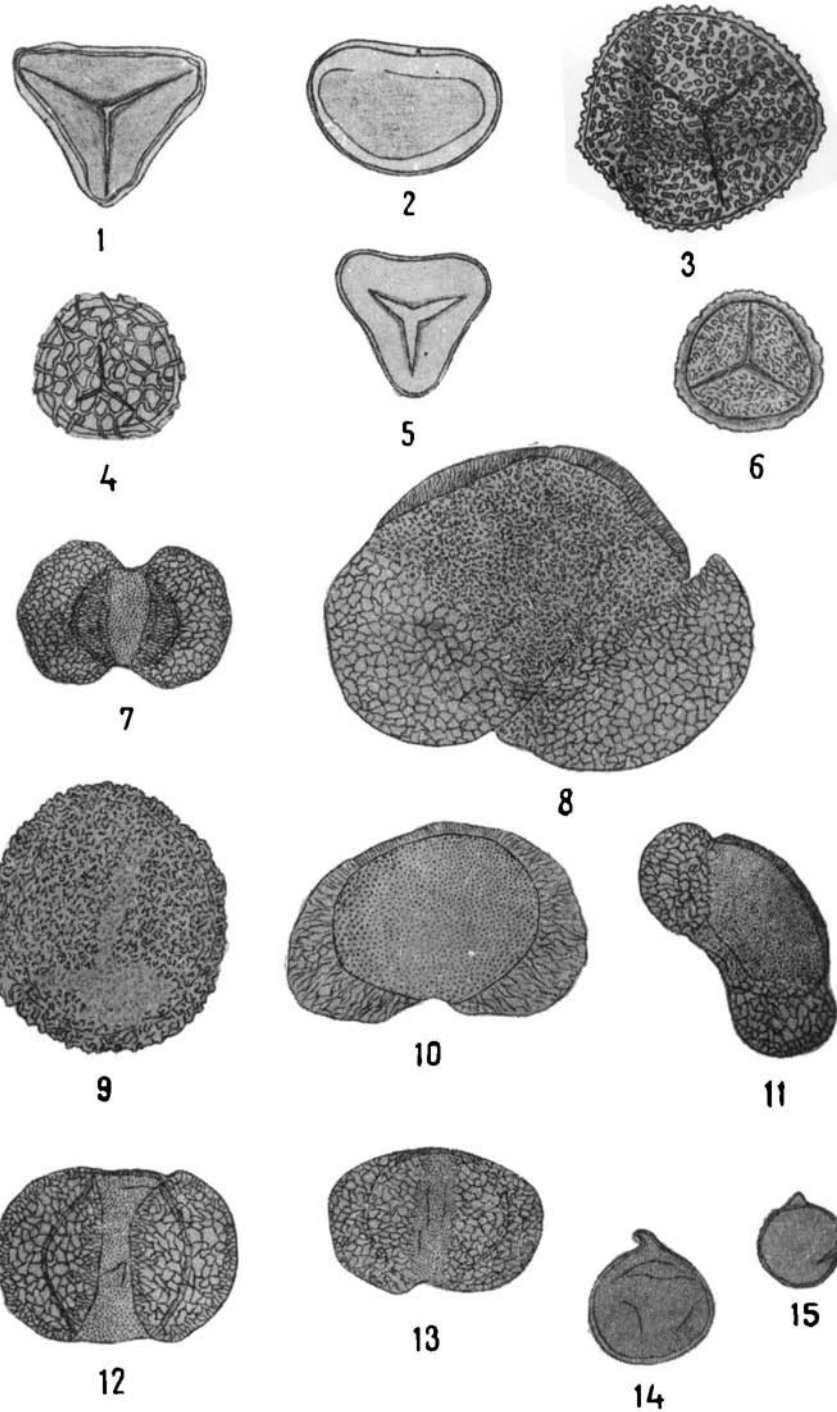
Спорово-пыльцевой комплекс верхнего олигоцена (?) + миоцена  
Омской скв. 1-р

1. Cf. *Cyatheaaceae*  $d = 38,7 \mu$ .
2. *Polypodiaceae* дл.  $43,4 \mu$ , шир.  $29,3 \mu$ .
3. *Osmunda*  $d = 53,9 \mu$ .
4. *Lycopodium*  $d = 33,5 \mu$ .
5. *Leiotriletes* N а u m.  $d = 31,5 \mu$ .
6. *Sphagnum*  $d = 30,6 \mu$ .
7. *Podocarpus* дл.  $55,4 \mu$ , выс. т.  $25,0 \mu$ , выс. м.  $38,0 \mu$ .
8. *Abies* дл.  $134,1 \mu$ , выс. т.  $96,7 \mu$ , выс. м.  $73,2 \mu$ .
9. *Tsuga*  $d = 72,1 \mu$ .
10. *Cedrus* дл.  $78,4 \mu$ , выс. т.  $44,3 \mu$ , выс. м.  $41,0 \mu$ .
11. *Pinus* n/p *Diploxylon* дл.  $77,1 \mu$ , выс. т.  $33,7 \mu$ , выс. м.  $30,8 \mu$ .
12. *Pinus* n/p *Haploxyylon* дл.  $73,9 \mu$ , выс. т.  $52,1 \mu$ , выс. м.  $54,7 \mu$ .
13. *Pinus* n/p *Haploxyylon* дл.  $53,9 \mu$ , выс. т.  $36,7 \mu$ , выс. м.  $36,7 \mu$ .
14. *Sequoia*  $d = 21,7 \mu$ .
15. *Taxodium*  $d = 17,6 \mu$ .

Рис. 1—6 и 14, 15  $\times 600$

Рис. 7—13  $\times 400$

Таблица 113

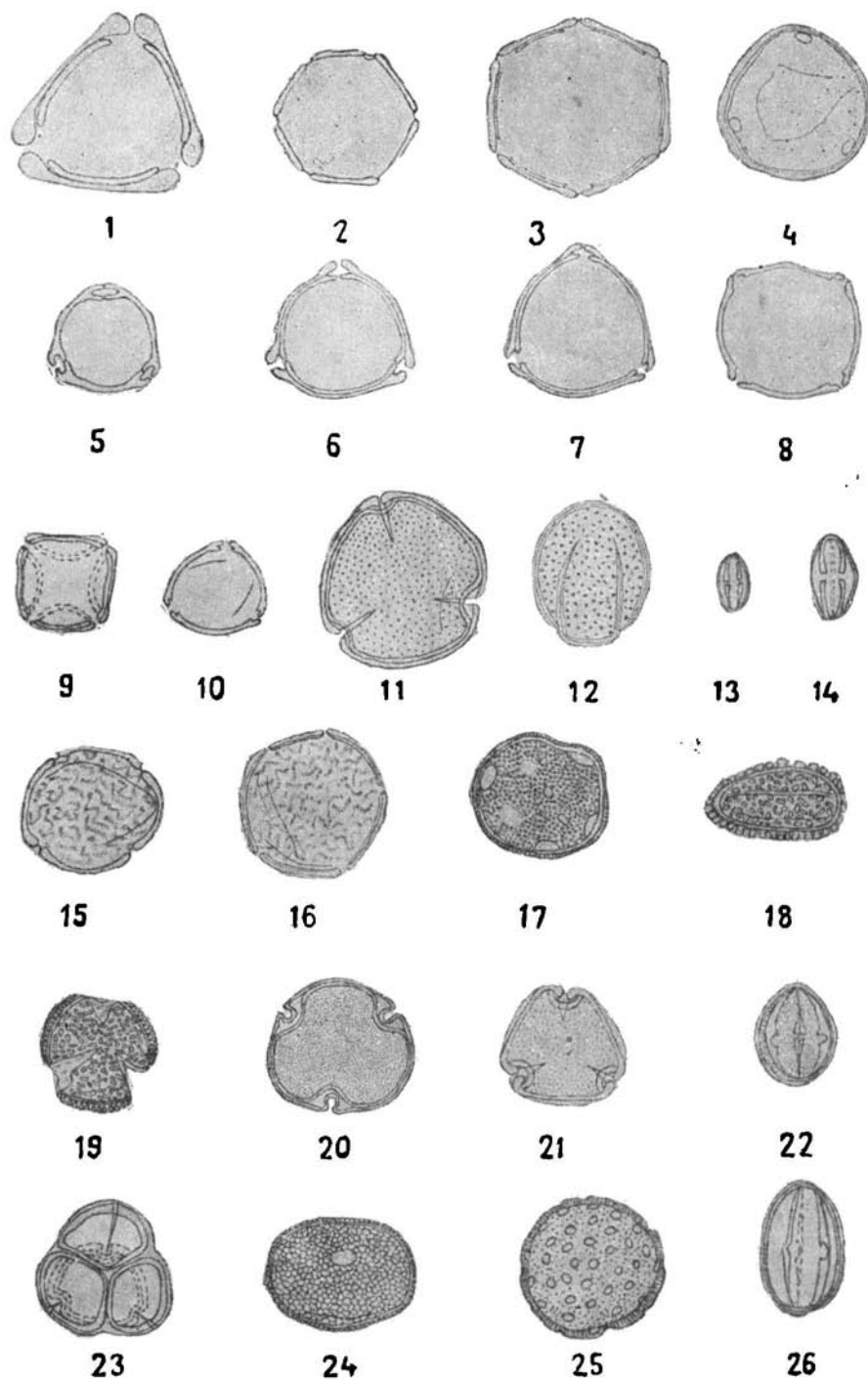


## ТАБЛИЦА 114

Спороно-пыльцевой комплекс верхнего олигоцена (?) + миоцена  
Омской скв. 1-р

1. *Myrtus*  $d = 33,0 \mu$ .
  2. *Juglans*  $d = 33,2 \mu$ .
  3. *Pterocarya*  $d = 27,3 \mu$ .
  4. *Carya*  $d = 33,2 \mu$ .
  5. *Betula*  $d = 23,3 \mu$ .
  6. *Betula*  $d = 27,0 \mu$ .
  7. *Betula*  $d = 24,7 \mu$ .
  8. *Carpinus*  $d = 31,7 \mu$ .
  9. *Alnus*  $d = 26,3 \mu$ .
  10. *Betulaceae*  $d = 23,9 \mu$ .
  11. *Fagus*  $d = 31,3 \mu$ .
  12. *Quercus* дл.  $26,7 \mu$ , шир.  $23,0 \mu$ .
  13. *Castanea* дл.  $12,6 \mu$ , шир.  $6,3 \mu$ .
  14. *Castanea* дл.  $18,0 \mu$ , шир.  $10,8 \mu$ .
  15. *Ulmus*  $d = 31,5 \mu$ .
  16. *Ulmus*  $d = 27,6 \mu$ .
  17. *Liquidambar*  $d = 27,4 \mu$ .
  18. *Ilex* дл.  $32,6 \mu$ , шир.  $18,4 \mu$ .
  19. *Ilex*  $d = 26,0 \mu$ .
  20. *Tilia*  $d = 34,5 \mu$ .
  21. *Nyssa*  $d = 23,4 \mu$ .
  22. *Nyssa* дл.  $24,7 \mu$ , шир.  $18,3 \mu$ .
  23. *Ericaceae*  $d = 30,0 \mu$ .
  24. *Sparganium* дл.  $26,7 \mu$ , шир.  $21,7 \mu$ .
  25. *Chenopodiaceae*  $d = 30,6 \mu$ .
  26. *Angiospermae* трехпоровые, трехбороздные дл.  $29,7 \mu$ , шир.  $19,1 \mu$ .
- Все рис.  $\times 600$

Таблица 114

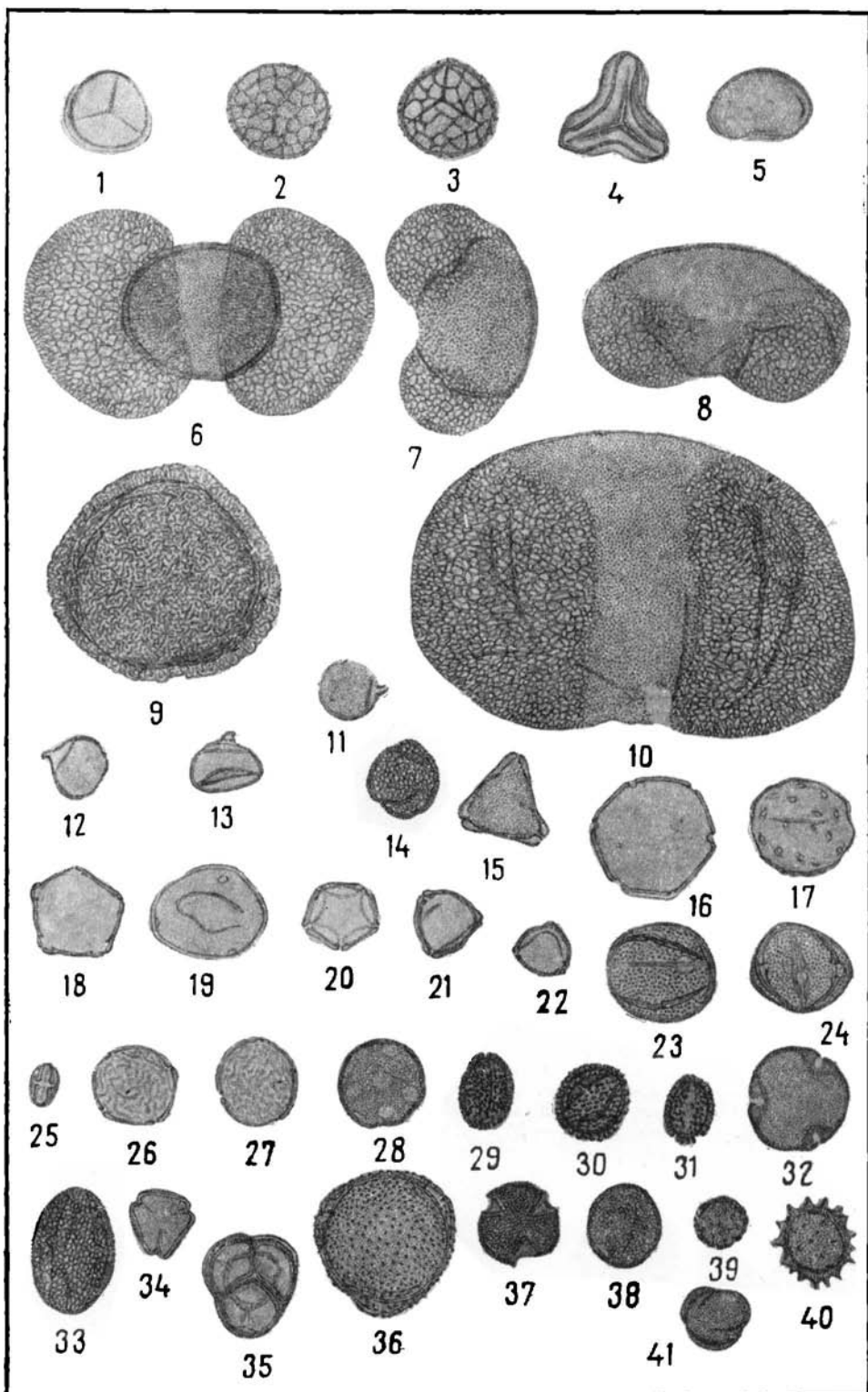


Спорово-пыльцевой комплекс верхнего олигоцена (?) + миоцена  
Нарымской скв. 1-к

1. *Sphagnum*  $d = 30,2 \mu$ .
2. *Lycopodium*  $d = 34,4 \mu$ .
3. *Lycopodium*  $d = 34,0 \mu$ .
4. Cf. *Cyatheaceae*  $d = 31,8 \mu$ .
5. *Polypodiaceae* дл. 36,0  $\mu$ , шир. 23,0  $\mu$ .
6. *Podocarpus* дл. 118,0  $\mu$ , выс. т. 48,5  $\mu$ , выс. м. 72,9  $\mu$ .
7. *Pinus* дл. 78,5  $\mu$ , выс. т. 38,9  $\mu$ , выс. м. 36,2  $\mu$ .
8. *Pinus* п/р *Haploxyylon* дл. 93,6  $\mu$ , выс. т. 48,5  $\mu$ , выс. м. 47,4  $\mu$ .
9. *Tsuga*  $d = 82,6 \mu$ .
10. *Picea* дл. 159,4  $\mu$ , выс. т. 95,1  $\mu$ , выс. м. 87,9  $\mu$ .
11. *Sequoia*  $d = 21,9 \mu$ .
12. *Sequoia*  $d = 22,4 \mu$ .
13. *Sequoia*  $d = 25,4 \mu$ .
14. *Salix*  $d = 25,4 \mu$ .
15. *Myrica*  $d = 29,9 \mu$ .
16. *Juglans*  $d = 40,2 \mu$ .
17. *Juglans* sp.  $d = 38,0 \mu$ .
18. *Pterocarya*  $d = 29,6 \mu$ .
19. *Carya*  $d = 39,5 \mu$ .
20. *Alnus*  $d = 26,5 \mu$ .
21. *Betula*  $d = 21,9 \mu$ .
22. *Betula*  $d = 19,7 \mu$ .
23. *Fagus* дл. 36,0  $\mu$ , шир. 34,3  $\mu$ .
24. *Fagus*  $d_1 = 29,9 \mu$ ,  $d_2 = 34,5 \mu$ .
25. *Castanea* дл. 15,2  $\mu$ , шир. 9,6  $\mu$ .
26. *Ulmus*  $d = 30,2 \mu$ .
27. *Ulmus*  $d = 33,6 \mu$ .
28. *Liquidambar*  $d = 32,0 \mu$ .
29. *Ilex* дл. 26,3  $\mu$ , шир. 18,3  $\mu$ .
30. *Ilex* дл. 25,7  $\mu$ , шир. 24,1  $\mu$ .
31. *Ilex* дл. 24,1  $\mu$ , шир. 15,8  $\mu$ .
32. *Tilia*  $d = 36,0 \mu$ .
33. *Sterculia* дл. 47,0  $\mu$ , шир. 30,3  $\mu$ .
34. *Nyssa*  $d = 22,1 \mu$ .
35. *Ericaceac*  $d = 30,5 \mu$ .
36. *Caprifoliaceae*  $d = 51,0 \mu$ .
37. *Euphorbiaceae*  $d = 29,9 \mu$ .
38. *Sparganium minimum* Fr. дл. 27,2  $\mu$ , шир. 23,0  $\mu$
39. *Ghenopodiaceae*  $d = 20,6 \mu$ ,
40. *Compositae*  $d = 23,7 \mu$ .
41. *Artemisia*  $d = 24,3 \mu$ .

Все рис.  $\times 400$

*Таблица 115*



# ТАБЛИЦА 116

Спорово-пыльцевой комплекс миоцене Чулымской скв. 1-к

1. *Selaginella* sp.  $d = 32,0 \mu$ .
2. *Polypodiaceae* дл.  $47,2 \mu$ , шир.  $35,6 \mu$ .
3. *Sphagnum*  $d = 29,6 \mu$ .
4. *Abies* дл.  $131,8 \mu$ , выс. т.  $78,3 \mu$ , выс. м.  $83,0 \mu$ .
5. *Abies* дл.  $131,8 \mu$ , выс. т.  $53,3 \mu$ , выс. м.  $73,4 \mu$ .
6. *Tsuga*  $d = 71,6 \mu$ .
7. *Picea* дл.  $93,4 \mu$ , выс. т.  $43,8 \mu$ , выс. м.  $49,4 \mu$ .
8. *Pinus* н/р *Diploxyylon* дл.  $68,8 \mu$ , выс. т.  $37,3 \mu$ , выс. м.  $34,3 \mu$ .
9. *Pinus* н/р *Haploxyylon* дл.  $89,0 \mu$ , выс. т.  $63,3 \mu$ , выс. м.  $63,3 \mu$ .
10. *Keteleeria* дл.  $116,9 \mu$ , выс. т.  $65,9 \mu$ , выс. м.  $79,1 \mu$ .
11. *Taxodiaceae*  $d = 25,0 \mu$ .
12. *Taxodiaceae*  $d = 31,4 \mu$ .
13. *Ephedraceae* дл.  $54,5 \mu$ , шир.  $12,7 \mu$ .
14. *Salicaceae* дл.  $23,3 \mu$ , шир.  $14,8 \mu$ .
15. *Juglans*  $d = 43,8 \mu$ .
16. *Juglans*  $d = 32,3 \mu$ .
17. *Pterocarya*  $d = 34,0 \mu$ .
18. *Carya*  $d = 39,1 \mu$ .
19. *Alnus*  $d = 21,9 \mu$ .
20. *Betula*  $d = 21,9 \mu$ .
21. *Carpinus*  $d = 36,9 \mu$ .
22. *Quercus* дл.  $24,5 \mu$ , шир.  $21,9 \mu$ .
23. *Fagus*  $d = 31,8 \mu$ .
24. *Rhus*  $d = 38,0 \mu$ .
25. *Castanopsis* дл.  $28,3 \mu$ , шир.  $12,7 \mu$ .
26. *Liquidambar*  $d = 28,3 \mu$ .
- 27 а, б, в. *Rhus* а — дл.  $35,1 \mu$ , шир.  $31,1 \mu$ ; б —  $d = 27,2 \mu$ ; в —  $d = 27,2 \mu$ .
28. *Tilia*  $d = 40,0 \mu$ .
29. *Nyssa*  $d = 32,0 \mu$ .
30. *Ericaceae*  $d = 23,5 \mu$ .
31. *Sparganium minimum* F. r. дл.  $23,5 \mu$ , шир.  $21,9 \mu$ .
32. *Chenopodiaceae*  $d = 17,9 \mu$ .
33. *Onagraceae*  $d = 79,3 \mu$ .
34. *Trapa*  $d = 34,9 \mu$ .
35. *Umbelliferae* дл.  $28,7 \mu$ , шир.  $12,5 \mu$ .
36. *Compositae* дл.  $24,0 \mu$ , шир.  $22,4 \mu$ .
37. *Artemisia*  $d = 15,8 \mu$ .
38. *Polygonaceae*  $d = 38,3 \mu$ .
- 39 а, б. *Rubiaceae* а —  $d = 21,9 \mu$ ; б — дл.  $25,6 \mu$ , шир.  $21,9 \mu$ .

Все рис.  $\times 400$

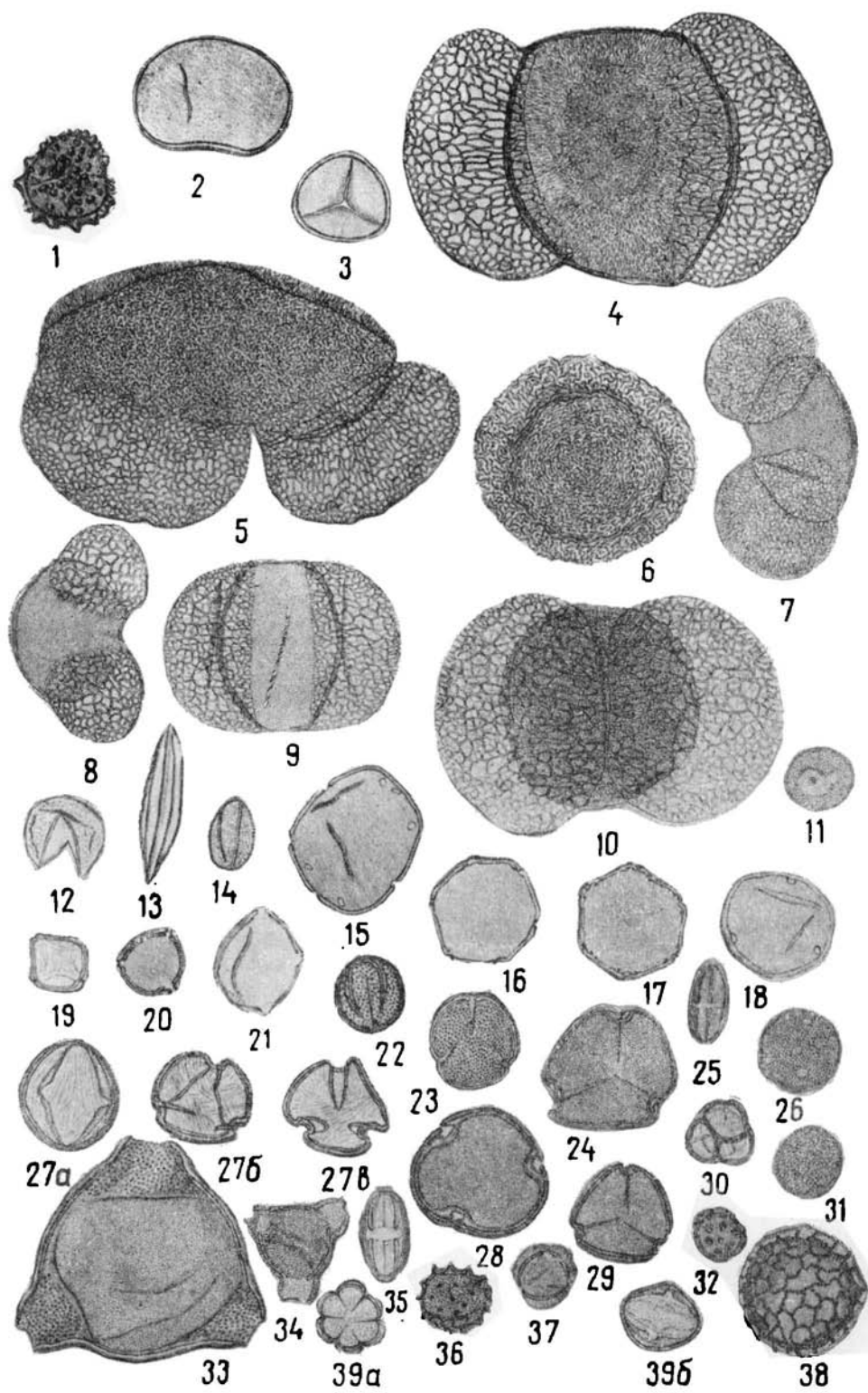


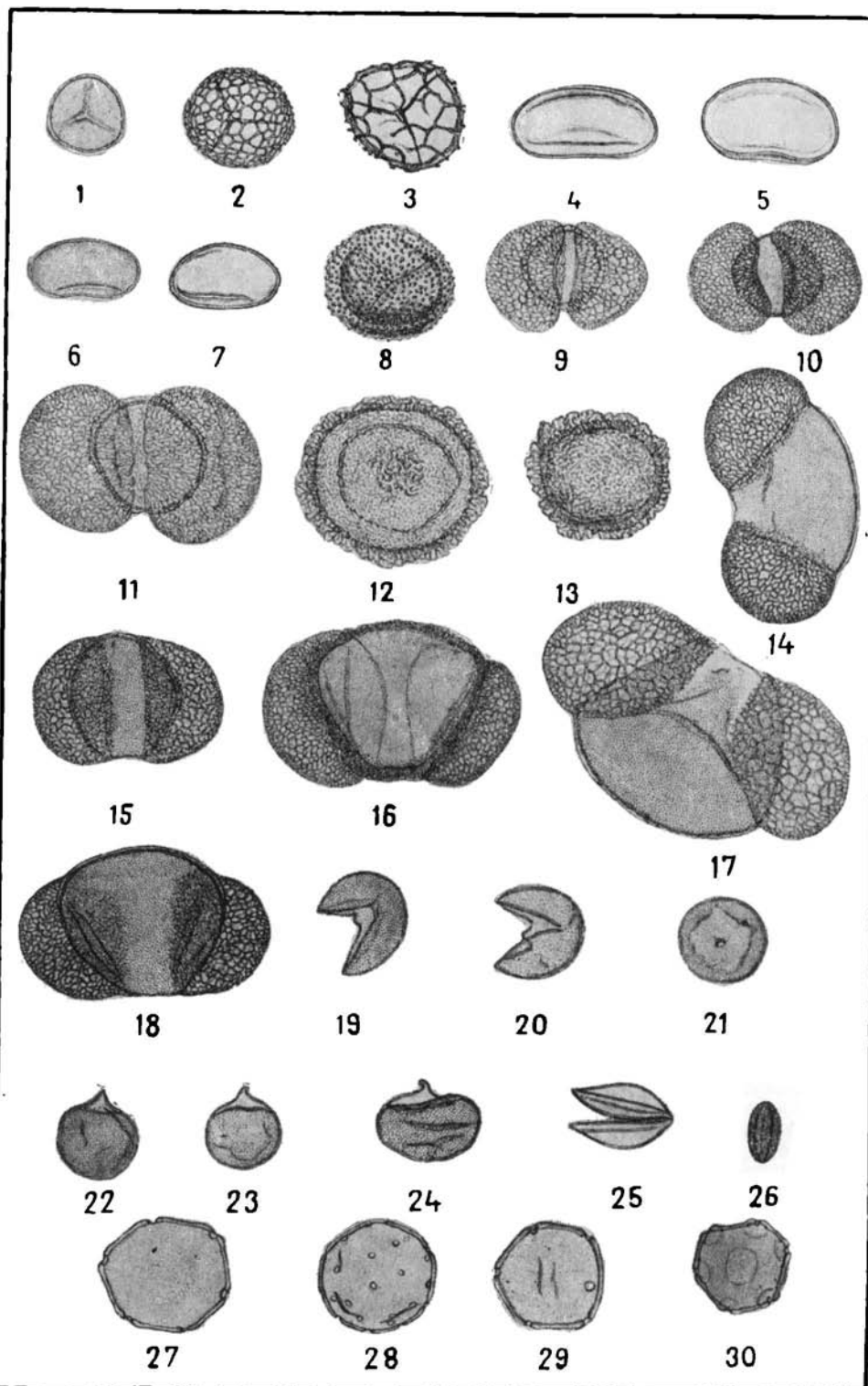
ТАБЛИЦА 117

Спорово-пыльцевой комплекс нижнего—среднего миоцена  
из обнажения р. Шиш

1. *Sphagnum*  $d = 26,1 \mu$ .
2. *Lycopodiaceae*  $k = 34,9 \mu$ .
3. *Lycopodium*  $d = 38,0 \mu$ .
4. *Polypodiaceae* дл.  $45,7 \mu$ , шир.  $22,4 \mu$ .
5. *Polypodiaceae* дл.  $48,5 \mu$ , шир.  $26,3 \mu$ .
6. *Polypodiaceae* дл.  $34,7 \mu$ , шир.  $19,3 \mu$ .
7. *Polypodiaceae* дл.  $34,0 \mu$ , шир.  $21,9 \mu$ .
8. *Osmunda*  $d = 39,3 \mu$ .
9. *Podocarpus* дл.  $55,8 \mu$ , выс. т.  $28,3 \mu$ , выс. м.  $37,7 \mu$ .
10. *Podocarpus* дл.  $58,9 \mu$ , выс. т.  $26,3 \mu$ , выс. м.  $38,4 \mu$ .
11. *Podocarpus* дл.  $80,8 \mu$ , выс. т.  $39,5 \mu$ , выс. м.  $51,0 \mu$ .
12. *Tsuga*  $d = 61,7 \mu$ .
13. *Tsuga*  $d = 48,1 \mu$ .
14. *Pinus* н/р *Diploxylon* дл.  $87,9 \mu$ , выс. т.  $41,9 \mu$ , выс. м.  $43,8 \mu$ .
15. *Pinus* н/р *Haploxyylon* дл.  $62,9 \mu$ , выс. т.  $41,5 \mu$ , выс. м.  $41,7 \mu$ .
16. *Pinus* дл.  $82,6 \mu$ , выс. т.  $53,3 \mu$ , выс. м.  $53,8 \mu$ .
17. *Pinus* дл.  $112,0 \mu$ , выс. т.  $65,0 \mu$ , выс. м.  $56,0 \mu$ .
18. *Pinus* дл.  $78,3 \mu$ , выс. т.  $45,4 \mu$ , выс. м.  $40,4 \mu$ .
19. *Taxodiaceae*  $d = 34,7 \mu$ .
20. *Taxodiaceae*  $d = 33,4 \mu$ .
21. *Taxodiaceae*  $d = 29,2 \mu$ .
22. *Taxodium*  $d = 26,7 \mu$ .
23. *Sequoia*  $d = 25,6 \mu$ .
24. *Sequoia*  $d = 32,9 \mu$ .
25. *Glyptostrobus*  $d = 35,6 \mu$ .
26. *Salicaceae* дл.  $21,9 \mu$ , шир.  $10,3 \mu$ .
27. *Juglans*  $d = 40,4 \mu$ .
28. *Juglans* sp.  $d = 37,7 \mu$ .
29. *Juglans*  $d = 37,1 \mu$ .
30. *Pterocarya*  $d = 31,1 \mu$ .

Все рис.  $\times 400$

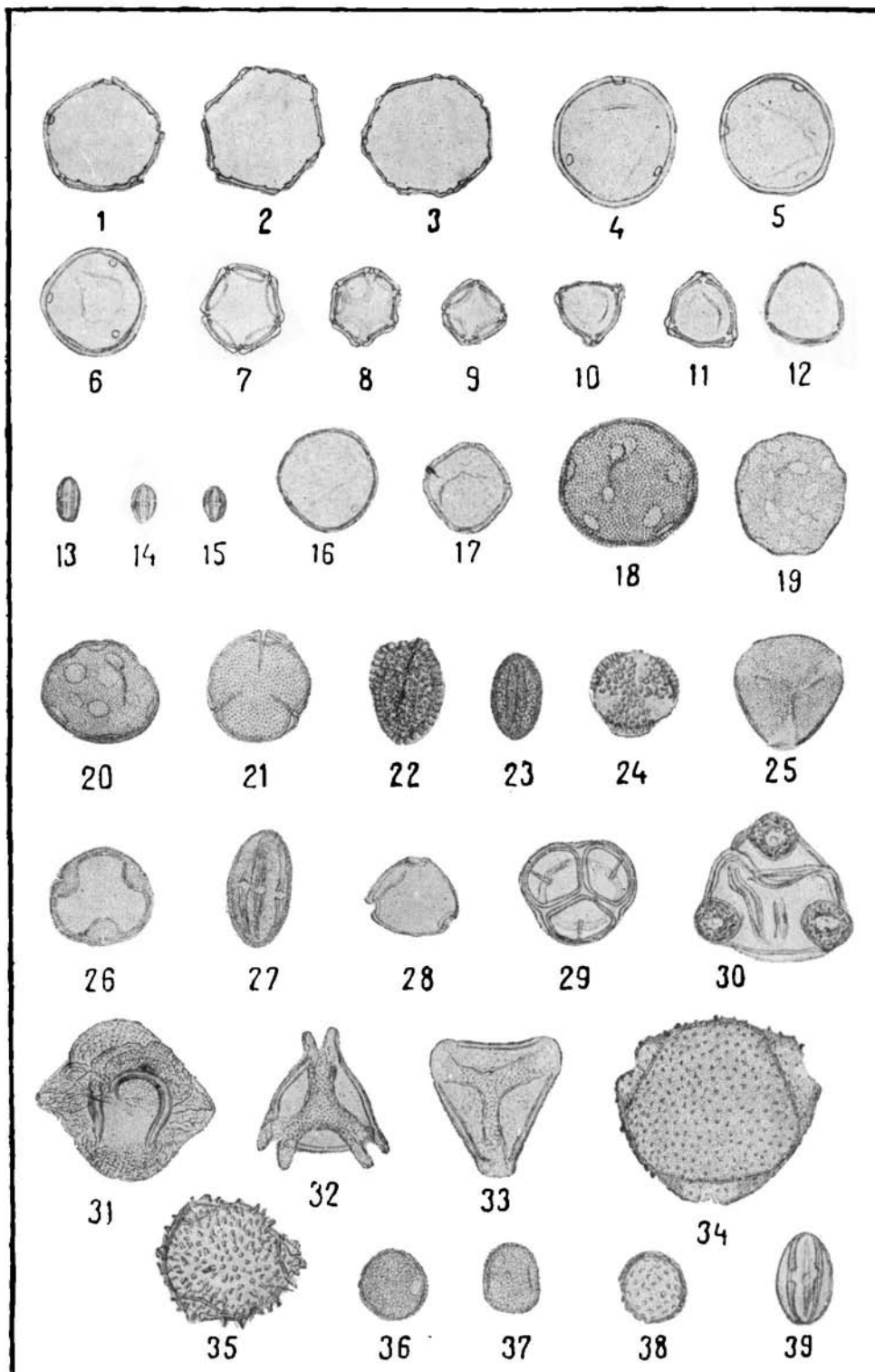
Таблица 117



Спорово-пыльцевой комплекс нижнего—среднего миоцена  
из обнажения р. Шиш

1. *Pterocarya*  $d = 39,1 \mu$ .
2. *Pterocarya*  $d = 41,7 \mu$ .
3. *Pterocarya*  $d = 40,2 \mu$ .
4. *Carya*  $d = 43,8 \mu$ .
5. *Carya*  $d = 41,0 \mu$ .
6. *Carya*  $d = 35,8 \mu$ .
7. *Alnus*  $d = 26,4 \mu$ .
8. *Alnus*  $d = 27,4 \mu$ .
9. *Alnus*  $d = 21,9 \mu$ .
10. *Betula*  $d = 22,0 \mu$ .
11. *Betula*  $d = 24,3 \mu$ .
12. *Corylus*  $d = 24,3 \mu$ .
13. *Castanea* дл.  $13,8 \mu$ , шир.  $7,7 \mu$ .
14. *Castanea* дл.  $12,7 \mu$ , шир.  $8,8 \mu$ .
15. *Castanea* дл.  $11,0 \mu$ , шир.  $6,4 \mu$ .
16. *Ulmus*  $d = 33,4 \mu$ .
17. *Ulmus*  $d = 30,7 \mu$ .
18. *Liquidambar*  $d = 44,0 \mu$ .
19. *Liquidambar*  $d = 41,0 \mu$ .
20. *Liquidambar*  $d = 37,5 \mu$ .
21. *Fagus*  $d = 35,1 \mu$ .
22. *Ilex* дл.  $34,5 \mu$ , шир.  $26,9 \mu$ .
23. *Ilex* дл.  $29,9 \mu$ , шир.  $16,9 \mu$ .
24. *Ilex*  $d = 28,5 \mu$ .
25. *Acer*  $d = 35,1 \mu$ .
26. *Tilia*  $d = 35,1 \mu$ .
27. Cf. *Sterculiaceae* дл.  $38,9 \mu$ , шир.  $21,9 \mu$ .
28. *Nyssa*  $d = 29,4 \mu$ .
29. *Ericaceae*  $d = 39,1 \mu$ .
30. *Onagra*  $d = 50,1 \mu$ .
31. *Trapa* дл.  $61,5 \mu$ , шир.  $57,8 \mu$ .
32. *Trapa*  $d = 40,6 \mu$ .
33. *Trapa*  $d = 42,4 \mu$ .
34. *Caprifoliaceae*  $d = 67,0 \mu$ .
35. *Caprifoliaceae*  $d = 43,8 \mu$ .
36. *Sparganium*  $d = 30,5 \mu$ .
37. *Sparganium* дл.  $23,5 \mu$ , шир.  $19,5 \mu$ .
38. *Chenopodiaceae*  $d = 25,6 \mu$ .
39. *Angiospermae* трехпоровые, трехбороздные дл.  $30,3 \mu$ , шир.  $20,2 \mu$ .  
Все рис.  $\times 400$

Таблица 118



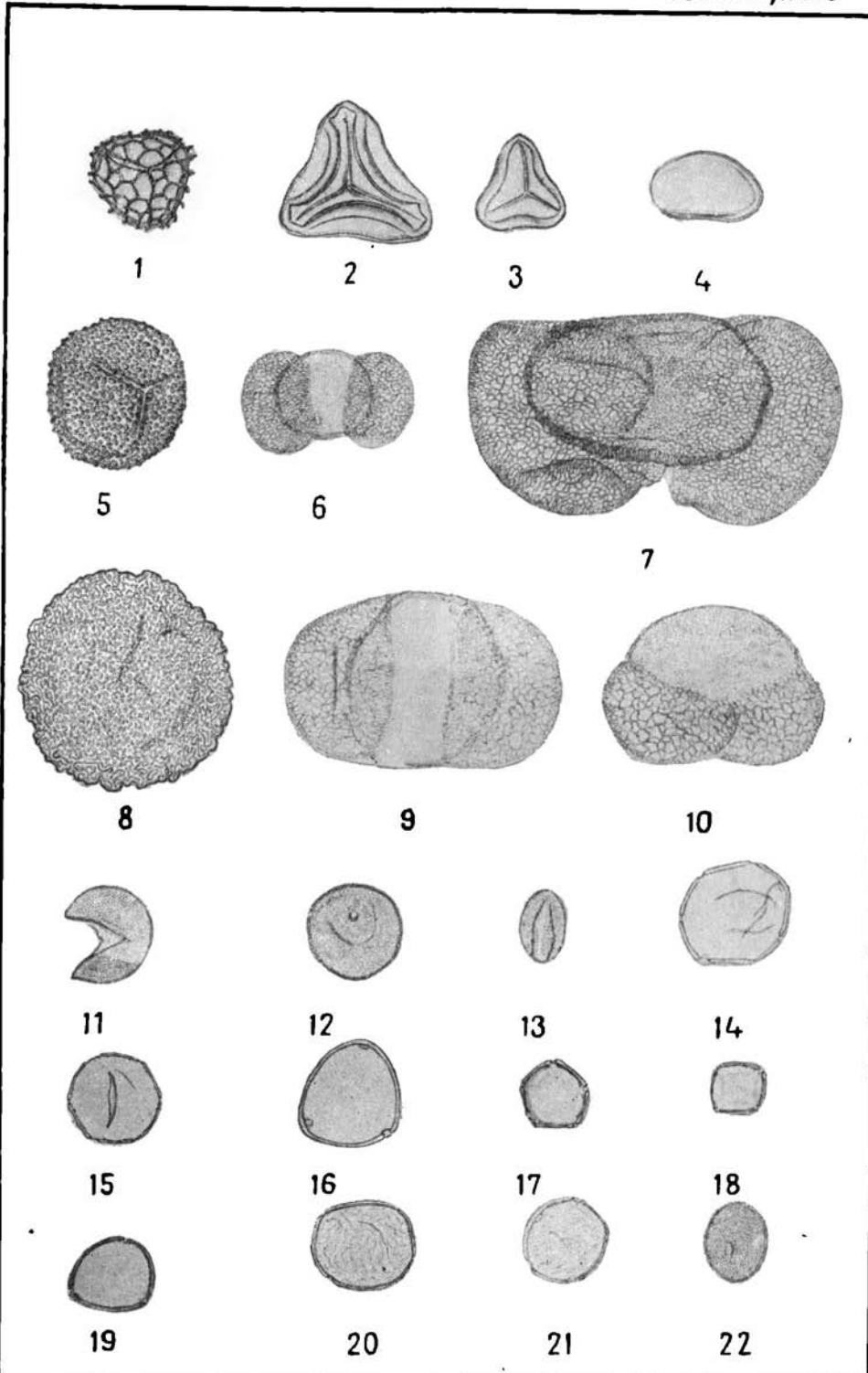
## ТАБЛИЦА 119

Сиорово-пыльцевой комплекс нижнего — среднего миоцена из облажения  
р. Кизак

1. *Lycopodium*  $d = 30,5 \mu$ .
2. Cf. *Cyatheaceae*  $d = 45,0 \mu$ .
3. Cf. *Cyatheaceae*  $d = 30,5 \mu$ .
4. *Polypodiaceae* дл.  $37,3 \mu$ , шир.  $22,4 \mu$ .
5. *Osmunda*  $d = 50,3 \mu$ .
6. *Podocarpus* дл.  $57,1 \mu$ , выс. т.  $30,7 \mu$ , выс. м.  $34,9 \mu$ .
7. *Abies* дл.  $119,5 \mu$ , выс. т.  $50,3 \mu$ , выс. м.  $71,4 \mu$ .
8. *Tsuga*  $d = 74,2 \mu$ .
9. *Pinus* н/п *Haploxyylon* дл.  $93,8 \mu$ , выс. т.  $59,5 \mu$ , выс. м.  $56,9 \mu$ .
10. *Pinaceae* дл.  $77,5 \mu$ , выс. т.  $40,6 \mu$ , выс. м.  $43,8 \mu$ . -----
11. *Taxodiaceae*  $d = 29,6 \mu$ .
12. *Taxodiaceae*  $d = 30,5 \mu$ .
13. *Salicaceae* дл.  $23,9 \mu$ , шир.  $15,0 \mu$ .
14. *Juglans*  $d = 34,5 \mu$ .
15. *Pterocarya*  $d = 31,4 \mu$ .
16. *Carya*  $d = 35,3 \mu$ .
17. *Alnus*  $d = 23,0 \mu$ .
18. *Alnus*  $d = 18,1 \mu$ .
19. *Corylus*  $d = 27,8 \mu$ .
20. *Ulmus*  $d = 30,7 \mu$ .
21. *Ulmus*  $d = 28,7 \mu$ .
22. *Sparganium* дл.  $25,6 \mu$ , шир.  $21,9 \mu$ .

Все рис.  $\times 400$

Таблица 119



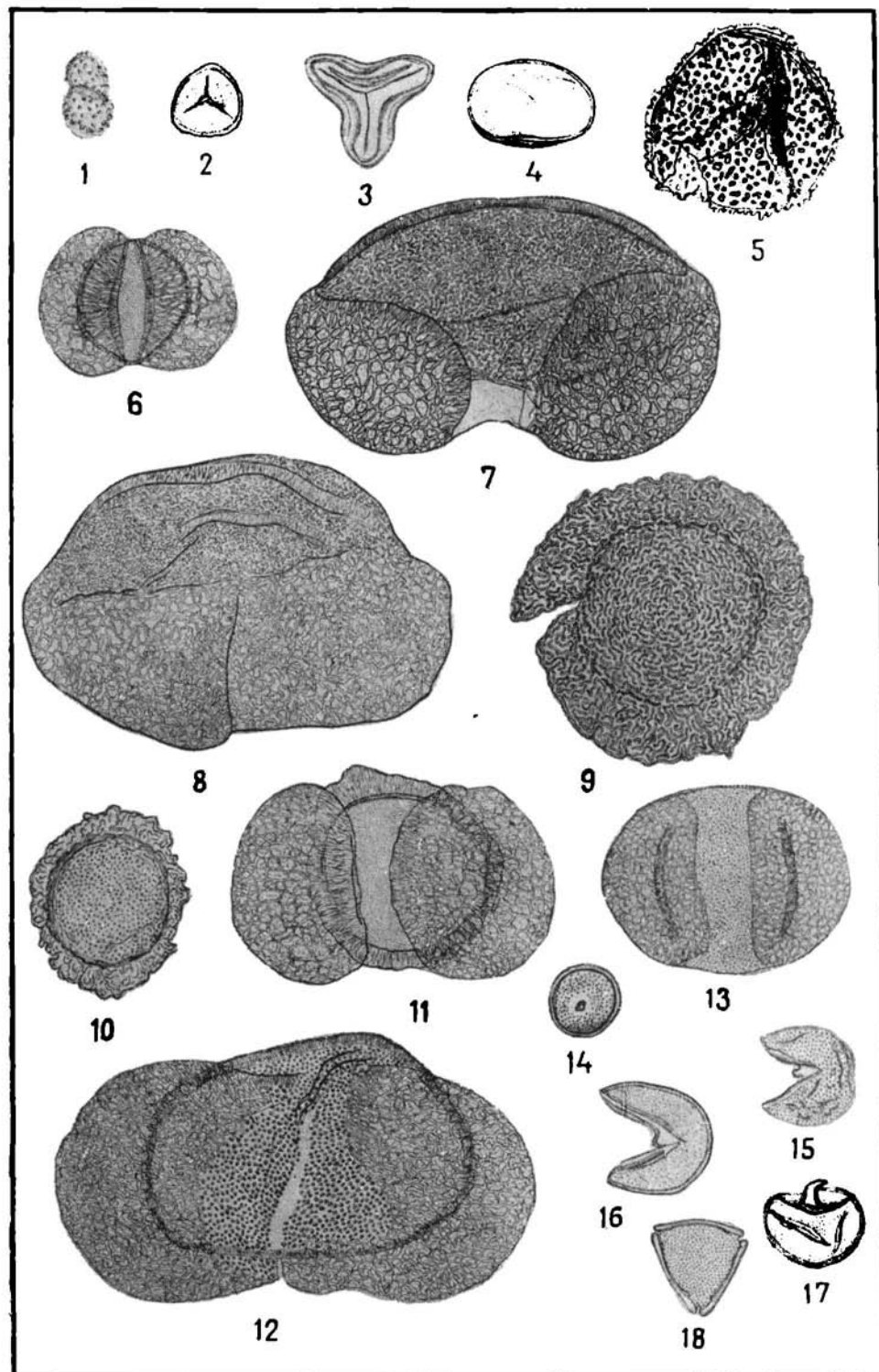
## ТАБЛИЦА 120

Спорово-пыльцевой комплекс миоцена Ипатовской скв. 2-к

1. *Selaginella* дл. 15,2  $\mu$ , шир. 12,0  $\mu$ .
2. *Sphagnum*  $d = 21,9 \mu$ .
3. Cf. *Cyathea*  $d = 29,2 \mu$ .
4. *Polypodiaceae* дл. 35,8  $\mu$ , шир. 24,5  $\mu$ .
5. *Osmunda*  $d = 57,4 \mu$ .
6. *Podocarpus* дл. 59,3  $\mu$ , выс. т. 38,8  $\mu$ , выс. м. 43,8  $\mu$ .
7. *Abies* дл. 131,8  $\mu$ , выс. т. 71,8  $\mu$ , выс. м. 65,9  $\mu$ .
8. *Abies* дл. 125,2  $\mu$ , выс. т. 81,3  $\mu$ , выс. м. 55,8  $\mu$ .
9. *Tsuga*  $d = 87,9 \mu$ .
10. *Tsuga*  $d = 55,4 \mu$ .
11. *Pinus* дл. 94,0  $\mu$ , выс. т. 56,9  $\mu$ , выс. м. 59,3  $\mu$ .
12. *Picea* дл. 141,3  $\mu$ , выс. т. 69,8  $\mu$ , выс. м. 74,4  $\mu$ .
13. *Pinus* п/р *Haploxyylon* дл. 72,0  $\mu$ , выс. т. 56,7  $\mu$ , выс. м. 53,1  $\mu$ .
14. *Taxodiaceae*  $d = 21,9 \mu$ .
15. *Taxodium*  $d = 32,5 \mu$ .
16. *Taxodium*  $d = 33,2 \mu$ .
17. *Sequoia*  $d = 28,5 \mu$ .
18. *Myrica*  $d = 27,4 \mu$ .

Все рис.  $\times 400$

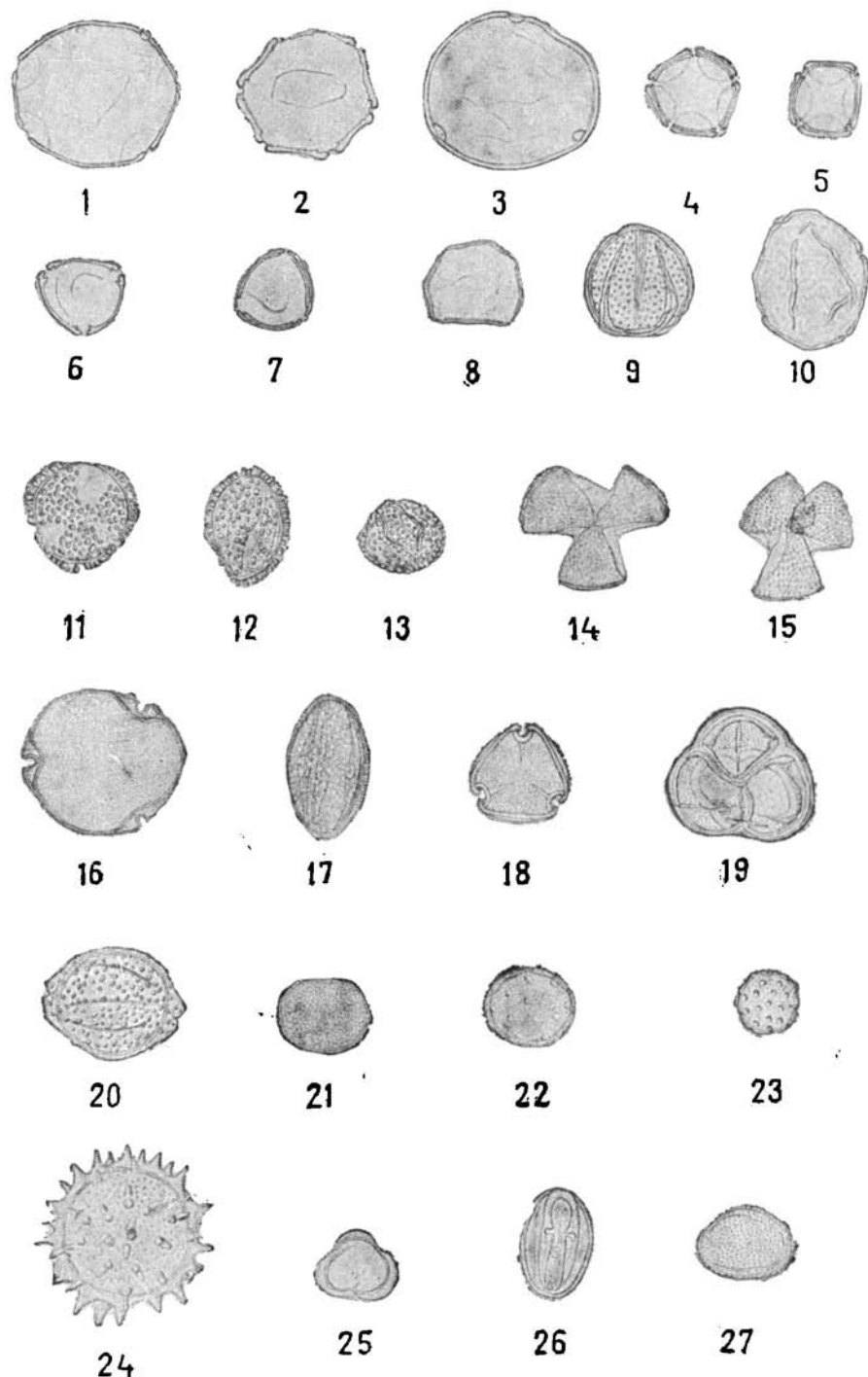
Таблица 120



## Спорово-пыльцевой комплекс миоцена Ипатовской скв. 2-к

1. *Juglans*  $d = 43,8 \mu$ .
  2. *Pterocarya*  $d = 33,9 \mu$ .
  3. *Carya*  $d = 46,5 \mu$ .
  4. *Alnus*  $d = 24,1 \mu$ .
  5. *Alnus*  $d = 22,8 \mu$ .
  6. *Betula*  $d = 21,9 \mu$ .
  7. *Corylus*  $d = 23,7 \mu$ .
  8. *Carpinus*  $d = 27,2 \mu$ .
  9. *Quercus*  $d = 30,3 \mu$ .
  10. *Ulmus*  $d = 38,0 \mu$ .
  11. *Ilex*  $d = 29,4 \mu$ .
  12. *Ilex* дл.  $34,1 \mu$ , шир.  $23,0 \mu$ .
  13. *Ilex*  $d = 22,4 \mu$ .
  14. *Acer*  $d = 63,0 \mu$ .
  15. *Acer*  $d = 33,0 \mu$ .
  16. *Tilia*  $d = 43,8 \mu$ .
  17. Cf. *Sterculiaceae* дл.  $39,5 \mu$ , шир.  $24,0 \mu$ .
  18. *Nyssa*  $d = 25,0 \mu$ .
  19. *Ericaceae*  $d = 30,8 \mu$ .
  20. *Caprifoliaceae* дл.  $43,8 \mu$ , шир.  $30,4 \mu$ .
  21. *Sparganium* дл.  $24,3 \mu$ , шир.  $21,9 \mu$ .
  22. *Chenopodiaceae*  $d = 24,5 \mu$ .
  23. *Chenopodiaceae*  $d = 16,0 \mu$ .
  24. *Compositae*  $d = 31,8 \mu$ .
  25. *Artemisia*  $d = 21,9 \mu$ .
  26. *Tricolpopollenites* дл.  $31,1 \mu$ , шир.  $19,6 \mu$ .
  27. *Angiospermae* дл.  $25,8 \mu$ , шир.  $20,0 \mu$ .
- Все рис.  $\times 400$

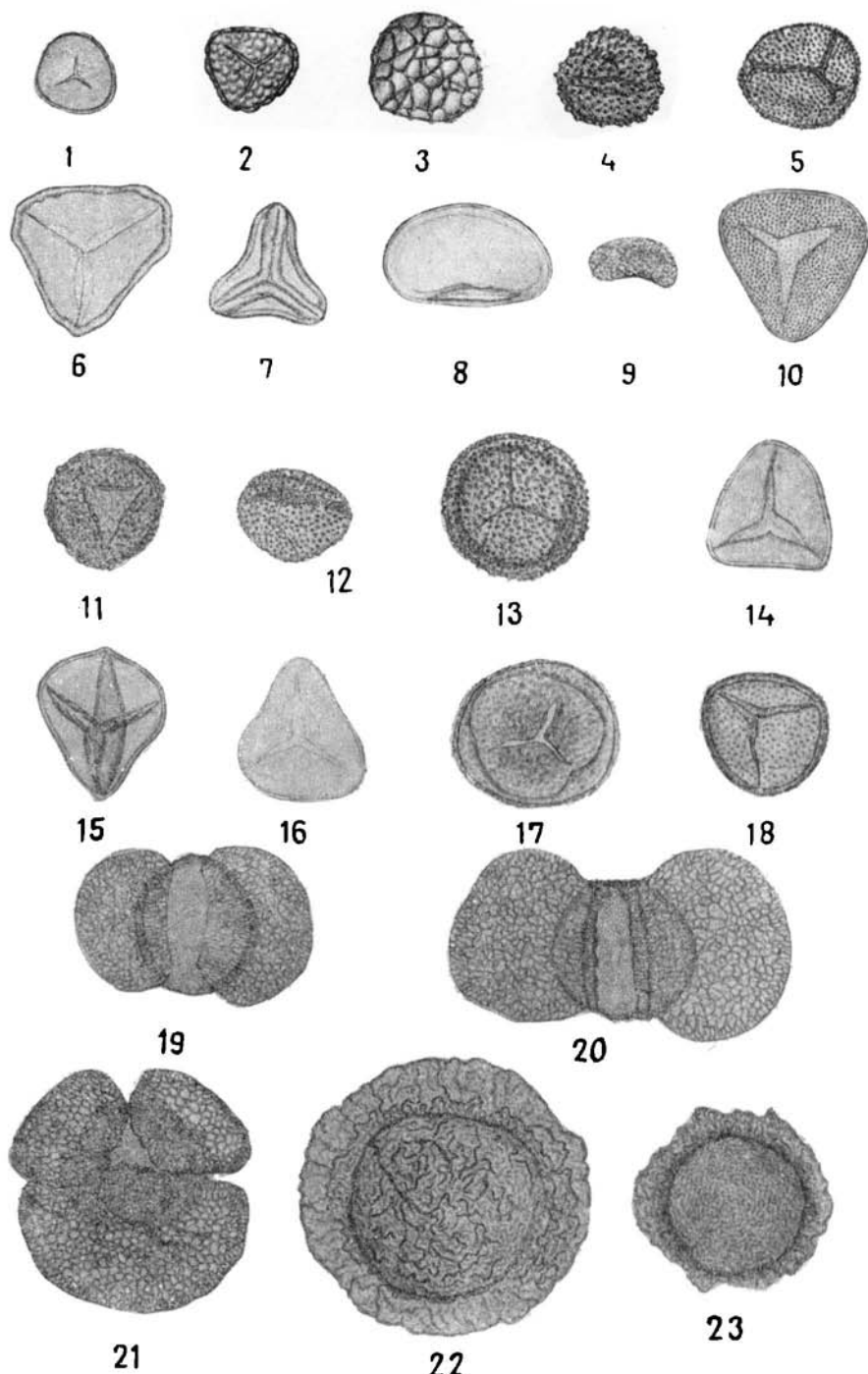
Таблица 121



Спороно-пыльцевой комплекс миоценов скв. 1-к Яковлевской буровой партии,  
Октябрьской площади

1. *Sphagnum*  $d = 24,5 \mu$ .
  2. *Sphagnum*  $d = 26,7 \mu$ .
  3. *Lycopodiaceae*  $d = 33,4 \mu$ .
  4. *Selaginella*  $d = 31,1 \mu$ .
  5. *Hymenophyllum*  $d = 36,4 \mu$ .
  6. *Cyathea*  $d = 46,1 \mu$ .
  7. С.Л. *Cyathea*  $d = 35,6 \mu$ .
  8. *Polypodiaceae* дл.  $49,4 \mu$ , шир.  $30,7 \mu$ .
  9. *Polypodiaceae* дл.  $29,6 \mu$ , шир.  $16,4 \mu$ .
  10. *Acanthotriletes* Н а у м.  $d = 43,8 \mu$ .
  11. *Osmundaceae*  $d = 34,0 \mu$ .
  12. *Osmunda* L.  $d = 36,6 \mu$ .
  13. *Osmunda* L.  $d = 25,4 \mu$ .
  14. *Leiotriletes* Н а у м.  $d = 40,2 \mu$ .
  15. *Leiotriletes* Н а у м. дл.  $45,4 \mu$ , шир.  $39,5 \mu$ .
  16. *Leiotriletes* Н а у м.  $d_1 = 36,3 \mu$ ,  $d_2 = 43,8 \mu$ .
  17. Неопр. спора  $d = 51,4 \mu$ .
  18. Неопр. спора  $d = 38,9 \mu$ .
  19. *Podocarpus* дл.  $74,7 \mu$ , выс. т.  $43,8 \mu$ , выс. м.  $48,9 \mu$ .
  20. *Podocarpus* дл.  $104,1 \mu$ , выс. т.  $43,8 \mu$ , выс. м.  $58,9 \mu$ .
  21. *Podocarpus dacrydioides* A. R i c h. дл.  $75,3 \mu$ , выс. т.  $23,7 \mu$ , выс. м.  $71,4 \mu$ , выс.  $M_2 = 40,4 \mu$ , выс.  $M_3 = 23,7 \mu$ .
  22. *Tsuga*  $d = 83,0 \mu$ .
  23. *Tsuga*  $d = 40,0 \mu$ .
- Все рис.  $\times 400$

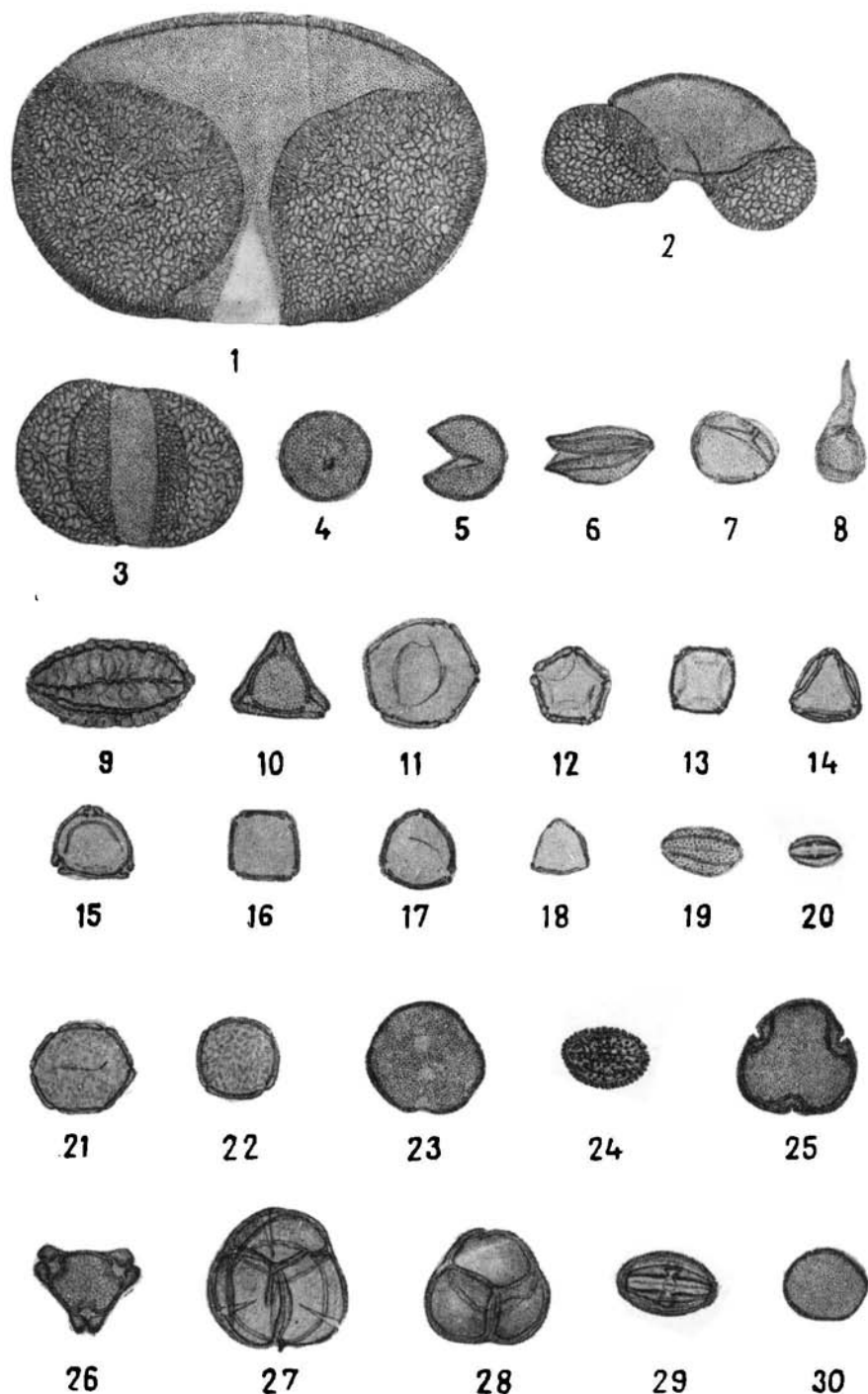
Таблица 122



Спорово-пыльцевой комплекс миоцена скв. 1-к Яковлевской буровой партии,  
Октябрьской площади

1. *Picea cf. excelsa* Link. дл. 139,5  $\mu$ , выс. т. 56,0  $\mu$ , выс. м. 87,9  $\mu$ .
2. *Pinus* n/p *Diploxylon* дл. 87,9  $\mu$ , выс. т. 40  $\mu$ , выс. м. 41,7  $\mu$ .
3. *Pinus* n/p *Haploxyylon* дл. 70,3  $\mu$ , выс. т. 49,4  $\mu$ , выс. м. 49,4  $\mu$ .
4. *Taxodiaceae*  $d = 28,1 \mu$ .
5. *Taxodiaceae*  $d = 26,3 \mu$ .
6. *Glyptostrobus* дл. 32,3  $\mu$ , шир. 17,5  $\mu$ .
7. *Sequoia*  $d = 25,2 \mu$ .
8. *Hydropteris*  $d = 15,6 \mu$ , дл. выроста 21,9  $\mu$ .
9. *Ephedra* дл. 48,5  $\mu$ , шир. 25,6  $\mu$ .
10. *Myrica*  $d = 28,7 \mu$ .
11. *Pterocarya*  $d = 34,0 \mu$ .
12. *Alnus*  $d = 24,7 \mu$ .
13. *Alnus*  $d = 22,8 \mu$ .
14. *Betula* sp.  $d = 20,6 \mu$ .
15. *Betula* sp.  $d = 21,9 \mu$ .
16. *Betulaceae*  $d = 25,6 \mu$ .
17. *Corylus*  $d = 25,9 \mu$ .
18. *Carpinus*  $d = 18,1 \mu$ .
19. *Quercus* дл. 25,9  $\mu$ , шир. 14,5  $\mu$ .
20. *Castanea* дл. 16,4  $\mu$ , шир. 9,8  $\mu$ .
21. *Ulmus*  $d = 29,9 \mu$ .
22. *Ulmus*  $d = 24,7 \mu$ .
23. *Liquidambar*  $d = 35,8 \mu$ .
24. *Ilex cassine* дл. 26,1  $\mu$ , шир. 17,7  $\mu$ .
25. *Tilia*  $d = 35,3 \mu$ .
26. *Extratriporopollenites*  $d = 27,6 \mu$ .
27. *Ericaceae*  $d = 45,7 \mu$ .
28. *Ericaceae*  $d = 36,9 \mu$ .
29. *Tricolporopollenites* дл. 32,0  $\mu$ , шир. 20,0  $\mu$ .
30. *Sparaganium* дл. 24,7  $\mu$ , шир. 21,7  $\mu$ .

Все рис.  $\times 400$

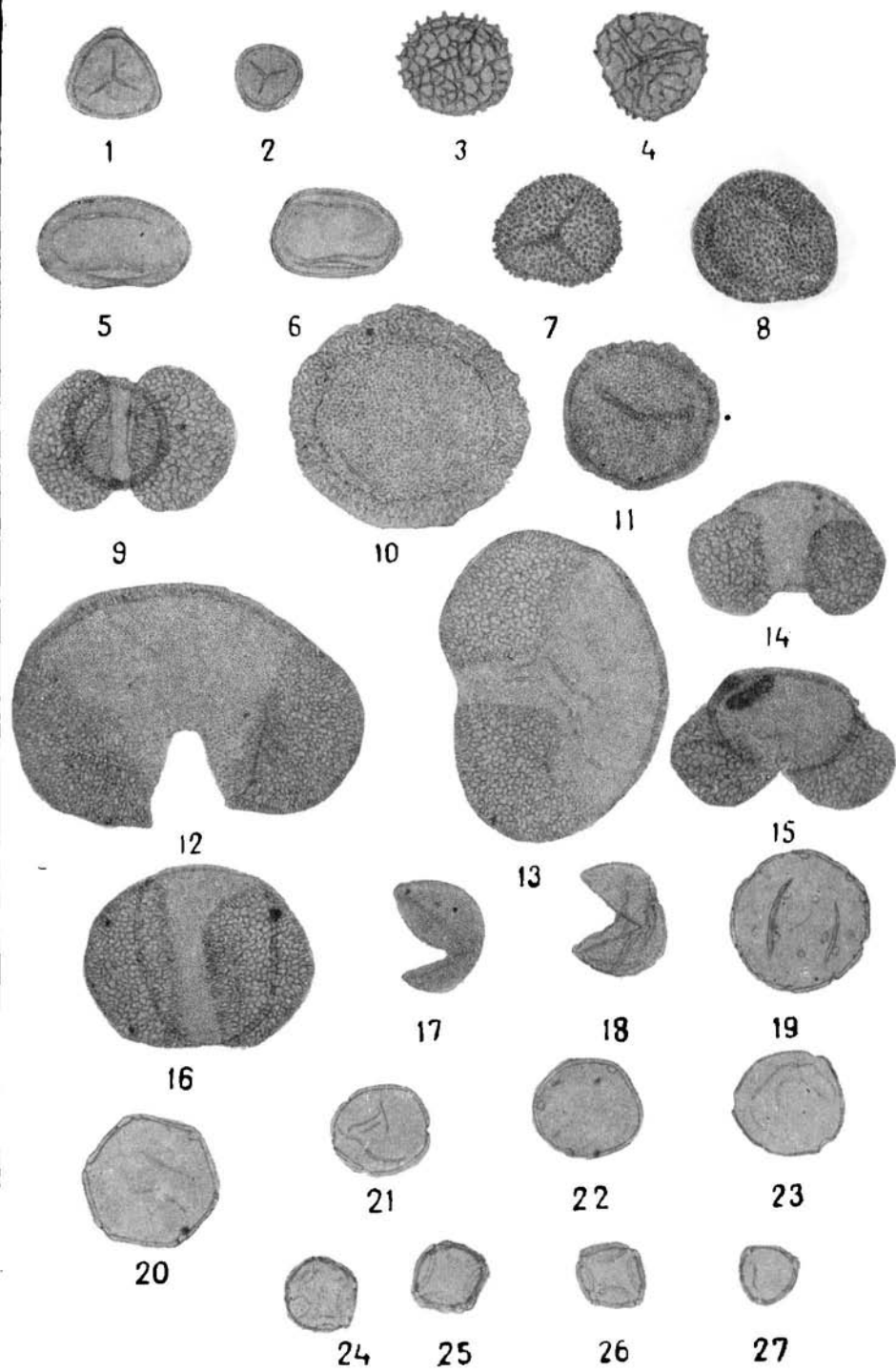


Спорово-пыльцевой комплекс плиоценена (?) Омск-Тюкалинских скв. 5-к и 20-к

1. *Sphagnum*  $d = 28,7 \mu$ .
2. *Sphagnum*  $d = 21,9 \mu$ .
3. *Lycopodium*  $d = 33,4 \mu$ .
4. *Lycopodium*  $d = 32,9 \mu$ .
5. *Polypodiaceae* дл.  $47,4 \mu$ , шир.  $26,7 \mu$ .
6. *Polypodiaceae* дл.  $40,8 \mu$ , шир.  $27,6 \mu$ .
7. *Osmunda*  $d = 37,1 \mu$ .
8. *Osmunda*  $d = 45,2 \mu$ .
9. *Podocarpus* дл.  $63,5 \mu$ , выс. т.  $35,1 \mu$ , выс. м.  $43,8 \mu$ .
10. *Tsuga*  $d = 71,8 \mu$ .
11. *Tsuga*  $d = 48,7 \mu$ .
12. *Picea* дл.  $112,5 \mu$ , выс. т.  $71,4 \mu$ , выс. м.  $65,9 \mu$ .
13. *Picea* дл.  $101,0 \mu$ , выс. т.  $65,9 \mu$ , выс. м.  $54,2 \mu$ .
14. *Pinus* н/р *Diploxyylon* дл.  $61,1 \mu$ , выс. т.  $31,1 \mu$ , выс. м.  $28,7 \mu$ .
15. *Pinus* н/р *Diploxyylon* дл.  $72,0 \mu$ , выс. т.  $32,0 \mu$ , выс. м.  $32,7 \mu$ .
16. *Pinus* н/р *Haploxyylon* дл.  $74,0 \mu$ , выс. т.  $56,9 \mu$ , выс. м.  $55,5 \mu$ .
17. *Taxodiaceae*  $d = 36,0 \mu$ .
18. *Taxodiaceae*  $d = 34,0 \mu$ .
19. *Juglans* sp.  $d = 46,1 \mu$ .
20. *Juglans*  $d = 43,8 \mu$ .
21. *Juglans*  $d = 32,0 \mu$ .
22. *Carya*  $d = 31,6 \mu$ .
23. *Betulaceae*  $d = 35,6 \mu$ .
24. *Alnus*  $d = 26,3 \mu$ .
25. *Alnus*  $d = 23,0 \mu$ .
26. *Alnus*  $d = 21,9 \mu$ .
27. *Betula*  $d = 21,9 \mu$ .

Всё рис.  $\times 400$

Таблица 124

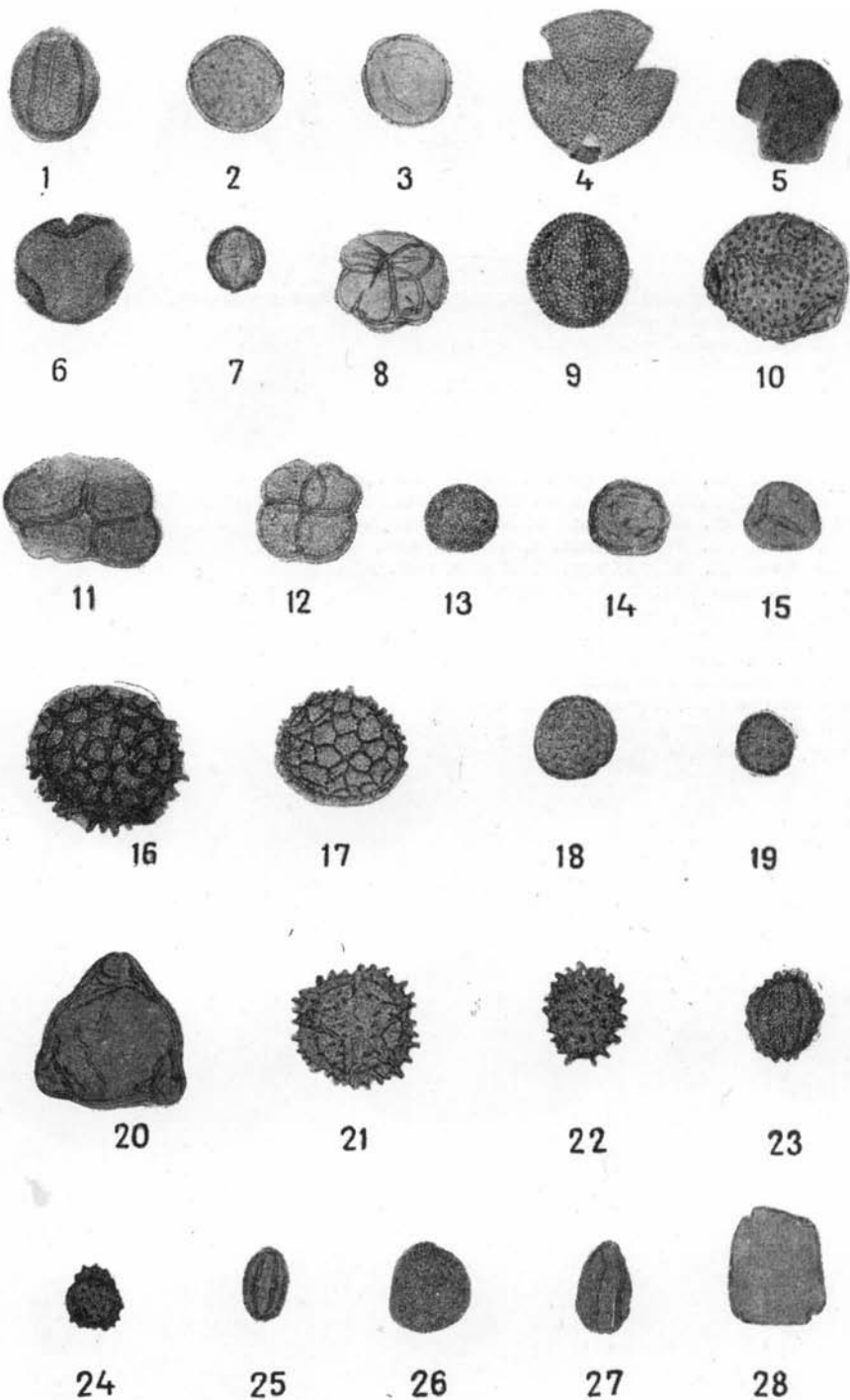


Сиорово-пыльцевой комплекс плиоценена (?) Омск-Тюкалинских скв. 5-к и 20-к

1. *Quercus* дл. 32,3  $\mu$ , шир. 26,9  $\mu$ .
2. *Ulmus*  $d = 29,4 \mu$ .
3. *Ulmus*  $d = 25,4 \mu$ .
4. *Acer*  $d = 45,7 \mu$ .
5. *Acer*  $d = 33,8 \mu$ .
6. *Tilia*  $d = 36,0 \mu$ .
7. *Nyssa* дл. 20,0  $\mu$ , шир. 17,7  $\mu$ .
8. *Ericaceae*  $d = 32,7 \mu$ .
9. *Oleaceae* дл. 36,2  $\mu$ , шир. 31,8  $\mu$ .
10. *Caprifoliaceae*  $d = 43,8 \mu$ .
11. *Typha* дл. 43,8  $\mu$ , шир. 32,9  $\mu$ .
12. *Typha*  $d = 31,8 \mu$ .
13. *Sparganium*  $d = 20,2 \mu$ .
14. *Alismataceae*  $d = 21,9 \mu$ .
15. *Gramineae*  $d = 21,9 \mu$ .
16. *Polygonaceae*  $d = 46,1 \mu$ .
17. *Polygonaceae*  $d = 39,5 \mu$ .
18. *Chenopodiaceae*  $d = 24,5 \mu$ .
19. *Chenopodiaceae*  $d = 18,6 \mu$ .
20. *Onagra* (?)  $d = 45,9 \mu$ .
21. *Compositae*  $d = 37,5 \mu$ .
22. *Compositae*  $d = 27,4 \mu$ .
23. *Artemisia* дл. 26,3  $\mu$ , шир. 21,0  $\mu$ .
24. *Artemisia*  $d = 16,2 \mu$ .
25. *Angiospermae* трехпоровые, трехбороздные дл. 22,2  $\mu$ , шир. 14,0  $\mu$ .
26. *Angiospermae*  $d = 26,7 \mu$ .
27. *Angiospermae* дл. 28,1  $\mu$ , шир. 15,6  $\mu$ .
28. *Tetraporina* дл. 35,3  $\mu$ , шир. 30,2  $\mu$ .

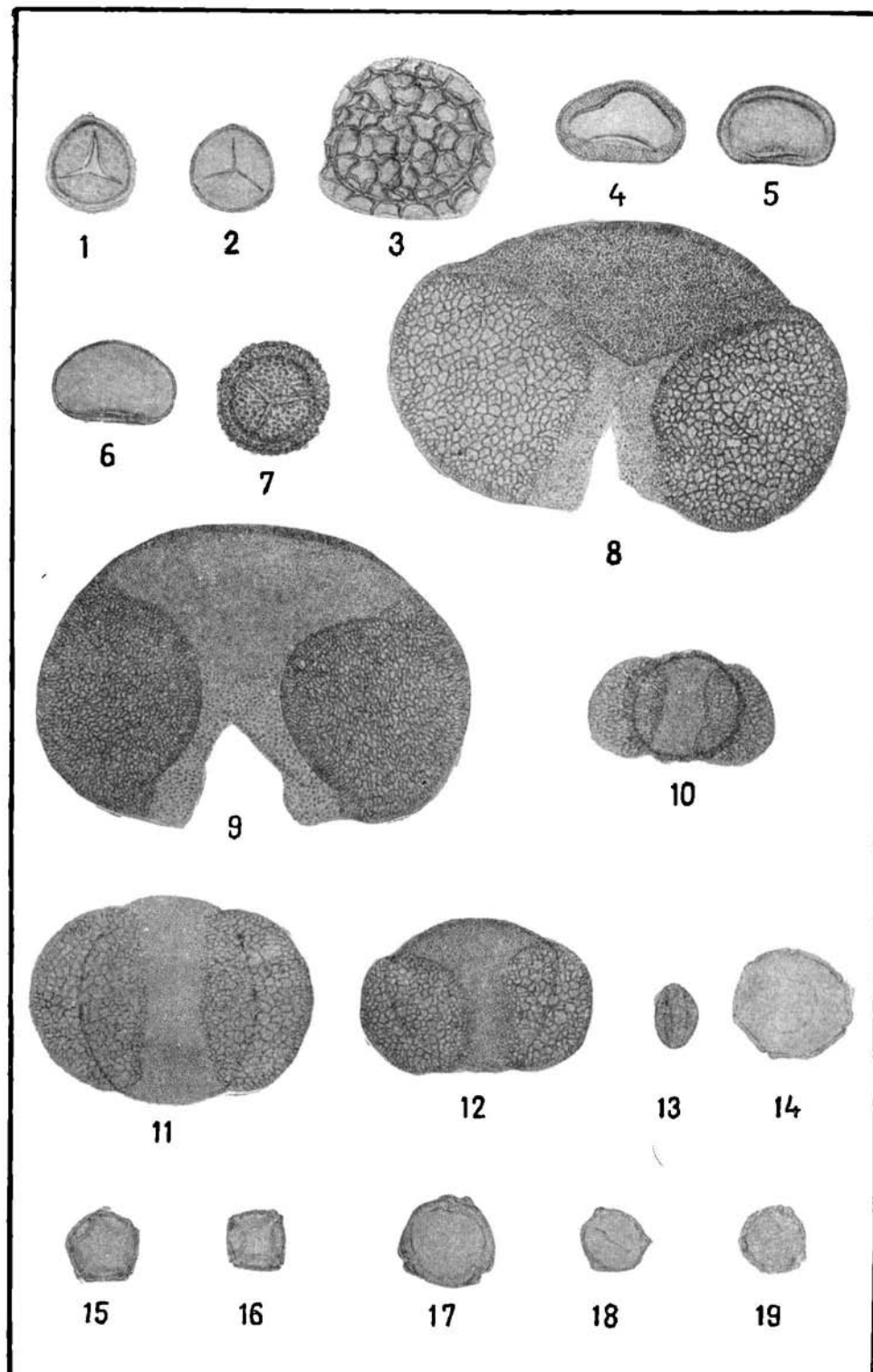
Все рис.  $\times 400$

Таблица 125



- Споро-пыльцевой комплекс плиоцена (?) Лебяжинский скв. 1-к
1. *Sphagnum*  $d = 29,6 \mu$ .
  2. *Sphagnum*  $d = 28,3 \mu$ .
  3. *Lycopodium*  $d = 57,1 \mu$ .
  4. *Polypodium* дл.  $43,8 \mu$ , шир.  $29,4 \mu$ .
  5. *Polypodiaceae* дл.  $40,2 \mu$ , шир.  $26,9 \mu$ .
  6. *Polypodiaceae* дл.  $40,8 \mu$ , шир.  $26,3 \mu$ .
  7. *Osmunda*  $d = 39,5 \mu$ .
  8. *Abies* дл.  $159,0 \mu$ , выс. т.  $90,5 \mu$ , выс. м.  $77,5 \mu$ .
  9. *Picea* sp. sec. *Eupicea* дл.  $145,9 \mu$ , выс. т.  $96,0 \mu$ , выс. м.  $73,6 \mu$ .
  10. *Pinus* дл.  $63,7 \mu$ , выс. т.  $34,3 \mu$ , выс. м.  $39,1 \mu$ .
  11. *Pinus* дл.  $94,7 \mu$ , выс. т.  $69,0 \mu$ , выс. м.  $61,5 \mu$ .
  12. *Pinus* дл.  $78,7 \mu$ , выс. т.  $51,4 \mu$ , выс. м.  $43,8 \mu$ .
  13. *Salicaceae* дл.  $21,9 \mu$ , шир.  $13,8 \mu$ .
  14. *Pterocarya*  $d = 38,9 \mu$ .
  15. *Alnus*  $d = 24,3 \mu$ .
  16. *Alnus*  $d = 21,9 \mu$ .
  17. *Betulaceae*  $d = 34,9 \mu$ .
  18. *Betula* cf. *verrucosa* E r d.  $d = 23,7 \mu$ .
  19. *Betula*  $d = 21,9 \mu$ .
- Все рис.  $\times 400$

Таблица 126

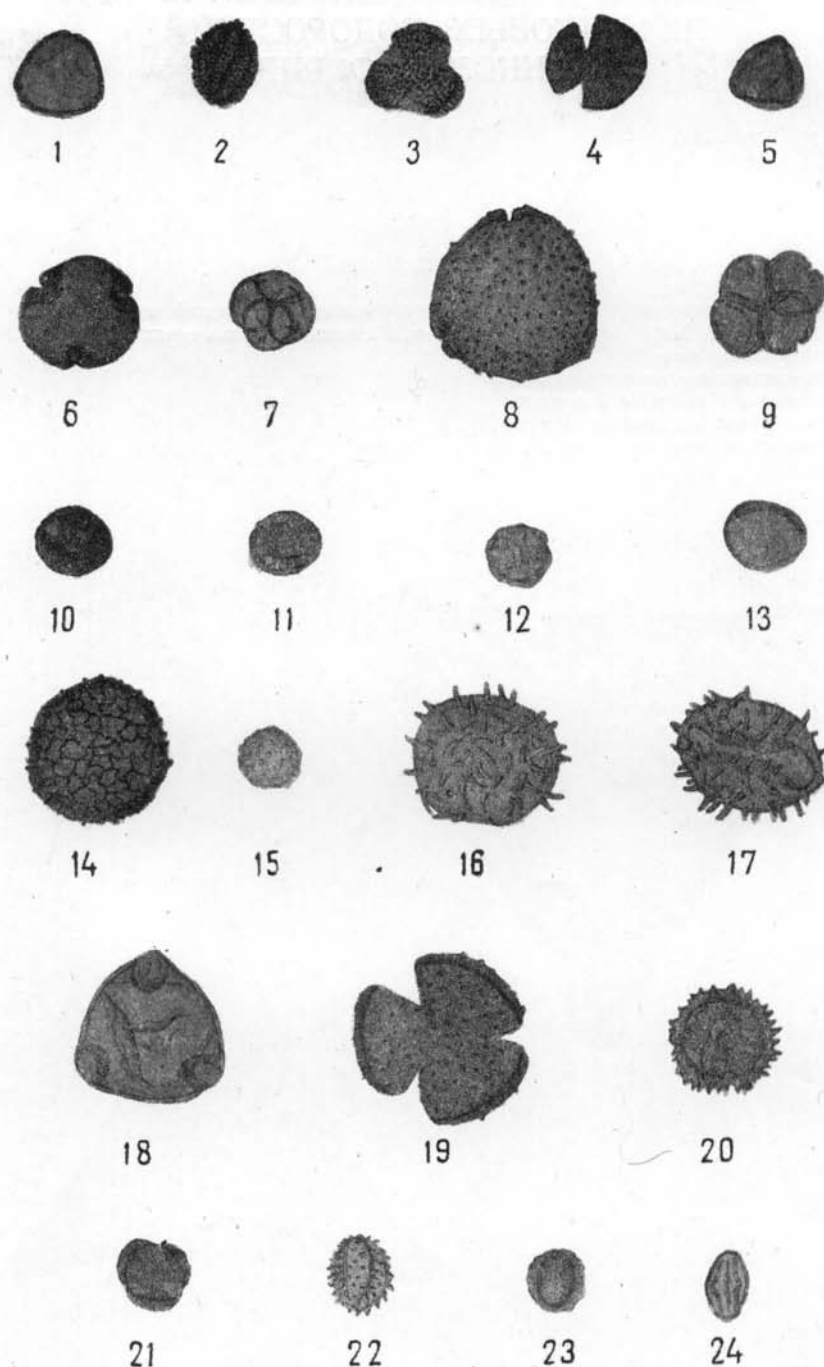


Спорово-пыльцевой комплекс плиоцена (?) Лебяжинской скв. 1-к

1. *Corylus*  $d = 26,5 \mu$ .
2. *Ilex cassine* L. дл.  $25,0 \mu$ , шир.  $21,9 \mu$ .
3. *Ilex cassine* L.  $d = 28,7 \mu$ .
4. *Acer*  $d = 29,0 \mu$ .
5. *Betulaceae*  $d = 23,3 \mu$ .
6. *Tilia*  $d = 36,7 \mu$ .
7. *Ericaceae*  $d = 24,1 \mu$ .
8. *Caprifoliaceae*  $d = 54,2 \mu$ .
9. *Typha*  $d = 37,3 \mu$ .
10. *Sparganium minimum* F. г. дл.  $21,9 \mu$ , шир.  $20,1 \mu$ .
11. *Sparganium minimum* F. г.  $d = 21,9 \mu$ .
12. *Alistataceae*  $d = 20,2 \mu$ .
13. *Gramineae* дл.  $25,6 \mu$ , шир.  $21,6 \mu$ .
14. *Polygonaceae*  $d = 43,8 \mu$ .
15. *Chenopodiaceae*  $d = 19,5 \mu$ .
16. *Nymphaeae* дл.  $43,8 \mu$ , шир.  $40,8 \mu$ .
17. *Nymphaeae* дл.  $46,5 \mu$ , шир.  $34,9 \mu$ .
18. *Onagraceae*  $d = 48,3 \mu$ .
19. *Dipsacaceae*  $d = 50,5 \mu$ .
20. *Compositae*  $d = 34,0 \mu$ .
21. *Artemisia*  $d = 21,9 \mu$ .
22. *Compositae* дл.  $26,5 \mu$ , шир.  $20,2 \mu$ .
23. *Artemisia* дл.  $24,1 \mu$ , шир.  $19,1 \mu$ .
24. *Angiospermae* T. *Castanea* дл.  $21,9 \mu$ , шир.  $14,8 \mu$ .

Все рис.  $\times 400$

Таблица 127



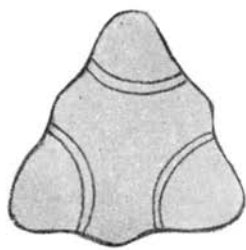
# КОМПЛЕКСЫ ДИАТОМОВЫХ, КРЕМНЕВЫХ, ЖГУТИКОВЫХ ВОДОРОСЛЕЙ И КОККОЛИТОФОРИД

## ТАБЛИЦА 128

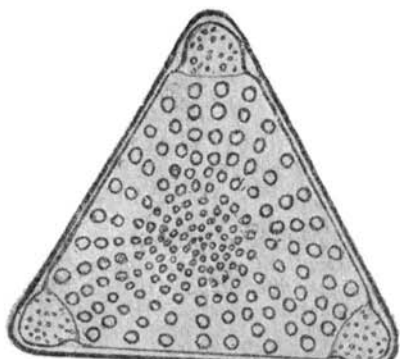
Комплексы диатомовых и кремневых жгутиковых водорослей эоценов скважин Кузнецово 1-к и 1-р, Лучинкино 7-к, Каменско-Гусельниково 1-к.

1. *Triceratium venustum* Witt.
2. *Triceratium exornatum* Grunn.
3. *Triceratium mirabile* Jousse.
4. *Triceratium exornatum* Pant.
5. *Triceratium ventriculosum* A. S.

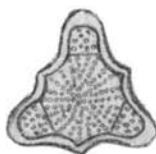
Рис. ×900



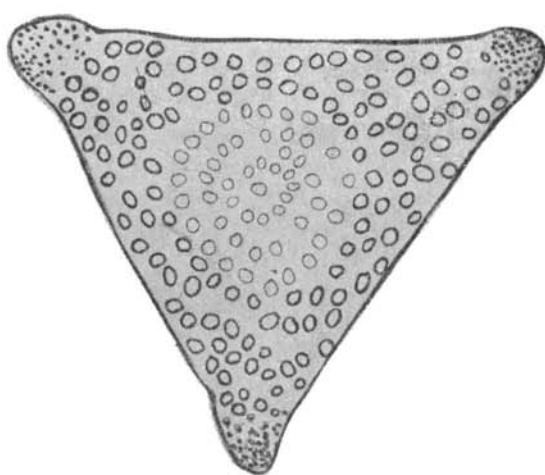
1



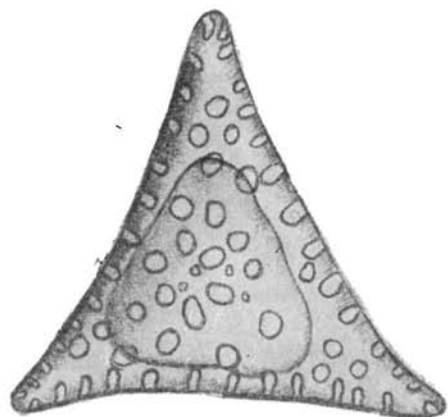
2



3



4



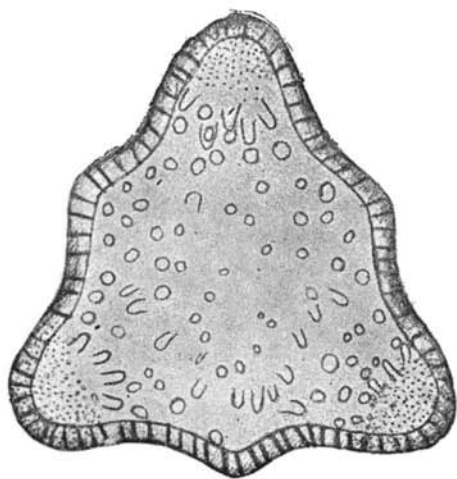
5

ТАБЛИЦА 128 (продолжение)

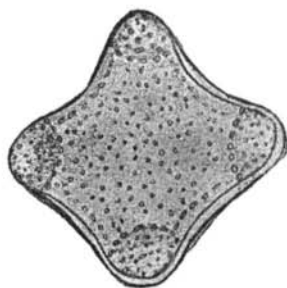
6. *Triceratium undosum* Hust.
7. *Triceratium* aff. *cellulosum* Grun.
8. *Trinacria exculta* (Heib.) Hust.
9. *Trinacria exculta* (Heib.) Hust.

Рис. × 900

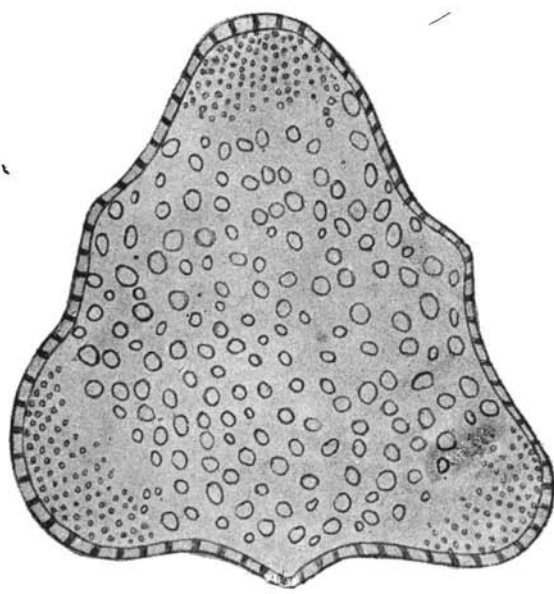
Таблица 128(продолжение)



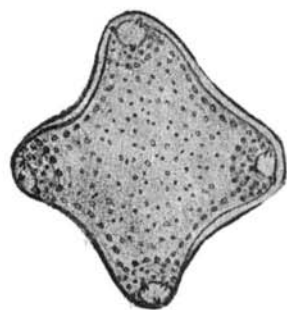
6



8



7



9

Комплексы диатомовых и кремневых жгутиковых водорослей оценены скважин Кузнецово 1-к и 1-р, Лучинкино 7-к, Каменско-Гусельниково 1-к

1. *Hemiaulus polymorphus* v. n.

2. *Hemiaulus polymorphus* v. n.

3. *Hemiaulus lobatus* Gr e v.

4. *Hemiaulus* aff. *lobatus* Gr e v.

5. *Trinacria polymorpha* J o u s e.

6. *Trinacria pileolus* v. *Josephina* G r u n.

Рис.  $\times 900$

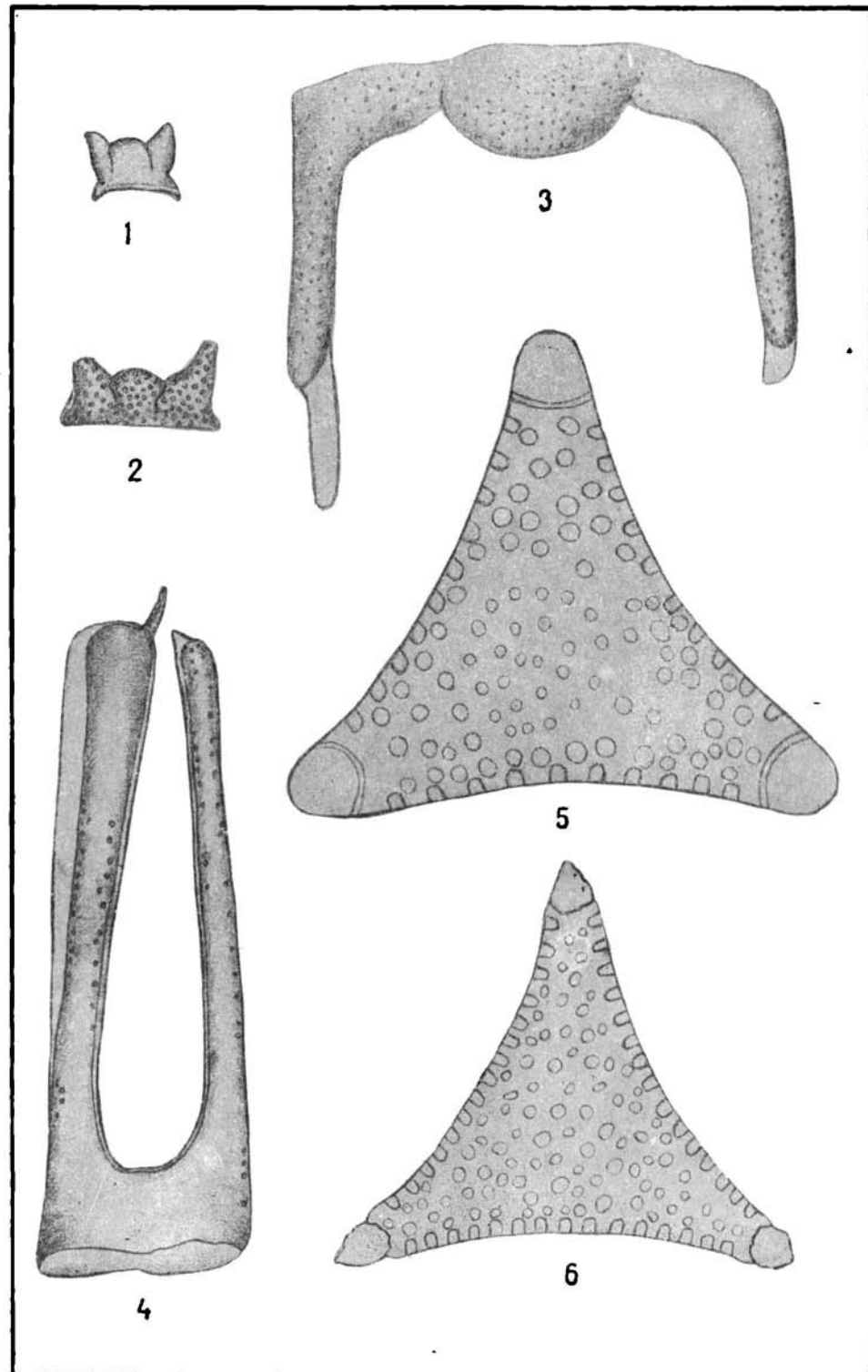
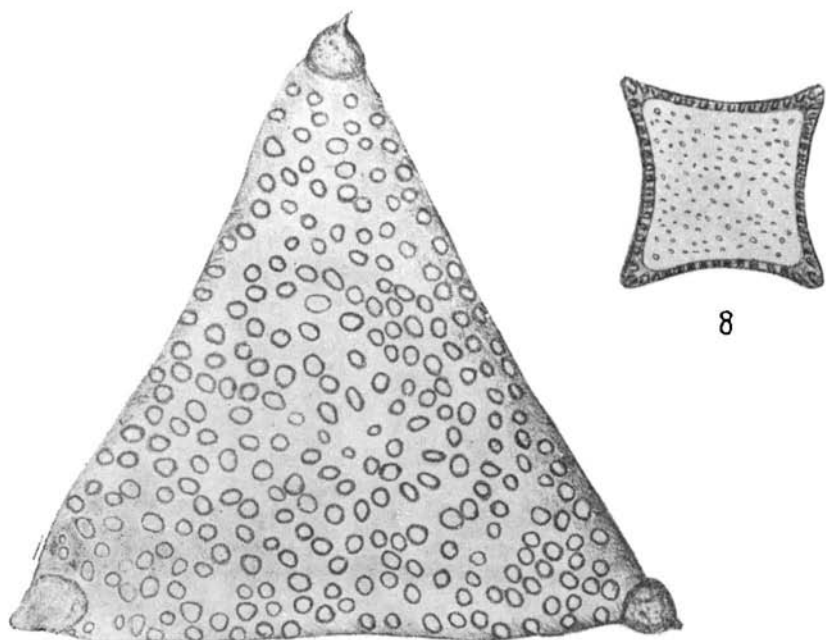


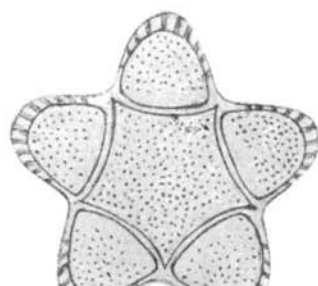
ТАБЛИЦА 129 (продолжение)

7. *Trinacria* aff. *regina* A. S.
  8. *Triceratium rostratum* sp. nova.
  9. *Trinacria* sp. nova.
  10. *Trinacria exculta* (Heib.) Hust.
  11. *Trinacria* sp. (имена *Trinacria regina* Heib.)
- Рис. × 900

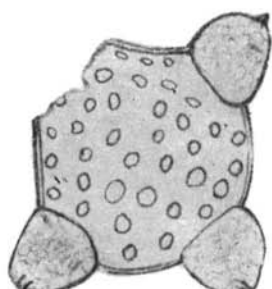
Таблица 129 (продолжение)



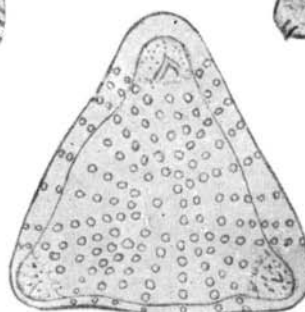
8



9



10



11

## ТАБЛИЦА 130

Комплексы диатомовых и кремневых жгутиковых водорослей нижнего олигоцена-эоцен скважин Кузнецово 1-к и 1-р, Каменско-Гусельниково 1-к, Лучинкино 7-к, Ларька 1-к и 1-р, Омска 1-р, Тюмень 1-к

1. *Melosira sulcata* v. *crenulata* Grup. (н. олигоцен).
2. *Melosira sulcata* v. *siberica* Grup. (эоцен).
3. *Melosira ornata* Grup. (эоцен).
4. *Podosira variegata* A. S. (эоцен).
5. *Podosira* sp. 1 нова (эоцен).
6. *Pseudopodosira pileiformis* Jouss. (н. олигоцен).
7. *Hyalodiscus radiatus* v. *arctica* Grup. (в. эоцен).
8. *Hyalodiscus scoticus* Grup. (эоцен).
9. *Stephanopyxis marginata* Grup. (эоцен).

Рис. ×900

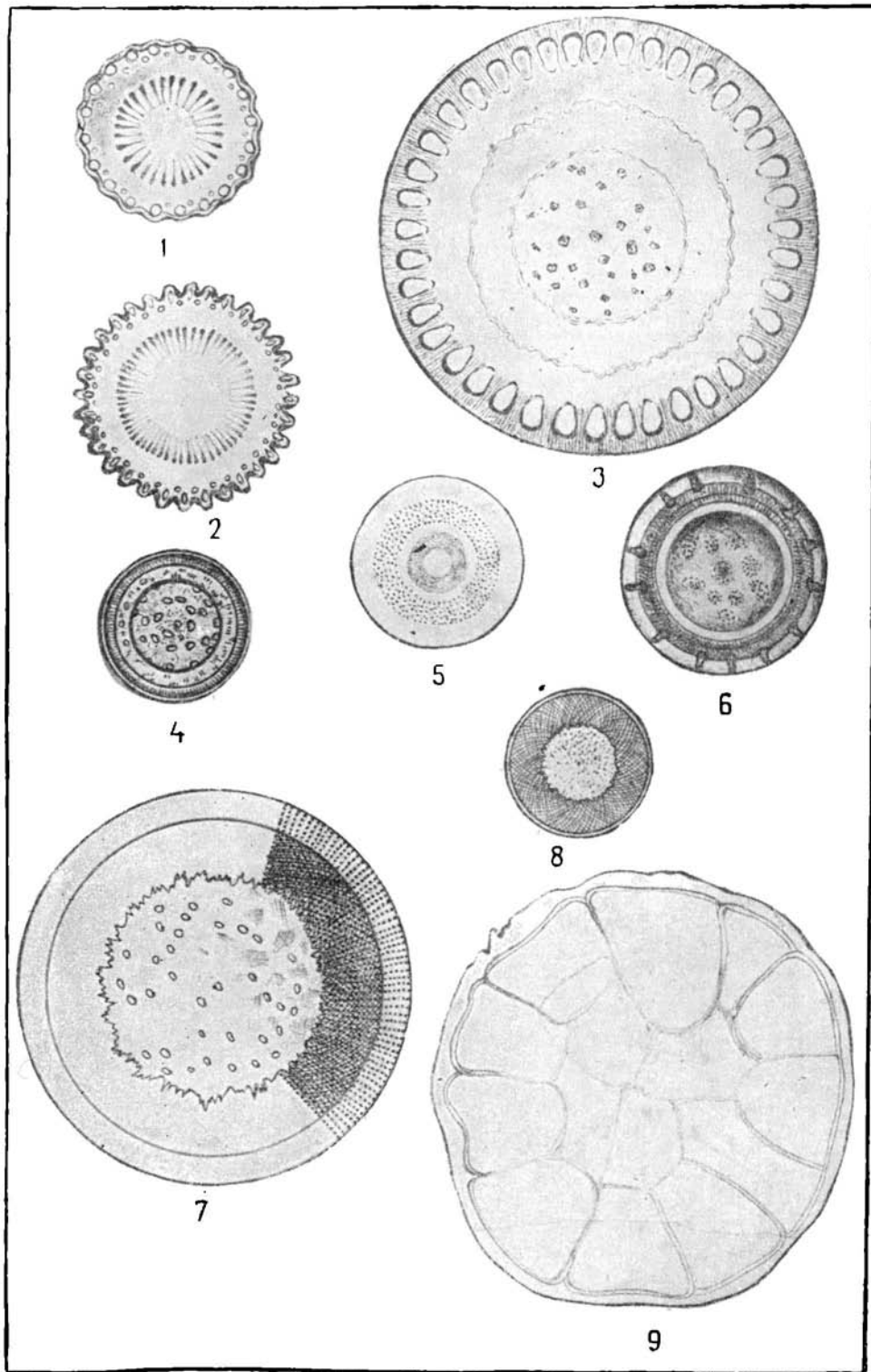
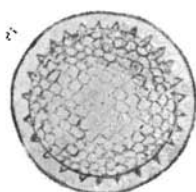


ТАБЛИЦА 130 (продолжение)

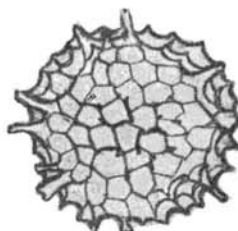
10. *Stephanopyxis Broschii* Grup. (эоцен).
11. *Stephanopyxis punctatus* Jouss. (эоцен).
12. *Stephanopyxis punctatus* Jouss. (эоцен).
13. *Coscinodiscus Payeri* Grup. (эоцен).
14. *Coscinodiscus uralensis* Jouss. (эоцен).
15. *Rhizosolenia* sp. (н. олигоцен).
16. *Rhizosolenia* sp. (эоцен).
17. *Triceratium Kinkeri* A. S. (н. олигоцен).
18. *Pseudopyxilla dubia* Grup. (эоцен).

Рис.  $\times 900$

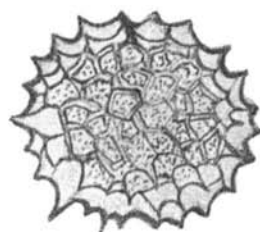
Таблица 130 (продолжение)



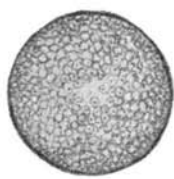
10



11



12



13



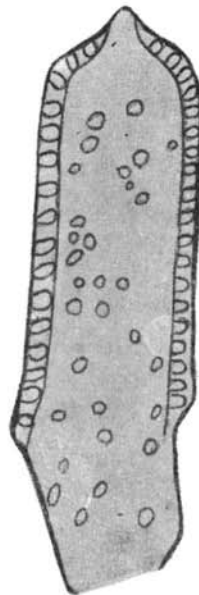
14



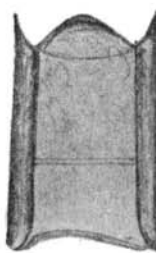
15



16



17



18

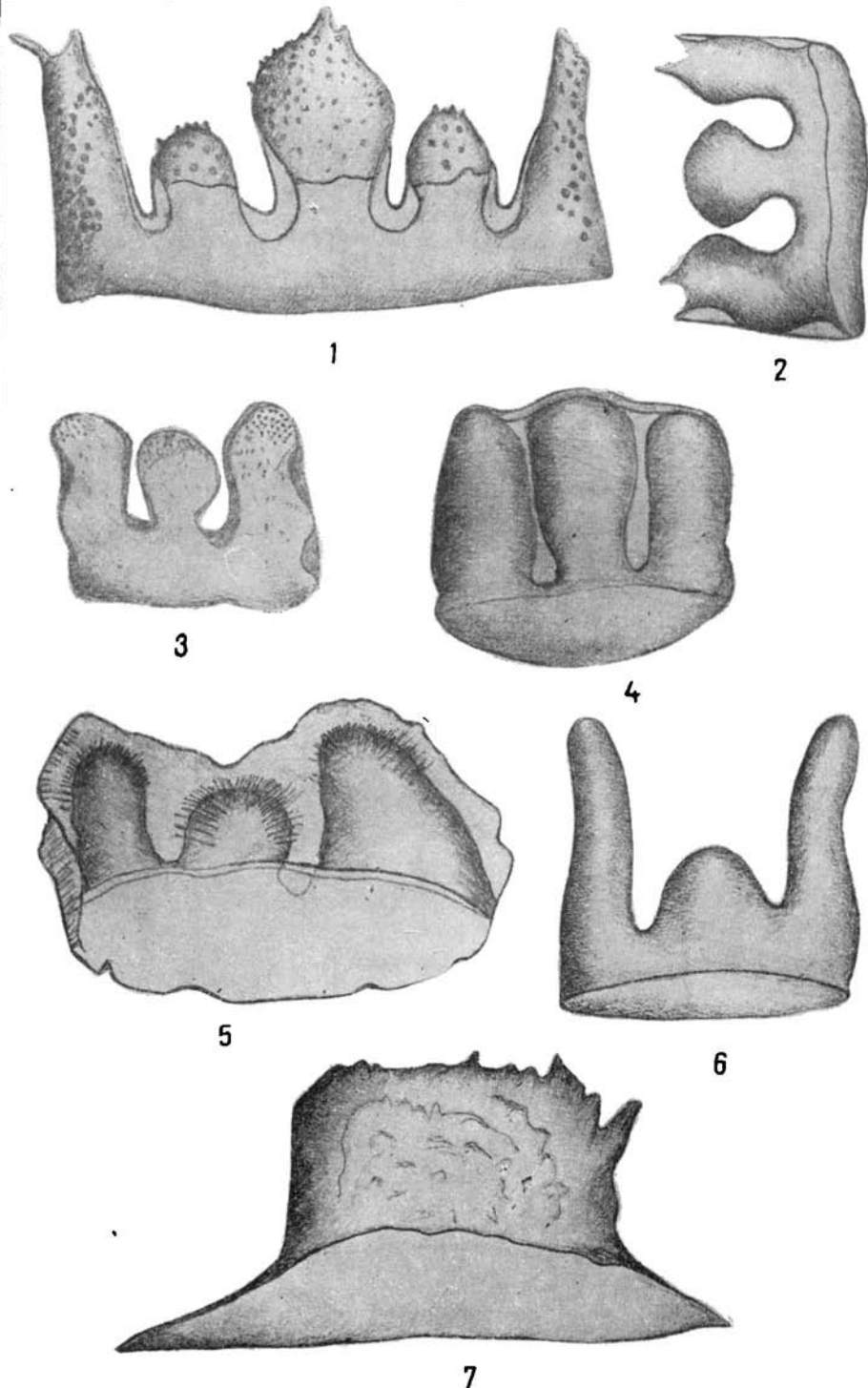
## ТАБЛИЦА 131

Комплексом диатомовых и кремневых жгутиковых водорослей нижнего олигоцена-эоценап скважин Кузнецово 1-к и 1-р, Каменско-Гусельниковово 1-к, Лучинкино 7-к, Ларьинка 1-к и 1-р, Омска 1-р, Тюмени 1-к

1. *Biddulphia tuomeyi* (B a i l.) R o p e r (п. эоцен).
2. *Biddulphia tuomeyi* v. *tridentata* (E h r.) J o u s e. (эоцен).
3. *Biddulphia tuomeyi* v. *tridentata* (E h r.) J o u s e. (эоцен).
4. *Biddulphia tuomeyi* v. *tridentata* (E h r.) J o u s e. f. n. (эоцен).
5. *Biddulphia tuomeyi* v. *tridentata* (E h r.) J o u s e f. n. (эоцен).
6. *Biddulphia tuomeyi* v. *tridentata* (E h r.) J o u s e. (эоцен).
7. *Odontotropis danicus* D e b e s. (эоцен).

Рис. × 900

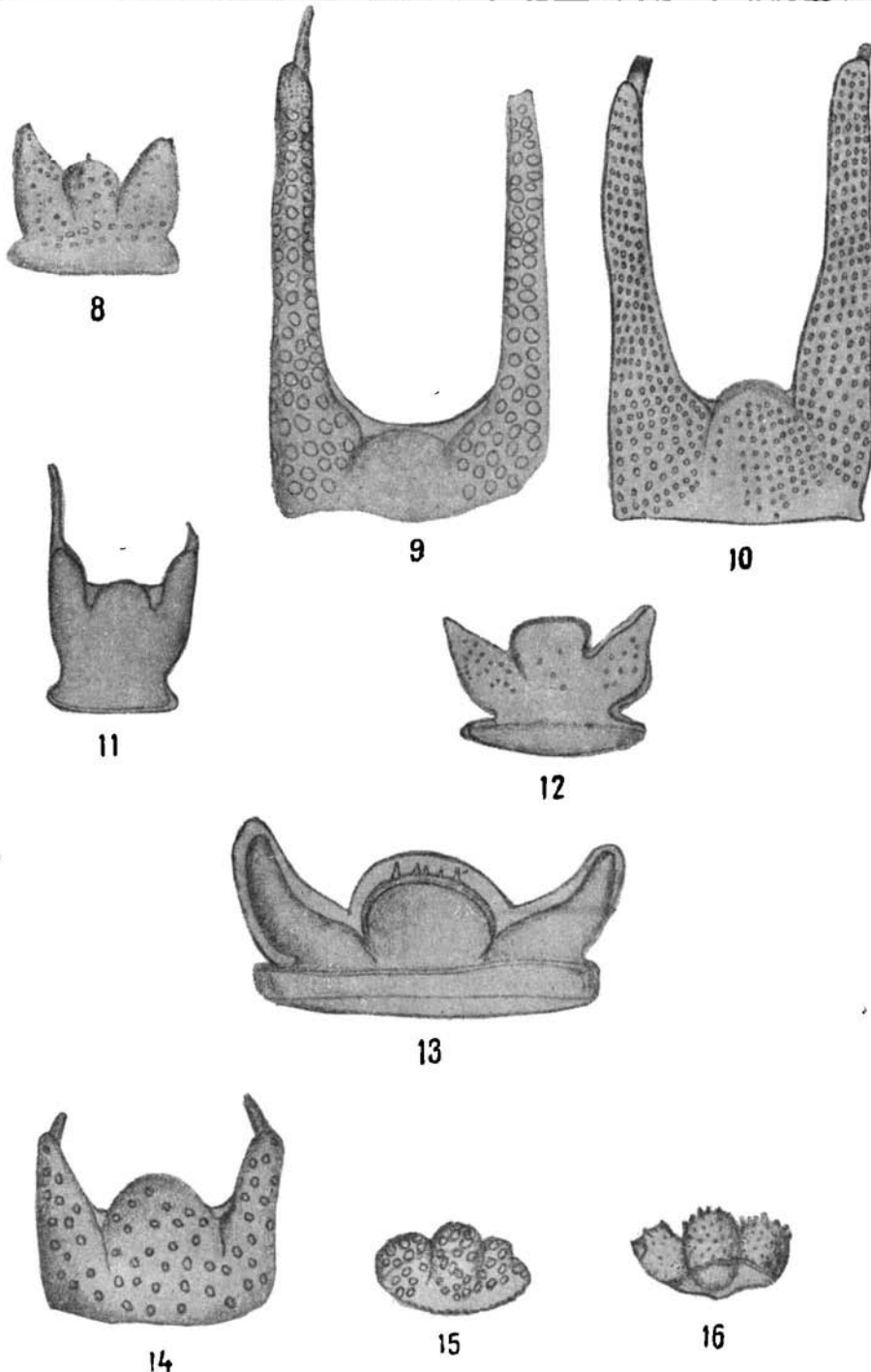
Таблица 131



8. *Hemiaulus polymorphus* v. n. (эоцен).
9. *Hemiaulus arcticus* v. *crenulata* Jouss. (эоцен).
10. *Hemiaulus arcticus* Grup. (эоцен).
11. *Hemiaulus hyperboreus* Grup. (эоцен).
12. *Hemiaulus hostilis* Grup. (эоцен).
13. *Hemiaulus* aff. *hostilis*.
14. *Hemiaulus antiquus* Jouss. (н. олигоцен).
15. *Hemiaulus polymorpha* Jouss. (эоцен).
16. *Trinacria polymorpha* Jouss. f. n. (эоцен).

Рис. × 900

Таблица 131 (продолжение)



## ТАБЛИЦА 132

Комплексы диатомовых и кремневых жгутиковых водорослей нижнего олигоцена-эоценов скважин Кузнецово 1-к и 1-р, Каменско-Тусельниково 1-к, Лучинкино 7-к, Ларька 1-к и 1-р, Омска 1-р, Тюмени 1-к

1. *Melosira polaris* Grun. (и. олигоцен).
2. *Melosira sulcata* v. *siberica* Grun. (эоцен).
3. *Melosira sulcata* v. *biseriata* Grun. (эоцен).
4. *Podosira aff. simplicia* Jouse. (и. олигоцен).
5. *Podosira hyalina* Jouse. (и. олигоцен).
6. *Podosira aff. modesta* Jouse. (и. олигоцен).
7. *Hyalodiscus Kryshtofovichii* Jouse. (и. олигоцен).
8. *Hyalodiscus* sp. *umbilicus* (и. олигоцен).
9. *Stephanopyxis* aff. *grunowii* Gr. et Surt. (и. олигоцен).

Рис. ×900

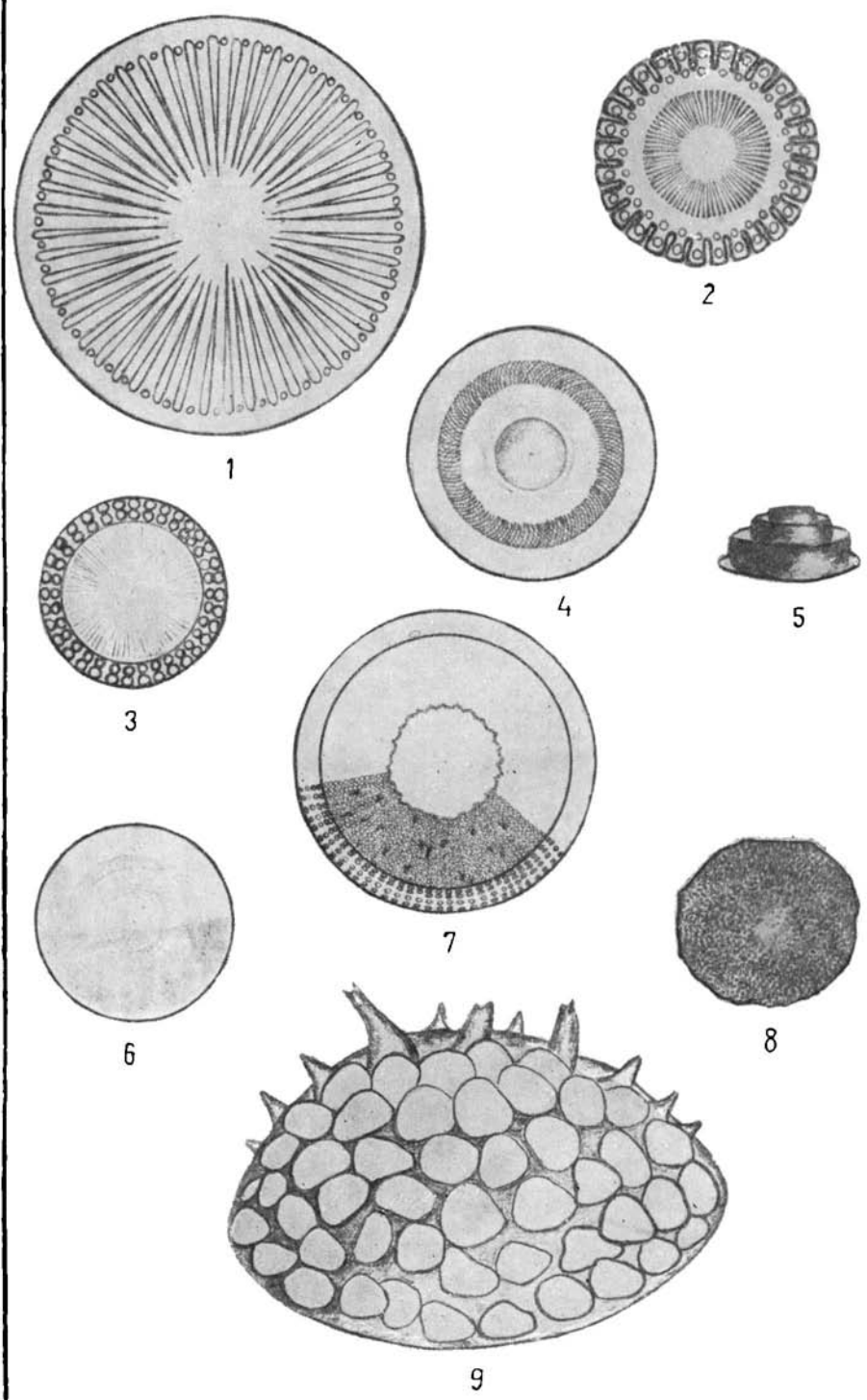
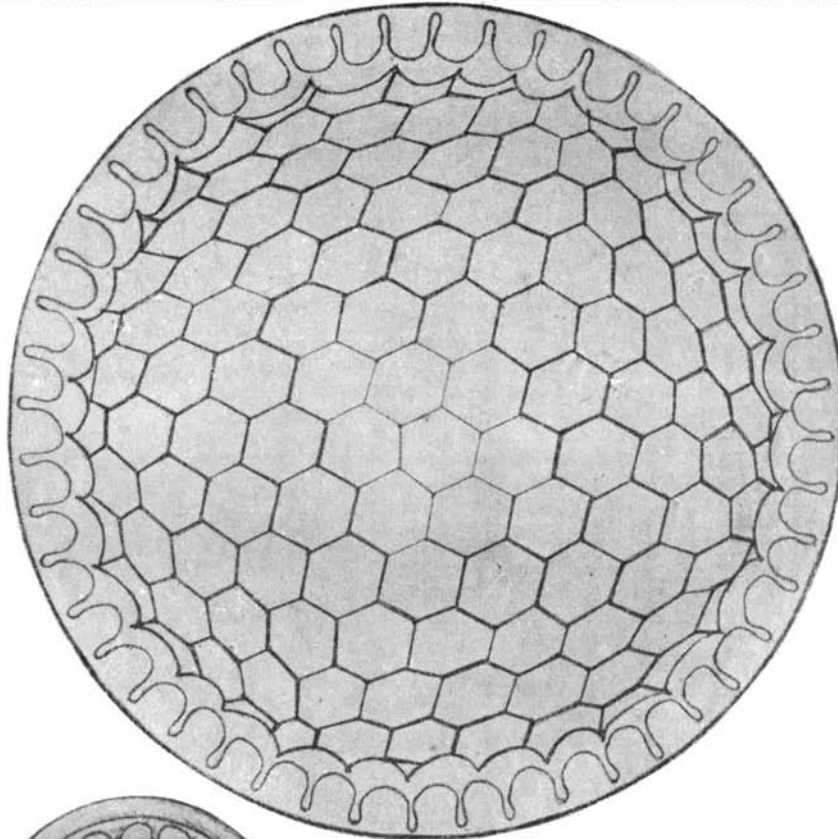


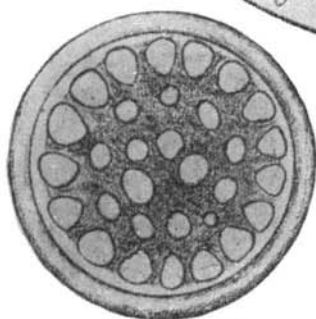
ТАБЛИЦА 132 (продолжение)

10. *Stephanopyxis marginata* Grup. (н. олигоцен).
  11. *Stephanopyxis grunowii* Gr. et Sturt. (н. олигоцен).
  12. *Stephanopyxis broschii* Grup. (н. олигоцен).
  13. *Stephanopyxis megapora* Grup. (н. олигоцен).
  14. *Stephanopyxis ferox* (Grev.) Ralfs. (н. олигопен).
  15. *Stephanopyxis broschii* Grup. (эоцен).
- Формы × 900

Таблица 132 (продолжение)



11



10



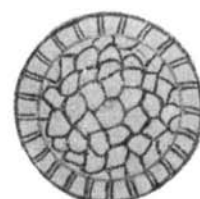
12



13



14



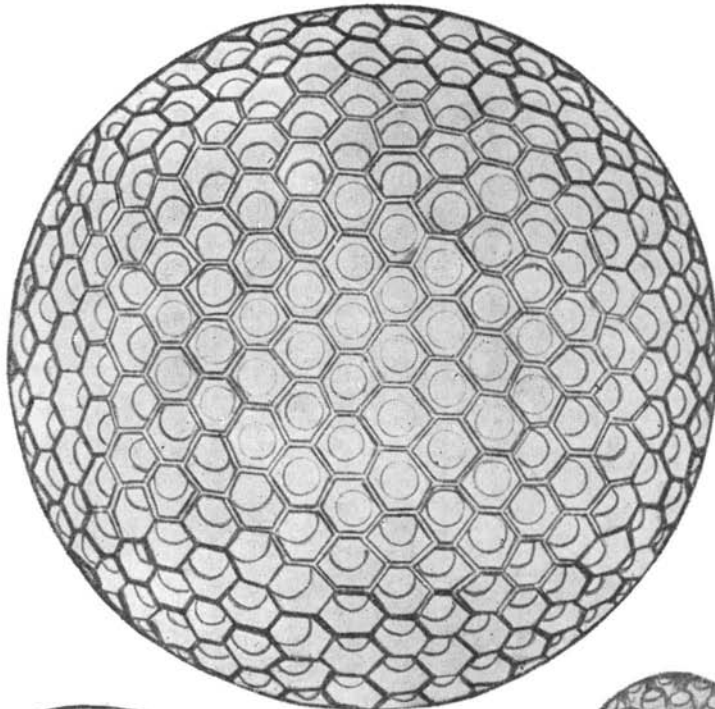
15

ТАБЛИЦА 133

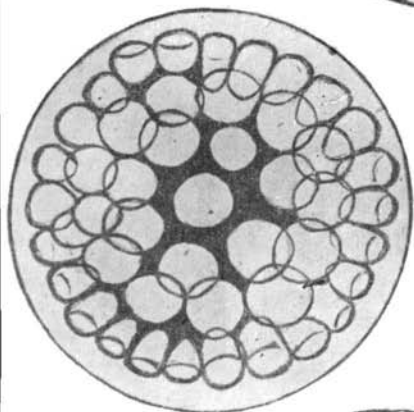
Комплексы диатомовых и кремневых жгутиковых водорослей нижнего олигоцена-эоцене скважин Кузнецово 1-к и 1-р, Каменско-Гусельниково 1-к, Лучинкино 7-к, Ларька 1-к и 1-р, Омска 1-р, Тюмени 1-к

1. *Stephanopyxis grunowii* Gr. et Stuttgart. (эоцен).
2. *Stephanopyxis marginata* Grun. (н. олигоцен).
3. *Stephanopyxis turris* v. *intermedia* Grun. (н. олигоцен).
4. *Stephanopyxis ferox.* (Grev.) Ralfs. (н. олигоцен).
5. *Stephanopyxis fuscus* Jouse.

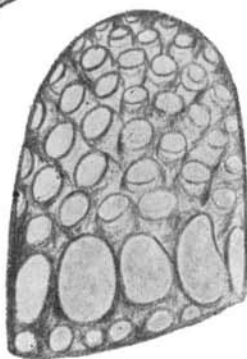
Рис. × 900



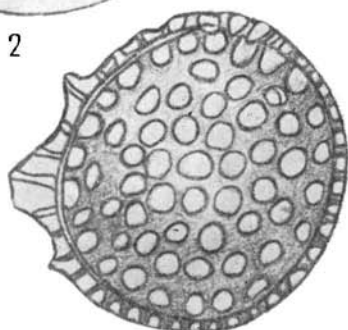
1



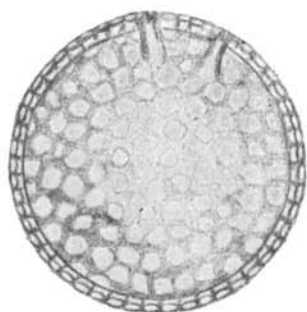
2



3



4



5

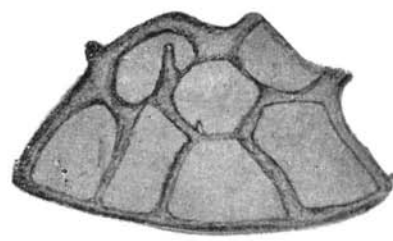
ТАБЛИЦА 133 (продолжение)

6. *Stephanopyxis turris* v. *intermedia* Grun. (н. олигоцен).
  7. *Stephanopyxis megapora* Grun. (н. олигоцен).
  8. *Stephanopyxis megapora* Grun. (н. олигоцен).
  9. *Stephanopyxis turris* v. *arctica* Grun. (н. олигоцен).
  10. *Stephanopyxis fuscus* Jouse. (н. олигоцен).
  11. *Stephanopyxis editus* Jouse (н. олигоцен-эоцен).
  12. *Stephanopyxis turris* v. *cylindrus* Grun. (н. олигоцен).
- Формы × 900

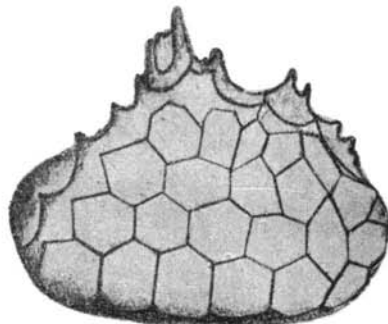
Таблица 133 (продолжение)



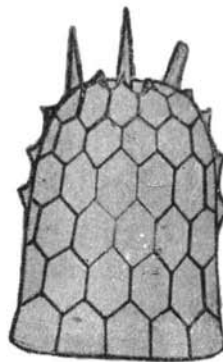
6



7



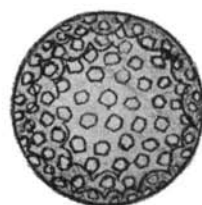
8



9



10



11



12

ТАБЛИЦА 134

Комплексы диатомовых и кремневых жгутиковых водорослей нижнего-олигоцена-эоценов северной Кузнецово 1-к и 1-р, Каменско-Гусельниково 1-к, Лучинкино 7-к, Ларыка 1-к и 1-р, Омска, 1-р, Тюмени 1-к

Лучинкино 7-к, Ларыка 1-к и 1-р, Омска, 1-р, Тюмени 1-к

1. *Trinacria excavata* (Heib.) Hust. (эоцен).
2. *Trinacria regina* v. *obtusa* Witt. (в. эоцен).
3. *Trinacria* sp. (эоцен).

Рис. × 900

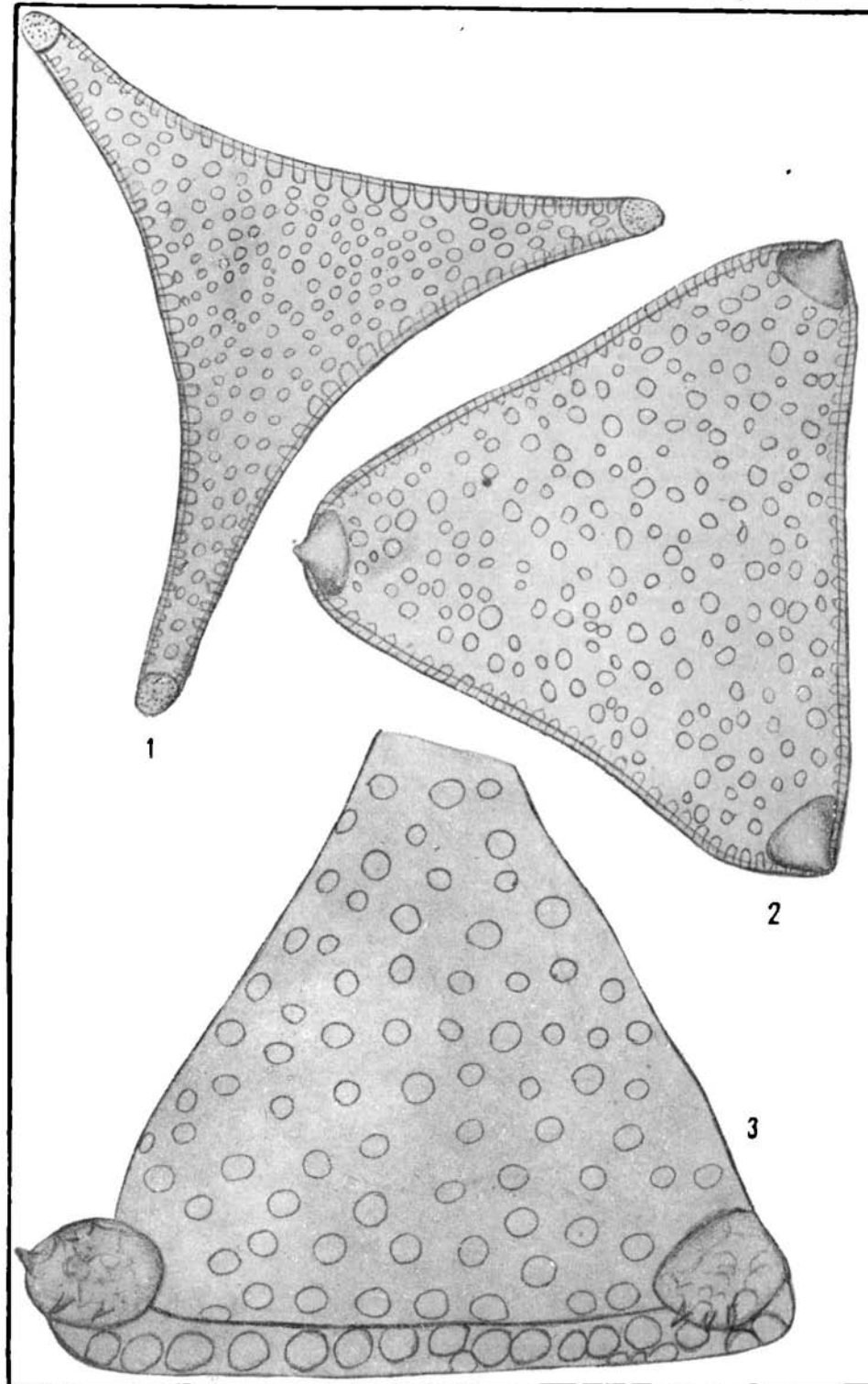
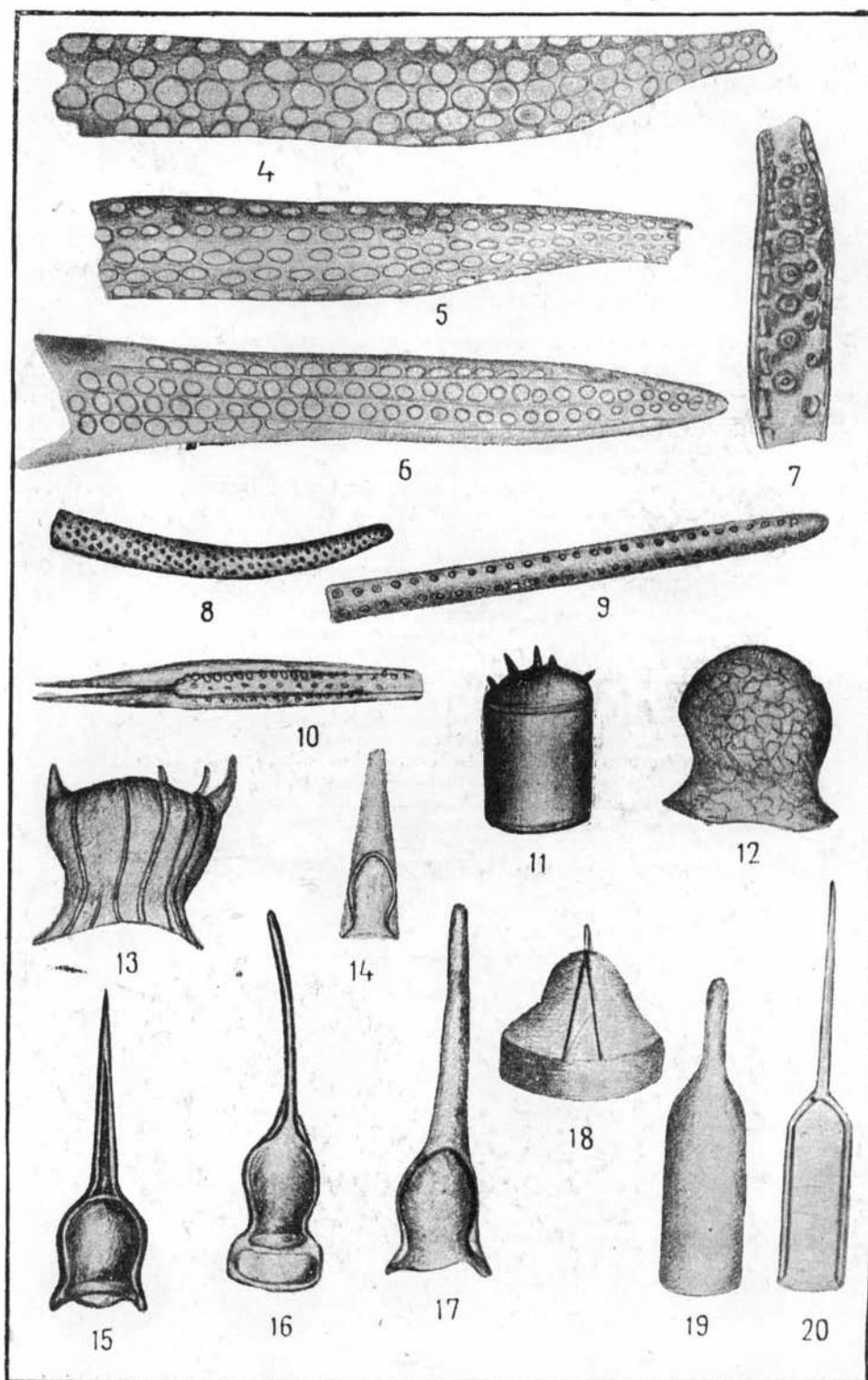


ТАБЛИЦА 134 (продолжение)

4. *Pyxilla gracilis* Tempr. et Forti (н. олигоцен).
5. *Pyxilla gracilis* Tempr. et Forti (эоцен).
6. *Pyxilla gracilis* Tempr. et Forti (н. олигоцен).
7. *Pyxilla «oligocenica»* Jouse. (эоцен).
8. *Pyxilla* sp. (эоцен).
9. *Pyxilla* sp. (эоцен).
10. *Pyxilla* sp. (эоцен).
11. *Pseudopyxilla* sp. (эоцен).
12. *Pseudopyxilla* sp. (эоцен).
13. *Pterotheca aff. Kittoniana* Grun. (эоцен).
14. *Pterotheca aculeifera* Grun. (эоцен).
15. *Pterotheca aculeifera* Grun. (эоцен).
16. *Pterotheca aculeifera* Grun. (эоцен).
17. *Pterotheca aff. aculeifera* Grun. (эоцен).
18. *Pterotheca uralica* Jouse. (эоцен).
19. *Pterotheca carinifera* Grun. (эоцен).
20. *Pterotheca carinifera* Grun. (эоцен).

Рис. × 900

Таблица 134 (продолжение)



Комплексы диатомовых и кремневых жгутиковых водорослей нижнего олигоцена-эоценов сибирской Кузнецово 1-к и 4-р, Каменско-Гусельниковой 1-к, Лучинкино 7-к, Ларьяка 1-к и 4-р, Тюмень 1-к

1. *Eunotogramma laevis* Grup. (в. эоцен).
2. *Dictyocha fibula* v. *rotundatus* Schulz. (эоцен).
3. *Dictyocha* sp. «трехлучевая» (эоцен).
4. *Dictyocha rotundata* Jousse. (эоцен).
5. *Dictyocha fibula* v. *rotundatus* f. *minor* Schulz. (эоцен).
6. *Dictyocha rotundata* Jousse. (эоцен).
7. *Dictyocha staurodon* Ehren. (эоцен).
8. *Dictyocha fibula* v. *longispina* Lemm.
9. *Ebria tripartita* (Schulz.) L. «яйцевидная» (особая), (верхн. + сп. эоцен).
10. *Ebria antiqua* Schulz. (верхн. + сп. эоцен).
11. *Ebria antiqua* Schulz. (верхн. + сп. эоцен).
12. *Ebria antiqua* Schulz. (верхн. + сп. эоцен).
13. *Ebria muna Radiolaria* (эоцен).
14. *Ebria muna Radiolaria* (эоцен).
15. *Mesocena polymorpha* v. *quadrangula* (E.) I. (эоцен).
16. *Litharchaeocystis costata* De flandre (олигоцен).
17. *Litharchaeocystis costata* De flandre (н. олигоцен).
18. *Litharchaeocystis costata* De flandre (эоцен).
19. *Litharchaeocystis costata* De flandre (н. олигоцен).
20. *Litharchaeocystis costata* De flandre (эоцен).
21. *Genus et sp. indet.* (эоцен).
22. *Parachaemonas Colligera* De flandre (эоцен).
23. *Cenus et sp. indet.*
24. *Genus et species indet.* (эоцен).
25. *Genus et species indet.*
26. *Genus et species indet.*
27. *Genus et sp. indet.*

Рис. × 900

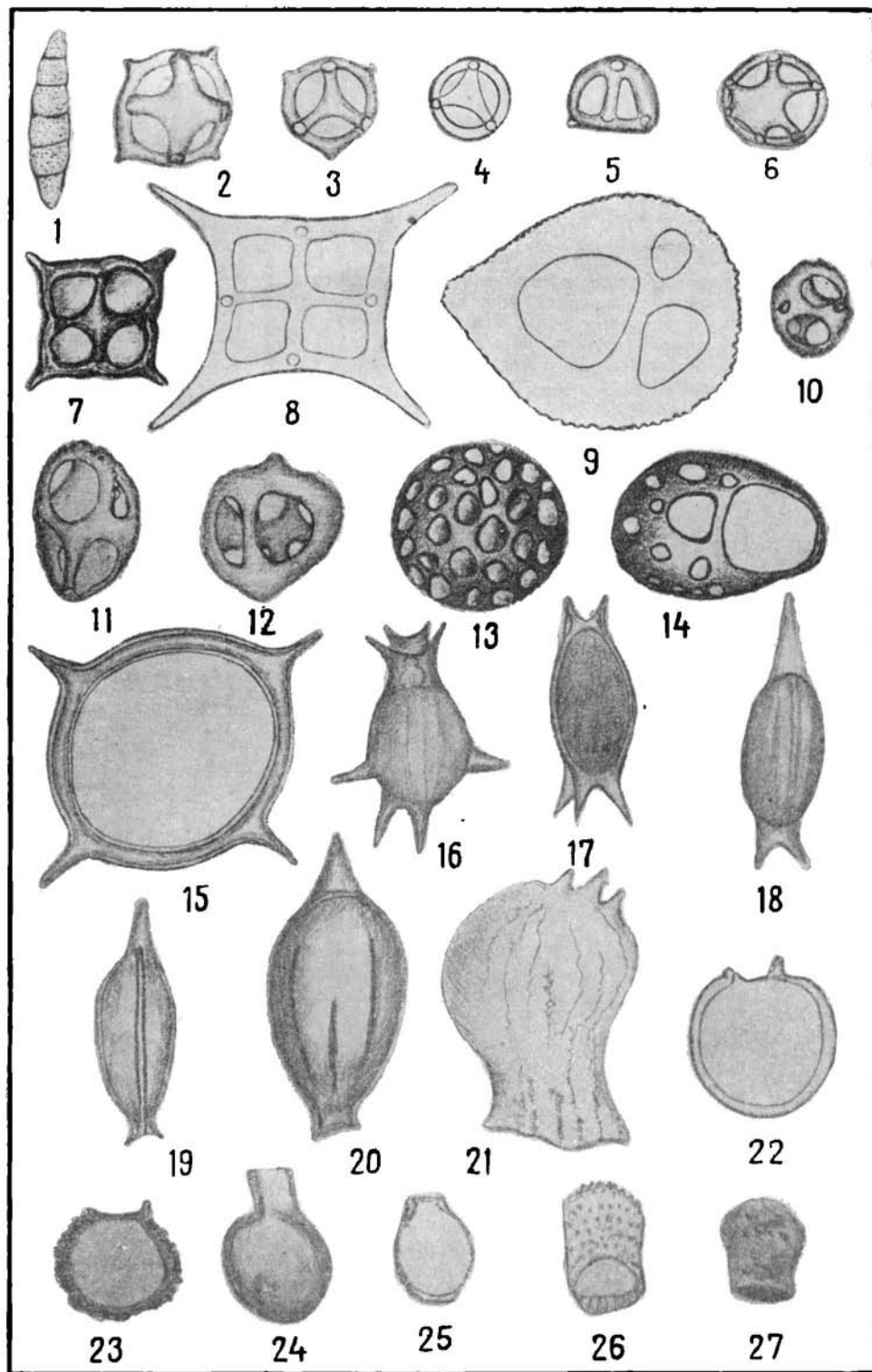


ТАБЛИЦА 136

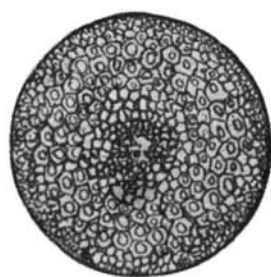
Комплексы диатомовых и кремневых жгутиковых водорослей нижнего олигоцена скважин Ларьяка 1-к и 1-р, Каменско-Гусельниково 1-к,

Лучинкино 6-к и 7-к, Тюмень 1-к, Кузнецово 1-р

1. *Coscinodiscus decrescens* v. *polaris* Gr n.
2. *Coscinodiscus decrescens* Gr n.
3. *Coscinodiscus lineatus* Eh g.
4. *Coscinodiscus argus* Eh g.
5. *Arachncidiscus indicus* Eh g.

Рис. × 900

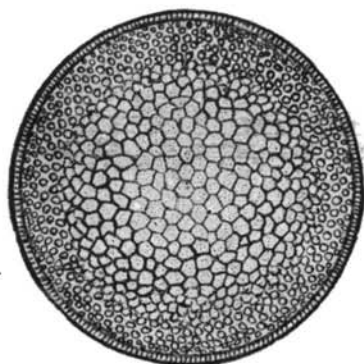
Таблица 136



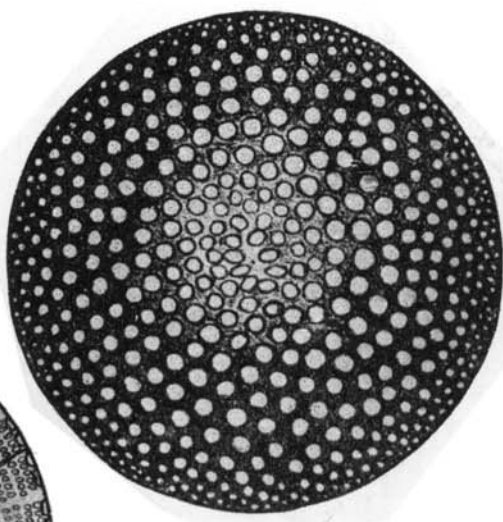
1



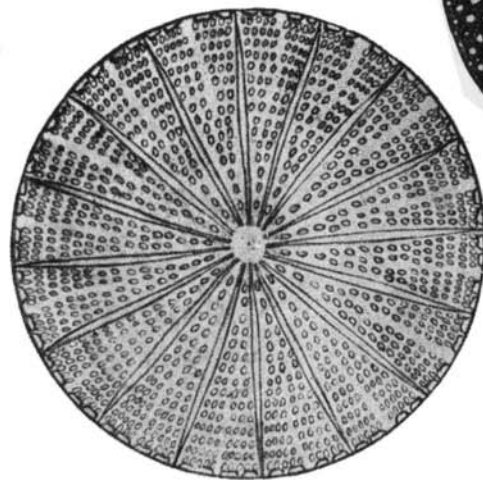
3



2



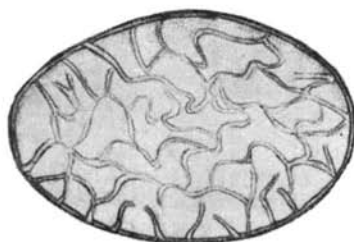
4



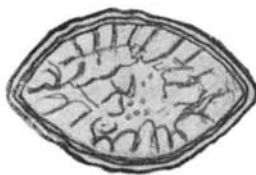
5

6. *Liradiscus ovalis* Grev.
7. *Liradiscus ellipticus* Grev.
8. *Liradiscus ellipticus* Grev.
9. *Stictodiscus* aff. *Hardmanianus* Grev.  
Рис. × 900

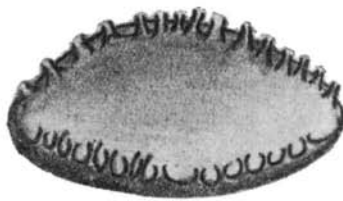
Таблица 136 (продолжение)



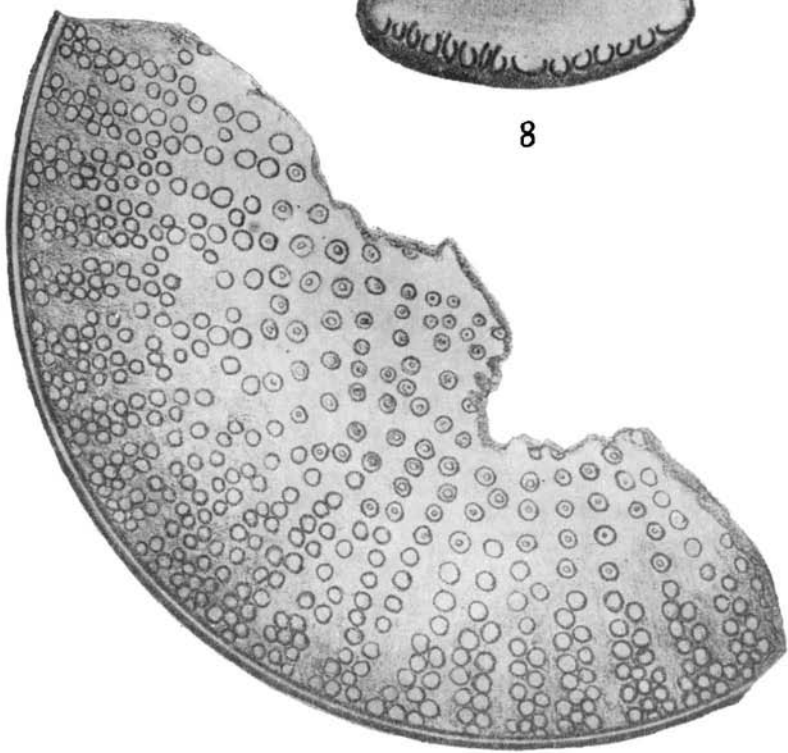
6



7



8



9

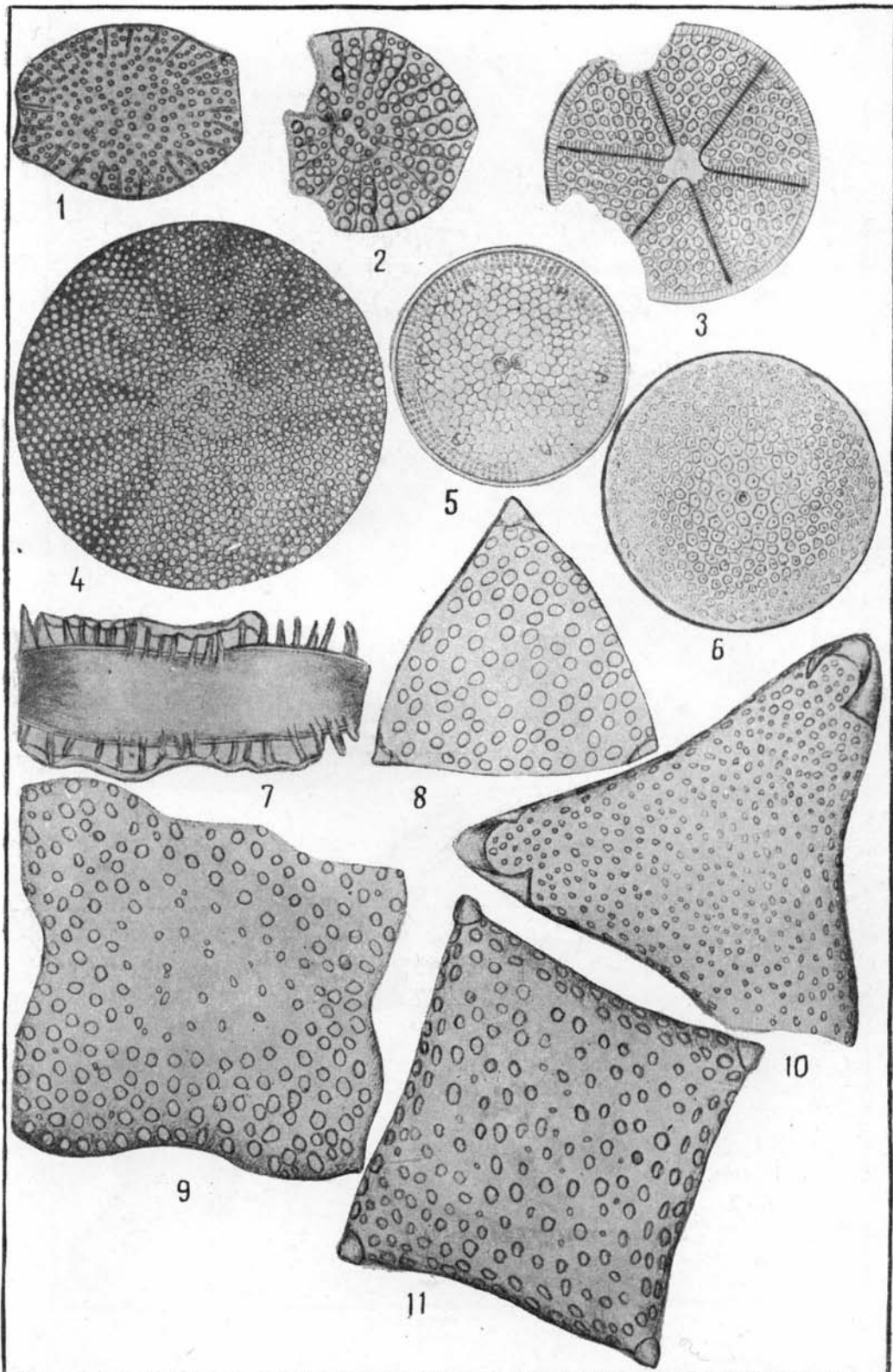
ТАБЛИЦА 137

Комплексы диатомовых и кремневых жгутиковых водорослей нижнего олигоцена скважин Ларьянка 1-к и 1-р, Каменско-Гусельниково 1-к, Лучинкино 6-к и 7-к, Тюмень 1-к, Кузнецово 1-р

1. *Pseudostictodiscus angulatus* Grun.
2. *Pseudostictodiscus angulatus* Grun.
3. *Actinoptychus undulatus* (Bail.) Ralfs.
4. *Coscinodiscus* aff. *fasciculatus* A. S.
5. *Stephanopyxis fuscus* Jousse.
6. *Coscinodiscus Moelleri* v. *macroporus* Grun.
7. *Xanthiopyxis* aff. *oblonga* Ehrenb.
8. *Triceratium* sp.
9. *Triceratium* aff. *tetragonum* Pant.
10. *Triceratium* sp.
11. *Trinacria* sp.

Рис. × 900

Таблица 137

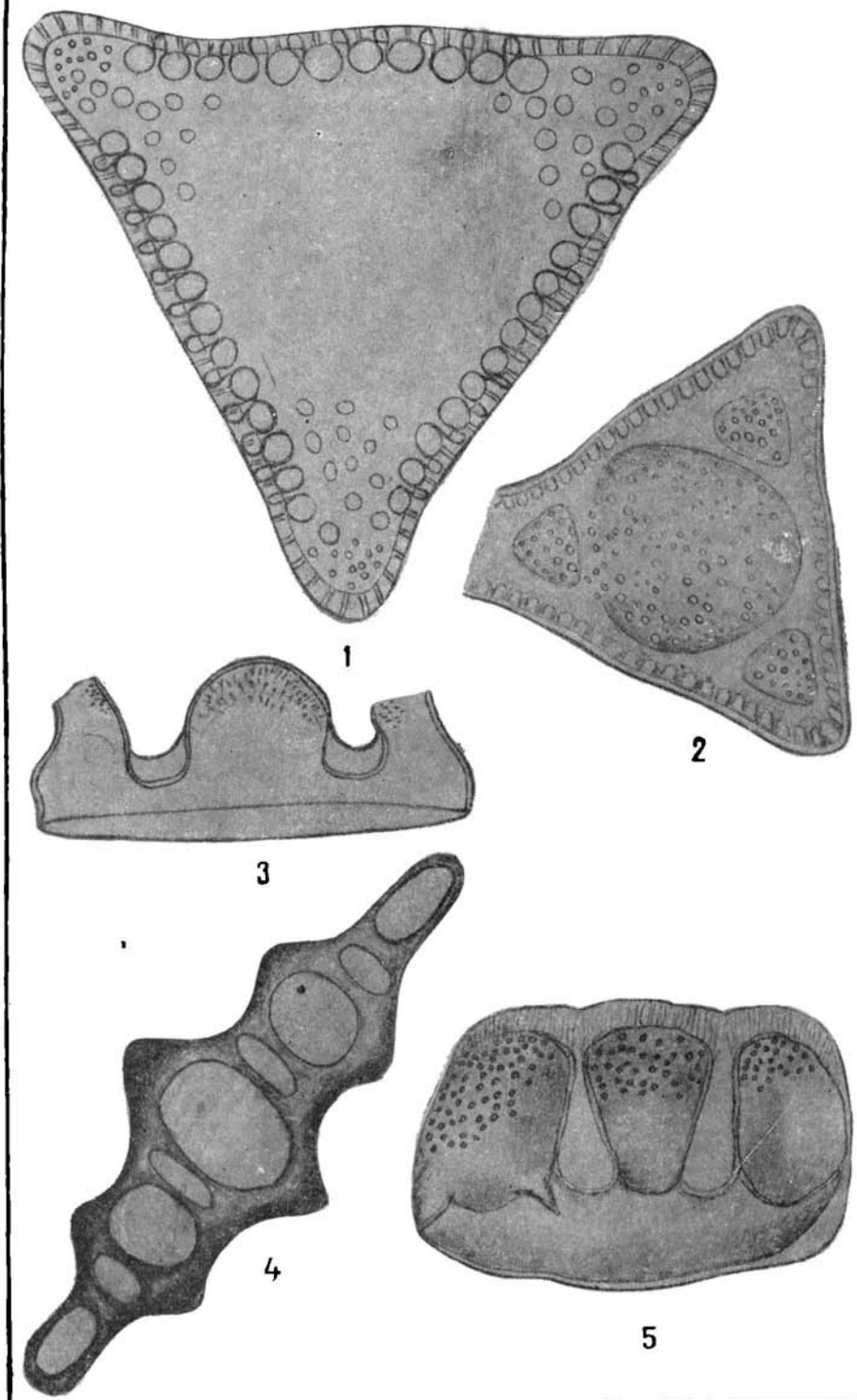


## ТАБЛИЦА 138

Комплексы диатомовых и кремневых жгутиковых водорослей нижнего олигоцена скважин Ларька 1-к и 1-р, Каменско-Гусельниково 1-к, Лучинкино 6-к и 7-к, Тюмень 1-к, Кузнецово 1-р

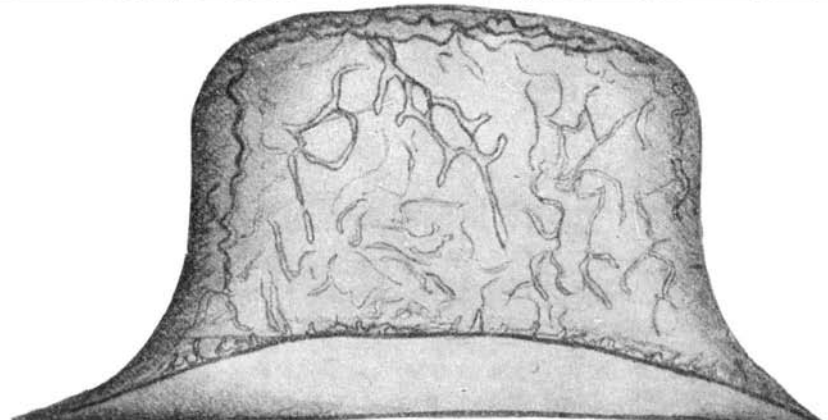
1. *Triceratium* sp.
2. *Triceratium aff. celluloseum* Gr e v.
3. *Biddulphia* aft. *Tuomeyiv. tridentata* (E h r.) J o u s e.
4. *Biddulphia Tuomeyi* (B a i l) R o p c r.
5. *Biddulphia Tuomeyiv. tridentata* (E h r.) J o u s e. f. n.

Рис.  $\times 900$



6. *Odontotropis danicus* D e b e s.
  7. *Odontotropis carinata* G r u n.
  8. *Odontotropis Klavsenii* D e b e s.
  9. *Hemiaulus sibericus* G r u n.
  10. *Hemiaulus polymorphus* v. n.
- Формы × 900

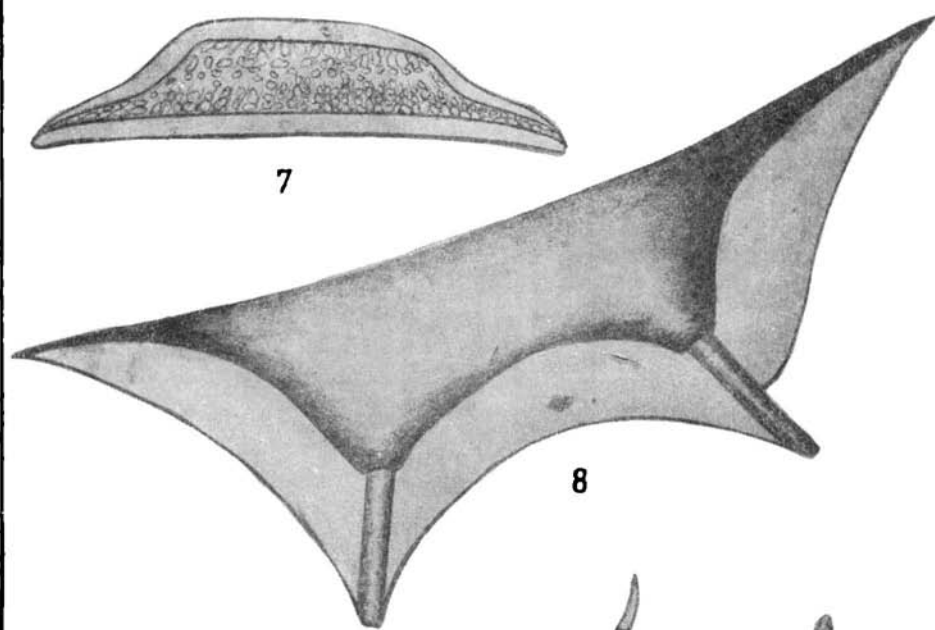
Таблица 138 (продолжение)



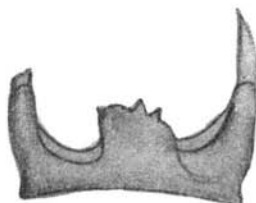
6



7



8



9



10

ТАБЛИЦА 139

Комплексы диатомовых и кремневых жгутиковых водорослей нижнего олигоцена скважин Ларька 1-к и 1-р, Каменско-Гусельниково 1-к, Лучинкино 6-к и 7-к, Тюмени 1-к, Кузнецово 1-р

1. *Hemiaulus polymorphus* v. *morsiana* Grun.
2. *Hemiaulus* sp. nov.
3. *Hemiaulus polycistinorum* aff. v. *simbirskiana* Grun.
4. *Hemiaulus polymorphus* v. *morsiana* Grun.
5. *Hemiaulus antiquus* Jouse.
6. *Hemiaulus* sp.
7. *Hemiaulus tenuis hostilis*.
8. *Trinacria pileolus* v. *Josephina* Grun.
9. *Trinacria pileolus* Ehrg.

Рис. × 900

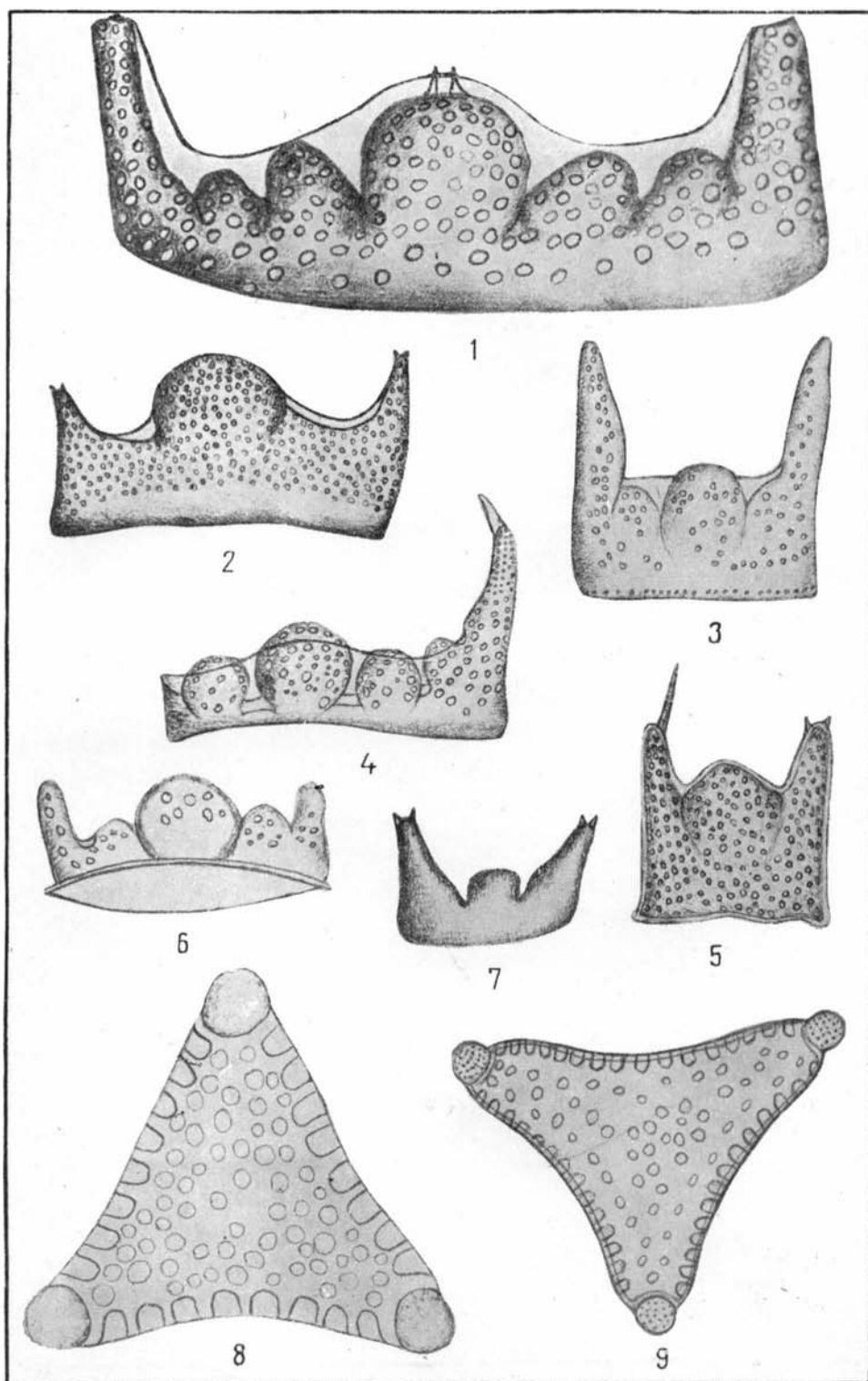


ТАБЛИЦА 139 (продолжение)

10. *Pyxilla oligocenica* J o u s e.
11. *Pyxilla* sp.
12. *Pyxilla gracilis* T e m p. et F o r t i.
13. *Pyxilla* sp.
14. *Pyxilla oligocenica* J o u s e.
15. *Pyxilla oligocenica* J o u s e.
16. *Pyxilla* sp. (?)
17. *Pyxilla* sp.
18. *Pyxilla* мелкоареол. мұна *oligocenica* J o u s e.  
Пнс. × 900

Таблица 139 (продолжение)



10



11



12



13



14



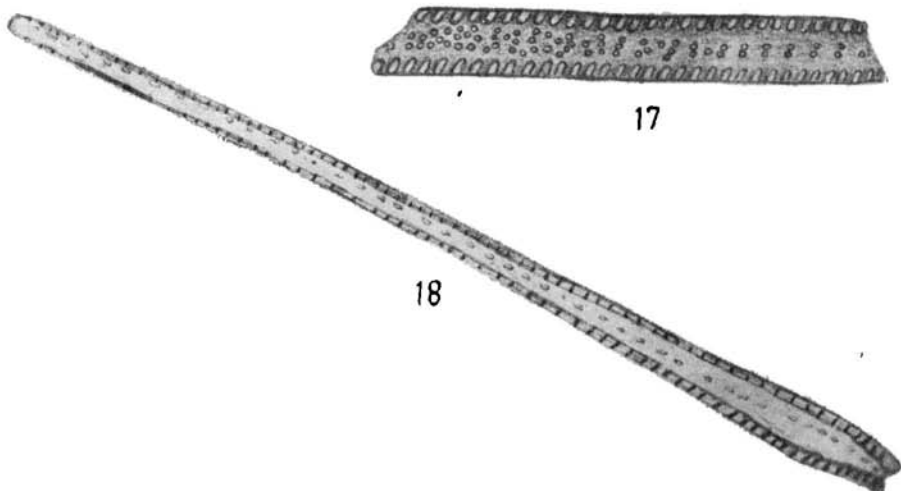
15



16



17



18

Комплексы диатомовых и кремневых жгутиковых водорослей нижнего олигоцена скважин Ларька 1-к и 1-р, Каменско-Гусельниковово 1-к, Лучинкино 6-к и 7-к, Тюмень 1-к, Кузнецово 1-р

1. *Pseudopryzella russica* (Pant.) Forti.
2. *Pterotheca major* Jouse.
3. *Pterotheca aculeifera* Grun.
4. *Pterotheca Kittoniana* Grun.
5. *Anaulus* all. *Weyprechtii* Grun.
6. *Dictyocha navicula* v. *trispinosa* Schulz.
7. *Dictyocha navicula* v. *trispinosa* Schulz.
8. *Dictyocha transitoria* Defl.
9. *Dictyocha sibula* v. *pentagona* Schulz.
10. *Distephanus* sp.
11. *Dictyocha rotundata* Jouse.

Рис. X900

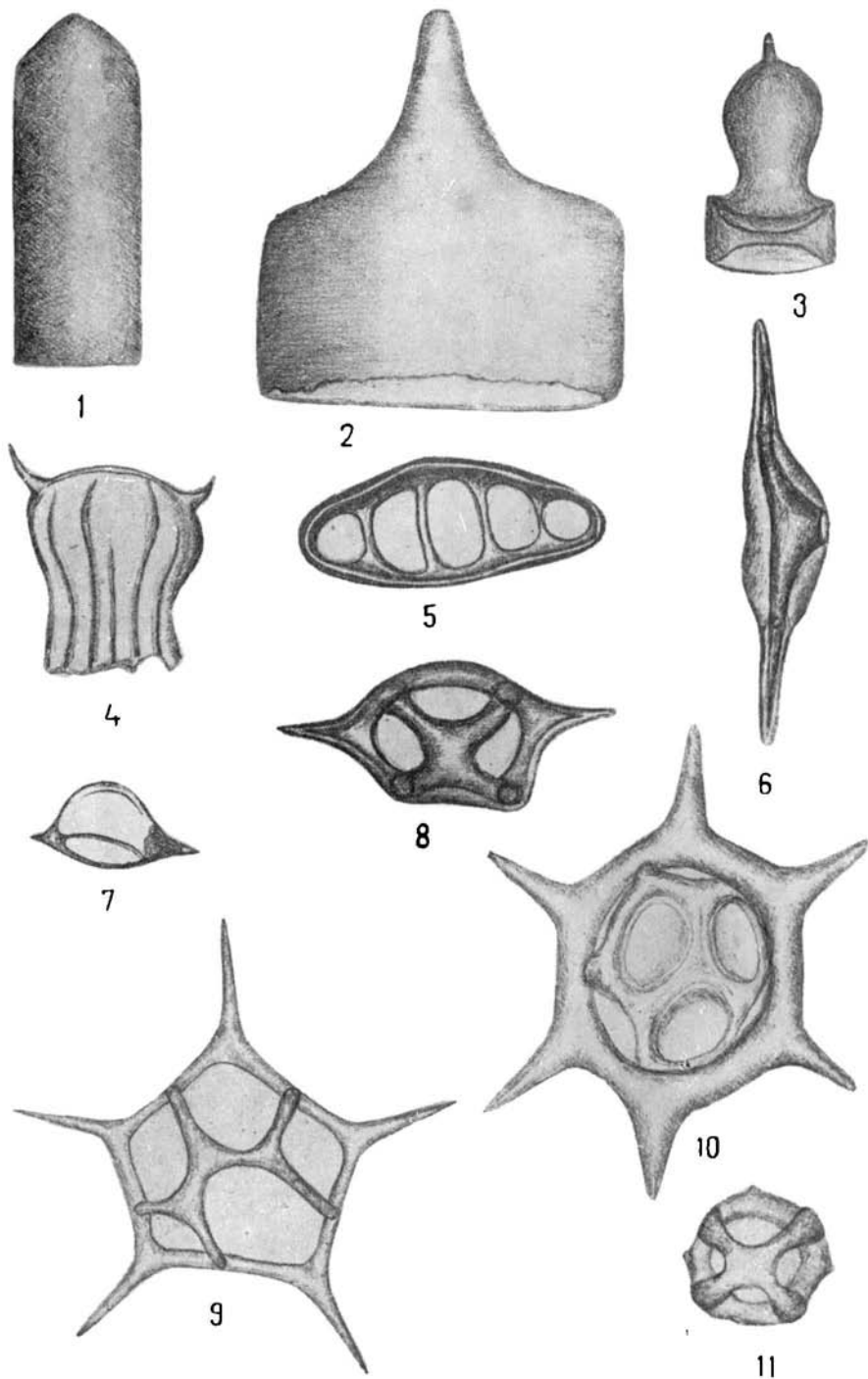


ТАБЛИЦА 140 (продолжение)

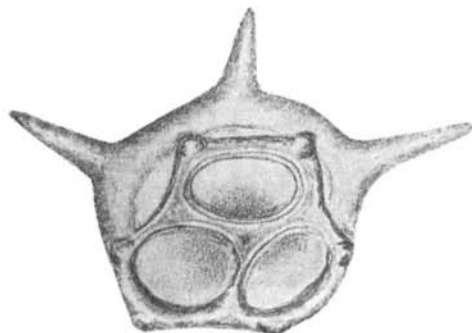
12. *Dictyocha rotundata* J o u s e.
13. *Distephanus* sp.
14. *Dictyocha fibula* v. *pentagona* S c h u l z.
15. *Dictyocha staurodon* E h r.
16. *Dictyocha transitoria* D e f l.
17. *Dictyocha fibula* E h r.
18. *Dictyocha fibula* E h r.
19. *Ebria muna* Radiolaria.
20. *Ebria tripartita* S c h u l z.
21. *Ebria tripartita* S c h u l z.

Рис. × 900

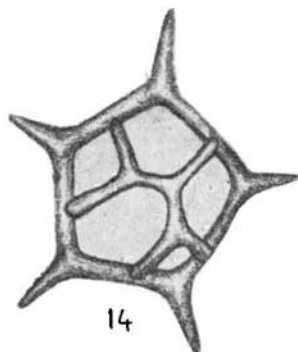
Таблица 140 (продолжение)



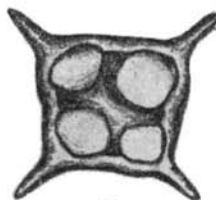
12



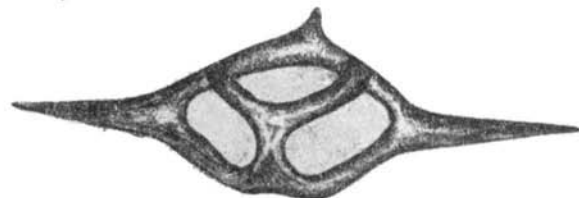
13



14



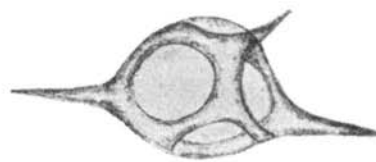
15



16



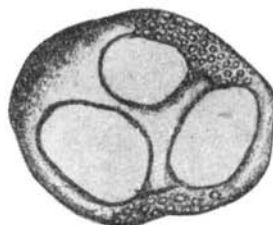
17



18



19



20



21

# ТАБЛИЦА 141

Комплекс кокколитов верхнего мела.

Примечание. Сокращенный текст к таблицам следует читать так:  
д — диаметр зерна;  
дл. — длина зерна;  
шир. — ширина зерна;  
выс. т. — высота тела;  
выс. м. — высота воздушных мешков.



1



2



3



4



5



6



7



8



9



10



11



12



13



14



15



16



17



18



19



20



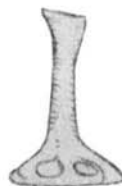
21



22



23



24



25



26



27



## С О Д Е Р Ж А Н И Е

Стр.

Введение (В. Ф. Козырева) . . . . .	3
Краткий обзор исследований мезозойских и кайнозойских отложений Западной Сибири . . . . .	6
Рэт-лейас (С. А. Климко) . . . . .	13
Юрские отложения . . . . .	15
Нижняя юра (З. А. Войцель, Л. Г. Маркова, Е. А. Иванова)	15
Средняя юра (С. А. Климко, Е. А. Иванова, З. А. Войцель, Л. Г. Маркова) . . . . .	16
Юрская пестроцветная толща (В. Ф. Козырева) . . . . .	17
Верхняя юра (В. Ф. Козырева) . . . . .	18
Келловей (И. Г. Климова, В. Ф. Козырева) . . . . .	19
Оксфорд — (В. Ф. Козырева и И. Г. Климова) . . . . .	20
Кимеридж (В. Ф. Козырева, И. Г. Климова с использованием данных Т. А. Казьминой и Ф. Р. Корневой) . . . . .	24
Волжские отложения (В. Ф. Козырева и И. Г. Климова) . . . . .	29
Верхнеюрский спорово-пыльцевой комплекс (З. А. Войцель, Е. А. Иванова, С. А. Климко и Л. Г. Маркова) . . . . .	33
Меловые отложения . . . . .	35
Нижний мел . . . . .	35
Валанжин (В. Ф. Козырева, И. Г. Климова, Е. А. Иванова, С. А. Климко, З. А. Войцель с использованием данных А. И. Стрижовой) . . . . .	35
Готерив (Т. А. Казьмина и Ф. Р. Корнева) . . . . .	48
Готерив-барремский спорово-пыльцевой комплекс (Е. А. Иванова, С. А. Климко, З. А. Войцель, Л. Г. Маркова с использованием данных А. И. Стрижовой) . . . . .	53
Баррем (Т. А. Казьмина) . . . . .	54
Апт-альб (З. А. Войцель, Е. А. Иванова, С. А. Климко, Л. Г. Маркова, с использованием данных А. И. Стрижовой) . . . . .	57
Альб (З. И. Булатова, с использованием данных Т. А. Казьминой, Ф. Р. Корневой и А. Н. Горбовец) . . . . .	58
Верхний мел . . . . .	72
Сеноман (Е. А. Иванова, З. И. Булатова, З. А. Войцель, С. А. Климко, с использованием данных Л. Г. Марковой) . . . . .	72
Турон (З. И. Булатова и А. Н. Горбовец с использованием данных Т. А. Казьминой) . . . . .	75
Сантон (З. И. Булатова, З. А. Войцель, А. Н. Горбовец) . . . . .	84
Кампан?-маастрихт (Э. Н. Кисельман, А. С. Тарасова, с использованием данных Т. А. Казьминой, А. Н. Горбовец и Р. П. Костициной) . . . . .	97

Датский ярус (Э. Н. Кисельман, З. М. Круглова) . . . . .	110
Третичные отложения . . . . .	113
Палеоген (М. В. Ушакова) . . . . .	113
Излеоцен (М. В. Ушакова, с использованием данных А. С. Тарасовой, Е. А. Ивановой, З. М. Кругловой, А. Н. Горбовец) . . . . .	114
Эоцен (?) (М. В. Ушакова, с использованием данных А. С. Тарасовой) . . . . .	119
Эоцен (М. В. Ушакова, А. Н. Горбовец, Р. П. Костицина с использованием данных З. А. Войцель) . . . . .	120
Нижний олигоцен (М. В. Ушакова, Т. А. Казьмина, А. С. Тарасова, С. А. Климко, Р. Р. Костицина, З. А. Войцель, Е. А. Иванова, Л. Г. Маркова) . . . . .	123
Верхний олигоцен (?) (Е. А. Иванова, С. А. Климко, З. А. Войцель, Л. Г. Маркова, З. М. Круглова с ис- пользованием данных А. И. Стрижовой) . . . . .	133
Миоцен (А. А. Иванова, С. А. Климко, З. А. Войцель, Л. Г. Маркова, З. А. Круглова с использованием дан- ных А. И. Стрижовой) . . . . .	135
Плиоцен (?) (Е. Е. Иванова, С. А. Климко, З. А. Вой- цель, Л. Г. Маркова, З. А. Круглова, А. И. Стрижова)	139
Литература . . . . .	141
Приложения . . . . .	149

СТРАТИГРАФИЯ МЕЗОЗОЯ И КАЙНОЗОЯ  
ЗАПАДНО-СИБИРСКОЙ ПЛЯЗМЕННОСТИ

Вед. ред. Е. А. Филиппова

Корректор Е. В. Мухина

Технический редактор А. В. Трофимов

Подписано к набору 29/XII 1956 г.

Подписано к печати 9/VII 1957 г.

Формат 70 × 1081/16. Физ. печ. л. 30 с атласом.

Усл. печ. л. 41,10 с атласом. Уч.-изд. л. 31,87 с атласом.

Тираж 1500 экз. Т-05463. Зак. 10/1442.

Цена 18 р.

Гостоптехиздат.

Москва, К-12, Третьяковский проезд, 1/19.

Типография «Красный Печатник».

Ленинград, Московский проспект, 91.

